



HAL
open science

Glycoligands et Glycocomplexes – exploration de la chimie de coordination d’une nouvelle famille de ligands chiraux

Federico - Cisnetti

► **To cite this version:**

Federico - Cisnetti. Glycoligands et Glycocomplexes – exploration de la chimie de coordination d’une nouvelle famille de ligands chiraux. Chimie. Université Paris Sud - Paris XI, 2007. Français. NNT : . tel-00369835v1

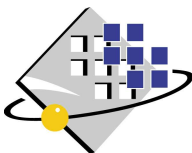
HAL Id: tel-00369835

<https://theses.hal.science/tel-00369835v1>

Submitted on 22 Mar 2009 (v1), last revised 1 Jun 2009 (v2)

HAL is a multi-disciplinary open access archive for the deposit and dissemination of scientific research documents, whether they are published or not. The documents may come from teaching and research institutions in France or abroad, or from public or private research centers.

L’archive ouverte pluridisciplinaire **HAL**, est destinée au dépôt et à la diffusion de documents scientifiques de niveau recherche, publiés ou non, émanant des établissements d’enseignement et de recherche français ou étrangers, des laboratoires publics ou privés.



N° d'ordre : 8836



Université Paris-Sud 11
UFR scientifique d'Orsay

THÈSE
présentée pour obtenir
le grade de docteur en sciences
de l'Université Paris-Sud 11 Orsay

par

Federico CISNETTI

SUJET : *Glycoligands et Glycocomplexes* – exploration de la chimie de coordination d'une nouvelle famille de ligands chiraux

Soutenue le 19 novembre 2007 devant la commission d'examen :

Dr. Hani Amouri	Université Paris 6	Rapporteur
Prof. Alan F. Williams	Université de Genève	Rapporteur
Prof. David Bonnaffé	Université Paris-Sud 11	Président du jury
Prof. Jean-Louis Pierre	Université J. Fourier Grenoble 1	Examineur
Dr. Clotilde Policar	Université Paris-Sud 11	Directrice de thèse
Prof. Michel Thérissod	Université Paris-Sud 11	Examineur

Résumé : les « glycoligands » sont des complexants obtenus par fonctionnalisation avec des bases de Lewis de structures centrales de type sucre. Nous avons fait varier de manière systématique la nature d'une plateforme centrale monosaccharidique (pyrannoses et furannoses de configurations et conformations variées) dans le cadre de l'étude des complexes dérivés de ligands contenant trois fonctions éther de 2-picolyle (ligands « triéther »). Nous avons considéré également des ligands « aminoéther » et « diamino » obtenus respectivement par fonctionnalisation de dérivés de type aminodésoxy-furannose et diaminodidésoxy-furannose. Les propriétés de complexation de cette famille de ligands pour les cations divalents $3d$ (Mn ... Cu) ont été appréciées à travers des études structurales (diffraction des rayons X) et spectroscopiques. Divers complexes ont été étudiés par dichroïsme circulaire prouvant le caractère diastéréosélectif de la réaction de complexation et mettant en évidence une corrélation empirique entre la conformation des cycles pyrannosique ou furannosique et la forme du signal. Dans un exemple choisi, la complexation a été caractérisée thermodynamiquement (par titration calorimétrique isotherme) afin de mettre en évidence l'effet de l'inclusion du site de chélation dans une structure cyclique. L'activité de type superoxyde dismutase d'un glyco-complexe diamino de manganèse s'oxydant à l'état Mn(III) en solution aqueuse aérobie a été mesurée à l'aide du test de McCord-Fridovich.

MOTS-CLÉS : chimie de coordination, glycochimie, synthèse diastéréosélective, dichroïsme circulaire, calorimétrie de titrage isotherme, activité antiperoxyde.

DISCIPLINE : chimie. Spécialité : chimie inorganique.

Institut de Chimie Moléculaire et des Matériaux d'Orsay (UMR 8182), Équipe de Chimie Bioorganique et Bioinorganique Bâtiment 420, Université Paris-Sud 11, Faculté des Sciences d'Orsay, 91405 Orsay CEDEX – cisnetti@gmail.com.

GLYCOLIGANDS AND GLYCOCOMPLEXES – Exploration of the coordination chemistry of a novel chiral ligand family

Abstract: *glycoligands* are metal chelators centred on carbohydrate scaffolds. They were obtained by functionalisation of monosaccharides with Lewis bases. Systematic variations of the central platform were performed (pyranoses and furanoses with various configurations and conformations) in the case of the ligands bearing three 2-picolyl ether functions (*triether* ligands). We have considered also the functionalisation of aminodeoxy-furanoses to yield *aminodeoxy* and *diamino* ligands. The complexing properties of this family of ligands were studied for divalent late transition 3d metal cations. The complexes were studied structurally and spectroscopically. Some of the complexes were studied by circular dichroism (CD) spectroscopy. The diastereoselective nature of the complex synthesis was outlined as well as an empirical correlation between the pattern of the CD signal and the conformation of the pyranose or furanose scaffold. In a selected case, the thermochemical characterization of the glycoligand complexation reaction was performed by isothermal titration calorimetry. This study evidenced the effect of the inclusion of the chelating site in a cyclic pyranoside. The superoxide dismutase-like activity of an air-oxidised Mn(III)-diamino-glycocomplex was assayed by the means of the McCord-Fridovich test.

KEYWORDS : coordination chemistry, carbohydrate chemistry, diastereoselective synthesis, circular dichroism, isothermal titration calorimetry, antiperoxidase activity.

Remerciements

Je commence ces remerciements par les deux rapporteurs de cette thèse, le Dr. Hani Amouri et le prof. Alan Williams. Je leur suis reconnaissant d'avoir émis des idées prometteuses le jour de la soutenance et je pense que celles-ci ont de fortes chances de faire avancer notre compréhension du sujet. Je remercie également mes examinateurs, le prof. Jean-Louis Pierre et le prof. David Bonnaffé d'avoir jugé ce travail de leurs points de vue respectifs de chimiste bioinorganicien et de spécialiste de la glycochimie.

Je remercie le prof. Jean-Pierre Mahy pour le bon accueil qu'il m'a réservé au sein de l'Équipe de Chimie Bioorganique et Bioinorganique et de l'École doctorale de Chimie de Paris-Sud qu'il dirige. Je remercie également tous les permanents présents et retraités du laboratoire que j'ai eu la chance de connaître : Rémi Ricoux, Stéphanie Pethe, Hafsa Korri, Hélène Dorizon, Martine Perrée-Fauvet, Florence Ramiandrasoa, Laurent Salmon, Catherine Verchère-Béaur, Chantal Latimier et Stéphanie Massoteau ainsi que les doctorants qui ont été mes camarades pendant tout ou partie de ces trois années. Je commencerai par les « anciens » Céline R., Céline D., Stéphanie, Mathieu, Fabio, Chaker et Frédéric pour continuer avec Lucie et Quentin qui m'ont accompagné du DEA à la fin de la thèse et par Ziad et Kader que j'ai connus au milieu de celle-ci. Et puis, il y a les « petits jeunes » qui ont commencé après moi, Johanna, Racha, Sandrine, Syrine et Gabin ainsi que les nouvelles doctorantes, Élodie, Anh et Soline qui ne sont qu'au début des surprises que leur réservera leur thèse. Grâce à vous tous, le laboratoire est devenu pour moi un lieu de partage et de convivialité et le souvenir des bons moments passés ensemble restera gravé dans ma mémoire.

Je réserve une mention particulière pour toutes les personnes ayant travaillé à mes côtés pendant ces années : François Bellot qui a essuyé les plâtres du sujet « glycoligands et glyco-complexes », Chrystel Neff, Jenny Waern et Vinita Ambike qui poursuivent actuellement les recherches dans l'équipe et je remercie Ludivine Garcia pour les échanges que nous avons eus quand elle était en M2 recherche et je lui souhaite beaucoup de réussite pour la thèse qu'elle vient de commencer sur l'étude des glyco-complexes de cuivre. Je n'oublierai pas d'associer à ces remerciements les stagiaires que j'ai encadrés ou co-encadrés et qui m'ont supporté de quelques semaines à quelques mois, ce qui n'est pas chose facile : Anne-Sophie Lefèvre, Cécile Roche, Fabien Maillot et Nada Ibrahim.

Je suis également redevable aux collaborateurs sans lesquels il n'aurait pas été possible de réaliser ce travail : le Dr. Régis Guillot pour l'énorme travail qu'il a fourni en cristallographie aux rayons X, le Dr. Michel Desmadril et le Dr. Magali Nicaise avec qui nous avons réalisé les études de dichroïsme circulaire et de microcalorimétrie, le Dr. Élodie Anxolabéhère-Mallart pour son aide en voltammétrie cyclique et le Dr. Jean-Pierre Baltaze pour son expertise en RMN, ainsi que le Dr. Nohad Gresh et le Dr. Jean-Didier Maréchal pour les études de

calculs moléculaires qu'ils sont en train de réaliser. Je remercie aussi Phi-Phong Nguyen et Rodolphe Adam pour leur aide informatique.

Cette thèse n'aurait pas été aussi enrichissante pour moi sans de nombreuses et longues discussions que j'ai menées avec François Lambert et Michel Thérissod sur des sujets divers et variés. Je les remercie de m'avoir beaucoup appris pendant ces années et j'espère, un jour, avoir la chance de me retrouver à leur place en train d'aider de jeunes scientifiques remuants.

J'ai eu beaucoup de chance d'avoir une directrice de thèse comme Clotilde Policar. J'ai pu bénéficier de son énergie inépuisable pendant toutes ces années et je la remercie de m'avoir accordé sa confiance en m'ayant permis de travailler avec une grande liberté dans le cadre des recherches que nous avons menées ensemble. Au-delà de tout ce qu'elle m'a apporté en chimie, je lui suis aussi très reconnaissant sur le plan humain : elle a été à mon écoute pendant cette période et je pense qu'elle a très bien compris le drôle de spécimen que je suis.

Pour finir, je n'oublierai pas ma famille qui m'a toujours soutenu et m'a fait comprendre depuis le plus jeune âge la valeur réelle des études ainsi que ma Céline qui partage ma vie depuis maintenant neuf belles années et qui me réserve un merveilleux cadeau pour très bientôt.

*Il n'y a pas de recherche appliquée, il n'y a que des applications de la
recherche fondamentale.*

Louis Pasteur

À mes parents

À Céline

À notre bébé

Table des matières

1	Introduction	1
1.1	Définition du sujet	1
1.2	Contexte historique	2
1.3	Complexes de coordination dérivés de sucres	4
1.4	Complexes des sucres et polyols non fonctionnalisés	5
1.4.1	Pouvoir coordonnant des polyols et sites de coordination privilégiés	6
1.4.2	Complexes formés par les aminodésoxy-sucres	11
1.5	Complexes formés par des sucres fonctionnalisés	12
1.5.1	Complexes glycoconjugués	13
1.5.2	Complexes « sucre-imbriqués »	15
1.6	Glycoligands	20
1.7	Thermodynamique de complexation	22
1.8	La chiralité en chimie de coordination	26
1.8.1	Synthèses de complexes chiraux avec des ligands achiraux	27
1.8.2	Complexes avec des ligands chiraux	29
1.8.3	Synthèse stéréosélective de complexes avec des ligands dérivés de sucres	30
1.9	Intérêt de l'étude des glycoligands et glycocomplexes	32
1.9.1	État du sujet au laboratoire avant le début de cette thèse	32
1.9.2	Choix de nouvelles architectures centrales	34
	Résultats et discussion	39
2	Glycoligands et glycocomplexes triéther	41
2.1	Nouveaux ligands avec des groupements <i>O</i> -2-picolyle	42
2.1.1	Réaction de polypicolylation de polyols	42
2.1.2	Châssis incluant un motif 1,2,4-butanetriol	43
2.1.3	Châssis incluant un motif glycérol	47
2.1.4	Châssis incluant un motif 1,2,5-pentanetriol	49
2.1.5	Analogues acycliques	50

2.2	Choix des cations métalliques	51
2.3	Réaction de complexation	52
2.4	Structures cristallines : type 1,2,4-butanetriol	54
2.4.1	Complexes des ligands dérivés du galactose	54
2.4.2	Complexes du ligand LyxP₃	57
2.4.3	Complexes du ligand MAGP₃	60
2.4.4	Tendances structurales	63
2.5	Complexes du ligand RibP₃	71
2.6	Complexe de Co(II) du ligand ManP₃Bn	76
2.7	Titrages UV-visible	79
2.7.1	Co(II) et Cu(II)	79
2.7.2	Ni(II)	80
2.8	Dichroïsme circulaire	82
2.8.1	Complexes de Co(II)	83
2.8.2	Complexes de Ni(II)	87
2.8.3	Hypothèse sur l'origine de l'induction asymétrique	90
2.9	Étude RMN du ligand RibP₃ et de ses complexes	91
2.10	Étude thermodynamique	97
3	Glycoligands et glycocomplexes aminodésoxy	106
3.1	Synthèse de glycoligands pentadentes	107
3.1.1	Justification de la stratégie choisie	107
3.1.2	Glycoligands contenant une amine tertiaire	108
3.1.3	Stratégie de synthèse	111
3.2	Complexes de MAXP₃ et de MARP₃	118
3.2.1	Essais avec les cations de Mn, Fe, Co, Ni, Zn	118
3.2.2	Complexes de Cu(II)	121
3.2.3	Etudes en solution : RPE, VC, absorption UV-vis, CD	126
3.3	Complexes de MAXP₂Φ et MAXPΦ₂	133
4	GlycoComplexe à activité antioxydante	135
4.1	La chimie inorganique médicinale	136
4.2	Complexes à activité antioxydante	136
4.2.1	Espèces réactives oxygénées	136
4.2.2	Les superoxyde dismutases	138
4.2.3	Conception des complexes	140
4.2.4	Mesure de l'activité SOD	143
4.3	Glycoligand N ₄ O _{phénol}	145

4.3.1	Schéma rétrosynthétique	146
4.3.2	Synthèse	147
4.4	Complexe candidat à la fonction de mime de SOD	148
4.5	Comportement en phase aqueuse	150
4.5.1	Analyse électrochimique	152
4.5.2	Test de McCord-Fridovich	154

Conclusion générale 159

Annexes 161

A.1	Méthodes générales	163
A.2	Synthèse des glycoligands triéther	166
A.2.1	1,5-anhydro-2-désoxy-D-galactitol	166
A.2.2	α -D-lyxofurannoside de méthyle	167
A.2.3	Châssis de type glucofurannose	168
A.2.4	Synthèse en 4 étapes du β -D-ribofuranoside de méthyle	170
A.2.5	Synthèse du 4- <i>O</i> -benzyl- α -D-mannopyrannoside de méthyle	173
A.2.6	Protocole général de picolylation	178
A.3	Dérivés polyazoture	182
A.4	Synthèse des glycoligands aminoéther et diamino	185
A.4.1	Ligands comportant une fonction éther	185
A.4.2	Ligand ne comportant aucune fonction éther	204
A.5	Synthèse des glycocomplexes	213
A.5.1	Protocoles généraux	213
A.5.2	Caractérisations	213
A.5.3	Glycocomplexes aminoéther et diamino.	222
A.6	Données structurales	224
A.6.1	Cristallographie aux rayons X	224
A.6.2	Conformations de cycle et paramètres de <i>puckering</i>	230
A.7	Test de McCord-Fridovich	233
	Bibliographie	234

Liste des figures

1.1	Les deux inositols ayant permis d'élucider la nature des sites de chélation des polyols	7
1.2	Comparaison du pouvoir coordonnant de différents sites présents dans les polyols cycliques.	7
1.3	Complexe de calcium de l' <i>allo,allo</i> -trehalose	8
1.4	Équilibres modifiés par la présence de cations métalliques	9
1.5	Complexes de métaux du groupe du platine avec des ligands de type sucre	10
1.6	Complexe dinucléaire de Cu(II) reconnaissant le D-mannose	11
1.7	Changement conformationnel lors de la complexation d'un diaminodidésoxy-sucre <i>xylo</i> . . .	12
1.8	Exemples de complexes glycoconjugués	13
1.9	Ligands « sucre-imbriqués » pour les études structurales	17
1.10	Exemples de ligands « sucre-imbriqués » par Ruffo <i>et al.</i>	18
1.11	Exemple d'analogie de sidérophore sucre-centré	19
1.12	Les différentes familles de ligands dérivés de sucres	20
1.13	Glycocomplexes triéther (schéma général).	21
1.14	Application de la rigidité conformationnelle du D-glucose en chimie peptidomimétique . . .	21
1.15	Exemple de ligand de la famille des bispidines	23
1.16	Contraintes lors de la complexation d'un ligand	25
1.17	L'« hexol » de Werner : premier composé chiral énantiopur sans carbone	26
1.18	Isomérisation de type Λ/Δ	27
1.19	Ligand « chiragen » et complexe de Ru(II)	29
1.20	Complexes tripodaux fonctionnalisés par le L-rhamnose	31
1.21	Complexes glycoconjugués Cu(II)-dipicolylamine par Mikata <i>et al.</i>	32
1.22	Glycoligands avec un châssis galactose synthétisés précédemment	33
1.23	Les différentes structures centrales considérées dans le cadre de cette thèse	35
1.24	Considérations conformationnelles sur le D-ribopyrannose et le D-allopyrannose	36
2.1	Protocoles généraux de picolylation	43
2.2	Ligands basés sur un châssis de type 2-désoxy-D-galactose	44
2.3	Synthèse du ligand LyxP₃	45
2.4	Synthèse du ligand MAGP₃	46
2.5	Synthèse du ligand RibP₃	48
2.6	Structure cristalline de RibP₃	48
2.7	Synthèse du ligand ManP₃Bn	49
2.8	Synthèse des ligands glyP₃ et bu3OP₃	50
2.9	Structures cristallines des complexes des ligands Gal^{it}P₃ et Gal^{dOMe}P₃	55
2.10	Structures cristallines des complexes du ligand LyxP₃	58
2.11	Structures cristallines des complexes du ligand MAGP₃	61
2.12	Variation des distances de coordination dans les glycocomplexes de type 1,2,4-butanetriol . .	67

2.13	Comparaison des géométries de coordination octaédrique et trigonale prismatique.	70
2.14	Structures cristallines des complexes du ligand RibP₃ 1.	72
2.15	Structures cristallines des complexes du ligand RibP₃ 2.	73
2.16	Structure du complexe de Co(II) du ligand ManP₃Bn	76
2.17	Interactions faibles dans la structure du complexe de Co(II) du ligand ManP₃Bn	78
2.18	Glycocomplexes triéther de Co et Cu : titrages UV-visible.	79
2.19	Glycocomplexes triéther de Ni : titrages UV-visible.	81
2.20	Complexes de Co(II) : spectres d'absorption dans le visible	83
2.21	Complexes de Co(II) : spectres de dichroïsme circulaire	84
2.22	Complexes de Co : superposition des spectres CD solution-solide	85
2.23	Métallacycles à six chaînons, complexes de Co(II).	87
2.24	Complexes de Ni(II) : spectres d'absorption UV-visible	88
2.25	Complexes de Ni(II) : spectres de dichroïsme circulaire	89
2.26	Complexes de Ni : superposition des spectres de CD solution-solide	89
2.27	Spectres RMN- ¹ H du ligand RibP₃ et de son complexe de Zn(II).	92
2.28	Spectres RMN- ¹ H du complexe de Co(II) du ligand RibP₃	96
2.29	Exemples de titrages ITC	99
2.30	Comparaison de $\log(K_d)$	101
2.31	Comparaison de ΔH_{cal} et ΔS_{cal}	102
2.32	Glycoligand proposé centré sur 1,6-anhydro- β -D-allopyrannose.	104
3.1	Dérivés polyazotures	108
3.2	Glycoligands hexadentes contenant une fonction amine.	109
3.3	Structures centrales de type 5-amino-5-désoxy-pentofurannose	109
3.4	Le ligand tpoen et son complexe de Fe(II)	110
3.5	Schéma rétrosynthétique du ligand MAXP₃	111
3.6	Schéma rétrosynthétique du ligand MARP₃	112
3.7	Synthèse de MAXP₃	114
3.8	Synthèse de MARP₃	116
3.9	Synthèse de proP₃	116
3.10	Intermédiaire supposé ralentissant la double amination réductrice avec le salicylaldéhyde.	117
3.11	Synthèse de MAXP₂ΦH et MAXPΦ₂H₂	118
3.12	Complexe dinucléaire de Fe(III) dérivant du ligand MAXP₃	119
3.13	Différents complexes possibles du ligand MAXP₃	121
3.14	Structure du complexe de Cu(II) du ligand MAXP₃	122
3.15	Structure du complexe de Cu(II) du ligand MARP₃	124
3.16	Structure du complexe de Cu(II) du ligand proP₃	125
3.17	Analyse par VC des glycocomplexes aminoéther de cuivre(II)	128
3.18	Spectres RPE des complexes de Cu(II) des ligands MAXP₃ , MARP₃ et proP₃	130
3.19	Spectres UV-vis et CD des complexes de Cu(II) de MAXP₃ , MARP₃ et proP₃	131
3.20	Glycocomplexes de Cu(II) de MAXP₂Φ et MAXPΦ₂ : titrages UV-visible.	133
3.21	Spectre RPE du complexe de Cu(II) de MAXPΦ₂	134
4.1	Potentiels redox des couples métalliques dans les SOD	139
4.2	Superoxyde dismutase à Mn mitochondriale humaine	140
4.3	Complexes de Mn mimes de SOD	142

4.4	Principe du test de McCord-Fridovich	144
4.5	Schéma de la partie chélatante d'un glycoligand $N_4O_{\text{phénol}}$	146
4.6	Rétrosynthèse pour obtenir la sphère de coordination voulue	146
4.7	Rétrosynthèse de (36).	147
4.8	Synthèse de $\text{MARNP}_2\text{NMe}\Phi\text{H}$	148
4.9	Structure du complexe de Mn(II) du ligand $\text{MARNP}_2\text{NMe}\Phi$	149
4.10	Suivi de l'oxydation du complexe de Mn(II) du ligand $\text{MARNP}_2\text{NMe}\Phi$	151
4.11	VC du complexe de Mn(III) de $\text{MARNP}_2\text{NMe}\Phi$	153
4.12	Réaction parasite avec le cytochrome C	155
4.13	Test de McCord-Fridovich du complexe de Mn(III) de $\text{MARNP}_2\text{NMe}\Phi$	156
A.1	Spectres RPE des glycocomplexes de Co(II)	220
A.2	Spectre RPE des complexes de Mn(II) des ligands LyxP_3 et $\text{Rib}^{\text{all}}\text{P}_3$	221
A.3	Conformations des monosaccharides	231
A.4	Formation du formazan dérivé du NBT.	233

Liste des tableaux

2.1	Rayons cristallins des cations métalliques étudiés dans le cadre de cette thèse	51
2.2	Distances et angles de coordination des complexes des ligands $\text{Gal}^{\text{it}}\text{P}_3$ et $\text{Gal}^{\text{dOMe}}\text{P}_3$	56
2.3	Distances et angles de coordination le complexe de Mn(II) du ligand LyxP_3	59
2.4	Distances et angles de coordination des complexes du ligand LyxP_3	59
2.5	Distances et angles de coordination des complexes du ligand MAGP_3	62
2.6	Comparaison des distances interoxygène des complexes hexacoordonnés des glycoligands	65
2.7	Paramètres de <i>puckering</i> pour les glycocomplexes triéther.	66
2.8	Statistiques dans la banque de données du CCDC	68
2.9	Angles azimutaux pour les glycocomplexes à site de coordination de type 1,2,4-butanetriol	70
2.10	Comparaison des caractéristiques structurales pour les complexes du ligand RibP_3	72
2.11	Distances et angles de liaison dans les complexes du ligand RibP_3 1.	74
2.12	Distances et angles de liaison dans les complexes du ligand RibP_3 2.	75
2.13	Distances et angles de liaison dans les complexes du ligand RibP_3 3.	75
2.14	Distances et angles de coordination du complexe de Co(II) du ligand ManP_3Bn	77
2.15	Glycocomplexes de Co(II) : caractéristiques des spectres de dichroïsme circulaire	86
2.16	Glycocomplexes de Ni(II) : caractéristiques des spectres de dichroïsme circulaire.	87
2.17	Étude RMN de du complexe de Zn(II) de RibP_3 1.	93
2.18	Étude RMN de du complexe de Zn(II) de RibP_3 2.	93
2.19	Paramètres thermodynamiques issus des titrages microcalorimétriques	100
3.1	Distances et angles de coordination du complexe de Cu(II) du ligand MAXP_3	123
3.2	Distances et angles de coordination du complexe de Cu(II) du ligand MARP_3	124
3.3	Distances et angles de coordination du complexe de Cu(II) du ligand proP_3	126
3.4	Voltammétrie cyclique des complexes de Cu(II) de MAXP_3 , MARP_3 et proP_3	127

3.5	RPE des complexes de Cu(II) de MAXP₃ , MARP₃ et proP₃	129
3.6	Spectres Vis et CD des complexes de Cu(II) des ligands MAXP₃ , MARP₃ et proP₃	132
4.1	La réaction de Haber-Weiss et ses étapes élémentaires.	137
4.2	Distances et angles de liaison dans le complexe de Mn(II) du ligand MARNP₂NMeΦ	150
A.1	Données cristallographiques : complexe de Co(II) du ligand ManP₃Bn	225
A.2	Données cristallographiques : complexes de Gal^{dOMe}P₃ et Gal^{it}P₃	225
A.3	Données cristallographiques : complexes de LyxP₃	226
A.4	Données cristallographiques : complexes de MAGP₃	227
A.5	Données cristallographiques : ligand RibP₃ et ses complexes	228
A.6	Données cristallographiques : complexes de MAXP₃ , MARP₃ et proP₃	229

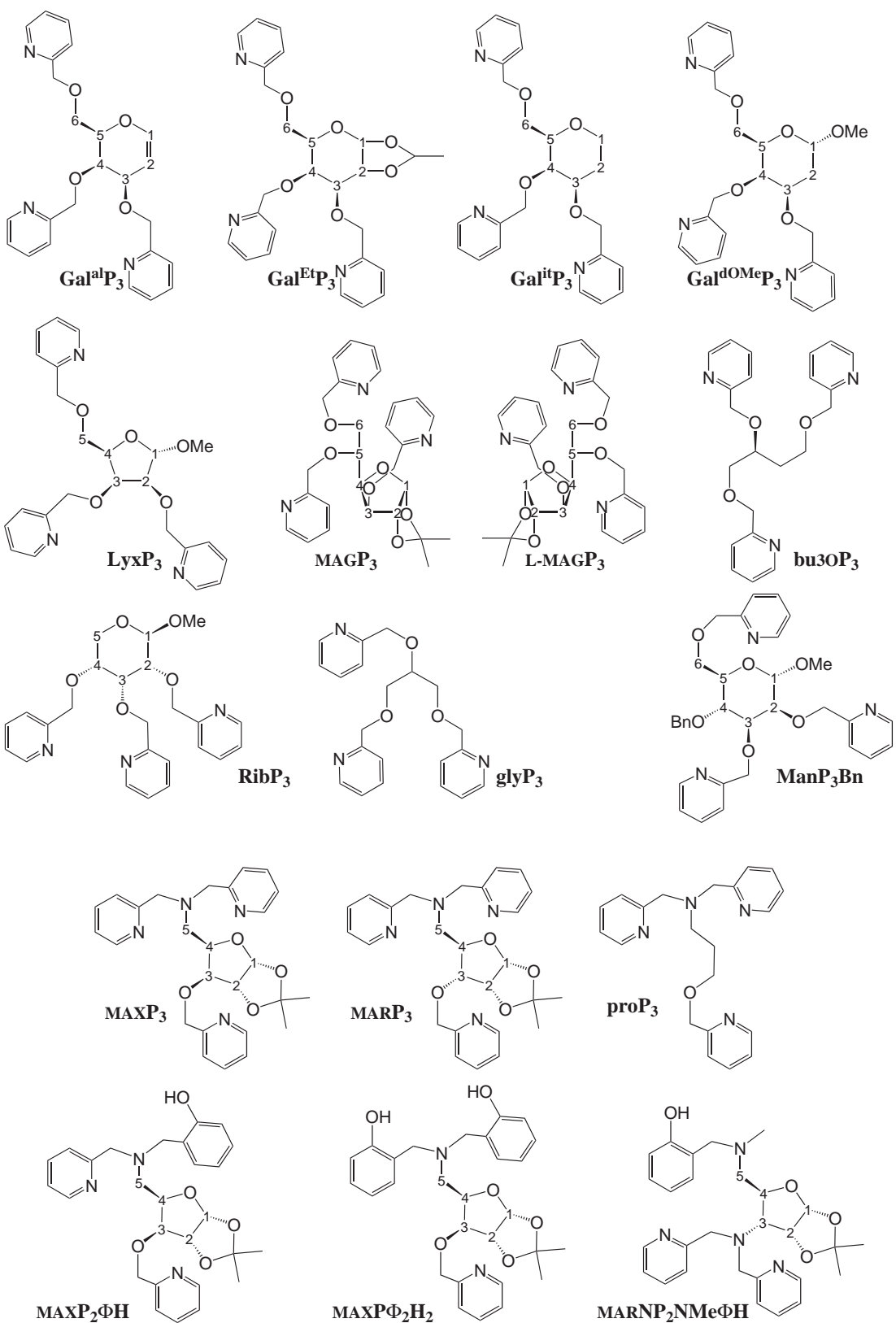
Liste des abréviations

anh.	anhydre
ACN	acétonitrile
ax-éq-ax	site 1,2,3-axial-équatorial-axial dans les polyols cycliques
bipy	2,2'-bipyridine
CCDC	<i>Cambridge crystallographic data centre</i>
CD	<i>circular dichroism</i> – Dichroïsme circulaire
CH	cyclohexane
cyt c	cytochrome c
DCE	1,2-dichloroéthane
DMSO	diméthylsulfoxyde
ECS	électrode au calomel saturé
H ₄ EDTA	acide 1,2-éthanediamino- <i>N,N,N',N'</i> -tétraacétique
ENH	électrode normale à hydrogène
enPI ₂ H	<i>N,N'</i> -di-(<i>N</i> -méthyl-imidazol-2-yl)- <i>N</i> -(2-hydroxybenzyl)-1,2-éthanediamine
IC ₅₀	<i>50% inhibitory concentration</i> – Concentration d'inhibition à 50%
imidazylate	imidazol-3-yl-sulfonate
IR	infrarouge
ITC	<i>isothermal titration calorimetry</i> – calorimétrie de titrage isotherme
LMCT	<i>ligand to metal charge transfer</i> – transfert de charge du ligand au métal
NBT	nitrobleu de tétrazolium
NC	nombre de coordination ou coordinence
ox	oxalate
p. atm.	pression atmosphérique
2-picolyne	méthyl-pyridin-2-yl
PBC	pyramide à base carrée
PIPES	acide pipérazine- <i>N,N'</i> -éthanesulfonique
py	pyridine
RMN	résonance magnétique nucléaire
ROS	<i>reactive oxygen species</i> – espèce réactive oxygénée
RPE	résonance paramagnétique électronique
salen	<i>N,N'</i> -di(salicylidénato)-1,2-diaminoéthane
SM-ES	spectrométrie de masse en mode d'ionisation électrospray
SOD / SODm	superoxyde dismutase / mime de SOD
TA	température ambiante
TBDMS	<i>tert</i> -butyldiméthylsilyle
TBDPS	<i>tert</i> -butyldiphénylsilyle
tpen	<i>N,N,N',N'</i> -tetra-(2-picolyne)-1,2-éthanediamine
tpoen	<i>N,N'</i> - <i>O</i> -tri-2-picolyne-éthanolamine
tren	tri-(2-éthylamino)-amine
trisphat	tris(tetrachlobenzènediolato)phosphate(v)
UV-vis	ultraviolet et visible
VC	voltammétrie cyclique

Nom systématique des ligands synthétisés

bu3OP₃	(<i>S</i>)- <i>O</i> , <i>O'</i> , <i>O''</i> -tri-(2-picolyl)-1,2,4-butanetriol
Gal^{al}P₃	3,4,6-tri- <i>O</i> -(2-picolyl)-D-galactal
Gal^{Et}P₃	1,2- <i>O</i> -éthylidène-3,4,6-tri- <i>O</i> -(2-picolyl)- α -D-galactopyranose
Gal^{it}P₃	1,5-anhydro-2-désoxy-3,4,6-tri- <i>O</i> -(2-picolyl)-D-galactitol
Gal^{dOMe}P₃	2-désoxy-3,4,6-tri- <i>O</i> -(2-picolyl)- α -D-galactopyranoside de méthyle
glyP₃	<i>O</i> , <i>O'</i> , <i>O''</i> -tri-(2-picolyl)-glycérol
LyxP₃	2,3,5-tri- <i>O</i> -(2-picolyl)- α -D-lyxofurannoside de méthyle
ManP₃Bn	4- <i>O</i> -benzyl-2,3,6-tri- <i>O</i> -(2-picolyl)- α -D-mannopyranoside de méthyle
MAGP₃	1,2- <i>O</i> -isopropylidène-3,5,6-tri- <i>O</i> -(2-picolyl)-D-glucofurannose
L-MAGP₃	1,2- <i>O</i> -isopropylidène-3,5,6-tri- <i>O</i> -(2-picolyl)-L-glucofurannose
MAXP₃	5-amino-5-désoxy-1,2- <i>O</i> -isopropylidène-5-di- <i>N</i> -(2-picolyl)-3- <i>O</i> -(2-picolyl)- α -D-xylofurannose
MAXP₂ΦH	5-amino-5-désoxy-5- <i>N</i> -(2-hydroxybenzyl)-1,2- <i>O</i> -isopropylidène-5- <i>N</i> -(2-picolyl)-3- <i>O</i> -(2-picolyl)- α -D-xylofurannose
MAXPΦ₂H₂	5-amino-5-désoxy-5-di- <i>N</i> -(2-hydroxybenzyl)-1,2- <i>O</i> -isopropylidène-3- <i>O</i> -(2-picolyl)- α -D-xylofurannose
MARP₃	5-amino-5-désoxy-1,2- <i>O</i> -isopropylidène-5-di- <i>N</i> -(2-picolyl)-3- <i>O</i> -(2-picolyl)- α -D-ribofurannose
MARNP₂NMeΦH	3,5-diamino-3,5-didésoxy-5- <i>N</i> -(2-hydroxybenzyl)-1,2- <i>O</i> -isopropylidène-5- <i>N</i> -méthyl-3-di- <i>N</i> -(2-picolyl)- α -ribofurannose
proP₃	<i>N,N,O</i> -tri-(2-picolyl)-3-aminopropanol
RibP₃	2,3,4-tri- <i>O</i> -(2-picolyl)- β -D-ribofuranoside de méthyle

Ligands discutés dans le cadre de ce travail



CHAPITRE 1

Introduction

1.1 Définition du sujet

Le sujet de cette thèse est la synthèse et la caractérisation de nouveaux complexes de cations de métaux de transition *3d* avec des ligands construits autour de structures centrales dérivées de monosaccharides. Ces dernières sont fonctionnalisées par des bases de Lewis et sont choisies de façon à obtenir des complexes mononucléaires. Nous appellerons ces sucres fonctionnalisés *glycoligands* et leurs complexes *glycocomplexes*.

Objectifs de départ

Les ligands synthétisés dans le cadre de ce travail font partie d'une famille originale développée depuis peu au laboratoire¹. Les premiers glycoligands de cette famille intègrent dans la sphère de coordination de leur cation hôte trois fonctions éther de 2-picolyle (ligands « triéther ») dérivant des hydroxyles du « châssis sucré ». Les résultats cristallographiques obtenus avant le début de ce travail pour les complexes des deux premiers glycoligands ligands de type triéther laissent penser à un contrôle de la géométrie et de la stéréochimie de la sphère de coordination des complexes par la structure centrale « sucrée ». Celle-ci est chirale et présente une liberté conformationnelle restreinte. Le premier objectif de départ de cette thèse est donc la compréhension, au niveau fondamental, des caractéristiques des glycoligands « triéther », à travers la synthèse et l'étude structurale et spectroscopique de nouveaux complexes de cette famille. Deux questions ont particulièrement attiré notre attention :

1. La stéréochimie de l'édifice complexe, et en particulier de la sphère de coordination, est-elle contrôlée par le « châssis sucré » ?
2. La sphère de coordination est-elle préorganisée dans cette famille de complexe ?

Nous verrons comment, dans la famille des glycocomplexes de type triéther, l'imbrication de la sphère de coordination et du squelette monosaccharidique fait que les réponses à ces deux questions ne sont pas indépendantes.

Parallèlement, le second objectif de départ cette thèse est la synthèse d'un complexe de manganèse à activité de type superoxyde dismutase utilisant un ligand construit par fonctionnalisation d'un monosaccharide. Cette étude profite de l'expérience du laboratoire dans le domaine des mimes de superoxyde dismutase et s'inscrit dans un projet plus ambitieux visant à démontrer l'intérêt de l'utilisation des sucres comme plateformes fonctionnalisables en chimie bioinorganique à visée thérapeutique. Dans le cadre de ce projet, il serait souhaitable de synthétiser un complexe alliant une grande activité à une stabilité et/ou une inertie suffisante(s) pour permettre son étude *in vivo*.

¹Ce travail a débuté lors de la thèse de François Bellot, soutenue en décembre 2005.

1.2 Contexte historique

La chimie des sucres et la chimie de coordination, bien qu'elles soient des spécialités très répandues dans le paysage de la recherche contemporaine en chimie, sont des domaines possédant une intersection plutôt réduite. Ceci mérite d'être abordé du point de vue de l'histoire de ces deux disciplines.

L'histoire de ces deux domaines de recherche débute de façon quasi-simultanée, dans la période 1885-1910, avec les travaux d'Emil Fischer (prix Nobel de chimie 1902) pour la glycochimie et d'Alfred Werner (prix Nobel de chimie 1913) pour la chimie de coordination. Avant les contributions de ces deux savants, leurs domaines de recherche respectifs n'avaient pu être décrits de façon satisfaisante et paraissaient d'une difficulté conceptuelle défiant l'entendement humain^{[1]2}. Aussi bien Werner que Fischer se sont distingués parmi leurs contemporains pour avoir réussi à jeter les bases de nouvelles spécialités de la chimie. Ils ont utilisé des résultats expérimentaux, fondés, en bonne partie, sur le dénombrement d'isomères et l'activité optique, obtenus avec les outils rudimentaires de l'époque (mesure du point de fusion, analyse élémentaire, mesure du pouvoir rotatoire, tests caractéristiques)^[3, 4].

Le concept clé à partir duquel Werner et Fischer ont construit les paradigmes qu'ils ont élaborés est celui de la chiralité au niveau moléculaire. Ce dernier avait été révélé depuis peu, en 1874, avec la notion de « carbone asymétrique » développée par Van't Hoff (dans le livre *La chimie dans l'espace*) et Le Bel. L'idée de carbone asymétrique a permis à Fischer de synthétiser l'ensemble des monosaccharides naturels ainsi que de prévoir l'existence puis de synthétiser les monosaccharides artificiels. Elle a également inspiré Werner, qui l'a adaptée aux atomes métalliques. À partir du nombre d'isomères possibles, il a pu déduire la nature octaédrique d'une grande partie des complexes métalliques^[5], ce qui a abouti à l'abandon de la théorie alors utilisée en chimie des éléments métalliques, la théorie des chaînes^[4]. Il est à noter que la synthèse asymétrique (terme introduit par Fischer en 1894) fut une des grandes activités de recherche de l'équipe de Werner puisque la synthèse de paires d'énantiomères de complexes de ligands chélatants était une preuve indirecte de la nature octaédrique des complexes^[4]. Werner et ses collaborateurs dédoublèrent le premier racémique d'un complexe de coordination en 1911^[6, 7], et, trois ans plus tard, ils renouvelèrent leur succès avec un complexe purement inorganique^[8, 7] (voir plus bas, figure 1.17). De plus, peu après la mort de Werner, un de ses anciens collaborateurs, Smirnoff, synthétisa en 1921 le premier complexe avec un ligand chiral (pn : 1,2-diaminopropane) sous forme non racémique. Il prouva, par des mesures de pouvoir rotatoire, qu'il avait réalisé une synthèse stéréosélective de diastéréoisomères des complexes $[\text{Pt}(\text{pn})_2\text{Cl}_2]^{2+}$ et $[\text{Pt}(\text{pn})_3]^{4+}$ ^[9, 7].

Les travaux de Werner et de Fischer ont donc été fondateurs de nouvelles disciplines :

²L'adjectif « complexe » pour des sels comme $\text{Co}[(\text{NH}_3)_6]\text{Cl}_3$ dérive de cette situation de faible adéquation des cadres théoriques de l'époque aux faits expérimentaux^[2].

la chimie de coordination et la glycochimie, respectivement. À la suite de ceux-ci, les histoires des deux disciplines ont suivi des évolutions différentes. En effet, d'une part, le cadre théorique développé par Fischer et ses successeurs était suffisant, en combinaison avec les techniques expérimentales de l'époque, pour une investigation fructueuse dans le domaine de la chimie des monosaccharides puis des oligo- et polysaccharides^[1]. D'autre part, dans le domaine de la chimie de coordination, il manquait une théorie pour décrire la nature des liaisons dans les complexes. En même temps, le caractère exhaustif des travaux de Werner et de ses collaborateurs a pu donner l'impression qu'il n'y avait plus rien à découvrir dans ce domaine^[1].

Quoi qu'il en soit, pour les deux disciplines, un tournant majeur eut lieu dans l'après-guerre avec l'apparition d'une « nouvelle façon de penser », selon les mots de Ferrier^[10]. Dans le domaine de la glycochimie, celle-ci a été associée avec la considération des conformations des dérivés de sucre (voir par exemple la revue de 1969^[11]). Cette nouvelle vision a été rendue possible par l'introduction, comme technique de routine dans les laboratoires, de la résonance magnétique nucléaire dans les années 1960-1970³, sans oublier l'utilisation du spectromètre de masse et les possibilités offerts par la chromatographie sur colonne comme méthode préparative^[10]. Cette « nouvelle façon de penser » s'est développée assurément également dans le domaine de la chimie inorganique, avec, en plus de la RMN, la généralisation de l'utilisation de la cristallographie aux rayons X et de diverses autres techniques spectroscopiques^[13]. Ce renouveau induisit, par exemple, la création des journaux spécialisés tels que *Inorganic Chemistry* (1962) et *Carbohydrate Research* (1965).

Depuis quelques décennies, les outils instrumentaux sont donc à la disposition des chimistes pour poursuivre des recherches dans le domaine de la chimie de coordination de ligands chiraux synthétiques élaborés. Nous pouvons nous demander pourquoi, dans ce contexte, les sucres, qui constituent la classe de molécules biologiques la plus abondante en masse de la biosphère^[14], n'ont été que très peu utilisés comme matériel de départ pour la synthèse de ligands chiraux pour la synthèse asymétrique de complexes de coordination. Pourtant, cette problématique est, nous l'avons vu, aussi ancienne que la chimie de coordination elle-même ; les sucres naturels sont chiraux et disponibles sous forme énantiopure et l'arsenal synthétique de la glycochimie permet l'introduction de fonctions pouvant servir de ligands sur un dérivé de sucre. Peut être que l'explication est à chercher dans le concept de *traditions de recherche* développé par le sociologue et historien des sciences Thomas Kuhn^[15]. La chimie des sucres et la chimie de coordination, avec chacune plus d'un siècle d'histoire, sont des disciplines constituées dans lesquelles les chercheurs suivent des parcours de formation distincts ce qui aboutit à des cultures scientifiques différentes. Il est donc improbable que des chercheurs

³L'observation du fait que les constantes de couplage $^3J \text{ } ^1\text{H}-^1\text{H}$ des sucres varient avec les angles dièdre intracycliques a été établie dès 1957^[12].

issus de l'un ou l'autre domaine choisissent d'utiliser des concepts, des techniques et des résultats de l'autre discipline, d'où le nombre limité de recherches réalisées dans ce cadre.

1.3 Les diverses classes de complexes de coordination des dérivés de sucres

Afin de faciliter la lecture de ce chapitre introductif, les paragraphes suivants détaillent les diverses classes de composés qui y seront décrits. Dans le cadre de cette introduction de thèse, nous nous sommes limités presque exclusivement à la discussion des complexes mononucléaires.

Complexes formés à partir de sucres non modifiés

Les complexes des sucres avec les cations métalliques sont connus depuis la première moitié du XX^e siècle, bien que les mécanismes de leur formation et leurs structures n'aient pas bien été compris à l'époque. Toutefois, les recherches sur les dérivés de sucres polyhydroxylés se sont heurtées, d'une part, à la faible stabilité des complexes due au faible pouvoir coordonnant des fonctions hydroxyle et, d'autre part, au caractère polyfonctionnel des sucres nécessitant des stratégies de protection-déprotection pour isoler les fonctions hydroxyles chélatantes. Une sélection des travaux de recherche concernant ce sujet sera passée en revue dans le paragraphe 1.4.

Complexes formés à partir de sucres fonctionnalisés

L'idée de former des complexes à partir de dérivés synthétiques de sucres est une idée bien plus récente que celle d'étudier les complexes impliquant des sucres non modifiés. Parmi les complexes obtenus à partir de sucres fonctionnalisés, il faut distinguer les complexes glycoconjugués et les complexes que nous appellerons « sucre-imbriqués ».

Les progrès dans le domaine de la glycobiologie ont eu un impact positif sur les applications médicales des chimies organique et inorganique. Une idée qui s'est largement répandue dans la communauté scientifique est le concept de molécule glycoconjuguée : un dérivé de sucre est greffé à une molécule d'intérêt pharmaceutique afin d'en modifier les propriétés chimiques et/ou biologiques. Dans ce contexte, des ligands et des complexes glycoconjugués ont été conçus. Il s'agit de la fonctionnalisation en un point d'un sucre par un groupement dont les propriétés de coordination sont bien connues. L'utilité des sucres dans le cadre de ces stratégies est de moduler les propriétés de solubilité de complexes (par la présence des fonctions hydroxyle du sucre) pour permettre leur utilisation en milieu aqueux biologique et de mettre à profit l'interaction de certains saccharides avec des récepteurs biologiques spécifiques

pour l'adressage cellulaire des complexes. Une présentation de ces recherches sera faite au paragraphe 1.5.1.

Parallèlement aux recherches concernant les complexes de sucres non modifiés et de ligands glycoconjugués, quelques études ont eu pour objet des complexes « sucre-imbriqué » dans lesquels la partie « sucre » et la partie complexante sont partiellement fusionnées. Au sein de ces entités, il existe des atomes communs aux cycles chélates du complexe et à un cycle pyranosique ou furannosique. Cette approche se fonde sur la synthèse de ligands dans lesquels plusieurs atomes coordonnants (O, N, S, P...), éventuellement fonctionnalisés par des bases de Lewis, sont directement liés à un cycle furannose ou pyranose et définissent la sphère de coordination pour un cation métallique. Elle sera décrite au paragraphe 1.5.2. Une attention particulière sera accordée aux études s'intéressant à la chiralité des édifices obtenus (paragraphe 1.8.3).

1.4 Complexes des sucres et polyols non fonctionnalisés

Les premières recherches à l'interface de la chimie de coordination et de la glycochimie ont consisté dans la complexation de cations métalliques par les fonctions hydroxyle des sucres et leurs dérivés les plus simples (glycosides, acétals cycliques...)[16, 17, 18, 19]. Ces travaux, qui se poursuivent jusqu'à présent[20], sont d'intérêt biologique puisque de tels processus de complexation sont impliqués dans la biodistribution des cations métalliques *in vivo*[21, 22], dans la liaison de substrats de type sucre au site actif d'enzymes (références citées dans [23, 24]) et la complexation des cations métalliques par les chaînes oligosaccharidiques de la paroi cellulaire[19, 25]. Toutefois, ces études se sont heurtées à des difficultés d'isolation (en particulier sous forme cristalline) des complexes, du fait du faible pouvoir coordonnant des fonctions OH et du caractère hygroscopique des complexes étudiés. L'isolation de complexes discrets, en particulier mononucléaires, est difficile[18, 19, 26, 22] en raison de la multifonctionnalité des monosaccharides. Ceci induit ce que ci a été appelé par Yano *et al.* la « flexibilité thermodynamique » de la chélation par les monosaccharides[27] qui cause la formation non contrôlée de différents édifices mono- ou oligonucléaires en solution. Ensuite, les complexes polyol-cation métallique sont souvent très hygroscopiques. Dans le cas particulier des complexes des sucres non fonctionnalisés, il existe, de plus, différentes formes cycliques à l'équilibre en solution *via* la forme ouverte. Finalement, le caractère oxydable des sucres est également une entrave dans leur utilisation comme complexants[28].

1.4.1 Pouvoir coordonnant des polyols et sites de coordination privilégiés

Le fait que de nombreux sucres forment des adduits cristallins est connu depuis le XIX^e siècle^[19]. Certains de ces adduits ont vu leur structure cristalline résolue avant les années 1960 : une revue avec 172 références bibliographiques concernant les complexes métalliques (principalement de cations alcalins et alcalino-terreux) des sucres a été publiée en 1966^[16]. Mais, comme le souligne Angyal, un des pères du domaine de la chimie de coordination des sucres et polyols⁴, l'empilement dans le cristal est souvent basé sur des liaisons hydrogène entre différentes molécules du sucre. Ces liaisons ne sont pas maintenues en solution dans les solvants protiques. L'obtention d'une structure cristalline d'un complexe sucre-cation métallique ne prouve donc pas que le complexe est présent en solution et ne donne pas d'information sur sa stabilité^[19].

Jusque dans les années 1960, les questions suivantes restaient en suspens :

- Quels sont les sucres qui forment des complexes ?
- Quelles sont les caractéristiques conformationnelles et stéréochimiques requises ?
- Quelle est la structure des complexes et leur stabilité ?

Pour répondre à ces questions, deux techniques ont été utilisées successivement, principalement par l'équipe d'Angyal^[17, 18, 19], l'électrophorèse sur papier et la RMN. Bien que ces travaux soient assez anciens, ils continuent de faire autorité dans le domaine de la compréhension de la complexation des sucres^[22].

Comme bien souvent en chimie, la compréhension au niveau moléculaire de l'interaction sucre-métal a résulté d'une découverte fortuite suivie d'études systématiques. Mills a découvert en 1966 que les sucres et les polyols avaient un certain pouvoir coordonnant en solution car, dans une expérience d'électrophorèse sur papier, ils migraient vers la cathode en présence d'ions Ca^{2+} ^[29]. Angyal s'est aperçu que le polyol qui migrait le plus en présence de calcium était le *cis*-inositol, suivi par l'*épi*-inositol. Ces deux polyols sont présentés dans la figure 1.1.

Le *cis*-inositol possède un arrangement de 3 hydroxyles 1,3,5-triaxiaux, alors que, dans l'*épi*-inositol, 3 hydroxyles adjacents sont dans un arrangement axial-équatorial-axial (ax-éq-ax). En raison d'une difficulté plus grande à rapprocher les 3 atomes d'oxygènes, le site ax-éq-ax est adapté aux cations avec un rayon supérieur à 0,8 Å, alors que le site 1,3,5-triaxial s'accommode également de cations de rayon compris entre 0,6 et 0,8 Å⁵. Le site 1,3,5-triaxial n'existe pas dans les dérivés de sucres, mais le site ax-éq-ax est largement répandu dans les formes pyranose des monosaccharides. La mobilité électrophorétique des pyranoses pos-

⁴Stephen J. Angyal est un « petit-fils » chimique d'Emil Fischer. Il a, en effet, commencé sa carrière scientifique sous la direction de Geza Zemplén qui fit un séjour postdoctoral avec Fischer.

⁵Pour la discussion à ce sujet, voir la section 2.4.4.

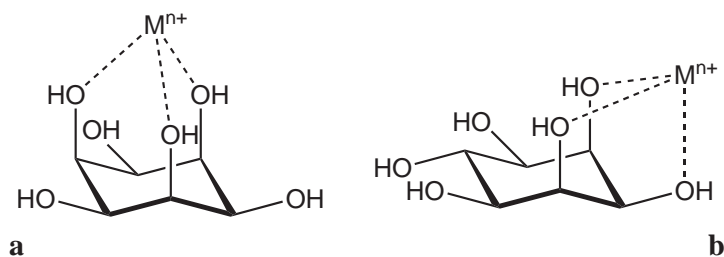


FIG. 1.1 – Les deux inositols (**a** : *cis*, **b** : *épi*) ayant permis d’élucider la nature des sites de chélation des polyols, représentés dans leur conformation la plus stable.

sédant ce site a confirmé les prédictions d’Angyal ainsi que des études de modification des déplacements chimiques en RMN du proton^[30, 31] et du carbone-13^[32] en présence de cations de métaux diamagnétiques et paramagnétiques. En analysant les mobilités électrophorétiques des furannoses, Angyal a découvert également qu’un autre site existait ; dans le cas des furannoses, trois hydroxyles adjacents *cis-cis* peuvent jouer également le rôle de site chélatant puisque la flexibilité conformationnelle des furannoses est telle que ces trois hydroxyles peuvent adopter facilement un arrangement pseudoaxial-pseudoéquatorial-pseudoaxial. Les complexes d’Al(III) du D-ribose, dont les différentes formes furannosiques et pyranosiques contiennent les sites de chélation que nous venons de décrire, ont été passés en revue^[33]. Relevons aussi que dans le cas du lyxofurannose (voir la figure 1.23), certains auteurs ont postulé que la fonction hydroxyméthyle exocyclique pouvait contribuer à la complexation^[34], bien que ceci n’ait jamais été observé dans une structure cristallographique.

Notons finalement que les diols 1,2-*cis* et 1,2-*trans* substituant des cycles à 6 chaînons possèdent également un faible pouvoir complexant, alors que dans le cas des cycles à 5 chaînons, seuls les diols *cis* possèdent une faible aptitude à la complexation. Une représentation imagée de la force relative des sites de coordination présents dans les polyols cycliques est présentée dans la figure 1.2.

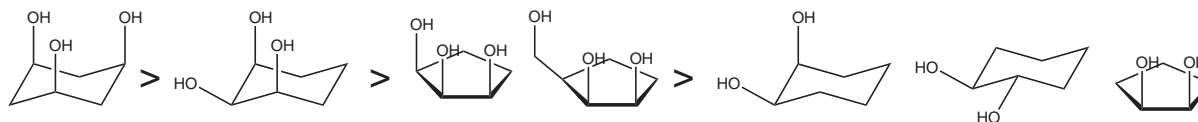


FIG. 1.2 – Comparaison du pouvoir coordonnant de différents sites présents dans les polyols cycliques.

Une fois que la nature des sites de coordination des monosaccharides a été élucidée, Angyal *et al.* se sont attachés à la synthèse et la caractérisation cristallographique d’un complexe pentadente de l’*allo,allo*-trehalose^[35]. Ce disaccharide possède trois oxygènes dans un motif 1,2,3-axial-équatorial-axial sur les deux unités du sucre de telle façon qu’il peut

jouer le rôle de ligand pentadente. La sphère de coordination est complétée par 4 molécules d'eau (figure 1.3).

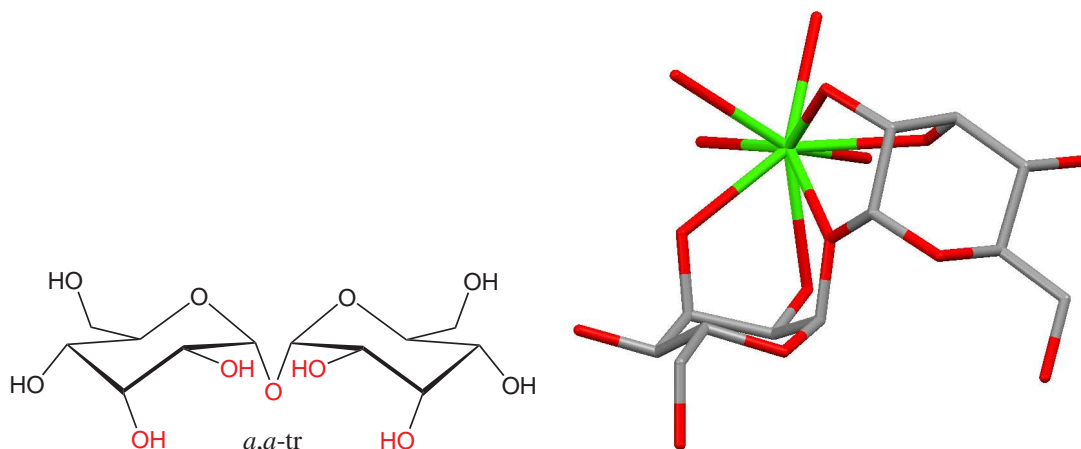


FIG. 1.3 – L'*α,α*-trehalose (*a,a-tr*) et la structure du complexe $[\text{Ca}(\text{a,a-tr})(\text{H}_2\text{O})_4]^{2+}$ obtenue par diffraction des rayons X^[35]. Les atomes d'oxygène se coordonnant au calcium sont en rouge dans le schéma moléculaire.

Les constantes de formation des complexes métalliques de ces polyols dans l'eau sont faibles, puisque l'eau elle-même est un ligand compétitif au vu du faible pouvoir coordonnant des polyols. Une étude systématique a été menée dans la famille des lanthanides : la valeur estimée de la constante de formation du complexe 1:1 Ln-*cis*-inositol n'est que de 10 dans le cas du cation métallique présentant le rayon le plus adapté au ligand, le Nd(III). Les constantes de stabilité sont plus élevées dans des solvants de type alcool^[18, 19].

Application en synthèse : glycosides en conditions de Fischer modifiées

En présence de sels métalliques (alcalino-terreux, lanthanides), la répartition à l'équilibre des différentes formes cycliques (α/β -furanose/pyranose) est modifiée en faveur des formes présentant un site ax-éq-ax dans une conformation de basse énergie. Par exemple, le D-allopyranose possède un site ax-éq-ax dans sa forme α , mais pas dans sa forme β (figure 1.4a). La répartition à l'équilibre des deux formes est modifiée en présence de cations métalliques en faveur de la forme α dans le cas de ce sucre^[18].

Ceci peut être exploité pour la synthèse de glycosides dans les conditions de Fischer (monosaccharide + alcool + acide) modifiées par l'ajout de sels métalliques. Par exemple, dans les conditions usuelles de glycosylation du D-ribose avec le méthanol, l' α -D-ribofuranoside de méthyle ne se forme pratiquement pas, mais il peut être isolé avec un rendement de 69% en présence de chlorure de calcium^[36] (figure 1.4b). D'autres applications en synthèse de la complexation des sucres aux cations métalliques peuvent être trouvées dans le cadre de

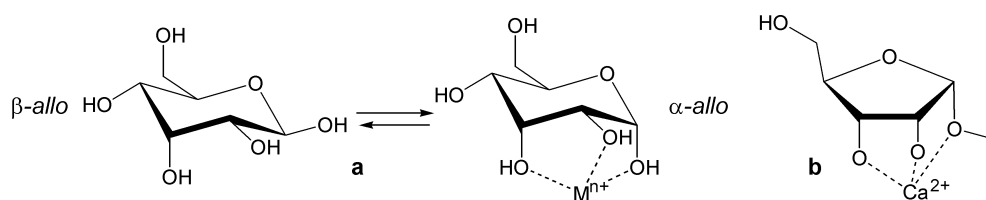


FIG. 1.4 – Équilibres modifiés par la présence de cations métalliques. **a** : les deux D-allopyranoses. Seule la forme α contient un site de chélation ax-éq-ax. **b** : complexe de calcium de l' α -D-ribofurannoside de méthyle (voir texte).

l'étude de l'épimérisation en C2 des aldoses catalysée par des ions métalliques, en particulier le Ca^{2+} [37].

Purifications sur colonnes échangeuses d'ions

La purification des sucres sur colonne échangeuse d'ions chargée cations de métaux alcalino-terreux ou de lanthanides est une technique utile pour la purification des sucres puisque l'ordre d'éluion est prévisible *a priori* en estimant le pouvoir coordonnant des dérivés à séparer (voir à ce sujet une publication récente de Angyal[20] et les références qui y sont citées). L'utilisation de conditions optimisées (choix du cation métallique en fonction de la séparation) peut permettre de simplifier des procédures synthétiques en séparant des mélanges de polyols. Un exemple consiste en l'utilisation d'une purification sur colonne de Nd(III) dans la synthèse en une étape du L-ribose à partir du L-arabinose[38] (ce dernier est un composé naturel abondant).

Polyols déprotonnés

Les sucres et polyols *déprotonnés* forment également, en solution protique, de nombreux complexes mononucléaires et oligonucléaires des cations métalliques, pourvu que la déprotonation du ligand soit facilitée par une acidité de Lewis suffisante du cation métallique[39]. Du fait de la nature chargée des ligands, les liaisons métal-oxygène sont plus courtes et les complexes sont considérablement plus stables que les complexes des polyols neutres. La nature des complexes en solution et en phase solide peut être influencée par la stéréochimie du sucre choisi[34, 24]. Par exemple, des édifices supramoléculaires intéressants peuvent être obtenus à partir de cyclodextrines[40].

La chimie des complexes des polyols déprotonnés peut aboutir à la formation d'un grand nombre d'espèces en fonction du pH. Quelques unes parmi celles-ci ont été étudiées par EXAFS et XANES[41]. La capacité de former des liaisons hydrogène des hydroxyles non déprotonnés peut aboutir à une organisation supramoléculaire en phase cristalline[39]. Dans le cadre de cette thèse, nous allons discuter des ligands offrant la coordination d'atomes

d'oxygène neutres au centre métallique. Nous ne continuerons donc pas la discussion de ces complexes polyolate-cation métallique.

Sucres et polyols dans des complexes incluant également d'autres types de ligands

Steinborn a passé récemment en revue^[28] les complexes organométalliques de métaux du groupe du platine. Comme les complexes des métaux de ce groupe ont des applications en catalyse homogène, l'utilisation de sucres non fonctionnalisés comme ligands stéréogènes dans des solvants non coordonnants pourrait s'avérer intéressante dans le domaine de la catalyse asymétrique. Parmi les travaux qui sont mentionnés dans cette revue, deux types de structures sont pertinents pour la présente discussion (figure 1.5).

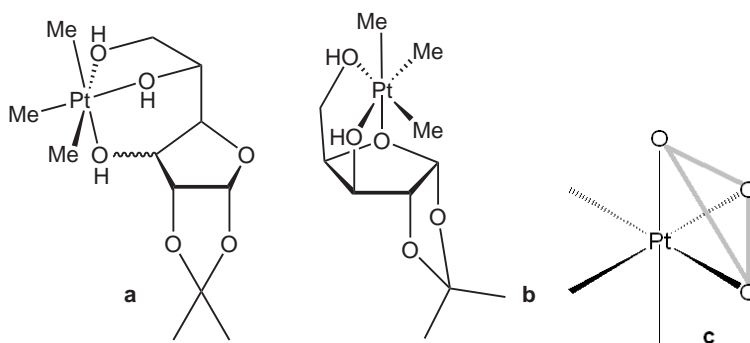


FIG. 1.5 – Complexes organométalliques de Pt(IV) **a** : avec des dérivés 1,2-*O*-isopropylidène- α -D-hexofurannose de configuration *allo* et *gluco*. **b** : avec le 1,2-*O*-isopropylidène- α -D-xylofurannose (liaison de l'atome d'oxygène intracyclique au Pt). **c** : caractère facial de la coordination des oxygènes.

Les auteurs de la revue soulignent le caractère de coordination obligatoirement faciale des triols monosaccharidiques présentés dans la figure 1.5⁶.

Après ces exemples impliquant la formation de complexes mononucléaires, nous pouvons relever une étude récente par Striegler et Dittel qui met en évidence la liaison de monosaccharides à un site dinucléaire de Cu(II)^[43]. Des complexes étudiés dans le cadre de cette étude sont présentés dans la figure 1.6. Nous pouvons constater que la disposition équatoriale-axiale-équatoriale d'un 1,2,3-triol est favorable à la complexation à un système dinucléaire et non à un seul cation métallique comme pour le site 1,2,3-triol axial-équatorial-axial.

⁶De même, Klüfers *et al.* ont récemment publié un complexe du fragment $\text{Re}(\text{CO})_3$ présentant une coordination faciale du β -D-ribopyrannoside de méthyle en conformation 1C_4 sous forme déprotonnée (site 1,2,3 ax-éq-ax)^[42].

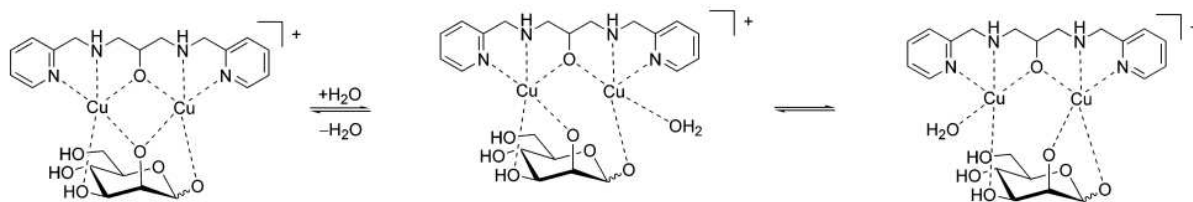


FIG. 1.6 – Complexe dinucléaire de Cu(II) reconnaissant le D-mannose : liaison avec le motif triol éq-ax-éq en 1,2,3 (figure tirée de [43]).

1.4.2 Complexes formés par les aminodésoxy-sucres

Les aminodésoxy-sucres sont très répandus dans la nature et en synthèse^[44]. La présence de fonctions amine augmente la stabilité des complexes et facilite l'isolation d'espèces définies^[25]. Comme les groupements amine ont un pouvoir coordonnant beaucoup plus élevé que les alcools, l'énergie de complexation peut être suffisamment grande pour imposer un changement conformationnel d'un cycle pyranosique, en particulier dans le cas où il n'y a pas de substituant en C5 (cas des pentopyranoses).

Cette propriété a été utilisée dans deux exemples montrés dans la figure 1.7^[45, 46]. Les unités centrales de type 2,4-diamino-2,4-didésoxy- β -D-xylopyranoside présentent comme conformation la plus stable la chaise 4C_1 ⁷. L'autre conformation chaise (1C_4) présente une stabilisation due à l'effet anomérique et n'est pas déstabilisée par la présence d'un substituant axial en C5 comme les chaises 1C_4 des hexopyranoses^[47, 48]. Il en résulte une faible différence d'énergie entre les deux conformations chaise, ce qui permet l'interconversion de ces deux conformations par la chélation d'un ion métallique par les groupements amino en 2,4 qui doivent se trouver nécessairement en position axiale pour former un cycle chélate à six chaînons avec le cation métallique. L'équipe japonaise à l'origine de ce travail souligne la possibilité d'utiliser ces unités qu'elle a nommées « charnière » comme éléments mobiles dans la conception de machines moléculaires^[49, 46, 45].

⁷Dans le cas des monosaccharides la notation conformationnelle utilise, selon les règles de l'IUPAC, la numérotation des carbones du cycle des monosaccharides. 1C_4 signifie une conformation chaise dans laquelle le carbone 1 est au dessus et le carbone 4 est au dessous du plan moyen du cycle monosaccharidique. Dans la série D le cycle est représenté conventionnellement en plaçant C1 et C4 dans le plan de la feuille et l'atome d'oxygène intracyclique derrière ce plan. Voir l'annexe A.6.2 pour des rappels sur les conformations des monosaccharides.

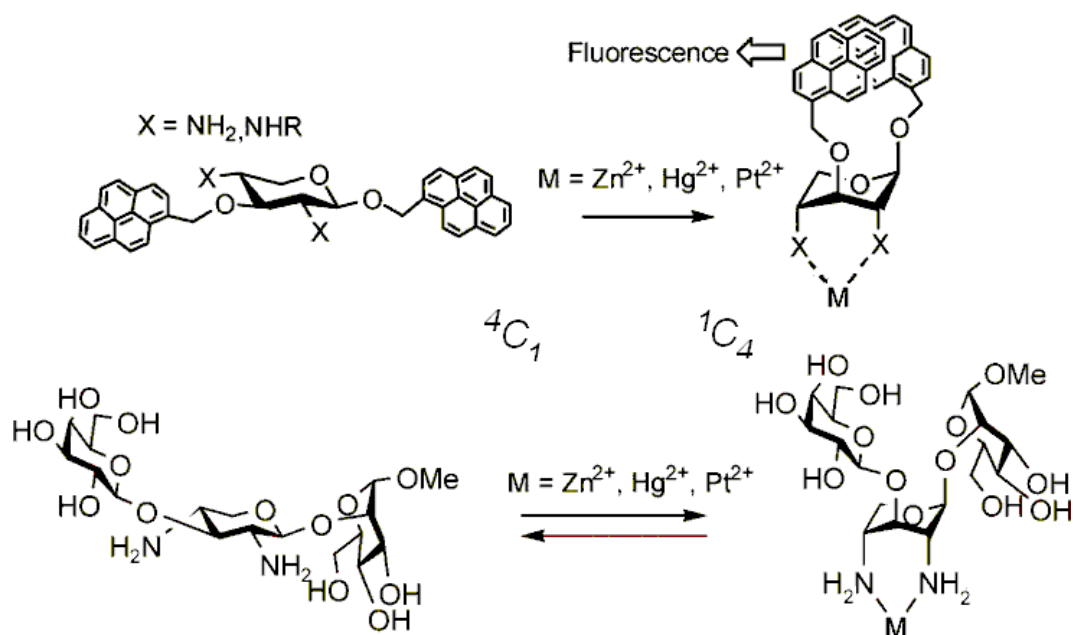


FIG. 1.7 – Changement conformationnel induit par la complexation de dérivés de type 2,4-diamino-2,4-didésoxy- β -D-xylopyranoside. En haut : un signal de fluorescence d'excimère du pyrène est observé après complexation. Le π -stacking des unités pyrène favorise le passage à la forme 1C_4 (tiré de [45]). En bas, le fragment « charnière » est introduit comme unité centrale d'un trisaccharide (tiré de [46]).

1.5 Complexes formés par des sucres fonctionnalisés

Comme nous l'avons mentionné dans la section 1.2, la glycochimie est une branche importante de la chimie organique depuis les travaux de Fischer à la fin du XIX^e siècle. La chimie des sucres est par essence une chimie polyfonctionnelle : la principale difficulté que le glycochimiste se doit de surmonter est la « surfonctionnalisation » des sucres. Il se pose la question : « comment différencier les fonctions hydroxyle ? » C'est cette complexité synthétique qui a découragé les chimistes de coordination désireux de se lancer dans la synthèse de ligands dérivant de sucres. Néanmoins, l'étendue des recherches en glycochimie est telle que celle-ci peut aisément être vue comme une *bibliothèque* de méthodes dans le cadre de laquelle un grand nombre des problèmes synthétiques complexes ont déjà été résolus par des stratégies de synthèse stéréo- et régiosélectives efficaces qui ont été développées se fondant sur des méthodes de protection-déprotection. Pour cette raison, des auteurs issus, pour certains, de la glycochimie et, pour d'autres, de la chimie de coordination, ont entrepris l'étude des complexes formés à partir de ligands contenant des dérivés de sucre. L'étude de cette

chimie a réellement pris son envol dans les années 1980^[50].

Sans vouloir donner une image exhaustive de la littérature dans le cadre du domaine des complexes de dérivés de sucres fonctionnalisés, nous allons nous attarder sur quelques exemples choisis pour représenter les différentes familles de composés.

1.5.1 Complexes glycoconjugués

La première classe de composés que nous allons aborder sont les complexes glycoconjugués. Pour commencer, il est essentiel de définir ce concept. Dans le cadre de cette thèse, les complexes glycoconjugués sont définis comme les complexes dans lesquels il n'y a pas de cycle chélate impliquant des atomes d'un cycle pyranosique ou furannosique⁸. Les recherches dans le domaine des complexes glycoconjugués sont principalement motivées par la perspective d'applications biologiques, facilitées par les avancées récentes dans le domaine de la glycobiologie^[53].

Exemples choisis d'applications biologiques

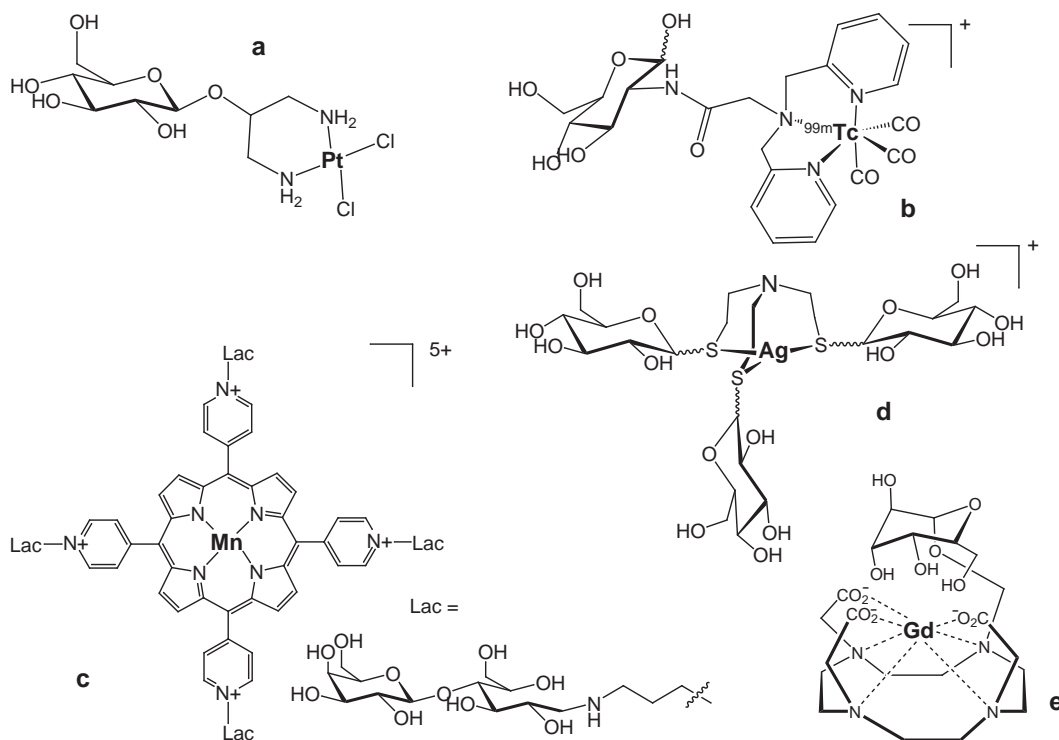


FIG. 1.8 – Exemples de complexes glycoconjugués – Références : a^[54], b^[55], c^[56], d^[57] e^[58].

⁸Nous n'allons pas considérer dans cette discussion les conjugués de cyclodextrines dont les propriétés recherchées dérivent de la cavité hydrophobe de ces oligosaccharides cycliques (voir par exemple^[51, 52]).

Le complexe **1.8a** fait partie d’une série de complexes glycoconjugués basés sur des glycosides dont l’aglycone (substituant en position O1) contient une diamine pouvant chélater le Pt(II)^[54]. Il s’agit d’un complexe archétypique des stratégies utilisant des glycoconjugués en thérapeutique. Dans le cas présenté, la conjugaison à un sucre semble réduire la toxicité des complexes, tout en maintenant l’effet thérapeutique recherché. Ce mécanisme pourrait être dû à une internalisation sélective des complexes par les cellules cancéreuses^[54].

De même, des complexes glycoconjugués d’isotopes métalliques utilisés en radioimagerie (tels que le ^{99m}Tc) sont développés pour le diagnostic des pathologies cancéreuses (ex **1.8b**). La partie sucre améliore la solubilité en solution aqueuse et peut induire des propriétés de reconnaissance cellulaire. Le domaine est très actif comme le montrent les publications récentes par diverses équipes (à titre d’exemple nous pouvons citer les références suivantes [59, 55, 60, 61])⁹.

Le complexe **1.8c** synthétisé par Asayama *et al.* est un complexe porphyrinique de Mn(III). Les porphyrines cationiques de Mn(III) sont connues pour avoir une activité de type superoxyde dismutase (voir les références [63, 64]). Comme la surproduction du superoxyde est associée à de nombreuses pathologies (voir section 4.2.1), le développement de mimes de l’enzyme superoxyde dismutase présentant des propriétés de reconnaissance cellulaire est une voie prometteuse pour des applications thérapeutiques. Asayama *et al.* ont montré que la présence des groupements dérivant du lactose (Lac dans la figure **1.8c**) entraînait une reconnaissance du complexe par des cellules tumorales du foie. Cette reconnaissance est inhibée par le galactose, ce qui confirme que la reconnaissance est assurée par la lectine membranaire hépatique.

Le complexe **1.8d** préparé par Gottschaldt *et al.* est un exemple de tripode glycoconjugué complexant un cation Ag(I)^[57]. Les groupements sucres (β -D-glucopyranose dans l’exemple choisi) greffés sur les atomes de soufre coordonnés au métal rendent les complexes hautement solubles dans l’eau, ce qui est d’intérêt pour les applications de ces complexes en tant qu’antimicrobiens.

Le complexe **1.8e** préparé par Meade et collaborateurs est un complexe de Gd(III) complexé par un ligand macrocyclique. Le Gd(III) est le cation qui possède le spin électronique le plus élevé ($S = \frac{7}{2}$) : il est donc utilisé en imagerie par résonance magnétique (IRM) pour diminuer les temps de relaxation longitudinaux des protons des molécules d’eau présentes dans les tissus biologiques. En utilisant des agents de contraste, la résolution spatiale des analyses par IRM est améliorée^[65]. Du fait de la toxicité des sels de Gd(III), ce cation doit être administré sous la forme de complexes extrêmement stables contenant le plus souvent des

⁹Dans une perspective inversée Sasaki *et al.* ont synthétisé des complexes de Fe(II) hexacoordonnés de monosaccharides conjugués à des ligands bipyridine. Les auteurs ont utilisé la complexation pour assembler dans un espace restreint trois monosaccharides. L’édifice que les auteurs ont obtenu a été reconnu par une lectine, il s’agit donc d’un mime de polysaccharide^[62].

ligands macrocycliques. Parmi les facteurs déterminant l'efficacité d'un agent de contraste (la relaxivité¹⁰), la présence de molécules d'eau en première sphère de coordination du gadolinium est essentielle^[66]. Les résidus dérivant de sucres ont été utilisés comme fonction d'adressage des agents de contraste par interaction avec des lectines (voir par exemple ^[67]). Dans le complexe glycoconjugué 1.8e, l'application originale est la détection de l'activité de l'enzyme galactosidase. En effet, la sphère de coordination du gadolinium est initialement complétée par la coordination des hydroxyles du fragment galactose qui est incorporé dans le ligand. La coupure de ce fragment galactose par l'enzyme fait passer le complexe d'un état de faible relaxivité à un état de forte relaxivité, ce qui permet de visualiser l'activité d'une enzyme particulière. Le travail de Meade *et al.* a été le précurseur d'une grande série d'études dans le domaine de l'imagerie fonctionnelle de l'activité enzymatique par IRM^[65] et inspire toujours des travaux très récents^[68].

Des complexes de Cu(II) de ligands dipicolylamine glycoconjugués seront également décrits plus bas dans le cadre de la discussion sur la synthèse stéréosélective de complexes de coordination (section 1.8.2).

1.5.2 Complexes « sucre-imbriqués »

Sous le terme de complexes « sucre-imbriqués », nous aborderons quelques complexes avec au moins un cycle chélate fusionné avec le cycle du sucre. Cette distinction glycoconjugué/sucre-imbriqué est justifiée par l'influence directe, dans le cadre de cette dernière famille, de la conformation du cycle du sucre sur la géométrie de coordination du cation métallique.

La synthèse de ce type de ligands a connu un intérêt renouvelé dans les dernières années. De nombreux travaux de recherche sur ces sujets ont été relevés dans des revues récentes^[50, 69]. Une autre revue s'est intéressée plus particulièrement aux applications en catalyse asymétrique des complexes contenant des ligands dérivés de sucres^[70]. Parmi les ligands présentés dans ces revues, notons néanmoins que la majorité des travaux rapportés portent sur des ligands de denticité inférieure ou égale à 4 et que les recherches réalisées par de nombreux groupes se sont limitées à l'utilisation d'une position ou de deux positions adjacentes sur un cycle furannosique ou pyranosique, ce qui aboutit à une sphère de coordination à la *périphérie* du squelette sucré.

Études structurales

La monofonctionnalisation d'un sucre par un groupement complexant de faible denticité simplifie la spéciation en solution et facilite la caractérisation structurale des complexes. Les

¹⁰La relaxivité longitudinale r_1 est définie par l'équation suivante : $r_1 = \frac{\frac{1}{T_1} - \frac{1}{T_1^0}}{C}$ où T_1 et T_1^0 sont les temps de relaxation longitudinaux des protons respectivement en présence et en absence de l'agent de contraste et C est la concentration en mol L⁻¹ de l'agent de contraste.

complexes obtenus forment plus facilement un nombre restreint d'espèces stables que les complexes ne présentant que des hydroxyles comme fonctions coordonnantes. Dans les exemples choisis présentés ci-dessous, les hydroxyles attachés au cycle saccharidique et permettant la formation de cycles chélates stables peuvent néanmoins intervenir dans la coordination au métal, avec ou sans déprotonation.

L'équipe de Rao a étudié les ligands contenant des fonctions salicylidèneimine dérivant de la D-glucosylamine (figure 1.9a). La présence de cette fonction complexante a permis l'isolation de complexes de cuivre(II) avec la participation d'une fonction hydroxyle déprotonnée. La formation de cette liaison définit un cycle chélate à 5 chaînons supplémentaire dans le complexe. Les complexes formés sont dinucléaires^[71, 72]. Les auteurs postulent que la nucléarité des complexes est contrôlée par la formation de liaisons hydrogène avec une fonction hydroxyle non impliquée dans la coordination^[72]. Les études cristallographiques de complexes mononucléaires de Zn(II) avec des ligands de cette famille ont mis en évidence une liaison faible ($>2,7$ Å) au métal de l'atome d'oxygène intracyclique ^[73, 74].

Plass *et al.* ont récemment obtenu des complexes tétranucléaires de Cu(II) avec des ligands salicylidèneimine dérivés de la D-glucosamine^[75]. Ces composés sont d'intérêt comme modèles de briques élémentaires de complexes contenant des polysaccharides fonctionnalisés puisque la D-glucosamine est l'unité monomérique du chitosan, qui est un polymère dérivant de la chitine naturelle (composant principal des carapaces des crustacés^[44]). Klemm *et al.* ont obtenu des composés di- et trinucéaires de cuivre similaires à ceux synthétisés par Rao *et al.* en utilisant des ligands de type β -oxo-énamine basés sur des aminosucres^[76] (figure 1.9b) et les ont utilisés comme systèmes mimes de catéchol oxydase^[77, 78].

En substance, les études structurales mentionnées ci-dessus mettent clairement en évidence une influence de la structure monosaccharidique sur l'environnement du cation métallique. Comme les complexes présentent une grande variété de nucléarités et d'environnements de coordination du cation métallique, il est difficile de dire à quel point les propriétés des complexes ont été prédéterminées par la structure du ligand.

L'équipe de Yano a, de son côté, étudié les complexes formés par interaction entre des ligands glycosides de di- et polyamines et les cations métalliques (voir les articles ^[27, 23, 21] et les références incluses). Dans le cas des aldopentoses sous forme pyranosique^[27], l'hydroxyle en 2 participe à la coordination, sauf s'il se trouve en position *trans*-diaxiale par rapport à l'azote en 1 (un exemple de ligand de cette famille est représenté dans la figure 1.9c). La signature en dichroïsme circulaire des complexes de ce type de ligand dépend du monosaccharide choisi et peut être expliquée en invoquant la configuration des atomes de carbone et des arguments sur la stabilité relative des conformations de cycle. Un exemple de complexe d'une famille apparentée avec une amine tripodale comme aglycone sera discuté dans la section 1.8.2.

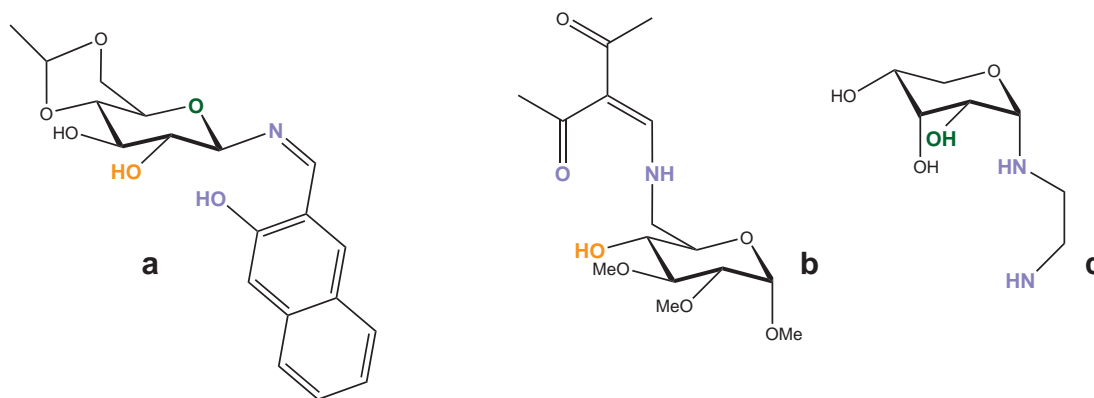


FIG. 1.9 – Ligands permettant d’obtenir des dérivés de type « sucre-imbriqué » pour les études structurales. **a** : ligand dérivé de la β -D-glucosylamine par Rao *et al.* Des complexes dinucléaires de Cu(II) sont formés avec liaison de la fonction hydroxyle en orange sous forme déprotonnée ainsi que des complexes de Zn(II) avec liaison de l’atome d’oxygène intracyclique (en vert). **b** : ligand de type β -oxo-ènamine formant des complexes dinucléaires de cuivre avec liaison de la fonction hydroxyle en orange sous forme déprotonnée^[76]. **c** : ligand synthétisé par Yano *et al.* L’hydroxyle en 2 (en vert) est lié sans déprotonation.

Applications analytiques

Leary *et al.* ont développé une méthode d’analyse par spectrométrie de masse impliquant l’analyse de complexes glycoconjugués de Ni(II)^[79] et Co(II)^[80] et de Zn(II)^[79] semblables à ceux décrits par Yano *et al.*. Ces derniers sont formés par réaction des complexes de ligands polyaminés des cations métalliques que nous venons de mentionner avec des monosaccharides. Les méthodes d’analyse décrites par Leary *et al.* permettent de différencier les monosaccharides selon leur stéréochimie, cette dernière modifiant la composition des produits de fragmentation. Ceci présente l’avantage de nécessiter des quantités très réduites de matière à analyser, qui peut être sous forme impure.

Exemples d’application en catalyse asymétrique

Bien que l’utilisation de ligands de symétrie C_2 , depuis la publication du ligand DIOP par Kagan *et al.*^[81], ait permis de nombreux succès en catalyse asymétrique, les ligands de symétrie C_1 sont appelés à un grand développement du fait de l’augmentation des possibilités synthétiques offertes au chimiste pour adapter le ligand à un problème donné^[82].

Les travaux de l’équipe de Ruffo sont un exemple concernant les applications potentielles des ligands chiraux de symétrie C_1 dérivés de sucres en synthèse asymétrique ^[83, 84, 85, 86, 87]. Des exemples de ligands et complexes sucre-imbriqués synthétisés par l’équipe de Ruffo sont donnés dans la figure 1.10.

Les éléments métalliques utilisés sont le cuivre^[84] (catalyse énantiosélective vis-à-vis

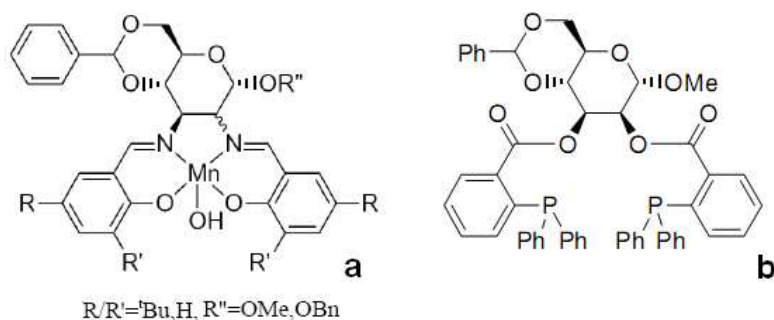


FIG. 1.10 – Complexes et ligands « sucre-imbriqué » synthétisés par Ruffo *et al.* dans le contexte d'applications en catalyse asymétrique **a** : complexes de Mn(III) avec des ligands α -gluco et α -manno de type salen^[85] **b** : ligands α -manno de type phosphinoester^[87].

de la cyclopropanation du styrène), le platine ^[83, 86, 87] (catalyse de la réaction de dissymétrisation d'un *méso*-cyclopent-2-ène-1,4-diol-biscarbamate^[86]), le manganèse^[85] et le vanadium^[88] (avec des ligands de type iminophénolate), pour la catalyse asymétrique d'oxydation.

Les complexes sucre-imbriqués de type Mn(III)-salen se sont révélés être des catalyseurs d'époxydation efficaces et induisant des excès énantiomériques modérés à élevés pour l'époxydation des dérivés du styrène^[85]. Les complexes de configuration *gluco* catalysent l'époxydation asymétrique des dérivés du styrène avec un excès énantiomérique semblable à celui des complexes de type Mn(III)-salen habituellement utilisés ^[89]. Les complexes de configuration *manno* ont abouti à une induction asymétrique moins efficace et à la synthèse des énantiomères de configuration opposée. Les auteurs ont pu formuler des hypothèses pour expliquer ces deux observations en se fondant sur des arguments concernant la structure putative des complexes. Il est à noter que ces résultats sont nettement meilleurs en termes d'excès énantiomérique que ceux obtenus par d'autres auteurs avec des complexes de type Mn(III)-salen glycoconjugués^[90].

Utilisation du sucre comme répartiteur

Le groupe de Crumbliss a conçu des analogues de sidérophores¹¹ dans lesquels trois groupements de type acide hydroxamique (présentant une grande affinité pour le Fe(III) après déprotonation) sont liés à une structure centrale de type monosaccharide^[92, 93] (figure 1.11). Les composés de ce type répondent à notre définition de dérivés sucre-imbriqués, mais la présence d'espaces entre les acides hydroxamiques et le châssis monosaccharidique rend peu vraisemblable une modulation des propriétés de coordination d'un tel ligand par la partie monosaccharidique.

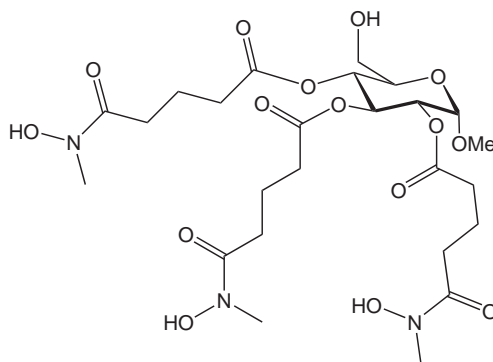


FIG. 1.11 – Exemple d'analogue de sidérophore sucre-centré développé par Crumbliss *et al.*^[93].

¹¹Pour les applications thérapeutiques des analogues de sidérophores, voir la revue récente^[91].

1.6 Glycoligands

Après avoir passé en revue les complexes glycoconjugués et les complexes présentant un site de chélation à la périphérie d'un sucre, nous pouvons apprécier la spécificité du thème de recherche « glycoligands et glycocomplexes » engagé depuis quelques années au laboratoire. Une représentation schématique des différents types de ligands dérivés de sucres est esquissée dans la figure 1.12.

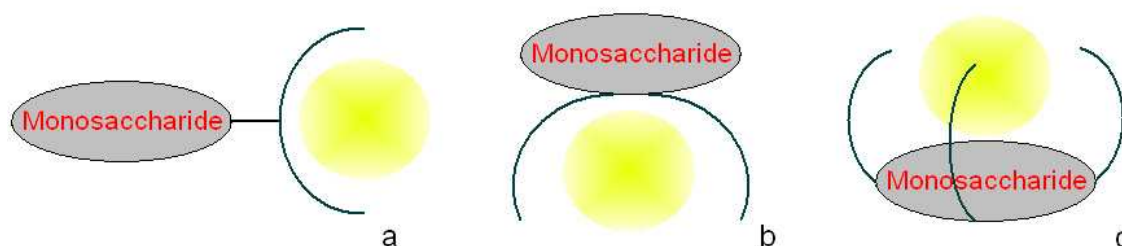


FIG. 1.12 – (a) : ligand glycoconjugué (b) : ligand avec site de chélation à la périphérie d'un monosaccharide (c) glycoligand. Le site de chélation est représenté par le disque jaune.

Définition

Les glycoligands *triéther* sont des monosaccharides, dans des formes cycliques furannosiques ou pyranosiques, portant des bases de Lewis (dans le cas présent, des fonctions éther de picolyle) cofaciales, ce qui permet de générer un site de chélation N_3O_3 à proximité immédiate du cycle pyranosique ou furannosique. Plus précisément, dans les glycocomplexes qui seront présentés, le glycoligand définit avec le cation métallique central des cycles chélates O-M-O fusionnés avec le cycle pyranosique ou furannosique. Les glycoligands *aminoéther* et *diamino* sont construits à partir d'aminodésoxy-sucres.

Avant de détailler le choix de structures centrales monosaccharidiques fait dans le cadre de cette thèse, nous allons discuter, d'une part, des paramètres thermodynamiques de complexation, et, d'autre part, de la synthèse et des applications de complexes métalliques chiraux. Ces discussions sont d'intérêt pour notre exploration de la chimie de coordination des glycoligands.

Mimétisme d'échafaudage

En plus d'être inspirée par les travaux réalisés dans les diverses classes de composés que nous avons détaillées dans la première partie de ce chapitre, l'idée de développer des ligands « sucre-centrés » est, par ailleurs, une application originale du concept de *mimétisme d'échafaudage* élaboré dans le cadre de la chimie peptidomimétique^[94, 95, 96]. Des plateformes

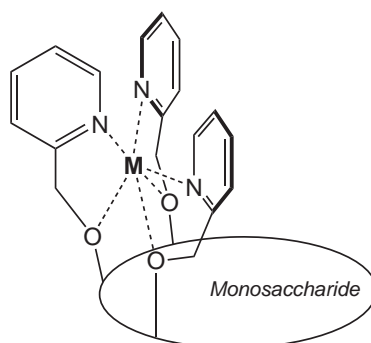


FIG. 1.13 – Glyco-complexes triéther (schéma général).

centrales monosaccharidiques ont été utilisées avec succès pour la répartition spatiale de groupements mimant les chaînes latérales d'acides aminés, afin d'interagir avec des sites spécifiques de protéines (1.14).

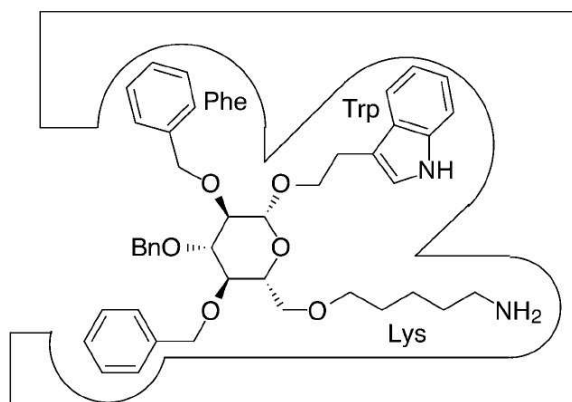


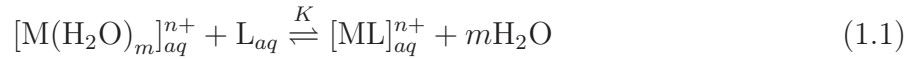
FIG. 1.14 – Exemple d'application de la rigidité conformationnelle du D-glucose en chimie peptidomimétique. Les codes d'acides aminés à trois lettres indiquent les chaînes latérales d'acides aminés mimées par les groupements portés par le châssis de type β -D-glucoside. Figure tirée de [97].

Le concept de mimétisme d'échafaudage a été adapté, en l'inversant, pour la conception des glycoligands : des structures centrales de type sucre sont développées en tant que répartiteurs de fonctions coordonnantes, pour permettre une chélation d'ions de métaux de transition. De plus, le nombre de positions disponibles (jusqu'à 5 dans le cas d'un pyranose) permet d'en réserver au moins une pour une *fonctionnalisation surnuméraire*, ce qui est d'intérêt pour des applications potentielles (voir plus loin, figure 1.22 et section 4.3).

1.7 Thermodynamique de complexation : flexibilité et rigidité du ligand

Dans le cadre d'un effort de compréhension des processus de complexation des glyco-complexes, nous allons maintenant aborder quelques considérations sur la thermodynamique de complexation de différents types de ligands polydentes rencontrés en chimie de coordination.

Si l'on écrit la réaction de formation d'un complexe monométallique à partir d'un cation métallique (complexe *aqua*) et d'un ligand polydente neutre L, nous avons^[98] (éq. 1.1) :



avec la constante d'équilibre K qui est reliée à l'énergie de Gibbs standard de complexation ΔG_c° selon l'équation suivante :

$$K = e^{\frac{-\Delta G_c^\circ}{RT}} \quad (1.2)$$

$$\Delta G_c^\circ = \Delta H_c^\circ - T\Delta S_c^\circ \quad (1.3)$$

De nombreux auteurs se sont attachés à étudier l'importance relative des termes enthalpiques et entropiques dans le cas des complexes de coordination. Ces études ont été entravées par le fait que ΔH_c° et ΔS_c° sont des termes contenant de multiples contributions. Il n'a été possible d'avoir une interprétation aisée que lorsque, du fait du choix des composés étudiés, certains de ces paramètres venaient à être isolés des autres. Par exemple, certains auteurs ont étudié l'influence de la taille de cycles chélates dans des polyamines cycliques^[99]. Récemment, Comba *et al.* ont mesuré les constantes d'affinité de ligands rigides de la famille des bispidines (un exemple de structure cristalline de bispidine tétradente est présenté dans la figure 1.15) pour divers métaux. La hiérarchie des constantes de stabilité en fonction de la nature de l'élément métallique ne suit pas la série d'Irving et Williams^[100] pour ces ligands. Dans le cadre de cette dernière, l'ordre des constantes de stabilité des complexes cations $3d$ divalents est : $\text{Mn} < \text{Fe} < \text{Co} < \text{Ni} < \text{Cu} > \text{Zn}$. Il est imposé essentiellement par la hiérarchie des rayons ioniques. Comba *et al.* ont expliqué l'effet observé en considérant la rigidité (voir plus bas pour la définition du terme) de la conformation coordonnée du ligand bispidine^[101, 102].

Nous nous intéresserons ici à la thermodynamique de complexation de cations métalliques de transition par des ligands polydentes neutres **L** pour donner des complexes $[\text{M}(\text{L})]^{n+}$. Dans ce cadre, les différents termes contribuant à l'énergie de Gibbs de complexation¹² seront détaillés.

¹²Il s'agira d'une vision simplifiée qui ne tiendra pas compte des effets de solvatation et de formation de paires d'ions^[98].

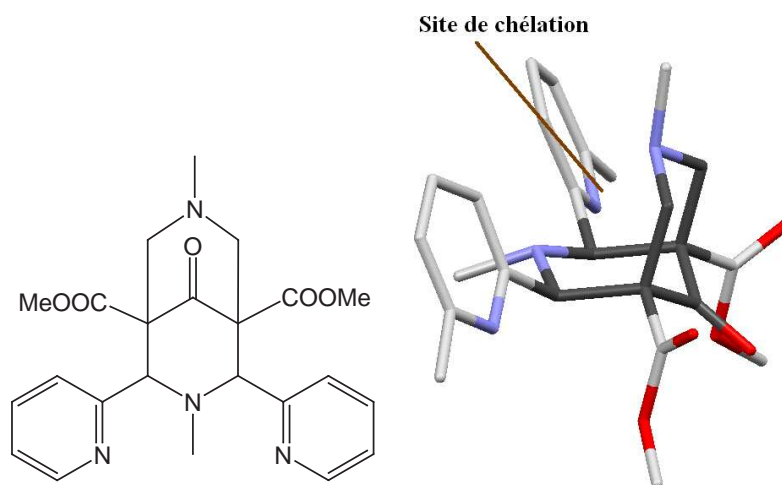


FIG. 1.15 – Exemple de structure cristalline de ligand tétradente de la famille des bispidines^[103].

Sélectivité des processus de complexation

Des analyses des contributions entropique et enthalpique à l'énergie de Gibbs de complexation ont été à la base de la compréhension de la sélectivité des processus de complexation par les ligands polydentes. Il s'agit d'un sujet qui a été étudié depuis de nombreuses décennies de façon approfondie. Les exemples les plus célèbres sont issus de la famille des cryptands, sphérands et autres ligands macrocycliques^[99, 104]. Ce type de ligands possède une sélectivité métallique prononcée en fonction du rayon ionique du cation coordonné. Des parallèles peuvent être faits avec les complexes des dérivés de l'inositol^[105] et des polyamines cycliques^[106], dans lesquels, comme pour les glycocomplexes, les atomes chélatants ne sont pas inclus dans une structure polycyclique mais sont rigidifiés (chélates O,O dans le cas des glycocomplexes) par la fusion de cycle avec la plateforme centrale monosaccharidique ayant des contraintes conformationnelles.

Le nombre d'atomes inclus dans les *cycles chélates* est une source de sélectivité métallique des processus de complexation. En effet, les longueurs de liaison M-L optimales dans les cycles chélates comportant des éthers ou des amines coordonnées ont été estimées à 2,50 Å pour les cycles chélates à 5 chaînons et à 1,52 Å pour les cycles chélates à 6 chaînons^[107, 98, 99]. Comme ces deux valeurs correspondent à des ions de dimensions respectivement très grandes ou très petites, par exemple le Be^{2+} (0,59 Å en coordination 6) et le Pb^{2+} (1,33 Å en coordination 6)^[108]¹³. Les complexes de cations métalliques ayant un rayon intermédiaire entre ces deux extrêmes peuvent être plus ou moins stabilisés, en fonction de leur taille par le remplacement de cycles chélates à 5 chaînons par des cycles chélates à 6 chaînons suivant

¹³Les rayons ioniques que nous considérerons dans le cadre de cette thèse sont les rayons cristallins qui ont été tabulés par Shannon en 1976^[108] et qui constituent toujours la référence des manuels de chimie inorganique actuels.

leur rayon. À titre d'exemple, nous pouvons considérer le fait que lors du remplacement de deux cycles chélates à 5 chaînons par 2 cycles chélates à 6 chaînons dans le cas d'une paire de ligands macrocycliques (12[ane]N₄ et 14[ane]N₄), la stabilité des complexes de Ni²⁺ (rayon cristallin de 0,83 Å en coordinence 6^[108]) est améliorée de plus de deux ordres de grandeur alors que celle des complexes de Cd²⁺ (1,09 Å en coordinence 6) est diminuée de deux ordres de grandeur^[107].

Pour décrire qualitativement les différents types de ligands polydentes, nous allons reprendre les termes de Comba^[109]. L'*inflexibilité* caractérise la présence d'un nombre limité de conformations de basse énergie du ligand alors que l'*élasticité* traduit le fait qu'une conformation donnée a la capacité de se déformer. À titre d'exemple, les cryptands sont des ligands inflexibles et rigides et un ligand comme l'EDTA est flexible et élastique. Les ligands définissant une cavité rigide doivent correspondre aux dimensions et aux éventuelles préférences géométriques du cation métallique, une cavité trop grande ou trop petite pour un cation métallique donné résultera en une affinité fortement réduite. Nous allons aborder maintenant les termes entropiques et enthalpiques liés à la complexation.

Entropie de complexation

- L'entropie de complexation pour un ligand polydente peut être séparée en termes dus :
- à l'augmentation du nombre global de molécules en solution (pour la complexation décrite par l'équation 1.1, ce nombre est $m - 1$),
 - à la perte de la liberté de rotation autour des liaisons simples de la molécule. Des valeurs de -0,4 à -6 J mol⁻¹ K⁻¹ ont été proposées pour la différence d'entropie associée à la perte d'une libre rotation autour d'une liaison simple^[99].

Le deuxième terme mérite d'être détaillé pour la compréhension des propriétés de complexation des glycoligands. En effet, la perte de degrés de liberté de rotation n'a pas lieu si les liaisons du ligand sont incluses dans des structures cycliques. Les glycoligands présentent un cœur cyclique (liaisons sans libre rotation) mais sont fonctionnalisés par des fonctions éther de picolyle susceptibles de rotation autour des liaisons C_{sucré}-O, -O-CH₂ et CH₂-C_{pyridine}.

Enthalpie de complexation

La variation d'enthalpie associée à la complexation d'un cation métallique donné comprend un terme ΔH_{ML} associé à la formation des liaisons métal-ligand en remplacement des liaisons métal-solvant et un terme $\Delta U_{\text{contrainte}}$ dû aux contraintes supplémentaires imposées au ligand lors de la complexation (équation 1.4). Ce dernier terme est nul dans le cas d'un ligand parfaitement préorganisé pour le métal et généralement défavorable.

$$\Delta H_c^\circ = \Delta H_{ML} + \Delta U_{\text{contrainte}} \quad (1.4)$$

De plus, la réorganisation du ligand lors de la complexation, associée à $\Delta U_{\text{contrainte}}$, peut être décomposée en deux termes. Le premier est l'adoption d'une conformation coordonnante par le ligand, le second est la déformation de cette conformation pour que les atomes donneurs soient disposés de façon à lier le métal dans une géométrie acceptable pour celui-ci. Cette discussion, élaborée par Comba^[98] est particulièrement pertinente pour comprendre les processus thermodynamiques de complexation associés à la formation de complexes avec des ligands possédant un nombre limité de conformations, c'est-à-dire avec une grande inflexibilité conformationnelle. Les glycoligands triéther, et tous les autres ligands obtenus par polyfonctionnalisation d'un système cyclique (ou à plus forte raison polycyclique) sont dans ce cas.

En fonction d'une coordonnée x (par exemple une combinaison de distances de liaisons, d'angles et d'angles de torsion), les différentes conformations apparaissent comme des puits de potentiel distincts. Bien souvent, la conformation fondamentale (a) n'est pas la conformation liante (b). Dans ce cas, il faut fournir une énergie conformationnelle ΔU_{conf} , puis il faut surmonter une contrainte supplémentaire ΔU_{comp} pour adapter le ligand aux exigences du cation métallique (figure 1.16). Un ligand rigide est associé à des puits de potentiel étroits pour ses différentes conformations, ce qui peut induire une *sélectivité* accrue des processus de complexation, le terme $\Delta U_{\text{contrainte}}$ n'étant pas négligeable devant ΔH_{ML} .

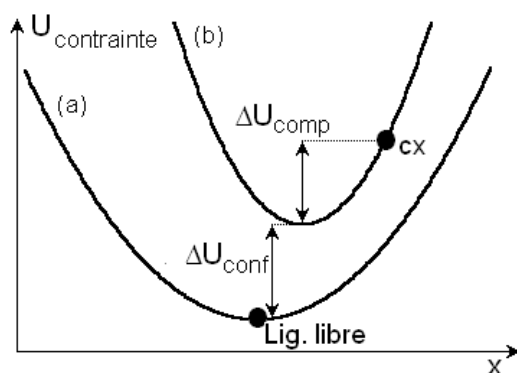


FIG. 1.16 – Les différentes contraintes mises en jeu lors de la formation d'un complexe $[M(L)]$ avec un ligand polydente (voir texte).

1.8 La chiralité en chimie de coordination

Comme nous l'avons relevé au paragraphe 1.2, la chiralité des complexes de métaux de transition a été étudiée depuis le début du XX^{ème} siècle par Werner. Il a, le premier, synthétisé, en 1914, les formes énantiomériquement pures de deux complexes de coordination chiraux du Co(III) ne contenant aucun atome de carbone^[8]. Ces deux composés ont été nommés « hexol » par Werner. Le premier hexol est un composé tétranucléaire dont la structure 1.17 avait été correctement prédite par Werner¹⁴.

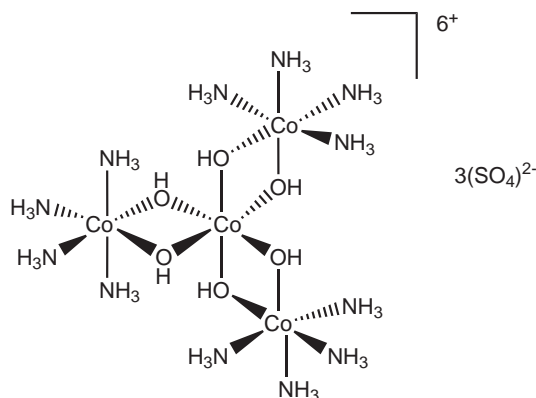


FIG. 1.17 – L'« hexol » de Werner : premier composé chiral sans carbone à avoir été dédoublé.

Cette découverte a montré de façon non ambiguë que la chiralité n'était pas une propriété liée exclusivement à la disposition tétraédrique des liaisons autour de l'atome de carbone. En effet, de nombreux arrangements de ligands autour d'un métal hexacoordonné peuvent être chiraux^[111]. Un cas particulier très répandu est celui de la chiralité qui existe dans les complexes comportant trois ligands bidentes autour d'un cation métallique. Les ligands forment un enroulement hélicoïdal autour du cation métallique et les descripteurs associés à cette *chiralité hélicoïdale* sont Λ et Δ (figure 1.18). Contrairement à la chiralité induite par la présence d'un atome de carbone en géométrie tétraédrique portant quatre substituants différents, ce type de chiralité n'est pas associée à un centre ponctuel en dépit de l'utilisation répandue de l'expression « chiralité au métal » par certains auteurs^[111].

De nos jours, la synthèse de complexes chiraux sous forme énantiopure présente un intérêt en catalyse asymétrique^[112] et en chimie supramoléculaire^[113], notamment pour des applications dans le domaine de l'optique non linéaire^[114] et du magnétisme (voir par exemple ^[115]).

¹⁴Dans le cas du second hexol, Werner s'était trompé puisqu'il avait prédit une structure trinuécléaire linéaire alors que la structure, récemment étudiée par diffraction des rayons X a montré que le composé est hexanucléaire^[110].

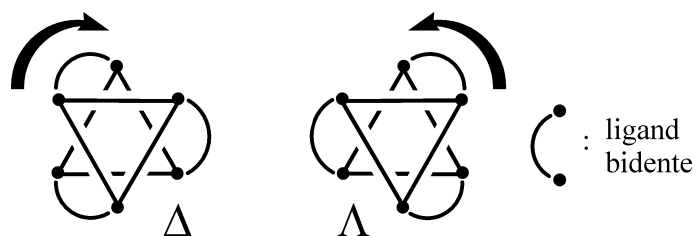


FIG. 1.18 – Schéma illustrant l'isomérie de type Λ/Δ . Les octaèdres de coordination sont vus selon l'axe C_3

1.8.1 Synthèses de complexes chiraux avec des ligands achiraux

Si l'on réalise la synthèse d'un complexe chiral qui comporte des ligands achiraux, un mélange équimolaire d'énantiomères de ce complexe est obtenu. Comme pour toutes les solutions de mélanges racémiques d'un composé, dans la majorité des cas, le complexe cristallise dans un groupe d'espace achiral (sur les 230 groupes d'espace, 165 sont achiraux^[113]) et les cristaux contiennent la même quantité des deux énantiomères. Un processus de *dédoublément spontané* peut avoir lieu lors duquel un mélange de cristaux contenant chacun une des deux formes du composé est obtenu (chaque cristal est, dans cette situation, un *conglomérat*)^[113]. Parfois, des cristaux énantiomorphes hémédriques peuvent être observés et séparés manuellement (comme Pasteur le fit pour séparer les cristaux des formes *d* et *l* de l'acide tartrique obtenus par dédoublement spontané en 1849). Le dédoublement par cristallisation, dont l'efficacité peut être grandement améliorée par une connaissance approfondie des diagrammes de phase du système, reste encore largement utilisé de nos jours, y compris à l'échelle industrielle^[116].

Alternativement, les deux formes d'un complexe peuvent être séparées par cristallisation fractionnée en présence d'un contre-ion chiral configurationnellement stable sous forme énantiopure^[117]. Les cristaux sont alors des diastéréomères ayant des propriétés (dont la solubilité) différentes. Par exemple, les formes Δ et Λ du complexe $[\text{Ni}(\text{phen})_3]^{2+}$ ^[118] ou de l'anion trisphat¹⁵ (tris(tétrachlobenzènediolato)phosphate(v))^[119] ont été utilisés dans ce cadre. Des complexes de Ru(II) avec des ligands aromatiques achiraux ont pu être isolés sous forme énantiomériquement pure par cristallisation avec l'anion trisphat. Dans ces complexes l'enroulement hélicoïdal des ligands est le seul élément stéréogène. Ces complexes ont été utilisés en catalyse asymétrique, avec des résultats plutôt modestes^[120].

Les techniques de HPLC chirale peuvent être également mises à profit pour le dédoublement de mélanges racémiques de complexes chiraux, mais ces applications sont restreintes aux complexes les plus inertes^[121].

¹⁵Une légère limitation est le fait que le trisphat se racémise en présence d'acide.

Paires d'ions : effet Pfeiffer

La difficulté d'obtenir des complexes chiraux avec des cations métalliques configurationnellement labiles est de taille puisque l'origine d'un excès d'un diastéréoisomère par rapport à un autre ne peut être que thermodynamique. Dans ce cadre, le trisphat a été utilisé comme agent chiral supramoléculaire : la formation de paires d'ions avec des complexes de Fe(II) chiraux configurationnellement labiles a permis un excès énantiomérique d'un des deux isomères Λ ou Δ en solution^[122]. Ce type d'effet a été décrit pour la première fois par Pfeiffer en 1931^[123] et a été nommé d'après son découvreur. L'effet Pfeiffer a été utilisé pour caractériser spectroscopiquement des solutions énantiomériquement enrichies de complexes configurationnellement labiles se racémisant trop vite pour être étudiés en solution pure^[124].

Dans le cas des complexes configurationnellement inertes, l'étude de la formation de paires d'ions où les deux partenaires sont chiraux est d'intérêt pour déterminer quelles sont les interactions intermoléculaires préférentielles (voir par exemple ^[125]), ce qui nous amène au domaine de la chimie supramoléculaire.

Point de vue de la chimie supramoléculaire

La chimie supramoléculaire s'intéresse au transfert de la chiralité^[104, 126] de l'échelle moléculaire (un complexe) à l'échelle supramoléculaire (réseaux à 1, 2, ou 3 dimensions). La synthèse de réseaux de coordination chiraux a donc été réalisée (dans le cadre conceptuel de cette discipline, un cristal peut être vu comme une supramolécule). Par exemple, des réseaux de coordination poreux basés sur des oxalates homo- et bimétalliques $[MM'(ox)_3]^{2-}$ avec des cations-hôtes de type $[M(bipy)_3]^{2+}$ ont été obtenus par Descurtins *et al.*^[127, 128]. Ces réseaux de coordination se sont avérés contenir des unités homochirales de chiralité soit tout- Δ soit tout- Λ , le dédoublement ayant lieu lors de la cristallisation^[128, 129]¹⁶. Dans ce genre de stratégies impliquant le dédoublement d'un racémique, le rendement théorique maximal de chaque espèce énantiomère est de 50% sauf dans le cas rare, où les cinétiques de cristallisation et de racémisation sont telles qu'un processus autocatalytique basé sur la chiralité aléatoire des premiers germes peut aboutir à un lot de cristaux présentant un excès énantiomérique. Ces conditions cinétiques ont été satisfaites dans une étude d'Andrés *et al.* en utilisant la technique de cristallisation sur gel^[131] (voir aussi les références qui y sont citées). Andrés *et al.* ont également obtenu énantiosélectivement des réseaux de coordination en utilisant comme cations-hôtes des complexes moléculaires chiraux ($[M(bipy)_3]^{2+}$, M=Ni,Ru ou $[Cr(ox)_3]^{3-}$) sous forme énantiopure^[131]. Ces auteurs ont démontré le caractère énantiosélectif de leur synthèse, c'est à dire que la chiralité hélicoïdale associée aux enroulements des ligands autour

¹⁶La formation lors de la cristallisation de ce genre de réseau impliquant des processus de reconnaissance entre unités élémentaires porteuses d'une information peut être abordée en utilisant le cadre conceptuel de la *tectonique moléculaire*^[130].

de tous les centres métalliques était induite par la configuration absolue du seul complexe énantiopur utilisé.

1.8.2 Complexes avec des ligands chiraux

L'utilisation de ligands chiraux sous forme énantiopure peut aboutir à la synthèse exclusive d'un seul stéréoisomère d'un complexe métallique. Dans ce cas, le rendement théorique maximal de la forme énantiopure est de 100%, contre 50% pour les stratégies impliquant le dédoublement de racémiques (sauf dans de rares cas, comme nous venons de le voir).

La synthèse stéréosélective de complexes avec des ligands chiraux a été remise au goût du jour récemment. Les travaux de l'équipe de von Zelewski sont un exemple de cette renaissance récente. Von Zelewski *et al.* ont utilisé des bipyridines condensées à des terpénoïdes naturels énantiopurs tels que le pinène et le mirténal pour synthétiser un seul diastéréoisomère de complexes de Ru(II)^[132, 7, 133, 134]; en effet l'encombrement stérique des groupements dérivant du (-)-myrténal induit une configuration exclusivement Λ des complexes de type $[\text{Ru}(\text{chiragen})\text{X}_2]$ ¹⁷.

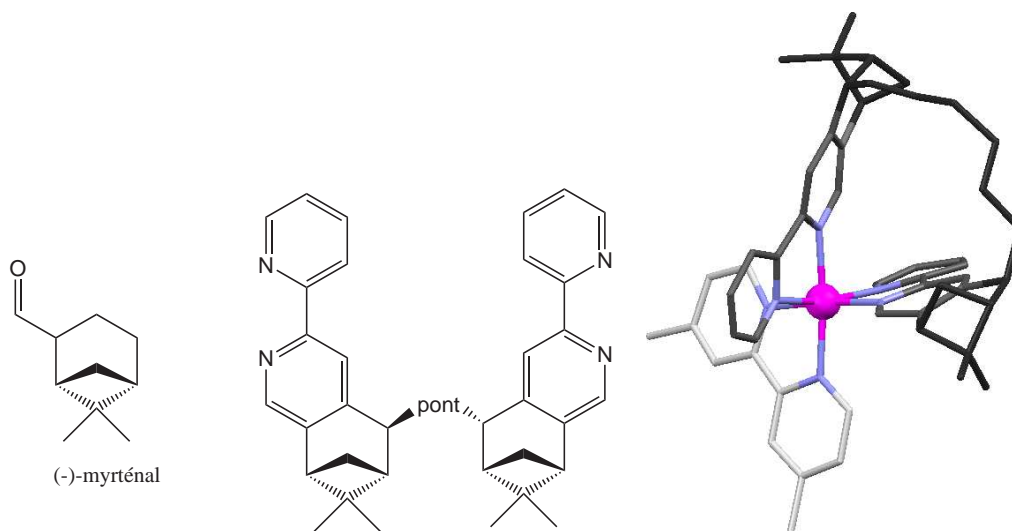


FIG. 1.19 – Ligands « chiragen » dérivant du (-)-myrténal et complexe de Ru(II) du [6]chiragen (pont à 6 carbones) et du ligand bidenté 6,6'-diméthyl-2,2'-bipyridine^[132] (les atomes de carbone des parties dérivant des terpènes et du pont sont indiqués en noir, ceux des bipyridines du chiragen en gris foncé et ceux du ligand bidenté en gris clair).

¹⁷X₂ représente un ligand bidenté ou deux ligands monodentés en *cis*. Dans la publication originale, les auteurs mettent également en évidence le fait que l'utilisation du ligand chiragen induit la présence d'un seul isomère en solution, ce qui facilite l'isolation des complexes sous forme monocristalline.

On peut parler de chiralité prédéterminée par le ligand si des éléments structuraux du ligand influencent de façon univoque la configuration des éléments de chiralité (chiralité hélicoïdale, configuration δ/λ des métallacycles à 5 chaînons^[135]...) présents dans le complexe^[132, 136]. Une utilisation très fructueuse des ligands de type chiragen s'est révélée être la synthèse diastéréosélective d'édifices chiraux supramoléculaires (voir une revue^[137] et quelques articles de recherche^[138, 139, 140, 141] récents).

Dans le cadre des recherches citées dans une revue récente^[136], un intérêt particulier a été accordé aux complexes octaédriques de ligands tétradentes car une utilisation de tels complexes présentant une sphère de coordination non saturée peut être envisagée en catalyse asymétrique. Toutefois, la synthèse diastéréosélective de ce type de complexes n'est nullement restreinte à la coordinence 6. Ainsi, des exemples de complexes glycoconjugués de Cu(II) ayant une coordinence 5 obtenus à partir de ligands tétradentes seront discutés plus bas. Les travaux d'une équipe allemande ayant synthétisé stéréosélectivement des complexes de géométrie bipyramidale pentagonale (NC=7) avec des ligands énantiopurs pentadentes de symétrie C_2 comportant des groupements de type oxazoline^[142, 143] peuvent également être cités.

1.8.3 Synthèse stéréosélective de complexes avec des ligands dérivés de sucres

Comme la synthèse stéréosélective de complexes de coordination est elle-même, nous l'avons vu ci-dessus, un domaine de recherche récemment redécouvert, il y a peu d'exemples d'études ayant impliqué l'utilisation de ligands dérivant des sucres dans ce cadre, en tout cas dans une perspective de recherche de chimie inorganique¹⁸. Par ailleurs, il est à noter que divers auteurs ont utilisé une autre classe de biomolécules très abondantes, celle des acides aminés, comme source de chiralité dans les complexes de coordination (voir par exemple ^[144, 145, 146]).

Constable *et al.* ont étudié la synthèse d'un complexe de $[\text{Fe(II)}(\mathbf{L})_3]^{2+}$ où \mathbf{L} est un ligand de type bipy fonctionnalisé en 4,4' par des groupements espaceurs (-O-CH₂-CH₂-O-) liés à une unité 1,2,3,5- tétra-*O*-acetyl- β -D-ribofurannoside^[147]. Puisque la partie « sucre » et la sphère de coordination sont bien séparées et ne possèdent pas d'interactions intramoléculaires fortes (comme les liaisons hydrogène pour les complexes de Mikata *et al.*, voir plus bas), l'excès diastéréomérique induit par l'utilisation de ce ligand chiral est très modeste (<20%)¹⁹.

¹⁸C'est-à-dire impliquant la caractérisation structurale et/ou spectroscopique des complexes formés. De nombreux auteurs ont étudié indirectement la chiralité du complexe induite par un ligand dérivant de sucres par l'analyse des produits de réactions catalytiques^[70], sans caractériser les espèces métalliques formées.

¹⁹En revanche, la présence des groupements dérivant de sucre module l'effet Pfeiffer observé en présence des deux énantiomères du trisphat.

Des travaux de l'équipe de Yano, qui ont déjà été cités dans le cadre de la discussion au sujet des ligands glycoconjugués (paragraphe 1.5.1) seront abordés ici. Un exemple qui mérite d'être développé est le cas des complexes dérivés d'un tripode de type tren trifonctionnalisé par des monosaccharides (figure 1.20)^[148, 21]. Le fait que chaque amine secondaire du tren soit en β de l'hydroxyle en C2 du monosaccharide qui y est greffé définit un ensemble de trois chélates N,O. En absence de contre-ions pouvant jouer le rôle d'accepteur de liaisons hydrogène, le complexe a une configuration absolue (des chélates N,O) Δ , alors qu'en présence de sulfate, la configuration absolue est inversée²⁰. Dans cet exemple, le monosaccharide influence sur la chiralité au métal à travers la formation de liaisons hydrogène avec les hydroxyles qui ne sont pas impliqués dans la chélation.

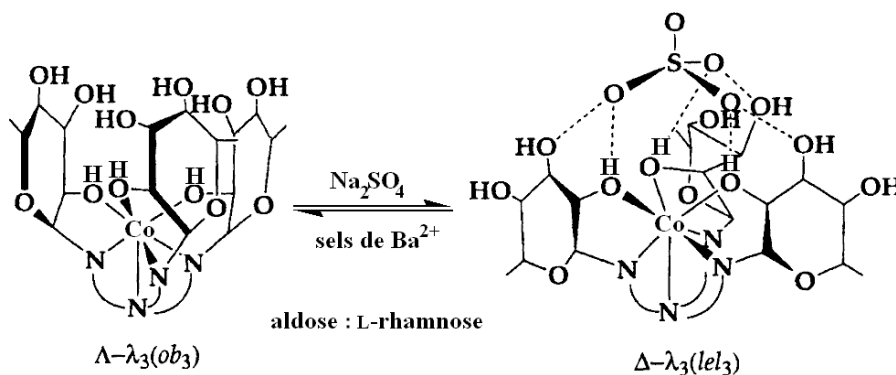


FIG. 1.20 – Complexes de Co(II) avec des tripodes fonctionnalisés par le L-rhamnose : inversion de la configuration absolue du complexe par la liaison de l'anion sulfate (figure adaptée de [21]).

Cette équipe s'est par ailleurs intéressée à la synthèse asymétrique de complexes de cuivre(II) comportant un ligand glycoconjugué avec un groupement dipicolylamine [149, 150]. Ces auteurs ont constaté que le fait d'avoir un monosaccharide acétylé ou non (respectivement L et L' figure 1.21a) influait sur la chiralité de la structure. En effet, les structures des deux complexes avec L, d'une part (1.21b), et L', d'autre part (1.21c), montrent des cycles chélates définis par O1 et N1 respectivement λ et δ (1.21d). Cette différence de chiralité conformationnelle est induite, selon les auteurs, par la présence d'une liaison hydrogène faisant intervenir O7 et le groupement OH en 2 du sucre (en italique dans la figure 1.21a). Ceci se traduit par l'observation de spectres de dichroïsme circulaire de signe opposé.

²⁰Notons au passage que la rapidité de la conversion entre les deux formes avec ou sans sulfate prouve la labilité configurationnelle du Co(II) dans ce système.

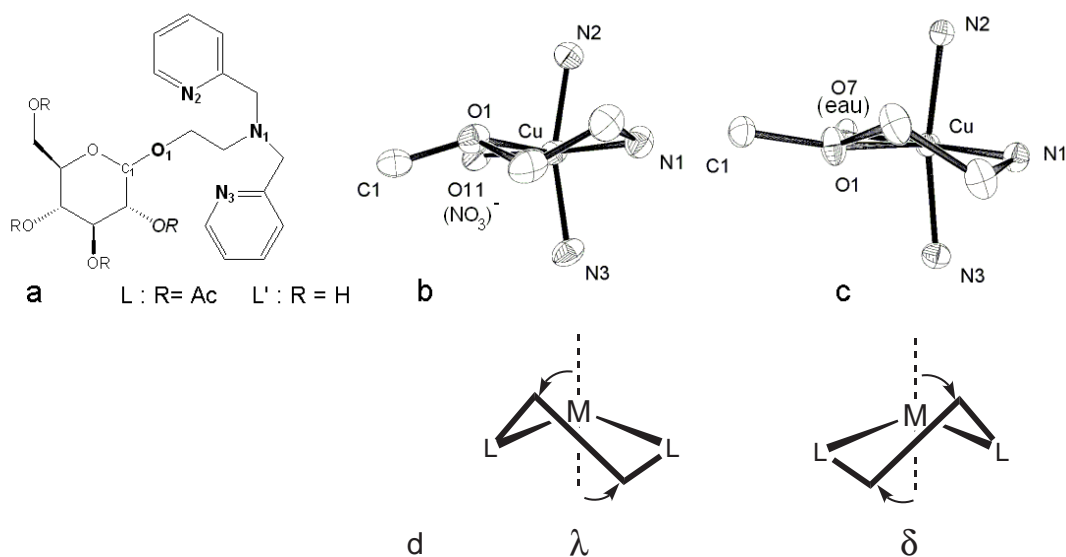


FIG. 1.21 – **a** : ligand glycoconjugué de la dipicolylamine dérivant du D-glucose par Mikata *et al.* Les atomes coordonnés au métal sont en **gras**. Le groupement OR en *italique* est impliqué dans le contrôle de la chiralité au métal. **b** : fragment de la structure du complexe $[\text{Cu}(\text{L})(\text{NO}_3)]^+$. **c** fragment de la structure du complexe $[\text{Cu}(\text{L}')(\text{H}_2\text{O})]^+$. (figure adaptée de ^[149]). **d** : formes λ et δ de métallacycles à 5 chaînons (chiralité conformationnelle).

1.9 Intérêt de l'étude des glycoligands et glycocomplexes

1.9.1 État du sujet au laboratoire avant le début de cette thèse

Les premiers glycoligands ayant abouti à l'isolation de glycocomplexes caractérisés structurellement sont des dérivés du D-galactose sous forme pyranosique trifonctionnalisés par des groupements 2-picolyle. Ils ont été synthétisés lors de la thèse de F. Bellot^[151] et ont permis d'isoler des complexes à spin fort de métaux de transition divalents (Mn, Co^[152], Ni^[153]) et de Zn avec une stœchiométrie de 1 métal pour 1 ligand. Le ligand est lié au cation métallique par les azotes des pyridines et par les oxygènes des fonctions éther portant les picolyles. Une telle liaison résulte de la formation de cycles chélates impliquant les oxygènes (en dépit du faible pouvoir coordonnant des fonctions éther). L'ensemble du système incluant le cation métallique, les 3 atomes d'oxygène et les 3 atomes d'azote permet de définir non seulement 3 chélates O,N, mais également 2 chélates O,O (voir figure 1.13). Pour reprendre les termes définis à la section 1.7, ces glycoligands centrés sur le galactose nous paraissent être des ligands plutôt *inflexibles* (nombre limité de conformations de basse énergie) mais

possédant une certaine *élasticité* (substituants 2-picolyle pouvant s'adapter à la variation du rayon de l'ion coordonné).

Une des conclusions de la thèse de F. Bellot, était que la *cofacialité* des trois fonctions chélatantes paraissait une condition nécessaire, mais non suffisante, pour l'obtention de complexes mononucléaires cristallisés. Dans le galactose, les hydroxyles situés aux positions 3, 4 et 6 sont cofaciaux, mais l'hydroxyle en 2 se situe du côté opposé par rapport au plan moyen du cycle. Les « châssis » utilisés étaient le 1,2-*O*-éthylidène- α -D-galactose où les OH en 1 et 2 sont protégés dans un acétal cyclique et le D-galactal où il n'y a pas de substituant en 1 et 2. Ces deux ligands sont présentés dans la figure 1.22. On peut remarquer que ces ligands incluent un motif 1,2,4-butanetriol inclus dans un cycle fonctionnalisé par des fonctions éther de 2-picolyle.

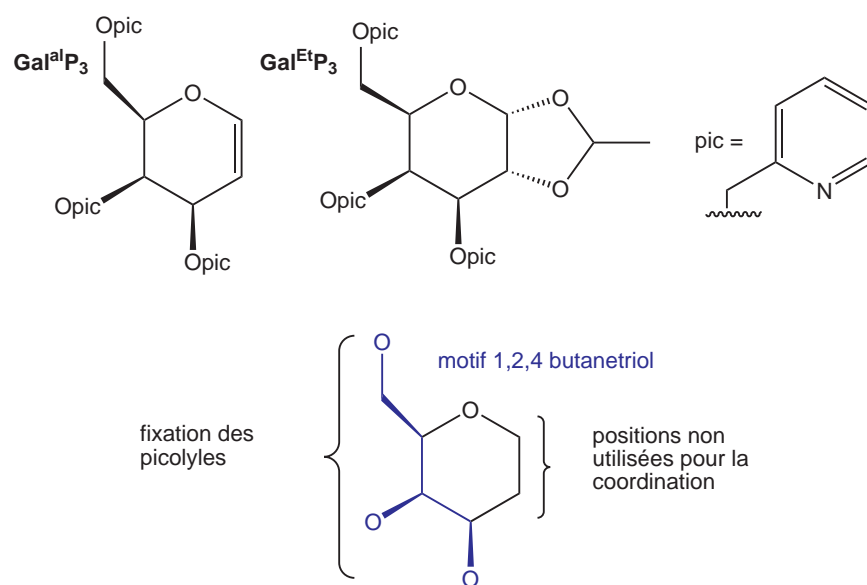


FIG. 1.22 – Les ligands centrés sur le D-galactal ($\text{Gal}^{\text{al}}\text{P}_3$) et sur le 1,2-*O*-éthylidène- α -D-galactose ($\text{Gal}^{\text{Et}}\text{P}_3$), synthétisés précédemment au laboratoire.

Pour les deux ligands $\text{Gal}^{\text{al}}\text{P}_3$ et $\text{Gal}^{\text{Et}}\text{P}_3$, les complexes de Co(II), Ni(II) et Zn(II) se sont révélés être isostructuraux. La coordination du cation métallique, la conformation du cycle monosaccharidique et de tous les cycles chélates ainsi que la chiralité hélicoïdale associée à l'enroulement des fonctions éther de picolyle sont les mêmes dans tous les cas. Autrement dit, ces complexes sont des objets semblables du point de vue conformationnel et configurationnel. La conformation du cycle pyrannoïde est différente selon les fonctionnalités qu'il porte : demi-chaîne 5H_4 ²¹ pour le ligand $\text{Gal}^{\text{al}}\text{P}_3$ (double liaison en 1,2 causant la coplanarité des atomes C1, C2, C3 et O5), et bateau ${}^{O,3}B$ pour $\text{Gal}^{\text{Et}}\text{P}_3$ (acétal cyclique

²¹Voir l'annexe A.6.2 pour les conformations des monosaccharides.

en 1,2 induisant une valeur proche de 0° pour l'angle dièdre O5-C1-C2-C3)^[152, 153, 154]. De ce fait, il est vraisemblable que la conformation chélatante est stabilisée par la présence des éléments limitant la mobilité conformationnelle, ce qui est équivalent à affirmer que le site chélatant est partiellement préorganisé dans le cas de ces glycoligands.

Intérêt des glycoligands pour la synthèse diastéréosélective de complexes

Le rapide survol de la littérature dans le domaine de la synthèse stéréosélective des complexes de métaux de transition présenté dans la section 1.8.2 met en évidence l'intérêt potentiel des molécules de la famille des glycoligands dans ce cadre. L'isostructuralité des complexes chiraux de Co(II), Ni(II) et Zn(II) d'un ligand donné, décrite par F. Bellot, est en effet remarquable au regard des propriétés de coordination très différentes de ces cations métalliques. Pour cette raison, nous allons entreprendre la synthèse de nouveaux glycoligands afin d'étudier, sur une famille s'étendant au-delà des dérivés de sucres *galacto*, l'influence des motifs de substitution des cycles monosaccharidiques sur la configuration des éléments stéréogènes dans le complexe. Nous avons donc, comme les auteurs des travaux cités dans la section 1.8.3, étudié l'induction asymétrique en solution et en phase solide par l'utilisation de la spectroscopie de dichroïsme circulaire (sections 2.8 pour les glycocomplexes triéther et 3.2.2 pour les glycocomplexes aminoéther).

1.9.2 Choix de nouvelles architectures centrales

Régiochimie

Nous avons vu que les glycoligands développés précédemment étaient basés sur un motif de type 1,2,4-butanetriol inclus dans un cycle galactopyrannose. Dans le cadre de cette thèse, d'autres structures centrales présentant ce motif seront développées ainsi que des structures centrales basées sur un motif 1,2,3-propanetriol (glycérol) et sur un motif de type 1,2,5-pentanetriol. Dans les glycocomplexes basés sur les châssis de type galactose les éthers sont liés et définissent des cycles chélates. Cette variation de motifs structuraux a pour but de moduler les propriétés des complexes. En effet, le nombre d'atomes d'un cycle chélate O,O est lié à l'angle O-M-O qui influence bien évidemment la géométrie de coordination du complexe. En particulier, les angles chélates à 5 chaînons induisent des angles O-M-O $< 90^\circ$ ^[98].

Nature de la plateforme centrale

Les différentes structures centrales considérées dans le cadre de l'étude des glycoligands triéther sont présentées dans la figure 1.23. Nous allons détailler le choix des structures centrales pour les glycoligands aminoéther au début du chapitre 3, dans la section 3.1.1. Ces

choix tiennent compte des résultats qui seront présentés dans le chapitre 2, concernant les glycocomplexes triéther.

Le galactopyrannose est le seul hexopyrannose (mis à part le talopyrannose²²) incluant le motif 1,2,4-butanetriol avec une cofacialité des 3 positions.

L'application du critère de cofacialité développé lors de la thèse de F. Bellot permet de sélectionner d'autres structures centrales. En premier lieu, en série furannose, le lyxofurannose (figure 1.23) dispose de la stéréochimie adéquate (les positions 1, 2 et 4 du butanetriol correspondent aux positions 2, 3 et 5 du lyxofurannose, la position 1 devra être protégée).

Le motif 1,2,4-butanetriol est inclus également dans le glucofurannose (les positions 1, 2 et 4 du butanetriol correspondent aux positions 6, 5 et 3 du glucose, les positions 1 et 2 devront être protégées). Les positions 5 et 6 sont exocycliques.

Dans le cas du motif 1,2,5-pentanetriol, le monosaccharide de choix est le mannopyrannose (les positions 1, 2 et 5 du pentanetriol correspondent aux positions 2, 3 et 6 du mannose, les positions 1 et 4 devront être protégées).

Finalement, dans le cas du motif 1,2,3-propanetriol, les structures centrales de choix sont basées sur le ribopyrannose et sur l'allopyrannose (les positions 1, 2 et 3 du propanetriol correspondent aux positions 2, 3 et 4 de ces deux sucres, la position 1 et la position 6 dans le cas de l'allose devront être protégées).

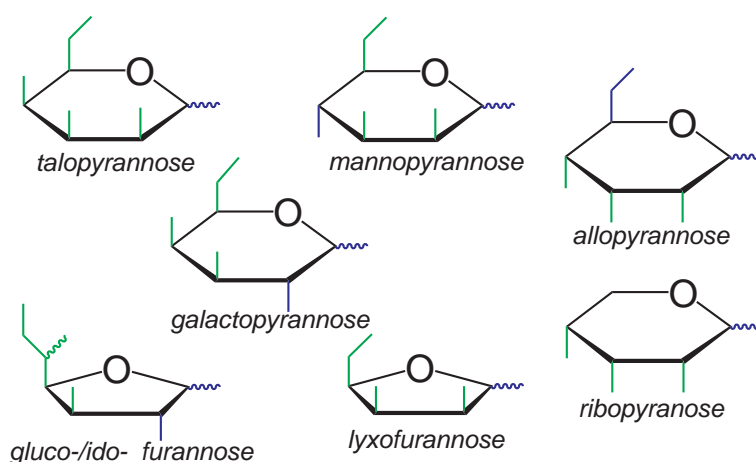


FIG. 1.23 – Les différentes structures centrales considérées dans le cadre de cette thèse pour la synthèse des glycoligands triéther. Les positions consacrées à la fonctionnalisation par des groupements éther de picolyle sont représentées en vert et les positions non utilisées pour la chélation en bleu.

²²Dans le cas du talopyrannose, tous les 4 hydroxyles non anomériques sont cofaciaux. Un ligand obtenu par tétrafonctionnalisation d'un glycoside dérivé du talose serait potentiellement octadente. Nous ne pouvons pas prédire *a priori* si un tel ligand sera adapté pour la synthèse de complexes mononucléaires d'ions de métaux 3d.

Analyse conformationnelle – cas des glycoligands *allo* et *ribo*

Des glycoligands basés sur la fonctionnalisation en 2, 3 et 4 de dérivés de type α -D-allopyrannose ont été synthétisés précédemment au laboratoire^[151]. Ils n'ont pas permis l'isolation de glycocomplexes sous forme cristalline. Bien que les dérivés *allo* et *ribo* possèdent la même stéréochimie des carbones intracycliques, ils sont susceptibles d'avoir un comportement conformationnel différent. En effet, si l'on considère les deux conformations chaise classiquement observées pour les monosaccharides, 1C_4 et 4C_1 , nous pouvons remarquer que dans le cas du β -D-ribopyrannoside de méthyle, la forme 1C_4 est favorisée par l'effet anomérique du substituant OMe en axial, il s'agit d'ailleurs de la forme qui est présente en phase cristalline^[155]. En revanche, dans le cas de l' α -D-allopyrannoside de méthyle, c'est la forme chaise 4C_1 qui est favorisée par l'effet anomérique et par la présence du substituant en C5 en position équatoriale. La conformation 1C_4 est déstabilisée relativement à la conformation 4C_1 à cause de la perte de la stabilisation par l'effet anomérique et aux interactions 1,3-diaxiales défavorables induites par la présence du substituant en C5 en position axiale^[47, 48].

Autrement dit, les oxygènes liés au cycle du sucre se retrouvent plus facilement dans un arrangement axial-équatorial-axial (ax-éq-ax) dans le cas des dérivés du D-ribose que dans le cas des dérivés du D-allose, pour lesquels l'arrangement équatorial-axial-équatorial est très favorisé. Or, nous avons vu dans la section 1.4 que, parmi ces deux types de sites, seuls les sites ax-éq-ax peuvent former des complexes mononucléaires.

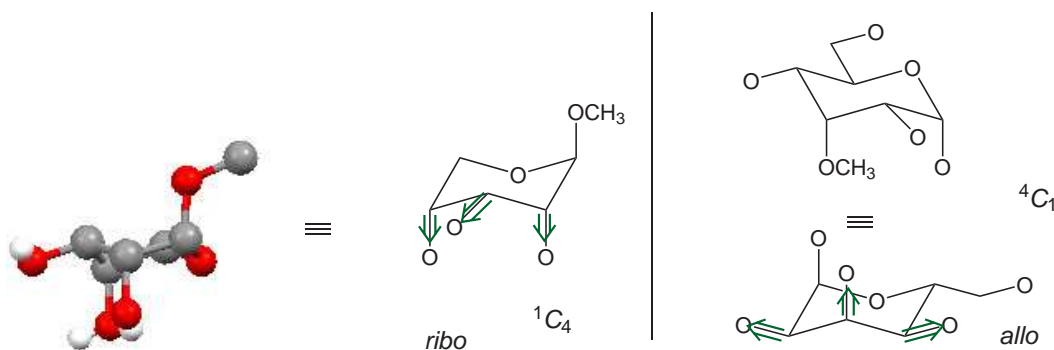


FIG. 1.24 – Considérations conformationnelles sur le β -D-ribopyrannoside de méthyle et l' α -D-allopyrannoside de méthyle (voir le texte). En vert sont montrées les directions des liaisons C-O définissant la potentielle sphère de coordination. À gauche, la structure cristalline du β -D-ribopyrannoside de méthyle^[155].

Intérêt d'une étude thermodynamique de la complexation d'un glycoligand

Comme les glycoligands sont des objets présentant une certaine inflexibilité conformationnelle du fait des interactions stériques causées par les substituants des cycles pyranosique ou furannosique, nous avons réalisé une étude thermodynamique de la complexation d'un cation métallique par un glycoligand (section 2.10) afin de considérer les différentes contributions aux processus de complexation qui ont été détaillés dans la section 1.7. Le cas d'un ligand centré sur une structure de type β -D-ribopyranoside de méthyle nous semble particulièrement intéressant puisque, comme nous venons de le voir, la conformation chaise contenant le site de chélation ax-éq-ax est stabilisée par l'effet anomérique et n'est pas déstabilisée par la présence d'un substituant en C5.

Résultats et discussion

CHAPITRE 2

Glycoligands et glycocomplexes triéther : structure et chiralité

2.1 Nouveaux ligands avec des groupements O-2-picolyle

Dans la première partie des travaux réalisés dans le cadre de cette thèse, nous nous sommes attachés à synthétiser des ligands centrés sur des monosaccharides présentant des formes cycliques variées (pyrannoses, furannoses) et les complexes qui en dérivent. Nous avons étudié ces complexes par diffraction des rayons X et diverses techniques spectroscopiques. L'objet principal de cette étude a été d'étudier le contrôle de la structure des complexes formés par les glycoligands.

2.1.1 Réaction de polypicolylation de polyols

Nous nous sommes fixé comme objectif de synthétiser des ligands par fonctionnalisation des positions hydroxyle par des groupements 2-picolyle. Les synthèses qui ont été utilisées au laboratoire dans un premier temps faisaient intervenir des conditions inspirées des protocoles usuels de benzylation utilisés en glycochimie. Il s'agit de l'action d'halogénures de benzyle sur les polyols déprotonnés par de l'hydruure de sodium dans . Les conditions doivent être strictement anhydres sinon une partie de l'halogénure d'alkyle de départ est convertie en alcool qui aboutira *in fine* à l'obtention d'éthers non souhaités. Ceci est difficile à réaliser dans le cas de la picolylation¹. Il y a, de plus, des problèmes liés à l'utilisation de grandes quantités de NaH (inflammable au contact de l'eau) pour les expériences réalisées à une échelle multigramme.

Des procédures de benzylation en conditions de catalyse par transfert de phase [156] des dérivés de sucres ont été mises au point par Szeja *et al.* pour pallier ces inconvénients des conditions strictement anhydres. Ces protocoles, bien qu'étant efficace et publiés il y a près de 20 ans, ont été très rarement cités. Szeja *et al.* utilisent une solution aqueuse de (NaOH_{aq} 50%), avec catalyse du transfert de la base en phase organique par l'hydrogénosulfate de tétrabutylammonium en présence d'alcool *tert*-amylique. Selon les auteurs, la solubilité de l'ion hydroxyde est améliorée en phase organique (benzène) par la présence de cet alcool². Ce protocole présente l'avantage de pouvoir alkyler des sucres peracétylés en économisant une étape de déprotection. Les rendements des deux procédures sont comparables, mais la procédure par transfert de phase est plus facile à mettre en œuvre et à reproduire et ne nécessite évidemment pas l'utilisation de solvants anhydres. Deux variantes ont été décrites

¹Le chlorhydrate du chlorure de 2-picolyle commercial (solide hygroscopique) doit être neutralisé avec de l'hydruure de sodium dans le DMF, puis le surnageant doit être transféré par *via* une canule dans le mélange réactionnel, sans aspirer le précipité. Ainsi, malgré toutes les précautions qui ont pu être prises, une certaine quantité d'éther de 2-picolyle a été formée dans toutes les expériences. La formation de ce composé ne peut être expliquée qu'en faisant intervenir de l'eau dissoute dans le milieu réactionnel.

²Ils n'ont pas considéré l'hypothèse que la base en phase organique pourrait être l'alcoolate *tert*-amylique de tétrabutylammonium.

par Szeja *et al.*, une méthode avec transfert de phase liquide-solide plus adaptée pour les substrats peu solubles en milieu organique (inspirant la méthode A dans la figure 2.1) et une méthode avec transfert de phase liquide-liquide, plus simple (inspirant la méthode B dans la figure 2.1, voir partie expérimentale).

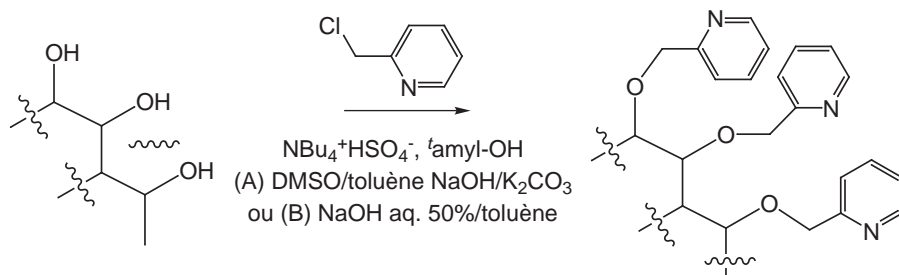


FIG. 2.1 – Protocoles généraux de picoloylation des polyols en conditions de catalyse par transfert de phase (rendement : 65-87% pour les tripicolylations des triols).

Nous avons pu mettre au point des conditions de picoloylation en conditions de catalyse par transfert de phase inspirées de celles de Szeja *et al.* (le benzène a été remplacé par le toluène). Ces conditions peuvent être directement transposables à la fixation d'autres groupes fonctionnels³.

2.1.2 Châssis incluant un motif 1,2,4-butanetriol

Galactopyrannose

Pour comprendre l'influence de la rigidité conformationnelle sur la coordination, il était intéressant de synthétiser des glycoligands de configuration *galacto* ne présentant pas de contraintes conformationnelles telles que celles induites par la double liaison dans le cas du D-galactal ou par la présence de l'acétal cyclique dans le cas du 1,2-*O*-éthylidène- α -D-galactose (figure 2.2). L'intérêt de tels ligands, que nous considérons plus *élastiques* (voir la section 1.7 pour la définition du terme) que les glycoligands synthétisés précédemment (figure 1.22), est d'étudier la structure du site de chélation dans les complexes mononucléaires dérivés en présence de contraintes conformationnelles réduites. Nous verrons plus loin que la présence ou l'absence d'un groupement OMe en 1 dans un des deux ligands n'est pas anodine et influe sur la conformation du cycle pyrannolide dans les complexes cristallisés.

Pour réaliser la synthèse, nous sommes partis du D-galactal^[157] que nous avons réduit par le dihydrogène (catalyseur : Ni de Raney) en 1,5-anhydro-2-désoxy-D-galactitol^[158], qui

³En particulier, elles ont été appliquées avec succès à la fixation de fonctions méthyl-(*N*-méthyl-imidazol-2-yl) à partir du chlorhydrate du chlorure correspondant qui s'était avéré très peu soluble dans le DMF et le THF, compliquant la synthèse selon la méthode classique (Stage de M2 recherche de Ludivine Garcia, 2007).

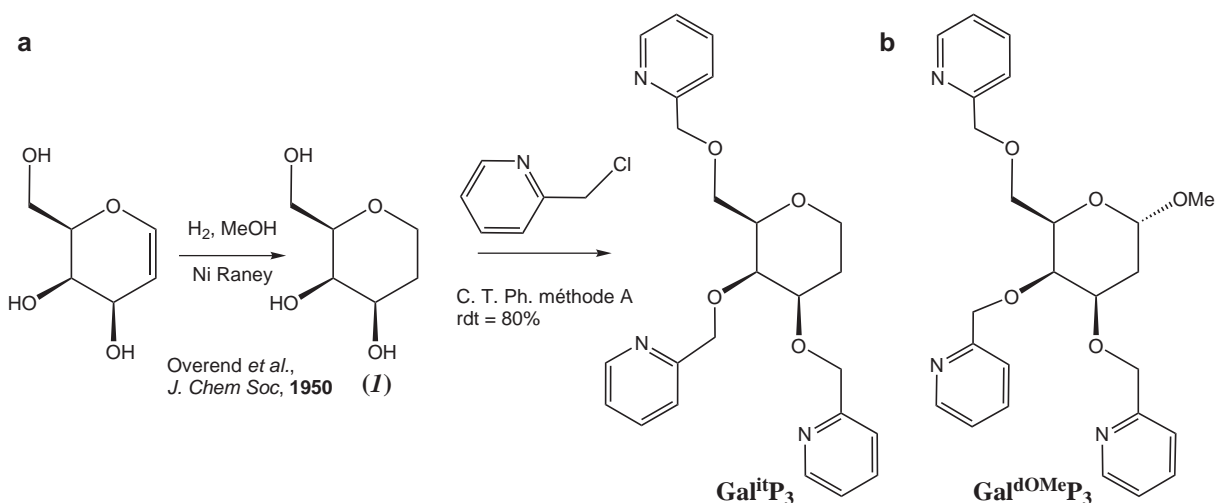


FIG. 2.2 – Ligands basés sur un châssis de type 2-désoxy-D-galactose. **a** : châssis de type 1,5-anhydro-2-désoxy-D-galactitol, **b** : châssis de type 2-désoxy-D-galactopyranoside de méthyle.

a été par la suite picolylé pour obtenir le ligand **Gal^{it}P₃**. Nous allons également discuter du ligand **Gal^{dOMe}P₃**, qui comporte une structure centrale 2-désoxy- α -D-galactopyranoside de méthyle^{[158]⁴}.

Cycles furannosiques

Les différentes conformations des cycles furannosiques présentent des différences d'énergie relatives plus faible par rapport à celles des cycles pyranosiques^[47]. Il est donc vraisemblable, pour des dérivés de sucres de stéréochimie choisie, qu'une conformation chélatante avec proximité spatiale des oxygènes des fonctions éther de picolyle soit accessible énergétiquement. Au début de cette thèse, nous avons donc supposé que les cycles furannosiques constitueraient une possibilité intéressante pour agrandir la famille des glycoligands.

⁴Synthétisé par Nada Ibrahim lors de son stage de M2 recherche en 2006.

Lyxofurannose

L'utilisation de cycles de type furannose qui présentent une amplitude conformationnelle moindre par rapport aux cycles pyranose⁵ peut également être intéressante du point de vue de l'étude de l'influence de la rigidité conformationnelle du ligand sur le complexe^[47]. De plus, les énergies conformationnelles des furannes sont connues pour être plus faibles que celles des pyranoses. Nous avons vu dans l'introduction que l'enthalpie de complexation comprend un terme défavorable dû au passage du ligand dans une conformation chélatante. Pour des ligands avec des cycles furannose, il est probable que la conformation chélatante soit accessible énergétiquement.

Le lyxofurannoside de méthyle (**2**) est le seul pentofurannoside de méthyle présentant une cofacialité des fonctions hydroxyle en 2, 3 et de la fonction hydroxyméthyle en 4. Dans le cadre de l'investigation des propriétés de complexation des polyols, certains auteurs avaient émis l'hypothèse que la fonction hydroxyméthyle pouvait contribuer à la coordination^[34].

La synthèse des dérivés de lyxofurannose se fonde sur une publication de Van Boom *et al.*^[159] dans laquelle ces auteurs ont mis au point des conditions de glycosylation de Fischer, où le dérivé α -furannoside de méthyle (**2**) est formé cinétiquement de façon très majoritaire. La picolylation de ce glycoside brut suivie d'une purification par chromatographie sur colonne a permis d'obtenir le ligand **LyxP₃** pur sous forme de solide polycristallin (figure 2.3).

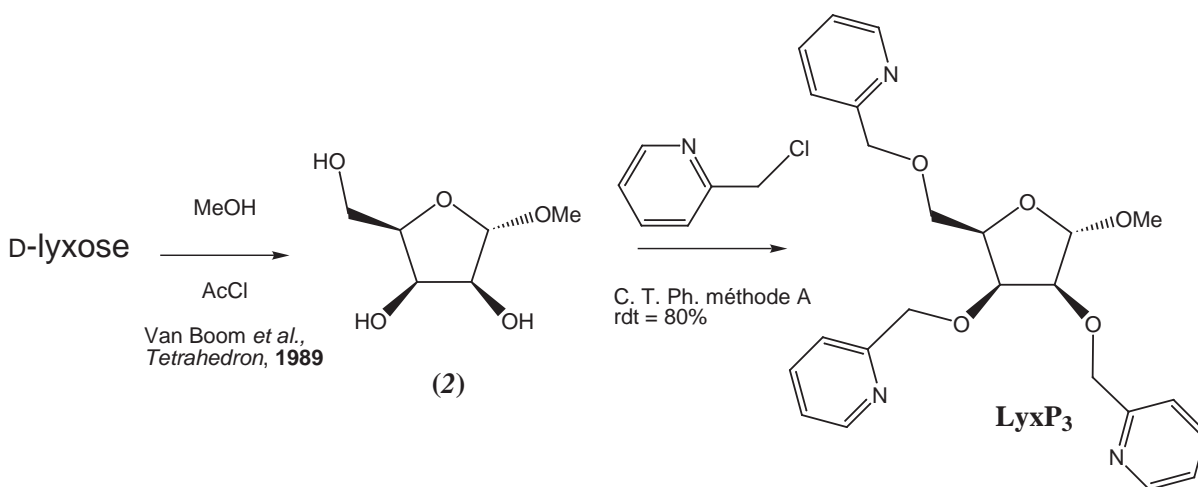


FIG. 2.3 – Synthèse du ligand **LyxP₃**.

⁵Les différentes conformations que ces cycles peuvent adopter, à savoir des conformations enveloppe (*E*) et *twist* (*T*) s'écartent peu de la planéité.

Glucofurannose

Contrairement aux glycoligands décrits jusqu'ici, deux positions sont exocycliques. Pour les ligands dérivés de cette structure, une préorganisation moindre que celle des autres glycoligands est attendue.

En partant du 1,2:5,6-di-*O*-isopropylidène- α -D-glucofurannose commercial (**D-3**), il est possible d'opérer une déprotection sélective de l'acétal en 5,6 dans des conditions douces (évaporation du solvant d'une solution de (**D-3**) dans l'acide acétique)^[160]⁶. La picolylation en conditions de transfert de phase liquide-solide de ce dérivé (**D-4**) donne le ligand **MAGP₃** avec un excellent rendement après chromatographie (figure 2.4).

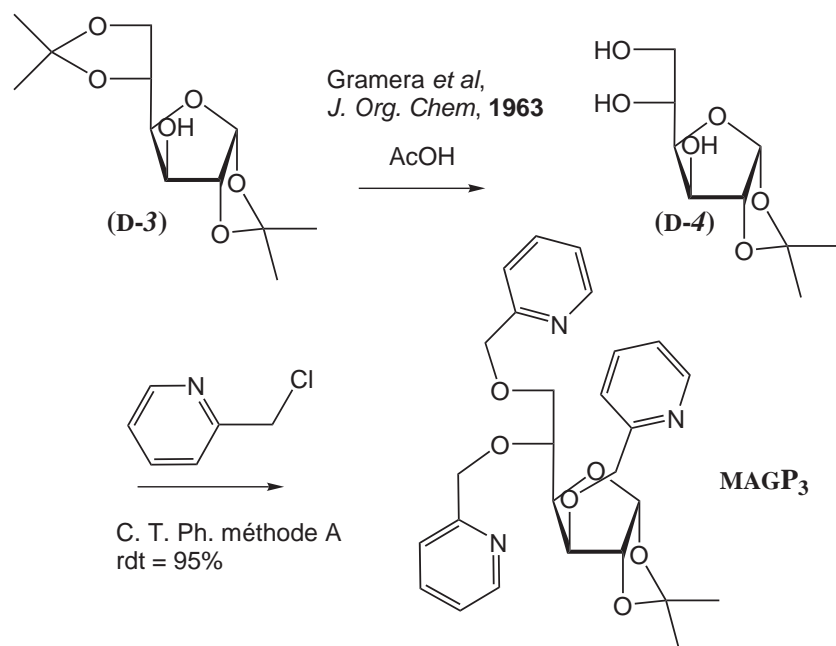


FIG. 2.4 – Synthèse du ligand **MAGP₃**.

La synthèse du ligand énantiomère basé sur le L-glucose a également été réalisée en petite quantité. Pour cela, le L-glucose a été converti en 1,2:5,6-di-*O*-isopropylidène- α -L-glucofurannose (**L-3**) par une réaction d'acétalisation en milieu non acide (catalysée par le diiode)^[162]. Les étapes suivantes sont les mêmes que pour la forme D.

⁶Une méthode très ancienne^[161], impliquant une hydrolyse sélective de l'acétal en 5,6 avec de l'acide nitrique dans l'acétate d'éthyle bouillant, est également très efficace mais impose de nombreuses cristallisations pour obtenir (**D-4**) à l'état pur.

2.1.3 Châssis incluant un motif glycérol

Dans le cadre de cette étude, nous avons cherché à synthétiser un glycoligand formé par fonctionnalisation des positions 2, 3 et 4 d'un cycle de type D-ribopyranose. Bien qu'une synthèse directe du β -D-ribopyranoside de méthyle ait été décrite, elle se fonde sur des méthodes de cristallisation qui paraissent peu reproductibles^[163].

Heureusement, une synthèse en 4 étapes à partir du D-ribose a été publiée^[164, 165]. L'étape clé de la synthèse est la sélection de la forme cyclique β -pyranose. Ceci est réalisé en exploitant les propriétés du groupe benzoyle. En effet, la perbenzoylation du ribose aboutit à un mélange anomérique des deux formes pyranose sans trace de formes furannose, en raison de l'encombrement stérique des substituants benzoyle. Jeanloz *et al.* décrivent^[164] des conditions de cristallisation pour séparer les deux anomères α et β , mais ceci n'est pas nécessaire dans notre cas, puisque l'étape suivante est une bromation anomérique et les deux anomères donnent le même bromure cristallin β (**5**).

Ensuite, la substitution du bromure par le méthanol est réalisée en refluxant une suspension méthanolique du bromure *ribo* jusqu'à dissolution (quelques minutes). Cette synthèse peut être adaptée pour varier la nature de l'aglycone (octyle, benzyle, allyle...⁷). La sélectivité est de nouveau 100% β grâce à la participation anchimérique du groupement benzoyle en 2. Le β -glycoside (**7**) ainsi obtenu est débenzoylé⁸ par action du méthanolate de sodium dans le méthanol (procédure classique de déprotection selon Zemplén^[14]) et picolylé en conditions de transfert de phase pour donner le dérivé **RibP**₃ avec un bon rendement après chromatographie sur colonne de silice. La synthèse est représentée dans la figure 2.5.

Le glycoligand **RibP**₃, isolé d'abord sous forme d'huile, a cristallisé après une longue période à température ambiante et sa structure a été résolue par diffraction des rayons X (figure 2.6). L'analyse des données structurales montre que le ligand se trouve dans une conformation chaise 4C_1 ⁹, contrairement au β -D-ribopyranoside de méthyle (voir section 1.9.2). L'étude par RMN du ligand montre également que la conformation 4C_1 est majoritaire en solution (section 2.9). Nous allons voir dans la suite de ce chapitre, que, dans le cas de ce glycoligand, la complexation est associée à un changement net de conformation ${}^4C_1 \longrightarrow {}^1C_4$

⁷Stage de M2 Recherche de Nada Ibrahim.

⁸Il est à noter que les dérivés perbenzoylés, contrairement aux dérivés peracétylés, ne peuvent pas être utilisés comme substrats pour une picolylation par transfert de phase car, dans les conditions de cette dernière, le benzoate de sodium précipite et empêche l'agitation vigoureuse nécessaire pour mener à bien la réaction.

⁹Dans cette thèse, nous avons attribué des descripteurs symboliques de conformations d'après les *puckering parameters*^[166, 167] déterminés à partir de la structure cristalline. Ceux-ci permettent d'attribuer sans ambiguïté un descripteur symbolique de conformation au cycle considéré, en comparant les valeurs déterminées pour chaque structure à celles correspondant aux différentes conformations idéales. Voir l'annexe A.6.2 pour de brefs rappels sur les conformations des monosaccharides et pour la définition des paramètres de *puckering*.

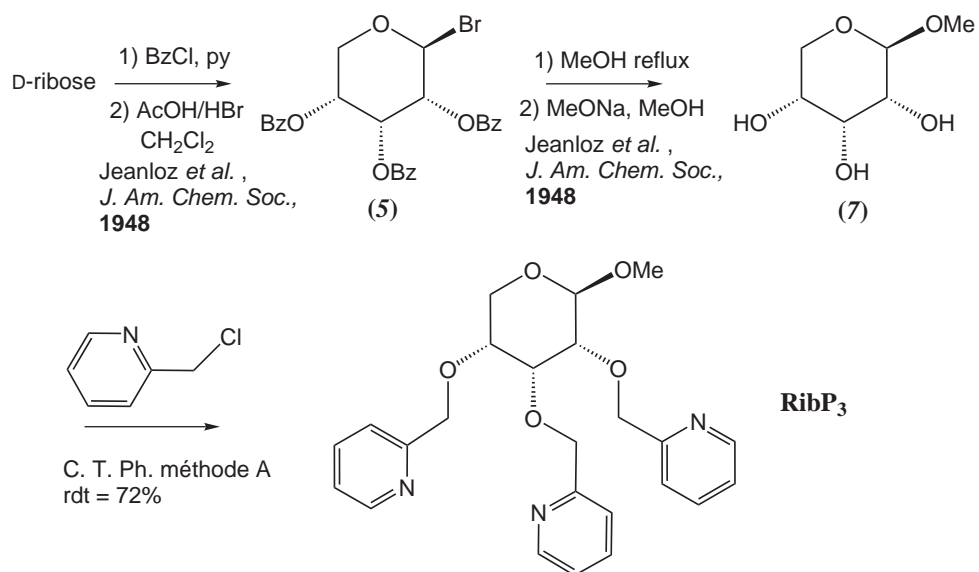


FIG. 2.5 – Synthèse du ligand **RibP₃**.

comme pour les monosaccharides « charnière » décrits dans l'introduction (section 1.4.2). La structure cristalline ne présente pas d'autres caractéristiques notables.

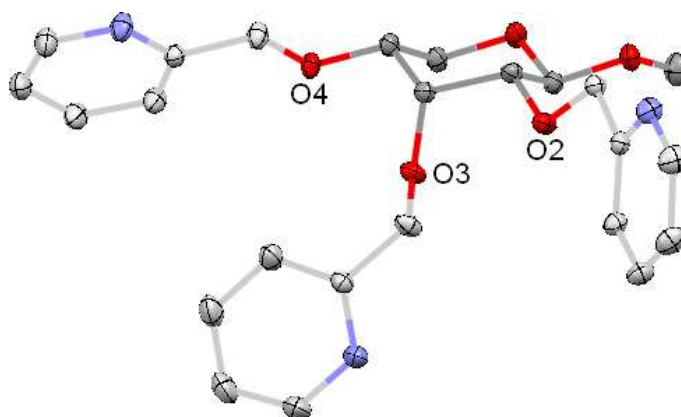


FIG. 2.6 – Structure cristalline de **RibP₃**. Les ellipsoïdes d'agitation thermique sont montrés au niveau de probabilité de 50%. Les atomes de carbone des groupements picolyle sont représentés dans une couleur plus claire pour faciliter la compréhension de la structure.

2.1.4 Châssis incluant un motif 1,2,5-pentanetriol

La synthèse du 4-*O*-benzyl- α -D-mannopyranoside de méthyle a été publiée, sans en donner les détails synthétiques, par Roy *et al.*^[168], à partir du α -D-mannopyranoside de méthyle. La synthèse consiste en l'obtention par deux étapes *one-pot* d'un dérivé 2,3-*O*-monoisopropylidène, une tritylation de la position primaire suivie d'une benzylation de la position 4 et une déprotection simultanée des fonctions trityle et acétal en milieu acide.

Cette synthèse, publiée par Evans *et al.*^[169] a été réalisée en utilisant tout d'abord un réaction d'acétalisation totale en 2,3 et 4,6 suivie, selon un protocole *one-pot*, d'une hydrolyse sélective de l'acétal en 4,6. Le 2,3-*O*-isopropylidène- α -D-mannopyranoside de méthyle (**8**) ainsi obtenu est tritylé en position 6, puis benzylé en conditions de transfert de phase en position 4^[156]. Ensuite, les position 2, 3 et 6 sont déprotégées simultanément en conditions acides pour donner le 4-*O*-benzyl- α -D-mannopyranoside de méthyle (**11**) puis picolylées pour obtenir le ligand **ManP₃Bn**.

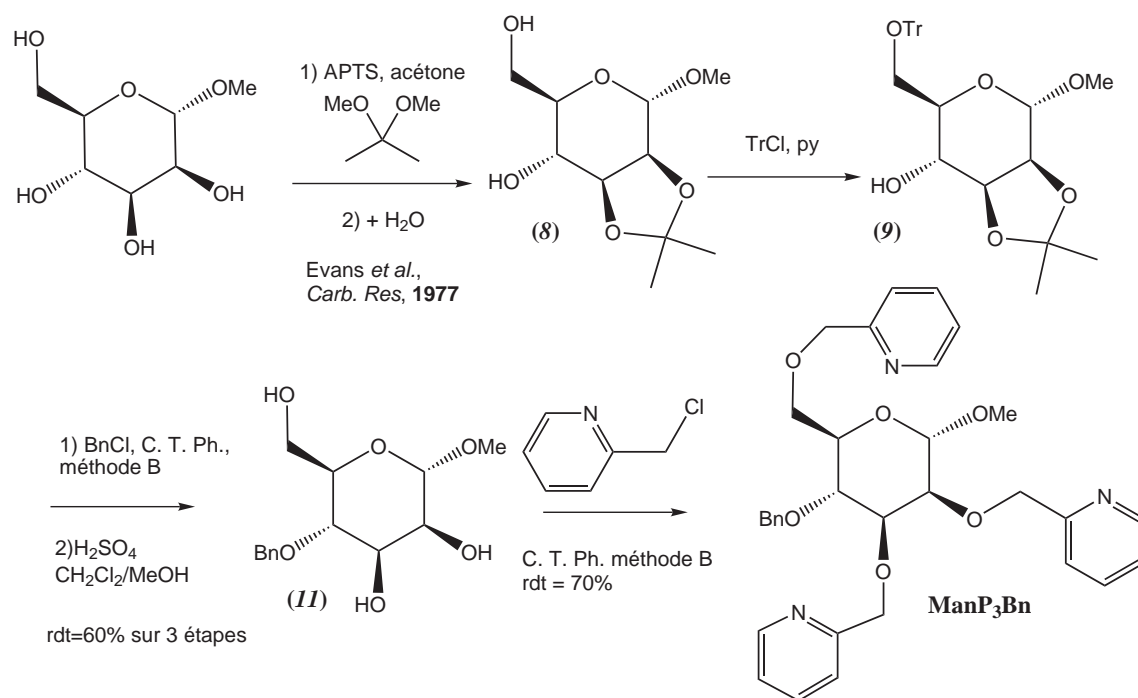


FIG. 2.7 – Synthèse du ligand **ManP₃Bn**.

2.1.5 Analogues acycliques

Afin de comparer les propriétés des glycocomplexes avec celles de composés présentant les mêmes groupes fonctionnels, mais sans la structure cyclique furannosique ou pyranosique, nous avons fonctionnalisé avec succès le glycérol (1,2,3-propanetriol) et (*S*)-1,2,4-butanetriol par des groupements 2-picolyle par la même procédure que pour les glycoligands (figure 2.8).

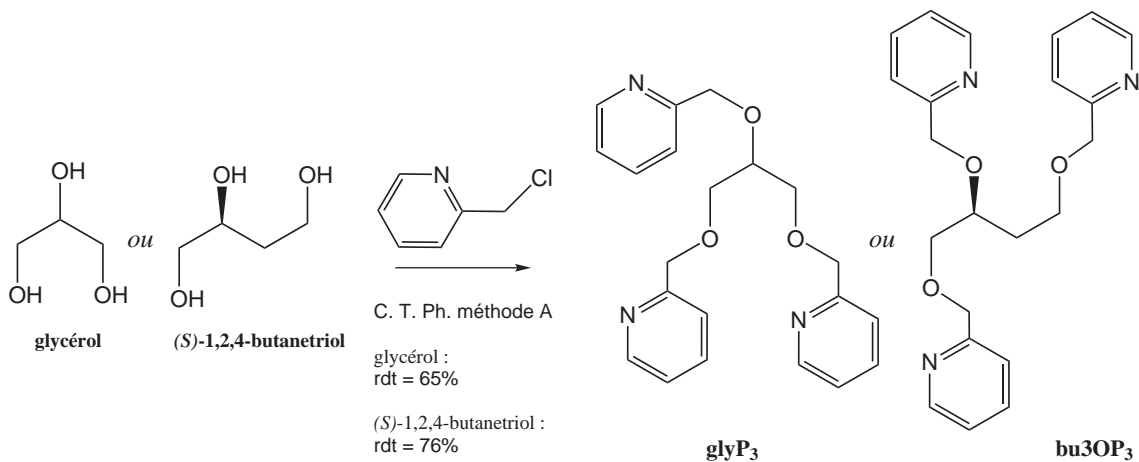


FIG. 2.8 – Synthèse de **glyP₃** et **bu3OP₃** : analogues acycliques des glycoligands triéther.

2.2 Choix des cations métalliques

Pour comprendre les propriétés de coordination des glycoligands, nous avons entrepris la synthèse, l'isolation sous forme cristalline et l'étude par diffraction des rayons X de complexes de coordination dérivant des glycoligands pour des cations métalliques variés. La nature des groupements coordonnants dans le cas des glycoligands (éthers et amines aromatiques) en font des ligands de dureté intermédiaire dans le cadre de la théorie HSAB^[170] (*Hard and Soft Acids and Bases*). Il s'agit donc de ligands bien adaptés aux cations divalents des métaux de transition de la série *3d*. Les éléments de la première série de transition présentant une stabilité appréciable du nombre d'oxydation +II sont compris entre le manganèse et le zinc¹⁰[171].

Les ions utilisés n'ont pas les mêmes préférences électroniques (voir la section 2.4.4). Le Cu(II) étant de configuration électronique d^9 , les complexes hexacoordonnés qu'il forme présentent un effet Jahn-Teller qui se traduit par une déformation tétragonale (élongation ou compression). Le rayon cristallin des ions décroît dans le sens $\text{Mn} > \text{Fe} > \text{Co} > \text{Ni} \sim \text{Cu} < \text{Zn}$ dans la série des cations métalliques utilisés¹¹. Notons au passage que l'ordre habituel des constantes de formation des complexes de coordination donné par la série d'Irving et Williams^[100] est approximativement l'ordre inverse $\text{Mn(II)} < \text{Fe(II)} < \text{Co(II)} < \text{Ni(II)} < \text{Cu(II)} > \text{Zn(II)}$. Les rayons cristallins des différents cations métalliques utilisés sont présentés dans le tableau 2.1.

	Mn(II)(NC=7)	Mn(II)(NC=6)	Fe(II)	Co(II)	Ni(II)	Cu(II)	Zn(II)
$r_{\text{crist}}^{[a]}$	1,04	0,97	0,92	0,89	0,83	0,87 ^[b]	0,88

[a] Rayon cristallin en Å. [b] Cette valeur est sujette à caution puisque le cuivre(II) se trouve toujours en géométrie octaédrique distordue.

TAB. 2.1 – Rayons cristallins des cations métalliques étudiés (NC=6 pour Fe(II), Co(II), Ni(II), Cu(II), Zn(II)) dans le cadre de cette thèse (source : [108]).

¹⁰Le zinc n'est pas à proprement parler un métal de transition puisque la sous-couche *3d* est toujours complètement remplie dans les composés de cet élément.

¹¹Comme tous les glyco-complexes de Mn(II), de Fe(II), de Co(II) et de Ni(II) obtenus sont des espèces à spin fort, nous ne considérerons dans cette discussion que les rayons cristallins des ions à spin fort.

2.3 Réaction de complexation

Les complexes sont synthétisés simplement en mélangeant des solutions contenant des quantités équimolaires du ligand et d'un sel du cation métallique voulu en présence d'anions perchlorate (ClO_4^-) ou hexafluorophosphate (PF_6^-). S'il est vrai que ces contre-ions sont habituellement considérés tous deux comme peu coordonnants, une analyse de la banque de données du *Cambridge Crystallographic Data Centre* montre des comportements différents pour ces deux anions. En effet, il est à noter que 8% des structures contenant l'anion perchlorate montrent celui-ci en interaction à moins de 3 Å avec un métal (1190 exemples sur 14447). En revanche, il n'existe que 33 exemples de complexes avec un ion hexafluorophosphate avec des distances M-F inférieures à 3 Å, sur 8911 structures contenant ce ion.

Synthèse à partir du nitrate du cation métallique

Les complexes peuvent être synthétisés à partir du sel de nitrate du cation métallique au degré d'oxydation +(II) et du glycoligand, en mélangeant des solutions éthanoliques contenant des quantités équimolaires des partenaires réactionnels.¹² Pour Co(II), Ni(II) et Cu(II), la réaction de complexation est repérable par un changement de couleur immédiat. Nous avons vérifié dans le cadre de l'étude des glycocomplexes par dichroïsme circulaire (voir section 2.8) que des solutions de glycocomplexes issues, soit de la dissolution de cristaux, soit du mélange de solutions équimolaires de glycoligand et de sel métallique réalisé immédiatement avant l'enregistrement donnaient le même spectre. Ceci signifie que les deux solutions sont à l'équilibre, et la réaction de complexation est très rapide, ce qui peut être compris en considérant les cinétiques d'échange des molécules d'eau qui ont été mesurées pour les cations hexaaqua de ces métaux : le temps $t_{1/2}$ associé varie d'environ 10^{-4} s (Ni) à 10^{-9} s (Cu)^[171].

Une fois le complexe synthétisé en solution, il est précipité par ajout d'un léger excès de NH_4PF_6 . La forme octaédrique des anions hexafluorophosphate leur permet d'interagir avec de nombreuses autres espèces et ainsi de structurer le réseau cristallin. Le précipité ainsi obtenu est redissous par ajout d'une quantité minimale d'acétone. L'acétone possédant un point d'ébullition inférieur à celui de l'éthanol, l'évaporation lente de ces solutions nous a permis d'obtenir les complexes cristallins dans la plupart des cas dans un temps variant de quelques heures à 10 jours environ¹³.

Synthèse à partir du perchlorate du cation métallique

¹²Nous considérons que le nitrate est un anion faiblement coordonnant et, donc, que les espèces cationiques présentes dans les solutions de nitrates de métaux de transition sont les cations métalliques solvatés.

¹³Il est à noter que, dans un certain nombre de cas, le produit obtenu par cette procédure s'est avéré contaminé, d'après la microanalyse, par une petite quantité de NH_4PF_6 . Dans ces cas, les cristaux ont été lavés avec du méthanol froid pour avoir des échantillons purs.

L'utilisation de perchlorates de cations métalliques, au lieu des nitrates correspondants, aboutit directement à la précipitation du sel de perchlorate du glyco-complexe dès le mélange des solutions éthanoliques des partenaires réactionnels. De même que les anions PF_6^- , les anions tétraédriques ClO_4^- permettent d'interagir avec de nombreuses autres espèces et ainsi de structurer le réseau cristallin. L'avantage de l'utilisation des perchlorates par rapport aux hexafluorophosphates est, bien évidemment, le fait de pouvoir s'affranchir de l'échange d'anions, afin d'obtenir directement des solides cristallisés analytiquement purs. L'inconvénient est le caractère potentiellement explosif des sels de perchlorate de complexes contenant des ligands organiques^[172]. Bien qu'aucun problème n'ait été rencontré dans le cadre de cette thèse, nous avons préparé les sels de perchlorate en faible quantité selon des protocoles qui n'impliquent pas de chauffage. Les cristaux sont ensuite obtenus de façon analogue à ce qui a été décrit ci-dessus¹⁴.

Il se pourrait également que des interactions dues à l'empilement dans le cristal déforment sensiblement la structure des unités moléculaires présentes dans celui-ci. Toutefois, aucun des cristaux des sels de glyco-complexes (à part le complexe du ligand **ManP₃Bn** décrit dans la section 2.6) ne montre d'interaction intramoléculaire significative en phase solide. De plus, nous avons pu confirmer sur quelques exemples, que, dans des complexes différant par la nature du contre-ion de cristallisation, les complexes cationiques étaient isostructuraux. Nous ne nous intéresserons donc qu'à la structure des unités $[\text{M}(\text{L})]^{2+}$ au sein de la structure cristalline, en nous affranchissant du contre-ion.

Remarques générales

Tous les complexes à l'état solide paraissent infiniment stables à l'air. Il en est de même pour les solutions de glyco-complexes à l'exception des complexes de Fe qui donnent des précipités insolubles dans les solvants organiques en solution au bout de quelques jours (probablement des hydroxydes de fer(III)). En effet, le rayon cristallin des ions trichargés des métaux de transition étant plus petit que celui des ions dichargés, un ligand rigide peut moduler drastiquement le potentiel redox du couple M(II)/M(III) (Fe, Co, Ni, voir par exemple ^[101]) et ainsi stabiliser les cations divalents par rapport aux cations trivalents¹⁵.

¹⁴La solubilité dans l'éthanol des sels de perchlorate des glyco-complexes paraît supérieure à celle des sels d'hexafluorophosphate, ce qui peut se comprendre en considérant la taille supérieure de ce dernier anion, plus proche de celle du glyco-complexe cationique. Il est vraisemblable que ce soit pour cette raison qu'il n'a pas été possible d'isoler des complexes du ligand **MAGP₃** avec des perchlorates comme contre-ion.

¹⁵Des mesures de voltammogrammes cycliques de solutions¹⁶ des glyco-complexes de Co(II) mettent en évidence des pics anodiques mal définis vers +0,8 V par rapport à l'électrode au calomel saturé. Nous allons nous abstenir de commenter les valeurs précises mesurées en raison du caractère irréversible des processus étudiés et du fait que ces processus d'oxydation sont caractérisés par des signaux en voltammétrie cyclique qui ne sont pas stables sur plusieurs cycles de balayage (ce qui pourrait indiquer l'adsorption d'une espèce à la surface de l'électrode suite à l'oxydation).

Les glycocomplexes de type triéther ont été caractérisés par spectrométrie de masse montrant des pics de complexes dichargés et des adduits monochargés des contre-ions de cristallisation. Dans le cas des complexes de Cu(II), des pics monochargés associés à des espèces $[\text{Cu}+\text{L}]^+$ formées par réduction dans le spectromètre de masse ont été observés. Ceci a déjà été décrit dans la littérature^[173].

Les sels des glycocomplexes isolés sous forme cristalline ont été systématiquement analysés par spectroscopie IR. La coordination du ligand au métal est caractérisée par un déplacement de la bande associée à l'élongation C=N des groupements pyridine de $\sim 1590 \text{ cm}^{-1}$ à $> 1600 \text{ cm}^{-1}$, comme il avait été observé précédemment^[151].

2.4 Structures cristallines des glycocomplexes – ligands de type 1,2,4-butanetriol fonctionnalisés

Pour toutes les structures décrites dans cette thèse, les données relatives à la résolution de structures cristallographiques sont fournies en annexe (tableaux A.1 à A.6). Les incertitudes présentées entre parenthèses dans les tableaux des distances et angles de liaison sont les écarts-types σ obtenus lors de la procédure d'affinement cristallographique. Dans les discussions des structures cristallographiques qui vont suivre, nous considérerons significativement différentes des longueurs et angles de liaison présentant un écart supérieur à $3 \times \sigma$.

Avertissement

Les résultats concernant les structures cristallographiques que nous allons détailler dans le cadre de cette thèse, sont, comme pour toute structure obtenue par cette technique, réalisés sur *un* monocristal. Nous allons nous autoriser à utiliser des arguments basés sur les structures cristallographiques pour expliquer les propriétés des complexes en solution, mais nous n'allons pas considérer qu'il va de soi que la structure moléculaire d'un complexe obtenue à l'état solide est précisément celle de ce complexe en solution.

2.4.1 Complexes des ligands dérivés du galactose

Les 2 nouveaux ligands centrés sur des unités de type 2-désoxy galactose nous ont permis d'isoler une paire de complexes en appliquant le protocole décrit au paragraphe 2.3 (pour le protocole utilisé pour chaque composé, voir la partie expérimentale) : le complexe $[\text{Co}(\text{Gal}^{\text{it}}\text{P}_3)](\text{ClO}_4)_2$ et le complexe $[\text{Ni}(\text{Gal}^{\text{dOMe}}\text{P}_3)](\text{PF}_6)_2$ (voir la figure 2.2). Le but de l'étude de ces glycocomplexes est de les comparer aux complexes contenant les ligands plus rigides $[\text{Co}(\text{Gal}^{\text{al}}\text{P}_3)]^{2+}$ ^[152] et $[\text{Ni}(\text{Gal}^{\text{Et}}\text{P}_3)]^{2+}$ ^[153] qui ont été précédemment décrits, afin

d'étudier la structure du site de chélation en présence de contraintes conformationnelles réduites pour le cycle pyrannoïdes du ligand.

Alors que, dans le cas des ligands libres, la conformation des cycle pyrannoïdes est, sans aucun doute, 4C_1 , du fait de la nécessité de placer le carbone C6 en équatorial^[47, 48], la résolution des structures cristallographiques des deux complexes a montré la présence des ligands dans des conformations qui seraient parmi les plus instables pour le ligand libre. D'une part, le ligand $\text{Gal}^{\text{it}}\text{P}_3$ se trouve dans une conformation 1C_4 avec le substituant $\text{CH}_2\text{-O}$ en position axiale dans la structure cristalline, bien qu'il ait été montré que l'énergie conformationnelle associée au passage d'un groupement CH_2OR en position axiale est proche de 12 kJ mol^{-1} ^[174] dans les solvants aprotiques. D'autre part, le ligand $\text{Gal}^{\text{dOMe}}\text{P}_3$ est dans une conformation intermédiaire entre un bateau ${}^{O,3}B$ et un bateau croisé ${}^{O,3}T$. Ces deux conformations sont parmi les plus instables^[47].

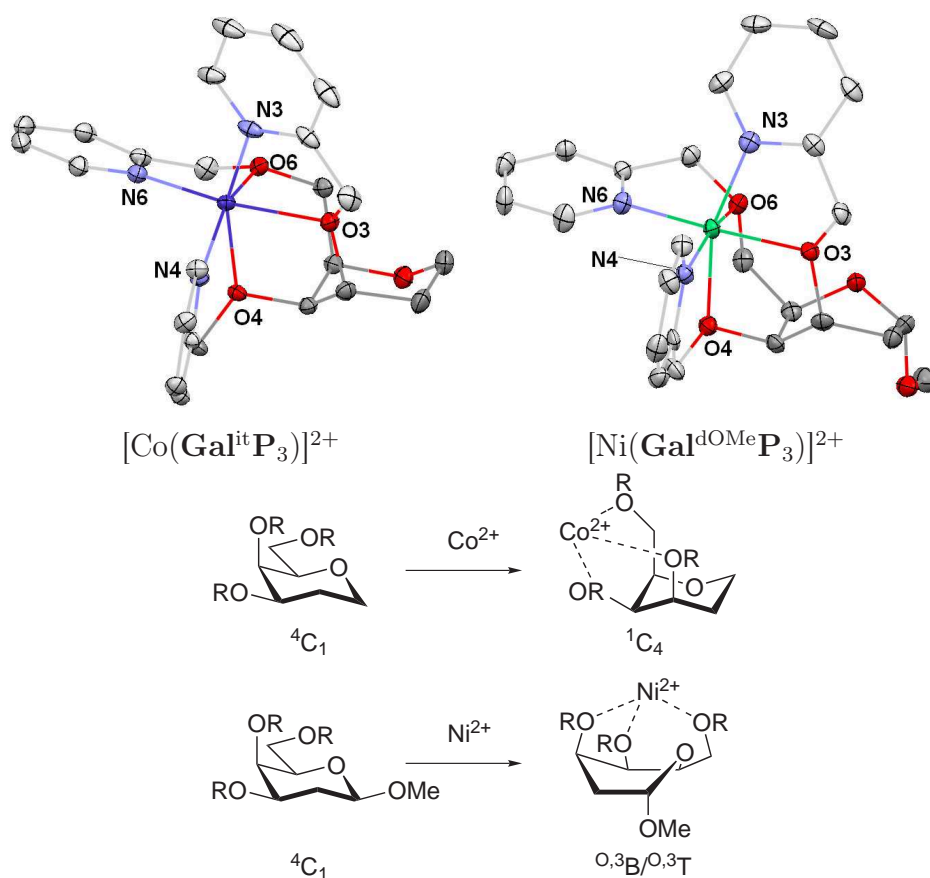


FIG. 2.9 – Structures cristallines des complexes des ligands $\text{Gal}^{\text{it}}\text{P}_3$ et $\text{Gal}^{\text{dOMe}}\text{P}_3$. Les contre-ions et les atomes d'hydrogène des ligands ont été omis par souci de clarté. Les atomes sont représentés comme des ellipsoïdes d'agitation thermique avec une probabilité de 50%.

	[Co(Gal ^{it} P ₃)] ²⁺	[Ni(Gal ^{dOMe} P ₃)] ²⁺
O3	2,132(1)	2,044(2)
O4	2,135(1)	2,083(2)
O6	2,100(1)	2,105(2)
moy.	2,122	2,077
N3	2,053(1)	2,043(3)
N4	2,117(1)	2,039(2)
N6	2,050(2)	2,015(3)
moy.	2,073	2,032
O3-M-O4	81,1(1)	81,7(1)
O4-M-O6	77,7(1)	85,7(1)
O3-M-O6	85,2(1)	83,7(1)
moy.	81,3	83,7
angles chélates O,N (moy.)	78,0	83,0
angles N-M-N (moy.)	102,7	101,6
angle dièdre O4-C4-C5-C6	58,4(2)	12,6(4)
chiralité hélicoïdale	Δ	Δ

TAB. 2.2 – Distances (Å) et angles (°) de liaison métal-ligand dans les complexes des ligands **Gal**^{it}**P**₃ et **Gal**^{dOMe}**P**₃.

Les distances et les angles de liaison sont semblables à ceux mesurés dans les complexes [Co(**Gal**^{al}**P**₃)]²⁺ et [Ni(**Gal**^{Et}**P**₃)]²⁺. Les angles que forment les liaisons de coordination autour du cation métallique suggèrent une distorsion moindre que dans [Co(**Gal**^{al}**P**₃)]²⁺^[152] et [Ni(**Gal**^{Et}**P**₃)]²⁺^[153], ce qui pouvait être attendu en raison du relâchement des contraintes conformationnelles du cycle pyrannolide au sein du complexe en passant du ligand **Gal**^{al}**P**₃ au ligand **Gal**^{it}**P**₃ et du ligand **Gal**^{Et}**P**₃ au ligand **Gal**^{dOMe}**P**₃, respectivement. Ceci pourrait augmenter l'élasticité de la sphère de coordination.

Comme les complexes des ligands **Gal**^{al}**P**₃ et **Gal**^{Et}**P**₃ présentent la même conformation du ligand quel que soit le cation métallique¹⁷, et que la seule différence mis à part la nature du cation métallique entre les deux complexes est la présence du groupement OMe en 1 dans le ligand **Gal**^{dOMe}**P**₃, c'est l'effet anomérique qui est vraisemblablement à l'origine de la différence de conformation entre les deux ligands dans les structures cristallines des complexes. En effet, si le ligand **Gal**^{dOMe}**P**₃ était en conformation ¹C₄ dans le complexe, le groupement OMe serait en position équatoriale, et il n'y aurait donc pas d'effet anomérique stabilisant.

Les complexes présentent un métallacycle à six chaînons M/O4/C4/C5/C6/O6. Comme

¹⁷Cette propriété a été vérifiée également pour les glycoligands décrits dans le cadre de cette thèse.

en chimie organique, ce sont les cycles à six chaînons qui présentent la plus grande variété de conformations possibles et les plus grandes énergies conformationnelles. Les conformations les plus stables sont les conformations chaise, ce qui a été vérifié par une étude statistique dans la base de données du *Cambridge Crystallographic Data Centre*^[175, 176]. Dans le cas du complexe $[\text{Co}(\text{Gal}^{\text{it}}\text{P}_3)]^{2+}$, la conformation chaise 1C_4 implique un angle dièdre très proche de 60° pour O4-C4-C5-C6¹⁸. Cette valeur est compatible avec une conformation chaise pour le métallacycle M/O4/C4/C5/C6/O6. En revanche, dans le complexe $[\text{Ni}(\text{Gal}^{\text{dOMe}}\text{P}_3)]^{2+}$, l'effet anomérique implique une conformation présentant un angle dièdre proche de 0° pour O4-C4-C5-C6, qui implique une conformation bateau pour le métallacycle M/O4/C4/C5/C6/O6. Autrement dit, si l'on suppose que la conformation observée dans la structure cristalline est la conformation la plus stable du complexe en solution, la stabilisation par l'effet anomérique du groupement OMe est suffisante pour modifier la nature de la conformation de plus basse énergie à la fois du cycle pyranosique *et* du métallacycle à 6 chaînons dans le complexe.

Pour ces deux ligands, les essais de complexation avec d'autres cations métalliques n'ont pas abouti à l'isolation de solides cristallins. Considérant que le fait d'isoler des complexes contenant des conformations défavorables du ligand introduit une contribution ΔU_{comp} (voir paragraphe 1.7) défavorable à la complexation, ceci pourrait être expliqué par une stabilité réduite des complexes.

2.4.2 Complexes du ligand LyxP_3

Le ligand LyxP_3 , qui est centré sur un cycle furannosique, a permis d'isoler des complexes mononucléaires des cations divalents de Fe (spin fort), Co (spin fort), Ni, Cu et Zn en appliquant les protocoles décrits ci-dessus. Dans le cas du Mn(II), nous n'avons pas observé de précipitation lors de la synthèse du complexe en partant du nitrate correspondant. Nous avons néanmoins pu isoler un complexe de Mn(II) par diffusion sur plusieurs semaines à 6°C de vapeurs d'éther de *tert*-butyle et de méthyle dans le mélange réactionnel.

Les structures cristallines (figure 2.10) ont montré que les complexes de Fe, Co, Ni, Zn et Cu présentent un nombre de coordination de 6 avec liaison au métal de tous les groupements éther de picolyle, alors que le complexe de Mn présente un nombre de coordination de 7, avec une molécule d'eau complétant la sphère de coordination¹⁹.

Une sélection de distances et d'angles décrivant les structures est présentée dans les tableaux 2.3 (Mn) et 2.4 (Fe, Co, Ni, Zn, Cu).

¹⁸En conformation chaise, tous les angles dièdre du cycle sont de 60° . En conformation bateau, deux des angles dièdre sont de 0° .

¹⁹En raison du rayon cristallin de $0,96 \text{ \AA}$ du cation du Mn(II) spin fort, l'heptacoordination n'est pas rare pour les complexes de cet ion. Une recherche dans la base de données cristallographique du *Cambridge Crystallographic Data Centre* a révélé que, parmi les cations divalents des métaux 3d, c'est pour le manganèse que le plus de structures cristallographiques ont été déposées dans la base de données.

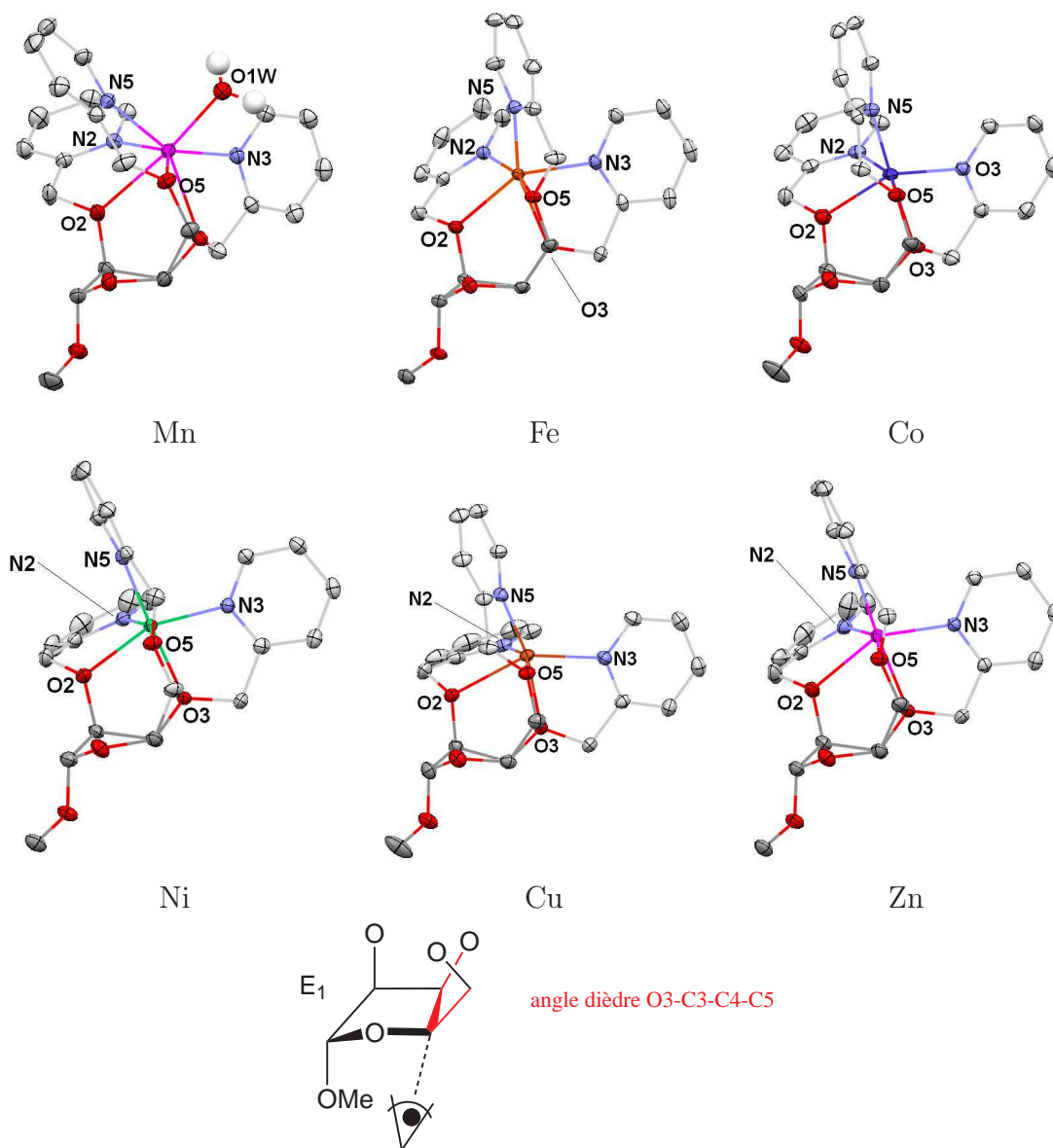


FIG. 2.10 – Structures cristallines des complexes du ligand **LyxP₃**. Les contre-ions et les atomes d’hydrogène de **LyxP₃** ont été omis par souci de clarté. Les atomes sont représentés comme des ellipsoïdes d’agitation thermique avec un probabilité de 50%. Les complexes cationiques sont représentés avec la liaison C1-OMe en verticale dans le plan de la feuille et avec la liaison C4-C5 perpendiculaire à ce dernier. L’œil indique l’orientation des vues des structures.

Les structures cristallines des complexes contiennent un cycle lyxofurannose dans une conformation intermédiaire entre E_1 et 2T_1 (voir section 2.4.4). Cette conformation de cycle permet la proximité spatiale des oxygènes O2, O3 et O5 nécessaire à l’obtention d’un édifice mononucléaire tout en ayant une stabilisation par l’effet anomérique du groupement OMe qui

Mn-O2	2,352(2)	O2-Mn-O3	68,7(1)	O1W-Mn1-O3	116,4(1)
Mn-O3	2,320(2)	O3-Mn-O5	74,7(1)	O1W-Mn1-O5	80,7(1)
Mn-O5	2,272(2)	O2-Mn-O5	74,9(1)	N2-Mn-N3	85,5(1)
Mn-N2	2,297(2)	O _n -Mn-N _n (moy.)	70,8	N2-Mn-N5	87,0(1)
Mn-N3	2,271(2)	O1W-Mn1-N2	129,0(1)	N3-Mn-Mn5	149,5(1)
Mn-N5	2,250(2)	O1W-Mn1-N3	81,7(1)		
Mn-O1W	2,212(2)	O1W-Mn1-N5	80,3(1)	O3-C3-C4-C5	13,6(3)

TAB. 2.3 – Distances (Å) et angles (°) de liaison dans $[\text{Mn}(\text{LyxP}_3)]^{2+}$ dans les cristaux de $[\text{Mn}(\text{LyxP}_3)(\text{H}_2\text{O})](\text{PF}_6)_2 \cdot 2^t\text{BuOMe}$.

	Fe	Co	Ni	Cu	Zn
O2	2,177(2)	2,142(2)	2,120(2)	2,346(2)	2,224(1)
O3	2,109(2)	2,055(2)	2,040(2)	2,049(2)	2,131(1)
O5	2,173(2)	2,100(2)	2,067(2)	2,041(2)	2,204(1)
moy.	2,153	2,099	2,075	2,145	2,186
N2	2,152(2)	2,121(2)	2,067(2)	2,006(2)	2,092(2)
N3	2,115(2)	2,064(2)	2,039(2)	2,158(2)	2,051(2)
N5	2,162(2)	2,092(2)	2,030(2)	1,966(2)	2,074(2)
moy.	2,143	2,092	2,045	2,043	2,072
O2-M-O3	72,0(1)	75,8(1)	78,2(1)	73,4(1)	72,7(1)
O3-M-O5	80,5(1)	79,8(1)	85,9(1)	84,8(1)	79,0(1)
O2-M-O5	93,5(1)	87,1(1)	81,6(1)	81,7(1)	79,0(1)
angles chélates O,N (moy.)	74,6	76,2	79,1	80,0	76,6
angles N-M-N (moy.)	94,7	99,4	100,0	104,7	103,3
angle dièdre O3-C3-C4-C5	-0,4(3)	5,8(3)	15,0(3)	9,6(3)	11,8(3)

TAB. 2.4 – Distances (Å) et angles (°) de liaison métal-ligand dans les complexes du ligand LyxP_3 . est en position axiale dans toutes les structures (en revanche, le substituant $\text{CH}_2\text{-O}$ en 4 est en position pseudoaxiale, ce qui n'est pas favorable). La conformation E_1 implique également une petite valeur pour l'angle dièdre O3-C3-C4-C5 : dans toutes les structures cristallines, elle est inférieure à 20° . Comme cet angle dièdre est commun au cycle furannosique et au métallacycle à 6 chaînons M/O5/C5/C4/C3/O3, ce dernier se trouve dans une conformation bateau $^{O3,C5}B$. Les énergies conformationnelles des cycles chélates à 6 chaînons ont été calculées par des approches de type champ de force dans le cas de cycles chélate N,N à 6 chaînons dérivés de diamines cycliques pour divers de divers cations de transition monovalents, divalents et trivalents^[177]. Dans le complexes de Co(III) la différence d'énergie conformationnelle chaise-bateau est de l'ordre de 16 kJ mol^{-1} ^[178]. Ces systèmes sont toutefois très différents

des glycocomplexes (natures des atomes coordonnants, absence de fusion de cycle...). Les structures des cations complexes avec un nombre de coordination de 6 présentent toutes une chiralité hélicoïdale Λ pour les cycles chélates O,N des fonctions éther de picolyle. Elles sont représentées dans la figure 2.10. Dans le cas du complexe de Mn, la géométrie de coordination est difficile à décrire, comme il est habituel pour les structures présentant un nombre de coordination de 7^{[179]20}. Le polyèdre décrivant le mieux la structure est un prisme trigonal cappé avec les deux faces triangulaires du prisme définies par O1W, N5 et O5 d'une part, et N2, N3 et O3 d'autre part, et O2 (atome qui présente la distance de liaison au Mn la plus longue) étant l'atome capping une face de type rectangulaire définie par O3, O5, N2 et N5. La molécule d'eau s'insère entre N3 et N5, à l'opposé du cycle furannosique.

L'évolution des distances de liaison M-N suit l'évolution des rayons cristallins des ions étudiés (voir plus haut, tableau 2.1) alors que l'évolution des distances de liaison M-O ne la suit pas. Ceci est une remarque qui vaut pour les complexes de tous les glycoligands et qui sera discutée dans la section 2.4.4).

2.4.3 Complexes du ligand MAGP_3

Des complexes du ligand MAGP_3 avec les cations divalents de Co (spin fort), Ni et Zn ont pu être isolés avec PF_6^- comme contre-ion. Les essais de cristallisation n'ont pas abouti avec le contre-ion ClO_4^- , ce qui est vraisemblablement dû à la taille plus réduite de ce dernier contre-ion par rapport à l'hexafluorophosphate, qui a une taille plus proche des complexes cationiques de MAGP_3 , favorisant ainsi l'empilement dans un monocristal. Le complexe de cuivre a pu être isolé comme un solide polycristallin avec une microanalyse CHN satisfaisante, mais des cristaux de qualité suffisante pour l'étude par diffraction des rayons X n'ont pu être obtenus. Les structures des complexes, qui sont tous des stéréoisomères Λ , sont montrées dans la figure 2.11.

Dans les complexes, le ligand se trouve dans une conformation intermédiaire entre 3E et 3T_4 (voir la section 2.4.4), ce qui permet de placer le groupement éther de picolyle en C3 en axial et le substituant $\text{CH}_2\text{-O-picolyle}$ en C5 en équatorial. La position équatoriale pour ce groupement constitue sa position la plus stable^[47, 48], comme nous l'avons mentionné lors de la discussion des complexes de $\text{Gal}^{\text{it}}\text{P}_3$ et $\text{Gal}^{\text{dOMe}}\text{P}_3$. De plus, cette conformation implique des valeurs proches de 60° pour l'angle dièdre O3-C3-C4-C5 qui sont compatibles avec une conformation chaise pour le métallacycle à six chaînons M/O3/C3/C4/C5/O5.

Le ligand L-MAGP_3 a été utilisé pour synthétiser le complexe de Co(II) énantiomère du complexe $[\text{Co}(\text{MAGP}_3)](\text{PF}_6)_2$ (figure 2.11).

²⁰La variabilité dans la géométrie des complexes de Mn(II) heptacoordonnés avec des ligands pyridine/amine/éther est illustrée par les résultats d'une étude récente de Mohamadou *et al.*^[180].

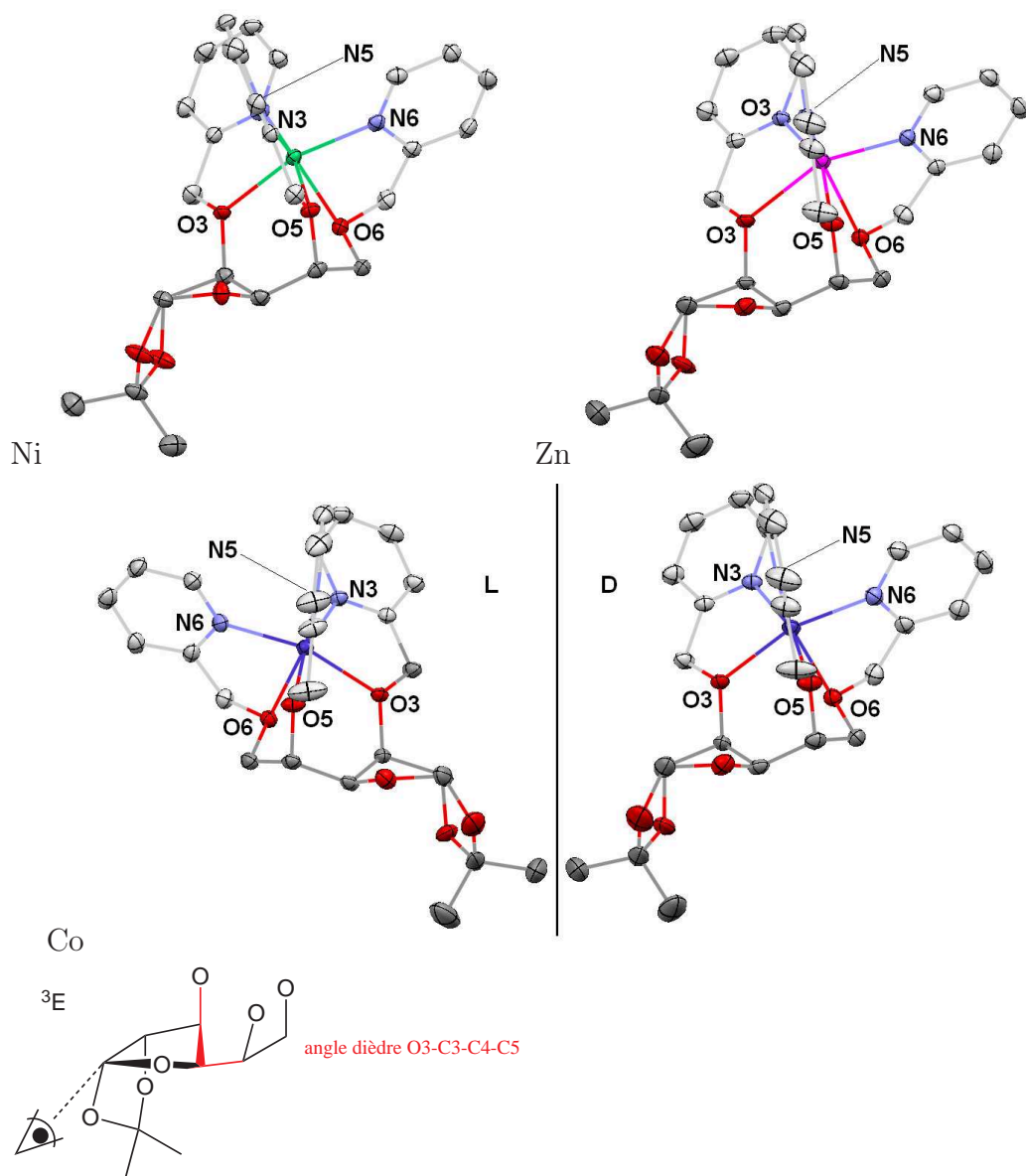


FIG. 2.11 – Structures cristallines des complexes du ligand **MAGP**₃. Les contre-ions et les atomes d'hydrogène de **MAGP**₃ ont été omis par souci de clarté. Les atomes sont représentés comme des ellipsoïdes d'agitation thermique avec une probabilité de 50%. Les complexes cationiques sont représentés avec la liaison C3-O3 en verticale dans le plan de la feuille et avec la liaison C1-C2 perpendiculaire à ce dernier. L'œil indique l'orientation des vues des structures.

	Co	Ni	Zn
O3	2,149(2)	2,143(2)	2,320(2)
O5	2,018(2)	1,989(2)	2,030(2)
O6	2,184(2)	2,150(2)	2,291(2)
moy.	2,117	2,094	2,214
N3	2,039(2)	2,013(3)	2,084(3)
N5	2,095(2)	2,046(3)	2,014(2)
N6	2,125(2)	2,053(3)	2,102(3)
moy.	2,054	2,037	2,067
O3-M-O5	86,6(1)	78,5(1)	80,1(1)
O5-M-O6	77,2(1)	80,2(1)	75,0(1)
O3-M-O6	78,1(1)	88,3(1)	73,6(1)
angles chélates O,N (moy.)	77,3	79,1	76,0
angles N-M-N (moy.)	98,5	98,9	103,3
angle dièdre O3-C3-C4-C5	-42,6(5)	-42,6(4)	-41,3(4)

TAB. 2.5 – Distances (\AA) et angles ($^\circ$) de liaison métal-ligand dans les complexes du ligand **MAGP**₃.

2.4.4 Tendances structurales

Nous pouvons décomposer le site de chélation des glycocomplexes triéther en deux parties : d'une part, un ensemble de trois atomes d'oxygène présentant une certaine rigidité puisque certains d'entre eux sont liés à un cycle furannosique ou pyranosique, d'autre part, des groupements picolyle pouvant varier de position et pouvant s'adapter dans une certaine mesure aux variations du rayon cristallin des ions complexés. L'enroulement des fonctions éther de picolyle définit une chiralité hélicoïdale Λ ou Δ . La configuration des cycles chélates O,N peut être décrite selon les descripteurs λ et δ ^[135], mais cette description ne présente que peu d'intérêt en raison de la faible amplitude de *puckering* de ces cycles. Des structures semblables pour des polyamines cycliques achirales fonctionnalisées avec des groupements picolyle ont été déterminées pour des complexes de Ni(II) publiés par Hegetschweiler *et al.*, à la différence près que ces ligands achiraux n'induisent pas, bien évidemment, d'excès énantiomérique en faveur de l'un ou l'autre des enroulements^[106].

L'examen des valeurs des angles de coordination de tous les glycocomplexes étudiés montre que la sphère de coordination est plus ouverte du côté des pyridines, en raison de la coordination de chélates O,O et O,N à 5 chaînons présentant un angle de morsure (*bite angle*) inférieur à 90° et de la disposition obligatoirement faciale des atomes d'oxygène dans les complexes.

La coordination faciale par trois oxygènes neutres rencontrée dans la famille des glycoligands ressemble à celle observée dans les complexes des polyols cycliques (voir l'introduction, section 1.4). Un site consistant en un *cis*-diol avec la participation d'un groupement hydroxyméthyle exocyclique avait été postulé dans le cas de l' α -D-lyxofurannoside de méthyle et du 2,5-anhydro-D-galactitol^[34], bien que ceci n'ait jamais été détecté cristallographiquement. Un tel site conduit à un cycle chélate à six chaînons. Il a été montré que la présence d'un tel cycle favorisait la chélation de cations métalliques d'un rayon inférieur à celui qui est le plus adapté pour la complexation par des cycles à cinq chaînons (voir la section 1.7 et les références [24, 105]). Ainsi, les polyols qui contiennent un site de coordination 1,3,5-triaxial (3 cycles chélates à six chaînons) peuvent coordonner de facialement des cations d'un rayon cristallin plus petit que celui des cations correspondant aux préférences géométriques du site axial-équatorial-axial (3 cycles chélates à 5 chaînons). La famille de polyols contenant le site 1,3,5-triaxial forme des complexes même avec des cations de métaux 3d de petit rayon cristallin^[105, 19].

À cause de ces propriétés des ligands de type polyol cyclique, il n'existe aucune structure cristalline publiée dans la base de données *Cambridge Crystallographic Data Centre* contenant le site axial-équatorial-axial complexé à un cation de métal de transition 3d, alors que des exemples de complexes de lanthanides caractérisés par diffraction des rayons X (avec des nombres de coordination supérieurs à 6) avec un tel site ont été publiés (voir la référence

[181] et les références incluses pour les complexes 1:1 D-ribose-lanthanides). En revanche, 10 structures cristallines contenant le site 1,3,5-triaxial dans des ligands complexés à travers des atomes d'oxygène non chargés à des cations de métaux de transition, ou à des cations de rayons cristallins similaires (Mg^[182, 183], Fe^[184], Co^[185], Ni^[186, 187], Cu^[186, 187], Zn^[187]) ont été publiées.

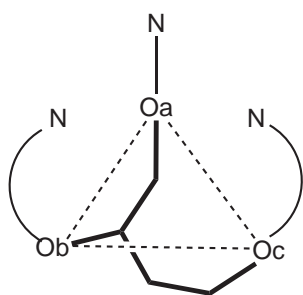
Afin de comparer le site de chélation des complexes de polyols avec celui des glyco-complexes triéther avec les différents métaux, les observables cristallographiques à utiliser sont les distances entre les oxygènes liés au métal. En effet, celles-ci sont liées à la rigidité conformationnelle du ligand.

Pour les glyco-complexes, les distances interoxygène sont présentées dans le tableau 2.6. Afin de comparer les différentes structures entre elles, nous avons appliqué une nomenclature basée sur l'idée que le site chélatant des glycoligands est dérivé du 1,2,4-butanetriol (illustrée dans la partie gauche du tableau 2.6).

Dans les structures de complexes polyol-cation métallique citées ci-dessus, le polyol fournit une face du polyèdre de coordination du cation métallique ayant la forme d'un triangle quasi-équilatéral avec une valeur moyenne des distances interoxygène de 2,82 Å (écart-type 0,05Å). Les distances interoxygène mesurées dans les structures de glyco-complexes sont comparables à celles mesurées dans les structures cristallines de ces complexes de polyols à site de coordination 1,3,5-triaxial. Les deux structures de glyco-complexes présentant la plus grande similitude avec les polyols au niveau de la valeur moyenne et de la dispersion des distances interoxygène sont celles des complexes contenant les ligands les moins conformationnellement contraints **Gal^{dOMe}P₃** et **Gal^{it}P₃**, ce qui revient à affirmer que les autres glycoligands exercent un plus grand contrôle sur la géométrie de coordination.

D'après les données présentées dans les tableaux 2.6, pour un ligand donné dans le trio **Gal^{al}P₃**, **Gal^{Et}P₃** et **MAGP₃**, les complexes, quel que soit le cation métallique, les distances entre paires d'oxygènes O_iO_j sont très proches (variation de l'ordre de quelques centièmes d'Å d'un complexe à l'autre). La même remarque peut être faite pour les paramètres de *puckering* (présentés dans 2.7) qui ne varient que peu pour tous les complexes dont nous avons résolu la structure cristalline. Pour les complexes du ligand **MAGP₃**, le descripteur symbolique de conformation change, mais les conformations restent très proches, comme en témoigne la faible variation de ϕ .

En revanche, dans les complexes du ligand **LyxP₃**, les distances sont très variables, en particulier la distance Oa-Oc (qui correspond à la distance entre O2 et O5 selon la nomenclature standard pour cette molécule). Cette variabilité traduit vraisemblablement une versatilité accrue du ligand **LyxP₃** par rapport aux autres ligands étudiés. Ce n'est peut être donc pas une coïncidence que ce soit avec ce ligand que le plus grand nombre de complexes métalliques mononucléaires aient été isolés sous forme cristalline.



	Oa-Ob	Oa-Oc	Ob-Oc	Moyenne
MAGP₃				
Co	2,624	2,752	2,858	2,745
Ni	2,623	2,764	2,880	2,756
Zn	2,639	2,761	2,808	2,736
LyxP₃				
Fe	2,519	3,169	2,767	2,818
Co	2,580	2,922	2,668	2,723
Ni	2,625	2,735	2,773	2,711
Zn	2,583	2,765	2,816	2,721
Cu	2,637	2,879	2,759	2,668
Gal^{al}P₃				
Co ^[152]	2,704	2,814	2,686	2,735
Ni ^[153]	2,689	2,812	2,703	2,735
Zn ^[151]	2,694	2,819	2,694	2,736
Gal^{Et}P₃				
Co ^[152]	2,627	2,977	2,701	2,768
Ni ^[153]	2,638	2,937	2,728	2,768
Zn ^[151]	2,627	2,967	2,694	2,763
Gal^{dOMe}P₃				
Ni	2,698	2,768	2,849	2,771
Gal^{it}P₃				
Co	2,744	2,864	2,665	2,758

TAB. 2.6 – Comparaison des distances interoxygène (Å) des complexes hexacoordonnés des glycoligands.

	QT(Å)	$\phi(^{\circ})$	Descripteur ^[a]	
MAGP₃				
Co	0,366(3)	292,5(5)	³ E	
Ni	0,355(2)	299,3(5)	³ T ₄	
Zn	0,352(2)	290,4(5)	³ T ₄	
LyxP₃				
Mn	0,374(2)	54,8(3)	² T ₁	
Fe	0,361(2)	44,2(3)	E ₁	
Co	0,410(2)	47,4(3)	E ₁	
Ni	0,355(2)	64,5(4)	² T ₁	
Zn	0,352(2)	60,0(3)	² T ₁	
Cu	0,421(3)	52,7(4)	² T ₁	
	QT(Å)	$\Theta(^{\circ})$	$\phi(^{\circ})$	Descripteur ^[a]
Gal^{al}P₃				
Co	0,492(6)	129,3(7)	78,7(9)	⁵ H ₄
Ni	0,467(8)	130,1(10)	76,1(13)	⁵ H ₄
Zn	0,471(2)	130,6(9)	80,8(10)	⁵ H ₄
Gal^{Et}P₃				
Co	0,655(4)	98,1(4)	355,4(4)	^{0,3} B
Ni	0,650(10)	97,5(10)	355,0(10)	^{0,3} B
Zn	0,652(3)	98,0(3)	355,6(3)	^{0,3} B
Gal^{it}P₃				
Co	0,553(2)	176,7(2)	83(3)	¹ C ₄
Gal^{dOMe}P₃				
Ni	0,718(4)	89,5(3)	16,5(3)	^{0,3} T

[a] Conformation idéale la plus plus proche

 TAB. 2.7 – Paramètres de *puckering* pour les glycocomplexes triéther.

Distances de liaison

Dans le cadre de l'analyse des propriétés de coordination d'une famille de ligands, l'évolution des distances métal-ligand en fonction de la nature du cation métallique est un paramètre qui peut permettre d'apprécier les préférences de coordination (liées au rayon cristallin du cation métallique et à d'éventuelles distorsions aux géométries canoniques) associées aux ligands de cette famille. Les distances de liaison métal- N_{pyridine} et métal- $O_{\text{éther}}$ en fonction de la nature de l'élément métallique sont présentées dans la figure 2.12.

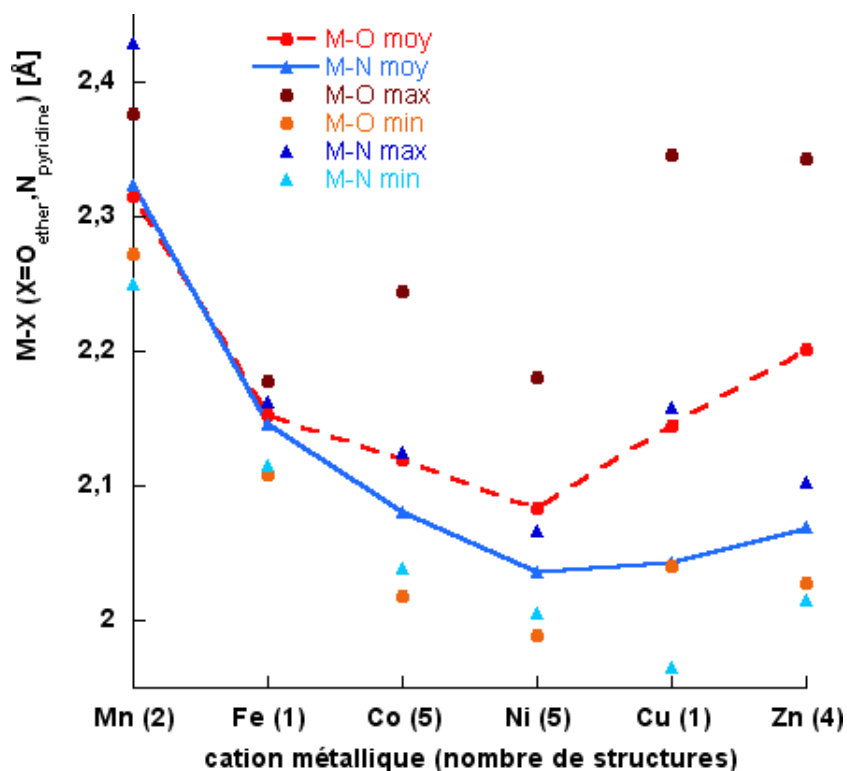


FIG. 2.12 – Variation des distances de coordination dans la famille des glycocomplexes triéther présentant un site de coordination de type 1,2,4-butanetriol fonctionnalisé en fonction de la nature du cation métallique.

Les distances métal-oxygène et métal-azote diminuent de Mn à Ni conformément à la diminution des rayons cristallins des cations divalents à spin fort de ces métaux (voir tableau 2.1). Les distances moyennes répertoriées dans la base de données du CCDC²¹ pour les liaisons cation métallique- $O_{\text{éther}}$ et cation métallique- N_{pyridine} sont répertoriées dans le tableau 2.8.

²¹Toutes les recherches dans la base de données du *Cambridge Crystallographic Data Centre* (CCDC) ont été réalisées avec le logiciel Conquest version 1.9 et les statistiques ont été visualisées avec le logiciel Vista^[188].

Cation ^[a]	M-O	n _{struct} (n _{dist})	M-N	n _{struct} (n _{dist})
Mn(II)	2,286 (0,088)	38 (179)	2,334 (0,077)	21 (74)
Fe(II)	2,170 (0,077)	38 (62)	2,203 (0,057)	383 (701)
Co(II)	2,182 (0,102)	80 (123)	2,152 (0,066)	77 (288)
Ni(II)	2,136 (0,080)	108 (185)	2,106 (0,069)	292 (185)
Cu(II)	2,12 ; 2,40 ^[b]	128 (188)	2,01 ; 2,12 ^[b]	211 (575)
Zn(II)	2,226 (0,098) ^[c]	33 (76)	2,152 (0,055) ^[c]	155 (259)

Statistiques réalisées sur N_{struct} structures en considérant n_{dist} liaisons. [a] Spin fort pour Mn, Fe, Co; nombre de coordination de 7 pour Mn et de 6 pour les autres éléments [b] Les valeurs ne présentent pas une distribution de type gaussien, et se regroupent autour des deux valeurs indiquées. Une déformation tétragonale étant associée à la configuration d^9 (effet Jahn-Teller), les deux valeurs notées correspondent aux distances respectivement raccourcies et allongées. [c] Ces valeurs ont été obtenues en excluant tous les complexes dans lesquels un ligand éther ou pyridine est faiblement coordonné (distance > 2,45 Å).

TAB. 2.8 – Statistiques dans la banque de données du CCDC concernant les distances de liaison M-O_{ether} et M-N_{pyridine}. Distances de coordination moyennes en Å, écart-type entre parenthèses, nombre de structures utilisé donné, nombre de distances entre parenthèses.

Nous pouvons voir, en comparant les distances répertoriées dans le tableau 2.8 avec les distances de coordination des structures cristallographiques des glycocomplexes présentés jusqu'ici (tableaux 2.4, 2.5 et 2.2), que les distances Co-N, Ni-N et Zn-N sont plus petites que les valeurs moyennes, ce qui indique une liaison relativement forte des pyridines au métal.

Les distances Mn-O, Co-O, Fe-O, sont proches de la moyenne des distances répertoriées dans le tableau 2.8. Les liaisons Ni-O sont plus courtes que les valeurs moyennes et sont proches des distances Ni-N, en accord avec le fait que le Ni(II) préfère une géométrie octaédrique avec le moins de distorsion possible. Dans le cas du Zn(II)²², ion d^{10} n'ayant aucune préférence géométrique du fait de sa structure électronique, les liaisons M-O (qui sont proches de la valeur moyenne issue de l'étude statistique) sont sensiblement plus longues que les liaisons M-N : le zinc est plus proche des pyridines que des éthers, il n'est pas au milieu de la cavité du ligand (barycentre des atomes coordonnés).

Si l'on compare les rayons cristallins (tableau 2.1), on peut constater que les ions Zn²⁺ et Co²⁺ ont le même rayon cristallin à 0,01 Å près. Les différences de distance de liaison existant entre les glycocomplexes de Co²⁺ et les analogues contenant des ions Zn²⁺ ne peuvent donc pas s'expliquer par des effets stériques, mais les effets électroniques doivent bien sûr être pris en compte.

²²Un écart important des valeurs de distances de liaison M-N et M-O est également observé dans le cas du complexe de cuivre [Cu(LyxP₃)]²⁺. Mais, comme on peut le voir dans le tableau 2.4, ce complexe présente une liaison Cu-O et une liaison Cu-N longue du fait de la distorsion selon Jahn-Teller.

Déformation vers le prisme trigonal

La géométrie de coordination trigonale prismatique n'est pas une des géométries prédites dans le cadre de la théorie VSEPR. Néanmoins, dans les complexes hexacoordonnés de diverses familles de ligands présentant une structure rigide plaçant de façon contrainte une partie des atomes de la sphère de coordination du cation métallique, diverses distorsions à la géométrie octaédrique idéale peuvent être observées, en particulier vers une géométrie de type prisme trigonal. Cette distorsion est une des déformations habituellement rencontrées dans le cas de complexes avec des ligands de type « cage »^[189, 190, 191] mais également dans le cas d'amines cycliques fonctionnalisées par des fonctions hydroxyméthyle^[192] ou picolyle^[106]²³ assurant une coordination de type facial. Dans le cas de ce dernier exemple, la distorsion est causée par le fait que les atomes d'azote des groupes picolyle n'ont pas la possibilité de se placer aux positions idéales de l'octaèdre car les distances $N_{\text{amine}}-N_{\text{pyridine}}$ sont limitées par les possibilités de déformation des distances et angles de liaison des atomes séparant les deux azotes. Comme pour des distances métal-ligand identiques, la distance **d'** dans un complexe de type prisme trigonal est inférieure à la distance **d** séparant deux atomes coordonnés aux sommets d'un octaèdre (figure 2.13), cette limitation se traduit par la distorsion de la géométrie de coordination d'octaédrique vers trigonale prismatique.

Les glycoligands présentent obligatoirement un mode de coordination facial des 3 atomes d'oxygène du site de chélation. De façon analogue à ce qui a été décrit ci-dessus la distance O-N au sein d'une fonction éther de picolyle d est contrainte ($d = 2,66 \pm 0,08$ selon une analyse de la base de donnée du CCDC portant sur 180 distances dans 83 structures cristallines). Ceci se traduit par des angles chélates O-M-N inférieurs à 90° (voir les tableaux 2.2, 2.4 et 2.5) et à une distorsion de la géométrie vers le prisme trigonal. Celle-ci peut être quantifiée par l'utilisation des angles azimutaux. Ces derniers sont définis comme l'angle entre le triangle formé par les atomes d'une face triangulaire du polyèdre de coordination et celui défini par les atomes de la face opposée (encart dans le tableau 2.9). Dans l'octaèdre, les angles azimutaux sont tous égaux à 60° . Dans le prisme trigonal, en revanche, il n'y a que deux faces triangulaires, avec un angle azimutal de 0° . Dans le cas de structures des glycocomplexes, nous nous sommes intéressés à l'angle de rotation de la face définie par les azotes de pyridines par rapport à la face définie par les éthers liés au métal. Du fait de la distorsion, il n'est pas possible de définir rigoureusement un angle azimutal pour une de ces faces, mais on peut utiliser des valeurs moyennes définies pour chaque fonction éther de picolyle (voir l'encart de la table 2.9).

La distorsion vers le prisme trigonal a également des effets électroniques. Des énergies de stabilisation du champ cristallin (ESCC) peuvent être calculées pour les différentes géométries de coordination^[193]. Dans le cas des cations à spin fort, La déstabilisation est plus

²³Valable à plus forte raison les analogues imine^[193].

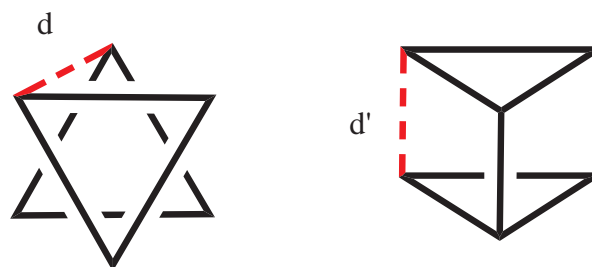
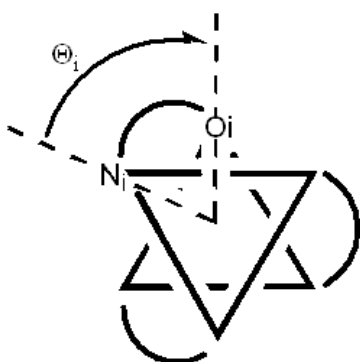


FIG. 2.13 – Comparaison des géométries de coordination octaédrique et trigonale prismatique.



	Fe	Co	Ni	Zn
MAGP ₃		34,8	41,0	33,6
LyxP ₃	28,7	32,4	42,1	35,6
Gal ^{al} P ₃		43,7	45,9	43,4
Gal ^{Et} P ₃		42,1	45,2	42,2
Gal ^{it} P ₃		43,8		
Gal ^{dOMe} P ₃			48,2	

 TAB. 2.9 – Angles azimutaux moyens Θ_{moy} (°) pour les glyco-complexes à site de coordination de type 1,2,4-butanetriol et définition des angles Θ_i .

grande pour le Ni(II) que pour le Co(II) et est nulle pour le Mn(II), le Fe(II) et le Zn(II) (ce raisonnement ne s'applique pas au cas du Cu(II) puisque la géométrie la plus stable pour ce dernier ion est tétragonale du fait de la distorsion attendue selon le théorème de Jahn-Teller). Les valeurs des angles azimutaux moyens calculés pour les glyco-complexes discutés jusqu'ici sont présentées dans la table 2.9.

Nous pouvons constater que, pour tous les complexes, il existe une distorsion vers le prisme trigonal, et que, pour un ligand donné, celle-ci est moindre pour les complexes de Ni(II), ce qui peut s'expliquer en invoquant le petit rayon cristallin de ce cation (table 2.1) et le fait que la géométrie trigonale prismatique soit électroniquement défavorisée pour celui-ci. Le fait que les complexes de Co(II) et de Zn(II) (cations de rayon cristallin quasi-identique) présentent des angles Θ_{moy} similaires pour un ligand donné laisse penser que l'origine de la distorsion est essentiellement due au ligand et que la contribution électronique est négligeable. Des angles azimutaux de l'ordre de 40° ne sont pas choquants en comparaison de ce qui est habituellement observé pour des complexes de 3 ligands bidentes rigides. Voir la section

suivante pour une comparaison avec les complexes du ligand **RibP**₃.

2.5 Complexes du ligand **RibP**₃

Le ligand **RibP**₃ forme des complexes isolés sous forme cristalline avec tous les cations métalliques divalents du manganèse au zinc, à l'exception du cuivre. Dans ces complexes, le cation métallique est hexacoordonné (dans le cas du manganèse, un perchlorate est en interaction faible avec le cation métallique $d > 2,7 \text{ \AA}$). Le ligand se trouve systématiquement dans une conformation chaise ¹C₄. Cette conformation est presque parfaite d'après l'analyse des paramètres de *puckering*. Pour une chaise idéale, $\theta = 0^\circ$ ou 180° et les valeurs calculées sont comprises entre 173° et 178° pour tous les complexes du ligand **RibP**₃. L'amplitude de *puckering* est comprise entre $0,518 \text{ \AA}$ et $0,573 \text{ \AA}$ pour les complexes alors qu'elle est de $0,597 \text{ \AA}$ pour le ligand libre. La complexation cause un léger écrasement de la conformation du cycle mais celui-ci n'est pas corrélé à la nature du cation métallique²⁴. La conformation chaise ¹C₄ est la seule compatible avec la chélation à un seul centre métallique, en dépit de la conformation ⁴C₁ du ligand **RibP**₃ cristallisé (voir section 2.1.3) : les atomes d'oxygène des fonctions éther de picolyle en 2,3 et 4 définissent un site axial-équatorial-axial semblable au site de chélation présent dans les monosaccharides et polyols cycliques (voir la section 1.4 dans l'introduction).

Contrairement aux complexes des ligands **LyxP**₃ et **MAGP**₃ discutés précédemment, les complexes ne cristallisent pas dans le même groupe d'espace (voir le tableau A.5 en annexe). Dans les structures cristallines des complexes de Mn(II) et de Ni(II), le métal possède respectivement 2 et 4 environnements non équivalents cristallographiquement distincts (figure 2.15)²⁵. Parmi ceux-ci, la moitié des enroulements des fonctions éther de picolyle sont Δ et l'autre moitié Λ , comme nous pouvons le voir dans la figure 2.14 et dans la table 2.10.

Dans le cas des glycoligands ayant un site de coordination de type 1,2,4-butanetriol, nous avons relevé la présence d'un seul diastéréoisomère dans la maille, le même pour les complexes de tous les cations métalliques étudiés. Le ligand **RibP**₃ semble moins efficace en terme d'induction asymétrique de la configuration Δ/Λ est probablement dû à la nature quasi-symétrique du site de chélation dans ce ligand. En effet, sans le groupement OMe éloigné du site de chélation, il y aurait un plan de symétrie perpendiculaire au plan moyen du cycle pyranosique et passant par C3, O3 et O5.

L'examen des valeurs des angles azimutaux, présentés dans le tableau 2.10, nous permet

²⁴Les deux valeurs extrêmes présentées ici sont toutes deux issues d'unités cristallographiquement distinctes de la structure du complexe de Ni(II).

²⁵Dans le cas du complexe de Ni(II), ceci a compliqué l'affinement du modèle cristallographique. Pour cette raison, la structure de ce complexe présente un facteur d'accord moins bon que celui des autres structures (voir le tableau A.5).

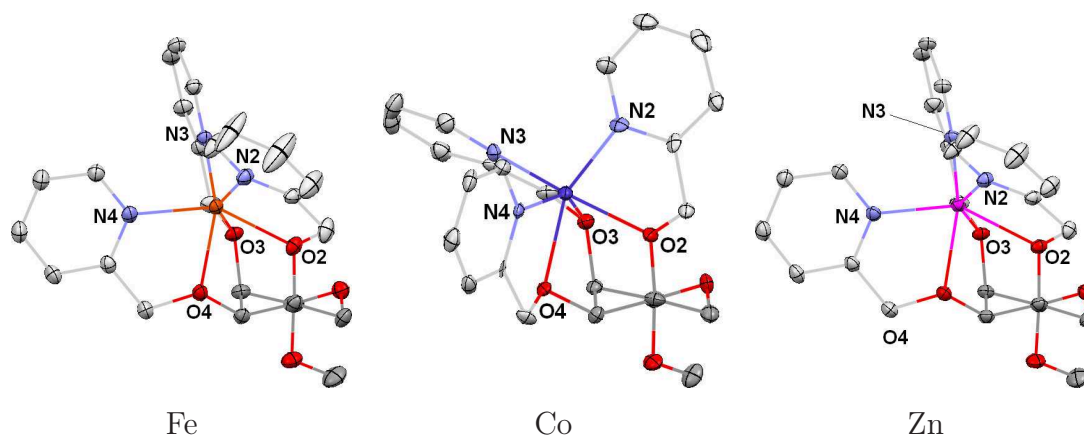


FIG. 2.14 – Structures cristallines des complexes du ligand **RibP₃** présentant une seule unité monomérique dans la maille. Les atomes sont représentés comme des ellipsoïdes d’agitation thermique avec une probabilité de 50%.

d’affirmer que les complexes sont distordus vers le prisme trigonal. Cette distorsion est plus marquée que celle qui est observée dans les complexes des ligands possédant un cœur de type 1,2,4-butanetriol fonctionnalisé et suit les mêmes tendances en fonction de la nature du cation métallique que pour ces derniers complexes (voir tableau 2.9). Nous pouvons noter la distorsion très marquée pour le complexe de Mn(II), qui est le cation possédant le rayon cristallin le plus élevé parmi les cations en coordination 6 étudiés.

	Mn	Fe	Co	Ni	Zn
N. non équiv. ^[a]	2	1	1	4	1
Chiralité hélicoïdale	Λ/Δ	Λ	Δ	$2\Lambda/2\Delta$	Λ
Θ_{moy} (°)	16,4	21,4	30,7	41,4	24,0

[a] Nombre de complexes non équivalents cristallographiquement

TAB. 2.10 – Comparaison des caractéristiques structurales pour les complexes du ligand **RibP₃**.

Les distances de liaison sont présentées dans les tableaux 2.11, 2.12 et 2.13. Les mêmes tendances au niveau de l’évolution des distances de liaison sont observées avec l’augmentation du numéro atomique que dans le cas des complexes contenant un ligand avec un site de coordination de type 1,2,4-butanetriol fonctionnalisé.

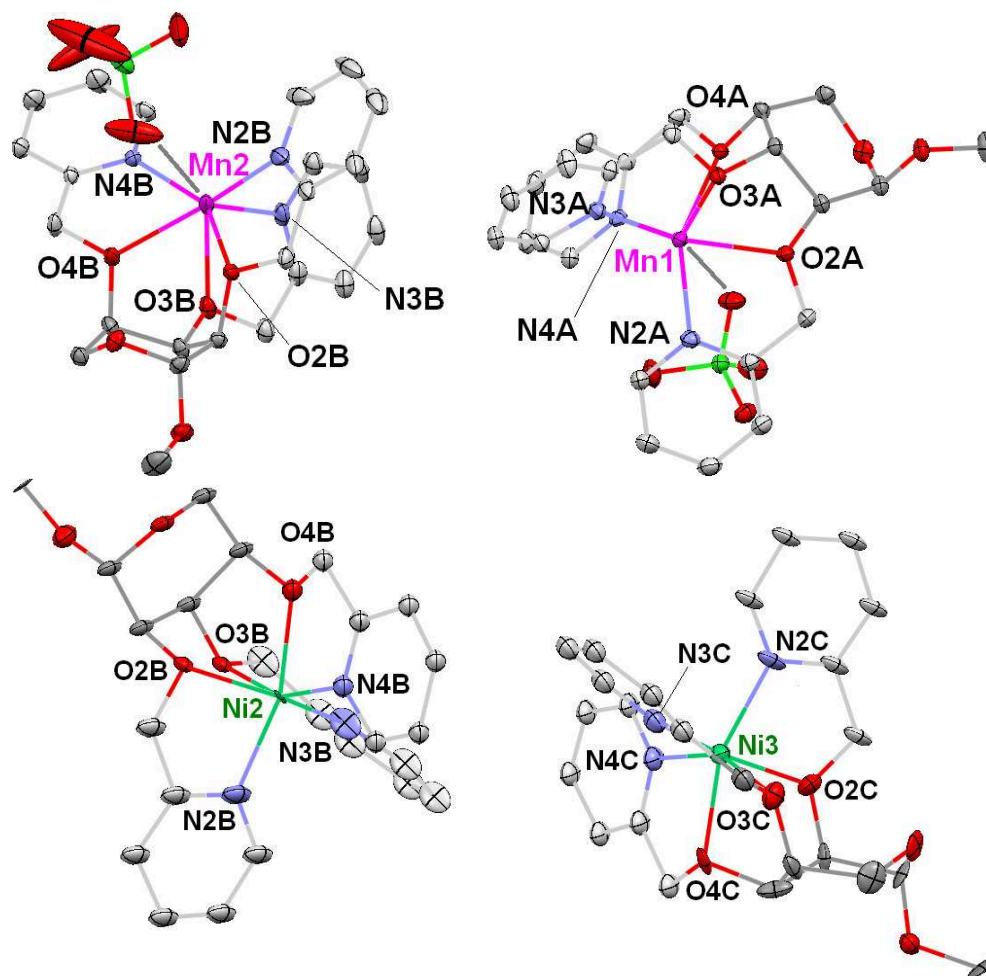


FIG. 2.15 – Structure des complexes de Mn(II) et Ni(II) montrant deux unités cationiques de chiralité hélicoïdale opposée. Les contre-ions et les atomes d'hydrogène de **RibP**₃ ont été omis par souci de clarté, sauf dans le cas de [Mn(**RibP**₃)](ClO₄)₂ où les perchlorates en interaction faible avec les atomes de Mn sont montrés.

	A	B
Mn-O2	2,227(2)	2,248(2)
Mn-O3	2,265(2)	2,271(2)
Mn-O4	2,225(2)	2,280(2)
moy.	2,239	2,266
Mn...O _{ClO₄}	2,865(3)	2,711(4)
Mn-N2	2,166(2)	2,207 (2)
Mn-N3	2,266(2)	2,278(3)
Mn-N4	2,167(2)	2,194(2)
moy.	2,200	2,226
O2-Mn-O3	69,0(1)	71,2(1)
O3-Mn-O4	73,0(1)	68,8(1)
O2-Mn-O4	78,2(1)	75,7(1)
angles chélates O-N (moy.)	72,9	72,0
angles N-Mn-N (moy.)	102,0	103,9
chiralité hélicoïdale	Δ	Λ

TAB. 2.11 – Distances (Å) et angles (°) de liaison métal-ligand dans les deux unités [Mn(**RibP₃**)²⁺ non équivalentes cristallographiquement du complexe [Mn(**RibP₃**)](ClO₄)₂.

	A	B	C	D
Ni-O2	2,10(1)	2,11(1)	2,07(1)	2,10(1)
Ni-O3	2,11(1)	2,11(1)	2,08(1)	2,10(1)
Ni-O4	2,04(1)	2,05(1)	2,10(1)	2,09(1)
moy.	2,08	2,09	2,08	2,10
Ni-N2	2,04(1)	2,07(1)	2,06(1)	1,97(1)
Ni-N3	2,03(1)	2,03(1)	2,02(1)	2,00(1)
Ni-N4	2,06(2)	2,01(1)	2,02(1)	2,02(1)
moy.	2,04	2,04	2,03	2,00
O2-Ni-O3	77,6(4)	77,9(3)	79,4(4)	78,0(4)
O3-Ni-O4	77,8(4)	77,6(3)	75,0(4)	76,9(4)
O2-Ni-O4	81,2(4)	79,4(4)	82,4(4)	83,4(4)
angles chélates O-N (moy.)	80	80	80	79
angles N-Ni-N (moy.)	102	101	100	101
chiralité hélicoïdale	Δ	Δ	Λ	Λ

TAB. 2.12 – Distances (Å) et angles (°) de liaison métal-ligand dans les quatre unités $[\text{Ni}(\mathbf{RibP}_3)]^{2+}$ non équivalentes cristallographiquement du complexe $[\text{Ni}(\mathbf{RibP}_3)](\text{PF}_6)_2$.

	Fe	Co	Zn
M-O2	2,139(2)	2,123(2)	2,166(1)
M-O3	2,153(2)	2,146(2)	2,186(1)
M-O4	2,164(2)	2,123(2)	2,236(1)
moy.	2,152	2,131	2,196
M-N2	2,151(2)	2,080(3)	2,086(1)
M-N3	2,162(2)	2,112(3)	2,101(1)
M-N4	2,123(2)	2,081(3)	2,053(1)
moy.	2,145	2,091	2,080
O2-M-O3	76,2(1)	74,1(1)	74,9(1)
O3-M-O4	73,7(1)	76,9(1)	72,1(1)
O2-M-O4	78,4(1)	79,2(1)	74,1(1)
angles chélates O-N (moy.)	74,4	77,0	75,3
angles N-M-N (moy.)	100,6	99,9	102,7

TAB. 2.13 – Distances (Å) et angles (°) de liaison métal-ligand dans les complexes de Fe(II), Co(II) et Zn(II) du ligand **RibP₃**.

2.6 Complexe de Co(II) du ligand **ManP₃Bn**^[194]

Le ligand **ManP₃Bn**, n'ayant aucune contrainte conformationnelle particulière, possède une conformation chaise ⁴C₁ de plus basse énergie (elle permet d'avoir, à la fois, la fonction OMe en axial, ce qui est favorable en termes d'effet anomérique et le nombre maximal de substituants en position équatoriale) Pour lier simultanément tous les éthers de picolyle (en formant, entre autres, un cycle chélate à 7 chaînons), il faudrait déformer le cycle vers une conformation bateau pour approcher l'éther de picolyle en O6 de ceux se trouvant en O4 et O3²⁶.

Quand nous avons réalisé la réaction de complexation avec le ligand **ManP₃Bn**, nous n'avons obtenu de précipité avec aucun des cations métalliques étudiés. Dans le cas du Co(II), l'évaporation lente de la solution contenant les cations Co(II) et le ligand a permis l'isolation de cristaux roses. La structure cristalline a révélé un cation de Co(II) en géométrie quasi-octaédrique avec une coordination partielle du ligand²⁷. Seules les fonctions éther de picolyle en 2 et 3 sont liées au Co. La sphère de coordination est complétée par deux molécules d'eau dans une disposition *cis* (figure 2.16).

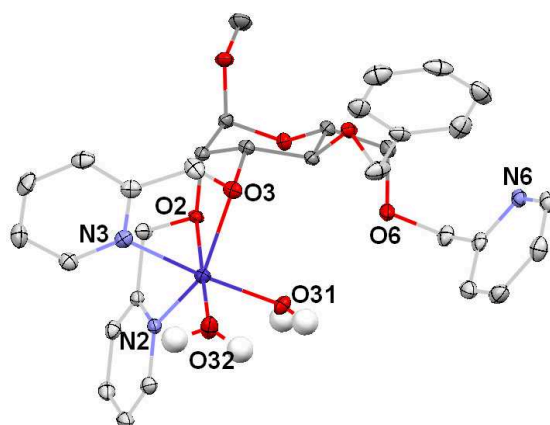


FIG. 2.16 – Structure de l'unité cationique [Co(**ManP₃Bn**)(H₂O)]²⁺ dans les cristaux de [Co(**ManP₃Bn**)(H₂O)₂](ClO₄)₂.H₂O. Les ellipsoïdes sont dessinés au niveau de probabilité de 50%.

Les distances et angles de liaison présentés dans la figure 2.14 mettent en évidence le fait que les oxygènes des molécules d'eau liées se trouvent plus proches du Co que les oxygènes de fonctions éther. L'examen des valeurs des angles de coordination montre que la distorsion par

²⁶Ceci a été suggéré par des études préliminaires de modélisation moléculaire.

²⁷L'analyse par spectroscopie IR mis en évidence la présence de deux bandes C=N à 1610 et 1598 cm⁻¹. La bande au plus faible nombre d'onde pourrait être associée au groupement picolyle non coordonné.

rapport aux valeurs de 90° attendues pour la géométrie octaédrique idéale est moindre que celle observée pour les autres glycocomplexes triéther. Ces deux constatations s'expliquent aisément par le fait que les molécules d'eau sont des ligands monodentes dont la position n'est pas contrainte par l'inclusion dans un cycle chélate. Ce complexe est un des rares exemples de complexe de Co(II) *cis*-diaqua cristallisé [195, 196, 197, 198].

Co-O2	2,203(1)	O2-Co-O3	76,0(1)
Co-O3	2,163(1)	O2-Co-N2	76,2(1)
Co-N2	2,074(2)	O3-Co-N3	77,1(1)
Co-N3	2,133(2)	O32-Co-O31	94,0(1)
Co-O31 _{H₂O}	2,046(1)	N2-Co-N3	92,6(1)
Co-O32 _{H₂O}	2,046(1)	O31-Co-N2	91,7(1)
		O32-Co-N3	86,8(1)

TAB. 2.14 – Distances (Å) et angles (°) de liaison dans [Co(**ManP₃Bn**)(H₂O)₂]²⁺ dans les cristaux de [Co(**ManP₃Bn**)(H₂O)₂](ClO₄)₂.H₂O.

Dans la structure, la conformation du ligand est ⁴C₁. Le ligand est donc vraisemblablement dans sa conformation la plus stable dans les cristaux. L'amplitude de *puckering* du ligand dans le complexe et celle obtenue à partir de la structure cristalline de l' α -D-mannopyrannoside de méthyle [199, 200] sont comparables (respectivement 0,53 Å et 0,55 Å).

L'azote N6 n'étant pas engagé dans la coordination, il est libre de participer à un réseau de liaisons hydrogène qui implique également trois autres molécules d'eau présentes dans la formule du composé. La pyridine contenant N6 participe également à une interaction de type π -stacking avec la pyridine contenant N2. Ces deux interactions sont montrées dans la figure (voir aussi l'article [194] pour une description quantitative et détaillée des interactions intermoléculaires). Des travaux récents ont montré que la contribution aux interactions π - π à la stabilité du réseau cristallin peuvent ne pas être négligeables [201].

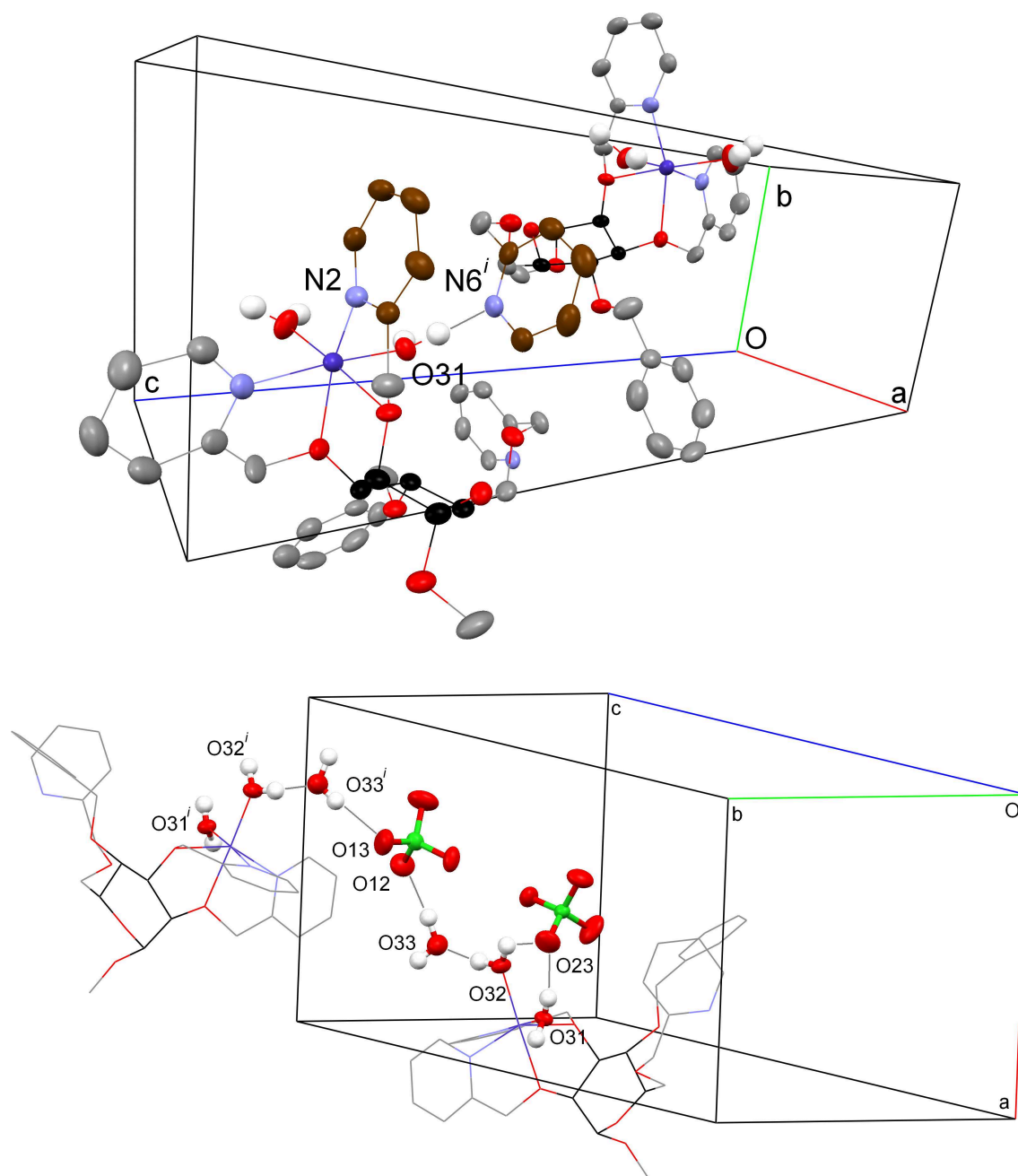


FIG. 2.17 – Gauche : vue partielle de la structure de $[\text{Co}(\text{ManP}_3\text{Bn})(\text{H}_2\text{O})_2](\text{ClO}_4)_2 \cdot \text{H}_2\text{O}$ (les atomes d'hydrogène autres que ceux des molécules d'eau coordonnées et les anions ClO_4^- ont été omis par souci de clarté) montrant les interactions π - π impliquant la pyridine non coordonnée contenant N6. [Code de symétrie : (i) $-x + 2, y + \frac{1}{2}, -z + \frac{3}{2}$]. Droite : vue partielle de la structure de $[\text{Co}(\text{ManP}_3\text{Bn})(\text{H}_2\text{O})_2](\text{ClO}_4)_2 \cdot \text{H}_2\text{O}$ montrant le réseau de liaisons hydrogène reliant deux complexes cationiques [Code de symétrie : (i) $x - \frac{1}{2}, -y + \frac{3}{2}, -z + 2$]. Les ellipsoïdes sont dessinés au niveau de probabilité de 80%.

2.7 Titrages UV-visible

Nous avons étudié le processus de complexation en solution. Pour cela, nous avons utilisé le suivi de l'évolution des bandes $d - d$ du Co(II), du Ni(II) et du Cu(II) lors de titrages de solutions d'un sel de ces cations métalliques par une solution du glycoligand. Les réactions observées sont instantanées par rapport à l'échelle de temps de la spectroscopie d'absorption UV-visible, comme il était attendu pour des cations labiles vis-à-vis de l'échange de ligands.

2.7.1 Co(II) et Cu(II)

Dans le cas des glycocomplexes triéther de Co(II) et Cu(II), l'ajout de ligand dans une solution métallique résulte en un effet hyperchrome dans tout le domaine visible (bandes $d - d$), comme il est prévisible pour un abaissement de la symétrie de la sphère de coordination lors de la liaison du glycoligand, dans tout le domaine spectral étudié (absence de points isobestiques). Deux exemples sont montrés dans la figure 2.18. La stœchiométrie 1:1 cation/ligand de la réaction de complexation est confirmée.

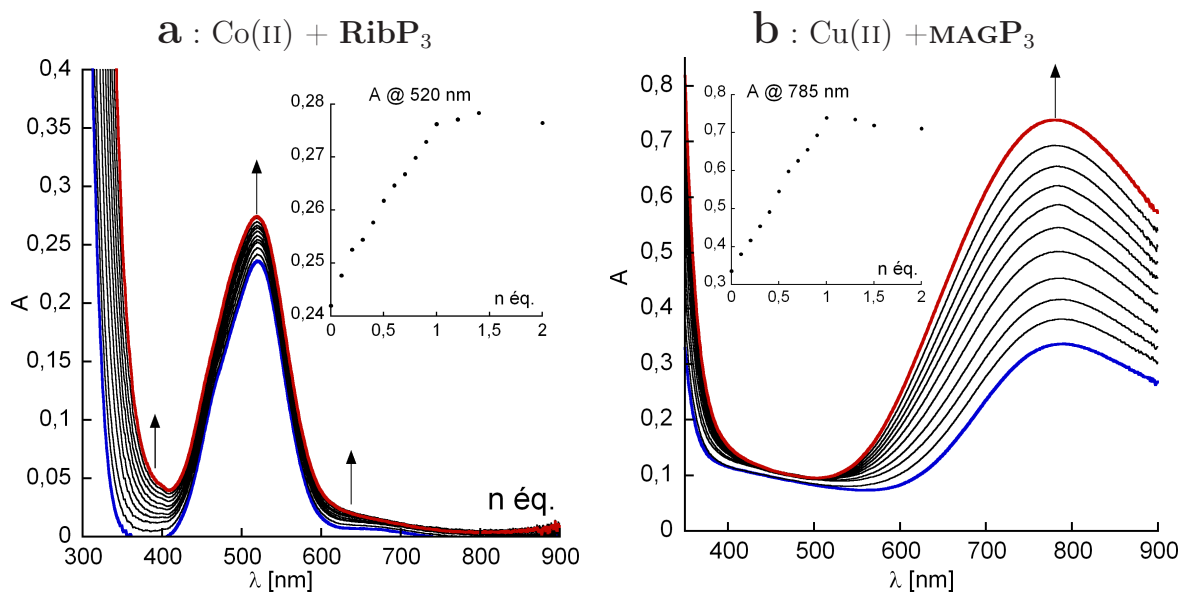


FIG. 2.18 – **a** : titrage UV-visible d'une solution de $\text{Co}(\text{NO}_3)_2 \cdot 6\text{H}_2\text{O}$ 10^{-2} mol L^{-1} dans l'éthanol absolu par le ligand **RibP₃**. **b** : titrage UV-visible d'une solution de $\text{Cu}(\text{NO}_3)_2 \cdot 3\text{H}_2\text{O}$ 10^{-2} mol L^{-1} dans l'éthanol absolu par le ligand **MAGP₃**. Les tracés présentés vont de 0 éq. (bleu), à 1 éq. (rouge), l'absorbance est corrigée de la dilution. Des ajouts de ligand au-delà de 1 équivalent ne résultent en aucun changement mis à part la dilution.

2.7.2 Ni(II)

Dans le cas des complexes de Ni(II), nous avons observé des points isobestiques lors du titrage, prouvant ainsi que la réaction étudiée est bien un processus élémentaire $\text{Ni(II)} + \mathbf{L} \rightarrow [\text{Ni}(\mathbf{L})]^{2+}$ pour $\mathbf{L} = \text{MAGP}_3$, RibP_3 , $\text{Gal}^{\text{al}}\text{P}_3$, $\text{Gal}^{\text{Et}}\text{P}_3$ et LyxP_3 (pour ce dernier ligand entre 0 et 0,7 équivalents, voir plus bas).

Le spectre UV-visible des complexes de Ni(II) présente 3 transitions $d - d$ permises de spin entre le proche infrarouge et le proche ultraviolet. Il s'agit, en symétrie octaédrique, des transitions ${}^3A_{2g} \rightarrow {}^3T_{2g}$ (proche IR), ${}^3A_{2g} \rightarrow {}^3T_{1g}(F)$ (vers 700 nm) et ${}^3A_{2g} \rightarrow {}^3T_{1g}(P)$ (vers 400 nm)^[171]. La structure de la transition ${}^3A_{2g} \rightarrow {}^3T_{1g}(F)$ observée pour les spectres du nitrate de Ni(II) dans l'EtOH (tracé bleus dans la figure 2.19) est due au couplage spin-orbite mélangeant les termes ${}^3T_{1g}(F)$ et 1E_g , qui sont proches en énergie à la valeur du champ de ligands du complexe de départ^[171]. En modifiant légèrement la valeur du champ de ligands lors de la formation du glyco-complexe, l'épaule associée à la transition ${}^3A_{2g} \rightarrow {}^1E_g$ diminue en intensité (mélange de termes moins efficace par le couplage spin-orbite), rendant ainsi observables des points isobestiques lors des titrages. Les titrages sont présentés dans la figure 2.19 pour les ligands MAGP_3 , LyxP_3 et RibP_3 .

Dans le cas des ligands MAGP_3 et RibP_3 , les points isobestiques sont maintenus de 0 à 1 équivalent et les ajouts de la solution du ligand au-delà de 1 équivalent ne résultent qu'en une dilution de la solution titrée. Dans le cas du ligand LyxP_3 , le point isobestique n'est maintenu que jusqu'à 0,7 équivalents, par la suite l'absorbance augmente jusqu'à plus de deux équivalents de ligand. Ce comportement peut être attribué à la formation d'une espèce en solution autre que le complexe $[\text{Ni}(\text{LyxP}_3)]^{2+}$. Celle-ci pourrait être un complexe de composition $[\text{Ni}(\text{LyxP}_3)_2]^{2+}$. Cette différence de comportement pour le ligand LyxP_3 pourrait s'expliquer par deux constatations. Premièrement, le ligand LyxP_3 forme un métallacycle à 6 chaînons en conformation bateau dans les structures des complexes $[\text{M}(\text{LyxP}_3)]^{2+}$ (voir la section 2.4.2). Deuxièmement, la préorganisation de la sphère de coordination est moindre par rapport aux autres glycoligands discutés, comme le montre la variation des distances interoxygène, en particulier la distance O2-O5, dans les complexes de ce ligand (voir la section 2.4.4).

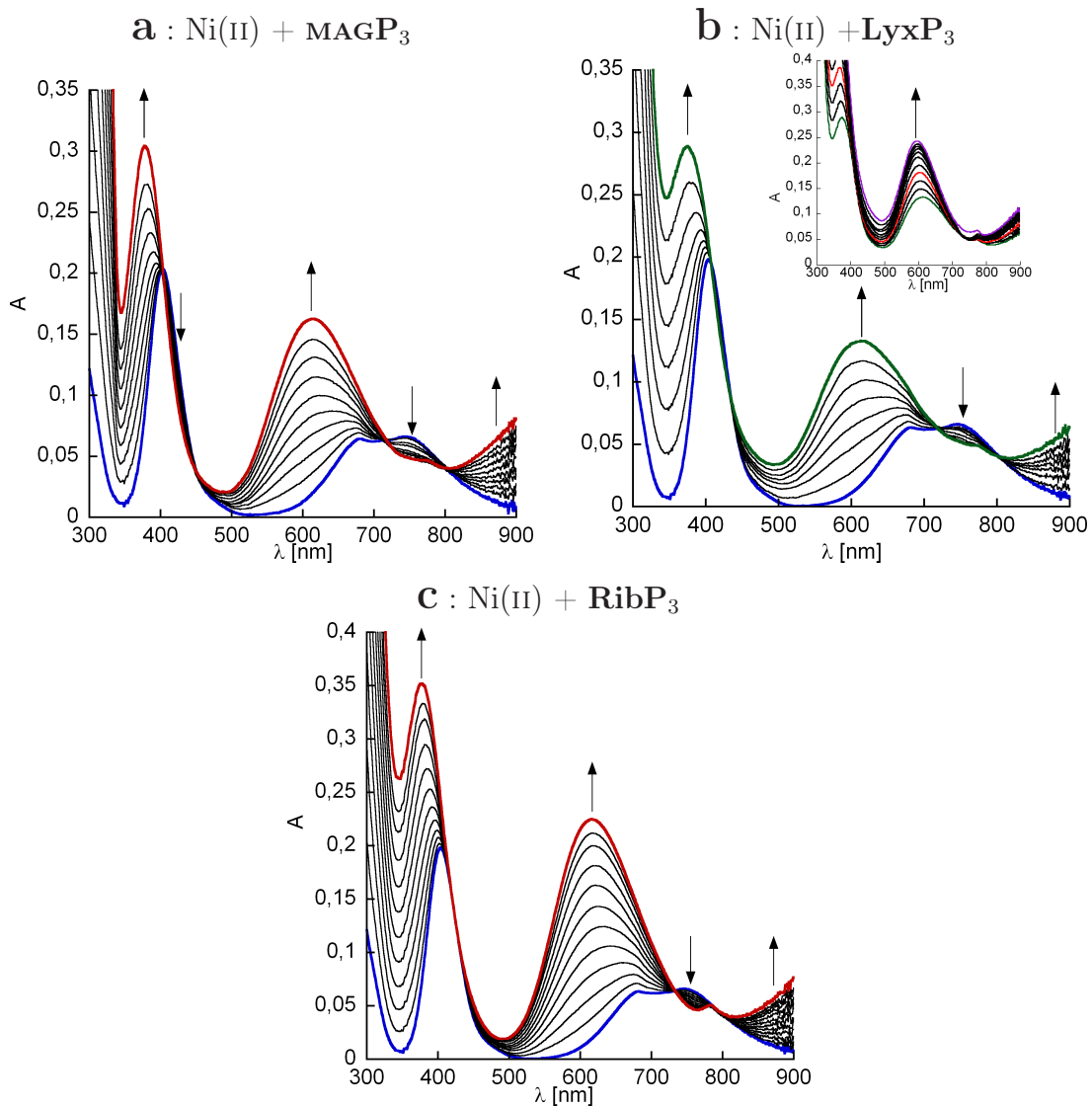


FIG. 2.19 – **a** : titrages UV-visible d'une solution de $\text{Ni}(\text{NO}_3)_2 \cdot 6\text{H}_2\text{O}$ 10^{-2} mol L^{-1} dans l'éthanol absolu **a** : par le ligand **MAGP₃**, **b** : par le ligand **LyxP₃**, **c** : par le ligand **RibP₃**. L'absorbance est corrigée de la dilution. Les tracés présentés vont de 0 éq. (bleu) à 1 éq. (rouge) pour les titrages avec **MAGP₃** et **RibP₃**. Dans le cas du titrage avec **LyxP₃**, le tracé correspondant à l'ajout de 0,7 éq. de ligand est présenté en vert. Le titrage de 0,7 à 2 éq. (tracé violet) est présentée dans l'encart. Pour les titrages avec **MAGP₃** et **RibP₃**, des ajouts de ligand au-delà de 1 éq. ne résultent en aucun changement mis à part la dilution.

2.8 Dichroïsme circulaire

La spectroscopie de dichroïsme circulaire^[202] a pour objet de mesurer la différence d'absorption par un échantillon de la lumière présentant une polarisation circulaire gauche ou droite. Cet effet se nomme l'effet Cotton, d'après le nom du physicien qui l'a étudié en premier. Si l'échantillon présente un excès d'une des formes énantiomères d'un composé chiral, l'absorption des deux lumières polarisées circulairement est (légèrement) différente. Bien que les spectrophotomètres modernes mesurent directement une différence d'absorbance, les données brutes sont habituellement présentées, pour des raisons historiques, sous la forme d'ellipticité en millidegrés²⁸.

Le dichroïsme circulaire, défini comme la différence d'absorption entre les lumières polarisées circulairement gauche et droite, est relié par la relation 2.1 à l'ellipticité. La loi de Beer-Lambert peut être utilisée pour calculer une différence entre les coefficients d'extinction molaire pour les deux lumières polarisées circulairement (relation 2.2).

$$\Delta A = A_l - A_r = \frac{\theta[\text{millideg}]}{32\,982} \quad (2.1)$$

$$\Delta\epsilon = \epsilon_l - \epsilon_r = \frac{\Delta A}{Cl} \quad (2.2)$$

Bien que les méthodes modernes de chimie quantique aient permis de calculer, dans certains cas, des spectres de dichroïsme circulaire en accord avec l'expérience (voir par exemple [203]), le dichroïsme circulaire est essentiellement utilisé en chimie de coordination pour établir des corrélations empiriques entre les données mesurées et la structure de l'environnement chiral d'un cation métallique (qui dépend de la conformation des cycles chélates autour de celui-ci)^[204, 205, 206]. Par exemple, le dichroïsme circulaire a été utilisé pour déterminer la chiralité hélicoïdale du complexe de cobalt(III) de la 1,2-*l*-propanediamine (*l*-pn) $[\text{Co}(\textit{l}\text{-pn}_3)]^{3+}$, par comparaison avec le dichroïsme circulaire de la forme Δ du complexe correspondant avec le ligand 1,2-éthanediamine (en) $[\text{Co}(\text{en}_3)]^{3+}$ ^[202].

Dans ce contexte, nous avons mesuré les spectres de dichroïsme circulaire (CD) dans les bandes d-d des glycocomplexes de Co(II) et de Ni(II) des ligands **LyxP₃**, **MAGP₃**, **Gal^{al}P₃**, et **Gal^{Et}P₃** : pour ces ligands, l'isostructuralité des complexes cristallisés pour un ligand donné quel que soit le cation divalent est une indication forte en faveur d'une diastéréosélectivité de la réaction de complexation. Nous avons voulu déterminer, dans le cadre de cette famille de ligands de type 1,2,4-butanetriol fonctionnalisés, s'il existe des relations structure-réponse en CD.

²⁸Sachant que toute lumière polarisée peut être considérée comme la somme de deux composantes polarisées circulairement gauche et droite, l'ellipticité est définie par la relation : $\tan\theta = \frac{E_r - E_l}{E_r + E_l}$ avec E_r et E_l qui sont les normes des vecteurs de champ électrique de la lumière circulairement polarisée droite et gauche, respectivement.

2.8.1 Complexes de Co(II)^[154]

Les complexes de Co(II) des glycoligands ainsi que des ligands acycliques **glyP**₃ et **bu3OP**₃ présentent, dans leur spectre d'absorption visible, une bande associée à des transitions d-d centrée vers 500-520 nm. Dans les complexes de cobalt(II) de symétrie O_h , cette bande est due à la transition ${}^4T_{1g}(F) \rightarrow {}^4T_{1g}(P)$ ^[171]. Les valeurs des coefficients d'extinction molaire ϵ qui lui sont associés sont de l'ordre de $50 \text{ mol}^{-1} \text{ L cm}^{-1}$. Les valeurs de ϵ sont de l'ordre de $40 \text{ mol}^{-1} \text{ L cm}^{-1}$ et de $30 \text{ mol}^{-1} \text{ L cm}^{-1}$ pour les complexes des ligands acycliques **bu3OP**₃ et **glyP**₃, respectivement. Les valeurs légèrement plus faibles pour les complexes des ligands acycliques peuvent s'interpréter en considérant que les glycoligands imposent des distorsions plus grandes à la géométrie pseudo-octaédrique du complexe. Cette bande présente des effets Cotton variables selon la nature du glyco-complexe. Les spectres d'absorption dans le visible sont présentés dans la figure 2.20 et les spectres de dichroïsme circulaire sont présentés dans la figure 2.21.

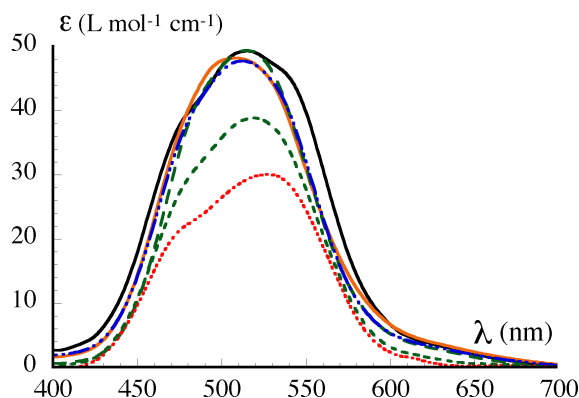


FIG. 2.20 – Spectres d'absorption dans le visible des complexes de Co(II) des glycoligands de type 1,2,4-butanetriol fonctionnalisé et des ligands acycliques **bu3OP**₃ et **glyP**₃. Le code de couleur utilisé est le même que dans la figure 2.21. Concentration de mesure : environ $10^{-2} \text{ mol L}^{-1}$, solvant : EtOH/acétone 1 : 1.

Les spectres présentés sont ceux de solutions issues de la dissolution d'échantillons cristallins de complexes. Les solutions issues du mélange de quantités équimolaires du ligand et de nitrate de Co(II) présentent la même signature dichroïque. Ceci indique que les solutions étudiées sont vraisemblablement à l'équilibre (voir le paragraphe 2.8.3). Comme il était attendu, la solution du complexe du ligand achiral **glyP**₃ ne présente pas d'effet Cotton. De même, les spectres des complexes énantiomères des ligands **MAGP**₃ et **L-MAGP**₃ présentent des spectres de dichroïsme circulaire de même intensité et de signe opposé (encart de la figure 2.21).

Pour les complexes des ligands chiraux, nous remarquons dans la figure 2.21 qu'il existe

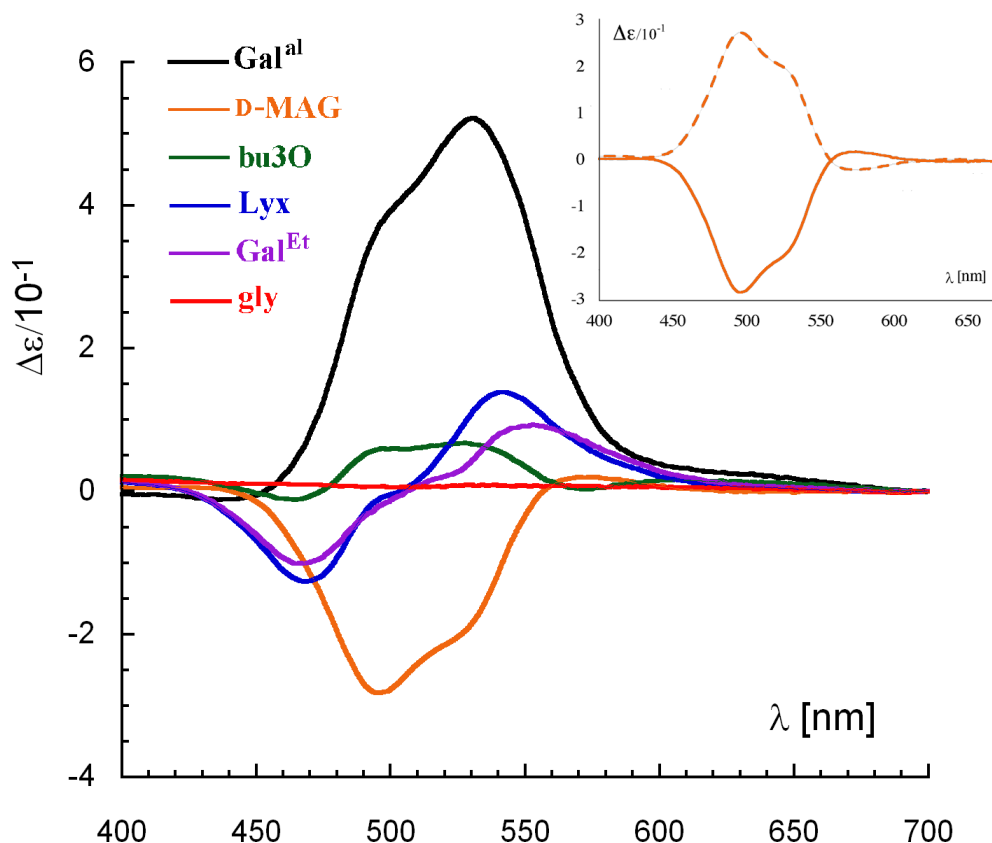


FIG. 2.21 – Spectres de dichroïsme circulaire des complexes de Co(II) des glycoligands de type 1,2,4-butanetriol fonctionnalisé et des ligands acycliques **bu3OP₃** et **glyP₃**. Concentration de mesure : environ 10^{-2} mol L⁻¹, solvant : EtOH/acétone 1 : 1.

plusieurs motifs dans le signal de dichroïsme circulaire. En particulier, le signal peut se présenter comme :

- deux contributions de même signe²⁹, positives (**L-MAGP₃**, **Gal^{al}P₃** et **bu3OP₃** : type +I),
- deux contributions de même signe, négatives (**MAGP₃**, type -I),
- deux contributions de signe opposé (**LyxP₃** et **Gal^{Et}P₃**, type II)

Afin de vérifier s'il est légitime de chercher des corrélations structure cristalline-réponse en dichroïsme circulaire, nous avons également mesuré les spectres de CD des complexes à l'état solide (pastilles de KBr contenant des échantillons cristallins broyés). Comme d'autres études^[131, 129], nous avons utilisé les résultats des analyses de dichroïsme circulaire en phase solide de façon qualitative, l'intensité du signal n'étant pas reproductible entre deux mesures. Pour chaque glyco-complexe, la superposition du spectre de CD réalisé à l'état solide avec le spectre du complexe en solution est présentée dans la figure 2.22. Même si les signaux ne sont pas parfaitement superposables avec des différences dans la position des signaux et

²⁹Le fait qu'il y ait deux contributions est mis en évidence par la forme de la bande laissant apparaître un épaulement.

leur intensité relative, le fait que le motif du spectre est globalement le même dans les deux conditions étudiées est mis en évidence par ces mesures.

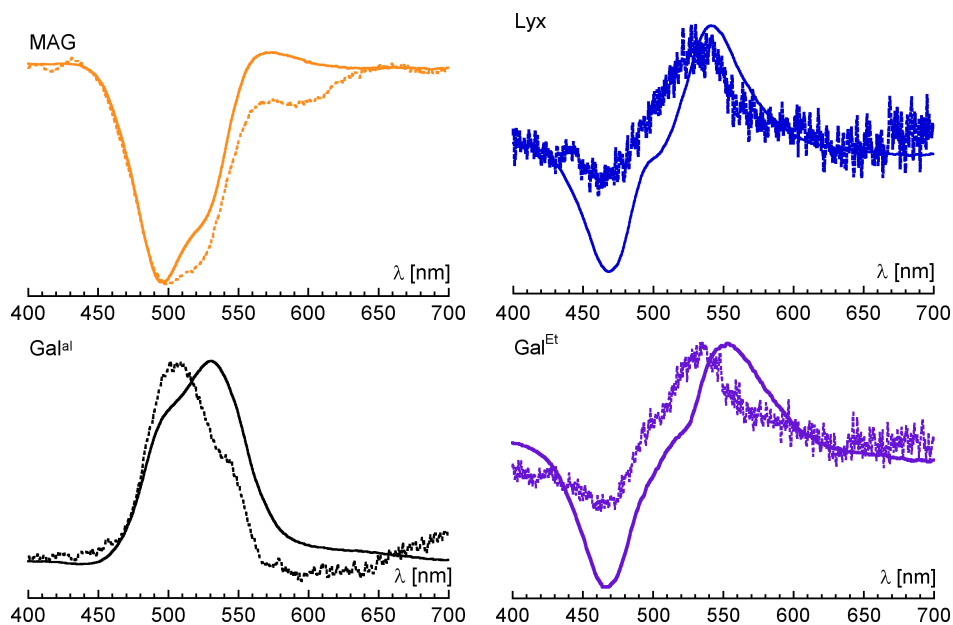


FIG. 2.22 – Complexes de Co(II) : superpositions des spectres de dichroïsme circulaire réalisés en solution pour des échantillons de cristaux redissous (traits pleins) et en phase solide (pastille de KBr contenant environ 10% en masse de cristaux de sel de glyco complexe broyé, traits discontinus).

Les caractéristiques de dichroïsme circulaire ainsi qu'un rappel des paramètres structuraux des complexes de Co(II) sont présentés dans le tableau 2.15. Parmi les éléments auxquels nous pouvons nous intéresser dans la structure des glyco complexes afin de caractériser le motif du signal dichroïque, la conformation du métallacycle à 6 chaînons qui est présent dans tous les complexes attire notre attention. Il y a également 4 métallacycles à 5 chaînons dans les complexes associés à un chélate O,O et à 3 chélates O,N. Ces derniers cycles ne dominent vraisemblablement pas la conformation du complexe métallique car ils présentent une énergie conformationnelle moindre que des cycles à 6 chaînons. De plus, les cycles chélates O,N (groupements éther de picolyle) contiennent 2 atomes ayant une hybridation sp^2 , ce qui restreint leur liberté conformationnelle.

Le cycle chélate à 6 chaînons, défini par la liaison de O3 et O5 de **LyxP₃** et des deux énantiomères de **MAGP₃**, ou de O4 et O6 de **Gal^{al}P₃** et **Gal^{Et}P₃**, présente une conformation différente dans les structures cristallines des composés (voir le tableau 2.15). Celle-ci est influencée par la conformation du cycle furannosique et pyranosique car ces derniers sont fusionnés avec le cycle chélate à 6 chaînons (voir les valeurs des angles dièdre notés dans

Complexe	Cycle sucre	Δ/Λ	métallacycle	$\Delta\epsilon[10^{-1}\text{molL}^{-1}\text{cm}^{-1}]$ (λ [nm])	Motif du signal
$[\text{Co}(\text{MAGP}_3)]^{2+}$	Fur, 3E	Λ	C^oC_{C4}	$-2,82(495)$; $-2,0(520,\text{ép.}^{[a]})$	-I
$[\text{Co}(\text{L-MAGP}_3)]^{2+}$	Fur, E_3	Δ	C^oC_{C4}	$2,76(495)$; $1,9(520,\text{ép.}^{[a]})$	+I
$[\text{Co}(\text{LyxP}_3)]^{2+}$	Fur, E_1	Λ	O^3,C^5B	$-1,26(468)$; $1,39(541)$	II
$[\text{Co}(\text{Gal}^{\text{Et}}\text{P}_3)]^{2+}$	Pyr, $O,{}^3B$	Λ	O^4,C^6B	$-1,01(466)$; $0,93(553)$	II
$[\text{Co}(\text{Gal}^{\text{al}}\text{P}_3)]^{2+}$	Pyr, 5H_4	Δ	C^oC_{C5}	$5,21(531)$; $3,9(500,\text{ép.}^{[a]})$	+I
$[\text{Co}(\text{bu3OP}_3)]^{2+}$	–	?	$C^{[b]}$	$0,58(493)$; $0,67(574,\text{ép.}^{[a]})$	+I

[a] ép. : épaulement. [b] En l'absence de contrainte, le métallacycle est vraisemblablement en conformation chaise^[175, 176].

TAB. 2.15 – Glycocomplexes de Co(II) : rappel de paramètres structuraux et caractéristiques des spectres de dichroïsme circulaire

les tableaux 2.4, 2.5). Nous pouvons donc émettre l'hypothèse qu'une conformation bateau pour le cycle chélate à 6 chaînons (cas des complexes de **LyxP₃** et **Gal^{Et}P₃**) résulte en un signal dichroïque de type II et que la conformation chaise résulte en un signal de type I ($\pm I$ selon le complexe). Dans ce dernier cas, la chiralité hélicoïdale différente des chélates *O,N* (descripteur Δ pour $[\text{Co}(\text{Gal}^{\text{al}}\text{P}_3)]^{2+}$ et Λ pour $[\text{Co}(\text{MAGP}_3)]^{2+}$) peut expliquer pourquoi les spectres des complexes $[\text{Co}(\text{MAGP}_3)]^{2+}$ et $[\text{Co}(\text{Gal}^{\text{al}}\text{P}_3)]^{2+}$ présentent des signes opposés. Les différents types de métallacycles peuvent être visualisés dans la figure 2.23. Dans le cas du ligand acyclique chiral **bu3OP₃**, un dichroïsme circulaire faible est enregistré. Le fait que ce signal soit du type I est cohérent avec le fait qu'en l'absence de contraintes imposées par la structure cyclique pyranose ou furanose, le métallacycle est vraisemblablement en conformation chaise.

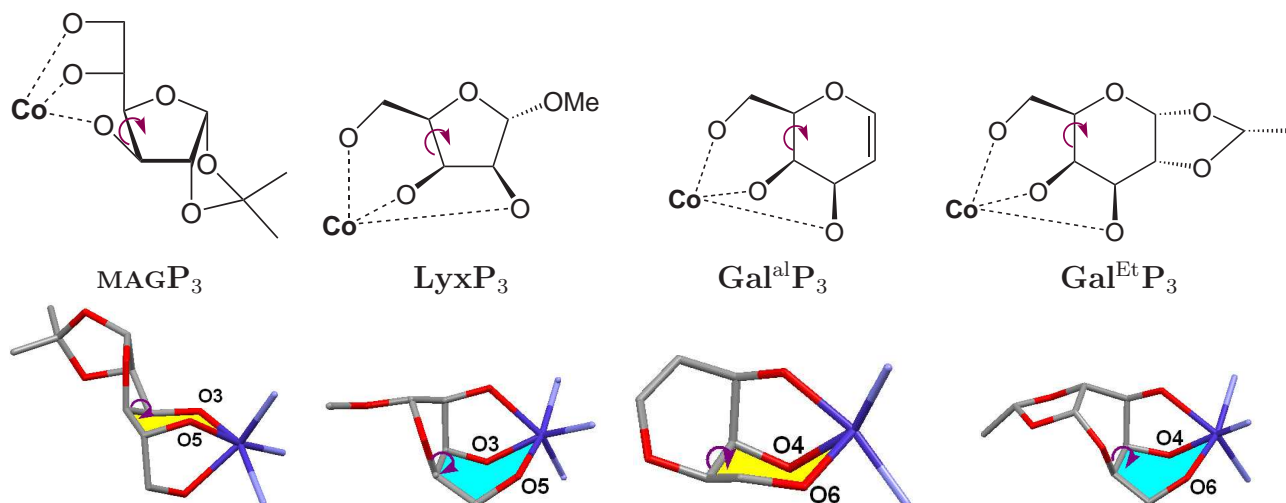


FIG. 2.23 – Métallacycles à six chaînons chaise (jaune) ou bateau (bleu clair) pour les glyco-complexes de Co(II) des ligands **LyxP₃**, **MAGP₃**, **Gal^{al}P₃** et **Gal^{Et}P₃**.

Complexe	$\Delta\epsilon[10^{-1}molL^{-1}cm^{-1}] (\lambda [nm])$	Motif du signal
$[Ni(MAGP_3)]^{2+}$	-0,74(376) ; 1,08(574)	-I
$[Ni(LyxP_3)]^{2+}$	0,24(363) ; -0,03(568) ; 0,32 (670)	II
$[Ni(Gal^{Et}P_3)]^{2+}$	0,28(356) ; -0,05(398) ; -0,05(568) ; 0,19 (672)	II
$[Ni(Gal^{al}P_3)]^{2+}$	1,70(363) ; 1,48(593)	+I
$[Ni(bu3OP_3)]^{2+}$	0,83(362) ; 0,71(592)	+I

TAB. 2.16 – Glyco-complexes de Ni(II) : caractéristiques des spectres de dichroïsme circulaire.

2.8.2 Complexes de Ni(II)

Nous avons mesuré les spectres de dichroïsme circulaire des complexes de Ni(II) pour tester la corrélation structure-réponse dont nous avons supposé l'existence sur la base des résultats obtenus avec les complexes de Co(II). Les spectres d'absorption dans le visible sont présentés dans la figure 2.24 et les spectres de dichroïsme circulaire sont présentés dans la figure 2.25.

Les bandes dans le proche UV et dans le visible associées aux transitions $d-d$ présentent des effets Cotton. La bande dans le proche infrarouge présente également un effet Cotton significatif mais il n'a pas été possible, pour des raisons de sensibilité de l'appareil dans ce domaine spectral, d'enregistrer les spectres au-delà de 800-820 nm. Les caractéristiques de dichroïsme circulaire des complexes de Ni(II) sont présentés dans le tableau 2.16. Pour un ligand donné, les descripteurs structuraux sont identiques à ceux des complexes de Co(II) (voir le tableau 2.15).

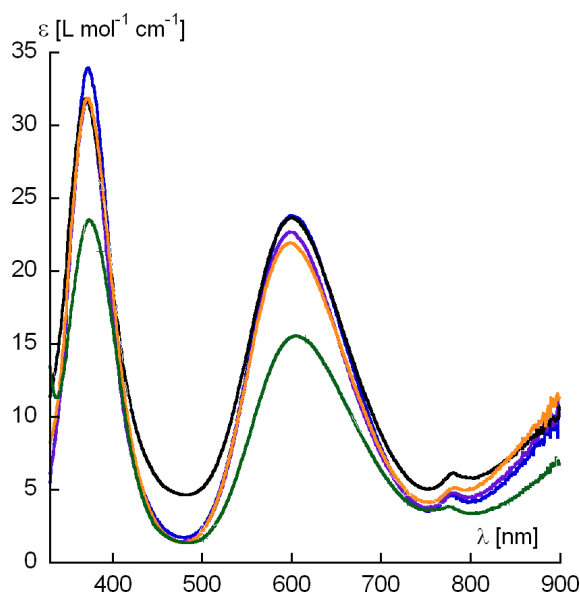


FIG. 2.24 – Spectres d'absorption des complexes de Ni(II) des glycoligands de type 1,2,4-butanetriol fonctionnalisé et du ligand acyclique **bu3OP₃**. Le code de couleur utilisé est le même que dans la figure 2.25. Concentration de mesure : environ 10^{-2} mol L⁻¹, solvant : EtOH/acétone 1 : 1.

Nous avons pu également mesurer les spectres de dichroïsme circulaire en phase solide des complexes $[\text{Ni}(\text{MAGP}_3)]^{2+}$ et $[\text{Ni}(\text{Gal}^{\text{al}}\text{P}_3)]^{2+}$. Comme pour les complexes de Co(II) correspondants, ils sont quasi-superposables avec les spectres en solution (voir 2.26). Pour les complexes des ligands **LyxP₃** et **Gal^{Et}P₃**, il n'a pas été possible de mesurer des spectres avec un rapport signal/bruit acceptable, ce qui peut s'expliquer par la faiblesse du signal de ces complexes (voir plus haut).

La corrélation structure-réponse en CD, fondée sur le rôle du cycle chélate à 6 chaînons, dont nous avons supposé l'existence dans le cadre de l'étude des glycocomplexes de Co(II) a été retrouvée dans le cas des complexes de Ni(II). En effet, d'une part, les signaux des complexes $[\text{Ni}(\text{MAGP}_3)]^{2+}$ et $[\text{Ni}(\text{Gal}^{\text{al}}\text{P}_3)]^{2+}$ présentent un signe opposé (type $\pm\text{I}$) et le signal du complexe du ligand **bu3OP₃** est du même type que celui de $[\text{Ni}(\text{Gal}^{\text{al}}\text{P}_3)]^{2+}$ (métallacycle à six chaînons en conformation chaise en l'absence de contrainte). D'autre part, les complexes $[\text{Ni}(\text{LyxP}_3)]^{2+}$ et $[\text{Ni}(\text{Gal}^{\text{Et}}\text{P}_3)]^{2+}$ présentent des signaux semblables d'un type II différent du type I. Ce résultat est à corréler avec l'isostructuralité, vraisemblablement imposée par le ligand, des glycocomplexes de Ni(II) et de Co(II) des ligands **LyxP₃**, **MAGP₃**, **Gal^{al}P₃** et **Gal^{Et}P₃**.

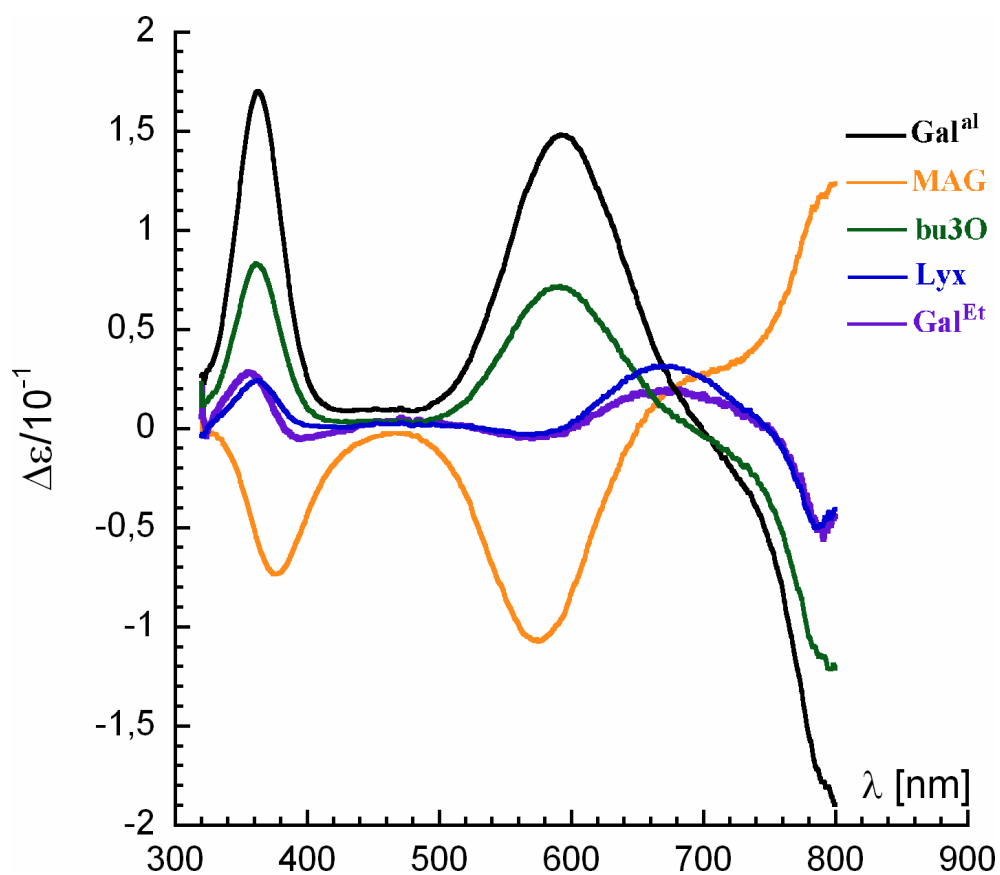


FIG. 2.25 – Spectres de dichroïsme circulaire des complexes de Ni(II) des glycoligands de type 1,2,4-butanetriol fonctionnalisé et du ligand acyclique **bu3OP₃**. Concentration de mesure : environ 10^{-2} mol L⁻¹, solvant : EtOH/acétone 1 : 1.

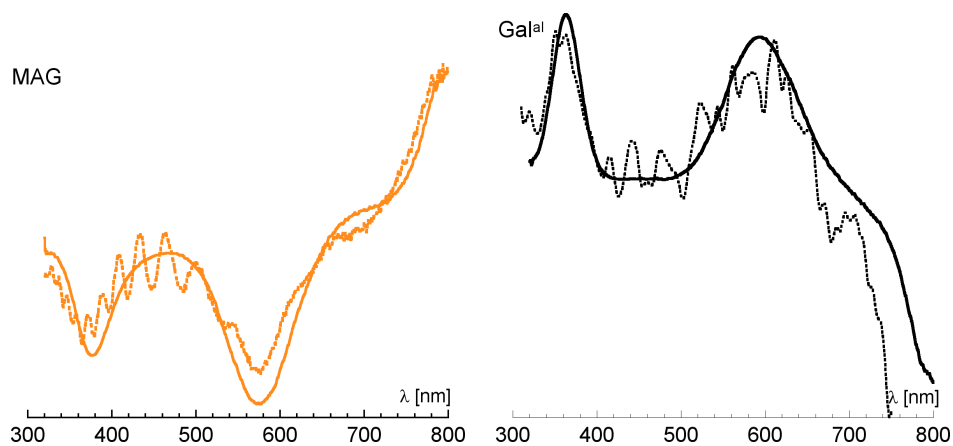


FIG. 2.26 – Complexes $[\text{Ni}(\text{MAGP}_3)]^{2+}$ et $[\text{Ni}(\text{Gal}^{\text{al}}\text{P}_3)]^{2+}$: superpositions des spectres de dichroïsme circulaire réalisés en solution et en phase solide (pastille de KBr contenant environ 10% en masse de cristaux broyés).

2.8.3 Hypothèse sur l'origine de l'induction asymétrique

Il a été mis en évidence dans la littérature que les complexes chiraux de type tris-chélate $[M(L)_3]$, où **L** est un ligand bidenté, peuvent se racémiser par la « torsion de Bailar » (parmi d'autres mécanismes)^[207, 208]³⁰. Celle-ci est un mécanisme sans rupture de liaison faisant intervenir un état de transition de géométrie trigonale prismatique. Nous avons vu (section 2.4.4) que les glycocomplexes se trouvent dans une géométrie intermédiaire entre l'octaèdre et le prisme trigonal (distordus) et que les sphères de coordination sont plus ouvertes du côté des azotes que du côté des oxygènes liés (distances O-O plus courtes que les distances N-N dans les structures cristallines). Par analogie à ce qui a été publié dans le cadre des complexes de type tris-chélate, nous pouvons nous attendre à des structures configurationnellement labiles pour les glycocomplexes, puisque les deux caractéristiques que nous venons de relever ont été citées comme abaissant l'énergie de l'état de transition dans la torsion de Bailar^[208]. Dans le cas des glycocomplexes, un mécanisme de type « torsion de Bailar » aboutirait à l'obtention d'un mélange de diastéréomères. On pourrait également envisager un mécanisme avec dissociation d'un atome coordonné (cations métalliques labiles). L'observation de signaux dichroïques qui n'évoluent pas dans le temps en solution nous indique que l'on se trouve soit à l'équilibre, soit dans une configuration cinétiquement inerte. Les caractéristiques structurales des glycocomplexes que nous venons de mentionner appuient fortement la première hypothèse. Autrement dit, le caractère diastéréosélectif de la réaction de complexation des glycoligands est vraisemblablement d'origine thermodynamique. Pour déterminer si nous avons une ou plusieurs espèces en solution, nous avons réalisé des études de RMN des glycocomplexes de Zn(II) correspondant aux complexes de Co(II) et de Ni(II) étudiés par dichroïsme circulaire. Les spectres à température ambiante et basse température mettent en évidence la présence d'une seule espèce en solution, ce qui signifie que le glycoligand induit, en solution, un seul enroulement hélicoïdal des fonctions éther de picolyle³¹. Pour un exemple de spectre RMN-¹H de glycocomplexe, voir la section 2.9 (ligand **RibP**₃).

Nous avons mis en évidence que les différents glycoligands étudiés imposaient ou non la présence d'un métallacycle en conformation bateau à l'état solide et que ceci pouvait être corrélé au motif du signal de dichroïsme circulaire des complexes de Co(II) et de Ni(II). À l'aide des arguments développés plus haut, qui sont appuyés par les mesures de CD des cristaux broyés, nous pensons que le glycoligand induit, par un jeu d'interactions stériques des substituants avec la plateforme centrale, une différence d'énergie entre les enroulements Λ et Δ des groupements éther de picolyle.

³⁰Les données supplémentaires associées à l'édition électronique de l'article de Rzepa et Cass^[208] permettent de visualiser de façon interactive les différents processus de racémisation (<http://pubs.acs.org>).

³¹Ces résultats ont été obtenus par Jenny B. Waern (chercheur postdoctoral) pour les complexes de **LyxP**₃, **MAGP**₃ et **Gal**^{al}**P**₃.

Les trois groupements éther de picolyle sont enroulés dans le même sens, pour des raisons stériques évidentes. Toutefois, en analysant finement les structures cristallographiques, il apparaît que l’amplitude de l’enroulement n’est pas la même pour les trois fonctions éther de picolyle. En effet, la fonction portée par l’atome d’oxygène coordonné qui présente la distance M-O la plus grande est celle qui possède l’enroulement le plus marqué (celui-ci peut être quantifié par l’écart à 180° de l’angle de torsion C_{sucré}-O-C-C_{pyridine}). Cette propriété est vérifiée avec deux exceptions³² dans l’ensemble des 18 structures cristallines des glyco-complexes à site de coordination de type 1,2,4-butanetriol fonctionnalisé décrites dans le cadre de cette thèse et de celle qui l’a précédée^[151].

La proximité au cation métallique des différents oxygènes coordonnés dépend, comme nous l’avons mentionné précédemment dans le cadre de l’analyse des distances interoxygène (voir le tableau 2.6), de l’élasticité^[109] conformationnelle des ligands. La nature des liaisons dans le groupement éther de picolyle impose, comme nous l’avons vu au paragraphe 2.4.4, une distorsion de la géométrie de coordination vers le prisme trigonal (distance O-N dans un groupement éther de picolyle insuffisante pour placer les deux atomes coordonnants au sommets d’un octaèdre). Il est donc plausible que l’azote coordonné de la groupements éther de picolyle portée par l’oxygène le plus distant du centre métallique ait la possibilité de présenter un enroulement plus important que celui des autres groupement. Par conséquent, nous pouvons émettre l’hypothèse que ce soit le sens de ce premier entroulement qui détermine la chiralité hélicoïdale du complexe. Pour les complexes des ligands **LyxP₃**, **MAGP₃**, **Gal^{Et}P₃** et **Gal^{al}P₃**, ce sont respectivement les oxygènes en 2, 6, 3 et 4 qui sont les plus éloignés du centre métallique. Nous pouvons supposer que ce sont des facteurs stériques fins comme dans une étude très récente de Rieser *et al.*^[143]. Dans cette dernière, le remplacement de deux oxygènes par deux soufres dans une paire de ligands isostériques a permis d’isoler une paire quasi-énantiomérique de complexes de zinc. Les auteurs ont expliqué ce résultat en étudiant leur système par modélisation moléculaire. Ils ont mis en évidence que la modification du sens de l’enroulement du ligand était dû au changement de l’importance relative de diverses interactions stériques induit par la longueur supérieure des liaisons C-S par rapport aux liaisons C-O. Dans notre cas, les hypothèses formulées ci-dessus sont en cours d’étude par modélisation moléculaire en collaboration avec le Dr. Nohad Gresh (Univ. Paris 5).

2.9 Étude RMN du ligand **RibP₃** et de ses complexes

La spectroscopie de résonance magnétique nucléaire a été utilisée pour caractériser l’interaction sucres-cations métalliques (voir l’introduction, section 1.4.1). Dans le cas de cations diamagnétiques, les spectres RMN restent parfaitement interprétables avec des techniques

³²Dans ces deux cas, deux distances de coordination sont très proches (différence < 0,02 Å).

de routine. La coordination d'un cation métallique à un sucre résulte en un *déplacement induit par la coordination* des valeurs des déplacements chimiques^[209], et, si des changements conformationnels ont lieu, en des modifications des valeurs des constantes de couplage³³.

Le complexe $[\text{Zn}(\text{RibP}_3)]^{2+}$ a fait l'objet d'une étude par RMN à température ambiante dans l'acétonitrile deutéré. Par souci de comparaison, le ligand **RibP₃** a été étudié dans les mêmes conditions. Les signaux ont été attribués par des techniques de RMN bidimensionnelle (en cas d'ambiguïté, des expériences sous irradiation ont été réalisées). Les spectres de RMN-¹H sont présentés dans la figure 2.27 et les déplacements chimiques les décrivant dans le tableau 2.17.

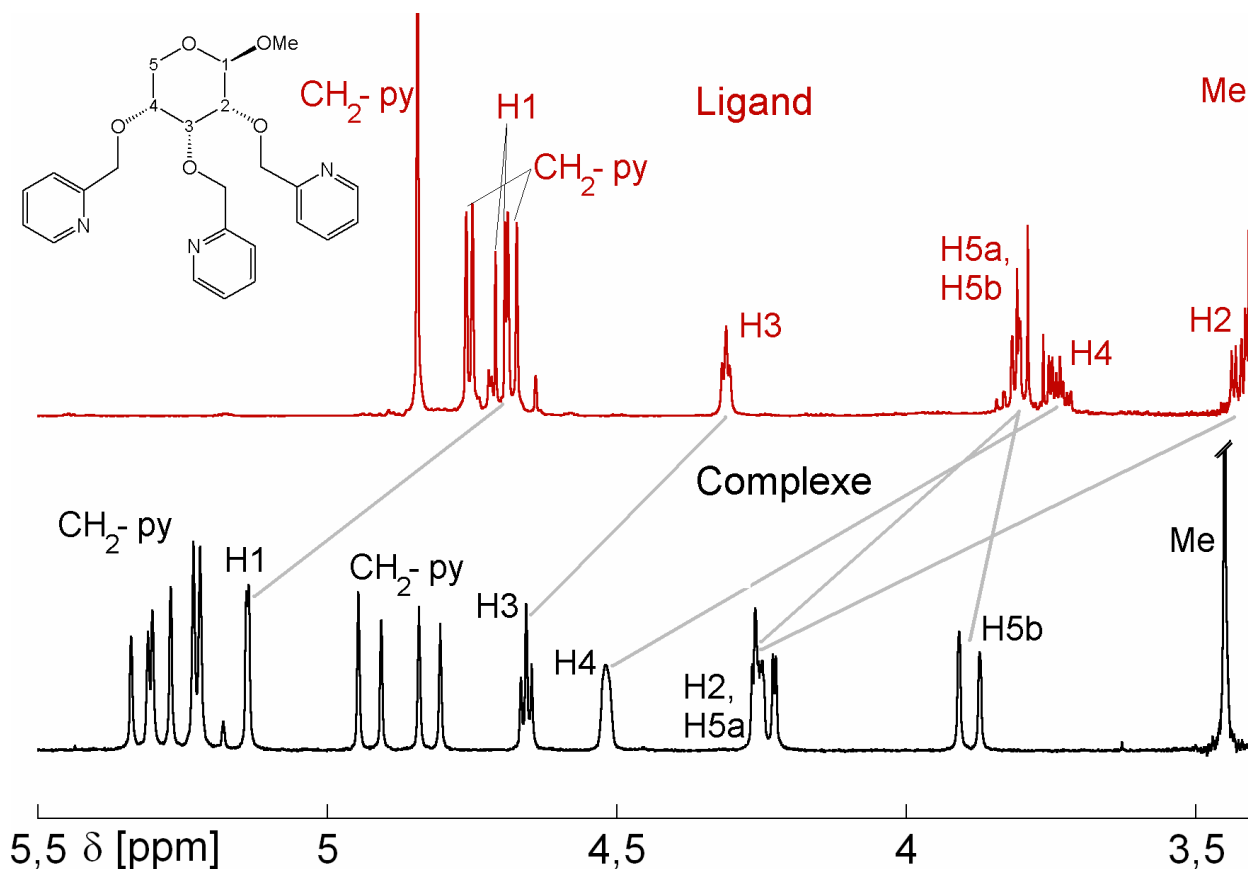


FIG. 2.27 – Partie des spectres RMN-¹H de solutions dans CD₃CN du ligand **RibP₃** et de son complexe de Zn(II) contenant les signaux des protons du cycle ribopyrannose (concentration : 2×10^{-2} mol L⁻¹, $T=298$ K).

Le spectre RMN-¹H de $[\text{Zn}(\text{RibP}_3)]^{2+}$ est interprétable en considérant une seule espèce en solution (voir plus loin). La complexation résulte en un déplacement, d'amplitude va-

³³Par exemple, dans le cas des dérivés « charnière » décrits en 1.4.2, le changement conformationnel lors de la complexation a été caractérisé par la mesure des constantes de couplage.

δ_H [ppm]	$[\text{Zn}(\mathbf{RibP}_3)]^{2+}$	position	RibP₃	position	$\Delta\delta(\text{cx-lig})$ [ppm]	$d_{\text{H-Zn}}$ [Å]
H1	5,14	éq	4,72	ax	0,42	4,674
H2	4,26	éq	3,43	ax	0,83	3,631
H3	4,66	ax	4,31	eq	0,35	3,837
H4	4,52	éq	3,73	ax	0,79	3,645
H5	4,25/3,89	éq/ax	3,80	ax/eq	0,45/0,09	4,759/5,034

δ_C [ppm]	$[\text{Zn}(\mathbf{RibP}_3)]^{2+}$	RibP₃
C1	97,8	102,2
C2	78,5	79,3
C3	73,7	76,8
C4	71,8	76,3
C5	57,5	64,4

TAB. 2.17 – Déplacements chimiques décrivant les spectres RMN de **RibP₃** et de $[\text{Zn}(\mathbf{RibP}_3)]^{2+}$.

Constantes de couplage [Hz]	$[\text{Zn}(\mathbf{RibP}_3)]^{2+}$		RibP₃	
	exp.	calc.	exp	calc.
${}^3J_{1,2}$	1,5	2,3	6,6	7
${}^3J_{2,3}$	3,7	3,3	2,9	2,9
${}^3J_{3,4}$	3,7	3,1	2,3	2,6
${}^3J_{4,5a}$; ${}^3J_{4,5b}$	2,0 ; faible (non résolue)	2,7 ; 1,2	5,1 ; 7,7	4,8 ; 9,3

TAB. 2.18 – Constantes de couplage 3J décrivant les spectres RMN-¹H de **RibP₃** et de $[\text{Zn}(\mathbf{RibP}_3)]^{2+}$ expérimentales et calculées d’après l’équation d’Haasnoot-Altona^[210].

riable selon le signal considéré, des résonances des protons du squelette cyclique vers les champs faibles en RMN-¹H. Elle provoque également en une meilleure résolution des couplages 2J entre les deux protons méthyléniques non équivalents des groupements picolyle car la chélation du Zn(II) définit des métallacycles qui figent la rotation des fonctions éther de picolyle.

La modification des constantes de couplage (tableau 2.18) et des valeurs du déplacement chimique δ (voir plus bas) est en accord avec le passage d’une forme principalement 4C_1 pour le ligand libre à une forme 1C_4 dans le complexe $[\text{Zn}(\mathbf{RibP}_3)]^{2+}$. Ceci est particulièrement apparent avec les petites valeurs des constantes de couplage ${}^3J_{1,2}$, ${}^3J_{4,5a}$ et ${}^3J_{4,5b}$ dans le complexe en comparaison avec celles mesurées pour le ligand libre. L’équation de Haasnoot-Altona^[210] peut être utilisée pour calculer les constantes de couplage. Il s’agit d’une généralisation de l’équation de Karplus^[211] à des systèmes H-C-C-H portant de 1 à 4 substituants d’électronégativité variable³⁴ (équation 2.3).

³⁴Altona *et al.* ont également tenu compte de l’électronégativité des substituants en β , ce qui modifie légèrement l’équation 2.3, mais, dans notre cas, cette amélioration n’est pas applicable puisque l’électronégativité

$${}^3J = P1\cos^2(\phi) + P2\cos(\phi) + \sum \Delta\chi_i \cdot (P4 + P5\cos^2(\zeta \cdot \phi + P6 \cdot |\Delta\chi_i|) \quad (2.3)$$

où ϕ est l'angle dièdre H-C-C-H, ζ a une valeur de ± 1 selon l'orientation du substituant (voir la publication originale), les $\Delta\chi_i$ sont les différences d'électronégativité selon Huggins^[212] entre l'hydrogène et les substituants, et les paramètres P1-P6 sont des paramètres obtenus par les auteurs par ajustement d'un échantillon représentatif de valeurs expérimentales de constantes de couplage et tabulés dans la publication originale^[210]³⁵.

À l'aide de cette équation, nous avons pu obtenir, en utilisant les angles dièdre issus des structures cristallographiques du ligand **RibP₃** et du glycoComplexe $[\text{Zn}(\text{RibP}_3)](\text{ClO}_4)_2$, les constantes calculées présentées dans le tableau 2.18. Celles-ci présentent un bon accord avec l'expérience³⁶. Les constantes de couplage étant calculées en considérant un seul conformère du cycle pyranose, ce bon accord confirme l'hypothèse d'une seule espèce (ou d'une espèce très largement majoritaire) en solution. Le cycle pyranose du ligand **RibP₃** dans le complexe en solution adopte bien une conformation 1C_4 alors que le ligand **RibP₃** libre est exclusivement ou très majoritairement dans une conformation 4C_1 ³⁷.

Le déplacement chimique des différents signaux en RMN du ${}^1\text{H}$ et du ${}^{13}\text{C}$ est également modifié. Si l'on fait l'approximation de considérer le Zn comme une charge ponctuelle, une modification de la constante d'écran des différents protons par la polarisation des liaisons C-H à cause de la présence du champ électrique induit par cette charge aboutit à un déplacement vers les champs faibles des résonances en RMN- ${}^1\text{H}$ ^[19, 214]. Toutefois, cet effet ne peut pas être utilisé de façon quantitative^[214] en raison de la modification de la conformation entre la forme libre **RibP₃** et la forme complexée $[\text{Zn}(\text{RibP}_3)]^{2+}$ ³⁸. Il est, en effet, connu

selon Huggins n'a pas été tabulée pour les éléments métalliques dont le Zn.

³⁵L'équation d'Haasnoot-Altona a, depuis, été reparamétrisée en incluant des électronégativités empiriques de groupe et l'effet du solvant (CDCl_3 ou D_2O)^[213]. Puisque le groupe contenant un oxygène lié à un métal n'a pas été inclus dans l'échantillon de constantes de couplage ayant servi à dériver le nouveau jeu de paramètres, nous allons utiliser la version de 1980 de l'équation d'Haasnoot-Altona^[210]

³⁶Bien que nous ayons fait l'hypothèse grossière que l'électronégativité des substituants éther libres ou complexés est l'électronégativité de Huggins^[212] de l'atome d'oxygène.

³⁷Ce dernier fait n'est pas un argument suffisant pour exclure une stabilisation du complexe $[\text{Zn}(\text{RibP}_3)]^{2+}$ par rapport à celui du ligand acyclique **glyP₃** puisque le fait que la conformation 4C_1 soit majoritaire à plus de 90% signifie seulement que la différence d'énergie entre les deux formes est supérieure à 5 kJ mol⁻¹, ce qui est faible en comparaison des énergies libres de complexation (voir section 2.10).

³⁸Pour une comparaison qualitative, nous pouvons relever qu'Angyal a publié des valeurs de $\Delta\delta$ induites par la complexation du La(III) au site ax-éq-ax de l'*épi*-inositol comprises entre 0,27 et 0,55^[30]. Le La³⁺ est, certes, plus chargé que le Zn²⁺, mais il a été prouvé que $\Delta\delta$ dépend du champ électrique induit par le cation métallique (en $\frac{q}{r^2}$)^[214]. L'atome de lanthane dans les complexes (non cristallisés) décrits par Angyal est certainement plus éloigné des groupements CH du site de coordination que l'atome de Zn dans le complexe $[\text{Zn}(\text{RibP}_3)]^{2+}$ car les liaisons de coordination O-La sont certainement plus longues que les liaisons O-Zn (le rayon cristallin de La³⁺, avec son nombre de coordination habituel de 9, est de 1,36 Å contre 0,88 Å pour le

que le passage d'un proton d'une position axiale à une position équatoriale dans un polyol cyclique aboutit au déblindage du signal qui lui est associé (et inversement). L'amplitude des effets attendus pour le changement conformationnel est de l'ordre de 0,3 à 0,4 ppm dans les aldopyrannosides^[215]. De tels effets ont été également rapportés lors de la complexation de polyols cycliques (voir par exemple ^[216]). Ces considérations peuvent expliquer la hiérarchie des valeurs de $\Delta\delta$ pour les protons les plus proches du site de chélation : le déblindage est plus grand pour H2 et H4 (effet conformationnel et de charge dans le même sens) que pour H3 (effet conformationnel s'opposant à l'effet de déblindage dû à la charge). Concernant la modification des déplacements chimiques en RMN-¹³C (tableau 2.17), divers auteurs ont observé un blindage des ¹³C aliphatiques à proximité du site de chélation du zinc dans les solvants organiques, ainsi qu'une modification (blindage ou déblindage selon les cas) des déplacements chimiques des carbones aromatiques^[217, 218, 219] (voir aussi la partie expérimentale).

RMN paramagnétique du complexe de Co(II)

La spectroscopie de résonance magnétique peut être utilisée pour caractériser les espèces paramagnétiques, pourvu le temps de relaxation associé au(x) porteur(s) du spin S soit suffisamment court³⁹. Le spectre RMN-¹H du complexe $[\text{Co}(\mathbf{RibP}_3)]^{2+}$ a pu être enregistré dans l'acétonitrile deutéré⁴⁰. Les signaux sont répartis entre 0 et 120 ppm. Le nombre de signaux est cohérent, comme dans le cas du complexe $[\text{Zn}(\mathbf{RibP}_3)]^{2+}$, avec la présence d'une seule espèce en solution. En raison des temps de relaxation courts induits par la présence du centre métallique paramagnétique ($S = \frac{3}{2}$) la mise en œuvre de techniques courantes impliquant un transfert de l'aimantation pour l'attribution des signaux est impossible. Il se trouve dans la littérature des interprétations de spectres de RMN-¹H de complexes paramagnétiques de Co(II) (par exemple ^[220]), réalisés toutefois sur des molécules plus symétriques et présentant une moins forte modification des déplacements chimiques par le centre paramagnétique.

cation Zn^{2+} . Il n'est donc pas surprenant de trouver dans notre étude un effet du même ordre de grandeur que celui publié par Angyal.).

³⁹Pour cette raison, les complexes des cations pour lesquels un spectres RPE est facilement enregistrable, comme le Cu(II), sont difficilement étudiables par RPE.

⁴⁰Des essais préliminaires ont montré que les glyco-complexes de Ni(II) peuvent être difficilement étudiés par RMN.

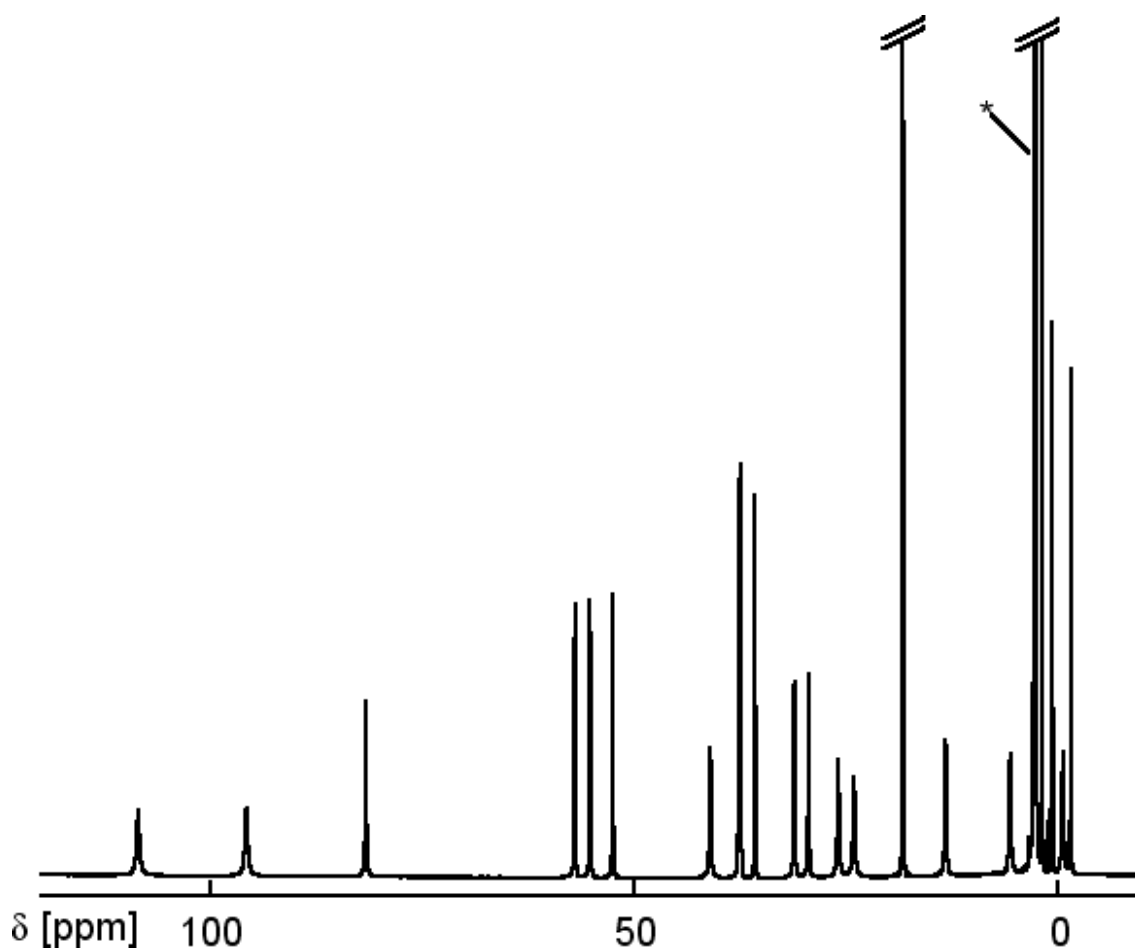


FIG. 2.28 – Spectre RMN-¹H d'une solution dans CD₃CN de [Co(**RibP₃**)]²⁺ (* : signal du solvant).

2.10 Étude thermodynamique de la formation des complexes de RibP₃ et glyP₃

Nous venons de montrer par RMN dans le paragraphe 2.9 qu'il n'y a qu'une seule espèce en solution pour les complexes de Co(II) et de Zn(II) du ligand **RibP₃**, et que, dans le cas du Zn(II), cette espèce présente une conformation chaise ¹C₄. D'autre part, le suivi de la formation des complexes de Ni(II) et de Co(II) par la spectroscopie d'absorption UV-visible n'a laissé apparaître qu'un seul processus avec une stœchiométrie de 1 cation métallique pour un ligand (voir section 2.7).

Titrages calorimétriques isothermes

Nous désirions déterminer les paramètres thermodynamiques de cette réaction de complexation dans l'éthanol et *comparer* les grandeurs thermodynamiques de complexation du ligand **RibP₃** et de son analogue acyclique **glyP₃** afin de révéler une éventuelle sélectivité métallique de la complexation du glycoligand.

La technique de la calorimétrie de titrage isotherme (*Isothermal Titration Calorimetry, ITC*) a été utilisée pour déterminer les paramètres thermodynamiques des réactions de complexation. Cette technique permet la caractérisation thermodynamique complète d'une interaction en une seule expérience^[221] : elle permet d'obtenir à la fois la variation d'enthalpie apparente ΔH_{cal} associée à l'interaction et la constante d'équilibre K de la réaction ainsi que la stœchiométrie du processus. Ces deux grandeurs étant connues, la variation d'entropie (ΔS_{cal}) associée à la complexation peut être calculée. Expérimentalement, des injections de petits aliquots de solution titrante dans une cuve de mesure sont réalisées par une seringue automatique ; le flux de chaleur entre cette cuve et une cuve de référence remplie de solvant, lors du retour du système à l'équilibre thermique, est mesuré (pour une brève discussion des mesures et de leur optimisation, voir la partie expérimentale). À titre de comparaison, les titrages potentiométriques ou spectrophotométriques nécessitent la réalisation de mesures à différentes températures pour extraire les valeurs de ΔH° et ΔS° à travers la relation de van't Hoff^[222]⁴¹.

La microcalorimétrie est particulièrement adaptée à la mesure de petites chaleurs de réaction, comme souvent rencontré en biologie (interactions protéine-protéine et protéine-ligand, interactions impliquant les glucides, l'ADN, les lipides^[221]...).⁴², c'est-à-dire pour

⁴¹Relation de van't Hoff : $\ln K = -\frac{\Delta H^\circ}{R} \left(\frac{1}{T}\right) + \frac{\Delta S^\circ}{R}$ où R est la constante des gaz parfaits.

⁴²Cette étude thermodynamique a été effectuée en collaboration avec une équipe de chercheurs travaillant dans le domaine de la biologie, dirigée par M. Desmadril à l'IBBMC (Orsay). Elle a nécessité une mise au point spécifique pour l'étude des complexes de coordination en solution éthanolique.

l'étude de systèmes aqueux⁴³.

Dans le domaine de la chimie de coordination, l'ITC a été utilisée pour déterminer des tendances thermodynamiques pour la complexation. Les séries considérées sont, soit une série de ligands pour des cations métalliques^[223, 224], soit une série de cations métalliques pour des ligands^[225, 226, 222]. Le but de ces études est de caractériser la sélectivité des processus de complexation. D'autres utilisations en chimie de coordination incluent la caractérisation thermodynamique de la formation d'espèces oligonucléaires^[227, 228] ainsi que l'étude de la construction d'édifices supramoléculaires avec des « briques inorganiques »^[229, 230, 231, 232, 233, 234]. Les études de la complexation des cations métalliques par des ligands biologiques^[235, 236, 237], dont les sucres^[238] ainsi que par des ligands d'intérêt thérapeutique^[239], peuvent également être relevées.

Réalisation des mesures

Dans le cadre de ce travail, des titrages microcalorimétriques ont été réalisés en ajoutant des solutions de ligand (**RibP₃** ou **glyP₃**) à des solutions contenant les cations métalliques, préparées à partir de sels de nitrate hydratés⁴⁴. Nous avons réalisé les expériences en titrant des solutions éthanoliques de cation métallique par des solutions du ligand. De cette manière, la force ionique du milieu reste constante, à la dilution près (10%). Étant donné les faibles concentrations de cations métalliques (10^{-5} à 10^{-3} mol L⁻¹) et de ligand (10^{-4} à 10^{-2} mol L⁻¹) utilisées, il est possible de faire l'approximation, comme dans une étude récemment publiée de la complexation de cations actinide(III) dans un mélange méthanol/eau^[222], que les rapports des constantes d'activité des solutés ne varient pas au cours des expériences.

Les titrages ne sont habituellement pas comparables directement car ils n'ont pu être réalisés avec des concentrations identiques de chacune des solutions, sauf dans le cas de conditions identiques de concentration pour deux expériences, comme dans l'exemple donné dans la figure 2.29. Comme il était attendu pour des cations labiles par rapport à l'échange de ligands, et en accord avec les le comportement observé lors des titrages suivis par spectroscopie d'absorption UV-visible, les réactions de complexation se sont révélées rapides par rapport à l'échelle de temps de l'ITC. La forme des pics dans le thermogramme (figure 2.29) est donc donnée uniquement par les transferts de chaleur⁴⁵.

Paramètres thermodynamiques

⁴³Les applications de la calorimétrie de titration isotherme sont passées en revue chaque année dans *Journal of Molecular Recognition*, voir la référence^[221] pour la dernière édition.

⁴⁴Nous avons exclu le cation Fe(II) de cette étude car le nitrate de fer(II) n'est pas stable.

⁴⁵Dans le cas de réactions lentes (échelle de temps de l'ordre de la minute), l'ITC peut être utilisée pour étudier cinétiquement la réaction.

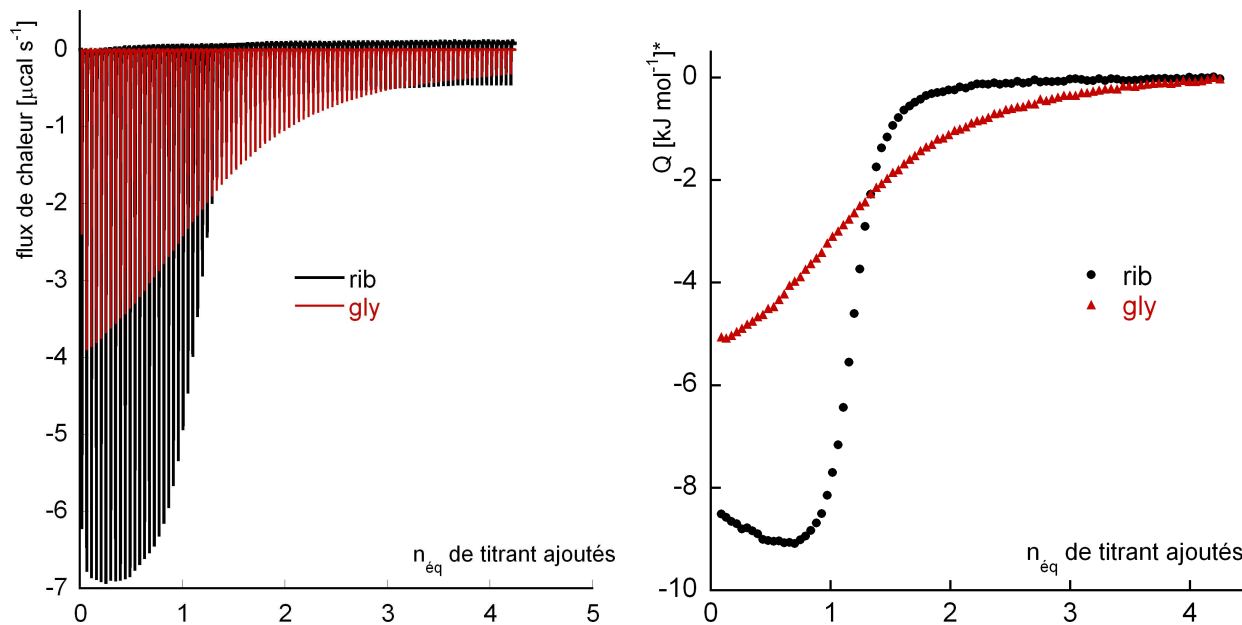


FIG. 2.29 – Exemples de titrages ITC. Rouge : $\text{Mn}(\text{NO}_3)_2 + \text{glyP}_3$. Noir : $\text{Mn}(\text{NO}_3)_2 + \text{RibP}_3$. À gauche, tracé du flux de chaleur pendant les titrages (thermogramme). Chaque pic correspond à une injection. À droite, graphique des intégrales des pics en fonction du nombre d'équivalents ajoutés.

La détermination des paramètres thermodynamiques des données obtenues par ITC se fonde sur l'hypothèse, appuyée par les études cristallographiques et les titrages UV-visible que nous avons réalisés, qu'il se forme uniquement le complexe mononucléaire $[\text{M}(\text{L})]^{2+}$ sans formation intermédiaire de complexes $[\text{M}(\text{L})_n]^{2+}$ ($n > 1$) ni de complexes polynucléaires (cette dernière possibilité semble peu probable du fait de la structure des ligands étudiés). La forme des thermogrammes expérimentaux soutient cette hypothèse. Les résultats sont présentés dans le tableau 2.19.

M	Ajout de glyP₃		Ajout de RibP₃		Comparaison glyP₃-RibP₃ . $\Delta =$ RibP₃ - glyP₃	
Mn	$n = 1,34$ $\Delta H_{\text{cal}} = -7,7$	$K_d = 4,4 \times 10^{-4}$ $-T\Delta S_{\text{cal}} = -11,2$	$n = 1,20$ $\Delta H_{\text{cal}} = -9,2$	$K_d = 8,1 \times 10^{-6}$ $-T\Delta S_{\text{cal}} = -19,2$	$\frac{K_d(\text{gly})}{K_d(\text{Rib})} = 54,3$ $-T\Delta\Delta S = -8,0$	$\Delta\Delta H = -1,5$
Co	$n = 0,90$ $\Delta H_{\text{cal}} = -11,6$	$K_d = 1,9 \times 10^{-5}$ $-T\Delta S_{\text{cal}} = -14,9$	$n = 0,91$ $\Delta H_{\text{cal}} = -14,4$	$K_d = 2,3 \times 10^{-6}$ $-T\Delta S_{\text{cal}} = -17,3$	$\frac{K_d(\text{gly})}{K_d(\text{Rib})} = 8,3$ $-T\Delta\Delta S = -2,4$	$\Delta\Delta H = -2,8$
Ni	$n = 1,01$ $\Delta H_{\text{cal}} = -23,2$	$K_d = 8,9 \times 10^{-7}$ $-T\Delta S_{\text{cal}} = -12,1$	$n = 0,80$ $\Delta H_{\text{cal}} = -12,7$	$K_d = 2,1 \times 10^{-7}$ $-T\Delta S_{\text{cal}} = -26,2$	$\frac{K_d(\text{gly})}{K_d(\text{Rib})} = 4,2$ $-T\Delta\Delta S = -14,1$	$\Delta\Delta H = +10,5$
Cu	$n = 0,87$ $\Delta H_{\text{cal}} = -28,1$	$K_d = 3,6 \times 10^{-7}$ $-T\Delta S_{\text{cal}} = -8,1$	$n = 1,03$ $\Delta H_{\text{cal}} = -23,2$	$K_d = 2,8 \times 10^{-7}$ $-T\Delta S_{\text{cal}} = -13,5$	$\frac{K_d(\text{gly})}{K_d(\text{Rib})} = 1,3$ $-T\Delta\Delta S = -5,4$	$\Delta\Delta H = +4,9$
	$n = 0,70$ $\Delta H_{\text{cal}} = -17,3$	$K_d = 1,1 \times 10^{-5}$ $-T\Delta S_{\text{cal}} = -10,7$	$n = 0,76$ $\Delta H_{\text{cal}} = -13,1$	$K_d = 3,6 \times 10^{-7}$ $-T\Delta S_{\text{cal}} = -23,8$	$\frac{K_d(\text{gly})}{K_d(\text{Rib})} = 30,6$ $-T\Delta\Delta S = -13,1$	$\Delta\Delta H = +4,2$
Zn						

TAB. 2.19 – Paramètres thermodynamiques issus des titrages calorimétriques (indice « cal ») isothermes ($M(\text{NO}_3) + \mathbf{L}$, $\mathbf{L} = \text{RibP}_3$ ou glyP_3) réalisés dans l'éthanol à 20°C. n : stoechiométrie expérimentale. Unités : $\Delta H_{\text{cal}} ; -T\Delta S_{\text{cal}}$ [kJ mol⁻¹]. Une incertitude de $\pm 10\%$ est admise sur les valeurs des grandeurs thermodynamiques (d'après la répétition d'expériences identiques).

D'après les résultats présentés dans le tableau 2.19, les complexes de Mn(II), Co(II), Ni(II) et Zn(II) du glycoligand **RibP**₃ sont toujours plus stables que les complexes du ligand acyclique **glyP**₃. L'ampleur de la stabilisation est variable : elle est maximale pour Mn(II) et Zn(II) et négligeable pour Cu(II) (figure 2.30). Alors que l'évolution des constantes de dissociation suit l'ordre prévu par la série d'Irving et Williams (Mn < Co < Ni < Cu > Zn)^[100] pour le ligand **glyP**₃, ce n'est pas le cas pour le ligand **RibP**₃ avec une inversion entre le Cu et le Ni. D'une manière générale, la série des complexes du ligand **RibP**₃ présente une plus faible dispersion des constantes de dissociation, le rapport entre les deux constantes de dissociation extrêmes n'étant que de 37 contre 1220 pour la série des complexes du ligand **glyP**₃. Ces deux dernières constatations sont indicatives de la rigidité du ligand (voir l'introduction, section 1.7), ce qui est confirmé par la comparaison des constantes de stabilité des ligands linéaires et de leurs analogues rigides et/ou (macro)cycliques^[240]. La modification de la hiérarchie des constantes de stabilité est néanmoins moins prononcée que dans le cas de ligands très rigides tels que ceux de la famille des bispidines^[101, 102], mais met en évidence que stabilisation des glycocomplexes de **RibP**₃ est d'autant plus efficace que le rayon cristallin (tableau) du cation métallique 3d divalent est élevé, et que le cation n'a pas de préférence électronique pour une géométrie octaédrique (voir aussi plus bas).

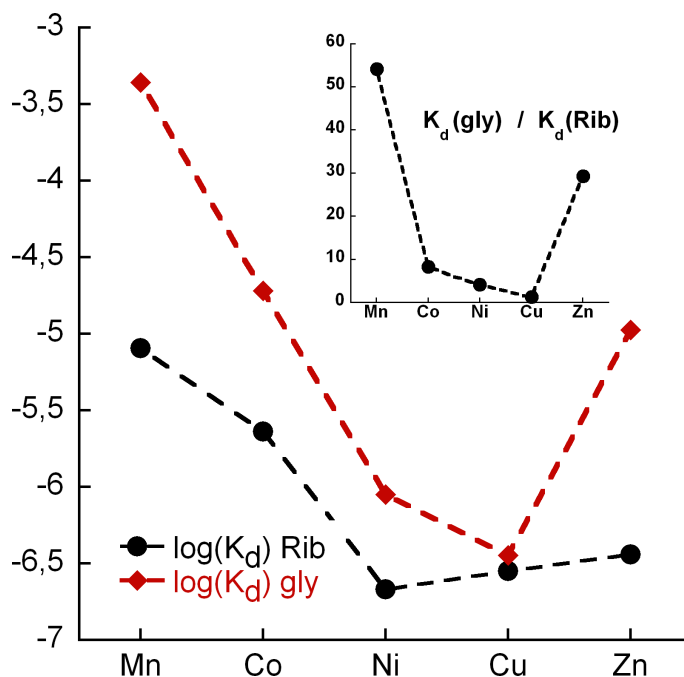


FIG. 2.30 – Comparaison de $\log(K_d)$ pour les complexes des ligands **RibP**₃ et **glyP**₃.

Les contributions des termes enthalpiques et entropiques à la variation d'énergie de Gibbs associée à la réaction de complexation sont présentées dans la figure 2.31. Contrairement à

des exemples de systèmes de ligands élastiques tels que les dérivés de l'EDTA^[226], il n'y a pas, dans l'ensemble de la série une compensation enthalpie-entropie^[241].

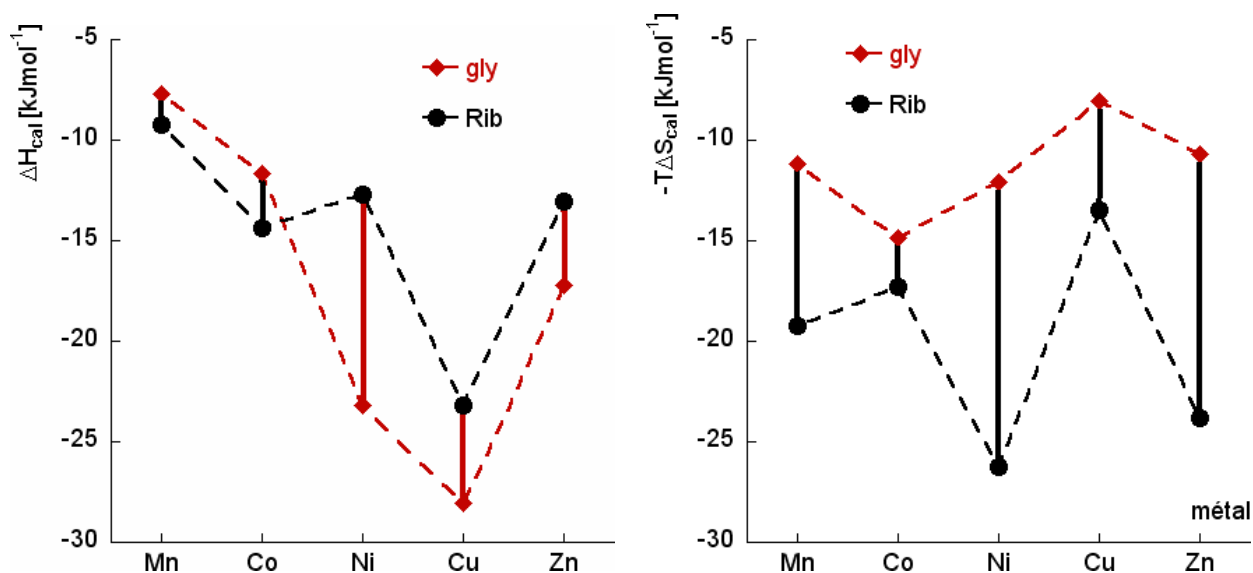


FIG. 2.31 – Comparaison de ΔH_{cal} et de $-T\Delta S_{cal}$ pour les complexes des ligands **RibP₃** et **glyP₃**. Les barres verticales représentent l'ampleur de la stabilisation en faveur de **glyP₃** (rouge) ou de **RibP₃** (noir).

Dans le cadre de la comparaison des différents systèmes, le lecteur pourra se remémorer la discussion faite dans l'introduction, au paragraphe 1.7. En comparant un ligand acyclique *flexible* comme le dérivé du glycérol **glyP₃** avec un ligand cyclique *inflexible* comme **RibP₃**, il nous faut considérer plusieurs paramètres⁴⁶.

⁴⁶Par ailleurs, notons que, comme toutes les études thermodynamiques d'un processus de complexation dans un solvant, cette étude a eu pour objet de mesurer l'échange des molécules de solvant ou d'eau coordonnées par le ligand, et que le complexe métallique initial peut ne pas être de même nature pour les différents cations métalliques étudiés. C'est aussi pour s'affranchir de ces biais que la comparaison entre les propriétés de complexation de **RibP₃** et de **glyP₃** est d'intérêt.

Enthalpie

Du point de vue enthalpique, deux effets de signe contraire peuvent être invoqués. En effet, dans le ligand **RibP**₃, la conformation coordonnante est une des conformations de plus basse énergie, donc ΔU_{conf} , est alors un terme positif vraisemblablement plus petit pour **RibP**₃ que pour **glyP**₃. D'autre part, la contrainte supplémentaire lors de la complexation ΔU_{comp} peut être plus grande pour **RibP**₃ que pour **glyP**₃ (dans modèle décrit dans la figure 1.16 dans l'introduction, le puits de potentiel est d'autant plus étroit que la conformation est rigide).

Entropie

Du point de vue entropique, la complexation du ligand **RibP**₃ est toujours favorisée. En effet, si l'on compare la complexation des deux ligands hexadentes **RibP**₃ et **glyP**₃, dans le cadre d'un complexe de formule $[M(L)]$, on constate que la complexation du dernier ligand aboutit à la perte de deux rotateurs libres de plus que dans le premier.

En considérant les points exposés ci-dessus, nous pouvons avancer une tentative d'explication pour les tendances observées. Nous avons vu dans la section 2.5 que la complexation du ligand **RibP**₃ aboutit à l'isolation de complexes caractérisés à l'état solide présentant une forte distorsion vers le prisme trigonal. Les complexes de Mn(II) et de Zn(II) n'ont pas de préférence au niveau de la géométrie de coordination et s'accommodent de la distorsion vers le prisme trigonal imposée par le glycoligand, ce qui résulte en une stabilisation marquée pour les complexes de **RibP**₃ par rapport à celui de **glyP**₃ au niveau de l'énergie de Gibbs de complexation. Toutefois, le détail des contributions enthalpique et entropique à la complexation révèle un terme $\Delta\Delta H$ positif pour la complexation du Zn(II) alors qu'il est (faiblement) négatif pour Mn(II). Ceci pourrait s'expliquer par le fait que le Zn(II) ne se trouve pas au centre de la cavité du ligand **RibP**₃ : dans les structures cristallines, les distances M-O sont sensiblement plus longues que les distances M-N pour Zn (différence de 0,11 Å, tableau 2.13), alors que ces deux jeux de distances sont semblables pour Mn (différence de 0,04 Å, tableau 2.11). Le ligand **glyP**₃, moins contraint, pourrait se replier plus efficacement pour avoir des liaisons Zn-O plus fortes.

Les cations Co(II) et surtout Ni(II) ont des préférences géométriques pour la structure octaédrique imposée par leur structure électronique^[193], et nous avons constaté que, dans le cas de ces cations métalliques, la distorsion vers le prisme trigonal était moindre. Dans

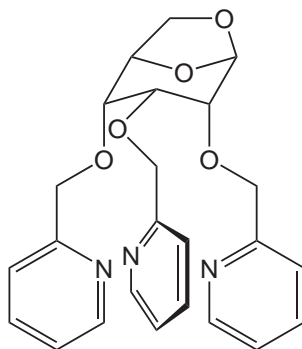


FIG. 2.32 – Glycoligand proposé centré sur 1,6-anhydro- β -D-allopyranose.

le cas du Ni(II), la stabilisation entropique $-T\Delta\Delta S$ apportée par le glycoligand est partiellement compensée par un terme $\Delta\Delta H$ positif, ce qui pourrait signifier que le ligand non contraint **glyP**₃ aurait la capacité de mieux se replier autour du cation Ni(II) pour obtenir une géométrie de coordination plus proche de la géométrie octaédrique. Le cas du Co(II) est intermédiaire entre celui du Ni(II) et celui du Mn(II).

Le cas du complexe de Cu(II) est particulier : en effet, celui-ci privilégie une géométrie octaédrique avec une distortion tétragonale (élongation ou compression) en raison de sa configuration électronique d^9 . Cette géométrie est particulièrement difficile à réaliser dans le cas d'un complexe du ligand **RibP**₃. Tout axe d'élongation ou de compression impliquerait nécessairement un des atomes d'oxygène liés au cycle du sucre, ce qui résulterait en une déformation énergétiquement coûteuse de la conformation chaise de celui-ci. Une autre façon de satisfaire aux préférences géométriques du Cu(II) serait de placer le cuivre loin du barycentre des atomes coordonnants, ce qui nous semble également défavorable). Pour ces raisons, dans le cas du Cu(II), il n'y a pas de stabilisation du glyco-complexe par rapport au complexe du ligand acyclique (les deux complexes n'ont pu être isolés sous forme cristalline).

Perspectives

Si les hypothèses émises ci-dessus étaient vérifiées, il pourrait être possible, en renforçant la rigidité de la structure centrale de synthétiser un ligand sélectif du Mn(II), ce qui est une tâche plutôt difficile en raison du grand rayon cristallin de ce ion et de l'absence de préférence géométrique qui résulte de la configuration électronique d^5 . Dans ce but, un glycoligand centré sur l'1,6-anhydro- β -D-allopyranose^[242] dans lequel la conformation chaise 1C_4 , est bloquée par le système bicyclique, pourrait être synthétisé (figure 2.32).

Remarque sur la stabilité supposée des glycocomplexes triéther en milieu aqueux

Les valeurs de constantes de stabilité mesurées dans l'éthanol ne sont pas comparables à celles mesurées dans d'autres milieux. Nous pouvons néanmoins supposer que les valeurs des constantes de dissociation dans l'eau sont plus faibles, puisque l'eau possède un pouvoir coordonnant plus grand que l'éthanol. Comme les constantes de dissociation de glycocomplexes de glycoligands de type 1,2,4-butanetriol, qui ont été mesurées dans des expériences préliminaires, sont du même ordre de grandeur, il n'est pas raisonnable d'envisager une utilisation des glycocomplexes triéther dans des milieux biologiques, bien que l'activité antiperoxyde *in vitro* de glycocomplexes de Co(II)^[152] ait pu être mesurée par le test de McCord-Fridovich (voir section 4.5.2).

CHAPITRE 3

Glycoligands et glycocomplexes
aminodésoxy

3.1 Synthèse de glycoligands pentadentes

3.1.1 Justification de la stratégie choisie

Tentatives d'introduction d'amines sur les glycoligands

Dans le chapitre précédent, nous avons détaillé comment les glycoligands triéther ont permis de mettre en évidence l'influence de la conformation du squelette monosaccharidique sur la chiralité hélicoïdale du complexe. Pour avoir des complexes semblables aux glyco-complexes triéther, tout en augmentant les constantes d'affinité pour les cations métalliques (ce qui serait d'intérêt pour d'éventuelles applications biologiques, voir chapitre 4), il semblerait suffisant de conserver le châssis sucré tout en remplaçant les fonctions éther par des fonctions plus coordonnantes, comme des amines.

En glycochimie, substituants aminés ont parfois été introduites sur des squelettes sucrés par oxydation d'une des positions de sucre en aldéhyde ou cétone suivie de la synthèse d'un oxime avec l'hydroxylamine puis sa réduction (voir par exemple [243]). La méthode la plus répandue reste toutefois l'esterification de la position à substituer pour donner un groupe partant de type ester sulfonique suivie de la substitution de ce dernier par l'ion azoture qui peut être réduit facilement en amine. Des stratégies de ce type ont été mises en œuvre pour la synthèse de dérivés diaminodidésoxy^[244, 245, 246], triaminotridésoxy^[245] et même tétraaminotétradésoxy^[247] de configuration *galacto* (figure 3.1). Toutefois, ces stratégies ne sont pas exemptes de risques : les dérivés de type azoture sont réputés explosifs si $N_C < N_N$ ou si $(N_C + N_O) / N_N \leq 3$ ^[248]. Or, c'est le cas d'intermédiaires dans toutes les synthèses citées précédemment puisque l'introduction de tous les azotures se fait classiquement sans procéder à des réductions pas-à-pas pour éviter d'avoir à manipuler des polyamines hygroscopiques et difficilement purifiables par chromatographie du fait de leur polarité et de leur aptitude à former des liaisons hydrogène. En dépit de ces difficultés expérimentales, nous avons tenté l'introduction simultanée de trois azotures sur un trimésylate *D-allo*^[249] pour donner un dérivé triazoture de configuration *L-ido* (**13**). L'inspiration de cette tentative vient du fait que la substitution d'un mésylate intracyclique a été réalisée dans le cas du 1,2:5,6-di-*O*-isopropylidène- α -*D*-allofurannose^[244] mais est impossible dans le cas de l'épimère *gluco* pour cause de l'encombrement stérique de l'isopropylidène en 1,2.

Le dérivé (**13**) a pu être obtenu par cette synthèse directe, mais le rendement est faible (19%), probablement du fait de son instabilité thermique (la réaction nécessite un chauffage à 150°C). Ce faible rendement rend cette voie synthétique impraticable. Par ailleurs, les procédures publiées consistent en l'introduction successive des fonctions azoture ce qui implique un grand nombre d'étapes de synthèse. Pour l'obtention des dérivés du dérivé polyazoture *galacto* présenté dans la figure 3.1, la synthèse est décrite en 12 étapes à partir du *D*-glucose. Nous avons donc abandonné nos recherches dans cette voie.

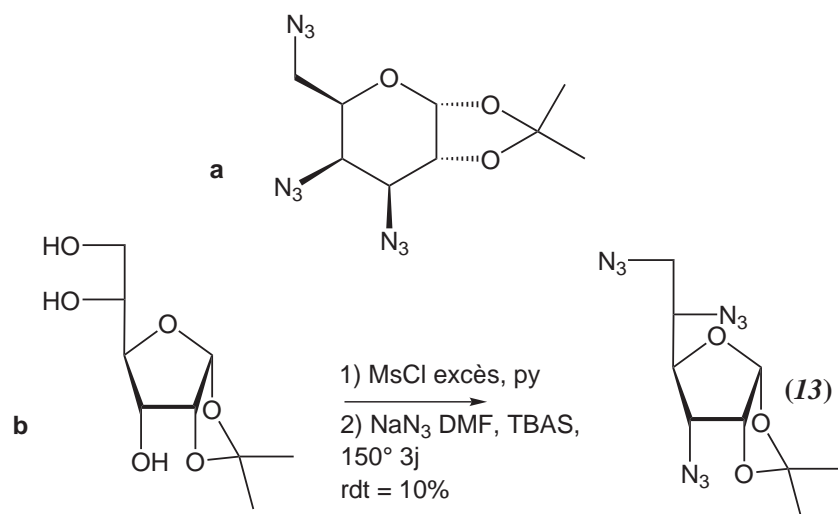


FIG. 3.1 – **a** : exemple de dérivé D-galacto polyazoture synthétisé par Meyer zu Reckendorf^[245].
b : dérivé polyazoture synthétisé dans le cadre de ce travail.

Nous¹ avons ensuite entrepris la synthèse de ligands contenant une seule fonction amine apparentés au ligand **MAGP**₃. Les intermédiaires dans cette synthèse sont des monoazotures stables (d'après le critère d'explosivité vu plus haut) publiés. La synthèse se fonde sur la picolylation par transfert de phase du 6-azido-6-désoxy-1,2-*O*-isopropylidène- α -D-glucofurannose^[250] et du 3-azido-6-désoxy-1,2-*O*-isopropylidène- α -D-glucofurannose^[244] suivie de la réduction de l'azoture en groupement amine et de l'introduction du groupement picolyle sur l'amine ainsi déprotégée par amination réductrice (conditions d'hydrogénation catalytique pour ces deux dernières réactions). Les ligands obtenus sont présentés dans la figure 3.2.

Ces ligands n'ont pas permis l'isolation de complexes de métaux de transition. En particulier, ils ont montré une oxydation des fonctions amine qui a abouti à la dégradation du complexe (suivi par spectrométrie de masse en mode électrospray). L'oxydation des amines secondaires médiée par le cation métallique a déjà été observée^[251, 252]. Une possible solution pour réduire ce problème serait la méthylation des amines, mais cela aboutit à la diminution des constantes d'affinité pour les métaux^[253, 254] (voir aussi la revue de Meyerstein^[255]).

3.1.2 Glycoligands contenant une amine tertiaire

Nous nous sommes donc tournés vers des ligands pentadentes dérivant de sucres contenant une fonction amine tertiaire difonctionnalisée par des bases de Lewis. Nous appellerons ces ligands « glycoligands de aminoéther ». Dans ce cas, seules deux positions du châssis sucré

¹La synthèse des glycoligands représentés dans la figure 3.2 a été réalisée lors du stage de magistère de Fabien Maillot.

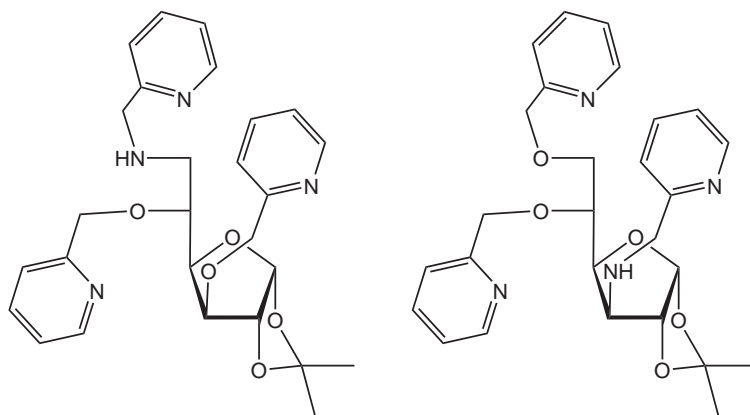


FIG. 3.2 – Glycoligands hexadentes contenant une fonction amine.

sont utilisées pour la chélation du cation métallique. Néanmoins, nous avons gardé une caractéristique-clé présente dans la famille précédente, à savoir la présence d'un métallacycle à 6 chaînons fusionné avec le cycle du sucre. Ceci est un choix original puisque la plupart des complexes chiraux dérivant de sucres publiés^[70] incluent des métallacycles à cinq membres, qui ont une variabilité conformationnelle moindre.

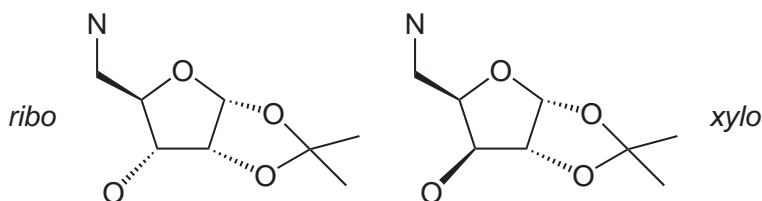


FIG. 3.3 – Structures centrales de type 5-amino-5-désoxy-1,2-*O*-isopropylidène- α -pentofurannose.

Notre choix s'est porté sur des dérivés de type furannose pour deux raisons :

- La synthèse de ces dérivés est facilement réalisable à partir du 1,2:5,6-di-*O*-isopropylidène- α -D-glucofurannose commercial.
- La protection des positions 1,2 des dérivés de furannose est aisément réalisable avec un acétal cyclique, ce qui permet de fonctionnaliser sélectivement les positions 3 et 5. Par contre, dans le cas des pyranoses, afin de fonctionnaliser sélectivement les positions 4 et 6, il faudrait envisager des dérivés protégés en 1,2,3 ce qui nécessite plus d'étapes de synthèse.
- Il est aisé de contrôler la stéréochimie du complexe en modulant la configuration absolue du carbone C3 par des méthodes publiées.

Des ligands pentadentes sont très utilisés dans divers domaines de la recherche en chimie inorganique. Du fait qu'il ne saturent pas la sphère de coordination des cations métalliques

préférant la coordinence 6, les ligands de denticité ≤ 5 sont d'intérêt en chimie biomimétique ou bioinspirée, car ils permettent la synthèse d'espèces réactives dans le cadre de la catalyse d'oxydation par des complexes métalliques^[112]. Une partie des recherches qui sont menées dans ce dernier cadre se concentrent sur des complexes de fer^[256, 257, 258] ou de manganèse^[259, 260] pour la catalyse d'oxydation. Un certain nombre des ligands utilisés sont des ligands polyazotés. Très récemment, une équipe de chercheurs chinois a isolé des complexes mononucléaires et dinucléaire de fer avec le ligand tpoen qui présente une fonction éther de picolyne^[261]. Ce ligand, est construit par fonctionnalisation d'une structure de type 2-aminoéthanol. Le ligand et son complexe mononucléaire de Fe(II) sont présentés dans la figure 3.4. La fonction dipicolylamine chélate le fer(II) dans un mode méridional. Ces auteurs utilisent ces complexes comme catalyseur de réactions d'oxydation d'alcane^[261].

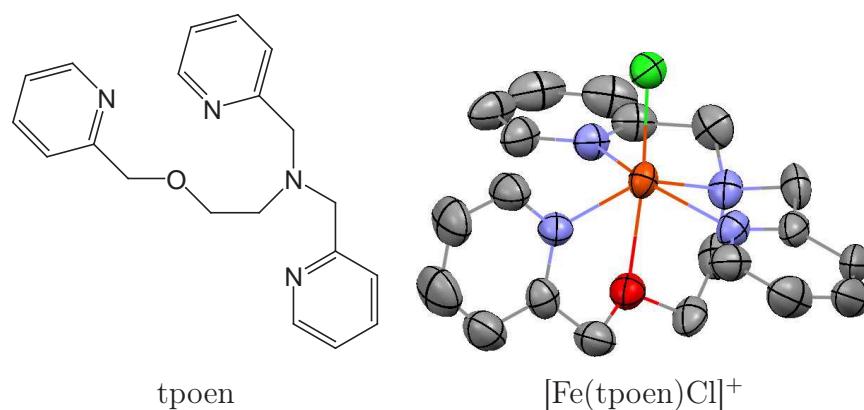


FIG. 3.4 – Le ligand tpoen et son complexe de Fe(II)(ellipsoïdes au niveau de probabilité de 50%).

L'analogie construit sur une structure centrale de type aminopropanol n'a pas été décrit dans la littérature. Nous nous proposons donc de le synthétiser par souci de comparaison avec les glycoligands pentadentes *ribo* et *xylo*.

De plus, ces ligands pentadentes pourraient servir de ligands sélectifs pour le Cu(II) en géométrie pyramide à base carrée (PBC)². En effet, les complexes de Cu(II) sont fréquemment, à cause de l'effet Jahn-Teller dû à leur configuration électronique d^9 , dans une telle géométrie PBC avec un ligand axial faible. L'éther présent dans le ligand pourrait jouer le rôle de ligand faible.

Nous nous sommes donc proposés de synthétiser une paire de ligands pentadentes dérivant de deux pentofurannoses aminodésoxy épimères (voir la figure 3.3). Selon la configuration absolue du carbone en 3, les ligands seront de configuration *xylo* ou *ribo*. Nous avons également décidé de varier la fonctionnalisation de l'azote en 5.

²Comme indiqué par des études préliminaires de modélisation moléculaire réalisées avec le logiciel SPARTAN (méthode semi-empirique, base PM3-tm).

3.1.3 Stratégie de synthèse

Schémas rétrosynthétiques

Configuration xylo

Le schéma rétrosynthétique du ligand **MAXP₃** est présenté dans la figure 3.5.

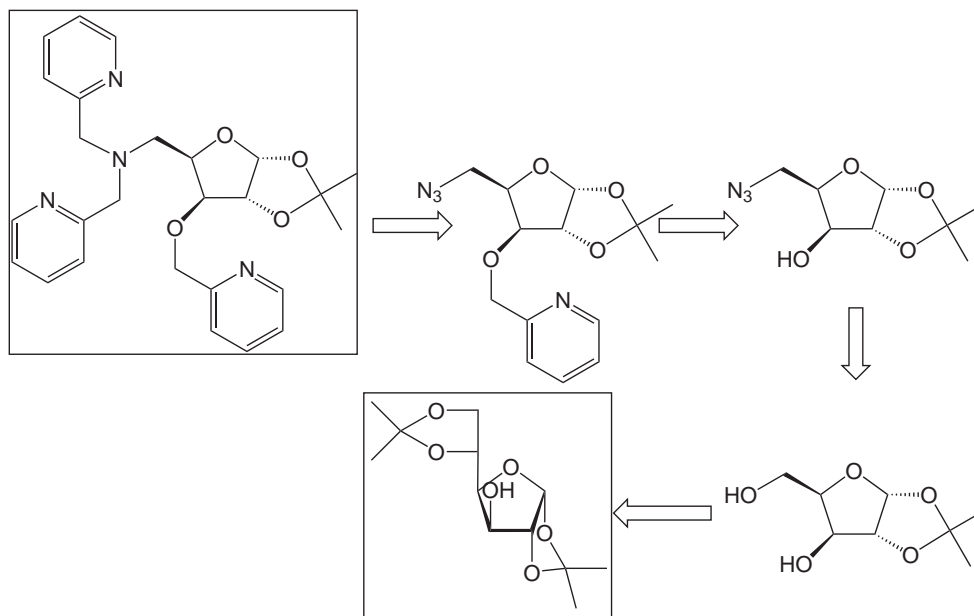


FIG. 3.5 – Schéma rétrosynthétique du ligand **MAXP₃**.

Le ligand **MAXP₃** peut être obtenu par réduction et amination réductrice d'un intermédiaire contenant un azoture et un éther de picolyne qui peut être issu de la picolylation en conditions de catalyse par transfert de phase de l'azidoalcool. Celui-ci peut être obtenu par substitution du tosylate dérivant du 1,2-*O*-isopropylidène- α -D-xylofuranose qui lui-même peut être obtenu à partir du 1,2:5,6-*O*-isopropylidène- α -D-glucofuranose commercial par une séquence hydrolyse en 5,6-coupe oxydante-réduction^[262].

Configuration ribo

Le ligand **MARP₃** peut être obtenu par la fonctionnalisation d'un azidoalcool de configuration *ribo*, de façon analogue à ce qui a été décrit pour **MAXP₃**. Cet azidoalcool peut être obtenu selon deux schémas rétrosynthétiques (voie **a** et voie **b**), présentés dans la figure 3.6.

Dans la voie **a**, l'azidoalcool *ribo* peut être obtenu à partir d'un diol *ribo* qui peut lui-même être obtenu par une séquence hydrolyse-oxydation-réduction à partir du 1,2:5,6-*O*-

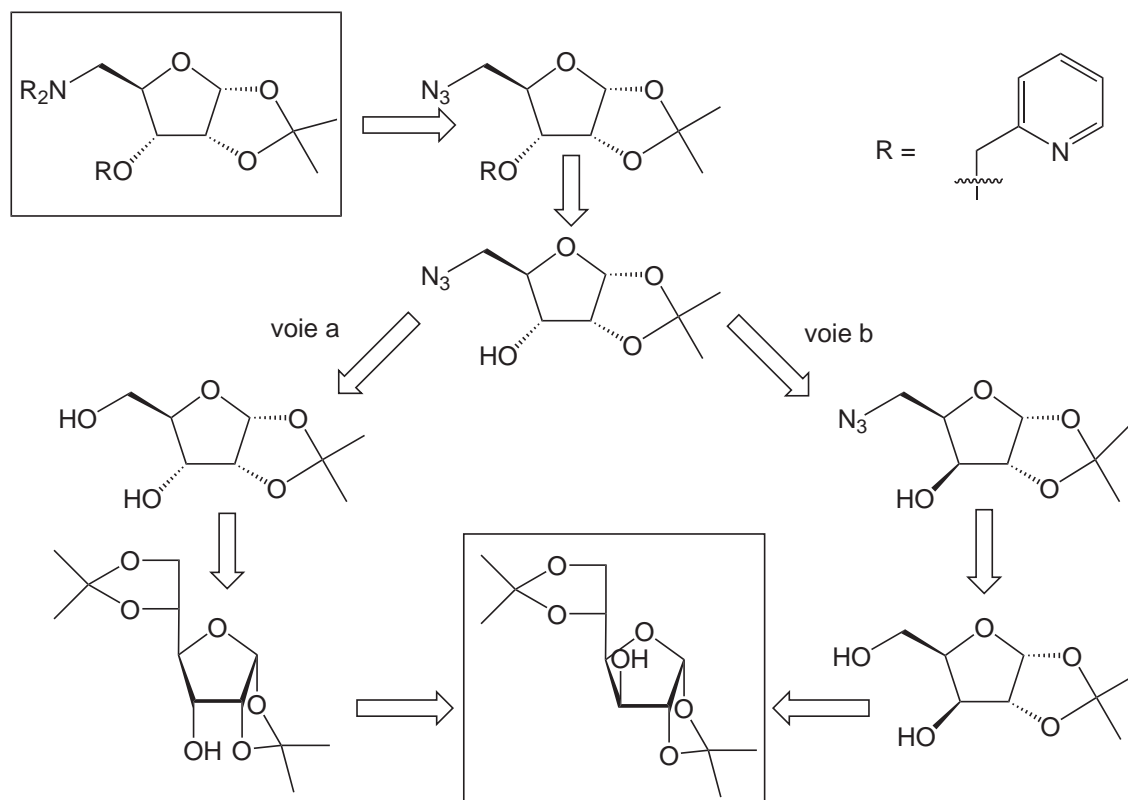


FIG. 3.6 – Schéma rétrosynthétique du ligand **MARP₃**.

isopropylidène- α -D-allofurannose. Celui-ci peut être obtenu par épimérisation en C3 par une séquence oxydation-réduction en sur le 1,2:5,6-*O*-isopropylidène- α -D-glucofurannose.

Dans la voie **b**, l'azidoalcool *ribo* peut être obtenu par épimérisation par une séquence oxydation^[263]-réduction en C3 d'un azidoalcool de configuration *xylo* (voir le schéma rétrosynthétique de **MAXP₃**).

Discussion de la stratégie de synthèse

La stratégie de synthèse est centrée sur l'obtention d'un intermédiaire γ -azidoalcool qui peut être aisément picolylé selon une synthèse de Williamson. En effet, des expériences préliminaires ont montré que la picolylation directe d'un γ -aminoalcool aboutissait à de très faibles quantités isolées du produit de tripicolylation souhaité.³ Dans les conditions de la synthèse de Williamson, c'est-à-dire en présence de bases fortes (NaH ou NaOH en conditions de transfert de phase), il se forme vraisemblablement des ammoniums quaternaires et la mélange final de produits très polaires est difficile à séparer par chromatographie sur silice dans les conditions usuelles.

³Ce protocole direct a été utilisé par Li *et al.* pour la tripicolylation du 2-aminoéthanol avec un rendement modéré de 55%.

De plus, l'avantage de la synthèse *via* un azidoalcool est la possibilité de différencier le substituant de l'atome d'oxygène de ceux de l'atome d'azote puisque ceux-ci sont introduits lors de deux étapes différentes.

La fonctionnalisation de l'azote, afin d'obtenir une amine tertiaire, peut se faire classiquement par deux voies en partant de l'amine issue de la réduction de l'azoture. Une première voie consiste en une *amination réductrice* avec deux équivalents d'un aldéhyde portant le groupement désiré, en présence, soit de dihydrogène et d'un catalyseur métallique, soit d'un donneur d'hydrures. Classiquement, c'est le cyanoborohydrure de sodium NaBH_3CN qui est utilisé, mais, du fait des risques toxicologiques de ce dernier (libération de HCN), l'usage du triacétoxyborohydrure de sodium $\text{NaBH}(\text{OAc})_3$ ⁴ tend à s'imposer dans la communauté scientifique^[264, 265], y compris pour la synthèse de ligands en chimie de coordination^[266]. Ces deux réactifs sont intéressants car ils réduisent très lentement les composés carbonyles et sont donc sélectifs des imines et iminiums formés intermédiairement dans les réactions d'amination réductrice. Un inconvénient par rapport aux aminations réductrices en présence de H_2 est l'impossibilité de réaliser l'amination réductrice en cascade avec la réduction de l'azoture^[267].

L'autre façon d'introduire les groupements désirés consisterait en l'utilisation de réactions de *substitution nucléophile* avec un halogénure portant le groupement désiré. Dans ce cas, comme dans toute réaction de substitution nucléophile avec une amine, la difficulté est d'arrêter le processus de substitution au stade désiré. Afin de pallier ce problème, une synthèse d'amines tertiaires N-dibenzylées en partant des amines primaires correspondantes et du chlorure de benzyle a été publiée^[268]. Les auteurs de cette étude ont montré que les ajouts, réalisés à intervalles réguliers, d'hydrate d'hydroxyde de lithium permettaient un contrôle de la réaction⁵. Cette voie de synthèse s'est toutefois révélée inférieure, dans notre cas, tant au niveau du rendement que de la pureté du produit brut obtenu par rapport à la voie impliquant les réactions d'amination réductrice.

Synthèse de MAXP_3

Tout d'abord, nous avons synthétisé, en 3 étapes, selon une combinaison de procédures publiées^[262, 269], le 6-azido-6-désoxy-1,2-*O*-isopropylidène- α -D-glucofurannose (**17**). La synthèse est montrée dans la figure 3.7. Ensuite, nous avons utilisé, comme pour les glycoligands triéther, un protocole de picolylation par transfert de phase (voir la section 2.1.1). Dans le cas de cette réaction, le protocole de transfert de phase liquide-liquide décrit par Szeja *et*

⁴De plus, $\text{NaBH}(\text{OAc})_3$ libère une petite quantité d'acide acétique dans le milieu réactionnel, ce qui catalyse les réactions d'amination réductrice.

⁵Dans ces conditions, 1 seul équivalent de chlorure de benzyle peut réagir avant chaque ajout de base, ce qui empêche la formation d'un mélange statistique de produits de substitution.

al.^[156] s'est avéré parfaitement adapté. Le dérivé (**18**) a été ensuite réduit par l'hydrogène (catalyseur Pd/C) en l'amine (**19**) avec un rendement quantitatif.

Pour l'étape finale d'amination réductrice, nous avons opté pour la procédure impliquant l'utilisation de NaBH(OAc)₃ avec des conditions expérimentales adaptées d'Abdel-Magid *et al.*⁶. Dans le 1,2-dichloroéthane (DCE), la réaction de double amination réductrice procède rapidement (4h) dans des conditions douces (TA) et avec un rendement supérieur à 90%⁷. L'ensemble des étapes de synthèse est représenté dans la figure 3.7.

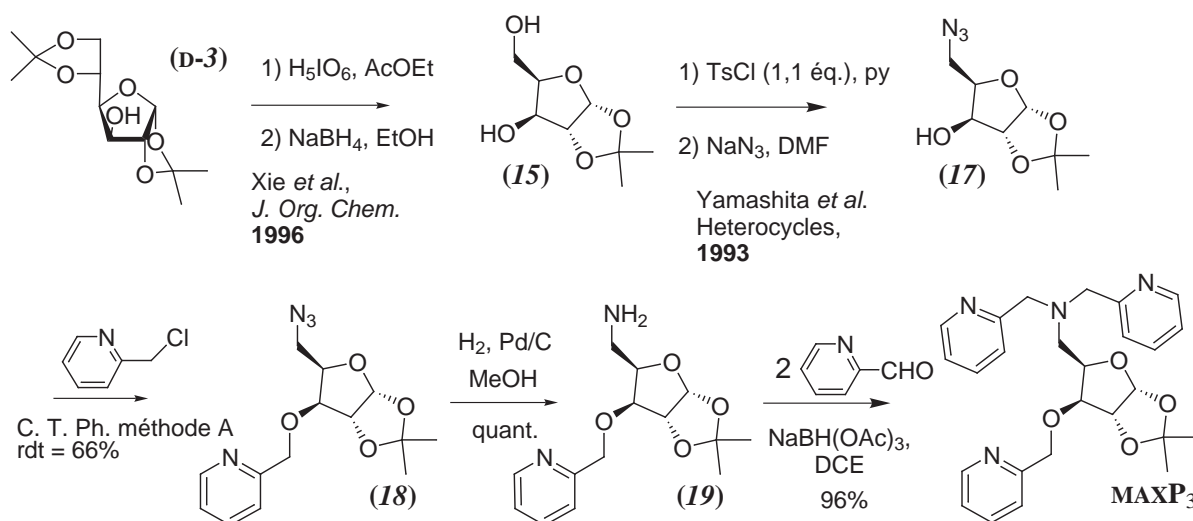


FIG. 3.7 – Synthèse de MAXP₃.

⁶Les auteurs insistent particulièrement sur la nature du solvant qui doit être aprotique polaire et dissoudre le NaBH(OAc)₃.

⁷Une procédure domino alternative (réduction de l'azoture puis double amination réductrice), a été testée par hydrogénation catalytique^[267]. Les temps de réaction (estimés par le suivi de la consommation de H₂) indiquent une réaction lente (3-5j), ce qui aboutit à un mélange de produits de réduction du fait de la réduction partielle de l'aldéhyde.

Synthèse de MARP_3

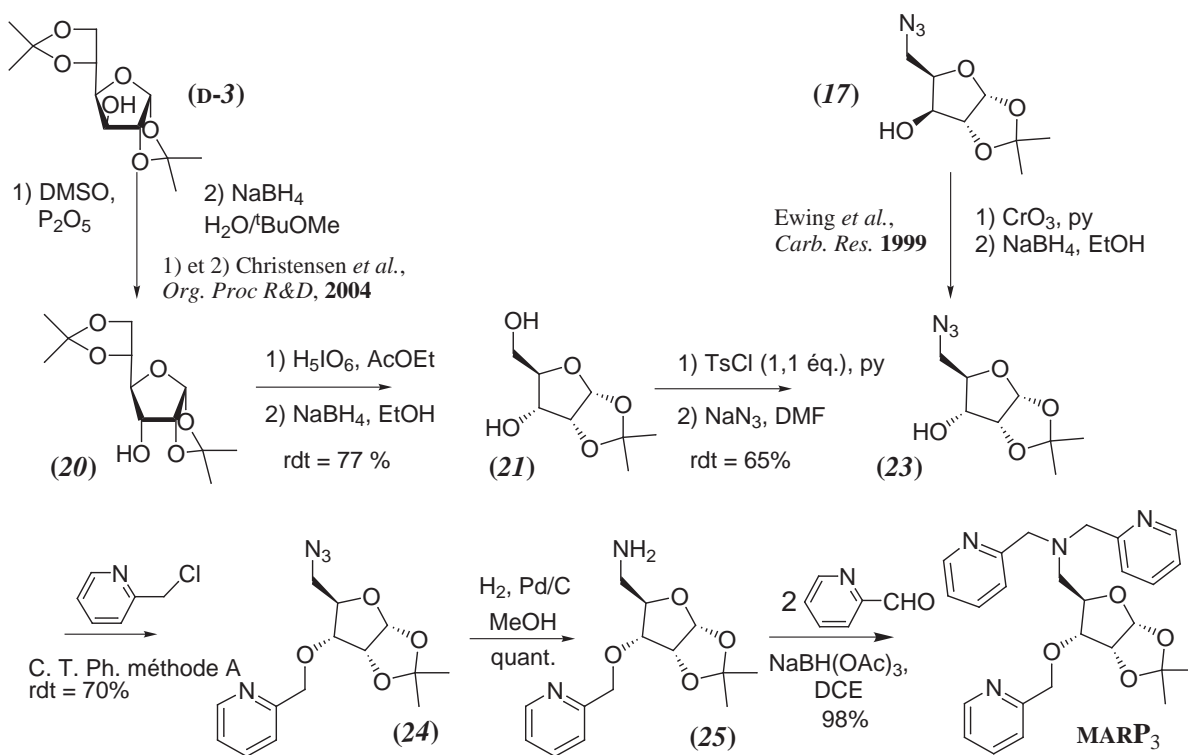
Pour étudier le contrôle de la géométrie d'un complexe par le squelette furannose, nous avons décidé de synthétiser l'épimère en position 3 de la structure xylofurannosique MAXP_3 , le ligand *ribo* MARP_3 .

Afin d'appliquer la même stratégie de synthèse que dans le cas du dérivé 1,2-*O*-isopropylidène- α -D-xylofurannose, nous sommes partis du 1,2:5,6-di-*O*-isopropylidène- α -D-allofurannose (**20**) obtenu à partir du 1,2:5,6-di-*O*-isopropylidène- α -D-glucofurannose (**D-3**) par une séquence oxydation-réduction classique en chimie des sucres. Nous avons utilisé un protocole utilisant le DMSO activé par le P_2O_5 comme oxydant^[244, 270] plutôt qu'une procédure avec des dérivés de Cr(VI) cancérigènes⁸. Quel que soit l'oxydant utilisé, un ulose intermédiaire est formé et est réduit directement ou après isolation (voir par exemple ^[271]). Le réducteur classiquement utilisé est NaBH_4 . La séquence réactionnelle a été récemment reprise par Christensen *et al.* qui ont amélioré le protocole en introduisant notamment une extraction DMSO/^tBuOMe pour séparer l'ulose des sous-produits inorganiques de l'étape d'oxydation^[270]. Par cette amélioration, ainsi qu'une étude des effets de la température des différentes étapes sur le rendement final de la procédure, le 1,2:5,6-di-*O*-isopropylidène- α -D-allofurannose (**20**) est isolé avec un rendement publié de 73% sur deux étapes après deux recristallisations.

Nous avons ensuite réalisé la réaction de dégradation oxydante pour obtenir (**21**) en présence d'acide périodique, comme pour le dérivé de configuration *xylo* (**15**). La fonction amine protégée en azoture a été introduite par une séquence tosylation sélective-substitution donnant l'azidoalcool (**23**). La synthèse de l'éther de 2-picolyle en 3 (**24**) et l'introduction des deux groupements 2-picolyle sur l'amine déprotégée en 5 (**25**) pour obtenir MARP_3 sont réalisées exactement dans les mêmes conditions que pour MAXP_3 .

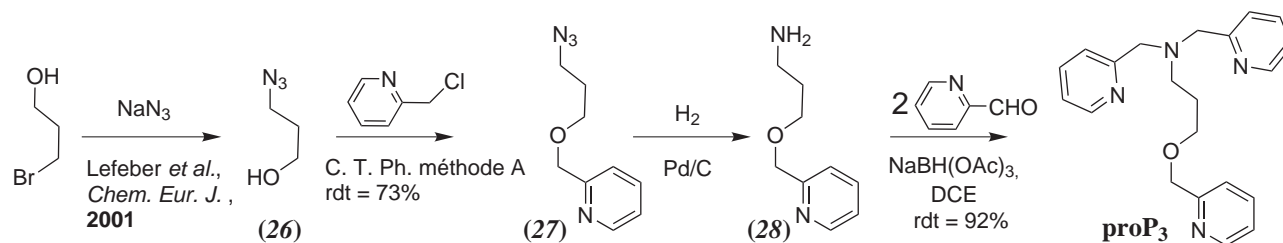
La stratégie de synthèse alternative discutée plus haut (section 3.1.3) faisant intervenir un ulose a également été mise en œuvre avec succès. La stéréochimie du C3 du 6-azido-6-désoxy-1,2-*O*-isopropylidène- α -D-xylofurannose (**17**), peut être inversée par une séquence oxydation-réduction publiée^[263], puis la synthèse continue comme mentionné plus haut.

⁸Bien que des procédures d'épimérisation de (**D-3**) en utilisant le DMSO comme oxydant soient connues de longue date^[244], les oxydants au chrome sont encore utilisés actuellement^[271, 272] pour cette réaction.


 FIG. 3.8 – Synthèse de MARP₃.

Synthèse de proP₃

Dans le but de déterminer si la géométrie de coordination des cations complexés par les glycoligands aminoéther est influencée par la présence du cycle furannosique, nous avons également synthétisé une analogue acyclique de MAXP₃ et de MARP₃. La synthèse, qui est présentée dans la figure 3.9, est semblable à celles de ces deux ligands.


 FIG. 3.9 – Synthèse de proP₃.

Synthèse de $\text{MAXP}\Phi_2\text{H}_2$

En partant du précurseur aminé (**19**), nous avons testé la procédure d'amination réductrice avec $\text{NaBH}(\text{OAc})_3$ en présence de deux équivalents de salicylaldéhyde. Malgré un temps de réaction prolongé (jusqu'à 3j) et un chauffage à 40°C ⁹, nous n'avons détecté qu'une trace du produit de double amination réductrice voulu, en spectrométrie de masse ES. Le produit majoritaire s'est révélé être le produit de monoamination. La difficulté accrue de réaliser une double amination réductrice avec le salicylaldéhyde provient de la possibilité de former un intermédiaire à 6 chaînons avec une liaison hydrogène O-H...N (figure 3.10).

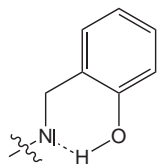


FIG. 3.10 – Intermédiaire supposé ralentissant la double amination réductrice avec le salicylaldéhyde.

Par la suite, divers groupements protecteurs de la fonction phénol ont été testés :

1. Le groupement protecteur **benzyle** a permis de réaliser la réaction de double amination réductrice avec un bon rendement, sans obtention de produit de monoamination. Cependant, la déprotection du groupement benzyle s'est révélée difficile à réaliser dans les conditions habituelles par hydrogénation catalytique : il n'a pas été possible de trouver des conditions expérimentales permettant l'hydrogénolyse des liaisons O-Bn sans réaliser celle, non souhaitée, des liaisons N-CH₂-Ar.
2. Le groupement **tert-butyldiméthylsilyle** a été partiellement hydrolysé dans la procédure de double amination réductrice libérant ainsi des fonctions phénol aboutissant ainsi à une réaction incomplète à cause de la formation de liaisons hydrogène intramoléculaires.
3. Le groupement **tert-butyldiphénylsilyle** a permis la synthèse et l'isolation du produit voulu, avec un rendement de 45%.

La déprotection du groupement TBDPS a été réalisée par le fluorure de sodium dans un mélange biphasique eau/dichlorométhane en présence de NBu_4HSO_4 comme catalyseur de transfert de phase. L'isolation du produit a été facilitée par la différence de polarité entre la molécule $\text{MAXP}\Phi_2\text{H}_2$ et le sous-produit, le fluorure de *tert*-butyldiphénylsilyle. En effet, bien que $\text{MAXP}\Phi_2\text{H}_2$ soit fortement retenu sur colonne de silice, il a été possible de l'isoler

⁹Une température plus élevée aboutit à une dégradation de $\text{NaBH}(\text{OAc})_3$ ^[264].

aisément avec un rendement de déprotection quasi-quantitatif. La synthèse est récapitulée dans la figure 3.11.

Synthèse de $\text{MAXP}_2\Phi\text{H}$

En considérant que la réaction de double amination réductrice passe nécessairement par la formation d'une imine puis par sa réduction avant de réaliser la deuxième condensation *via* un cation iminium, nous avons pensé qu'il serait possible de réaliser une hétérodifonctionnalisation *one-pot* du précurseur aminé (**19**).

Cette synthèse a effectivement pu être réalisée, avec un rendement modéré. La purification du produit d'hétérodifonctionnalisation par chromatographie sur colonne de silice a été facilitée par la présence du groupement *tert*-butyldiphénylsilyle. La déprotection a été réalisée comme précédemment. La synthèse est récapitulée dans la figure 3.11.

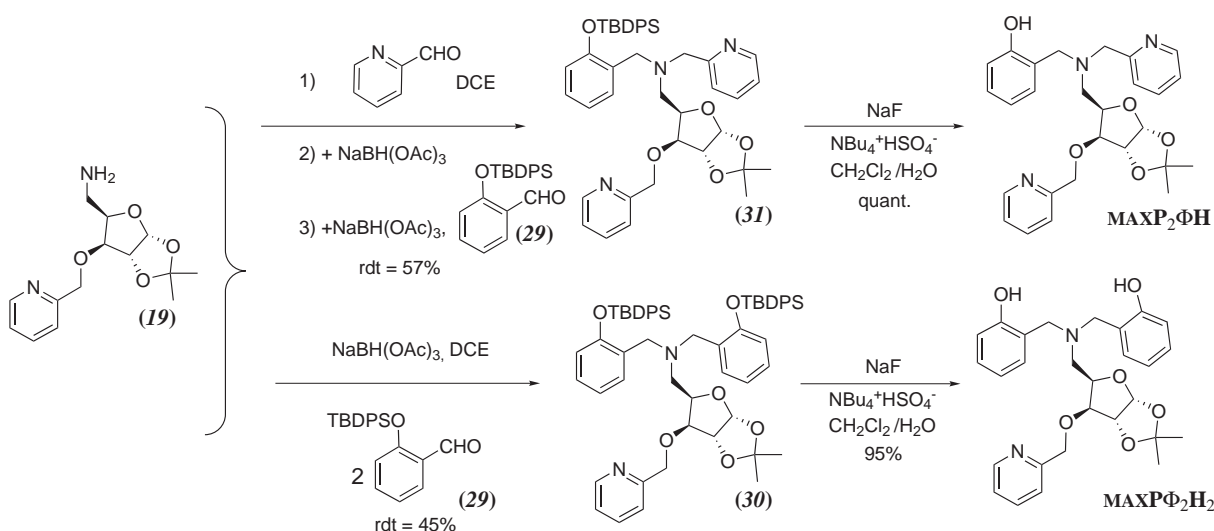


FIG. 3.11 – Synthèse de $\text{MAXP}_2\Phi\text{H}$ et $\text{MAXP}\Phi_2\text{H}_2$.

3.2 Complexes de MAXP_3 et de MARP_3

3.2.1 Essais avec les cations de Mn, Fe, Co, Ni, Zn

Des essais de complexation du ligand MAXP_3 , que nous avons synthétisé dans une quantité de l'ordre de la dizaine de grammes, ont été réalisés avec des sels contenant les cations $\text{Mn}(\text{II})$, $\text{Mn}(\text{III})$, $\text{Fe}(\text{II})$, $\text{Fe}(\text{III})$, $\text{Co}(\text{II})$, $\text{Ni}(\text{II})$ et $\text{Zn}(\text{II})$.

Il n'a pas été possible d'isoler des solides caractérisés, sauf une très petite quantité d'un complexe cristallin isolé dans le cas d'un essai de complexation du $\text{Fe}(\text{II})$ dans le méthanol

à partir de $\text{FeCl}_2 \cdot 4\text{H}_2\text{O}$ en présence de NaBPh_4 en conditions aérobies. L'étude cristallographique a révélé la présence d'un cation complexe dinucléaire de Fe(III) bis- μ oxo avec la présence d'un chlore dans la sphère de coordination, de formule $[(\text{MAXP}_3)(\text{Cl})\text{FeOFe}(\text{Cl})(\text{MAXP}_3)]^{2+}$ (voir la figure 3.12). Dans le complexe, le groupement éther de picolyle en 3 n'est pas lié au métal mais l'oxygène intracyclique O4 est lié. La structure contient deux unités du complexe dinucléaire non équivalentes par maille. Celles-ci diffèrent par la position du groupement éther de picolyle non lié et par de légères différences dans la conformation du cycle furannose¹⁰. Du fait du grand nombre d'atomes faisant partie d'entités cristallographiquement distinctes, il n'a pas été possible d'affiner cette structure au delà d'un facteur d'accord $R1 = 12,6\%$, et l'agitation anisotrope n'a pu être intégrée dans le modèle que pour les atomes du cycle furannosique et de la sphère de coordination. Une vue d'une unité dinucléaire et une sélection de distances et d'angles de liaison sont présentées dans la figure 3.12.

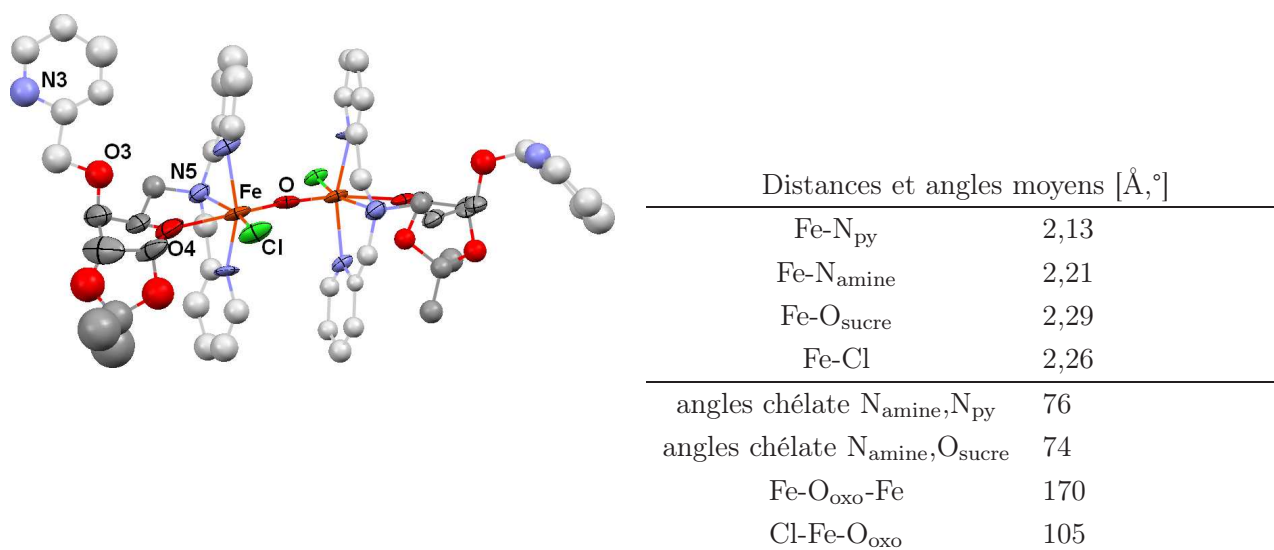


FIG. 3.12 – $[(\text{MAXP}_3)(\text{Cl})\text{FeOFe}(\text{Cl})(\text{MAXP}_3)](\text{BPh}_4)_2 \cdot 2\text{H}_2\text{O} \cdot 0,2(\text{CH}_3\text{OH})$: structure d'une unité cationique dinucléaire de Fe(III) . Les atomes ayant été affinés avec un modèle d'agitation anisotrope sont représentés comme des ellipsoïdes avec une probabilité de 50%, les autres atomes sont représentés comme des sphères avec le même niveau de probabilité.

De plus, nous avons étudié l'interaction $\text{MAXP}_3/\text{Mn(II)}$ par titrage calorimétrique isotherme. Cette expérience a mis en évidence la formation en solution d'un complexe de formule $[\text{Mn}(\text{MAXP}_3)_2]^{2+}$ (stœchiométrie expérimentale : 2,15) avec les paramètres thermodynamiques associés : $\beta_2 = 8,1 \times 10^6$, $\Delta H_{\text{cal}} = -24,3 \text{ kJ mol}^{-1}$, $-T\Delta S_{\text{cal}} = -53,2 \text{ kJ mol}^{-1}$ (ces

¹⁰Variation de l'amplitude de *puckering* QT : 0,37-0,42 Å. Variation de l'angle ϕ : 304-320°, conformations intermédiaires entre 3E et 3T_4 .

deux dernières grandeurs sont exprimée par mole de Mn(II)). Lors du titrage calorimétrique isotherme, l'accumulation d'un complexe de formule $[\text{Mn}(\text{MAXP}_3)]^{2+}$ n'a pu être détectée.

Ces résultats préliminaires vont dans le sens d'une « flexibilité thermodynamique » (pour reprendre les mots de Yano et Tanase^[271]) des complexes formés par le ligand. En effet, puisque le ligand MAXP_3 peut présenter une denticité maximale de 5, il ne peut fournir seul la totalité de la sphère de coordination de cations métalliques ayant un nombre de coordination privilégié de six, nous pouvons supposer qu'il existe en solution différentes espèces (figure 3.13). Les complexes de type **a**, que nous voulions synthétiser, sont favorisés par l'augmentation de l'entropie liée à l'augmentation maximale du nombre d'espèces en solution (en considérant leur formation à partir des cations solvatés). En revanche, il est possible que des phénomènes enthalpiques (formation de liaisons plus fortes que $\text{M-O}_{\text{éther}}$) et entropiques (libération de la rotation autour des liaisons simples du groupement éther de picolyle en 3) aboutissent à la formation de complexes de type **b** et **c**. Dans le cas des complexes du type **b**, dont le complexe dinucléaire de fer(III) est un exemple, le ligand se comporte comme un ligand tétradente avec la liaison de l'atome d'oxygène furannosique intracyclique. À ce propos, notons que les complexes de type **b** présentent un chélate $\text{O}, \text{N}_{\text{amine}}$ à cinq chaînons, comme dans le cas du complexe de Fe(II) avec une sphère de coordination semblable à celle de MAXP_3 discuté plus haut (tpoen, voir la figure 3.4). Dans les complexes de type **a**, ce cycle chélate est à six chaînons. Nous avons mentionné dans l'introduction (section 1.7) que la stabilité relative des cycles chélates dépendait des longueurs des liaison de coordination. Pour des liaisons de longueurs supérieures à 2 Å, ce sont les cycles chélates à 5 chaînons qui sont favorisés. Par ailleurs, il est possible que le complexe de manganèse détecté par microcalorimétrie soit un complexe de type **c**, d'après la stœchiométrie expérimentale de deux ligands pour un Mn.

Afin de former, en tant qu'espèce isolable, des complexes de type **a**, nous nous sommes intéressés à un ion métallique ayant des préférences électroniques en faveur d'une géométrie de type pyramide à base carrée, car des études préliminaires de modélisation moléculaire sur des complexes mononucléaires de zinc ont indiqué que le ligand favorise la géométrie pyramide à base carrée avec l'éther en position apicale. C'est donc naturellement que nous nous sommes tournés vers l'étude des complexes du Cu(II), qui, du fait de sa configuration électronique d^9 préfère des géométries de coordination tétraogonales^[273].

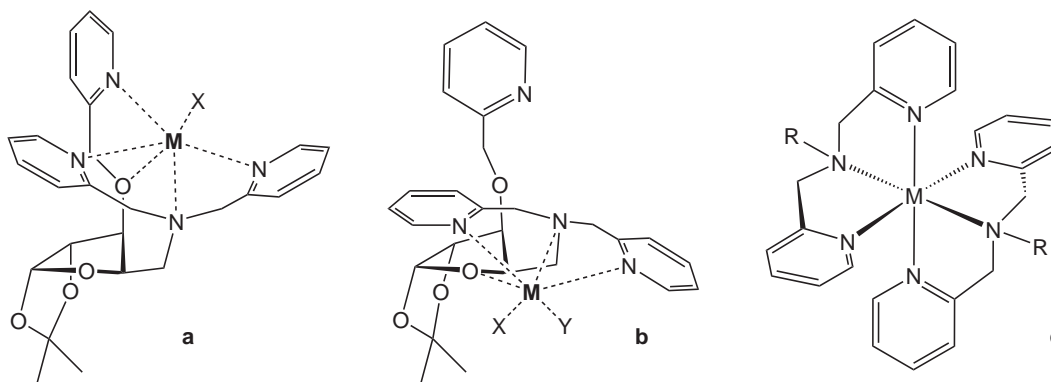


FIG. 3.13 – Différents complexes possibles du ligand MAXP_3 . **a** : MAXP_3 se comporte comme un ligand pentadente **b** : MAXP_3 se comporte comme un ligand tétradente. **c** MAXP_3 se comporte comme un ligand tridente glycoconjugué (complexe représenté arbitrairement comme un isomère facial).

3.2.2 Complexes de Cu(II)

Synthèse

Dans le cas des ligands MAXP_3 , MARP_3 et proP_3 , le mélange de solutions contenant des quantités équimolaires de nitrate de Cu(II) et du ligand résulte immédiatement en un fort effet hyperchrome. L'ajout d'un léger excès de NH_4PF_6 en solution éthanolique cause la précipitation d'un solide bleu. Celui-ci est redissous dans une quantité minimale d'acétone et l'évaporation lente de la solution résultante permet la cristallisation des complexes. Les cristaux sont de qualité suffisante pour réaliser des études par diffraction des rayons X.

Les glycocomplexes de cuivre(II) avec les ligands de type aminoéther ont été caractérisés par spectrométrie de masse en mode électrospray. En plus des pics associés aux complexes dichargés et aux adduits anioniques, des pics de fragmentation (perte d'un groupement picolyle) sont observés ainsi que des pics d'espèces $[\text{Cu}(\text{L})]^+$. Ces deux phénomènes ont déjà été observés par Sadler *et al.* lors de l'étude de complexes de cuivre du ligand tpen (qui inclut un motif dipicolylamine comme les ligands MAXP_3 , MARP_3 et proP_3)^[173]. La spectroscopie infrarouge met en évidence, comme pour les glycocomplexes triéther, un déplacement des bandes $\nu_{\text{C}=\text{N}}$ des groupements éther de picolyle associé à la coordination (voir la section 2.3).

Complexe de Cu(II) du ligand MAXP_3

La structure cristalline du complexe $[\text{Cu}(\text{MAXP}_3)](\text{PF}_6)_2$ est représentée dans la figure 3.14 et les distances et angles de liaison sont détaillés dans le tableau 3.1.

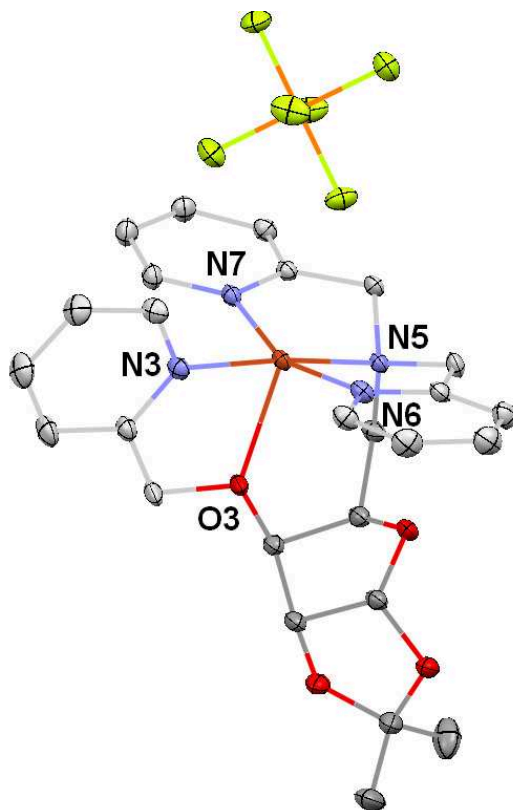


FIG. 3.14 – Structure de l'unité cationique $[\text{Cu}(\text{MAXP}_3)]^{2+}$ montrant également le contre-ion PF_6^- le plus proche de l'atome de cuivre. Les ellipsoïdes sont dessinés au niveau de probabilité de 50%.

La géométrie de coordination est de type pyramide à base carrée présentant une distorsion vers la bipyramide trigonale. Le paramètre τ a été défini^[274] pour quantifier cette distorsion¹¹. τ vaut 1 pour une géométrie bipyramidale trigonale et 0 pour une géométrie pyramidale à base carrée. Pour le complexe $[\text{Cu}(\text{MAXP}_3)]^{2+}$, $\tau=0,258$. L'examen des distances de liaison laisse apparaître que les 4 liaisons Cu-N sont sensiblement plus courtes que la liaison Cu-O. La liaison Cu- N_{amine} est très légèrement plus longue que les liaisons Cu- N_{py} . Logiquement, l'éther joue le rôle de ligand axial faible dans ce composé. Nous pouvons relever qu'il existe, dans l'empilement cristallin, un contre-ion PF_6^- à proximité du cuivre (distance Cu-F la plus

¹¹Pour le calcul de ce paramètre, on considère, dans la structure du composé, les 4 atomes liés au métal les plus proches de la coplanarité. $\tau = \frac{\beta - \alpha}{60}$ où β est l'angle L-Cu-L [°] le plus grand pour une paire d'atomes parmi ces 4 atomes, et α est l'angle de coordination [°] défini par les deux autres atomes liés au métal.

		O3-Cu-N3	76,1(1)
Cu-O3	2,208(1)	O3-Cu-N5	95,9(1)
Cu-N3	2,003(1)	O3-Cu-N6	96,2(1)
Cu-N5	2,025(1)	O3-Cu-N7	102,1(1)
Cu-N6	1,990(1)	N3-Cu-N6	99,4(1)
Cu-N7	2,006(1)	N3-Cu-N7	95,1(1)
		N5-Cu-N6	82,9(1)
		N5-Cu-N7	84,6(1)

TAB. 3.1 – Distances (Å) et angles (°) de liaison dans $[\text{Cu}(\text{MAXP}_3)]^{2+}$ dans les cristaux de $[\text{Cu}(\text{MAXP}_3)](\text{PF}_6)_2$.

courte : 2,893 Å). Comme dans les complexes du ligand tpoen, le groupe dipicolylamine est lié de façon méridionale^[261] (cette remarque est valable pour toutes les structures décrites dans ce chapitre).

Dans la structure, le ligand présente une conformation 3T_4 (intermédiaire entre 3T_4 et 3E) du cycle furannosique (paramètres de *puckering* : $Q=0,401\text{Å}$, $\phi=300,4^\circ$), semblable à celles adoptées par le ligand MAGP_3 dans ses complexes (discutés dans la section 2.4.3). Cette conformation résulte en un positionnement équatorial du substituant en 4 du cycle furannosique, ce qui est favorable^[47, 48].

Le métallacycle à 6 chaînons O3/C3/C4/C5/N5/Cu a une conformation ${}^C_4H_{C_5}$ (les atomes Cu, N5, O3 et C3 sont quasiment coplanaires). L'angle de coordination N5-Cu-O3 est proche de 90° , il est courant que la présence de cycles chélates à 6 chaînons aboutisse, pour des raisons géométriques, à des angles de coordination plus grands que les cycles chélates à 5 chaînons^[98]. L'angle dièdre O3-C3-C4-C5, dont les valeurs possibles sont limitées par la rigidité conformationnelle du cycle monosaccharidique, est de $-50,2^\circ$.

Complexe de Cu(II) du ligand MARP_3

La structure cristalline du complexe de Cu(II) du ligand MARP_3 est représentée dans la figure 3.15.

Celle-ci révèle la présence d'une molécule d'éthanol coordonnée. Les distances et angles de liaison sont présentés dans le tableau 3.3.

Le cuivre est dans une géométrie octaédrique distordue avec une élancement selon l'axe $\text{O}_{\text{EtOH}}\text{-O}_{\text{éther}}$ comme le montrent les distances et angles de liaison présentés dans le tableau 3.3. Comme il est habituel, les angles de coordination associés aux cycles chélates à 5 chaînons sont plus petits que 90° . Les distances de liaison présentent une plus grande dispersion que dans le cas du complexe $[\text{Cu}(\text{MAXP}_3)]^{2+}$. La distance $\text{Cu-O}_{3\text{éther}}$ ainsi que les distance $\text{Cu-N}_{5\text{amine}}$ et $\text{Cu-N}_{3\text{pyridine}}$ sont sensiblement plus longues que dans $[\text{Cu}(\text{MAXP}_3)]^{2+}$, ce qui

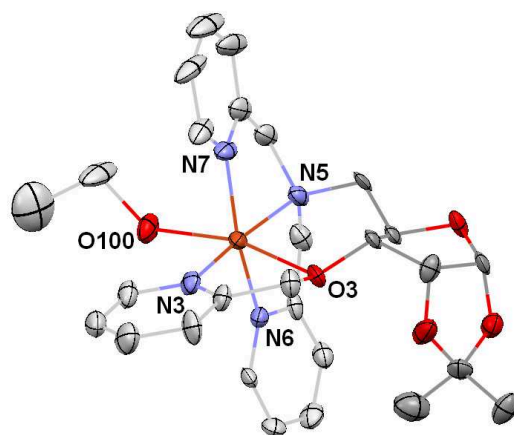


FIG. 3.15 – Structure de l’unité cationique $[\text{Cu}(\text{MARP}_3)(\text{EtOH})]^{2+}$. Les ellipsoïdes sont dessinés au niveau de probabilité de 50%.

Cu-O3	2,337(3)	O3-Cu-N3	74,6(1)	O100-Cu-N6	88,8(2)
Cu-O100	2,320(4)	O3-Cu-N5	96,7(1)	O100-Cu-N7	87,4(2)
Cu-N3	2,048(5)	O3-Cu-N6	84,5(1)	N3-Cu-N6	98,5(2)
Cu-N5	2,092(5)	O3-Cu-N7	102,4(2)	N3-Cu-N7	97,7(2)
Cu-N6	1,993(4)	O100-Cu-N3	94,0(2)	N5-Cu-N6	83,3(2)
Cu-N7	1,998(4)	O100-Cu-N5	95,1(2)	N5-Cu-N7	81,1(2)

TAB. 3.2 – Distances (Å) et angles (°) de liaison dans $[\text{Cu}(\text{MARP}_3)]^{2+}$ dans les cristaux de $[\text{Cu}(\text{MARP}_3)(\text{EtOH})](\text{PF}_6)_2$.

est cohérent avec l’augmentation du nombre de coordination. Les angles de liaisons sont également plus éloignés de la valeur idéale de 90° que dans le cas du complexe du ligand MAXP_3 , ce qui peut être expliqué par l’augmentation des interactions stériques entre les groupements à proximité du métal du fait de la présence d’un sixième atome coordonné au Cu.

La conformation du cycle furannosique est proche de oT_4 (intermédiaire entre oT_4 et E_4 , paramètres de *puckering* $Q=0,362\text{Å}$, $\phi=337,4^\circ$). Dans le cas de ce complexe, le métallacycle à 6 chaînons O3/C3/C4/C5/N5/Cu est mieux décrit par un descripteur conformationnel cE . La conformation reste néanmoins assez proche de celle observée dans le complexe du ligand MAXP_3 (pour lequel les atomes Cu, N5, C5, C3 et O3 s’écartent peu de la planéité). L’angle dièdre O3-C3-C4-C5, vaut dans ce cas $86,0^\circ$. Le signe de l’angle dièdre est évidemment opposé à celui du complexe de Cu(II) du ligand MAXP_3 , du fait de la stéréochimie inversée du carbone C3.

Analogue acyclique : complexe de Cu(II) du ligand proP_3

En utilisant la méthode de synthèse décrite en 3.2.2, nous n'avons pu obtenir de cristaux d'un complexe de Cu(II) du ligand proP_3 avec une qualité suffisante pour une étude par diffraction des rayons X sur monocristal. Toutefois, en changeant le solvant de synthèse (le méthanol au lieu de l'éthanol), nous avons pu obtenir des cristaux contenant un complexe de ce ligand acyclique. La microanalyse a mis en évidence la présence d'un excès d'azote par rapport à la formule attendue $[\text{Cu}(\text{proP}_3)](\text{PF}_6)_2$. Ceci peut être expliqué par la présence de nitrate dans le solide cristallin, la réaction de métathèse $\text{PF}_6^-/\text{NO}_3^-$ ayant été incomplète du fait d'une trop faible solubilité du complexe avec le contre-ion nitrate. Ceci est confirmé par l'analyse par spectroscopie IR. Toutefois, nous avons pu étudier un échantillon monocristallin qui s'est avéré avoir une composition $\text{Cu,proP}_3,(\text{PF}_6)_{2,5}\text{CH}_3\text{OH}$ avec une structure contenant un anion hexafluorophosphate pontant par deux atomes de fluor en *trans* par rapport à l'atome de phosphore central (figure 3.16). Comme nous le relevons à la section 2.3, la présence d'anions PF_6^- liés est rare dans les structures cristallographiques; sur les 33 exemples référencés dans la base de données du CCDC, 15 structures contiennent des hexafluorophosphates pontants, dont seulement 4 pontent par deux atomes de fluor en *trans* par rapport P central. Parmi ces 4 dernières structures, deux exemples^[275, 276] contiennent des ions Cu(II).

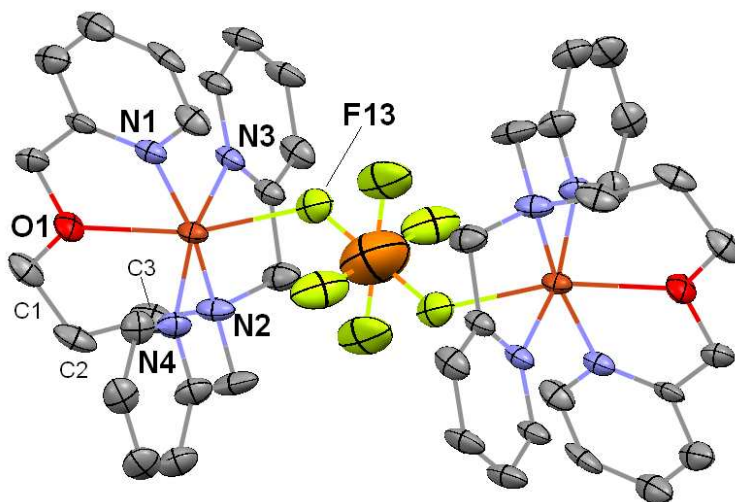


FIG. 3.16 – Structure de l'unité cationique $[(\text{proP}_3)\text{CuPF}_6\text{Cu}(\text{proP}_3)]^{3+}$ dans les cristaux de $[(\text{proP}_3)\text{Cu}(\text{PF}_6)\text{Cu}(\text{proP}_3)](\text{PF}_6)_3 \cdot 3\text{CH}_3\text{OH}$. Les ellipsoïdes sont dessinés au niveau de probabilité de 50%.

Le complexe cristallise dans le groupe d'espace achiral $C 2/c$. Le centre de symétrie est localisé sur l'atome de phosphore central.

Cu-O1	2,224(4)	O1-Cu-N1	75,5(2)	F13-Cu-N3	78,0(2)
Cu-F13	2,303(5)	O1-Cu-N2	93,6(2)	F13-Cu-N4	98,0(2)
Cu-N1	2,019(4)	O1-Cu-N3	97,8(2)	N1-Cu-N3	94,5(2)
Cu-N2	2,024(5)	O1-Cu-N4	89,9(2)	N1-Cu-N4	99,6(2)
Cu-N3	2,020(5)	F13-Cu-N1	89,9(2)	N2-Cu-N3	82,0(2)
Cu-N4	1,993(5)	F13-Cu-N2	100,5(3)	N2-Cu-N4	83,9(2)

TAB. 3.3 – Distances (Å) et angles (°) de liaison dans $[(\text{proP}_3)\text{CuPF}_6\text{Cu}(\text{proP}_3)]^{3+}$ dans les cristaux de $[(\text{proP}_3)\text{Cu}(\text{PF}_6)\text{Cu}(\text{proP}_3)](\text{PF}_6)_3 \cdot 3(\text{CH}_3\text{OH})$.

L'examen des distances et angles de liaison ne révèle pas de différences notables entre la géométrie de coordination de ce ligand acyclique et du glycoligand MARP_3 qui a été également cristallisé sous la forme d'un complexe présentant un nombre de coordination de 6. La conformation du cycle chélate O,N à six chaînons est proche de celle observée dans la structure du complexe $[\text{Cu}(\text{MAXP}_3)](\text{PF}_6)_2$: l'angle dièdre O1-C1-C2-C3 a une valeur de $\pm 58^\circ$, une valeur proche de celle de l'angle dièdre correspondant (O3-C3-C4-C5) dans la structure du complexe $[\text{Cu}(\text{MAXP}_3)](\text{PF}_6)_2$ ($-50,2^\circ$).

3.2.3 Etudes en solution : RPE, VC, absorption UV-vis, CD

Les études cristallographiques que nous avons détaillées ci-dessus mettent en évidence le fait que les ligands pentadentes MAXP_3 , MARP_3 et proP_3 sont toujours liés par les 4 azotes (fortement $d \approx 2$ Å) et l'oxygène (plus faiblement $d \approx 2,2$ Å) au centre métallique. Bien que le cuivre ait un nombre de coordination différent dans les complexes des ligands MAXP_3 et MARP_3 , ceci pourrait être dû aux aléas de la cristallisation¹².

Nous avons étudié tout d'abord les complexes de cuivre par des techniques insensibles aux propriétés chiroptiques afin de vérifier que la similitude de la géométrie de coordination constatée dans l'examen des structures cristallines se traduit par des propriétés électroniques semblables pour les complexes de Cu(II) de MAXP_3 , MARP_3 et proP_3 en solution.

Voltammétrie cyclique

Les voltammogrammes cycliques enregistrés en solution pour les complexes $[\text{Cu}(\text{L})]^{2+}$ avec $\text{L} = \text{MAXP}_3$, MARP_3 ou proP_3 laissent apparaître un système réversible que l'on peut attribuer à des couples Cu(I)/Cu(II). Les voltammogrammes sont présentés dans la figure 3.17 et les paramètres les décrivant dans le tableau 3.4.

¹²Dans le paragraphe 3.2.2, la présence d'un anion hexafluorophosphate à proximité du cation métallique avait été mentionnée. Ceci pourrait expliquer pourquoi aucune molécule de solvant coordonnée au métal ne se trouve dans la structure de $[\text{Cu}(\text{MAXP}_3)](\text{PF}_6)_2$.

	E_c [a]	E_a [a]	$E_{\frac{1}{2}}$ [a]	ΔE_p
$[\text{Cu}(\text{MAXP}_3)]^{2+}$	-134	-26	-80	108
$[\text{Cu}(\text{MARP}_3)]^{2+}$	-108	-7	-58	101
$[\text{Cu}(\text{proP}_3)]^{2+}$	-83	-162	-123	79

[a] : Potentiels en mV par rapport à l'ECS.

TAB. 3.4 – Voltammétrie cyclique des complexes de Cu(II) de MAXP_3 , MARP_3 et proP_3 .

Les voltammogrammes cycliques sont caractéristiques de systèmes quasi-réversibles ($\Delta E_p < 110$ mV). Il est possible d'associer cette réversibilité à une certaine rigidité du site de complexation qui serait induite par le châssis bicyclic du ligand ¹³. Nous pouvons voir que le comportement redox est semblable pour les trois composés, en particulier pour les deux glycocomplexes qui ne présentent qu'une différence de 22 mV dans leur potentiel $E_{\frac{1}{2}}$. Le potentiel redox du couple Cu(I)/Cu(II) pour les complexes du ligand proP_3 est plus négatif que celui des couples correspondants dans les glycocomplexes indiquant que l'état Cu(II) est légèrement plus stabilisé dans le complexe acyclique que dans les glycocomplexes correspondants.

Il serait intéressant de synthétiser les complexes de Cu(I) des ligands MAXP_3 , MARP_3 et proP_3 afin de les étudier structuralement et spectroscopiquement. En effet, l'application de la relation d'Haasnoot-Altona (voir section 2.9) permettrait d'obtenir les angles de torsion H-C-C-H à partir des spectres RMN-¹H, ce qui permettrait de caractériser (au moins partiellement) la géométrie de l'espèce de cuivre(I) en solution.

¹³Si l'on ne considère pas les propriétés géométriques imposées par les ligands, des changements structuraux importants sont attendus lors des processus redox faisant intervenir des espèces de Cu(II) et de Cu(I). En effet, le Cu(II) (d^9) est un cation sujet à l'effet Jahn-Teller alors que le Cu(I) (d^{10}) possède une sous-couche complète et donc aucune préférence géométrique. Ceci se traduit habituellement par des voltammogrammes chimiquement irréversibles.

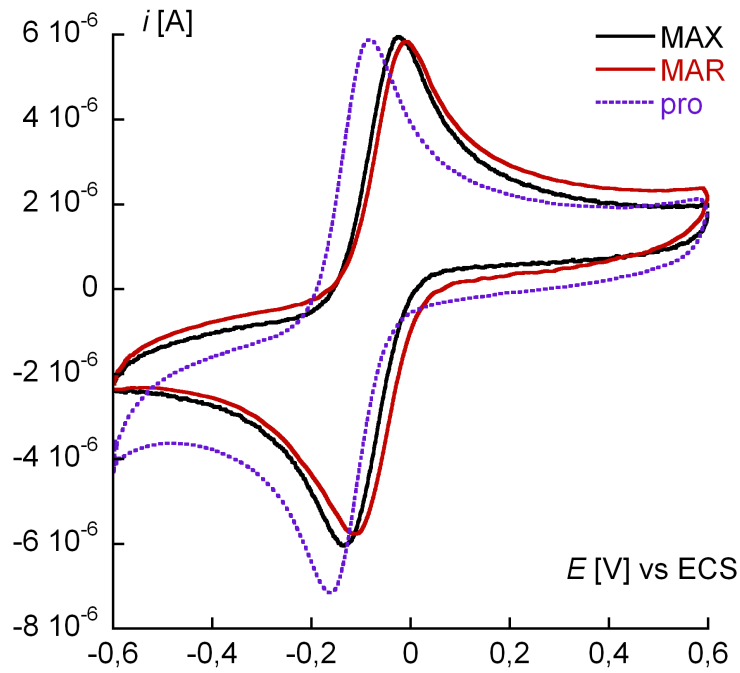


FIG. 3.17 – Voltammogrammes cycliques des solutions de complexes de Cu(II) de MAXP_3 , MARP_3 ou proP_3 . Solvant Ethanol/Acétone 2 : 1. Électrolyte support : LiClO_4 $3,3 \times 10^{-2}$ mol L^{-1} . Concentrations de travail : $[\text{Cu}(\text{MARP}_3)(\text{EtOH})](\text{PF}_6)_2$ $3,3 \times 10^{-4}$ mol L^{-1} ; $[\text{Cu}(\text{MAXP}_3)](\text{PF}_6)_2$ $3,3 \times 10^{-4}$ mol L^{-1} ; $[\text{Cu}(\text{proP}_3)](\text{PF}_6)_2 \cdot \frac{1}{2}\text{MeOH}$ $3,9 \times 10^{-4}$ mol L^{-1} . Vitesse de balayage 200 mV s^{-1} , cycle de balayage $0,2 \text{ V} \rightarrow -0,6 \text{ V} \rightarrow +0,6 \text{ V}$ (répété 3 fois), les électrodes et appareils utilisés sont donnés dans la partie expérimentale. Les voltammogrammes ne présentent pas de variation sur les trois cycles de balayage. Les tracés montrés sont ceux mesurés lors du 3^{ème} cycle de balayage.

RPE

Le spectre RPE de complexes de Cu(II) des ligands MAXP_3 , MARP_3 et proP_3 , ainsi que leurs simulations sont présentés dans la figure 3.18. Les paramètres issus de la simulation sont présentés dans le tableau 3.5. Les spectres RPE, très semblables pour les trois systèmes, laissent apparaître un signal de symétrie axiale caractérisé par les facteurs g_{\perp} et $g_{//}$. Une interaction hyperfine entre le spin électronique et le spin nucléaire de l'atome de cuivre¹⁴ est résolue sur le signal à $g_{//}$. Une interaction superhyperfine avec le spin nucléaire des atomes d'azote du ligand est également observée. Celle-ci peut être simulée par le couplage avec 4 atomes d'azote équivalents indiquant qu'en solution (comme dans les structures cristallines) l'ensemble des atomes d'azote présents dans le ligand sont liés au centre métallique.

	g_{\perp}	$A_{Cu\perp}$ [MHz] ^[a]	$g_{//}$	$A_{Cu//}$ [MHz]	A_{Niso} [MHz]
MAXP_3	2,057	40	2,239	549	33,5
MARP_3	2,056	40	2,242	547	36,5
proP_3	2,057	40	2,238	549	33,5

[a] Couplage hyperfin non résolu.

TAB. 3.5 – Paramètres décrivant les spectres RPE des complexes de Cu(II) de MAXP_3 , MARP_3 et proP_3 , obtenus par la simulation des spectres à l'aide du logiciel XSophe.

Les valeurs des facteurs g indiquent que l'électron célibataire se trouve dans une orbitale de type $d_{x^2-y^2}$ ce qui est associé avec un état fondamental de géométrie de type pyramide à base carrée ou octaédrique avec déformation tétragonale et est incompatible avec la géométrie bipyramide trigonale qui est une autre géométrie habituellement rencontrée pour les complexes de Cu(II)^[171, 277]. Des relations ont été développées pour relier les paramètres déterminés par RPE, dans certains cas, à des caractéristiques géométriques (par exemple, la distorsion vers la géométrie tétraédrique des complexes CuL_4 de type plan carré à été corrélée au rapport $\frac{g_{\perp}}{A_{Cu\perp}}$ ^[273, 277]). Ce n'est pas le cas pour la discrimination entre les complexes en géométrie pyramide à base carrée ou octaédrique avec élongation, puisque ces deux types de géométries sont équivalentes du point de vue orbital. En utilisant la RPE comme empreinte digitale, nous pouvons néanmoins relever une grande similitude des paramètres simulés pour les trois complexes laissant envisager un même environnement de coordination pour l'atome de Cu(II) en solution.

¹⁴Le cuivre possède les isotopes ^{63}Cu et ^{65}Cu (abondances relatives 69,2% et 30,8%, respectivement) qui possèdent tous deux un spin nucléaire $I = \frac{3}{2}$.

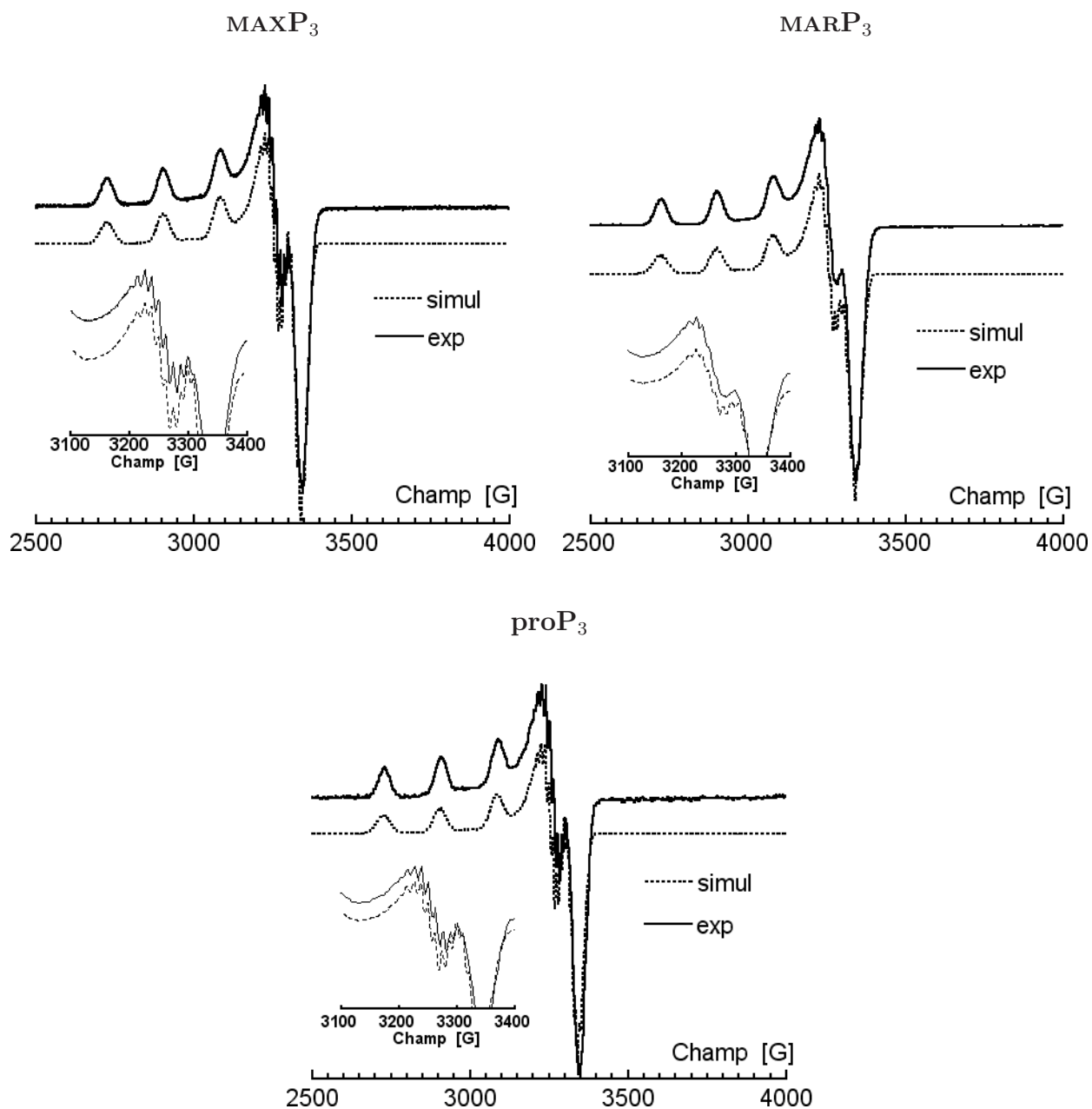


FIG. 3.18 – Tracés pleins : spectres RPE en bande X (solutions gelées, $T = 100$ K) des complexes de Cu(II) des ligands MAXP_3 , MARP_3 et proP_3 . Concentration 10^{-3} mol L $^{-1}$ dans un mélange acétone/toluène 1:1, fréquence microondes 9,381849 GHz pour MAXP_3 , 9,382431 GHz pour MARP_3 , 9,381953 pour proP_3 , temps de conversion 163,84 ms, amplitude de modulation 1 G, fréquence de modulation 100 kHz, constante de temps 40,96 ms. Tracés discontinus : simulations des spectres RPE réalisées avec le logiciel XSophe.

Spectroscopie d'absorption et dichroïsme circulaire

Les spectres d'absorption dans le visible et de dichroïsme circulaire des complexes de Cu(II) des ligands MAXP_3 , MARP_3 et proP_3 sont présentés dans la figure 3.19 et décrits dans le tableau 3.6.

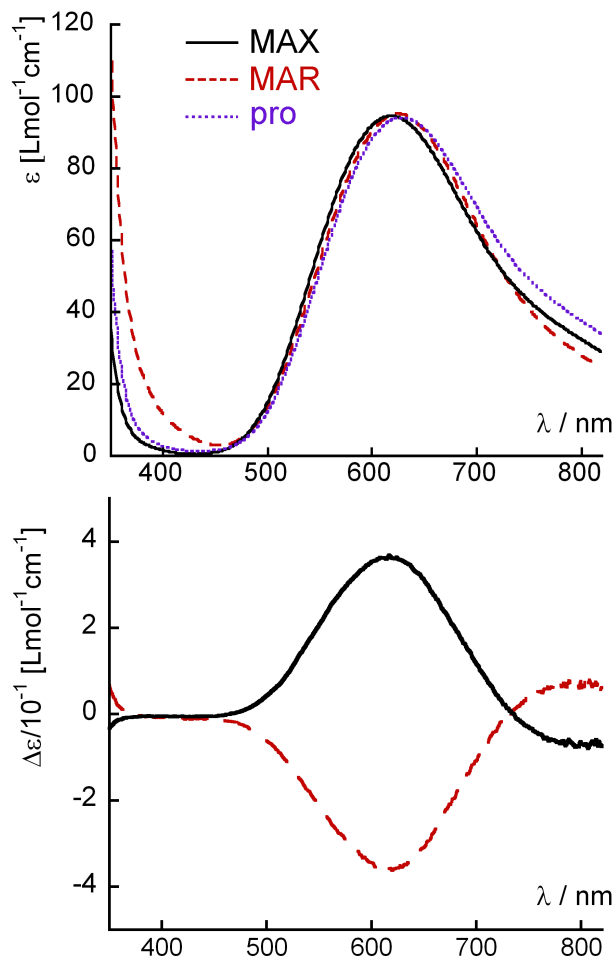


FIG. 3.19 – Spectres d'absorption dans le visible et de dichroïsme circulaire (pour les glycoligands) de solutions des complexes de Cu(II) de MAXP_3 , MARP_3 et proP_3 . Concentration : $10^{-2} \text{ mol L}^{-1}$.

Comme les autres techniques insensibles aux propriétés chiroptiques, la spectroscopie d'absorption dans le visible donne des spectres très semblables pour les trois complexes de Cu(II). La bande $d-d$ qui est observée vers 620 nm, avec une absorption également vers le proche IR, est composée des contributions de chacune des transitions $d-d$ individuelles, mais la déconvolution en chacune des contributions ne peut être réalisée que pour des spectres

	absorption : λ_{max} [nm] (ϵ [L mol ⁻¹ cm ⁻¹])	CD : λ ($\Delta\epsilon$ [L mol ⁻¹ cm ⁻¹])
MAXP ₃	618 (95)	616(0,36)
MARP ₃	624 (95)	619(0,37)
proP ₃	628 (94)	-

TAB. 3.6 – Description des spectres d’absorption dans le visible et de dichroïsme circulaire des complexes de Cu(II) des ligands **MAXP**₃, **MARP**₃ et **proP**₃.

de cristaux en lumière polarisée^[273, 171]. Les valeurs très proches des coefficients d’extinction molaire laissent présager la même géométrie de coordination pour tous les complexes. Étant donné que la structure cristalline du complexe de Cu(II) du ligand **MARP**₃ met en évidence la liaison d’une molécule de solvant au métal, cette géométrie est vraisemblablement de type octaédrique avec élongation axiale.

Toutefois, lors de l’étude par dichroïsme circulaire, les complexes de Cu(II) des ligands **MAXP**₃ et **MARP**₃ se comportent comme s’il s’agissait d’énantiomères en solution avec des effets Cotton de signe opposé observée sur leurs transitions $d - d$. Ceci est cohérent avec ce qui a été observé dans la description des structures cristallines de ces composés, en particulier avec la constatation que **MAXP**₃ et **MARP**₃ induisent un signe opposé pour l’angle dièdre O3-C3-C4-C5 (voir les tableaux 3.1 et 3.3) qui détermine la conformation du métallacycle à 6 chaînons présent dans les complexes.

Conclusion

En dépit de la différence de nombre de coordination dans les structures cristallographiques, des signaux très semblables par 3 techniques insensibles aux propriétés chiroptiques caractérisent les solutions des complexes de Cu(II) des ligands **MAXP**₃ et **MARP**₃. Ces signaux sont eux-mêmes semblables à ceux observés pour des solutions du complexe de Cu(II) du ligand **proP**₃. Ceci indique que, vraisemblablement, pour ces trois complexes, la nature de l’espèce en solution est très semblable. Les spectres de dichroïsme circulaire très proches de ceux attendus pour deux énantiomères pour la paire de complexes de **MAXP**₃ et de **MARP**₃ confortent ce point de vue et sont une illustration de la prédétermination des éléments stéréogènes du complexe (en l’occurrence un cycle chélate à 6 chaînons) par des ligands sucrés conformationnellement rigides. Contrairement aux études publiées par Mikata *et al.*^[149, 150] (complexes glycoconjugués avec contrôle de la chiralité assuré par la formation de liaisons hydrogène, voir l’introduction, figure 1.21), nous ne pensons pas avoir plusieurs espèces de configuration différente en solution.

3.3 Complexes de $\text{MAXP}_2\Phi$ et $\text{MAXP}\Phi_2$

Il n'a pas été possible d'obtenir des complexes des ligands $\text{MAXP}_2\Phi$ et $\text{MAXP}\Phi_2$ caractérisés par diffraction des rayons X. La complexation du cuivre par ces ligands a été néanmoins étudiée en réalisant des titrages, suivis par spectroscopie d'absorption UV-visible, de solutions de nitrate de Cu(II) par des solutions de ligand (le ligand avec la fonction phénol protonnée et 1 équivalent de triéthylamine par fonction phénol¹⁵). Les titrages sont montrés dans la figure 3.20.

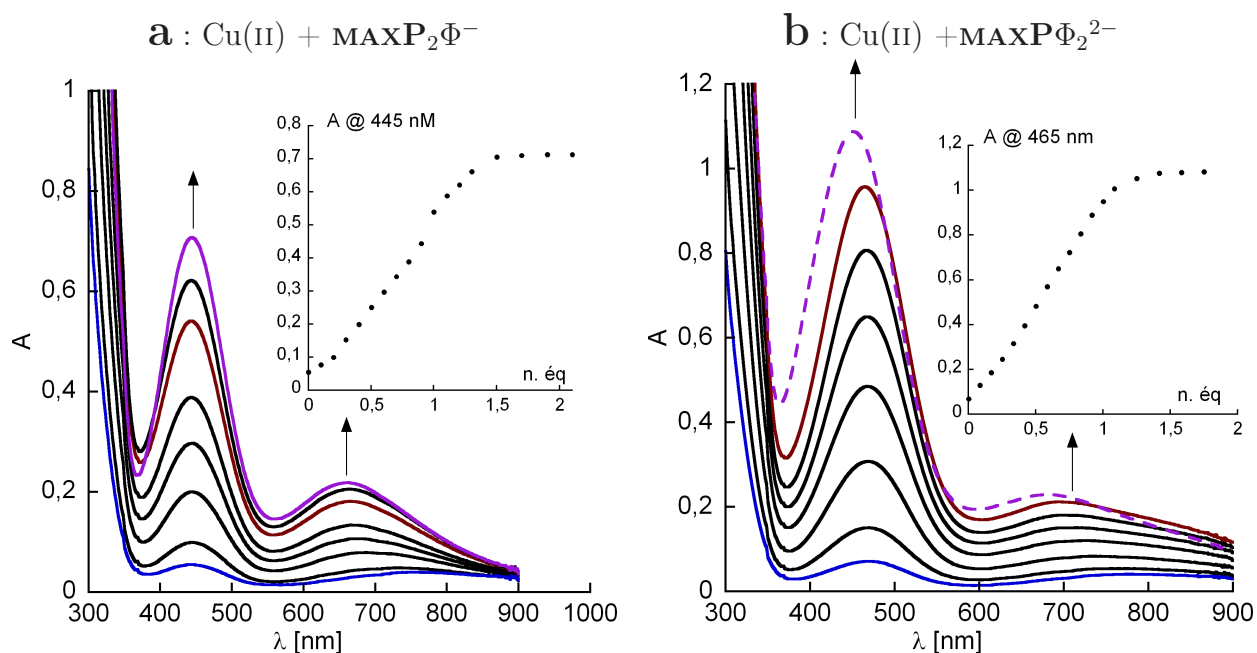


FIG. 3.20 – **a** : titrage UV-visible d'une solution de $\text{Cu}(\text{NO}_3)_2 \cdot 3\text{H}_2\text{O}$ 5×10^{-4} mol L^{-1} dans l'éthanol absolu par une solution contenant $\text{MAXP}_2\Phi\text{H}$ et 1 équivalent de NEt_3 . **b** : titrage UV-visible d'une solution de $\text{Cu}(\text{NO}_3)_2 \cdot 3\text{H}_2\text{O}$ 5×10^{-4} mol L^{-1} dans l'éthanol absolu par une solution contenant $\text{MAXP}\Phi_2\text{H}_2$ et 2 équivalents de NEt_3 . Les tracés présentés vont de 0 éq. (bleu), à 1 éq. (rouge), puis à 1,5 éq. (violet) (la dilution est négligeable).

Les spectres des complexes présentent des bandes LMCT phénolate à Cu(II) vers 450 nm et des bandes $d-d$ au delà de 600 nm. L'intensité de ces bandes est compatible avec les valeurs de ϵ publiées^[278]. Pour un nombre d'équivalents de ligand ajouté, la bande LMCT est environ deux fois plus intense pour le titrage avec le ligand $\text{MAXP}\Phi_2$ par rapport à celui du ligand $\text{MAXP}_2\Phi$, indiquant une coordination de 2 fois plus de fonctions phénolate pour

¹⁵Nous supposons que cette solution se comporte comme si elle contenait la forme déprotonnée du ligand.

le premier ligand, comme attendu. Pour le ligand $\text{MAXP}_2\Phi$, l'allure des spectres de 0 à 1,5 équivalents de ligand ajouté (voir par exemple le suivi de l'absorbance à 445 nm) indique la présence de plusieurs espèces en solution selon les concentrations. Au-delà de 1,5 équivalents, aucun changement n'est observé, ce qui pourrait signifier qu'une espèce avec une composition $\text{Cu(II)}/\text{MAXP}_2\Phi$ 2:3 serait stable. Pour le ligand $\text{MAXP}\Phi_2$, l'accroissement de l'absorbance est linéaire pour tout point du spectre entre 0 et 1 équivalent, ce qui indique, que, dans ce domaine, le complexe formé a une composition $\text{Cu(II)}/\text{MAXP}\Phi_2$ de 1:1. Au-delà de 1 à 1,5 équivalent, une modification du spectre se produit (avec un effet isochrome pour les bandes $d-d$ et LMCT), indiquant la formation d'autres espèces.

Dans le cas de ce dernier complexe, nous avons enregistré le spectre RPE de la solution contenant un rapport métal/ligand de 1:1. Celui-ci a révélé en effet la présence d'un Cu(II) en géométrie tétragonale (figure 3.21), comme les complexes des ligands MAXP_3 et MARP_3 . Les valeurs de g et de $A_{//}$ approximatives sont données sur le spectre¹⁶.

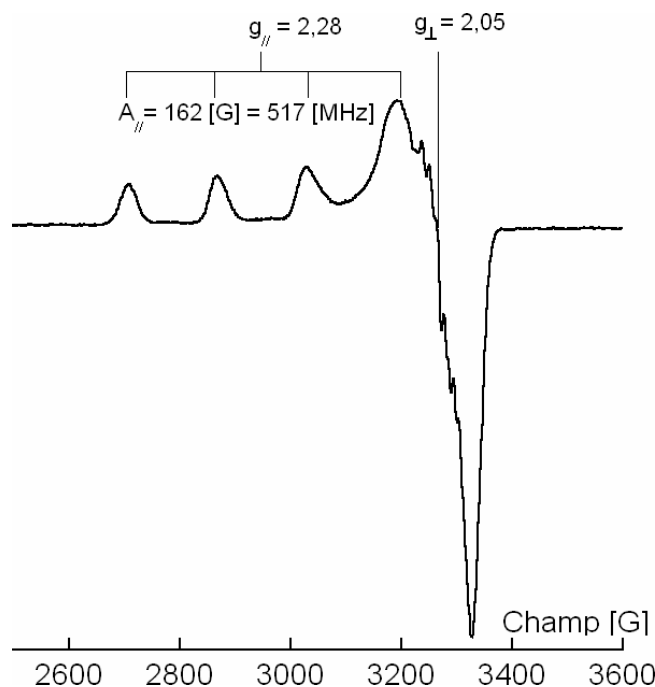


FIG. 3.21 – Spectre RPE en bande X (solution gelée, $T = 100$ K) du complexe de Cu(II) du $\text{MAXP}\Phi_2$. Concentration 5×10^{-4} mol L^{-3} en Cu , 1 éq. de $\text{MAXP}\Phi_2\text{H}_2$ et 2 éq. de NEt_3 dans un mélange méthanol/toluène 1:1, fréquence microondes 9,381293 GHz, temps de conversion 163,84 ms, amplitude de modulation 1 G, fréquence de modulation 100 kHz, constante de temps 40,96 ms.

¹⁶Nous avons tenté de simuler les spectres RPE, mais des couplages superhyperfins mal résolus sur le signal à g_{\perp} empêchent un bon accord entre les spectres simulés et l'expérience. Une autre explication pourrait être la présence d'une petite quantité d'une deuxième espèce en solution.

CHAPITRE 4

Glycocomplexe à activité antioxydante
de type SOD

4.1 Introduction : la chimie inorganique médicinale

Une des activités de recherche en chimie bioinorganique est l'étude de complexes ou de ligands pouvant avoir des applications dans le domaine de la chimiothérapie^[279, 280, 281]. Les applications de la chimie inorganique dans le champ de la médecine peuvent être classées selon deux stratégies distinctes : la synthèse de ligands devant chélater un cation métallique présent physiologiquement et la synthèse de complexes métalliques où le ou les ion(s) métallique(s) est(sont) le siège principal de l'action thérapeutique recherchée. Parmi les domaines dans lesquels des complexes métalliques sont actuellement utilisés comme agents thérapeutiques, nous pouvons citer la thérapie du cancer (cisplatine, bléomycine), les agents de contraste pour l'imagerie par résonance magnétique (complexes de Gd(III) et d'autres métaux), les complexes d'isotopes radioactifs tels que ^{99m}Tc pour la radioimagerie et les complexes d'or comme agents antiarthritiques^[279, 282, 281]. Des complexes de manganèse ont été synthétisés comme agents antioxydants possédant une activité antisuperoxyde^[283]. Un complexe d'un ligand macrocyclique, le M40403 (voir plus bas, figure 4.3) est en cours d'évaluation comme agent anti-douleur en association avec la morphine (essais cliniques de Phase 2), selon le site web de la société qui le développe^[284].

4.2 Complexes à activité antisuperoxyde

Cette dernière stratégie est celle qui est adoptée dans un des axes de la recherche qui est menée au laboratoire : la synthèse de complexes mimes fonctionnels des superoxyde dismutases (SOD) à Mn avec, comme perspective, des applications thérapeutiques potentielles. Les concepts nécessaires à l'élaboration de ce type de complexes seront brièvement exposés ci-dessous.

4.2.1 Espèces réactives oxygénées

Le dioxygène est utilisé comme accepteur terminal d'électrons dans la respiration cellulaire par les organismes aérobies. Ceux-ci subissent la toxicité d'espèces dérivées du dioxygène qui sont nommées espèces oxygénées réactives (parmi celles-ci nous pouvons citer le peroxyde d'hydrogène H_2O_2 , le superoxyde O_2^{\bullet} et le radical hydroxyle $\bullet\text{OH}$). La dénomination « espèce réactive oxygénée » (ROS, *reactive oxygen species*) vient du fait que, contrairement au dioxygène, qui possède un état fondamental triplet de spin, ces espèces sont dans un état fondamental singulet ou doublet. Les réactions de O_2 avec les molécules organiques (qui ont un état fondamental singulet de spin) ont une énergie d'activation élevée (« barrière de spin »), ce qui n'est pas le cas avec les espèces réactives oxygénées^[285].

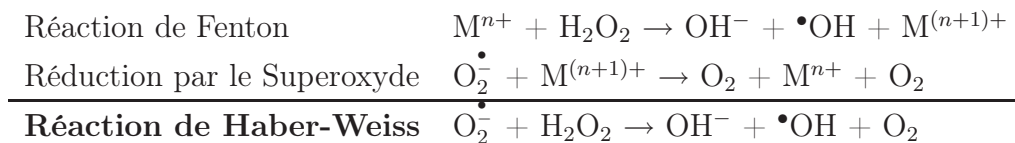
Stress oxydant

En conditions normales, les organismes aérobies ont développé un système de défense contre les ROS. Toutefois, lorsque l'équilibre existant dans les organismes sains entre la production d'espèces réactives oxygénées et leur détoxification est rompu, soit à cause d'un défaut dans le système de détoxification soit à cause d'une surproduction de ROS, il y a un *stress oxydant* qui est une situation pathologique^[285, 283].

Le superoxyde

L'anion superoxyde $\text{O}_2^{\bullet-}$, dans lequel l'oxygène possède le nombre d'oxydation $-\frac{1}{2}$, présente un caractère radicalaire (dans la suite nous ne le noterons plus explicitement) et peut se comporter soit comme réducteur (E^{O} du couple $\text{O}_2^-/\text{O}_2 = -0,16 \text{ V vs ENH}$), soit comme oxydant (E^{O} du couple $\text{H}_2\text{O}_2/\text{O}_2^- = +0,89 \text{ V vs ENH}$). En phase aqueuse, sur toute la gamme de pH, la dismutation du superoxyde en peroxyde d'hydrogène et oxygène est thermodynamiquement favorable. Le superoxyde et le peroxyde d'hydrogène sont également impliqués dans les couples acido-basiques $\text{HO}_2^{\bullet}/\text{O}_2^-$ ($\text{pK}_a = 4,8$, HO_2^{\bullet} : radical hydroperoxyde) et $\text{H}_2\text{O}_2/\text{HO}_2^-$ ($\text{pK}_a = 11,75$)^[285] qui rendent les potentiels des réactions redox mentionnées ci-dessus dépendants du pH. Comme la réaction de dismutation du superoxyde en peroxyde d'hydrogène et en eau nécessite des protons, la constante de vitesse apparente de la réaction bimoléculaire de dismutation du superoxyde est dépendante du pH. Elle est de $\sim 7 \times 10^6 \text{ mol}^{-1} \text{ L s}^{-1}$ à pH 7 et tend vers 0 dans les solutions fortement alcalines^[286]. Pour la même raison, la dismutation du superoxyde ne se fait pas dans les solvants aprotiques.

Le superoxyde est toxique, d'une part par les réactions redox néfastes qu'il induit directement (oxydation des centres Fe-S, initiation de la peroxydation lipidique par le radical hydroperoxyde), mais également, parce qu'il est à l'origine de la synthèse en milieu biologique d'autres espèces plus réactives que lui-même, telles que l'anion peroxydinitrite ONOO^- (par réaction avec NO) et le radical hydroxyle $\bullet\text{OH}$ ^[287, 285]. Ce dernier radical est formé par la réaction de Haber-Weiss, qui est catalysée par des cations métalliques à bas degrés d'oxydation comme le Cu(I) et le Fe(II). $\bullet\text{OH}$ est la ROS la plus réactive (les réactions de $\bullet\text{OH}$ avec les molécules organiques ne sont limitées que par la diffusion) et donc la plus toxique.



TAB. 4.1 – La réaction de Haber-Weiss et ses étapes élémentaires.

4.2.2 Le système protéique mimé : les superoxyde dismutases

Les SOD sont des métalloprotéines qui se divisent en quatre grandes familles en fonction de la nature du cation métallique présent au site actif : Cu et Zn (seul le Cu a un rôle catalytique), Fe, Mn^[288] et Ni (découvertes et étudiées plus récemment^[289, 290]).

Au regard des informations données dans la section précédente, il apparaît que le rôle des superoxyde dismutases est de maintenir la concentration stationnaire de O_2^- à un niveau autour de $8 \text{ à } 30 \times 10^{-12} \text{ mol L}^{-1}$ (dans les cellules de mammifères^[291]) en accélérant sa dismutation, puisque la constante de vitesse de la réaction bimoléculaire de dismutation du superoxyde est telle qu'il ne se dismute pas spontanément dans les conditions physiologiques avant de causer les réactions néfastes énumérées plus haut.

L'activité superoxyde dismutase a été caractérisée en 1969 par Fridovich et McCord pour la protéine à Cu et Zn des hématies humaines^[292]. Cette protéine avait été découverte en 1939 par Mann et Keilin qui l'avaient nommée érythrocupréine en raison de sa fonction supposée de stockage du cuivre (référence citée dans ^[292]). Les SOD sont présentes dans presque tous les organismes aérobies^[285]¹.

Dans toutes les superoxyde dismutases, le potentiel du couple redox $M^{n+}/M^{(n+1)+}$ est finement réglé par l'environnement protéique pour se trouver près de la moyenne de $E^{\circ'}(H_2O_2/O_2^-)$ et de $E^{\circ'}(O_2^-/O_2)$ (+0,37 V *vs* ENH à pH 7). Quel que soit le couple redox utilisé les potentiels sont compris entre +0,23 et +0,31 V *vs* ENH^[294] (figure 4.1). Il est remarquable que les SOD à Mn et les SOD à Fe aient un potentiel redox semblable en dépit des caractéristiques électroniques différentes des deux éléments^[295], ce qui est une illustration de l'efficacité de la modulation des propriétés d'un centre métallique par les systèmes protéiques naturels.

Toutes les SOD sont des enzymes hautement efficaces : pour les Cu,Zn-SOD la constante de vitesse catalytique $k_{cat} = 2 \times 10^9 \text{ M}^{-1}\text{s}^{-1}$ (à pH =7,4). La vitesse de réaction de l'enzyme avec le superoxyde approche la limite de diffusion. Les Mn-SOD ont un k_{cat} d'un ordre de grandeur plus faible ^[283].

¹Les Cu,Zn-SOD se trouvent dans les cellules eucaryotes (cytosol), les bactéries gram-négatives et les chloroplastes des plantes. Les Fe-SOD sont trouvées chez certaines bactéries ou des plantes supérieures. Les Mn-SOD, qui ont été découvertes peu de temps après les Cu,Zn-SOD par Weisiger et Fridovich^[293], sont répandues chez les eucaryotes (mitochondries) et les bactéries^[285].

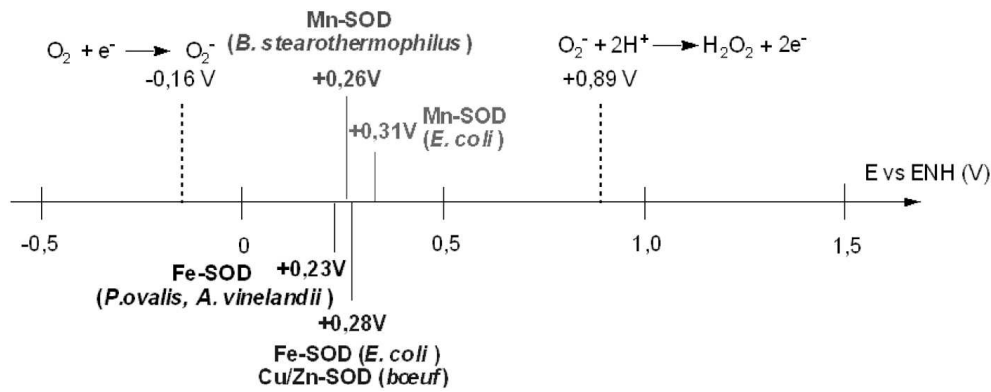


FIG. 4.1 – Potentiels redox des couples métalliques dans les SOD, comparés avec les potentiels redox d'oxydation et de réduction du superoxyde à pH=7, d'après Cabelli *et al.*^[294].

Les SOD à Mn

Les SOD à Mn sont des protéines homotétramériques ou homodimériques, chaque unité monomérique ayant un poids moléculaire de 22 kDa. Elles sont composées de deux domaines, le premier riche en hélices α et le second comportant à la fois des hélices α et des feuillets β . Le site de liaison du métal est à l'interface de ces deux domaines. La structure d'un monomère de la Mn-SOD mitochondriale humaine^[296] est montrée dans la figure 4.2a,b.

Le site actif se trouve dans un environnement hydrophobe, avec un « entonnoir » de résidus chargés positivement pouvant guider électrostatiquement O_2^- vers le site actif. Le cation métallique, qui est Mn(III) à l'état natif a une géométrie de type bipyramide trigonale distordue et est lié à trois résidus histidine, un aspartate et une molécule d'eau. Deux histidines et un aspartate sont dans le plan médian alors que la dernière histidine et la molécule d'eau sont en position apicale (figure 4.2c). Le mécanisme proposé pour la dismutation du superoxyde pour les SOD à Mn et à Fer est de type ping-pong^[297] : il implique l'oxydation du superoxyde par le Mn(III) et sa réduction par le Mn(II) (figure 4.2d).

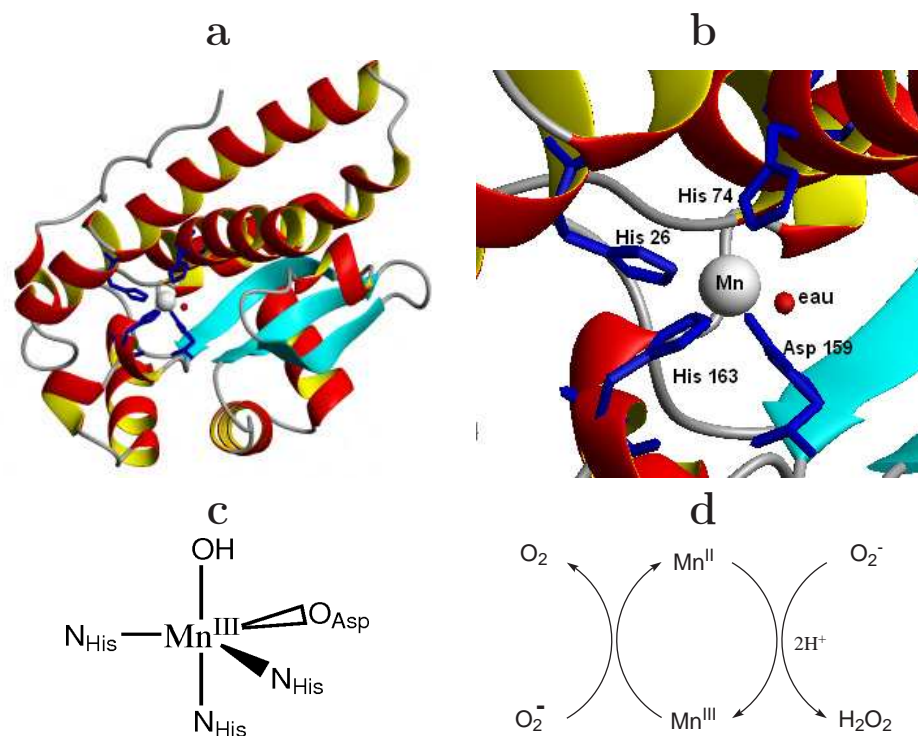


FIG. 4.2 – **a** : structure d'un monomère de la SOD à Mn mitochondriale humaine^[296]. **b** : zoom sur le site actif. **c** : représentation schématique de la sphère de coordination. **d** : mécanisme catalytique simplifié.

4.2.3 Conception des complexes

La protéine Cu,Zn-SOD d'origine bovine a été commercialisée (sous le nom d'orgotein®) comme agent thérapeutique pour le traitement du stress oxydant dans quelques pays, dont les États-Unis il y a quelques temps^[298]. Toutefois, la protéine a une faible demi-vie dans le plasma sanguin, ne peut traverser les membranes et est immunogène^[299] ; pour cela, des mimes de SOD, à savoir des complexes synthétiques reproduisant l'activité superoxyde dismutase, sont envisagés^[283, 299, 300, 66] dans le traitement de pathologies impliquant un stress oxydant.

Pour la conception d'antioxydants à activité de type SOD d'intérêt thérapeutique potentiel, des notions telles que la toxicité, la stabilité *in vivo*, la capacité à franchir les parois cellulaires entrent en ligne de compte^[283]. De plus, les synthèses doivent être les plus simples possibles et être réalisables à grande échelle.

Le manganèse est souvent choisi comme élément métallique parce que les composés de

Mn sont de manière générale peu toxiques^[301]². En particulier, le Mn(II) est moins toxique que le Cu(I) ou le Fe(II), parce qu'il ne catalyse pas la production de $\bullet\text{OH}$ par la réaction de Haber-Weiss (voir le tableau 4.1). Un mécanisme catalytique de dismutation du superoxyde impliquant nécessairement un état réduit du métal, une déchélation d'ions toxiques (si la constante d'association du complexe est faible ou lors d'une éventuelle dégradation métabolique du complexe) est à craindre pour des complexes mimes de SOD contenant du fer ou du cuivre.

Les mimes de SOD à base de manganèse sont parmi les meilleurs candidats pour des applications thérapeutiques potentielles^[281, 283]. Leurs inconvénients sont, néanmoins, la stabilité et l'inertie des complexes de Mn(II) qui sont relativement faibles par rapport à celles d'autres cations $3d$. Ceci est dû à leur configuration électronique d^5 spin fort (pas d'énergie de stabilisation du champ cristallin pour les complexes ni d'énergie d'activation du champ cristallin lors des processus d'échange) et au grand rayon cristallin du Mn(II) (0,96 Å^[108]). Pour la protéine, les problèmes associés à la stabilité du complexe Mn(II)-SOD (la constante de dissociation du complexe Mn(II)-SOD est de $3,1 \times 10^{-9}$ mol L⁻¹), ne se posent pas en raison de l'inertie du complexe due à d'autres interactions que la complexation dans la protéine^[304].

Les divers types de complexes de Mn mimes de SOD

Dans la littérature, les complexes de Mn étudiés comme mime de SOD se rangent principalement en trois grandes classes. L'équipe de Riley *et al.* a développé des complexes de Mn(II) macrocycliques^[305, 283] tels que le M40403^[305] présenté dans la figure 4.3. Un membre de cette série, plus élaboré que le M40403, s'est révélé être plus actif que la Mn-SOD elle-même^[306]. Récemment, Vecchio *et al.* ont caractérisé l'interaction avec des lectines d'un glycoconjugué d'un complexe macrocyclique de Mn(II) de ce type^[307]. D'autres auteurs ont étudié des complexes de type Mn(III)-salen^[308], très simples à synthétiser, dont l'activité antioxydante semble également découler d'une activité de type catalase (catalyse de la dismutation de H₂O₂)^[283, 309] (le complexe EUK-8 présenté dans la figure 4.3). Un complexe conjugué Mn(III)-salen-cyclodextrine a été présenté, par ses concepteurs comme un potentiel antioxydant contre H₂O₂, O₂⁻, et $\bullet\text{OH}$ ^[310]. Finalement, la troisième classe de composés largement étudiée est celle des complexes Mn(III)-porphyrine. Dans ce cadre, les porphyrines cationiques (voir les articles ^[63, 64] et références incluses) se sont montrées très actives, la charge portée par les groupements en *méso* participant à l'attraction électrostatique du superoxyde, comme, par exemple, pour le complexe Mn^{III}TMOE-2-PyP^[63] présenté dans la figure 4.3. Dernièrement des composés approchant de l'activité catalytique de l'enzyme à Mn ont été publiés^[64]. Nous pouvons relever qu'aucune de ces classes ne possède de similitude

²Certains microorganismes, tels que *L. plantarum*, sont dépourvus de SOD et utilisent des concentrations élevées de Mn(II) libre comme catalyseur de la dismutation de O₂⁻^[302, 303].

structurale avec le site actif de l'enzyme : il s'agit donc de mimes fonctionnels.

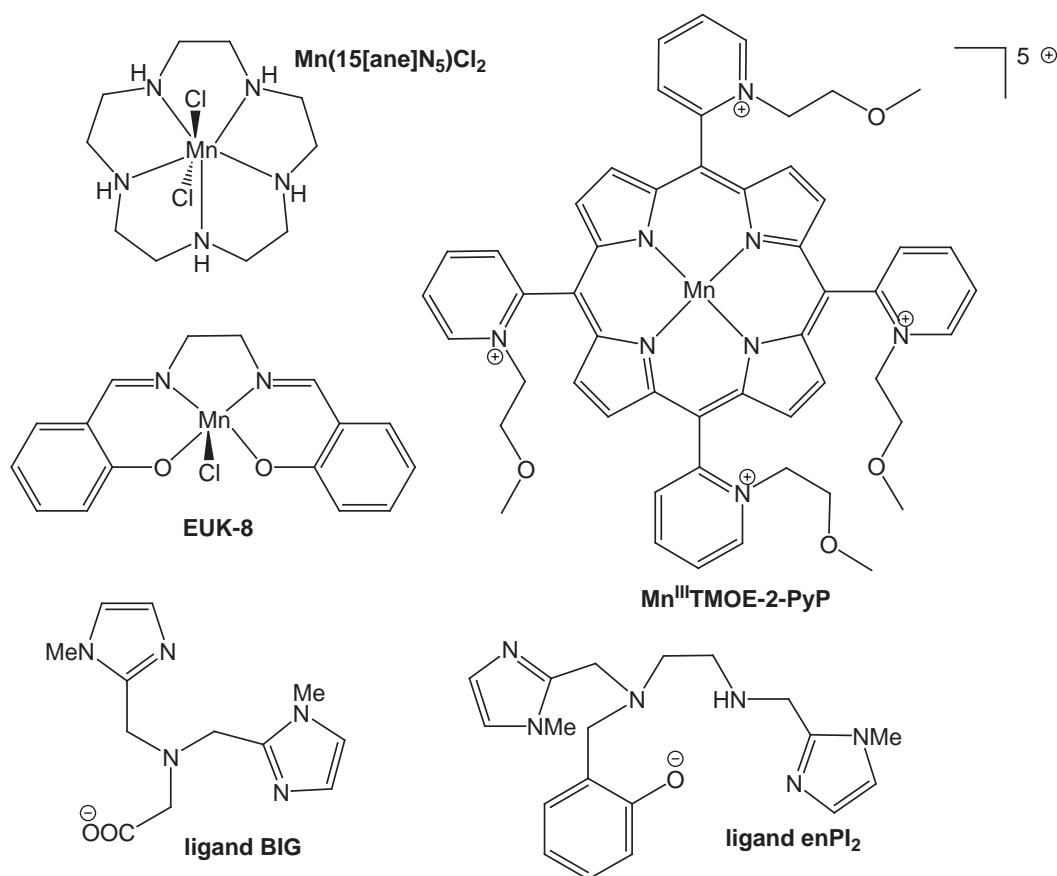


FIG. 4.3 – Complexes de Mn à activité de type SOD et ligands précurseurs de complexes à activité de type SOD (voir le texte pour les explications).

Au laboratoire, des recherches ont été menées depuis diverses années dans le domaine des mimes de SOD : des ligands tripodaux ont été développés avec une sphère de coordination semblable à celle de l'enzyme^[311, 312], et d'autres recherches se sont orientées vers des ligands tridentes ou pentadentes incluant des fonctions phénolate^[312, 313, 314]. Les complexes de Mn(II) ou de Mn(III) de ces ligands se sont avérés réagir avec le superoxyde d'après le test de McCord-Fridovich (voir plus bas). Dans deux cas, l'action catalytique a été prouvée par des études de radiolyse pulsée^[315]. Dans la figure 4.3, nous avons représenté un exemple de ligand tripodal, BIG^[311] (les trois histidines du site actif de l'enzyme sont mimées par les deux groupements *N*-méthylimidazole et par l'amine tertiaire) ainsi que le ligand pentadente **enPI**₂ dont l'activité SOD du complexe mononucléaire de Mn(II) formé en phase aqueuse^[314] a été étudiée en parallèle aux investigations que nous avons menées dans la famille des glyco-complexes.

4.2.4 Mesure de l'activité SOD

L'activité SOD a été étudiée par divers types de tests directs ou indirects. Les tests directs, dans lesquels on enregistre la cinétique de diminution de la concentration de superoxyde à l'aide d'un observable lié à cette espèce (absorption UV ou RPE), incluent les déterminations cinétiques par stopped-flow^[316, 317, 318] et par radiolyse pulsée^[315, 318, 319].

Un test indirect de l'activité SOD a été mis au point par McCord et Fridovich et publié en même temps que l'activité de l'enzyme^[292]. Ce test permet de quantifier l'activité SOD d'une enzyme ou d'un mime fonctionnel par compétition cinétique entre la réduction du ferricytochrome C par le superoxyde, qui procède à une vitesse connue, et sa dismutation par le mime de SOD.

Le test est conçu pour être mené dans une cuve de spectrophotomètre UV-visible. L'ajout de la xanthine oxydase, une molybdoenzyme, dans une solution contenant de la xanthine et un marqueur réagissant avec le superoxyde avec un changement marqué dans le spectre UV-vis. La xanthine oxydase contenant un Mo(VI) (forme native) oxyde la xanthine en acide urique puis est réoxydée par O₂ qui est réduit principalement en O₂⁻³. En l'absence de composé à activité SOD, le superoxyde réagit exclusivement avec le marqueur. Cette réaction est suivie en se plaçant au λ_{max} du produit de la réaction du superoxyde avec le marqueur et est caractérisée par une augmentation linéaire de l'absorbance (pente initiale p_1 dans un graphique de l'absorbance en fonction du temps). Les marqueurs habituellement utilisés sont le cytochrome C (cyt C) qui est réduit de Fe(III) à Fe(II) par le superoxyde et les dérivés de tétrazolium, qui forment un formazan qui absorbe dans le visible après réduction avec le superoxyde (voir en la figure A.4 en annexe pour une représentation du formazan dérivé du NBT). Si l'on ajoute au milieu une certaine quantité de SOD ou de mime de SOD à tester, une partie du O₂⁻ présent réagit avec le composé à activité SOD avant de pouvoir réagir avec le marqueur ce qui se traduit par une pente $p_2 < p_1$ dans le même graphique de l'absorbance en fonction du temps. Les réactions ayant lieu dans le test ainsi qu'un exemple de tracé expérimental sont présentés dans la figure 4.5.2.

La mesure de p_1 et p_2 pour diverses concentrations de mime de SOD (SODm) permet de déterminer l'IC₅₀, la concentration d'inhibition à 50 % (50% *Inhibitory Concentration*), qui est la concentration en composé à activité SOD qui réduit d'un facteur 2 la vitesse de la réaction avec le marqueur. L'IC₅₀ peut être déterminée en traçant $\frac{p_1 - p_2}{p_1}$ en fonction de la concentration de SODm. Sur ce graphe, les points expérimentaux sont ajustés par une droite (équ. 4.1).

$$\frac{p_1 - p_2}{p_2}([SODm]) = \frac{1}{IC_{50}} \times [SODm] \quad (4.1)$$

³Fridovich a étudié les aspects quantitatifs de la production de superoxyde par le système xanthine/xanthine oxydase^[320].

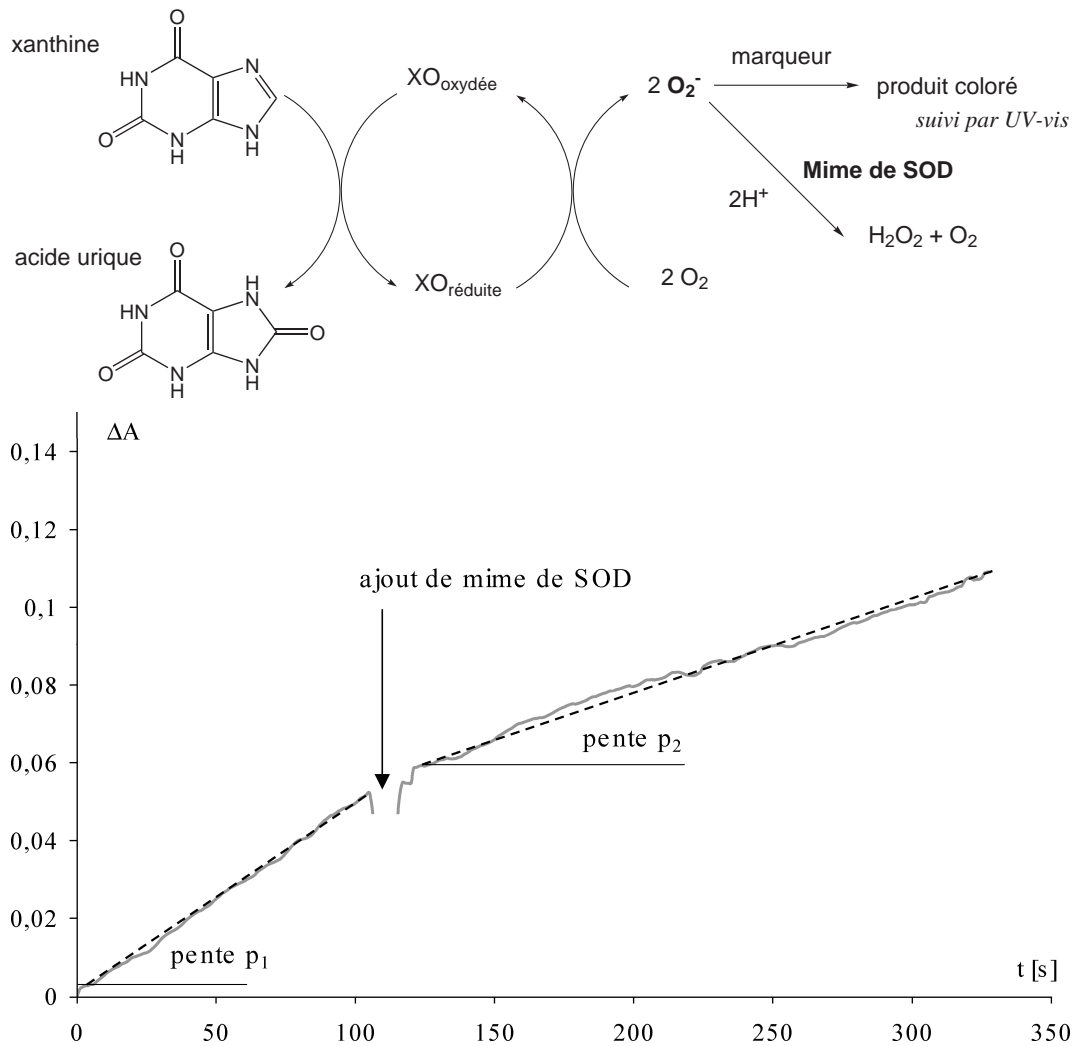


FIG. 4.4 – En haut, les réactions impliquées dans le test de McCord-Fridovich. En bas, un exemple de tracé expérimental de l'absorbance en fonction du temps.

L' IC_{50} correspond à $\frac{p_1 - p_2}{p_2} = 1$. D'après cette définition, l' IC_{50} est une donnée expérimentale dépendante de la concentration et de la nature du marqueur. Si la constante de vitesse de la réaction du superoxyde avec le marqueur est connue, elle peut être utilisée pour calculer une constante de vitesse apparente de la réaction du superoxyde avec le composé à activité SOD (éq. 4.2).

$$IC_{50} = \frac{k_{mar}[mar]}{k_{McCF}} \quad (4.2)$$

où k_{mar} est la constante de vitesse de la réaction du $cytC-Fe(III)$ avec O_2^- et k_{McCF} est la constante de vitesse apparente de la réaction de O_2^- avec le mime de SOD (la vitesse de cette réaction est $k_{McCF}[O_2^-][SODm]$) [312].

Pour comparer les mimes de SOD, il faut donc calculer des valeurs de k_{McCF} , la constante

de vitesse de la réaction bimoléculaire avec le marqueur (k_{mar}) étant égale à $2,6 \pm 0,1 \times 10^5$ L mol⁻¹s⁻¹ pour le cyt C^[321], et à $5,94 \times 10^5$ L mol⁻¹s⁻¹ pour le nitrobleu de tétrazolium (NBT)^[322].

Le test de McCord-Fridovich est un test indirect pouvant donner lieu à de nombreux artefacts. Le composé à tester peut diminuer l'activité de la xanthine oxydase, réduire le cyt C-Fe(III), ou au contraire, oxyder le cyt C-Fe(II). Toutefois, des vérifications peuvent être menées à bien pour diminuer la probabilité qu'un résultat du test de McCord-Fridovich soit artefactuel (voir l'annexe A.7, et, par exemple ^[311, 312]). Malgré toutes les précautions qui peuvent être prises, le test de McCord-Fridovich ne prouve pas la nature catalytique de la réaction du superoxyde avec le mime de SOD putatif sauf si l'IC₅₀ est suffisamment petit pour que le superoxyde réagisse plusieurs fois avec le complexe lors du test⁴.

4.3 Glycoligand $N_4O_{\text{phénol}}$

Nous avons voulu synthétiser dans le cadre de cette thèse un glycoligand « diamino » (centré sur un diamino-didésoxy-pentofurannose) comportant une hétérofonctionnalisation pour obtenir une sphère de coordination N_4O , où O désigne un ligand de type phénol comprenant deux fonctions amine liées aux carbones du châssis sucré. Un tel ligand pourrait être un candidat intéressant pour synthétiser des complexes de Mn à activité de type superoxyde dismutase (voir la littérature citée dans la section 4.2.3), d'autant plus que les fonctionnalités non utilisées pour la chélation pourraient servir à la fixation de groupements intéressants dans la perspective d'une application biologique. Par exemple, des dérivés de sucres ont déjà été fonctionnalisés avec des groupements fluorescents^[323, 324], ce qui pourrait être intéressant pour le suivi *in vivo* voire *in cello* de glycocomplexes antioxydants. Des réactions de glycosylation pourraient être utilisées, de façon à fixer de longues chaînes hydrophobes ou hydrophile. Nous obtiendrions ainsi des complexes fonctionnalisés de façon analogue à ce qui a déjà été décrit pour d'autres familles de molécules, dans le cadre d'études de la modulation de l'hydrophilie du complexe et de l'induction éventuelle de processus d'auto-assemblage^[325, 326, 327, 328, 329].

De plus, il serait préférable qu'il n'y ait pas d'amine secondaire mais une amine tertiaire méthylée, dans le glycoligand N_4O à synthétiser, pour éviter les réactions d'oxydation en imine qui peuvent être observées avec les complexes de Mn de ce type^[330]. Un exemple de structure centrale envisageable dans le cadre de cette stratégie est représenté dans la figure 4.5.

⁴Dans les conditions les plus courantes du test de McCord-Fridovich en utilisant le cyt C, une pente initiale de 0,025 min⁻¹ correspond à une production de superoxyde de 1,2 μmol L⁻¹ min⁻¹.

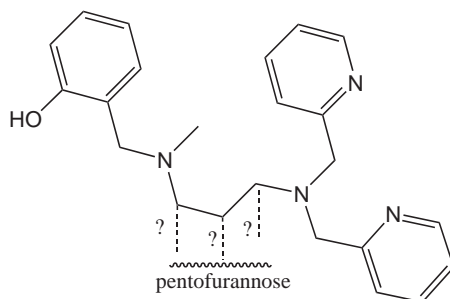


FIG. 4.5 – Structure schématisée partie chélatante d'un glycoligand $N_4O_{\text{phénol}}$ cible.

4.3.1 Schéma rétrosynthétique

En exploitant les résultats décrits plus haut dans le chapitre précédent, il nous apparaît que la dernière étape de la synthèse doit être la déprotection de la fonction phénol (protégée au préalable) précédée par une double amination réductrice par le pyridine-2-carboxaldéhyde sur une fonction amine issue de la réduction d'un groupement azoture. Le groupement phénol protégé peut être fixé aisément par amination réductrice sur une méthylamine secondaire.

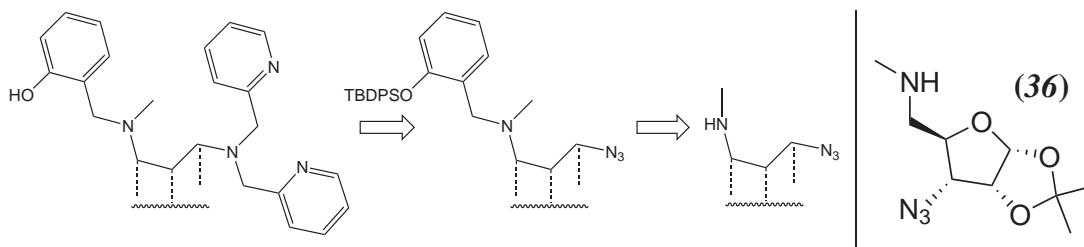


FIG. 4.6 – Schéma rétrosynthétique pour obtenir la sphère de coordination voulue ; composé représentant le motif voulu.

La structure azidométhylamino **A** dans la figure 4.6 peut correspondre au composé 5-amino-5-désoxy-1,2-*O*-isopropylidène-5-*N*-méthyl- α -D-ribofurannose (**36**). L'obtention du composé (**36**) par substitution nucléophile directe par la méthylamine d'un groupe partant en 5 contourne la difficulté dans l'objectif que nous nous étions fixé, qui est la nécessité de la différenciation de deux atomes d'azote sur un diamino-didésoxy-pentofurannose⁵. En effet, comme il a été mentionné plus haut, ce sont les fonctions azoture qui sont classiquement utilisées pour l'introduction des groupements amine, et il est impossible de différencier deux fonctions azoture au niveau de l'étape de réduction. Il s'en suit que toute stratégie de synthèse basée sur l'utilisation exclusive du groupement azoture nécessite plusieurs d'étapes

⁵Il est à noter qu'un ligand du Pd(II) contenant le 3,5-diamino-3,5-didésoxy-D-ribofurannose avec une fonctionnalisation identique des deux amines été récemment publié^[331]. La synthèse ne met pas en jeu une différenciation des positions 3 et 5.

de protection-déprotection pour réaliser les fonctionnalisations de façon successive, ce qui paraît difficile à mettre en œuvre.

Le produit (**36**) peut être donc obtenu par méthylaminolyse d'un ester sulfonique dérivant de l'alcool primaire (**34**). Celui-ci peut être obtenu comme précédemment par une séquence hydrolyse-oxydation-réduction à partir du dérivé azidodiisopropylidène *allo* (**33**) qui peut lui même être obtenu par substitution nucléophile d'un ester sulfonique en 3 du 1,2:5,6-diisopropylidène- α -D-glucofurannose (**D-3**) commercial (figure 4.7).

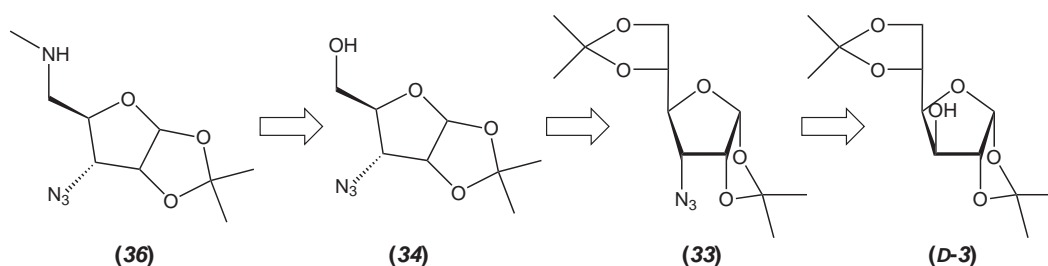


FIG. 4.7 – Rétrosynthèse de (**36**).

4.3.2 Synthèse

La première étape dans la synthèse que nous avons envisagée implique la substitution d'un groupement partant fixé en 3 sur le dérivé (**D-3**), par l'azoture. Cette synthèse est particulièrement difficile à cause de l'encombrement dû au groupement isopropylidène en 1,2. Il existe heureusement une excellente méthode de synthèse en deux étapes du 3-azido-3-désoxy-1,2:5,6-diisopropylidène- α -D-allofuranose *via* un dérivé imidazol-3-yl-sulfonate (imidazylate) (**32**)^[332, 47].

Nous pouvons ensuite appliquer la séquence hydrolyse en 5,6-oxydation-réduction^[262] déjà mentionnée à la section 3.1.3, qui s'est avérée compatible avec la présence d'un azoture, pour synthétiser l'azidoalcool (**34**). Nous avons ensuite synthétisé le dérivé toluènesulfonate (**35**) de l'alcool obtenu^[333] par une tosylation dans la pyridine. Le groupement OTs de (**35**) peut être aisément substitué par la méthylamine en employant une solution de CH_3NH_2 à 40% dans l'eau comme réactif et solvant (protocole inspiré d'une synthèse analogue avec l'ammoniaque^[334]). L'amine secondaire (**36**) ainsi obtenue peut être fonctionnalisée par amination réductrice en présence de $\text{NaBH}(\text{OAc})_3$ par le phénol protégé (**29**). Ensuite, la fonction azoture est réduite par le dihydrogène en conditions catalytiques, puis une réaction de double amination réductrice est réalisée avec 2 équivalents de 2-pyridinecarboxaldéhyde comme dans les synthèses de **MAXP**₃, **MARP**₃ et **proP**₃. Finalement, la fonction phénol est déprotégée par l'action des ions fluorure en conditions de catalyse par transfert de phase. La

synthèse est présentée dans la figure 4.8.

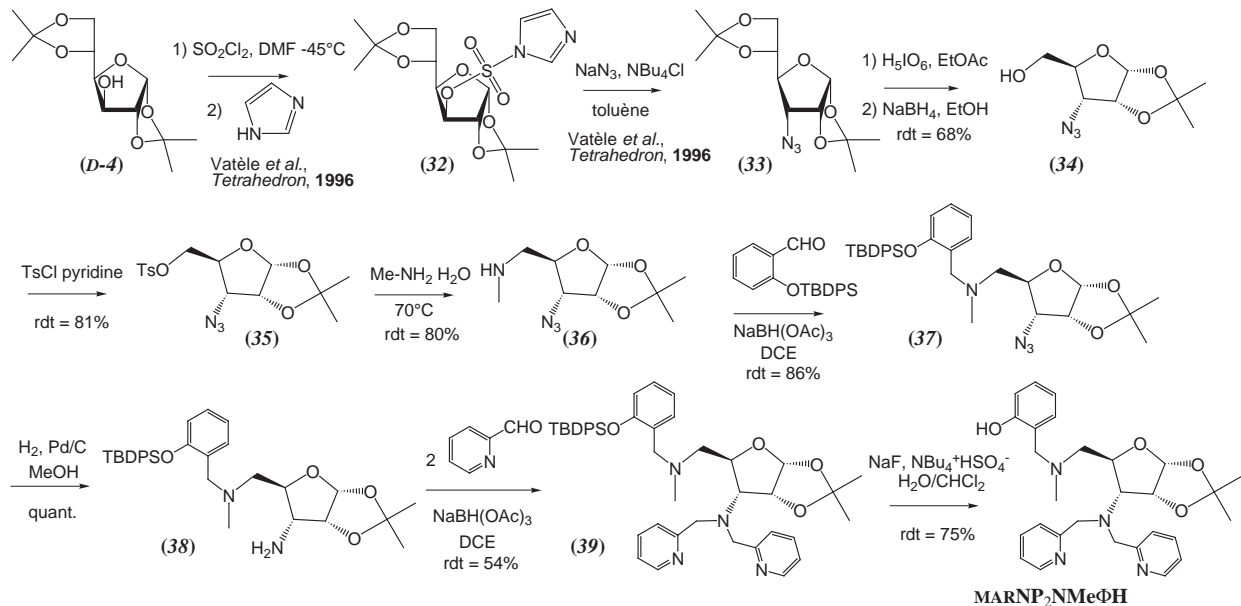


FIG. 4.8 – Synthèse de **MARNP₂NMeΦH**.

4.4 Complexe de Mn(II) candidat à la fonction de mime de SOD

Un complexe de Mn(II) du ligand **MARNP₂NMeΦ** a pu être isolé à l'état de poudre par précipitation provoquée par l'ajout d'eau sur une solution méthanolique contenant des quantités équimolaires de MnCl₂ et de **MARNP₂NMeΦH**, ainsi que 0,9 équivalents de NEt₃. L'analyse de cette poudre par spectroscopie IR a révélé le déplacement des bandes d'élongation C=N (groupements picolyle) et C_{Ar}-O par rapport à leur position dans le spectre IR de **MARNP₂NMeΦH**, ce qui indique une coordination du ligand par les groupements phénol et pyridine. Divers essais de recristallisation de cette poudre ont été réalisés et une petite quantité de monocristaux a été obtenue par diffusion d'éther dans une solution méthanolique de la poudre redissoute. La structure cristalline est celle d'un complexe mononucléaire de Mn(II) contenant le ligand déprotonné **MARNP₂NMeΦ** avec une molécule d'eau complétant la sphère de coordination. La maille s'est avérée contenir 4 molécules de solvant hautement désordonné ce qui a empêché l'affinement au-delà d'un facteur d'accord final $R1 = 8,97\%$. La structure, qui contient deux unités cationiques non équivalentes est présentée dans la figure 4.9.

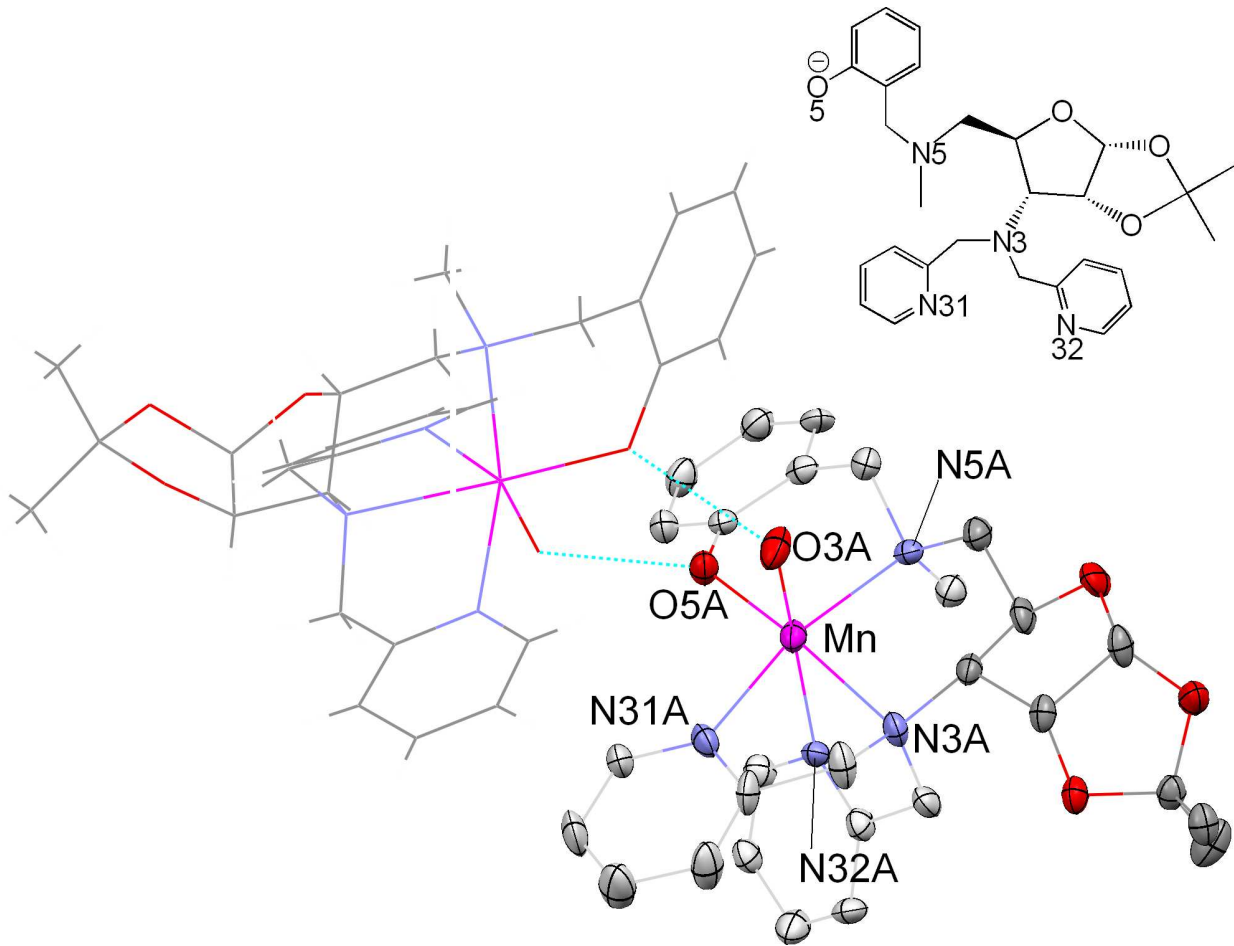


FIG. 4.9 – Structure des unités cationiques $[\text{Mn}(\text{MARNP}_2\text{NMe}\Phi)(\text{H}_2\text{O})]^+$ dans les cristaux de $[\text{Mn}(\text{MARNP}_2\text{NMe}\Phi)(\text{H}_2\text{O})]\text{PF}_6(\text{Et}_2\text{O})_2$. Une des deux unités cationiques est montrée avec des ellipsoïdes d'agitation thermique dessinés au niveau de probabilité de 50%. Les liaisons hydrogène sont mises en évidence (traits bleu clair discontinus).

Dans cette structure cristallographique, les deux ligands $\text{MARNP}_2\text{NMe}\Phi$ sont dans une conformation intermédiaire entre 4E et 4T_3 . La chélation de la dipicolylamine contenant N3, N31 et N32 se fait dans un mode facial, contrairement à ce que l'on avait observé pour les complexes de Cu(II) des ligands MAXP_3 , MARP_3 et proP_3 (chélation méridionale). L'atome d'oxygène O5 (phénolate) est en *trans* de N3 et la molécule d'eau est en *trans* de N32.

Bien que les atomes d'hydrogène de la molécule d'eau coordonnée n'aient pu être localisés sur la carte de différence Fourier, il apparaît que la molécule d'eau d'une unité cationique est en interaction avec l'atome d'oxygène du phénolate de l'autre unité. Les distances et angles de coordination sont très semblables pour les deux unités non équivalentes. Les distances et angles moyens sont présentés dans le tableau 4.2.

L'examen des distances de liaison montre que les liaisons M-N les plus longues sont celles des amines tertiaires, comme il est habituel en raison du plus grand encombrement pour ces

		N3-Mn-N5	91,5
Mn-N3 _{Npic2}	2,37	N5-Mn-O5	90,5
Mn-N31 _{py}	2,25	angles chélates N3-N _{py}	76,0
Mn-N32 _{py}	2,27	O3-Mn-N3	91,0
Mn-O3 _{eau}	2,16	O3-Mn-N31	90,5
Mn-O5 _{phénolate}	2,05	O3-Mn-O5	95,5
Mn-N5 _{NMe}	2,29	O5-Mn-N32	97,5

TAB. 4.2 – Distances (Å) et angles(°) moyens de liaison métal-ligand dans les unités $[\text{Mn}(\text{MARNP}_2\text{NMe}\Phi)]^{2+}$ dans les cristaux de $[\text{Mn}(\text{MARNP}_2\text{NMe}\Phi)(\text{H}_2\text{O})]\text{PF}_6(\text{Et}_2\text{O})_2$. (erreurs sur les distances individuelles 0,004-0,006 Å, sur les angles individuels : 0,2-0,3°).

fonctions. De même, la liaison Mn-O_{phénolate} est plus courte que la liaison Mn-OH₂, comme attendu d’après les charges portées par les atomes d’oxygène. Les angles chélates à 6 chaînons sont proches de 90° alors que les valeurs des angles chélates à 5 chaînons sont éloignées de 90°, comme dans toutes les structures présentées dans le cadre de cette thèse.

4.5 Comportement en phase aqueuse

La poudre contenant le complexe $[\text{Mn}(\text{MARNP}_2\text{NMe}\Phi)(\text{H}_2\text{O})]^+$ s’est avérée extrêmement insoluble en phase aqueuse (tampon PIPES) ; alors que la dissolution n’était que partielle une oxydation a eu lieu, indiquée par l’apparition d’une coloration rose.

Comme nous supposons que le contre-ion hexafluorophosphate abaisse sensiblement la solubilité du complexe en phase aqueuse, nous avons essayé de répéter cette expérience en son absence. L’oxydation à l’air d’une solution aqueuse contenant $\text{MARNP}_2\text{NMe}\Phi\text{H}$, 1 équivalent de MnCl_2 et 0,9 équivalents de NEt_3 a été suivie spectroscopiquement sur 24 à 48 heures (réalisée plusieurs fois, cette manipulation s’est avérée reproductible). Un exemple de suivi spectrophotométrique de l’oxydation de cette solution est présenté dans la figure 4.10

La comparaison du spectre à la fin de l’oxydation au spectre obtenu dans une étude d’un complexe mononucléaire de Mn(III) analogue (mêmes fonctions pour le ligand et présence d’un cycle chélate à 6 chaînons)^[335] permet d’émettre l’hypothèse que l’espèce majoritaire que nous avons obtenue en solution après exposition à l’air est un complexe de Mn(III) mononucléaire. Nous pouvons attribuer la bande 519 nm à un transfert de charge phénolate à Mn(III). La cinétique du processus de formation du complexe de Mn(III) n’est pas simple : toutes les expériences suivies spectrophotométriquement laissent apparaître un temps de latence initial d’environ 16 heures dans lequel très peu de modifications du signal sont détectées. En supposant que la solution à la fin du processus d’oxydation ne

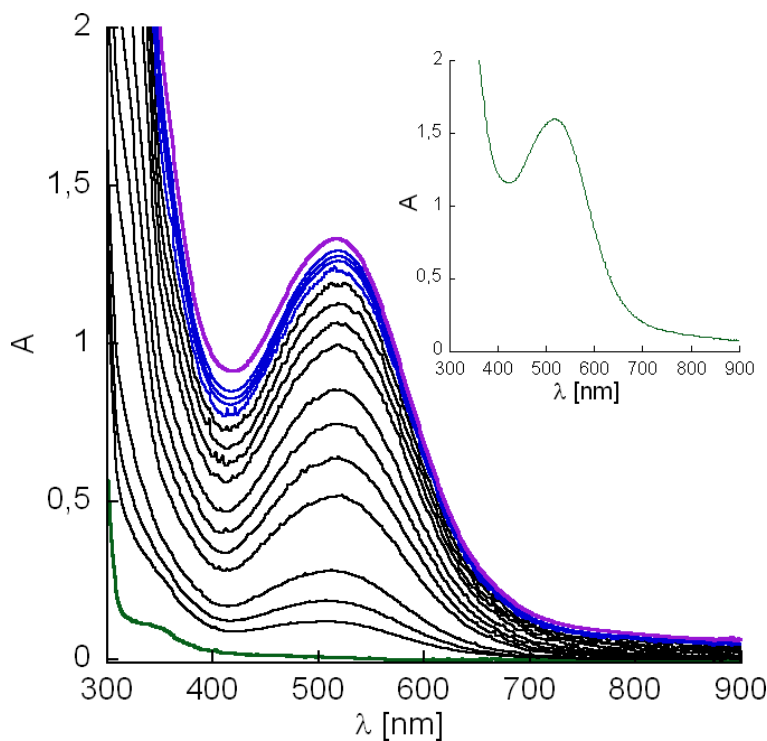


FIG. 4.10 – Suivi de l'oxydation aérobie dans la cuve du spectrophotomètre d'une solution aqueuse (tampon PIPES pH=7,5, +10% DMSO) contenant 1 équivalent de $\text{MARNP}_2\text{NMe}\Phi\text{H}$, 1 équivalent de MnCl_2 et 0,9 équivalents de NEt_3 . Vert : $t=0$. Noir : un spectre toutes les heures de 16 à 26 heures. Bleu : un spectre toutes les 3 heures. Violet : après 48 heures. Encart : solution oxydée par léger bullage d'air dans un erlenmeyer pendant 48 heures. Concentration en Mn : 10^{-3} mol L^{-1} .

contient qu'une seule espèce, le coefficient d'extinction molaire que nous estimons est de $1600 \text{ L mol}^{-1} \text{ cm}^{-1}$, ce qui est de l'ordre de ce qui est attendu pour une telle bande ($1000\text{-}3000 \text{ L mol}^{-1} \text{ cm}^{-1}$ ^[335, 314, 336, 337]). L'analyse par RPE de solutions après oxydation a montré néanmoins qu'il restait une quantité non négligeable de Mn(II) en solution, mais a, par ailleurs, exclu la formation d'espèces dinucléaires de Mn à valence mixte, comme lors de la réaction de complexes de Mn(II) synthétisés au laboratoire avec le superoxyde en milieu anhydre^[311].

Il est à noter que la présence de 10% de DMSO est essentielle pour une conversion associée à des spectres tels que ceux présentés dans la figure 4.10. Toutefois, avec 50% de DMSO dans ce tampon aucune réaction d'oxydation n'a lieu sur plusieurs jours (ce qui indique probablement une modification de la nature de l'espèce de Mn(II) en solution par rapport aux conditions avec 10% de DMSO). De plus, la réaction d'oxydation à l'air n'est pas observable non plus en tampon phosphate (pH=7,8). À la place, la formation d'un précipité flocculent, qui peut être soit du phosphate de Mn(II) soit un sel de phosphate d'un complexe

de Mn(II) avec le ligand **MARNP₂NMeΦ** est constatée⁶ pour les études des complexes de Mn(II) en solution aqueuse. Ces deux dernières hypothèses peuvent expliquer l'absence d'oxydation en solution. Nous ne connaissons pas la nature exacte de l'espèce de Mn(III) en solution, mais elle va être néanmoins notée, par commodité, $[\text{Mn}^{\text{III}}(\text{MARNP}_2\text{NMe}\Phi)(\text{X})]^{n+}$, où X (dont on a pas de preuve de présence) pourrait être un ligand monodente Cl^- , OH^- ou H_2O . Si le ligand exogène dérive de l'eau, il est probable qu'il soit déprotonné en hydroxyde puisque les molécules d'eau coordonnées au Mn(III) sont facilement déprotonables^[339].

4.5.1 Analyse électrochimique

Les voltammogrammes cycliques de la solution contenant $[\text{Mn}^{\text{III}}(\text{MARNP}_2\text{NMe}\Phi)(\text{X})]^{n+}$ (solution obtenue après l'oxydation à l'air présentée dans le paragraphe précédent, la reproductibilité étant testée sur deux solutions préparées indépendamment) sont montrés dans la figure 4.11⁷.

En changeant la vitesse de balayage, la différence entre les potentiels des pics anodique et cathodique est modifiée, ce qui signifie (en même temps que la grande valeur de ΔE_p), que la cinétique du transfert d'électrons est lente à l'électrode^[340]⁸. Toutefois, la position de $E_{\frac{1}{2}}$ (la moyenne des potentiels de pic anodique et cathodique $\frac{E_{pa}-E_{pc}}{2} = -0,14 \text{ V vs ECS}$) n'est que très peu modifiée lors du changement de la vitesse de balayage, ce qui indique qu'elle est proche de la valeur de E_0 pour le couple Mn(II)/Mn(III). La valeur du potentiel redox dans ce couple est beaucoup plus basse que celle mesurée lors de l'analyse électrochimique du complexe $[\text{Mn}(\text{enPI}_2)(\text{X})]^+$ (complexe mononucléaire du ligand **enPI₂** en solution aqueuse : 0,199 V vs ECS) (voir la figure 6 dans l'article ^[314]). Parmi les différences entre les complexes du ligand **enPI₂** et ceux du ligand **MARNP₂NMeΦ**, nous pouvons relever que ce dernier ligand forme des complexes centrés sur un métallacycle à 6 chaînons (Mn/N5/C5/C4/C3/N3 visible dans la structure cristalline du complexe de Mn(II)-H₂O cristallisé) contrairement au ligand **enPI₂**, qui donne des complexes centrés sur un métallacycle à 5 chaînons. La préférence des métallacycles à 6 chaînons pour les cations métalliques de petit rayon cristallin est connue (voir la section 1.7 dans l'introduction). Or, la différence de rayon cristallin est marquée entre le Mn(II) (0,97 Å) et le Mn(III) (0,79 Å)^[108]. Ceci peut donc expliquer une

⁶Ces résultats soulignent l'intérêt d'utiliser un tampon non coordonnant comme les solutions de l'acide pipérazine-*N,N'*-éthanesulfonique (PIPES) et de ses bases conjuguées^[338].

⁷Le balayage à des valeurs plus élevées de potentiel montre également un pic irréversible à environ +0,45 V vs ECS, ce qui est également observé pour le Mn(II) libre (complexe hexaaqua) dans ce tampon, confirmant la présence d'une certaine quantité de Mn(II) libre en solution.

⁸Contrairement aux voltammogrammes des complexes de Cu(II) présentés à la section 3.2.3, la grande valeur de ΔE_p signifie qu'il y a vraisemblablement des changements structuraux importants lors de l'oxydation, comme il est attendu pour des couples redox impliquant le Mn(II) spin fort (d^5 , couche électronique demi-remplie, pas de préférence géométrique) et le Mn(III) spin fort (d^4 , sujet à l'effet Jahn-Teller).

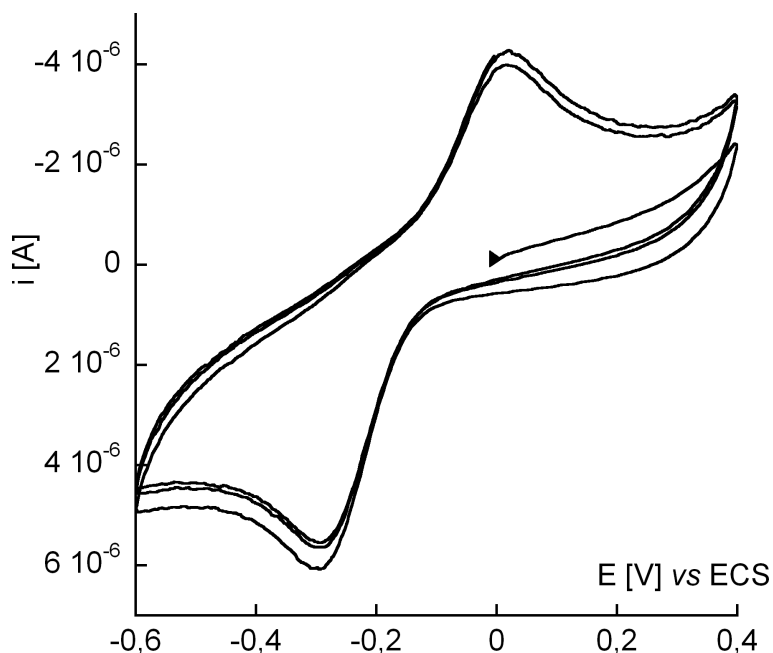


FIG. 4.11 – Voltammogrammes cycliques d'une solution contenant le complexe de Mn(III) du ligand $\text{MARNP}_2\text{NMe}\Phi$ oxydée à l'air (concentrations : voir figure 4.10) Vitesse de balayage 200 mV s^{-1} , cycle de balayage $0 \text{ V} \rightarrow +0,4 \text{ V} \rightarrow -0,6 \text{ V}$ (répété 3 fois), les électrodes et appareils utilisés sont donnés dans la partie expérimentale. Les trois cycles de balayage sont montrés et le point de départ ainsi que le sens de balayage sont indiqués.

oxydation plus facile à l'état Mn(III) pour l'espèce $[\text{Mn}(\text{MARNP}_2\text{NMe}\Phi)(\text{X})]^{n+}$ que pour l'espèce $[\text{Mn}(\text{enPI}_2)(\text{X})]^+$. La valeur du potentiel associée au couple Mn(II)/Mn(III) pour l'espèce $[\text{Mn}(\text{MARNP}_2\text{NMe}\Phi)(\text{X})]^{n+}$ reste néanmoins compatible avec la catalyse de la dismutation du superoxyde ($-0,40$ à $+0,65 \text{ V vs ECS}$, voir figure 4.1).

Le voltammogramme cyclique nous apporte, de plus, deux informations supplémentaires. En ayant imposé un potentiel de départ à 0 V vs ECS (au delà de $E_{1/2}$), aucun courant significatif n'a été observé pendant la période d'équilibration de 10 secondes. Comme il n'y a pas de vague d'oxydation au premier cycle de balayage, ceci signifie que l'espèce de Mn(II) associée à l'espèce $[\text{Mn}^{\text{III}}(\text{MARNP}_2\text{NMe}\Phi)(\text{X})]^{n+}$ n'est pas présente en solution. De plus, la présence d'une vague de d'oxydation à partir du deuxième cycle de balayage à un potentiel de pic anodique de $+20 \text{ mV vs ECS}$ indique que cette espèce de Mn(II) est stable en solution, du moins dans les quelques secondes que dure le cycle de balayage. Toutefois, une analyse par voltammétrie cyclique d'une solution de sel de Mn(II) et de $\text{MARNP}_2\text{NMe}\Phi\text{H}$ avant oxydation à l'air ne laisse apparaître aucun pic cathodique ou anodique entre $-0,5$ et $+0,5 \text{ V vs ECS}$. Ces observations indiquent que le complexe de Mn(II) généré lors du balayage en voltammétrie cyclique n'est pas présent en solution à une concentration significative en

solution lors de la réaction d'oxydation à l'air. Il se pourrait donc que l'espèce de Mn(II) initialement en solution présente un état de protonation d'une (éventuelle) molécule d'eau jouant le rôle de sixième ligand différent que dans l'espèce $[\text{Mn}^{\text{III}}(\text{MARNP}_2\text{NMe}\Phi)(\text{X})]^{n+}$ ou que la fonction phénol soit protonnée et non coordonnée au Mn(II)^[341].

4.5.2 Test de McCord-Fridovich

Stabilité du complexe de Mn(III) en présence de phosphate et EDTA

Nous avons vérifié que le spectre UV de la solution contenant le complexe de Mn(III) du ligand **MARNP₂NMeΦ** ne présentait aucun changement, mis à part une diminution proportionnelle de l'intensité, lors de la dilution dans une solution de tampon phosphate 50 mmol L⁻¹ (dans une plage de concentration de 2×10^{-5} à 10^{-4} mol L⁻¹). Cette dernière solution tampon est celle qui est habituellement utilisée dans le test de Mc-Cord Fridovich. Il n'est donc pas nécessaire d'utiliser un test modifié avec des conditions non coordonnantes (tampon PIPES^[338]), comme nous l'avons fait pour le complexe de Mn(II) de **enPI₂**^[314] en nous inspirant d'une publication de Fridovich et Archibald de 1982^[342]. De plus, la dilution du complexe dans une solution d'EDTA 2 mmol L⁻¹ ne résulte pas non plus en un changement de la forme du spectre (en une heure), bien que le complexes Mn(III)-EDTA soit très stable (les constantes d'association avec EDTA⁴⁻ ou HEDTA³⁻ sont toutes deux supérieures à 10^{23} ^[339]). Ceci indique que l'inertie ou la stabilité du complexe est suffisante pour réaliser un test de McCord Fridovich (quelques minutes) en présence d'EDTA. Notons que les complexes de Mn(III) de ligands de type salen ne sont pas tous résistants à la l'échange de ligands par l'EDTA (en fonction de la nature de la substitution sur le cycle phénol)^[308]. Cette résistance à la décoordination du ligand **MARNP₂NMeΦ** est d'intérêt pour notre étude puisque nous avons relevé précédemment que la solution oxydée à l'air ne contenait pas totalement une espèce de Mn(III), mais également des traces de complexes de Mn(II), ou de Mn(II) libre. Dans le dernier cas, en particulier, ceci est connu pour occasionner des résultats faussement positifs dans le test de McCord-Fridovich^[316]. En revanche, le complexe d'EDTA du Mn(II) est connu pour être inactif^[311]. Après quelques essais préliminaires, avec les marqueurs cytochrome C (cyt C) ou nitrobleu de tétrazolium (NBT), ayant montré une activité modeste du complexe ne permettant pas d'exclure une contribution significative à l'activité du Mn(II) libre, nous avons donc décidé de réaliser le test en présence d'EDTA, afin de ne mesurer que la contribution de l'espèce $[\text{Mn}^{\text{III}}(\text{MARNP}_2\text{NMe}\Phi)(\text{X})]^{n+}$.

Test avec le cyt C

En utilisant ce marqueur, aucune modification de la pente après ajout de la solution de complexe n'a pu être observée. Ce résultat négatif peut s'expliquer au regard du potentiel

redox du cyt C qui est de -0,012 V *vs* ECS à pH = 7. Ceci signifie qu'après la réduction par le superoxyde, le complexe de Mn du ligand **MARNP₂NMeΦ** peut réagir avec le cyt C-Fe(III). Si cette dernière réaction est plus rapide que celle entre le superoxyde et $[\text{Mn}^{\text{III}}(\text{MARNP}_2\text{NMe}\Phi)(\text{X})]^{n+}$, il n'y a pas de diminution nette de la production de cyt C-Fe(II) lors de l'ajout de marqueur (figure 4.12). Ce type d'artefact a déjà été relevé par d'autres équipes^[343].

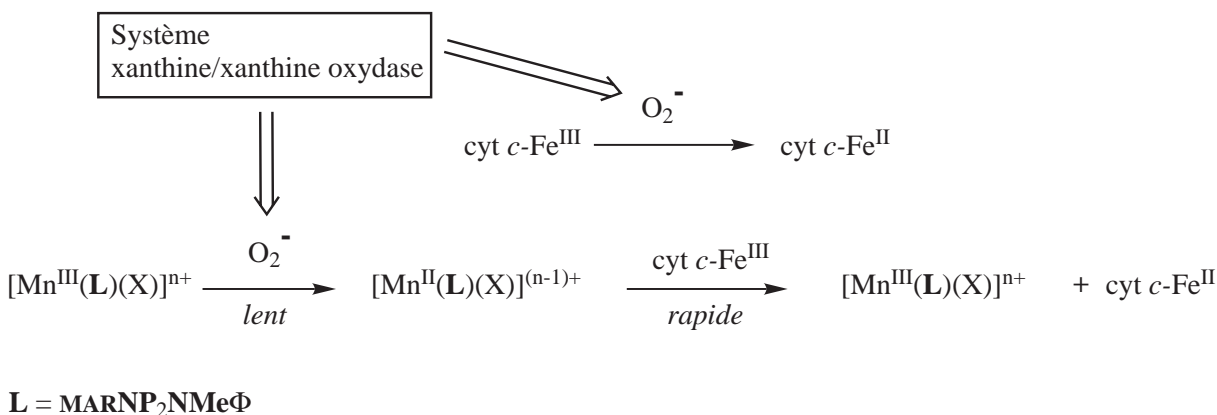


FIG. 4.12 – Réaction parasite avec le cytochrome C pouvant expliquer un résultat faussement négatif du test de McCord-Fridovich pour le complexe $[\text{Mn}^{\text{III}}(\text{MARNP}_2\text{NMe}\Phi)(\text{X})]^{n+}$.

Résultats d'inhibition avec le NBT

L'activité de type SOD du complexe de Mn(III) du ligand **MARNP₂NMeΦ** a été mesurée à l'aide du test de Mc-Cord Fridovich (tampon phosphate, pH=7,8, marqueur NBT 100 $\mu\text{mol L}^{-1}$) en présence d'EDTA (2 mmol L^{-1}). Les résultats expérimentaux de deux mesures réalisées indépendamment⁹ sont présentés dans la figure 4.13. Les résultats montrent une inhibition par le complexe de la réaction de réduction du cyt C-Fe(III) par le superoxyde avec des IC_{50} mesurés de $1,02 \pm 0,06 \times 10^{-5} \text{ mol L}^{-1}$ (point expérimentaux en rouge) et $1,06 \pm 0,07 \times 10^{-5} \text{ mol L}^{-1}$ (points expérimentaux en bleu)¹⁰. À l'aide de ces résultats la constante de vitesse recalculée k_{McCF} est de $5,8 \pm 0,2 \times 10^5 \text{ L mol}^{-1} \text{ s}^{-1}$. Cette constante de vitesse est très inférieure à celle associée aux meilleurs mimes de SOD (pour un tableau complet voir une publication récente de notre groupe^[312]).

Cette constante de vitesse est inférieure d'un ordre de grandeur à celle du complexe de Mn(II) du ligand **enPI₂** ($k_{\text{McCF}} = 7,0 \pm 0,3 \times 10^6 \text{ L mol}^{-1} \text{ s}^{-1}$)^[314]. Elle est caractéristique

⁹Avec des solutions mères de $[\text{Mn}^{\text{III}}(\text{MARNP}_2\text{NMe}\Phi)(\text{X})]^{n+}$ et de marqueur différents.

¹⁰Ces IC_{50} ont été calculés en considérant une conversion totale pour l'oxydation du Mn(II) en l'espèce $[\text{Mn}^{\text{III}}(\text{MARNP}_2\text{NMe}\Phi)(\text{X})]^{n+}$. Nous savons que ce n'est pas le cas. Il en résulte des IC_{50} légèrement surestimés et donc une valeur de k_{McCF} légèrement sous-estimée.

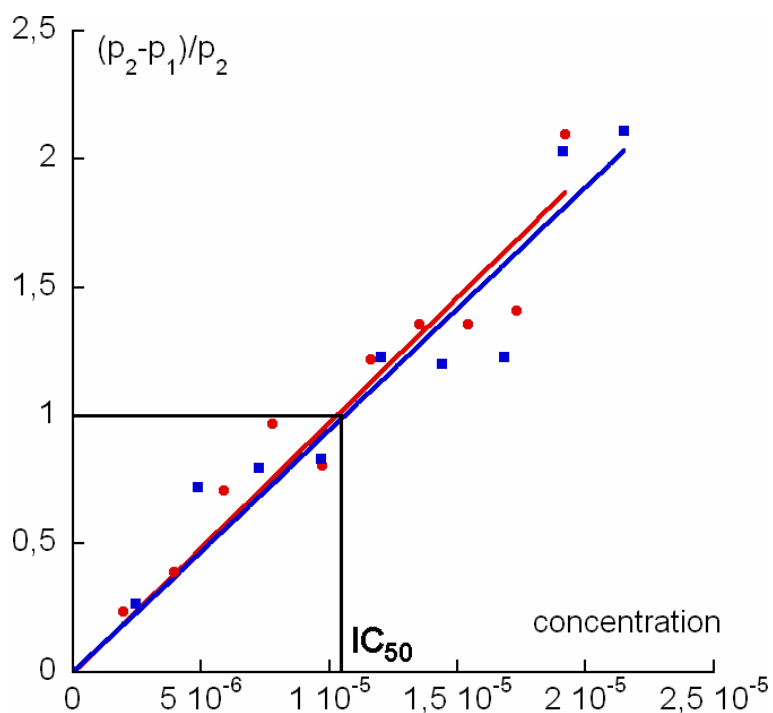


FIG. 4.13 – Résultats du test de McCord-Fridovich du complexe de Mn(III) de $\text{MARNP}_2\text{NMe}\Phi$. Les concentrations en abscisse sont les concentrations totales en manganèse.

de l'oxydation du superoxyde en dioxygène par l'espèce $[\text{Mn}^{\text{III}}(\text{MARNP}_2\text{NMe}\Phi)(\text{X})]^{n+}$. En effet, en raison de la faible activité du complexe, les concentrations mises en jeu pour atteindre l' IC_{50} sont telles que, lors d'une mesure, la majorité des espèces $[\text{Mn}^{\text{III}}(\text{MARNP}_2\text{NMe}\Phi)(\text{X})]^{n+}$ présentes en solution ne réagissent pas avec le superoxyde. Dans une publication récente, Batinić-Haberle *et al.* ont estimé que, pour tous les complexes présentant un $E_{\frac{1}{2}} < 0,4 \text{ V}$ vs ENH, la réaction est limitée par la réduction du complexe par le superoxyde^[64]. Au vu du potentiel redox du couple Mn(II)/Mn(III), il n'est dès lors pas surprenant que le complexe $[\text{Mn}^{\text{III}}(\text{MARNP}_2\text{NMe}\Phi)(\text{X})]^{n+}$ présente une activité moindre que celle du complexe de Mn(II) du ligand enPI_2 .

Perspectives

Le composé **MARNP₂NMeΦH** a été synthétisé comme un précurseur du premier exemple de glyco-complexe diamino à sphère de coordination aminophénolate. Ce glyco-complexe présente des analogies avec complexes mimes de SOD précédemment étudiés au laboratoire^[312, 314]. La méthode de synthèse utilisée pour **MARNP₂NMeΦH** est fondée sur l'utilisation de la réactivité de la position primaire C5 du châssis ribofurannose pour différencier les fonctions amine. Ceci aboutit à l'obtention d'un complexe centré sur un métallacycle à 6 chaînons, ce qui stabilise excessivement le Mn(III) dans la perspective d'une utilisation comme composé antiperoxyde. Afin d'augmenter le potentiel redox une substitution de la fonction phénol par des groupements attracteurs (halogènes, -N(CH₃)₃⁺, NO₂) est envisageable. Ceci a déjà été réalisé sur un groupement phénol dans une série de complexes de manganèse avec des ligands de type tri-salicylimine *cis,cis*-1,3,5-triaminocyclohexane^[344, 345]) et sur les groupements pyridine dans le cas d'une série de complexes de fer dérivés du ligand tpen^[319]. Une autre voie d'investigation future pourrait être une modification de la stratégie de synthèse afin de centrer le complexe sur un métallacycle à 5 chaînons.

Conclusion générale

Ce travail s'est voulu une poursuite de l'exploration de l'interface entre la glycochimie et la chimie de coordination à travers la synthèse et l'étude structurale et spectroscopique de complexes de coordination de cations divalents de métaux $3d$. Les concepts et les méthodes utilisés dans cette étude ont été empruntés aux deux disciplines.

La richesse synthétique de la glycochimie a pu être mise à profit pour réaliser de façon la plus simple possible des synthèses de ligands à l'échelle du gramme (ou supérieure), ce qui nous a permis de disposer de suffisamment de matière pour réaliser les nombreux essais de complexation nécessaires à notre investigation et donc disposer de 22 nouvelles structures cristallines de glycocomplexes sur lesquelles nous avons fondé une partie de nos raisonnements.

Glycocomplexes triéther

La famille des glycoligands triéther a été élargie avec la synthèse de nouveaux ligands trifonctionnalisés par des fonctions 2-picolyle : les ligands **Gal^{it}P₃**, **Gal^{dOMe}P₃**, **MAGP₃**, **LyxP₃**, **ManP₃Bn**, et **RibP₃**.

La grande variété de complexes de cations divalents de métaux $3d$ isolée et caractérisée structuralement a permis, d'une part, de préciser les critères stéréochimiques et conformationnels nécessaires pour la chélation de toutes les fonctions éther de picolyle du ligand et, d'autre part, de dégager des tendances structurales pour l'évolution de la géométrie de coordination en fonction de la nature du cation métallique. Pour un ligand donné, tous les complexes des ions de Fe(II) à Zn(II) caractérisés se sont révélés quasi-isostructuraux mettant en évidence un transfert de la chiralité du châssis sucré à l'enroulement hélicoïdal des fonctions éther de picolyle autour du cation métallique (sauf dans le cas des complexes du ligand quasi-symétrique **RibP₃**).

L'étude, par la spectroscopie de dichroïsme circulaire, des transitions $d-d$ des complexes de Co(II) et de Ni(II) a permis de dégager des corrélations empiriques entre la structure cristalline des complexes et le signal observé. La conformation du métallacycle 6 chaînons, qui est imposée par le glycoligand détermine le type de signal observé. Le signe des signaux a pu être corrélé avec le sens de l'enroulement hélicoïdal des fonctions éther de picolyle dans les structures cristallographiques, confirmant l'induction de la chiralité hélicoïdale par le glycoligand chiral.

Les paramètres thermodynamiques de formation des complexes du ligand **RibP₃** ont été mesurés par des titrations microcalorimétriques isothermes. Leur comparaison avec les paramètres de complexation du ligand analogue acyclique **glyP₃** a permis de mettre en évidence la stabilisation supplémentaire induite par la structure cyclique, variable selon la nature du cation métallique. La stabilisation s'est révélée maximale pour le cation de rayon cristallin le plus élevé de la série étudiée, le Mn(II).

Glycocomplexes aminoéther et diamino

Un nouveau type de glycoligands construits à partir d'aminodésoxy-sucres a été étudié. La fixation des substituants sur l'atome d'azote a été réalisée par une procédure d'amination réductrice dans le cadre de laquelle la possibilité d'hétérofonctionnalisation a été mise en évidence.

Les ligands neutres **MAXP**₃ et **MARP**₃ se sont avérés des ligands adaptés pour la complexation du Cu(II). Ces deux ligands épimères ont abouti à des complexes quasi-énantiomères d'après les structures aux rayons X et l'analyse des spectres de dichroïsme circulaire, mettant en évidence de nouveau la prédétermination des éléments stéréogènes des complexes par le choix du glycoligand. Ceci a été rendu possible par les préférences conformationnelles des cycles pentofurannose des ligands mettant en évidence le lien entre l'obtention de complexes chiraux de configuration prévisible et l'inflexibilité conformationnelle du ligand monosaccharidique.

À la fin de cette thèse, un complexe de manganèse(II) comportant un ligand construit par fonctionnalisation par des groupement pyridine et phénolate d'une structure centrale de type aminodésoxy-sucre a été synthétisé et caractérisé structuralement. Ce complexe s'est avéré s'oxyder en solution aqueuse, vraisemblablement en un complexe mononucléaire de Mn(III). Celui-ci est stable pendant quelques jours en solution aqueuse, même en présence d'EDTA, mettant en évidence une stabilité et/ou une inertie souhaitables pour des applications dans les milieux biologiques. L'activité de type superoxyde dismutase de ce complexe, mesurée par le test indirect de McCord-Fridovich s'est avérée être plutôt modeste, mais nous considérons ces résultats encourageants en raison du caractère non optimisé du ligand étudié. Ces études se sont inscrites dans un projet plus vaste initié depuis de nombreuses années au laboratoire visant à synthétiser des complexes à activité superoxyde dismutase comme molécules d'intérêt thérapeutique.

Les études présentées dans le cadre de cette thèse ont mis en évidence que les glyco-complexes permettaient des synthèses diastéréosélectives de complexes de métaux de transition. L'avantage de la famille des glycoligands est l'accès à divers types de modulations de la stéréochimie du site de coordination par l'adaptation de la nature du châssis sucré conformationnellement inflexible. Il serait donc intéressant d'utiliser des glycoligands, avec éventuellement une variation des fonctions chélatantes et de la denticité, pour les diverses applications des ligands chiraux que nous avons mentionnées dans l'introduction, en particulier la catalyse asymétrique et la construction d'édifices supramoléculaires.

Annexes

A.1 Méthodes générales

Les **réactifs et solvants** ont été achetés aux sociétés Acros, Aldrich et Sigma et ont été utilisés sans purification supplémentaire, sauf indication contraire. Les réactions nécessitant des conditions anhydres ont été conduites sous atmosphère d'argon dans des solvants fraîchement distillés. La pyridine a été distillée sur KOH, le dichlorométhane sur CaH₂, le MeOH sur Mg/I₂.

Les **spectres RMN** ont été enregistrés à l'aide de spectromètres Bruker DRX 400, AV 360, DRX 300 et DPX 250. La fréquence de Larmor des noyaux de ¹H et de ¹³C est indiquées pour chaque spectre. Les abréviations suivantes seront utilisées pour décrire les spectres de RMN-¹H : s = singulet, d = doublet, t = triplet, q = quartet, p = pentuplet, m = massif. Dans le cas particulier de signaux issus de couplages d'intensité semblable une notation mentionnant l'aspect phénoménologique du signal sera utilisée : par exemple, dd~t signifie un signal issu du couplage avec deux protons non équivalents ayant l'apparence d'un triplet. Les constantes de couplage, exprimées en Hz, seront présentées lorsqu'il a été possible de les mesurer sur le spectre de RMN-¹H. Une attention particulière a été consacrée à la caractérisation des nouveaux produits, les signaux ont été attribués en faisant appel à diverses techniques de RMN mono- et bidimensionnelles (DEPT, COSY ¹H-¹H, HSQC ¹H-¹³C) visant à lever les ambiguïtés lors de l'attribution des pics. La mention (*n*C) dans les spectres RMN du carbone signifie que *n* carbones chimiquement non-équivalents présentent des signaux confondus. La caractérisation des produits déjà publiés a été réalisée uniquement de façon à vérifier la nature du produit.

Les **spectres de masse** en mode électrospray (SM-ES) ont été réalisés par Karine Leblanc et Félix Perez au service de spectrométrie de masse de l'ICMMO. L'appareil utilisé est un Finnigan MAT95S en configuration BE #. Les spectres ont été réalisés à basse résolution dans un mélange de solvants MeOH/CH₂Cl₂/H₂O (6:5:2), sauf indication contraire. Dans le cas des complexes métalliques, il a été vérifié que le motif isotopique des pics était compatible avec l'attribution proposée.

Les **spectres infrarouge** des complexes isolés à l'état solide et des ligands précurseurs ont été réalisés sur un spectromètre à transformée de Fourier Bruker IFS 66. Tous les spectres ont été réalisés pour des dispersions dans des pastilles de KBr. Dans le cadre de cette étude, l'utilité de cette analyse est de vérifier la présence du ligand et des contre-ions attendus dans les solides.

Les **spectres UV-visible** et les cinétiques du test de McCord-Fridovich ont été réalisés sur un Cary 300 bio.

Les spectres de **dichroïsme circulaire** ont été mesurés à l'Institut Curie dans l'équipe de Constantin Craescu sur un spectropolarimètre Jasco J-710 à la température de 20°C (bloc Peltier Jasco PTC-348WI). Ils ont été mesurés pour des solutions EtOH/acétone 1:1 d'absorbance 0,1-0,5 (les mesures sont réputées fiables pour une tension du détecteur inférieure à 700 V) dans une cuve de 1 cm de trajet optique (cuve de 1,5 mL à bords noirs) à la vitesse de 100 nm min⁻¹ (50 nm min⁻¹ pour les spectres réalisés sur des pastilles de KBr de cristaux broyés). Les spectres en solution sont corrigés par soustraction d'une ligne de base (spectre d'une cuve contenant le solvant) réalisée dans les mêmes conditions. Dans le cas des spectres en phase solide, la pastille est montée sur un petit support à ressort.

Les expériences d'**électrochimie** (voltammétrie cyclique) ont été réalisées sur un potentiostat électronique Autolab relié à une cellule électrochimique à trois électrodes (électrode de travail : carbone vitreux, contre-électrode : fil de Pt, électrode de référence : électrode au calomel saturé).

Les spectres **RPE** en bande X ont été enregistrés par Guillaume Blain à l'ICMMO, sur un Bruker Elexys 500. Les courbes simulées ont été réalisées à l'aide du logiciel XSophe^[346].

Les **titrages calorimétriques isothermes** (*isothermal titration calorimetry, ITC*) ont été réalisées à l'IBBMC par Magali Nicaise dans l'équipe de Michel Desmadril sur un appareil VP-ITC (MicroCal). L'appareil contient deux cuves (échantillon et référence). La cuve de l'échantillon est remplie de 1,423 mL de la solution éthanolique à titrer et la cuve de référence du même volume d'éthanol absolu. L'appareil inclut également une seringue automatique d'une contenance de 250 μL qui sert à injecter des volumes choisis de la solution titrante à intervalles réguliers.

Avant de réaliser les injections, après équilibration, le flux de chaleur entre les deux cuves est constant (ceci constitue la ligne de base). On réalise des injections successives de 3 μL toutes les 180 s. La cuve de l'échantillon est maintenue à la même température que la cuve de référence. L'appareil mesure de façon continue le flux de chaleur entre les deux cuves.

Chaleur de réaction : si la variation d'enthalpie associée au processus étudié n'est pas nulle, l'injection résulte en un échauffement ou un refroidissement de la solution présente dans la cuve de mesure, il s'en suit une modification du flux de chaleur entre les deux cuves. L'intégrale du flux de chaleur corrigé de la ligne de base est la chaleur reçue (dans le cas d'une réaction exothermique) ou donnée (réaction endothermique) par la cuve de référence qui est proportionnelle à l'enthalpie de réaction.

Constante de dissociation K_d : si les solutions sont choisies pour que chaque injection corresponde à une faible quantité du composé titrant par rapport au composé présent dans la cuve de mesure, il est possible de déduire la constante d'équilibre du graphique de l'intégrale de chaque pic en fonction du nombre d'équivalents de titrant ajoutés. En effet, la forme de cette courbe dépend de la conversion à chaque injection, qui dépend elle-même de la constante d'équilibre.

Optimisation des conditions expérimentales : un compromis doit être trouvé entre un nombre d'injections le plus grand possible pour avoir la plus grande précision possible dans la détermination de K_d et la nécessité d'avoir un signal suffisamment intense pour que chaque mesure réalisée par l'appareil soit précise. Il faut également veiller à poursuivre le titrage jusqu'à une conversion approchant de la totalité et se placer de préférence dans des rapports de concentration solution titrante/solution titrée tels que les premières injections aboutissent à la conversion totale du titrant en le produit de la réaction (plateau dans le graphique de l'intégrale de chaque pic en fonction du nombre d'équivalents de titrant ajoutés). Pour les raisons ci-dessus, les différents titrages ne sont pas directement comparables puisqu'elles ont été réalisées dans des concentrations variant entre 2×10^{-5} et 1×10^{-3} mol L^{-1} pour la solution dans la cuve de mesure et 5×10^{-4} et 2×10^{-2} pour la solution titrante.

Les paramètres thermodynamiques ont été extraits des données expérimentales à l'aide du logiciel Microcal ORIGIN.

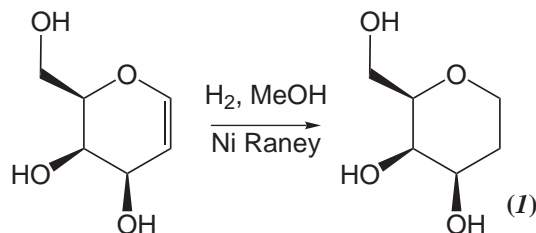
Études cristallographiques. La diffraction des rayons X sur monocristaux a été réalisée par Régis Guillot à l'ICMMO. L'appareil utilisé est un diffractomètre Bruker Kappa X8 avec un détecteur APPEX II et un monochromateur au graphite. La radiation utilisée est la raie $\text{MoK}\alpha$ ($\lambda = 0,71073 \text{ \AA}$). La température du cristal a été maintenue à 100 K à l'aide d'une cryosystème soufflant à azote (700 series Cryostream) avec une précision de $\pm 1 \text{ K}$. Les données ont été corrigées pour tenir compte des effets de Lorentz, de polarisation et d'absorption. Les structures ont été résolues par des méthodes directes en utilisant SHELXS-97^[347] et affinées avec SHELXL-97^[348] sur $I = F^2$ par la méthode des moindres carrés. Les atomes d'hydrogène ont été localisés sur une carte de différence Fourier et introduits dans les calculs suivant un modèle géométrique (distances de liaison de l'hydrogène fixées en fonction de l'atome auquel l'hydrogène est lié et de l'hybridation de ce dernier) avec des paramètres d'agitation thermique isotropes. Les calculs ont été réalisés en utilisant la suite de logiciels WINGX^[349]. Les structures cristallographiques sont présentées dans le cadre de cette thèse en tant que diagrammes d'ellipsoïdes illustrant les agitations thermiques. Ces illustrations ont été réalisés avec le logiciel CCDC Mercury^[350]. Les paramètres de *puckering* et les distances entre atomes non coordonnés ont été déterminés grâce au logiciel Platon^[351].

Les **microanalyses** ont été réalisées à l'ICSN (Gif-sur-Yvette) pour C, H et N et au service central d'analyse du CNRS (Vernaison) pour les autres éléments. Les ligands et leurs complexes métalliques ont été caractérisés par analyse élémentaire, afin de vérifier leur pureté.

A.2 Synthèse des glycoligands triéther

A.2.1 1,5-anhydro-2-désoxy-D-galactitol (*1*)

Référence : Overend *et al.*, *J. Chem. Soc.*, **1950**, 671^[158].



Réactif	M [g mol ⁻¹]	n [mmol]	m [g]	solvant
D-galactal	146,14	0,5	3,4	méthanol 25 mL
H ₂	2,00	p. atm.		
Ni-Raney		cat.		

Le D-galactal est dissous dans le méthanol et cette solution est hydrogénée à température ambiante et à pression atmosphérique pendant 4 heures (au bout de ce temps, le volume d'hydrogène consommé indique une conversion totale). Le mélange réactionnel est filtré et les solvants sont évaporés pour obtenir (*1*) quantitativement.

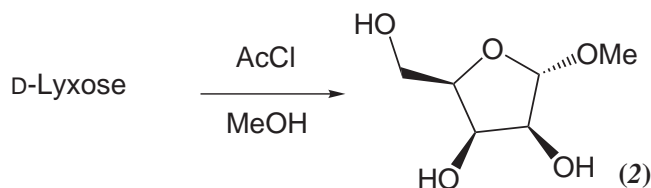
RMN-¹H (300 MHz, CD₃OD) : 3,98 (ddd, 1H, ² $J_{1a,1b}$ = 11,7 Hz, ³ $J_{1a,2a}$ = 5,0 Hz, ³ $J_{1a,2b}$ = 1,4 Hz, H1a) ; 3,79-3,71 (m, 4H, H3, H4, H6a, H6b) ; 3,50 (ddd~*td*, 1H, ² $J_{1a,1b}$ = 11,7 Hz, ³ $J_{1b,2a}$ = 11,0 Hz, ³ $J_{1b,2b}$ = 2,3 Hz, H1b) ; 3,36 (m, 1H, H5) ; 2,25 (dddd~*qd*, 1H, ² $J_{2a,2b}$ = 12,6 Hz, ³ $J_{2a,3}$ = ³ $J_{1b,2a}$ = 11,0 Hz, ³ $J_{1a,2a}$ = 5,0 Hz, H2a) ; 1,87 (dm, 1H, ² $J_{2a,2b}$ = 12,6 Hz, H2b).

RMN-¹³C (75 MHz, CD₃OD) : 79,5 (C5) ; {69,3, 68,4} (C3, C4) ; 65,7 (C1) ; 62,0 (C6) ; 28,7 (C2).

SM-ES : $\frac{m}{z}$ (intensité %) : 169,1 [M+Na]⁺ (100).

A.2.2 α -D-lyxofurannoside de méthyle (2)

Référence : Veeneman *et al.*, *Tetrahedron.*, **1989**, 45, 7433^[159].



Réactif	M [g mol ⁻¹]	n [mmol]/éq	m [g]	solvant
D-lyxose	150,1	20/1	3	60 mL MeOH anhydre
AcCl	140,6	4,2/0,21	0,333 g (0,3 mL)	

Une solution d'acide chlorhydrique anhydre dans le méthanol est générée en faisant réagir le chlorure d'acétyle avec le méthanol anhydre. Le sucre est ajouté à cette solution. 24h plus tard, le mélange réactionnel est neutralisé avec de la résine Amberlyte IRA 400 (OH⁻). Après filtration et concentration, 3,25 g (rdt : quantitatif) d'une huile incolore sont obtenus. Comme dans la publication originale, cette huile contient majoritairement le produit voulu. La purification a lieu après l'étape de 2-picolylation.

RMN-¹H (250 MHz, CD₃OD) : 4,65 (d, 1H, ³J_{1,2} = 2,4 Hz, H1) ; 4,00-3,80 (m, 3H, H3, H4, H2) ; 3,50 (m, 2H, H5a, H5b) ; 3,23 (Me).¹¹

RMN-¹³C (62,5 MHz, CD₃OD) : 109,6 (C1) ; 81,3 (C4) ; 77,0 (C2) ; 72,2 (C3) ; 61,5 (C5) ; 55,6 (Me).

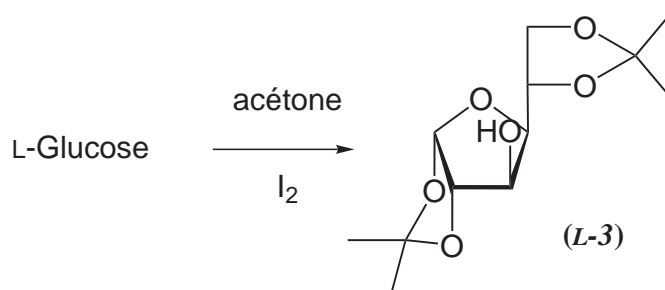
SM-ES : $\frac{m}{z}$ (intensité %) : 187,1 [M+Na]⁺ (100).

¹¹Comme décrit dans la publication originale, d'autres glycosides sont formés de façon minoritaire. Ceci complique l'interprétation du spectre RMN-¹H. D'après l'intégrale des signaux du H1, il y a deux produits secondaires dans des proportions de 5 et de 10% environ.

A.2.3 Châssis de type glucofurannose

Synthèse du 1,2:5,6-*O*-diisopropylidène- α -L-glucofurannose (**L-3**)

Référence : K. P. R. Kartha, *Tet. Lett.*, **1986**, 27, 3415^[162].



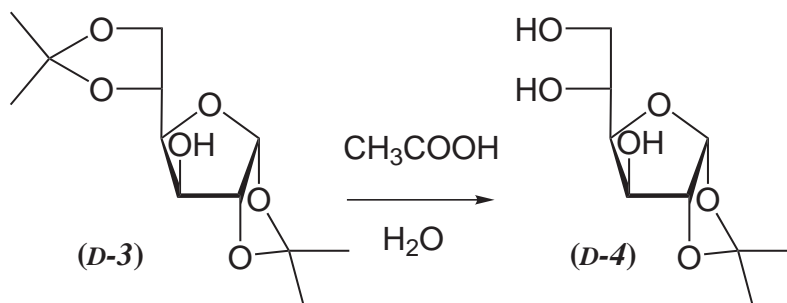
Réactif	M [g mol ⁻¹]	n [mmol]/éq	m [g]	solvant
L-glucose	180,4	2,2/1	0,40	
I ₂	253,8	0,47/0,21	0,12	20 mL acétone

Le sucre est suspendu dans une solution de diiode dans l'acétone. La suspension résultante est agitée vigoureusement jusqu'à dissolution complète du sucre, ce qui indique également la fin de la réaction. Le diiode est réduit avec une solution 1 M de Na₂S₂O₃, qui est ajoutée jusqu'à disparition de la couleur brune. L'acétone est évaporée sous vide. La phase aqueuse est extraite avec 3*20mL de dichlorométhane. Les phases organiques réunies sont séchées (Na₂SO₄). 0,40g (rdt=70%) de (**L-3**) (solide blanc) sont obtenus après évaporation sous vide.

RMN-¹H (360 MHz, CDCl₃) : 5,96 (d, 1H, ³J_{1,2} = 3,6 Hz, H1) ; 4,54 (d, 1H, ³J_{1,2} = 3,6 Hz, H2) ; 4,36 (m, 2H, H3 et H5) ; 4,17 (dd, 1H, ²J_{6a,6b} = 9,6 Hz, ³J_{5,6a} = 6,2 Hz, H6a) ; 4,08 (dd, 1H, ³J_{4,5} = 7,5 Hz, ³J_{3,4} = 2,8 Hz, H4) ; 3,98 (dd, 1H, ²J_{6a,6b} = 9,6 Hz, ³J_{5,6b} = 5,4 Hz, H6b) ; {1,50, 1,41, 1,37, 1,32}, (4*s, 4*3H, Me_{iP}).

RMN-¹³C (90 MHz, CDCl₃) : {111,8, 109,4} (C_{quatIP}) ; 105,0 (C1) ; 85,0 (C2) ; 81,3 (C4) ; 75,3 (C3) ; 73,5 (C5) ; 67,7 (C6) ; {27,0, 26,8, 26,3, 25,2} (Me_{iP}).

SM-ES : $\frac{m}{z}$ (intensité %) : 261,2 [M+H]⁺ (41) ; 283,2 [M+Na]⁺(100).

Synthèse des formes D et L du 1,2-*O*-isopropylidène- α -glucofuranose (**D-4**) et (**L-4**)Référence : Gramera *et al.*, *J. Org. Chem.*, 28, 1963, 3230^[160].

Réactif	M [g mol ⁻¹]	n [mmol]/éq	m [g]
(D-3)	260,3	76,8/1	20,0
Acide acétique	60,02	excès	19,1 (20 mL)
eau	18,00	excès	6 (6 mL)

(**D-3**)¹² est dissous dans le mélange d'acide acétique/eau. La solution est mise à évaporer dans un cristalliseur pendant une nuit. Il se forme une croûte cristalline qui est cassée à l'aide d'une spatule. Le solide blanc est laissé sécher pendant une nuit dans un dessiccateur en présence de P₂O₅ puis est recristallisé (200 mL d'AcOEt bouillant, refroidissement à 0 °C pendant 2 heures). Les cristaux de (**D-4**) sont essorés et lavés plusieurs fois avec de l'AcOEt à 0 °C. Masse isolée : 13,2 g (rdt = 77 %).

Caractérisations pour (**D-4**) :

P.f : 157-160, °C (Litt. 161 °C).

RMN-¹H (200 MHz, CD₃OD) : 5,99 (d, 1H, ³J_{1,2} = 3,7 Hz, H1) ; 4,58 (d, 1H, ³J_{1,2} = 3,7 Hz, H2) ; 4,30 (d, 1H, ³J_{3,4} = 2,6 Hz, H3) ; 4,05 (dd, 1H, ³J_{4,5} = 9,0 Hz, ³J_{3,4} = 2,6 Hz, H4) ; 3,90 (m, 1H, H5) ; 3,75 (m, 1H, H6a) ; 3,60 (dd, 1H, ²J_{6a,6b} = 12,0 Hz, ³J_{5,6b} = 5,8 Hz, H6b) {1,50, 1,35}, (2*s, 2*3H, Me_{iP}).

RMN-¹³C (50 MHz, CD₃OD) : 113,4 (C_{quatIP}) ; 105,2 (C1) ; 85,1 (C2) ; 80,1 (C4) ; 74,4 (C3) ; 70,2 (C5) ; 64,3 (C6) ; {26,0, 25,1} (Me_{iP}).

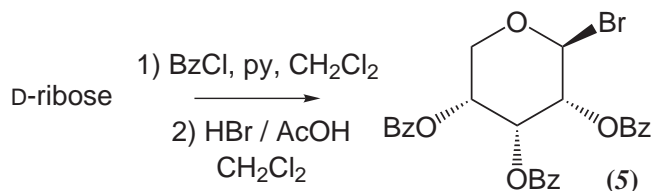
SM-ES : $\frac{m}{z}$ (intensité %) : 283,2 [M+Na]⁺ (100).

Cette synthèse a été également réalisée pour (**L-4**) sur une quantité initiale de (**L-3**) de 0,35 g (1,35 mmol). Le solide blanc brut, obtenu avec un rendement quantitatif après évaporation pendant 2 jours de la solution d'acide acétique, a été séché sous vide. Il est pur d'après la RMN.

¹²Contrairement à la forme L, il s'agit d'un produit commercial.

A.2.4 Synthèse en 4 étapes du β -D-ribofuranose de méthyle (7)

Références : Jeanloz *et al.*, *J. Am. Chem. Soc.*, **1948**, *70*, 4052^[164]. Jeanloz *et al.*, *J. Am. Chem. Soc.*, **1948**, *70*, 4055^[165].

bromure de 2,3,4-tri-*O*-benzoyl- β -D-ribofuranose (5)

Réactif	M [g mol ⁻¹]	n [mmol]/éq	m [g]	solvant
D-ribose	150,1	53,29	8,0	
BzCl	140,6	excès (60 mL)		1) 45 mL py, 160 mL CH ₂ Cl ₂
HBr*	80,91	excès (60 mL)		2) 30mL CH ₂ Cl ₂

* solution à 30% dans AcOH glacial

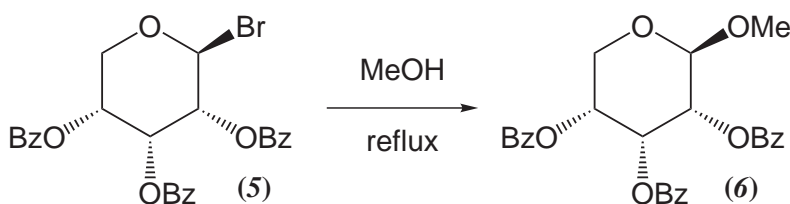
Le chlorure de benzoyle et les solvants sont mélangés à -20°C (bain d'éthanol refroidi à l'aide d'azote liquide). Le sucre finement broyé est suspendu dans cette solution qui est agitée deux heures à 0°C, puis 6 heures à TA. Le mélange réactionnel est ensuite versé sur 200 mL d'eau glacée. 200 mL de CH₂Cl₂ sont ajoutés au mélange. La phase organique est décantée, lavée 2 fois avec 80 mL d'H₂SO₄ 3M, puis 2 fois avec 80 mL d'une solution aqueuse saturée de NaHCO₃ et finalement avec 80 mL d'eau. Après séchage et évaporation, 30,1 g d'une huile très visqueuse sont obtenus (rendement quantitatif). D'après la publication originale, cette huile contient les formes α - et β -pyranose du produit de tétrabenzoylation.

L'huile obtenue est dissoute dans le dichlorométhane. La solution de HBr dans l'acide acétique glacial est ajoutée avec précaution. On laisse réagir deux heures à température ambiante. La majorité de l'acide acétique est enlevé par évaporation azeotropique (3*100 mL de toluène). On redissout le sirop semi-cristallin résultant dans 300 mL de CH₂Cl₂. On lave 3 fois avec 100 mL d'une solution de Na₂CO₃, puis avec 3 fois 100 mL d'eau. On concentre jusqu'à $\frac{1}{10}$ du volume initial et on ajoute un mélange de 300 mL de *n*-pentane et 120 mL d'éther. Le produit cristallise en quelques heures au réfrigérateur. Les cristaux blancs sont essorés et lavés avec de l'éther froid et du *n*-pentane et séchés sous vide. La solution mère est concentrée et un mélange de 100 mL de pentane et 40 mL d'éther y est ajouté. On essore à nouveau les cristaux obtenus. On obtient en tout 20,8 g du produit voulu (rdt = 56%, depuis le D-ribose).

RMN-¹H (300 MHz, CDCl₃) : {8,06 (m, 3H), 7,87 (d, 2H, $J = 7,1$ Hz), 7,59 (m, 2H), 7,51 (t, 1H, $J = 7,5$ Hz), 7,33 (m, 7H)} (H_{ar}); 6,70 (d, 1H, $^3J_{1,2} = 0,9$ Hz, H1); 6,15 (dd~t, 1H, $^3J_{2,3} = ^3J_{3,4} = 4,1$ Hz, H3); 5,80 (m, 2H, H2, H4); 4,53 (dd, 1H, $^2J_{5a,5b} = 13,9$ Hz, $^3J_{4,5a} = 0,9$ Hz, H5a); 4,35 (dd, 1H, $^2J_{5a,5b} = 13,9$ Hz, $^3J_{4,5b} = 1,3$ Hz, H5b).

RMN-¹³C (75 MHz, CDCl₃) : (166,1, 165,8, 165,0) (C_{quatCO}); (133,5, 133,4, 133,3) (C_{pBz}); (130,1, 130,0, 129,8) (C_{oBz}); (129,7, 129,2, 129,1) (C_{quatBz}); 128,4(6C) (C_{mBz}); 85,8 (C1); {71,2, 66,9, 65,5} (C2, C3, C4); 64,5 (C5).

2,3,4-tri-*O*-benzoyl-β-D-ribofuranoside de méthyle (**6**)



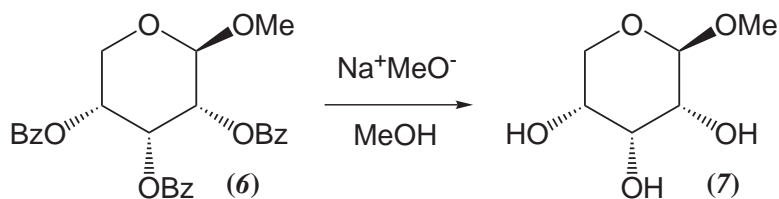
Réactif	M [g mol ⁻¹]	n [mmol]	m [g]
(5)	525,3	71,1	2
MeOH	32,04	excès	20 mL

Le dérivé (**5**) est suspendu dans le méthanol anhydre. Il est chauffé à reflux jusqu'à dissolution (quelques minutes). Le produit (**6**) cristallise à froid en quelques heures. Les cristaux sont essorés à froid et lavés avec un peu de méthanol à -20°C. La solution mère est concentrée jusqu'à environ $\frac{1}{4}$ du volume et une seconde fraction de (**6**) cristallise à froid. Les cristaux sont isolés comme précédemment. La masse isolée totale est 1,40 g (rdt : 76%).

RMN-¹H (360 MHz, CDCl₃) : {8,06 (m, 4H), 7,87 (d, 2H, $J = 7,7$ Hz), 7,53 (m, 3H), 7,32 (m, 6H)} (H_{ar}); 5,84 (dd~t, 1H, $^3J_{2,3} = ^3J_{3,4} = 3,8$ Hz, H3); 5,64 (dd, 1H, $^3J_{2,3} = 3,8$ Hz, $^3J_{1,2} = 2,3$ Hz, H2); 5,54 (m, 1H, H4); 5,04 (d, 1H, $^3J_{1,2} = 2,3$ Hz, H1); 4,27 (dd, 1H, $^2J_{5a,5b} = 13,0$ Hz, $^3J_{4,5a} = 2,1$ Hz, H5a); 4,12 (dd, 1H, $^2J_{5a,5b} = 13,0$ Hz, $^3J_{4,5b} = 2,8$ Hz, H5b); 3,54 (s, 3H, Me).

RMN-¹³C (90 MHz, CDCl₃) : (166,3, 166,0, 165,2) (C_{quatCO}); (133,2, 133,1(4C)) (C_{pBz}); (130,0, 129,9, 129,7) (C_{oBz}); (129,7, 128,8, 128,7) (C_{quatBz}); 128,4(6C) (C_{mBz}); 99,5 (C1); (68,7, 67,7, 66,2) (C2, C3, C4); 61,1 (C5); 55,7 (Me).

SM-ES : $\frac{m}{z}$ (intensité %) : 476,2 [M+H]⁺ (21), 499,2 [M+Na]⁺ (100).

β -D-ribopyrannoside de méthyle (7)

Réactif	M [g mol ⁻¹]	n [mmol]/éq	m [g]	solvant
(6)	476,4	6,30/1	3	MeOH anh.
Na	23,00	0,63/0,1	0,015	50 mL

Le dérivé (6) est suspendu dans le méthanol anhydre. Le sodium est ajouté. Au bout de trois heures, la réaction est complète (CCM AcOEt/CH 1:9). On neutralise avec de la résine Dowex H⁺ jusqu'à un pH de 5-6, la résine est filtrée et le solvant évaporé. Le résidu est repris avec 50 mL d'eau distillée (le dérivé (7) est soluble en phase aqueuse contrairement au benzoate de méthyle). On extrait deux fois avec 50 mL de CH₂Cl₂. La phase organique est lavée 2 fois à l'eau. Les phases aqueuses sont réunies et évaporées sous vide. Le résidu obtenu est séché dans un dessiccateur sous vide en présence de P₂O₅. 900 mg (rdt : 87%) d'un sirop très visqueux sont obtenus.

RMN-¹H (300 MHz, CD₃OD) : 4,63 (d, 1H, ³J_{1,2} = 3,7 Hz, H1) ; 3,83 (dd~t, 1H, ³J_{2,3} = ³J_{3,4} = 3,0 Hz, H3) ; 3,77 (m, 2H, H4, H5a) ; 3,68 (dd, 1H, ²J_{5a,5b} = 12,1 Hz, ³J_{4,5b} = 5,1 Hz, H5b) ; 3,57 (m, 1H, H2) ; 3,42 (s, 3H, Me).

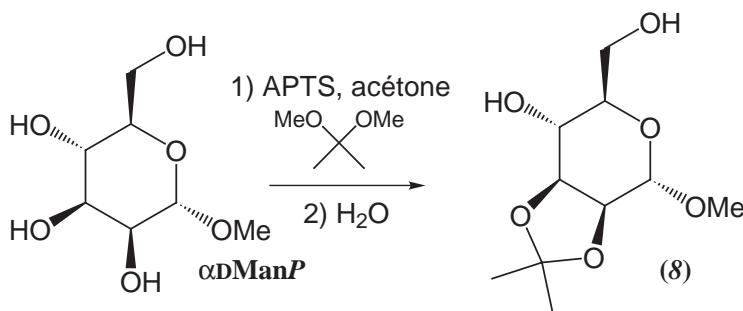
RMN-¹³C (75 MHz, CD₃OD) : 100,3 (C1) ; {71,1, 69,6, 65,9} (C2, C3, C4) ; 63,0 (C5) ; 55,4 (OMe).

SM-ES : $\frac{m}{z}$ (intensité %) : 187,1 [M+Na]⁺ (100).

A.2.5 Synthèse en 4 étapes du 4-*O*-benzyl- α -D-mannopyrannoside de méthyle

Références : Evans *et al.*, *Carb. Res.*, **1977**, 54, 105^[169]. Rao et Roy, *Ind. J. Chem.*, **1980**, 19b, 161^[168].

2,3-*O*-isopropylidène- α -D-mannopyrannoside de méthyle (**8**)



Réactif	M [g mol ⁻¹]	n [mmol]/éq	m [g]	solvant
α DManP*	194,2	77,2/1	15	
APTS.H ₂ O	190,2	8,76/0,11	3	acétone 250 mL
2,2-DMP*	104,2	250 mL (excès)		

* α DManP ; α -D-mannopyrannoside de méthyle

** 2,2-diméthoxypropane

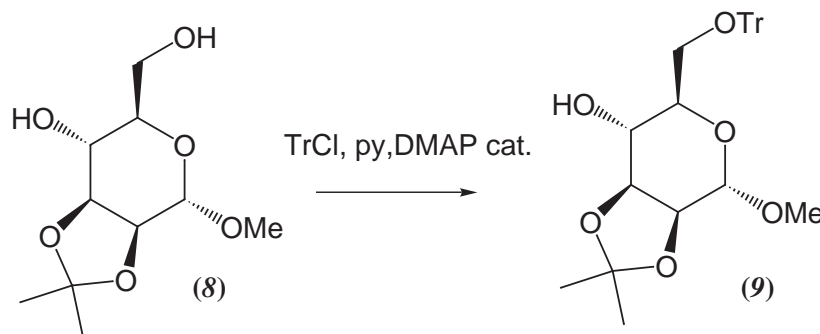
On suspend l' α DManP dans l'acétone. On ajoute les autres réactifs. Le mannoside se dissout presque entièrement en moins de 25 minutes. Il n'y a qu'un dérivé de sucre dans le mélange réactionnel (CCM AcOEt $R_f = 0,7$) ; vraisemblablement le dérivé diisopropylidène. On ajoute 100 mL d'eau et on laisse réagir 4 heures. Une fois ce temps écoulé, la CCM montre qu'il y a trois dérivés de sucre dans le mélange réactionnel ($R_f = 0,7$, dérivé diisopropylidène, $R_f = 0,4$, dérivé monoisopropylidène, $R_f \approx 0,1$, α -D-mannopyrannoside de méthyle). Le produit monoisopropylidène est majoritaire d'après l'intensité des taches après révélation par H₂SO₄/EtOH. On arrête la réaction en ajoutant 50 mL de NaHCO_{3(aq)} saturé. La solution résultante est évaporée sous vide. Le mélange solide blanc obtenu est repris dans 300 mL d'eau et 100 mL d'heptane. La phase heptane est séparée et l'extraction est répétée deux fois, afin de séparer le dérivé diisopropylidène. La phase aqueuse est extraite avec 3*200 mL de CHCl₃. Les phases CHCl₃ réunies sont séchées (Na₂SO₄), traitées au charbon actif et évaporées sous vide pour obtenir 14,8 g de (**8**) (solide blanc, rdt = 82%).

RMN-¹H (360 MHz, CDCl₃) : 5,92 (s, 1H, H1) ; 4,14 (m, 2H, H6a, H2) ; 3,86 (m, 2H, H3, H6b) ; 3,72 (ddd, 1H, ³J_{4,5} = 9,5 Hz, ³J_{5,6a} = 4,5 Hz, ³J_{5,6b} = 1,6 Hz, H5) ; 3,58 (dd, 1H, ³J_{4,5} = 9,5 Hz, ³J_{3,4} = 4,7 Hz, H4) ; 3,40 (s, 3H, OMe) ; {1,53, 1,36} (2*s, 2*3H, Me_{iP}).

RMN-¹³C (90 MHz, CDCl₃) : 109,6 (C_{quat}iP) ; 98,4 (C1) ; (78,4, 75,5, 69,3, 69,0) (C2, C3, C4, C5) ; 62,3 (C6) ; 55,1 (OMe) ; (28,0, 26,1) (Me_{iP}).

SM-ES : $\frac{m}{z}$ (intensité %) : 257,1 [M+Na]⁺ (100).

2,3-*O*-isopropylidène-6-*O*-trityl- α -D-mannopyrannoside de méthyle (9)



Réactif	M [g mol ⁻¹]	n [mmol]/éq	m [g]	solvant
(8)	234,3	11,1/1	2,6	
TrCl	278,8	13,3/1,2	3,71	py 25 mL
DMAP	122,17	cat.		

On dissout les réactifs dans la pyridine dans un ballon surmonté d'une garde au CaCl₂ et on laisse une nuit à 50°C. 5 mL d'eau sont ajoutés pour arrêter la réaction et les solvants sont évaporés. On redissout dans 40 mL de dichlorométhane. La phase organique est lavée avec de l'eau puis avec une solution aqueuse saturée de NaHCO₃, séchée (Na₂SO₄) et évaporée. 4,9 g (rdt : 93%) d'une huile incolore sont obtenus après chromatographie sur colonne de silice (AcOEt/CH₂ 2 : 8, R_f = 0,6).

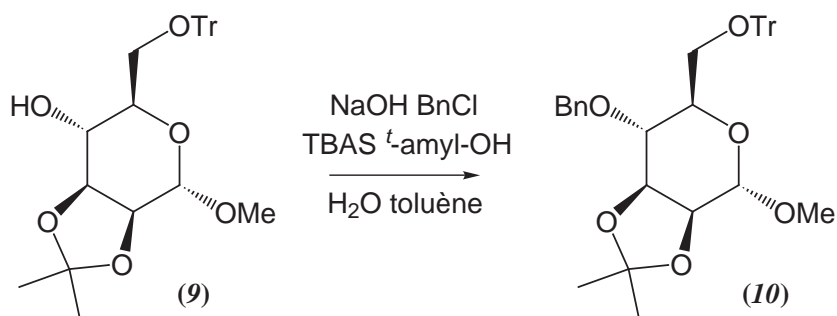
RMN-¹H (360 MHz, CDCl₃) : 7,60-7,20 (m, 15H, H_{Tr}) ; 5,05 (s_{large}, 1H, H1) ; {4,40-4,20 (m, 3H), 3,57 (m, 1H)} (H2, H3, H4, H5) ; 3,53 (s, 3H, Me) ; 3,39 (d, 1H, ²J_{6a,6b} = 9,8 Hz, H6a) ; 3,26 (dd, 1H, ²J_{6a,6b} = 9,8 Hz, ³J_{5,6b} = 6Hz, H6b) ; {1,56 1,41} (2*s, 2*3H, Me_{iP}).

RMN-¹³C (90 MHz, CDCl₃) : 144,1 (C_{quat}Ph) ; (128,8, 127,8, 126,9) (C_{Ph}) ; 109,3 (C_{quat}iP) ; 98,1 (C1) ; 86,4 (C_{quat}Tr) ; (78,9, 76,0, 72,8, 68,5) (C2, C3, C4, C5) ; 58,4 (C6) ; 54,8 (OMe) ; (28,0, 26,4) (Me_{iP}).

SM-ES : $\frac{m}{z}$ (intensité %) : 473,2 [M+H]⁺ (100) ; 499,2 [M+Na]⁺ (83).

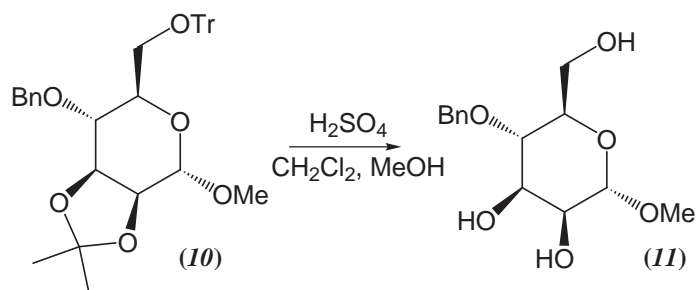
4-*O*-benzyl-2,3-*O*-isopropylidène-6-*O*-trityl- α -D-mannopyrannoside de méthyle (**10**)

Référence : Szeja *et al.*, *Recl. Trav. Chim. Pays-Bas*, 108, 1989, 224^[156].



Réactif	M [g mol ⁻¹]	n [mmol]/éq	m [g]	solvant
(9)	476,6	10/1	4,80	mélange biphasique :
BnCl	126,6	12/1,2	1,52	toluène 16 mL,
NaOH	39	large excès	6	eau 6 mL,
NBu ₄ H ₂ SO ₄	323,5	1/0,1	0,323	<i>t</i> -amyl-OH 0,4 mL

Les réactifs sont dissous dans le mélange biphasique qui est agité vigoureusement pendant une nuit. 50 mL de CH₂Cl₂ et 50 mL d'eau sont ajoutés au mélange réactionnel. La phase organique est décantée et l'extraction est répétée deux fois. Les phases organiques réunies sont séchées (Na₂SO₄) puis évaporées pour donner 6 g d'un sirop visqueux qui est un mélange de (**10**) et d'éther dibenzyle. Comme ces deux produits sont d'une polarité semblable, il n'est pas aisé de mettre au point des conditions pour réaliser une séparation efficace par chromatographie sur colonne de silice. La purification a donc lieu à l'étape suivante.

4-*O*-benzyl- α -D-mannopyrannoside de méthyle (**11**)

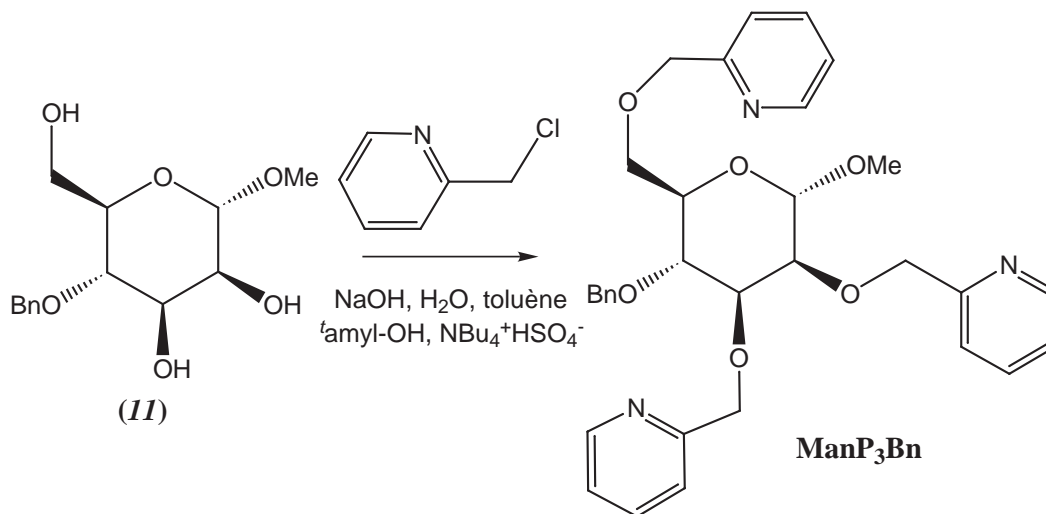
Réactif	M [g mol ⁻¹]	n [mmol]/éq	m [g]	solvant
(10) brut	566,7	10,6	6	CH ₂ Cl ₂ 120 mL
H ₂ SO ₄		1,5 mL		puis MeOH 20 mL
97%				

On dissout (**10**) (huile brute) dans le CH₂Cl₂ puis on ajoute le MeOH. L'acide est ajouté goutte-à goutte puis la solution est agitée. Au bout de deux heures, la réaction est complète (CCM AcOEt : dérivé tritylé $R_f \approx 1$, (**man4Bn**) $R_f = 0,3$). La réaction est arrêtée par ajout de 10 mL de solution aqueuse saturée de NaHCO₃ et 50 mL d'eau. La phase organique est décantée et la phase aqueuse est encore extraite trois fois avec 50 mL de CH₂Cl₂. (**11**) est purifié par chromatographie sur colonne de silice (éluant : AcOEt puis AcOEt/MeOH 9 :1). 1,75 g d'une huile incolore sont isolés. Le rendement sur deux étapes est de 61%.

RMN-¹H (200 MHz, CDCl₃) : 7,35-7,25 (m, 5H, Ph) ; 4,80-4,68 (m, 3H, (O-CH₂-Ph), H1) ; 3,75-3,55 (m, 6H, H2, H3, H4, H5, H6) ; 3,32 (s, 3H, OMe).

RMN-¹³C (50 MHz, CDCl₃) : 138,8 (C_{quatPh}) ; (128,6, 128,0, 127,9) (C_{Ph}) ; 100,9 (C1) ; (75,1, 74,8, 71,5, 71,2) (C2, C3, C4, C5) ; 71,8 (O-CH₂-Ph) ; 61,6 (C6) ; 55,0 (Me).

SM-ES : $\frac{m}{z}$ (intensité %) : 307,1 [M+Na]⁺ (100).

4-*O*-benzyl-2,3,6-tri-*O*-(picolyle)- α -D-mannopyrannoside de méthyle (ManP₃Bn)

Réactif	M [g mol ⁻¹]	n [mmol]/éq	m [g]	solvant
(II)	284,31	2,5/1	0,87	Mélange biphasique :
picCl ₂ .2HCl*	164,0	9/3,6	1,48	toluène 7 mL,
NaOH	40,00	large excès	2,60	eau 2,6 mL,
NBu ₄ HSO ₄	323,5	1,04/0,1	0,336	^t amyl-OH 0,1 mL

* dichlorhydrate du chlorure de 2-picolyle

Les réactifs sont dissous dans le système biphasique qui est agité vigoureusement une nuit. L'analyse par CCM (éluant AcOEt/MeOH 19 :1) révèle la formation d'un seul sucre fonctionnalisé. 50 mL d'eau et 50 mL de CH₂Cl₂ sont ajoutés au mélange réactionnel. La phase organique est décantée puis la phase aqueuse est de nouveau extraite avec 50 mL de CH₂Cl₂. Les phases organiques sont réunies, séchées (Na₂SO₄) puis évaporées sous vide. Le produit de picolylation voulu est séparé des sous-produits (principalement de l'éther de 2-picolyle) par chromatographie sur colonne de silice (éluant AcOEt/MeOH 19:1). 1,18 g (rdt = 65%) du produit voulu sont isolés.

RMN-¹H (360 MHz, CDCl₃) : 8,46 (m, 3H, H_{6py}) ; {7,61-7,44 (m, 6H), 7,20 (m, 5H), 7,11 (m, 3H)} (autres H_{Ar}) ; 4,94-4,56 (m, 9H, H₁, O-CH₂-Ar) ; 4,10-3,78 (m, 6H, H₂, H₃, H₄, H₅, H₆) ; 3,31 (s, 3H, CH₃).

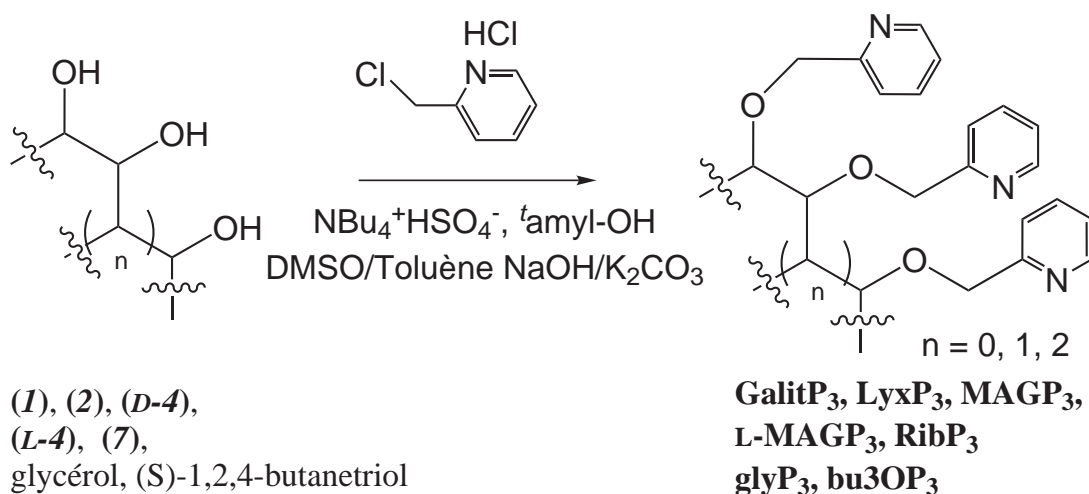
RMN-¹³C (90 MHz, CDCl₃) : {158,6, 158,5 (2C)} (C_{2py}) ; 148,9, 148,8, 148,7 (C_{6py}) ; 138,3 (C_{quatPh}) ; {136,6 (2C), 136,5} (C_{4py}) ; {128,2, 127,8, 127,5} (C_{Ph}) ; {122,2 (2C), 122,1, 121,5, 121,2, 121,1} (C_{3py}, C_{5py}) ; 98,7 (C₁) ; {80,2, 75,8, 74,6, 71,5} (C₂, C₃, C₄, C₅) ; {75,0, 74,1, 73,5, 72,6, 69,9} (O-CH₂-C_{Ar}, C₆) ; 54,8 (Me).

SM-ES : $\frac{m}{z}$ (intensité %) : 558,2 [M+H]⁺ (3) ; 580,2 [M+Na]⁺ (100).

IR $\tilde{\nu}$ (cm⁻¹) : 1593 ($\nu_{\text{C=N}}$) ; [1135,1114,1084,1030] (δ_{noyauPy}) ; 761 ($\delta_{\text{Cpy-H}}$).

A.2.6 Protocole général de picolylation en catalyse de transfert de phase solide-liquide

Référence : Szeja *et al.*, *Recl. Trav. Chim. Pays-Bas*, 108, 1989, 224^[156].



Réactif	M [g mol ⁻¹]	n [mmol]/éq	m [g]	solvant
triol		2,5*/1		DMSO 1mL
picCl.2HCl**	164,0	9/3,6	1,48	toluène 5 mL,
NaOH/K ₂ CO ₃			0,5 +2	<i>t</i> -amyl-OH 0,1 mL
NBu ₄ HSO ₄	323,5	0,25/0,1	0,081	

*Quantité adaptée en fonction des différentes expériences

** dichlorhydrate du chlorure de 2-picolyle

Ce protocole a été utilisé pour la synthèse des glycoligands triéther et de leurs analogues acycliques. Les quantités sont données pour une réaction ayant lieu sur 2,5 mmol de triol à picolyler. Le triol est dissous dans le DMSO. Le chlorhydrate du chlorure de 2-picolyle est suspendu dans 3 mL de toluène, une solution de Na₂CO₃ saturé est additionnée à cette solution, jusqu'à neutralisation complète (fin du dégagement gazeux). La phase organique est ajoutée à la solution du triol dans le DMSO. L'extraction est répétée avec 2 mL de toluène supplémentaires. L'alcool *tert*-amylique, l'hydrogénéosulfate de tétrabutylammonium, et le mélange finement broyé d'hydroxyde de sodium et de carbonate de potassium sont ajoutés au mélange réactionnel qui est agité vigoureusement pendant une nuit. Après ce délai, la réaction était complète (CCM AcOEt/MeOH 9:1) dans tous les cas. 50 mL d'eau et 50 mL de CH₂Cl₂ sont ajoutés au mélange réactionnel. La phase organique est décantée, puis la phase aqueuse est de nouveau extraite avec 50 mL de CH₂Cl₂. Les phases organiques sont réunies, séchées (Na₂SO₄) puis évaporées sous vide. Le produit de picolylation voulu est séparé des sous-produits (principalement de l'éther de 2-picolyle) par chromatographie sur colonne de silice (éluant AcOEt/MeOH 9:1).

glyP₃ :

Masse isolée 594 mg (rdt = 65%, huile).

RMN-¹H (360 MHz, CDCl₃) : 8,48 (m, 3H, H_{6py}) ; 7,60 (m, 3H, H_{4py}) ; 7,54 (d, 1H, ³J_{3py,4py} = 7,8 Hz, H_{3py2})¹³ ; 7,50 (d, 2H, ³J_{3py,4py} = 7,8 Hz, H_{3py1,3}) ; 7,22 (m, 3H, H_{5py}) ; 4,86 (s, 2H, C2-O-CH₂-py) ; 4,68 (s, 4H, C1,3-O-CH₂-py) ; 3,97 (p, 1H, ³J_{1/3,2} = 5,0 Hz, H2) ; 3,79 (d, 4H, ³J_{1/3,2}, H1, H3).

RMN-¹³C (90 MHz, CDCl₃) : 158,9 (C_{2py2}) ; 158,4(2C) (C_{2py1,3}) ; 149,0(2C) (C_{6py1,3}) ; 148,9 (C_{6py2}) ; 136,62(2C) (C_{4py1,3}) ; 136,57 (C_{4py2}) ; {122,3(2C), 121,2(2C)} (C_{3py1,3}, C_{5py1,3}) ; {122,2, 121,4,} (C_{3py2}, C_{5py2}) ; 101,6 (C1) ; 78,1 (C2) ; {74,3(2C), 70,8(2C)} (C_{1,3}, O-CH₂-py) ; 73,2 (CH_{2pic2}).

SM-ES : $\frac{m}{z}$ (intensité %) : 366,2 [M+H]⁺ (4) ; 388,2 [M+Na]⁺ (100).

Microanalyse – calculé/trouvé pour C₂₁H₂₃N₃O₃.H₂O : C 65,78/65,91 ; H 6,57/6,41 ; N 10,96/10,85.

bu3OP₃ :

Masse isolée 791 mg (rdt = 76%, huile).

RMN-¹H (360 MHz, CDCl₃) : 8,53 (m, 3H, H_{6py}) ; 7,64 (m, 3H, H_{4py}) ; 7,51-7,10 (m, 6H, H_{5py}, H_{3py}) ; 4,88-4,58 (m, 6H, O-CH₂-C_{2py}) ; 3,78-3,62 (m, 5H, H1a, H1b, H2, H4a, H4b) ; 1,99 (m, 2H, H3a, H3b).

RMN-¹³C (90 MHz, CDCl₃) : {159,0, 158,6, 158,5} (C_{2py}) ; {149,0, 148,9, 148,8} (C_{6py}) ; {136,61, 136,56, 136,5} (C_{4py}) ; {122,3, 122,2, 122,1, 121,4, 121,2(2C)} (C_{5py}, C_{3py}) ; 76,2 (C2) ; {74,2, 73,8, 73,4, 73,0, 67,3} (C1, C4, O-CH₂-py) ; 32,2 (C3).

SM-ES : $\frac{m}{z}$ (intensité %) : 402,2 [M+Na]⁺ (100).

Microanalyse – calculé/trouvé pour C₂₂H₂₅N₃O₃ : C 68,02/67,56 ; H 6,75/6,73 ; N 10,82/10,41.

Gal^{it}P₃

Masse isolée 338 mg (rdt = 79%, huile).

RMN-¹H (360 MHz, CDCl₃) : {8,54 (d, 2H, ³J_{5py,6py} = 4,7 Hz, 8,48 (d, 1H, ³J_{5py,6py} = 4,8 Hz)} (H_{6py}) ; 7,65 (m, 3H, H_{4py}) ; {7,58, 7,46, 7,40} (3*d, 3*1H, ³J_{3py,4py} = 7,8 Hz, H_{3py}) ; 7,22 (m, 3H, H_{5py}) ; (5,11, 4,81) (2*d, 2*1H, ²J = 13,2 Hz, O-CH₂-py) ; 4,75 (s_{large}, 2H, O-CH₂-py) ; (4,67, 4,60) (2*d, 2*1H, ²J = 13,4 Hz, O-CH₂-py) ; 4,12 (ddd, 1H, ²J_{1b,1a} = 11,7 Hz, ³J_{1b,2a} = 4,8 Hz, ³J_{1b,2b} = 1,8 Hz, H1b) ; 4,06 (m, 1H, H4) ; 3,78-3,66 (m, 3H, H3, H6a, H6b) ; 3,63 (ddd~td, 1H, ³J_{5,6a} = ³J_{5,6b} = 6,0 Hz, ³J_{4,5} = 1,0 Hz, H5) ; 3,50 (ddd~td, 1H, ²J_{1a,1b} = 11,7 Hz, ³J_{1a,2a} ≈ 12 Hz, ³J_{1a,2b}

¹³H_{npyN} se réfère au proton connecté au C_n de la pyridine (numérotée de la façon standard) qui portée par le carbone C_N de la chaîne glycérol. Une notation similaire a été utilisée dans la description du spectre RMN ¹³C.

= 2,3 Hz, H1a); 2,25 (dddd~*qd*, 1H, $^2J_{2a,2b} = 12,5$ Hz, $^3J_{2a,3} \approx ^3J_{1a,2a} \approx 12$ Hz, $^3J_{1b,2a} = 4,8$ Hz, H2a); 1,87 (dm, 1H, $^2J_{2a,2b} = 12,5$ Hz, H2b).

RMN- ^{13}C (90 MHz, CDCl_3) : {159,1, 158,5, 158,1} ($\text{C}_{2\text{py}}$); {149,0, 148,9, 148,6} ($\text{C}_{6\text{py}}$); {136,7, 136,6, 136,5} ($\text{C}_{4\text{py}}$); {122,3 (2C), 122,1, 121,7, 121,4, 121,2} ($\text{C}_{3\text{py}}$, $\text{C}_{5\text{py}}$); 78,9 (C5); 77,8 (C3); {75,5, 74,2, 71,2} (O- CH_2 -py); 74,8 (C4); 70,4 (C6); 66,1 (C1); 27,2 (C2).

SM-ES : $\frac{m}{z}$ (intensité %) : 444,1 [M+Na] $^+$ (100).

Microanalyse – calculé/trouvé pour $\text{C}_{24}\text{H}_{27}\text{N}_3\text{O}_4 \cdot \frac{2}{3} \text{H}_2\text{O}$: C 66,50/66,39; H 6,61/6,59; N 9,71/9,69.

IR $\tilde{\nu}$ (cm^{-1}) : 1593 ($\nu_{\text{C}=\text{N}}$); [1172,1104,1084,1049] (δ_{noyauPy}); 761 ($\delta_{\text{C}_{\text{py}}-\text{H}}$).

LyxP₃ :

Masse isolée 885 mg (rdt = 81%, solide polycristallin).

RMN- ^1H (360 MHz, CDCl_3) : 8,43 (m, 3H, $\text{H}_{6\text{py}}$); 7,54 (m, 3H, $\text{H}_{4\text{py}}$); 7,38 (m, 3H, $\text{H}_{3\text{py}}$); 7,09 (m, 3H, $\text{H}_{5\text{py}}$); 5,03 (d, 1H, $^3J_{1,2} = 2,2$ Hz, H1); 4,82-4,58 (m, 6H, O- CH_2 -py); {4,48 (m, 1H), 4,35 (m, 1H)} (H3, H4); 3,99 (dd, 1H $^3J_{2,3} = 4,3$ Hz, $^3J_{1,2} = 2,2$ Hz, H2); 3,85 (m, 2H, H_{5a} , H_{5b}), 3,33 (s, 3H, Me).

RMN- ^{13}C (90 MHz, CDCl_3) : {158,4, 158,2, 158,0} ($\text{C}_{2\text{py}}$); {148,9, 148,82, 148,78} ($\text{C}_{6\text{py}}$); {136,7, 136,6, 136,5} ($\text{C}_{4\text{py}}$); {122,4 (2C), 122,2, 121,3 (2C), 121,2} ($\text{C}_{5\text{py}}$, $\text{C}_{3\text{py}}$); 106,2 (C1); {83,0, 78,8, 77,9} (C2, C3, C4); {74,1(2C), 73,4, 70,5} (O- CH_2 -py, C5); 55,6 (Me).

SM-ES : $\frac{m}{z}$ (intensité %) : 438,2 [M+H] $^+$ (3); 460,2 [M+Na] $^+$ (100).

Microanalyse – calculé/trouvé pour $\text{C}_{24}\text{H}_{27}\text{N}_3\text{O}_6 \cdot \frac{1}{2} \text{H}_2\text{O}$: C 65,89/65,89; H 6,22/6,14; N 9,60/9,53.

IR $\tilde{\nu}$ (cm^{-1}) : 1592 ($\nu_{\text{C}=\text{N}}$); [1131,1102,1072,1057,1028] (δ_{noyauPy}); 778 ($\delta_{\text{C}_{\text{py}}-\text{H}}$).

MAGP₃¹⁴

Masse isolée 1,09 g (rdt = 87%, huile).

Synthèse à plus grande échelle : masse isolée 13,6 g (rdt = 85%).

RMN- ^1H (360 MHz, CDCl_3) : 8,47 (m, 3H, $\text{H}_{6\text{py}}$); 7,59 (m, 3H, $\text{H}_{4\text{py}}$); {7,50 (d, 1H, $^3J_{3\text{py},4\text{py}} = 7,8$ Hz), 7,43 (d, 1H, $^3J_{3\text{py},4\text{py}} = 7,8$ Hz), 7,36 (d, 1H, $^3J_{3\text{py},4\text{py}} = 7,8$ Hz, 1H)} ($\text{H}_{3\text{py}}$); 7,11 (m, 3H, $\text{H}_{5\text{py}}$); 5,93 (d, 1H, $^3J_{1,2} = 3,8$ Hz, H1); {4,99 (d, 1H, $^2J = 13,2$ Hz), 4,8-4,6 (m, 6H)} (H2, O- CH_2 -py); 4,42 (dd, 1H, $^3J_{4,5} = 9,3$ Hz, $^3J_{3,4} = 3,1$ Hz, 1H); 4,23 (d, 1H, $^3J_{3,4} = 3,1$ Hz, 1H); 4,18 (ddd $^3J_{4,5} = 9,3$ Hz, $^3J_{5,6b} = 5,6$ Hz, $^3J_{5,6a} = 1,9$ Hz, H5); 4,05 (dd, 1H, $^2J_{6a,6b} = 10,7$ Hz, $^3J_{5,6a} = 1,9$ Hz, H6a); 3,83 (dd, 1H, $^2J_{6a,6b} = 10,7$ Hz, $^3J_{5,6b} = 5,6$ Hz, H6b); {1,49, 1,31} (2*s, 2*3H, Me_{IP}).

¹⁴Les caractérisations présentées ici ont été réalisées sur la forme D du ligand. La forme L, synthétisée sur une échelle de 200 mg avec un rendement de 60% présente un spectre RMN et un spectre de masse électrospray identique à celui de la forme D.

RMN-¹³C (90 MHz, CDCl₃) : {158,8, 158,7, 157,5} (C₂_{py}); {149,0, 148,9, 148,8} (C₆_{py}); {136,7, 136,6, 136,5} (C₄_{py}); {122,5, 121,1(2C), 124,4, 121,2(2C)} (C₅_{py}, C₃_{py}); 111,8 (C_{quatiP}); 105,2 (C₁); {82,2, 81,6, 78,8, 76,6} (O-CH₂-py, C₆); {74,2, 73,6, 72,7, 71,6} (C₂, C₃, C₄, C₅); {26,8, 26,3} (Me_{iP}).

SM-ES : $\frac{m}{z}$ (intensité %) : 494,2 [M+H]⁺ (35); 516,2 [M+Na]⁺ (100).

Microanalyse – calculé/trouvé pour C₂₇H₃₁N₃O₆. $\frac{1}{2}$ H₂O : C 64,53/64,08; H 6,42/6,35; N 8,36/8,31.

IR $\tilde{\nu}$ (cm⁻¹) : 1593 ($\nu_{C=N}$); [1117,1080,1028] (δ_{noyauPy}); 778 ($\delta_{C_{py}-H}$).

RibP₃ :

Masse isolée 3,27 g (rdt = 72%, huile cristallisant lentement).

RMN-¹H (360 MHz, CDCl₃) : 8,50 (m, 3H, H₆_{py}); {7,62 (m, 4H), 7,54 (d, 1H, ³J_{3py,4py} = 7,8 Hz), 7,46 (d, 1H, ³J_{3py,4py} = 7,8 Hz)} (H₃_{py}, H₄_{py}); 7,15 (m, 3H, H₅_{py}); {4,95 (m, 3H), 4,82 (m, 2H), 4,74 (s_{large})} (O-CH₂-py, H₁); 4,27 (dd~t, 1H, ³J_{2,3} = ³J_{3,4} = 2,6 Hz, H₃); 3,72 (m, 1H, H₄); 3,97-3,96 (m, 2H, H_{5a}, H_{5b}); 3,50 (s, 3H, Me); 3,46 (dd, 1H, ³J_{1,2} = 6,4 Hz, ³J_{2,3} = 2,6 Hz, H₂).

RMN-¹H (400 MHz, CD₃CN) : {8,48 (m, 2H), 8,45 (d (signaux élargis), 1H, ³J_{5py,6py} = 4,8 Hz)} (H₆_{py}); {7,70-7,60 (m, 4H), 7,49 (d, 1H, ³J_{3py,4py} = 7,8 Hz), 7,43 (d, 1H, ³J_{3py,4py} = 7,8 Hz)} (H₃_{py}, H₄_{py}); 7,19 (m, 3H, H₅_{py}); {4,85 (s_{large}), 4,76 (m, 2H), 4,69 (m, 2H)} (O-CH₂-py, H₁); [signaux des protons du cycle pyranosique : voir les tableaux 2.17 et 2.18]; 3,41 (s, 3H, Me).

RMN-¹³C (90 MHz, CDCl₃) : {159,2, 158,8, 158,3} (C₂_{py}); {148,9, 148,8, 148,7} (C₆_{py}); {136,7, 136,6, 136,5} (C₄_{py}); {123,3, 123,3, 123,1, 122,3, 122,2(2C)} (C₅_{py}, C₃_{py}); 101,6 (C₁); {78,6, 76,5, 75,6} (C₂, C₃, C₄); {74,8, 73,7, 72,5} (O-CH₂-py); 56,5 (Me).

RMN-¹³C (100 MHz, CD₃CN) : {160,1, 159,8, 159,5} (C₂_{py}); {149,8, 149,7, 149,6} (C₆_{py}); {137,5, 137,4, 137,4} (C₄_{py}); {122,4, 122,2, 122,1, 121,4(3C)} (C₅_{py}, C₃_{py}); [signaux des carbones du cycle pyranosique : voir le tableau 2.17]; 56,5 (Me).

SM-ES : $\frac{m}{z}$ (intensité %) : 460,2 [M+Na]⁺ (100).

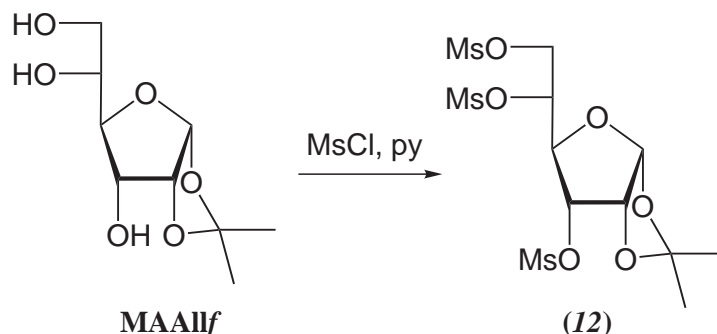
Microanalyse – calculé/trouvé pour C₂₄H₂₇N₃O₆. $\frac{1}{2}$ H₂O : C 64,56/64,73; H 6,33/6,24; N 9,41/9,26.

IR $\tilde{\nu}$ (cm⁻¹) : 1594 ($\nu_{C=N}$); [1136,1108,1072] (δ_{noyauPy}); 762 ($\delta_{C_{py}-H}$).

A.3 Dérivés polyazoture

3,5,6-tri-*O*-méthylsulfonyl-1,2-*O*-isopropylidène- α -D-allofurannose (**12**)

Référence : Paulsen *et al.*, *Chem. Ber.*, 102, 1969, 820^[249].



Réactif	M [g mol ⁻¹]	n [mmol]/éq	m [g]	solvant
MAAlf *	220,2	4,54/1	1,00	
MsCl	114,6	15,7/3,46	1,80	py 20 mL

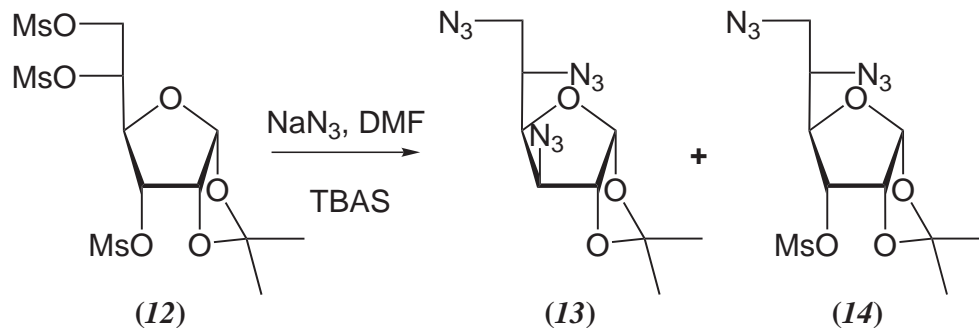
* produit non commercial disponible au laboratoire

Le dérivé 1,2-*O*-isopropylidène- α -D-allofurannose (**MAAlf**) est dissous dans la pyridine et cette solution est refroidie à 0°C. Le chlorure de méthanesulfonyle est ajouté goutte à goutte. La solution résultante est placée 3 jours à 6°C (chambre froide). Après ce délai, elle est versée sur 50 mL d'eau glacée et le mélange résultant est extrait avec 3*40 mL de CH₂Cl₂. Après séchage et évaporation sous vide, 1,48 g de produit (**12**) sont obtenus (rdt=65%, huile).

RMN-¹H (300 MHz, CDCl₃) : 5,85 (d, 1H, ³J_{1,2} = 3,8 Hz, H1) ; 5,10 (m, 1H, H5) ; {4,94-4,85 (m, 2H), 4,56-4,32 (m, 3H)} (H2, H3, H4, H6) ; {3,20, 3,16, 3,11} (3*s, 3*H, Me_{Ms}) {1,59, 1,39} (2*s, 2*3H, Me_{iP}).

RMN-¹³C (75 MHz, CDCl₃) : 114,3 (C_{quatiP}) ; 104,2 (C1) ; {77,5, 76,5, 75,9, 75,3} (C2, C3, C4, C5) 66,7 (C6) ; {39,1, 38,8, 37,7} (Me_{Ms}) ; {26,7, 26,7} (Me_{iP}).

SM-ES : $\frac{m}{z}$ (intensité %) : 455,1 [M+H]⁺ (11) ; 477,1 [M+Na]⁺ (100).

3,5,6-tri-azido-tri-désoxy-1,2-*O*-isopropylidène- α -L-idofurannose (**13**)

Réactif	M [g mol ⁻¹]	n [mmol]/éq	m [g]	
(12)	454,5	3,30/1	1,5	DMF 40 mL
NaN ₃	65,0	33,0/10	2,16	
NBu ₄ HSO ₄	323,5	cat.		

Le dérivé (**12**) est dissous dans le DMF. L'azoture de sodium et l'hydrogénosulfate de tétrabutylammonium sont suspendus dans cette solution qui est chauffée sous Ar à 90° pendant 24h avec agitation magnétique. D'après l'analyse par CCM (toluène/éther 3:1), à ce moment, le produit de disubstitution *L-talo* (**14**) ($R_f = 0,4$) paraît le dérivé de sucre majoritaire. Le mélange réactionnel est chauffé 5h supplémentaires à 150°C. Le produit de trisubstitution *L-ido* (**13**) ($R_f = 0,8$) paraît alors majoritaire parmi les dérivés de sucre présents. Le chauffage est arrêté et, après refroidissement, le mélange réactionnel est additionné de 80 mL d'eau et 80 mL d'éther. La phase étherée est séparée et la phase aqueuse est encore extraite avec 2*80 mL d'éther. Les phases organiques réunies sont évaporées, après séchage (Na₂SO₄) et traitement au charbon actif. 350 mg d'une huile brute sont isolés. Les produits (**13**) (186 mg, 19%¹⁵, solide cristallin) et (**14**) (115 mg, 10%, huile incolore) sont isolés après chromatographie sur colonne.

(**13**) :

RMN-¹H (360 MHz, CDCl₃) : 5,98 (d, 1H, ³ $J_{1,2} = 3,7$ Hz, H1) ; 4,76 (d, 1H, ³ $J_{1,2} = 3,7$ Hz, H2) ; 4,24 (dd, 1H, ³ $J_{4,5} = 8,5$ Hz, ³ $J_{3,4} = 3,3$ Hz, H4) ; 3,94 (d, 1H, ³ $J_{3,4} = 3,3$ Hz, H3) ; 3,81 (ddd, 1H, ³ $J_{4,5} = 8,5$ Hz, ³ $J_{5,6b} = 6,2$ Hz, ³ $J_{5,6a} = 3,9$ Hz, H5) ; 3,48 (dd, 1H, ² $J_{6a,6b} = 13,0$ Hz, ³ $J_{5,6a} = 3,9$ Hz, H6a) ; 3,38 (dd, 1H, ² $J_{6a,6b} = 13,0$ Hz, ³ $J_{5,6b} = 6,2$ Hz, H6b) ; {1,54, 1,36}, (2*s, 2*3H, Me_{iP}).

RMN-¹³C (90 MHz, CDCl₃) : 112,7 (C_{quatiP}) ; 104,4 (C1) ; 83,4 (C2) ; 79,6 (C4) ; 65,4 (C3) ; 61,0 (C5) ; 51,4 (C6) ; {26,6, 26,2} (Me_{iP}).

Microanalyse – calculé/trouvé pour C₉H₁₃N₉O₃ : C 36,61/36,81 ; H 4,44/4,45 ; N 42,70/42,49.

¹⁵Si le mélange réactionnel est chauffé à 150° pendant 29 heures sans chauffage au préalable à 90°, (**13**) est le seul dérivé de sucre migrant en CCM avec l'éluant toluène/éther 3:1 mais le rendement chute à 9%. Ceci indiquerait que les bas rendements sont dus à l'instabilité thermique du polyazoture.

(14) :

RMN-¹H (360 MHz, CDCl₃) : 5,84 (d, 1H, ³J_{1,2} = 3,4 Hz, H1) ; 4,24 (dd, 1H, ³J_{3,4} = 8,7 Hz, ³J_{2,3} = 4,8 Hz, H3) ; 4,76 (dd, 1H, ³J_{2,3} = 4,8 Hz, ³J_{1,2} = 3,4 Hz, H2) ; 4,21 (d (signaux élargis), 1H, ³J_{3,4} = 8,7 Hz, H3) ; 3,66 (m, 3H, H5, H6a, H6b) ; 3,18 (s, 3H, Me_{Ms}) ; {1,58, 1,38}, (2*s, 2*3H, Me_{iP}).

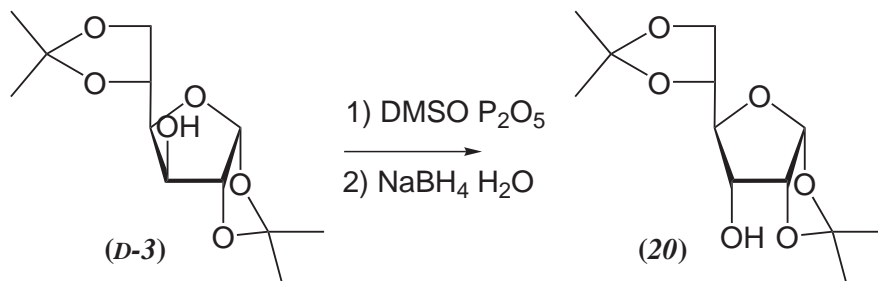
RMN-¹³C (90 MHz, CDCl₃) : 114,3 (C_{quatIP}) ; 104,1 (C1) ; {77,3, 76,8} (C2, C4) ; 75,8 (C3) ; 59,2 (C5) ; 51,8 (C6) ; 38,7 (Me_{Ms}) {26,7, 26,6} (Me_{iP}).

A.4 Synthèse des glycoligands aminoéther et diamino

A.4.1 Ligands comportant une fonction éther

Synthèse du 1,2:5,6-*O*-diisopropylidène- α -D-allose (*20*)

Références : W. Meyer zu Reckendorf, *Chem. Ber.*, **1968**, *101*, 3802^[244]. S. N. Christensen *et al.*, *Org. Proc. R & D*, **2004**, *8*, 777-780^[270].



Réactif	M [g mol ⁻¹]	n [mmol]/éq	m [g]	solvant
(D-3)	260,3	100/1	26,0	DMSO anh. 130 mL
P ₂ O ₅	164,0	100/1	16,4	DMSO anh. 60 mL
NaBH ₄	37,83	63/0,63	2,39	eau 100 mL

On prépare un ballon tricol de 500 mL qui est mis sous argon, avec un réfrigérant et un thermomètre. 60 mL de DMSO anhydre (DMSO « extra-dry » commercial) sont transférés dans ce ballon sous conditions anhydres. On plonge le ballon dans un Dewar d'eau fraîche pour empêcher les échauffements trop brutaux. Un tiers du P₂O₅ est ajouté vite mais précautionneusement. On attend 5 min, on répète 2 fois. La dissolution du P₂O₅ est lente (2 heures). La solution résultante est très légèrement jaune.

(D-3) est dissous dans 130 mL de DMSO anhydre. On met cette solution dans une ampoule de coulée (qui remplace le thermomètre) et on l'ajoute en 30 min à la solution du réactif oxydant. Une fois l'addition terminée le mélange réactionnel est chauffé à 60°C pendant 3-4 heures. Il n'y a plus de produit de départ (CCM AcOEt/CH 3:7). On laisse revenir le mélange réactionnel à température ambiante. On ajoute 200 mL de ^tBuOMe, qui n'est pas miscible avec le DMSO. On récupère la phase étherée et on extrait encore la phase DMSO avec 2*150 mL de ^tBuOMe. La solution étherée est concentrée à environ $\frac{1}{4}$ de son volume initial. Le borohydrure de sodium est dissous dans 100 mL d'eau froide (bain de glace). On ajoute sur 30 min la solution étherée d'ulose à la solution aqueuse de NaBH₄ puis on laisse agiter encore quelques minutes à TA. On ajoute 100 mL de CH₂Cl₂ et 50 mL d'eau. La phase organique est séparée par décantation. L'extraction est répétée encore deux

fois avec 80 mL de CH₂Cl₂. Après séchage et évaporation, 19,24 g (rdt : 74 %) d'une huile brune se solidifiant au réfrigérateur sont isolés. Cette huile est presque pure d'après la RMN. 9,0 g de cette huile ont été recristallisés à chaud dans 150 mL de cyclohexane. 6,1 g de cristaux jaunâtres sont obtenus.

RMN-¹H (250 MHz, CDCl₃) : 5,78 (d, 1H, ³J_{1,2} = 3,8 Hz, H1) ; 4,59 (dd, 1H, ³J_{1,2} = 3,8 Hz, ³J_{2,3} = 4,5 Hz, H2) ; 4,28 (m, 1H, H5) ; 4,02 (m, 3H, H4, H6a, H6b) ; 3,79 (dd, 1H, ³J_{3,4} = 8,6 Hz, ³J_{2,3} = 4,5 Hz, H3) ; {1,55, 1,44, 1,36, 1,34} (4*s, 4*3H, Me_iP).

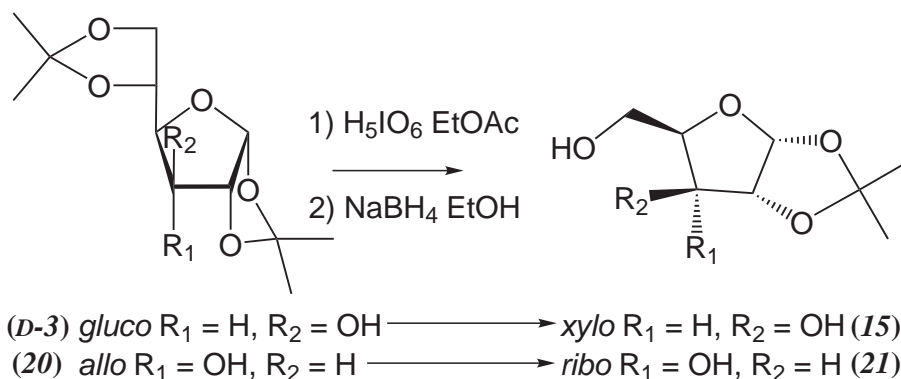
RMN-¹³C (62,5 MHz, CDCl₃) : 112,8 (C_{quati}P_{1,2}) ; 109,8 (C_{quati}P_{5,6}) ; 103,9 (C1) ; 79,6 (C2) ; 79,0 (C4) ; 75,8 (C5) ; 72,4 (C3) ; 65,7 (C6) ; {26,6, 26,5, 26,3, 25,3} (Me_iP).

SM-ES : $\frac{m}{z}$ (intensité %) : 283,1 [M+Na]⁺ (100) ;

P. f. : 72-75 °C (Litt : 74-75 °C).

1,2-*O*-isopropylidène- α -D-xylofurannose (**15**) et 1,2-*O*-isopropylidène- α -D-ribofurannose (**21**)

Référence : M.Xie *et al.*, *J. Org. Chem.*, **61**, 1996, 5178^[262].



Réactif	<i>M</i> [g mol ⁻¹]	<i>n</i> [mmol]/éq	<i>m</i> [g]	solvant
(D-3) ou (20)	260,3	19,2/1	5,0	AcOEt 200mL
H ₅ IO ₆	227,9	23,0/1,2	5,25	
NaBH ₄	37,83	28,8/1,5	1,09	EtOH 250 mL

Le dérivé diisopropylidène et l'acide périodique sont dissous dans l'acétate d'éthyle (séchés au préalable sur Na₂SO₄). Le mélange réactionnel est agité vigoureusement. Un précipité laiteux (probablement de l'acide iodique) apparaît. La disparition du dérivé diisopropylidène est suivie par CCM (AcOEt/CH 3 : 7). Elle est complète en 3-4 heures pour (**D-3**) et en 6-16 heures pour (**20**). Le mélange réactionnel est alors filtré et évaporé. Lors de l'évaporation il apparaît encore un précipité

laiteux qui est également filtré. Le résidu est redissous dans l'éthanol absolu à 0°C (bain de glace). Le NaBH₄ est alors ajouté par petites portions et le mélange réactionnel est agité 10 minutes à 0°C puis 20 minutes à TA. L'excès de NaBH₄ est détruit par addition d'acide acétique jusqu'à l'arrêt du dégagement gazeux. Les solvant sont évaporés. Le résidu semi-cristallin résultant est trituré pendant quelques heures dans l'acétate d'éthyle à 50°C. La solution est filtrée puis évaporée.

(15) : masse isolée : 2,82 g (rdt : 77%).

RMN-¹H (250 MHz, CD₃OD) : 5,92 (d, 1H, ³J_{1,2} = 3,6 Hz, H1); 4,50 (d, 1H, ³J_{1,2} = 3,6 Hz, H2); 4,17 (m, 2H, H3, H4); 3,91 (m, 2H, H5a, H5b); {1,48, 1,32} (2*s, 2*3H, Me_{iP}).

RMN-¹³C (62,5 MHz, CD₃OD) : 111,3 (C_{quatiP}); 104,8 (C1); 85,4 (C2); 81,0 (C4); 74,4 (C3); 59,6 (C5); {25,8, 25,2} (Me_{iP}).

SM-ES : $\frac{m}{z}$ (intensité %) : 213,1 [M+Na]⁺ (100).

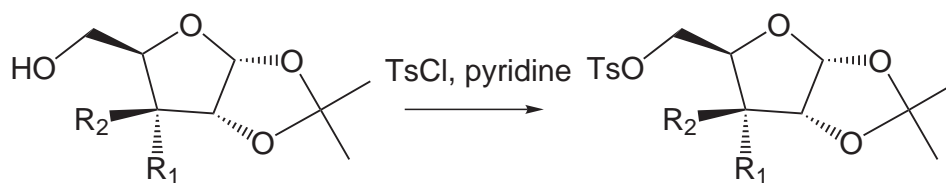
(21) : masse isolée : 2,71 g (rdt : 74%).

RMN-¹H (360 MHz, CDCl₃) : 5,74 (d, 1H, ³J_{1,2} = 3,7 Hz, H1); 4,59 (m, 1H, H2); 4,01 (dd, 1H, ³J_{3,4} = 8,9 Hz, ³J_{2,3} = 5,0 Hz, H3); 3,94 (dd, 1H, ²J_{5a,5b} = 12,1 Hz, ³J_{4,5a} = 2,4 Hz, H5a); 3,87 (ddd~dt, 1H, ³J_{3,4} = 8,9 Hz, ³J_{4,5b} = 3,6 Hz, ³J_{4,5a} = 2,4 Hz, H4); 3,77 (dd, 1H, ²J_{5a,5b} = 12,1 Hz, ³J_{4,5b} = 3,6 Hz, H5b); {1,57, 1,38} (2*s, 2*3H, Me_{iP}).

RMN-¹³C (90 MHz, CDCl₃) : 103,8 (C1); {80,1, 79,0} (C2, C4); 70,9 (C3); 60,6 (C5); 26,4 (2C) (Me_{iP}).

SM-ES $\frac{m}{z}$ (intensité %) : 213,1 [M+Na]⁺ (100).

Dérivés 5-O-toluènesulfonate du 1,2-O-isopropylidène- α -D-xylofurannose (16) et du 1,2-O-isopropylidène- α -D-ribofurannose (22)



(15) *xylo* R₁ = H, R₂ = OH (16)

(21) *ribo* R₁ = OH, R₂ = H (22)

Réactif	M [g mol ⁻¹]	n [mmol]/éq	m [g]	solvant
(15) ou (21)	190,2	38,5/1	2,70	py 45 mL
TsCl	190,7	46,2/1,2	2,71	CH ₂ Cl ₂ 15 mL
DMAP	122,2		cat.	

Le diol de départ est dissous dans le mélange de pyridine (fraîchement distillée) et de dichlorométhane. La solution est refroidie à 0°C (bain de glace). Le chlorure de tosylate est ajouté précautionneusement en plusieurs fractions. Le mélange réactionnel, protégé par une garde au CaCl₂, est agité une nuit (température : de 0° à TA). 10 mL d'eau sont ajoutés pour hydrolyser l'excès de chlorure de tosylate. La solution résultante est évaporée à sec, reprise dans un système biphasique CH₂Cl₂/eau (50 mL de chaque solvant); la phase organique est décantée et la phase aqueuse est extraite encore deux fois. Les phases organiques réunies sont séchées (Na₂SO₄) et évaporées. On obtient un solide composé majoritairement du dérivé monotosylate voulu avec des traces de dérivé ditosylate. Le produit brut est utilisé pour l'étape suivante.¹⁶

(**16**) : masse isolée 4,41 g (rdt = 90%, solide blanc)

RMN-¹H (300 MHz, CDCl₃) : 7,82 (d, 2H, ³J_{o,m} = 8,3 Hz, H_{orthoTs}); 7,37 (d, 2H, ³J_{o,m} = 8,3 Hz, H_{metaTs}); 5,89 (d, 1H, ³J_{1,2} = 3,6 Hz, H1); 4,52 (d, ³J_{1,2} = 3,6 Hz, H2); 4,34 (m, 3H, H4, H5a, H5b); 4,14 (d, 1H ³J_{3,4} = 4,5 Hz, H3); 2,46 (s, 3H, Me_{Ts}); {1,53, 1,36} (2*s, 2*3H, Me_{iP}).

RMN-¹³C (75 MHz, CDCl₃) : 145,3(C_{paraTs}); 132,2 (C_{ipsoTs}); 129,9 (C_{metaTs}); 128,0 (C_{orthoTs}); 112,1 (C_{quatiP}); 104,9 (C1); 84,5 (C2); 77,6 (C4); 74,2 (C3); 66,3 (C5); (26,7, 26,2) (Me_{iP}); 21,7 (Me_{Ts}).

SM-ES $\frac{m}{z}$ (intensité %) : 367,1 [M+Na]⁺ (100).

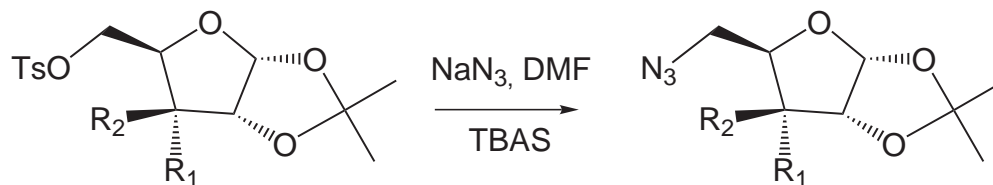
(**22**) : masse isolée 2,60 g (rdt = 53%, huile)

RMN-¹H (300 MHz, CDCl₃) : 7,81 (d, 2H, ³J_{o,m} = 8,1 Hz, H_{orthoTs}); 7,36 (d, 2H, ³J_{o,m} = 8,1 Hz, H_{metaTs}); 5,74 (d, 1H, ³J_{1,2} = 3,7 Hz, H1); 4,56 (dd~t, ³J_{1,2} = 3,7 Hz, ³J_{2,3} = 4,0 Hz, H2); 4,34 (d, 1H, ²J_{5a,5b} = 11,0 Hz, H5a); 4,16 (m, 2H, H4, H5b); 3,91 (m, 1H, H3); 2,46 (s, 3H, Me_{Ts}); {1,53, 1,36} (2*s, 2*3H, Me_{iP}).

RMN-¹³C (75 MHz, CDCl₃) : 145,0 (C_{paraTs}); 132,6 (C_{ipsoTs}); 129,9 (C_{metaTs}); 128,0 (C_{orthoTs}); 112,9 (C_{quatiP}); 103,9 (C1); {78,3, 77,9} (C2, C4); 71,2 (C3); 66,0 (C5); 26,5 (2C) (Me_{iP}); 21,6 (Me_{Ts}).

SM-ES $\frac{m}{z}$ (intensité %) : 367,1 [M+Na]⁺ (100).

¹⁶Cette expérience s'est avérée être très sensible à l'état d'hydratation des solvants, à la température extérieure, et à la qualité du chlorure de tosylate. Dans certains cas, une quantité non-négligeable de dérivé de ditosylation a été obtenue, ce qui n'a pas posé de problèmes pour la suite de la synthèse.

5-azido-5-désoxy-1,2-O-isopropylidène- α -D-xylofurannose (**17**) et 5-azido-5-désoxy-1,2-O-isopropylidène- α -D-ribofurannose (**23**)

(**16**) *xylo* $R_1 = \text{H}$, $R_2 = \text{OH}$ (**17**)

(**22**) *ribo* $R_1 = \text{OH}$, $R_2 = \text{H}$ (**23**)

Réactif	M [g mol ⁻¹]	n [mmol]/éq	m [g]
(16) ou (22)	344,4	5,22/1	1,80
NaN ₃	65,0	18,8/3,6	1,22
NBu ₄ HSO ₄	323,5	1,04/0,2	0,34

Le dérivé (**16**) ou (**22**) est dissous et les sels sont suspendus dans le DMF. Le mélange réactionnel est chauffé une nuit sous argon à 110°C sous agitation vigoureuse¹⁷. Une fois la conversion totale, le DMF est évaporé, et le dérivé azoture est séparé par extraction (éther/eau, 50 mL de chaque solvant). L'extraction est répétée 3 fois. Les phases organiques réunies sont séchées (Na₂SO₄) et évaporées. L'azoture brut est obtenu avec un rendement quantitatif et est utilisé sans purification supplémentaire pour l'étape suivante.

(**17**) :

RMN-¹H (250 MHz, CDCl₃) : 5,95 (d, 1H, ³ $J_{1,2} = 3,6$ Hz, H1) ; 4,52 (d, 1H, ³ $J_{1,2} = 3,6$ Hz, H2) ; 4,29 (m, 2H, H3, H4) ; 3,61 (m, 2H, H5a, H5b) ; {1,50, 1,30} (2*s, 2*3H, Me_iP).

RMN-¹³C (62,5 MHz, CDCl₃) : 112,0 (C_{quati}P) ; 104,8 (C1) ; 85,3 (C2) ; 78,5 (C4) ; 75,0 (C3) ; 42,3 (C5) ; {26,8, 26,2} (Me_iP).

SM-ES $\frac{m}{z}$ (intensité %) : 238,1 [M+Na]⁺ (56) et pics de fragmentation.

(**23**) :

RMN-¹H (250 MHz, CDCl₃) : 5,85 (d, 1H, ³ $J_{1,2} = 3,8$ Hz, H1) ; 4,60 (dd~t, 1H, ³ $J_{1,2} = 3,8$ Hz, ³ $J_{2,3} = 4,2$ Hz, H2) ; 3,92 (m, 2H, H3, H4) ; 3,70 (dd, 1H, ² $J_{5a,5b} = 13,2$ Hz, ³ $J_{4,5a} = 1,9$ Hz, H5a) ; 3,40 (dd, 1H, ² $J_{5a,5b} = 13,2$ Hz, ³ $J_{4,5b} = 4,2$ Hz, H5b) ; {1,58, 1,38} (2*s, 2*3H, Me_iP).

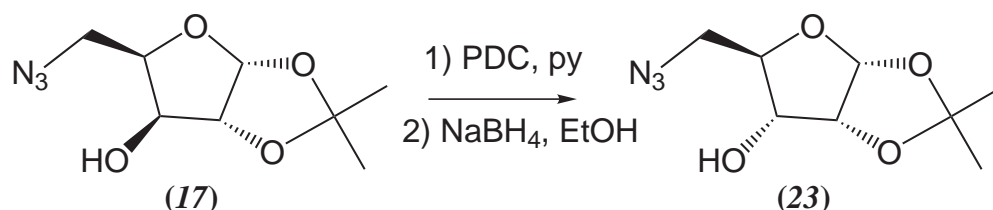
RMN-¹³C (62,5 MHz, CDCl₃) : 112,9 (C_{quati}P) ; 104,0 (C1) ; {79,4, 78,4} (C2, C4) ; 72,1 (C3) ; 50,7 (C5) ; {26,6, 26,5} (Me_iP).

¹⁷Dans certains cas, après ce délai, la réaction n'était pas terminée d'après l'analyse par CCM. Dans ce cas, le mélange réactionnel est encore chauffé pendant 24h.

SM-ES $\frac{m}{z}$ (intensité %) : 238,1 [M+Na]⁺ (48) et pics de fragmentation.

Synthèse du 5-azido-5-désoxy-1,2-*O*-isopropylidène- α -D-ribose par épimérisation

Référence : Ewing *et al.*, *Carb. Res.*, 321, 1999, 190^[263].

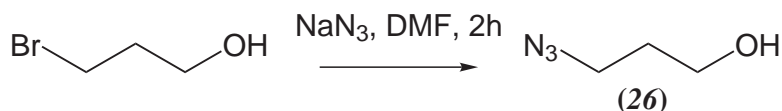


Réactif	M [g mol ⁻¹]	n [mmol]/éq	m [g]	solvant
(17)	215,5	2,32/1	0,50	CH ₂ Cl ₂ 5 mL
PCC	215,7	6,96/3	1,50	CH ₂ Cl ₂ 5 mL
Tamis moléculaire 3Å			1,50	
NaBH ₄	37,83	2,32/1	0,088	EtOH 15 mL

Le substrat azidoalcool est ajouté goutte à goutte à la solution de l'oxydant dans le dichlorométhane avec le tamis moléculaire broyé. Ce mélange est agité 3 jours à température ambiante, au bout desquels l'analyse par CCM (acétone/cyclohexane 1:9) indique la disparition du produit de départ (très retenu) et l'apparition d'un nouveau produit ($R_f = 0,5$), qui est l'ulose issu de l'oxydation en 3 de (17). Le mélange est filtré sur silice (éluant AcOEt), et les solvants sont évaporés. Le produit brut est dissous dans l'éthanol et le NaBH₄ est additionné en petites parties à 0°C. Au bout d'une heure d'agitation à TA, l'excès de NaBH₄ est détruit par addition d'acide acétique jusqu'à la fin du dégagement gazeux. Le mélange réactionnel est évaporé à sec, repris dans l'acétate d'éthyle chaud, traité au charbon actif et filtré. 0,31 g de (23) sont obtenus (rdt = 61%). Le produit est analytiquement identique à celui obtenu par la séquence tosylation-substitution par N₃⁻.

Analogue acyclique : 3-azidopropanol (**26**)

Référence : D. J. Lefebvre *et al.*, *Chem. Eur. J.* , **2001**, 7, 4411^[352].



Réactif	M [g mol ⁻¹]	n [mmol]/éq	m [g]	solvant
3-bromopropanol	140,0	7,14/1	1	
NaN ₃	65,0	21,4/3	1,39	DMF 20 mL

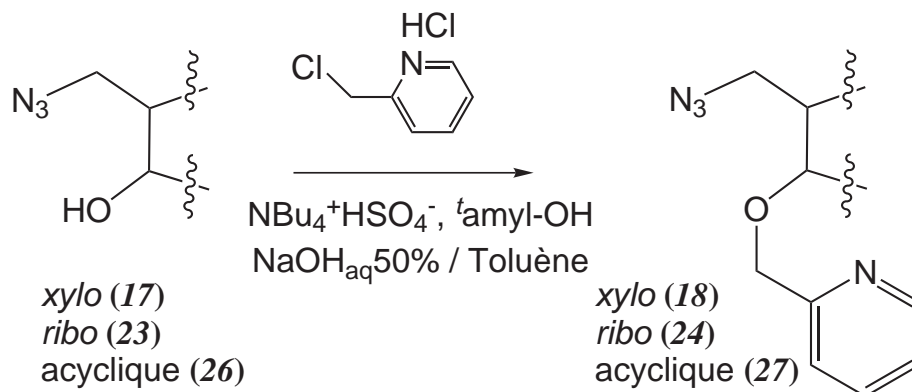
Le dérivé bromé est dissous et l'azoture de sodium est suspendu dans le DMF. Le mélange réactionnel est agité vigoureusement pendant 3 heures puis il est concentré et le dérivé azoture est isolé par extraction de la phase aqueuse (Et₂O/eau, 50 mL de chaque solvant). L'extraction est répétée 3 fois. Les phases organiques réunies sont séchées (Na₂SO₄) et évaporées. 0,49 g d'azoture sont obtenus (rdt = 68%).

RMN-¹H (250 MHz, CDCl₃) : 3,73 (t, 2H, ³J_{1,2} = 5,9 Hz, H1¹⁸) ; 3,44 (t, 2H, ³J_{2,3} = 6,6 Hz, H3) ; 1,87 (tt~p, 2H, ³J_{1,2} = 5,9 Hz, ³J_{2,3} = 6,6 Hz, H2).

RMN-¹³C (90 MHz, CDCl₃) : 59,7 (C1) ; 48,4 (C3) ; 31,4 (C2).

¹⁸La numérotation des atomes de carbone et d'hydrogène est faite selon les règles de l'IUPAC. La position 1 est celle qui porte l'atome le plus électronégatif, ici O.

Picolylation par transfert de phase liquide-solide des azidoalcools

Référence : Szeja *et al.*, *Recl. Trav. Chim. Pays-Bas*, 108, 1989, 224^[156].

Réactif	M [g mol ⁻¹]	n [mmol]/éq	m [g]	solvant
(17) ou (23) ou (26)		6/1		toluène 15 mL,
picCl.2HCl*	164,0	9/3,6	1,48	$t\text{-amyl-OH}$ 0,1 mL
NaOH	40,00	large excès	5	eau 5 mL
NBu ₄ HSO ₄	323,5	0,6/0,1	0,191	

* chlorhydrate de chlorure de 2-picolyle

Les différents réactifs sont dissous dans le mélange biphasique toluène/eau. Le mélange réactionnel est agité vigoureusement une nuit. Ensuite, 50 mL d'eau et 50 mL de CH₂Cl₂, sont ajoutés au mélange réactionnel. La phase organique est décantée puis la phase aqueuse est de nouveau extraite avec 50 mL de CH₂Cl₂. Les phases organiques sont réunies, séchées (Na₂SO₄) puis évaporées sous vide. Le produit de picolylation voulu est séparé des sous-produits (principalement de l'éther de 2-picolyle) par chromatographie sur colonne de silice (éluant AcOEt/MeOH 9 : 1).

(18) : masse isolée 1,22 g (rdt=66 %).

Synthèse à plus grande échelle : masse isolée 7,15 g (60 %).

RMN-¹H (250 MHz, CDCl₃) : 8,53 (d, 1H, ³J_{5py,6py} = 4,8 Hz, H_{6py}); 7,69 (ddd~td, 1H, ³J_{4py,5py} = ³J_{3py,4py} = 7,7 Hz, ⁴J_{4py,6py} = 1,6 Hz, H_{4py}); 7,37 (d, 1H, ³J_{3py,4py} = 7,7 Hz, H_{3py}); 7,19 (m, 1H, H_{5py}); 5,92 (d, 1H, ³J_{1,2} = 3,7 Hz, H₁); {4,78 (d, 1H, ²J = 12,9 Hz), 4,65 (m, 2H)} (O-CH₂-py, H₂); 4,32 (m, 1H, H₄); 4,02 (d, ³J_{2,3} = 3,1 Hz, H₃); 3,57 (m, 2H, H_{5a}, H_{5b}); {1,48, 1,30} (2*s, 2*3H, Me_{iP}).

RMN-¹³C (62,5 MHz, CDCl₃) : 157,3 (C_{2py}); 149,2 (C_{6py}); 136,8 (C_{4py}); {122,8, 121,5} (C_{3py}, C_{5py}); 111,9 (C_{quatiP}); 105,1 (C₁); {82,2 81,2} (C₂, C₄); 78,6 (C₃); 72,6 (O-CH₂-py); 49,2 (C₅); {26,8, 26,2} (Me_{iP}).

SM-ES $\frac{m}{z}$ (intensité %) : 329,1 [M+Na]⁺ (100).

Microanalyse – calculé/trouvé pour C₁₄H₁₈N₄O₄· $\frac{1}{3}$ H₂O : C : 54,10/54,06 ; H 6,00/5,78 ; N : 17,94/17,69

(24) : masse isolée 595 mg (rdt=64 %, de 3 mmol de produit de départ)

RMN-¹H (360 MHz, CDCl₃) : 8,55 (d, 1H, ³J_{5py,6py} = 4,8 Hz, H_{6py}) ; 7,71 (ddd~td, 1H, ³J_{4py,5py} = ³J_{3py,4py} = 7,7 Hz, ⁴J_{4py,6py} = 1,7 Hz, H_{4py}) ; 7,46 (d, 1H ³J_{3py,4py} = 7,8 Hz, H_{3py}) ; 7,22 (m, 1H, H_{5py}) ; 5,77 (d, 1H, ³J_{1,2} = 3,6 Hz, H1) ; {4,87 (d, 1H, ²J = 13,0 Hz), 4,68 (m, 2H)}, (O-CH₂-py, H2) ; 4,21 (ddd, 1H, ³J_{3,4} = 8,8 Hz, ³J_{4,5b} = 4,1 Hz, ³J_{4,5a} = 2,7 Hz, H4) ; 3,86 (dd, ³J_{3,4} = 8,8 Hz, ³J_{2,3} = 4,3 Hz, H3) ; 3,68 (dd, 1H, ²J_{5a,5b} = 13,5 Hz, ³J_{4,5a} = 2,7 Hz, H5a) ; 3,30 (dd, 1H, ²J_{5a,5b} = 13,5 Hz, ³J_{4,5b} = 4,1 Hz, H5b) ; {1,57, 1,34} (2*s, 2*3H, Me_{iP}).

RMN-¹³C (90 MHz, CDCl₃) : 157,5 (C_{2py}) ; 149,0 (C_{6py}) ; 136,7 (C_{4py}) ; {122,8, 121,9} (C_{3py}, C_{5py}) ; 113,3 (C_{quatiP}) ; 104,1 (C1) ; 78,6 (C2) ; {77,3, 77,1} (C3, C4) ; 73,1 (O-CH₂-py) ; 50,6 (C5) ; {26,8, 26,5} (Me_{iP}).

SM-ES $\frac{m}{z}$ (intensité %) : 329,1 [M+Na]⁺ (100).

Microanalyse – calculé/trouvé pour C₁₄H₁₈N₄O₄·1/5H₂O : C : 54,26/54,52 ; H 5,98/5,89 ; N : 18,08/17,91.

(27) : masse isolée 1,00 g (rdt=73%)

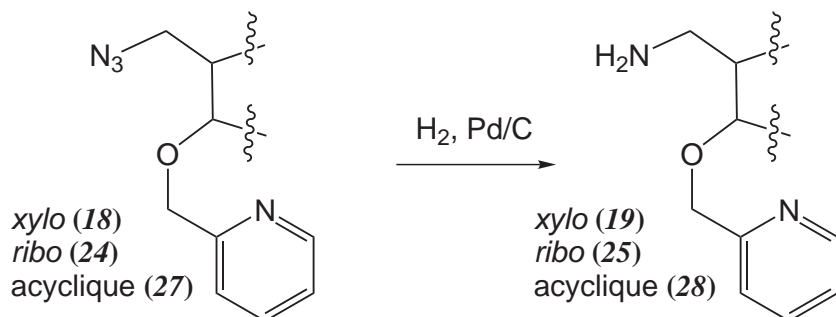
RMN-¹H (250 MHz, CDCl₃) : 8,54 (d, 1H, ³J_{5py,6py} = 4,6 Hz, H_{6py}) ; 7,58 (ddd~td, 1H, ³J_{4py,5py} = ³J_{3py,4py} = 7,7 Hz, ⁴J_{4py,6py} = 1,6 Hz, H_{4py}) ; {7,41 (d, 1H, ³J_{3py,4py} = 7,7 Hz, H_{3py}) ; 7,18 (m, 1H, H_{5py}) ; 4,62 (s, 2H, O-CH₂-py) ; 3,64 (t, 2H, ³J_{1,2} = 6,0 Hz, H1) ; 3,42 (t, 2H, ³J_{2,3} = 6,7 Hz, H3) ; 1,90 (tt~p, 2H, ³J_{2,3} = 6,7 Hz, ³J_{1,2} = 6,0 Hz, H2).

RMN-¹³C (62,5 MHz, CDCl₃) : 158,3 (C_{2py}) ; 149,1 (C_{6py}) ; 136,7 (C_{4py}) ; {122,4, 121,4} (C_{3py}, C_{5py}) ; 73,9 (O-CH₂-py) ; 67,6 (C1) ; 48,5 (C3) ; 29,2 (C2).

SM-ES $\frac{m}{z}$ (intensité %) : 193,1 [M+H]⁺ (6) ; 215,1 [M+Na]⁺ (88).

Microanalyse – calculé/trouvé pour C₉H₁₂N₄O· $\frac{1}{3}$ H₂O : C 54,53/54,99 ; H 6,44/6,14 ; N 28,26/27,26.

Réduction des fonctions azoture



Réactif	M [g mol ⁻¹]	n [mmol]	m [g]	solvant
(18) ou (24) ou (27)		3	1	Méthanol 10 mL
H ₂	2,00	5 bar		
Pd/C			0,1	

Le dérivé azidoéther est dissous dans le méthanol dans un bécher à hydrogénation. Le catalyseur est ajouté. Le réacteur est placé dans une bombe à hydrogéner sous 5 bars de dihydrogène. Le mélange est vigoureusement agité pendant 3 heures. Il est ensuite filtré sur célite. La célite est rincée avec du méthanol et la solution résultante est évaporée. Le produit est obtenu sous forme d'une huile avec un rendement quantitatif.

(19) :

RMN-¹H (250 MHz, CDCl₃) : 8,50 (d, 1H, ³J_{5py,6py} = 4,6 Hz, H_{6py}) ; 7,65 (ddd~td, 1H, ³J_{4py,5py} = ³J_{3py,4py} = 7,7 Hz, ⁴J_{4py,6py} = 1,7 Hz, H_{4py}) ; 7,31 (d, 1H, ³J_{3py,4py} = 7,7 Hz, H_{3py}) ; 7,18 (m, 1H, H_{5py}) ; 5,90 (d, 1H, ³J_{1,2} = 3,7 Hz, H1) ; {4,77, 4,59} (2*d, 2*1H, ²J = 13,3 Hz, O-CH₂-py) ; 4,63 (d, ³J_{1,2} = 3,7 Hz, H2) ; 4,24 (m, 1H, H4) ; 4,00 (d, ³J_{3,4} = 3,2 Hz, H3) ; 3,07 (m, 2H, H5a, H5b) ; {1,44, 1,26} (Me_{iP}).

RMN-¹³C (62,5 MHz, CDCl₃) : 157,0 (C_{2py}) ; 149,0 (C_{6py}) ; 137,1 (C_{4py}) ; {122,9, 121,5} (C_{3py}, C_{5py}) ; 111,7 (C_{quatiP}) ; 104,9 (C1) ; {82,8, 82,1} (C2, C4) ; 80,3 (C3) ; 72,0 (O-CH₂-py) ; 40,0 (C5) ; {26,7, 26,2} (Me_{iP}).

SM-ES $\frac{m}{z}$ (intensité %) : 281,2 [M+H]⁺ (5) ; 303,1 [M+Na]⁺ (100).

(25) :

RMN-¹H (360 MHz, CDCl₃) : 8,49 (d, 1H, ³J_{5py,6py} = 4,8 Hz, H_{6py}) ; 7,65 (ddd~td, 1H, ³J_{4py,5py} = ³J_{3py,4py} = 7,7 Hz, ⁴J_{4py,6py} = 1,7 Hz, H_{4py}) ; 7,40 (d, 1H ³J_{3py,4py} = 7,8 Hz, H_{3py}) ; 7,17 (m, 1H, H_{5py}) ; 5,75 (d, 1H, ³J_{1,2} = 3,6 Hz, H1) ; {4,84, 4,71} (2*d, 2*1H, ²J = 13,1 Hz, O-CH₂-py) ; 4,62 (dd~t, ³J_{2,3} = 4,2 Hz, ³J_{1,2} = 3,6 Hz, H2) ; 4,21 (m, 1H, H4) ; 3,90 (dd, ³J_{3,4} = 9,0 Hz, ³J_{2,3}

= 4,2 Hz, H3); 3,17 (dd, 1H, $^2J_{5a,5b} = 13,5$ Hz, $^3J_{4,5a} = 4,3$ Hz, H5a); 3,07 (dd, 1H, $^2J_{5a,5b} = 13,5$ Hz, $^3J_{4,5b} = 4,8$ Hz, H5b); {1,51, 1,27} (2*s, 2*3H, Me_{iP}).

RMN-¹³C (90 MHz, CDCl₃) : 157,2 (C_{2py}); 148,9 (C_{6py}); 137,1 (C_{4py}); {122,9, 122,1} (C_{3py}, C_{5py}); 113,2 (C_{quatiP}); 104,2 (C1); 79,8 (C2); {77,2, 76,2} (C3, C4); 72,5 (O-CH₂-py); 41,0 (C5); {26,8, 26,6} (Me_{iP}).

SM-ES $\frac{m}{z}$ (intensité %) : 281,2 [M+H]⁺ (37); 303,1 [M+Na]⁺ (100).

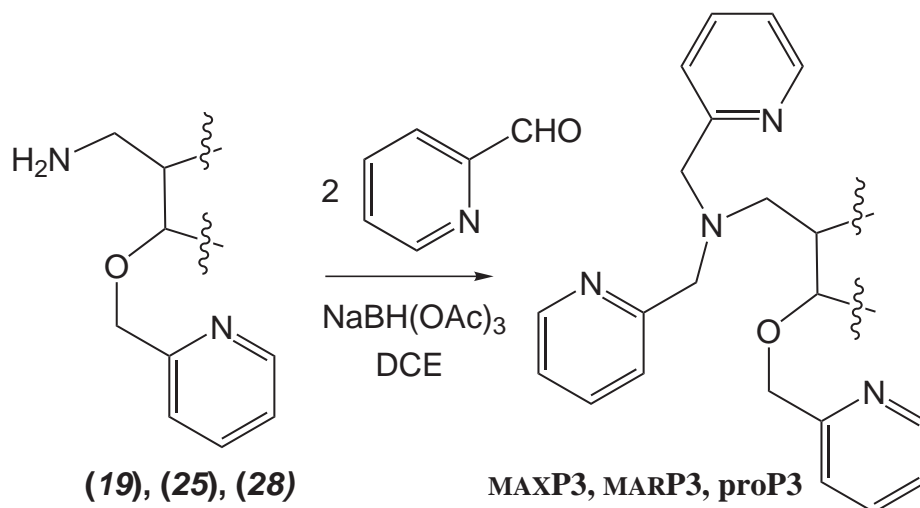
(27) :

RMN-¹H (360 MHz, CDCl₃) : 8,49 (d, 1H, $^3J_{5py,6py} = 4,8$ Hz, H_{6py}); 7,68 (ddd~td, 1H, $^3J_{4py,5py} = ^3J_{3py,4py} = 7,7$ Hz, $^4J_{4py,6py} = 1,7$ Hz, H_{4py}); 7,31 (d, 1H, $^3J_{3py,4py} = 7,8$ Hz, H_{3py}); 7,19 (m, 1H, H_{5py}); 4,63 (s, 2H, O-CH₂-py); 3,67 (t, 2H, $^3J_{1,2} = 7,0$ Hz, H1); 3,07 (t, 2H, $^3J_{2,3} = 6,5$ Hz, H3); 1,87 (tt~p, 2H, $^3J_{2,3} = 6,5$ Hz, $^3J_{1,2} = 7,0$ Hz, C2).

RMN-¹³C (90 MHz, CDCl₃) : 157,8 (C_{2py}); 149,0 (C_{6py}); 137,0 (C_{4py}); {122,7, 121,4} (C_{3py}, C_{5py}); 73,0 (O-CH₂-py); 69,0 (C1); 39,0 (C3); 29,2 (C2).

SM-ES $\frac{m}{z}$ (intensité %) : 167,1 [M+H]⁺ (100); 189,1 [M+Na]⁺ (27).

Double amination réductrice pour obtenir les dérivés N,N-dipicolyle



Réactif	M [g mol ⁻¹]	n [mmol]/éq	m [g]	solvant
(19) ou (25) ou (28)		3/1		1,2-dichloroéthane
2-pyCHO*	107,1	6/2	0,643	15 mL
NaBH(OAc) ₃	211,9	8,7/2,9	1,84	

* 2-pyridinecarboxaldéhyde

L'amine est dissoute dans le DCE et le réducteur est suspendu dans cette solution. Le mélange réactionnel est agité pendant 3-16 heures (la disparition de l'aldéhyde est suivie par CCM AcOEt/CH₂:8). Après ce délai, 30 mL de solution aqueuse saturée en NaHCO₃ sont ajoutés ainsi que 30 mL de CH₂Cl₂. La phase organique est décantée et la phase aqueuse est encore extraite avec du CH₂Cl₂. Les phases organiques réunies sont séchées (Na₂SO₄), traitées au charbon actif et évaporées. Le produit voulu est obtenu directement sous forme pure avec un rendement >90%.

MAXP₃ : masse isolée 1,33 g (rdt=96%).

Synthèse à plus grande échelle : masse isolée 6,32 g (91 %).

RMN-¹H (250 MHz, CDCl₃) : 8,49 (m, 3H, H_{6py}); {7,60 (m, 5H); 7,18 (m, 4H)} (H_{3py}, H_{4py}, H_{5py}); 5,92 (d, 1H, ³J_{1,2} = 3,9 Hz, H1); {4,73, 4,53} (2*d, 2*1H, ²J = 13,2 Hz, O-CH₂-py); 4,61 (d, ³J_{1,2} = 3,9 Hz, H2); 4,41 (m, 1H, H4); {4,00, 3,87} (2*d, 2*2H, ²J = 14,6 Hz, N-CH₂-py); 3,94 (d, ³J_{3,4} = 3,0 Hz, H3); 3,13 (dd, 1H, ²J_{5a,5b} = 13,9 Hz, ³J_{4,5a} = 5,1 Hz, H5a); 3,02 (dd, 1H, ²J_{5a,5b} = 13,9 Hz, ³J_{4,5b} = 6,6 Hz, H5b); {1,45, 1,31} (2*s, 2*3H, Me_{iP}).

RMN-¹³C (62,5 MHz, CDCl₃) : {159,7(2C), 157,7} (C_{2py}); 149,9 (3C) (C_{6py}); {136,7, 136,4 (2C)} (C_{4py}); {123,1 (2C), 122,5, 121,9(2C), 121,3} (C_{3py}, C_{5py}); 111,5 (C_{quatIP}); 104,9 (C1); 83,2 (C2); 81,2 (C4); 78,6 (C3); 72,2 (O-CH₂-py); 61,1 (N-CH₂-py); 53,1 (C5); {26,8, 26,3} (Me_{iP}).

SM-ES $\frac{m}{z}$ (intensité %) : 463,2 [M+H]⁺ (11) ; 482,2 [M+Na]⁺ (100).

Microanalyse – calculé/trouvé pour C₂₆H₃₀N₄O₄.H₂O : C 64,98/64,81 ; H 6,71/6,38 ; N 11,66/11,43.

IR $\tilde{\nu}$ (cm⁻¹) : 1591 ($\nu_{C=N}$) ; [1128,1078,1047,1016] (δ_{noyauPy}) ; 761 ($\delta_{C_{py}-H}$).

MARP₃ : masse isolée 680 mg (rdt=98%, synthèse réalisée avec 1,5 mmol de produit de départ)

RMN-¹H (360 MHz, CDCl₃) : 8,49 (m, 3H, H_{6_{py}}) ; 7,69 (m, 3H, H_{4_{py}}) ; {7,53 (d, 2H, ³J_{3_{py},4_{py}} = 7,3 Hz), 7,29 (d, 1H, ³J_{3_{py},4_{py}} = 7,3 Hz)} (H_{3_{py}}) ; {7,16 (m, 1H) ; 7,07 (m, 2H)}, H_{5_{py}} ; 5,72 (d, 1H, ³J_{1,2} = 3,6 Hz, H1) ; {4,78, 4,53} (2*d, 2*1H, ²J = 13,1 Hz, O-CH₂-py) ; 4,60 (dd~t, ³J_{1,2} = 3,6 Hz, ³J_{2,3} = 4,3 Hz, H2) ; 4,28 (m, 1H, H4) ; 3,91 (s, 4H, N-CH₂-py) ; 3,62 (dd, ³J_{3,4} = 8,9 Hz, ³J_{2,3} = 4,3 Hz, H3) ; 2,98 (dd, 1H, ²J_{5a,5b} = 14,0 Hz, ³J_{4,5a} = 1,8 Hz, H5a) ; 2,76 (dd, 1H, ²J_{5a,5b} = 14,0 Hz, ³J_{4,5b} = 6,8 Hz, H5b) ; {1,54, 1,32} (2*s, 2*3H, Me_{iP}).

RMN-¹³C (90 MHz, CDCl₃) : {159,8(2C), 157,9} (C_{2_{py}}) ; 148,9 (3C) (C_{6_{py}}) ; {136,6, 136,3 (2C)} (C_{4_{py}}) ; {123,1 (2C), 122,5, 121,8(2C), 121,7} (C_{3_{py}}, C_{5_{py}}) ; 112,7 (C_{quatIP}) ; 104,2 (C1) ; 80,6 (C3) ; 78,0 (C4) ; 76,7 (C2) ; 72,8 (O-CH₂-py) ; 61,1 (N-CH₂-py) ; 55,3 (C5) ; {26,8, 26,6} (Me_{iP}).

SM-ES $\frac{m}{z}$ (intensité %) : 463,2 [M+H]⁺ (17) ; 482,2 [M+Na]⁺ (100).

Microanalyse – calculé/trouvé pour C₂₆H₃₀N₄O₄. $\frac{3}{4}$ H₂O : C 65,60/65,55 ; H, 6,67/6,89 ; N, 11,77/11,31.

IR $\tilde{\nu}$ (cm⁻¹) : 1591 ($\nu_{C=N}$) ; [1149,1122,1091,1048,1014] (δ_{noyauPy}) ; 760 ($\delta_{C_{py}-H}$).

proP₃ : masse isolée 960 mg (rdt=92%).

RMN-¹H (300 MHz, CDCl₃) : 8,49 (m, 3H, H_{6_{py}}) ; 7,58 (ddd~td, 3H, ³J_{4_{py},5_{py}} = ³J_{3_{py},4_{py}} = 7,8 Hz, ⁴J_{4_{py},6_{py}} = 1,7 Hz, H_{4_{py}}) ; {7,49 (d, 2H, ³J_{3_{py},4_{py}} = 7,8 Hz), 7,27 (d, 1H, ³J_{3_{py},4_{py}} = 7,8 Hz)} (H_{3_{py}}) ; 7,10 (m, 3H) ; H_{5_{py}} ; 4,52 (s, 2H, O-CH₂-py) ; 3,79 (s, 4H, N-CH₂-py) ; 3,55 (t, 2H, ³J_{1,2} = 6,3 Hz, H1) ; 2,67 (t, 2H, ³J_{2,3} = 7,0 Hz, H3) ; 1,87 (tt~p, 2H, ³J_{2,3} = 7,0 Hz, ³J_{1,2} = 6,3 Hz, H2).

RMN-¹³C (75 MHz, CDCl₃) : {159,8(2C), 158,7} (C_{2_{py}}) ; 148,9 (3C) (C_{6_{py}}) ; {136,6, 136,4 (2C)} (C_{4_{py}}) ; {122,8 (2C), 122,2, 121,9(2C), 121,2} (C_{3_{py}}, C_{5_{py}}) ; 73,6 (O-CH₂-py) ; 69,0 (C1) ; 60,4 (N-CH₂-py) ; 51,1 (C3) ; 27,5 (C2).

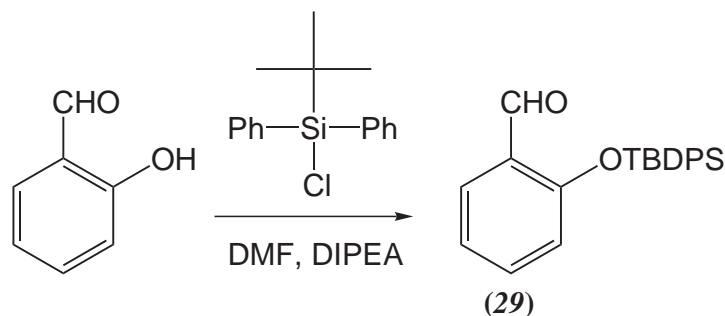
SM-ES $\frac{m}{z}$ (intensité %) : 349,1 [M+H]⁺ (7) ; 371,1 [M+Na]⁺ (100).

Microanalyse – calculé/trouvé pour C₂₁H₂₄N₄O. $\frac{3}{4}$ H₂O : C : 69,68/69,45 ; H 7,10/6,81 ; N 15,48/15,27.

IR $\tilde{\nu}$ (cm⁻¹) : 1592 ($\nu_{C=N}$) ; [1166,1149,1080,1047,1014] (δ_{noyauPy}) ; 762 ($\delta_{C_{py}-H}$).

Salicylaldéhyde protégé par le TBDPS (29)

Référence : Produit analogue protégé par TBDMS : C.-F Lin *et al.*, *Synlett*, **2003**, 2057^[353].



Réactif	M [g mol ⁻¹]	n [mmol]/éq	m [g]	solvant
salicylaldéhyde	122,1	33/1	4,03	DMF 80 mL
TBDPS-Cl	274,9	36,3/1,1	9,98	DIPEA* 20 mL

* DIPEA : diisopropyléthylamine

Le salicylaldéhyde est ajouté à froid (bain de glace) sur un mélange de DMF et de DIPEA. Une coloration jaune, indicative de la présence de l'anion phénolate, apparaît immédiatement. Le chlorure de silyle est ajouté à ce mélange. Au bout de deux heures, la coloration jaune a disparu, ce qui indique la fin de la réaction. Le produit est purifié par chromatographie sur colonne de silice (éluant : éther/heptanes 2:8). Après évaporation, 10,43 g d'un solide incolore sont obtenus (rdt = 88 %).

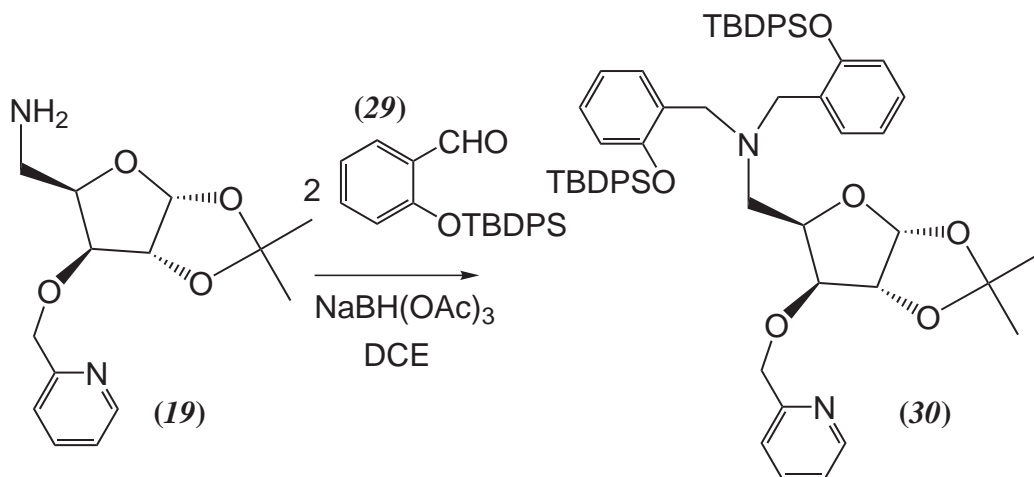
RMN-¹H (250 MHz, CDCl₃) : 10,84 (s, 1H, CHO) ; 7,88 (d, 1H ³J_{3PhOR,4PhOR} = 7,7 Hz, H_{3PhOR}) ; 7,78 (d, ³J_{o,m} = 6,5 Hz, 4H, H_{OPh}) ; 7,45 (m, 6H, H_{mPh}, H_{pPh}) ; 7,18 (dd~t, 1H, ³J_{4PhOR,5PhOR} = 7,3 Hz, ³J_{5PhOR,6PhOR} = 8,3 Hz, H_{5PhOR}) ; 6,98 (dd~t, 1H, ³J_{3PhOR,4PhOR} = 7,7 Hz, ³J_{4PhOR,5PhOR} = 7,3 Hz, H_{4PhOR}) ; 6,55 (d, 1H, ³J_{5PhOR,6PhOR} = 8,3 Hz, H_{6PhOR}) ; 1,17 (s, 9H, ^tBu).

RMN-¹³C (62,5 MHz, CDCl₃) : 190,1 (CHO) ; 158,8 (C_{1PhOR}) ; 135,4 (C_{OPh}) ; 134,9 (C_{5PhOR}) ; 130,8 (C_{pPh}) ; 128,1 (C_{mPh}) ; 131,9 (C_{2PhOR}) ; 127,8 (C_{3PhOR}) ; 126,7 (C_{ipsOPh}) ; {121,3, 120,4} (C_{4PhOR}, C_{6PhOR}) ; 26,5 (CMe₃) ; 19,7 (CMe₃).

SM-ES haute résolution $\frac{m}{z}$: [C₂₃H₂₄O₂Si+Na]⁺ calculé : 383,1438 trouvé 383,1443.

Microanalyse – calculé/trouvé pour C₂₃H₂₄O₂Si : C : 76,62/76,73 ; H : 7,21/6,71.

Double amination réductrice pour introduire deux fonctions phénol protégées :
dérivé *xylo* (30)



Réactif	M [g mol ⁻¹]	n [mmol]/éq	m [g]	solvant
(19)	280,3	5,1/1	1,43	1,2-dichloroéthane
(29)	360,5	10,2/2	3,68	15 mL
NaBH(OAc) ₃	211,9	14,8/2,9	3,14	

Cette manipulation est conduite comme pour la synthèse des dérivés N,N-dipicolyle. Après une nuit de réaction, la CCM (CHCl₃/acétone 20:1) montre la présence d'un produit principal à $R_f = 0,7$ ainsi que de nombreux sous-produits fortement retenus $R_f < 0,2$. La composition du mélange réactionnel ne semble pas évoluer après 8h d'agitation supplémentaires. On peut donc en conclure qu'une hydrolyse partielle des groupements protecteurs a lieu lors de cette réaction. Après extraction, le produit est purifié par chromatographie sur colonne (CHCl₃/acétone 20:1, $R_f = 0,7$). 2,22 g de (30) sont obtenus (rdt = 45%, huile incolore).

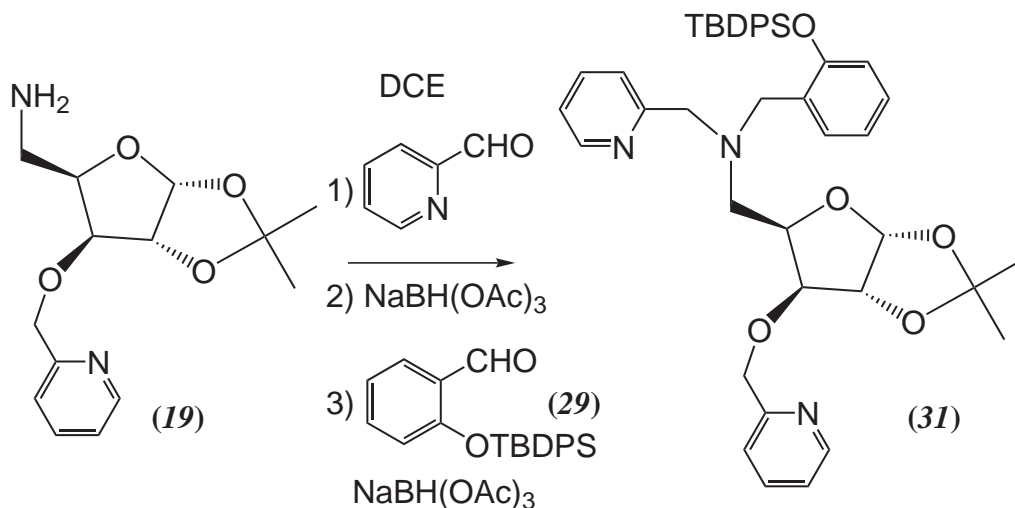
RMN-¹H (360 MHz, CDCl₃) : 8,48 (d, 1H, ³ $J_{5py,6py} = 4,9$ Hz, H_{6py}); 7,80 (m, 8H, H_{Ph}); 7,71 (dd, 1H, ³ $J_{3PhOR,4PhOR} = 7,6$ Hz, ⁴ $J_{3PhOR,5PhOR} = 1,6$ Hz, H_{3PhOR}); 7,41 (m, 14H, H_{Ph}, H_{3py}, H_{4py}); 7,10 (m, 1H, H_{5py}); 6,87 (ddd~td, 2H, ³ $J_{4PhOR,5PhOR} = 8,1$ Hz, ³ $J_{3PhOR,4PhOR} = 7,6$ Hz, ⁴ $J_{4PhOR,6PhOR} = 0,8$ Hz, H_{4PhOR}); 6,87 (ddd~td, 2H, ³ $J_{4PhOR,5PhOR} = 8,1$ Hz, ³ $J_{5PhOR,6PhOR} = 8,1$ Hz, ⁴ $J_{3PhOR,5PhOR} = 1,6$ Hz, H_{5PhOR}); 6,45 (dd, 2H, ³ $J_{5PhOR,6PhOR} = 8,1$ Hz, ⁴ $J_{4PhOR,6PhOR} = 0,8$ Hz, H_{6PhOR}); 5,99 (d, 1H, ³ $J_{1,2} = 3,8$ Hz, H₁); {4,74, 4,57} (2*d, 2*1H, ² $J = 13,4$ Hz, O-CH₂-py); 4,66 (d, 1H, ³ $J_{1,2} = 3,8$ Hz, H₂); 4,52 (m, 1H, H₄); 4,13 (s_{large}, 4H, N-CH₂-PhOR); 4,07 (d, 1H, ³ $J_{3,4} = 2,9$ Hz, H₃); 3,40 (dd, 1H, ² $J_{5a,5b} = 13,5$ Hz, ³ $J_{4,5a} = 6,4$ Hz, H_{5a}); 3,12 (dd, 1H, ² $J_{5a,5b} = 13,5$ Hz, ³ $J_{4,5b} = 5,3$ Hz, H_{5a}); {1,50, 1,37} (2*s, 2*3H, Me_{iP}); 1,16 (s, 18H, ^tBu).

RMN-¹³C (75 MHz, CDCl₃) : 157,9 (C_{2py}); 153,5 (C_{1PhOR}); 148,6 (C_{6py}); 136,8 (C_{4py}); 135,5 (C_{OPh}); (132,7) (C_{2PhOR}); (130,0, 129,6) (C_{5PhOR}, C_{3PhOR}); 129,9 (C_{pPh}); 128,1 (C_{ipsoPh}); 127,9 (C_{mPh}); (122,3, 121,2) (C_{3py}, C_{5py}); (121,1, 118,7) (C_{4PhOR}, C_{6PhOR}); 111,5 (C_{quatiP}); 104,9 (C₁);

83,0 (C2); 81,7 (C4); 79,1 (C3); 72,1 (O-CH₂-py); 53,5 (N-CH₂-PhOR); 52,9 (C5); (26,9, 26,4) (Me₁P); 26,7 CMe₃; 19,7 CMe₃.

SM-ES *m/z* (intensité %) : 969,5 [M+H]⁺ (100); 991,5 [M+Na]⁺ (20).

Introduction « one-pot » d'une fonction phénol protégée et d'un groupement picolyle : dérivé xylo (31)



Réactif	<i>M</i> [g mol ⁻¹]	<i>n</i> [mmol]/éq	<i>m</i> [g]	solvant
(19)	280,3	1,78/1	0,500	
2-pyCHO*	107,1	1,78/1	0,191	1,2-dichloroéthane
(29)	360,5	1,78/1	0,643	10 mL
NaBH(OAc) ₃	211,9	2*2,58/2*1,45	2*0,547	

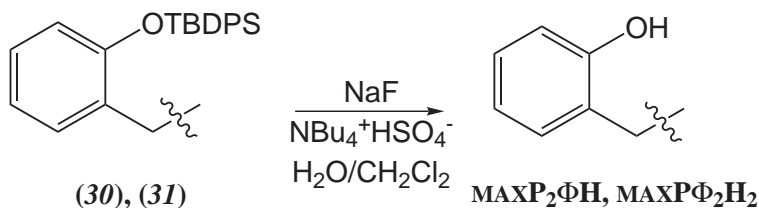
* 2-pyridinecarboxaldéhyde

L'amine de départ et le 2-pyridinecarboxaldéhyde sont dissous dans le 1,2-dichloroéthane et agités pendant une heure. 1,45 équivalents du réducteur sont ajoutés et l'agitation est poursuivie pendant 3 heures. Ensuite, le salicylaldéhyde protégé et le reste du réducteur sont ajoutés et le mélange est agité encore une nuit. Au bout d'une nuit, la CCM (AcOEt) montre la présence d'un produit majoritaire (*R_f* = 0,4) ainsi que d'un produit très retenu (probablement le composé comportant deux pyridines) et d'un composé peu retenu (comportant probablement deux fonctions phénol protégées). 30 mL de solution aqueuse saturée en NaHCO₃ sont ajoutés au mélange réactionnel ainsi que 30 mL de dichlorométhane. La phase organique est décantée et la phase aqueuse est encore extraite avec du dichlorométhane. Les phases organiques réunies sont séchées, traitées au charbon actif et évaporées. Le produit voulu est séparé des autres produits par chromatographie sur colonne de silice (éluant : AcOEt). 0,72 g d'une huile incolore sont obtenus (rdt = 57%).

RMN-¹H (300 MHz, CDCl₃) : 8,49 (m, 2H, H₆_{py}); 7,73 (m, 4H, H_{Ph}); 7,59 (m, 3H, H₃_{py} et H₄_{py(a)}); 7,52 (ddd~td, 1H, ³J_{4py,5py} = ³J_{3py,4py} = 7,7 Hz, ⁴J_{4py,6py} = 1,7 Hz, H₄_{py(b)}); 7,36 (m, 6H, H_{Ph}); 7,20 (d, 1H, ³J_{3PhOR,4PhOR} = 7,9 Hz, H₃_{PhOR}); {7,12 (m, 1H), 7,06 (m,1H)}, (H₅_{py}); 6,84 (dd~t, ³J_{4PhOR,5PhOR} = ³J_{3PhOR,4PhOR} = 7,9 Hz, H₄_{PhOR}); 6,73 (dd~t, ³J_{4PhOR,5PhOR} = 7,9 Hz, H₅_{PhOR}); 6,41 (d, 1H, ³J_{5PhOR,6PhOR} = 7,9 Hz, H₆_{PhOR}); 5,94 (d, 1H, ³J_{1,2} = 3,8 Hz, H₁); {4,74, 4,55} (2*d, 2*1H, ²J = 13,3 Hz, O-CH₂-py); 4,62 (d, 1H, ³J_{1,2} = 3,8 Hz, H₂); 4,43 (m, 1H, H₄); {(4,09, 4,04) (m, 3H) et 3,91 (d, 1H, ²J = 14,8 Hz)} (N-CH₂-py, N-CH₂-PhOR); 3,98 (d, 1H, ³J_{3,4} = 2,9 Hz, H₃); 3,23 (dd, 1H, ²J_{5a,5b} = 13,7 Hz, ³J_{4,5a} = 5,6 Hz, H_{5a}); 3,04 (dd, 1H, ²J_{5a,5b} = 13,7 Hz, ³J_{4,5b} = 6,0 Hz, H_{5b}); {1,44, 1,31} (2*s, 2*3H, Me_{iP}), 1,10 (s, 9H, ^tBu).

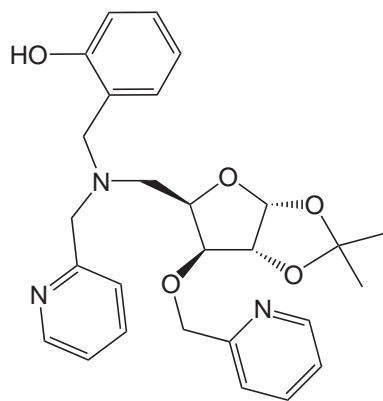
RMN-¹³C (75 MHz, CDCl₃) : {160,0, 157,9, 153,6} (C₂_{py}, C₁_{PhOR}); {148,9, 148,8} (C₆_{py}); {136,7, 136,3} (C₄_{py}); 135,5 (C_{oPh}); 132,7 (C₂_{PhOR}); {130,1, 127,2} (C₅_{PhOR}, C₃_{PhOR}); 129,4 (C_{pPh}); 128,3 (C_{ipsoPh}); 127,9 (C_{mPh}); {123,0, 122,4, 121,8, 121,3, 121,1, 118,9} (C₃_{py}, C₅_{py}, C₄_{PhOR}, C₆_{PhOR}); 111,5 (C_{quatiP}); 104,9 (C₁); 83,2 (C₂); 81,8 (C₄); 78,9 (C₃); 72,4 (O-CH₂-py); 61,2 (N-CH₂-py); (53,5 53,0) (N-CH₂-PhOR, C₅); (26,9, 26,4) (Me_{iP}); 26,7 CMe₃; 19,7 CMe₃.

SM-ES $\frac{m}{z}$ (intensité %) : 716,4 [M+H]⁺ (99); 738,4 [M+Na]⁺ (100); 741,4 [M+K]⁺ (5).

Déprotection en conditions douces des phénols (*dérivés xylo*)

Réactif	M [g mol ⁻¹]	n [mmol]/éq	m [g]	solvant
(30) ou (31)		1/1		CH ₂ Cl ₂ 15 mL
NaF	41,99	5,7/10	0,420	eau 15 mL
NBu ₄ HSO ₄	323,5	0,6/0,5	0,163	

Le dérivé silylé, le fluorure de sodium et l'agent de transfert de phase sont dissous dans le mélange biphasique. Ce mélange est agité vigoureusement à 40°C pendant une nuit. Ensuite, la phase organique est décantée et la phase aqueuse est extraite encore une fois avec 20 mL de dichlorométhane. Une séparation par chromatographie sur colonne de silice (éluant acétone/CHCl₃ 3 : 17) pour séparer le produit voulu ($R_f < 0,1$) du fluorure de *tert*-butyldiphénylsilyle (comme le produit est très retenu, une quantité faible de silice, environ 10 fois la masse du produit brut, doit être utilisée). Le rendement est quantitatif pour MAXP₂ΦH et de 95% pour MAXPΦ₂H₂.

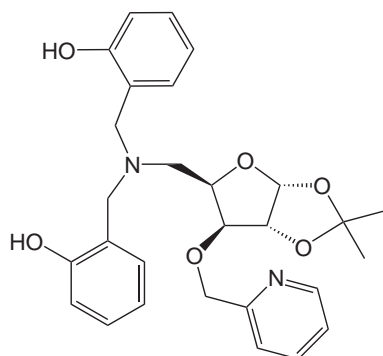
MAXP₂ΦH

RMN-¹H (360 MHz, CDCl₃) : {8,58 (d (signaux élargis), 1H, ³ $J_{5py,6py}$ = 4,8 Hz), 8,48 (d, 1H, ³ $J_{5py,6py}$ = 4,7 Hz)} (H_{6py}); {7,64 (ddd~td, 1H, ³ $J_{4py,5py}$ = ³ $J_{3py,4py}$ = 7,7 Hz, ⁴ $J_{4py,6py}$ = 1,7 Hz), 7,59 (ddd~td, 1H, ³ $J_{4py,5py}$ = ³ $J_{3py,4py}$ = 7,7 Hz, ⁴ $J_{4py,6py}$ = 1,7 Hz)} (H_{4py}); 7,29 (d, 1H, ³ $J_{3py,4py}$ = 7,7 Hz, H_{3py(a)}); 7,14 (m, 4H, H_{3py(b)}, H_{5py}, H_{5PhOH}); 6,96 (dd, 1H, ³ $J_{3PhOH,4PhOH}$ = 7,4 Hz, ⁴ $J_{3PhOH,5PhOH}$ = 1,2 Hz, H_{3PhOH}); 6,83 (d, 1H, ³ $J_{5PhOH,6PhOH}$ = 8,1 Hz, H_{6PhOH}); 6,74 (dd~t, 1H, ³ $J_{4PhOH,5PhOH}$ = ³ $J_{3PhOH,4PhOH}$ = 7,4 Hz, H_{4PhOH}); 5,91 (d, ³ $J_{1,2}$ = 3,8 Hz, H₁); {4,68, 4,50} (2*d, 2*1H, ² J = 13,1 Hz, O-CH₂-py); 4,59 (d, ³ $J_{1,2}$ = 3,8 Hz, H₂); 4,40 (m, 1H, H₄); {(4,09, 3,87) (2*d, 2*1H, ² J = 14,7 Hz), (3,96, 3,78) (2*d, 2*1H, ² J = 13,7 Hz)} (N-CH₂-py et N-CH₂-PhOH); 3,93 (d, 1H, ³ $J_{3,4}$ = 3,1 Hz, H₃); 3,12 (dd, 1H, ² $J_{5a,5b}$ = 13,9 Hz, ³ $J_{4,5a}$ = 5,0 Hz, H_{5a}); 2,97 (dd, 1H, ² $J_{5a,5b}$ = 13,9 Hz, ³ $J_{4,5b}$ = 7,0 Hz, H_{5a}); {1,46, 1,30} (2*s, 2*3H, Me_{iP}).

RMN-13C (90 MHz, CDCl₃) : {158,1, 157,7, 157,6} (C₂_{py}, C₁_{PhOH}) ; {149,0, 148,9} (C₆_{py}) ; {136,7, 136,6} (C₄_{py}) ; {129,4, 128,9} (C₃_{PhOH}, C₅_{PhOH}) ; 128,2 (C₂_{PhOH}) ; {123,4, 122,4, 122,3, 121,2} (C₄_{PhOH}, C₃_{py}, C₅_{py}) ; {118,9, 116,1} (C₄_{PhOH}, C₆_{PhOH}) ; 111,6 C_{quatIP} ; 104,9 (C₁) ; {83,0, 81,6} (C₂, C₄) ; 77,7 (C₃) ; 72,3 (O-CH₂-py) ; {60,2, 57,9} (N-CH₂-py, N-CH₂-PhOH) ; 52,0 (C₅) ; {26,8, 26,2} (Me_{iP}).

SM-ES *m/z* (intensité %) : 484,4 [M+H]⁺ (100) ; 506,4 [M+Na]⁺ (67).

Microanalyse – calculé/trouvé pour C₂₇H₃₁N₃O₅· $\frac{2}{3}$ H₂O : C 66,24/66,34 ; H 6,66/6,62 ; N 8,58/8,21.



MAXPΦ₂H₂

RMN-¹H (360 MHz, CDCl₃) : 8,50 (d, 1H, ³J_{5py,6py} = 4,8 Hz, H₆_{py}) ; 7,61 (ddd~*td*, 1H, ³J_{4py,5py} = ³J_{3py,4py} = 7,7 Hz, ⁴J_{4py,6py} = 1,7 Hz, H₄_{py}) ; 7,19 (m, 1H, H₅_{py}) ; 7,06 (m, 5H, H₃_{py}, H₃_{PhOH}, H₅_{PhOH}) ; 6,79 (d, 2H, ³J_{5PhOH,6PhOH} = 8,0 Hz, ⁴J_{4PhOH,6PhOH} = 0,8 Hz, H₆_{PhOH}) ; 6,74 (ddd~*td*, 1H, ³J_{3PhOH,4PhOH} = ³J_{4PhOH,5PhOH} = 7,4 Hz, ⁴J_{4PhOH,6PhOH} = 0,8 Hz, H₄_{PhOH}) ; 5,95 (d, 1H, ³J_{1,2} = 3,8 Hz, H₁) ; {4,82 (d, 1H, ²J = 13,4 Hz), 4,68 (m, 3H)} (O-CH₂-py, H₂, H₄) ; {4,10 (m, 3H) ; 3,64 (d, 2H, ²J = 13,4 Hz)} (H₃, N-CH₂-PhOH) ; 3,17 (dd, 1H, ²J_{5a,5b} = 13,6 Hz, ³J_{4,5a} = 5,9 Hz, H_{5a}) ; 2,93 (dd, 1H, ²J_{5a,5b} = 13,6 Hz, ³J_{4,5a} = 6,5 Hz, H_{5a}) ; {1,45, 1,29} (2*s, 2*3H, Me_{iP}).

RMN-13C (90 MHz, CDCl₃) : 157,7 (C₂_{py}) ; 156,9 (C₁_{PhOH}) ; 148,1 (C₆_{py}) ; 137,2, (C₄_{py}) ; {130,4, 129,0} (C₃_{PhOH}, C₅_{PhOH}) ; 129,9 (C₂_{PhOH}) ; {122,6, 121,6} (C₃_{py}, C₅_{py}) ; {119,2, 116,2} (C₄_{PhOH}, C₆_{PhOH}) ; 111,9 C_{quatIP} ; 104,8 (C₁) ; {82,5, 81,6} (C₂, C₄) ; 77,7 (C₃) ; 71,4 (O-CH₂-py) ; {56,5} (N-CH₂-PhOH) ; 50,9 (C₅) ; {26,8, 26,5} (Me_{iP}).

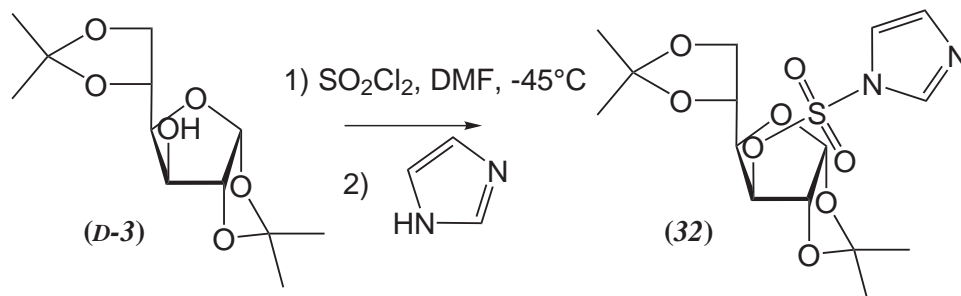
SM-ES *m/z* (intensité %) : 493,2 [M+H]⁺ (78) ; 515,5 [M+Na]⁺ (100). Ionisation négative : 491,1 [M-H]⁻ (54).

Microanalyse – calculé/trouvé pour C₂₈H₃₂N₂O₅· $\frac{3}{2}$ H₂O : C 64,72/64,94 ; H 6,79/6,62 ; N 5,39/4,94

A.4.2 Ligand ne comportant aucune fonction éther

Dérivé imidazylate du 1,2:5,6-*O*-diisopropylidène- α -D-glucose (**32**)

Référence : J.-M. Vattel et S. Hanessian, *Tetrahedron*, **52**, **1996**, 10557^[332].



Réactif	M [g mol ⁻¹]	n [mmol]/éq	m [g]	solvant
(D-3)	260,3	19,2/1	5	
SO ₂ Cl ₂	135,0	38,4/2	5,19	DMF 50mL
imidazole	68,08	192/10	13,2	

On dissout (**D-3**) sous argon dans le DMF anhydre dans un ballon bicol muni d'un thermomètre et d'une ampoule de coulée. On porte la solution à -45° grâce à un bain EtOH/N₂(l). Le chlorure de sulfuryle est additionné goutte à goutte tout en veillant à ne pas dépasser la température de -40°C. Une fois l'addition terminée, on laisse remonter la température jusqu'à TA, on additionne l'imidazole et on laisse réagir deux heures. Après ce délai, la conversion est totale d'après l'analyse par CCM ether/CH 2:1. Le mélange réactionnel est ensuite versé sur 200 mL d'eau froide. Un solide blanc cristallise. La cristallisation est poursuivie en plongeant le béccher dans un bain eau/glacé pendant 2 heures. Les cristaux sont essorés et lavés deux fois à l'eau glacée. Ils sont séchés sous vide dans un dessiccateur contenant du P₂O₅. La masse finale de (**32**) est de 5,26 g (rdt : 70%).

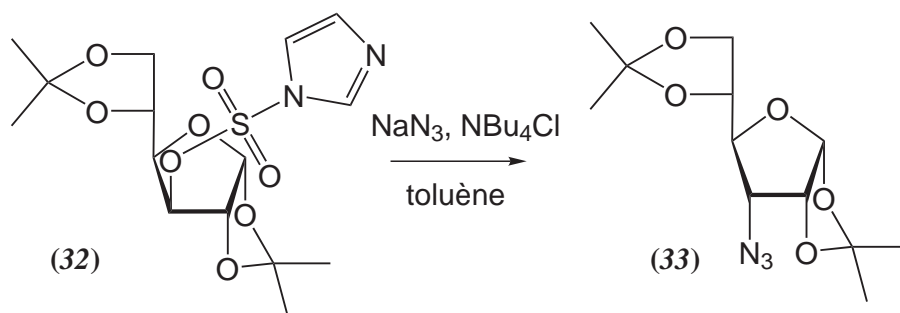
RMN-¹H (250 MHz, CDCl₃) : {8,01, 7,40, 7,18} (3*s_{large}, H_{Im}) ; 5,99 (d, 1H, ³J_{1,2} = 3,7 Hz, H1) ; 4,90 (m, 1H, H3) ; 4,78 (d, 1H, ³J_{1,2} = 3,7 Hz, H2) ; {4,07 (m, 3H.), 3,92 (m,1H)} (H4, H5, H6a, H6b) ; {1,53, 1,36, 1,29, 1,25} (4*s, 4*3H, Me_{iP}).

RMN-¹³C (62,5 MHz, CDCl₃) : {137,2, 130,8, 118,5} (C_{Im}) ; 113,0 (C_{quatiP1,2}) ; 109,7 (C_{quatiP5,6}) ; 105,1 (C1) ; 86,2 (C3) ; 82,07 (C4) ; 79,6 (C5) ; 71,7 (C2) ; 67,3 (C6) ; {26,8, 26,5, 26,6, 24,6} (Me_{iP}).

P. f. : 85-88 °C (Litt : 89-90 °C).

3-azido-3-désoxy-1,2:5,6-O-diisopropylidène- α -D-allose (33)

Référence : J.-M. Vatèle et S. Hanessian, *Tetrahedron*, 52, 1996, 10557^[332].



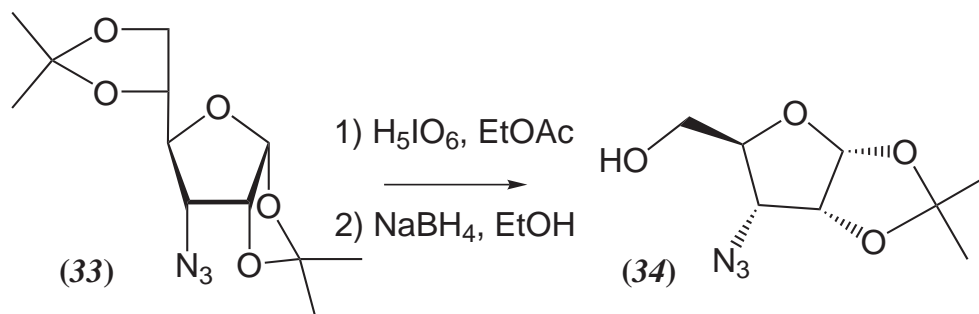
Réactif	M [g mol ⁻¹]	n [mmol]/éq	m [g]	solvant
(32)	390,4	7,68/1	3,00	
NaN ₃	65,01	23,1/3	1,50	toluène 90 mL
NBu ₄ Cl	277,9	23,1/3	6,42	

Les réactifs sont mélangés dans le solvant. Le mélange réactionnel est agité 30 minutes à TA puis une nuit à 70°C. Après retour à TA, et la solution toluénique est lavée 3 fois avec 80 mL d'eau. La phase organique est séchée et évaporée. Le résidu contient deux produits d'après l'analyse par CCM (AcOEt/CH 1:1, $R_f = 0,5$ et $0,45$). Selon les auteurs des publications originales, le produit secondaire est un produit d'élimination. Le produit de substitution est le produit au plus bas R_f . Les deux produits sont séparés par chromatographie sur colonne (éluant AcOEt/CH 2:8 à 1:1). Il a été nécessaire de répéter la séparation sur colonne 3 fois afin de séparer complètement les deux produits de la réaction. Le produit (33) est isolé sous forme d'une huile mobile incolore pesant 1,31 g (rdt : 60%).

RMN-¹H (250 MHz, CDCl₃) : 5,73 (d, 1H, ³ $J_{1,2} = 3,5$ Hz, H1) ; 4,68 (dd~t, ³ $J_{1,2} = 3,5$ Hz, ³ $J_{2,3} = 4,3$ Hz, H2) ; {4,09 (m, 2H), 3,95 (m, 2H)} (H4, H5, H6a, H6b) ; 3,47 (dd, ³ $J_{3,4} = 9,2$ Hz, ³ $J_{2,3} = 4,3$ Hz, H3) ; {1,53, 1,43, 1,32, 1,31} (4*s, 4*3H, Me_{iP}).

RMN-¹³C (62,5 MHz, CDCl₃) : 113,1 (C_{quatiP1,2}) ; 110,0 (C_{quatiP5,6}) ; 103,9 (C1) ; 80,5 (C2) ; 78,0 (C4) ; 75,8 (C5) ; 66,7 (C3) ; 62,5 (C6) ; {26,4 (2C), 26,2, 25,0} (Me_{iP}).

SM-ES $\frac{m}{z}$ (intensité %) : 308,1 [M+Na]⁺ (47%), pics de produits de fragmentation.

3-azido-3-désoxy-1,2-O-isopropylidène- α -D-ribofurannose (**34**)Référence : M.Xie *et al.*, *J. Org. Chem.*, 61,1996, 5178^[262].

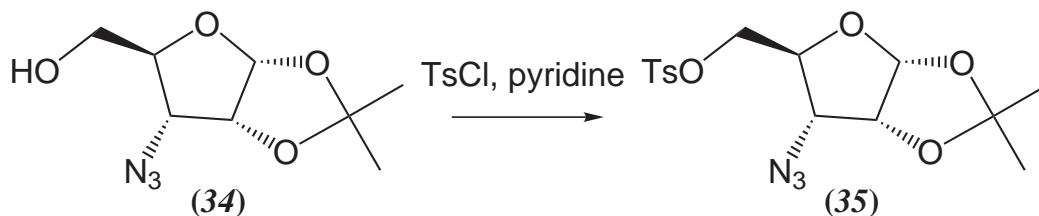
Réactif	M [g mol ⁻¹]	n [mmol]/éq	m [g]	solvant
(33)	285,3	14,0/1	4,00	AcOEt 80 mL
H ₅ IO ₆	227,9	16,8/1,2	3,82	
NaBH ₄	37,83	21,0/1,5	0,796	EtOH 60 mL

Cette synthèse est réalisée de façon semblable à celle de (**17**) et (**23**). La disparition du dérivé diisopropylidène est suivie par CCM (AcOEt/CH 1:1). Elle est complète en 6 heures. Le mélange réactionnel est alors filtré et évaporé. Le résidu est redissous dans l'éthanol absolu à 0°C (bain de glace). La réduction est conduite comme précédemment (en A.4.1). Le produit final est obtenu sous forme d'une huile légèrement jaune et est utilisé sans purification supplémentaire pour l'étape suivante. Masse obtenue : 2,05 g (rdt = 68%).

RMN-¹H (360 MHz, CDCl₃) : 5,79 (d, 1H, ³ $J_{1,2}$ = 3,7 Hz, H1) ; 4,73 (dd~t, ³ $J_{2,3}$ = 4,5 Hz, ³ $J_{1,2}$ = 3,7 Hz, H2) ; 4,10 (ddd~dt, 1H, ³ $J_{3,4}$ = 9,6 Hz, ³ $J_{4,5b}$ = 3,0 Hz, ³ $J_{4,5a}$ = 2,4 Hz, H4) ; 3,96 (dd, 1H, ² $J_{5a,5b}$ = 12,7 Hz, ³ $J_{4,5a}$ = 2,4 Hz, H5a) ; 3,68 (dd, 1H, ² $J_{5a,5b}$ = 12,7 Hz, ³ $J_{4,5b}$ = 3,0 Hz, H5b) ; 3,58 (dd, ³ $J_{3,4}$ = 9,6 Hz, ³ $J_{2,3}$ = 4,5 Hz, H3) ; 2,49 (s_{large}, 1H, OH) ; {1,56, 1,35} (2*s, 2*3H, Me_{iP}).

RMN-¹³C (90 MHz, CDCl₃) : 113,4 (C_{quatiP}) ; 104,2 (C1) ; 80,2 (C2) ; 78,3 (C4) ; 60,1 (C5) ; 59,4 (C3) ; 26,4 (2C) (Me_{iP}).

SM-ES $\frac{m}{z}$ (intensité %) : 216,1 [M+H]⁺ (16) ; (72) 238,1 [M+Na]⁺ (72), et pics de fragmentation.

Tosylation pour obtenir l'azidotosylate (**35**)

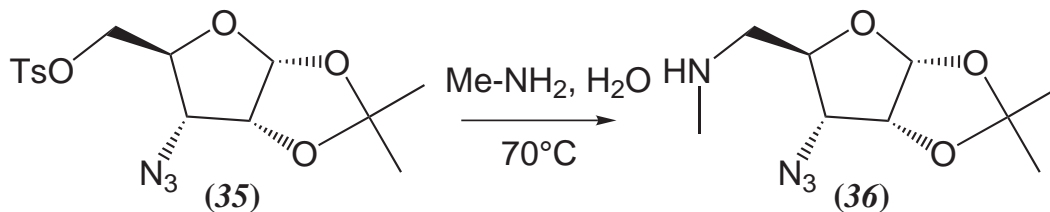
Réactif	M [g mol ⁻¹]	n [mmol]/éq	m [g]	solvant
(34)	215,2	9,29/1	2,00	py anh. 30 mL
TsCl	190,7	11,2/1,2	2,13	CH ₂ Cl ₂ anh. 10 mL
DMAP	122,1		cat.	

Les réactifs sont dissous dans le mélange de solvants fraîchement distillés. Au bout d'une nuit, la conversion est totale. Ensuite, l'excès de chlorure de tosyloxy est détruit en ajoutant 10 mL d'eau. Les solvants sont évaporés. L'huile résultante est reprise dans un mélange biphasique de 50 mL d'eau et 50 mL de CH₂Cl₂, la phase organique est décantée et la phase aqueuse est encore extraite 2 fois avec 50 mL de dichlorométhane. Les phases organiques réunies sont séchées (Na₂SO₄) et évaporées. Le produit est purifié par chromatographie sur silice (éluant : AcOEt). 2,78 g de (**35**) sont obtenus (rdt = 81%, huile incolore cristallisant sous forme de prismes au réfrigérateur).

RMN-¹H (250 MHz, CDCl₃) : 7,78 (d, 2H, ³J_{o,m} = 8,2 Hz, Ho_{Ts}) ; 7,34 (d, 2H, ³J_{o,m} = 8,2 Hz, Hm_{Ts}) ; 5,71 (d, 1H, ³J_{1,2} = 3,6 Hz, H1) ; 4,71 (dd~t, ³J_{1,2} = 3,6 Hz, ³J_{2,3} = 4,5 Hz, H2) ; {4,30 (m, 1H), 4,13 (m, 2H)} (H4, H5a, H5b) ; 3,50 (dd, ³J_{3,4} = 9,5 Hz, ³J_{2,3} = 4,5 Hz, H3) ; 2,43 (s, 3H, Me_{Ts}) ; {1,50, 1,33} (2*s, 2*3H, Me_{iP}).

RMN-¹³C (62,5 MHz, CDCl₃) : 145,3 (Cp_{Ts}) ; 132,4 (Cipso_{Ts}) ; 130,0 (Cm_{Ts}) ; 128,0 (Co_{Ts}) ; 113,4 (C_{quatIP}) ; 104,2 (C1) ; 79,7 (C2) ; 75,6 (C4) ; 67,2 (C3) ; 60,2 (C5) ; 26,4 (2C) (Me_{iP}) ; 21,7 (Me_{Ts}).

SM-ES $\frac{m}{z}$ (intensité %) : 392,1 [M+Na]⁺ (100) ; 370,1 [M+H]⁺ (72) et pics de fragmentation.

Aminolyse du tosylate par la méthylamine : azidoamine (**36**)

Réactif	M [g mol ⁻¹]	n [mmol]/éq	m [g]	solvant
(35)	369,4	9,29/1	2,00	
CH ₃ NH ₂	31,06	large excès	40 mL	solution aqueuse 40%

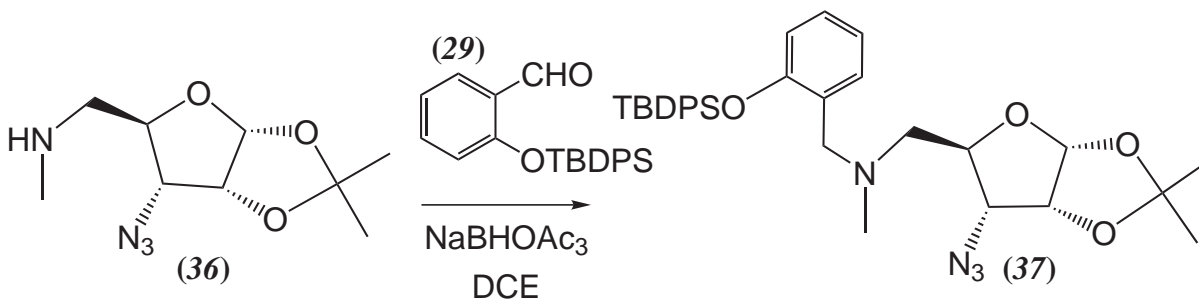
Le tosylate (**35**) est suspendu dans la solution aqueuse de méthylamine. Cette suspension est chauffée pendant deux heures à 70°C sous agitation. Après ce délai, le mélange réactionnel est devenu homogène. La CCM (AcOEt) montre la disparition du produit de départ ($R_f > 0,8$) et l'apparition d'un nouveau produit à $R_f = 0,25$. Après refroidissement, l'amine (**36**) est isolée par extraction (3*100 mL de CH₂Cl₂). Les phases organiques réunies sont séchées (Na₂SO₄) et évaporées. 0,99 g (rdt = 80%) d'une huile incolore sont obtenus. L'amine brute (**36**), pure d'après la RMN, est utilisée sans purification supplémentaire pour l'étape suivante.

RMN-¹H (360 MHz, CDCl₃) : 5,76 (d, 1H, ³ $J_{1,2} = 3,7$ Hz, H1) ; 4,69 (dd, 1H, ³ $J_{1,2} = 3,7$ Hz, ³ $J_{2,3} = 4,6$ Hz, H2) ; 4,17 (m, 1H, H4) ; 3,44 (dd, 1H, ³ $J_{3,4} = 9,5$ Hz, ³ $J_{2,3} = 4,6$ Hz, H3) ; 2,96 (d (signaux élargis), 1H, ² $J_{5a,5b} = 12,9$ Hz, H5a) ; 2,69 (dd, 1H, ² $J_{5a,5b} = 12,9$ Hz, ³ $J_{4,5b} = 5,3$ Hz, H5b) ; 2,44 (s, 3H, NCH₃) ; {1,54, 1,33} (2*s, 2*3H, Me_{iP}).

RMN-¹³C (90 MHz, CDCl₃) : 113,0 C_{quatiP} ; 104,1 (C1) ; 80,2 (C2) ; 77,2 (C4) ; 61,4 (C3) ; 51,8 (C5) ; 36,7 (NCH₃) ; {26,4 ,26,3} (Me_{iP}).

SM-ES $\frac{m}{z}$ (intensité %) : 229,1 [M+H]⁺ (71) ; 251,1 [M+Na]⁺ (43) (des pics correspondant à des produits de fragmentation sont également observés).

Amination réductrice : introduction du groupement phénol protégé (composé (37))



Réactif	M [g mol ⁻¹]	n [mmol]/éq	m [g]	solvant
(36)	228,3	4,21/1	0,960	1,2-dichloroéthane
(29)	360,5	4,21/1	1,52	10 mL
NaBH(OAc) ₃	211,9	6,10/1,45	1,29	

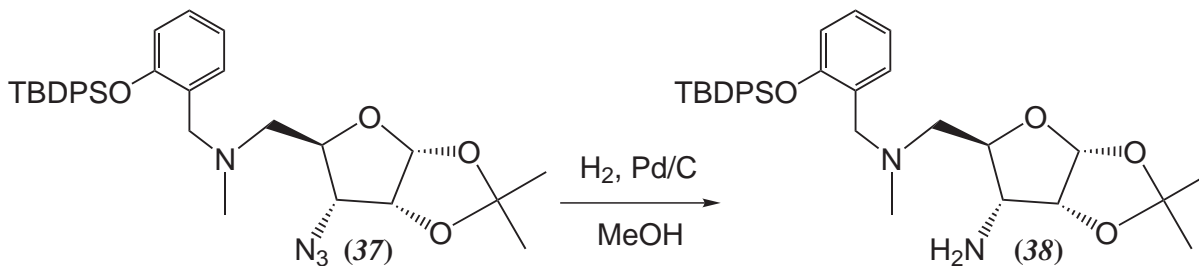
Cette synthèse, y compris les traitements et la purification par chromatographie sur colonne de silice, est conduite de la même façon que celle de la synthèse de (30). Le R_f (CHCl₃/acétone 20:1) de (37) est 0,3. La masse isolée après chromatographie sur colonne est 2,06 g (rdt = 86%).

RMN-¹H (360 MHz, CDCl₃) : 7,75 (m, 4H, H_{Ph}) ; 7,41 (m, 7H, H_{Ph}, H_{3PhOR}) ; 6,89 (ddd~*td*, 1H, ³*J*_{4PhOR,5PhOR} = ³*J*_{3PhOR,4PhOR} = 8,0 Hz, ⁴*J*_{4PhOR,6PhOR} = 1,2 Hz, H_{4PhOR}) ; 6,83 (ddd~*td*, 1H, ³*J*_{4PhOR,5PhOR} = ³*J*_{5PhOR,6PhOR} = 8,0 Hz, ⁴*J*_{3PhOR,5PhOR} = 2,0 Hz, H_{5PhOR}) ; 6,46 (dd, 1H, ³*J*_{5PhOR,6PhOR} = 8,0 Hz, ⁴*J*_{4PhOR,6PhOR} = 1,2 Hz, H_{6PhOR}) ; 5,81 (d, 1H, ³*J*_{1,2} = 3,7 Hz, H₁) ; 4,70 (dd~*t*, 1H, ³*J*_{1,2} = 3,7 Hz, ³*J*_{2,3} = 4,6 Hz, H₂) ; 4,29 (ddd, ³*J*_{3,4} = 9,6 Hz, ³*J*_{4,5a} = 5,9 Hz, ³*J*_{4,5b} = 3,2 Hz, 1H, H₄) ; {3,91, 3,82} (2*d, 2*1H, ²*J* = 13,8 Hz, CH₂-PhOR) ; 3,36 (dd, 1H, ³*J*_{3,4} = 9,6 Hz, ³*J*_{2,3} = 4,6 Hz, H₃) ; 2,91 (dd, 1H, ²*J*_{5a,5b} = 13,8 Hz, ³*J*_{4,5a} = 3,2 Hz, H_{5a}) ; 2,76 (dd, 1H, ²*J*_{5a,5b} = 13,8 Hz, ³*J*_{4,5b} = 5,9 Hz) ; 2,46 (s, 3H, NCH₃) ; {1,61, 1,39} (2*s, 2*3H, Me_{iP}) ; 1,15 (s, 9H, ^tBu).

RMN-¹³C (90 MHz, CDCl₃) : 158,0 (C_{1PhOR}) ; {135,5(2C), 129,9, 127,8(2C)} (C_{Ph}) ; 132,7 (C_{quatPh}) ; 131,9 (C_{2PhOR}) ; 130,5 (C_{5PhOR}) ; 127,4 (C_{3PhOR}) ; {121,0, 118,9} (C_{4PhOR}, C_{6PhOR}) ; 112,9 (C_{quatIP}) ; 104,3 (C₁) ; 79,8 (C₂) ; 77,3 (C₄) ; 62,8 (C₃) ; 57,8 (C₅) ; 56,8 (CH₂-PhOR) ; 43,8 (NCH₃) ; 26,7 (CMe₃) ; {26,6 ,26,5} (Me_{iP}) ; 19,6 (CMe₃).

SM-ES haute résolution $\frac{m}{z}$: [C₃₂H₄₁O₄N₄Si]⁺ calculé : 573,2892, trouvé : 573,28891.

Réduction de la fonction azoture pour obtenir l'amine (38)



Réactif	M [g mol ⁻¹]	n [mmol]/éq	m [g]	solvant
(37)		3,56	2,04	méthanol 10 mL
H ₂	2,00	5 bar		
Pd/C			0,2	

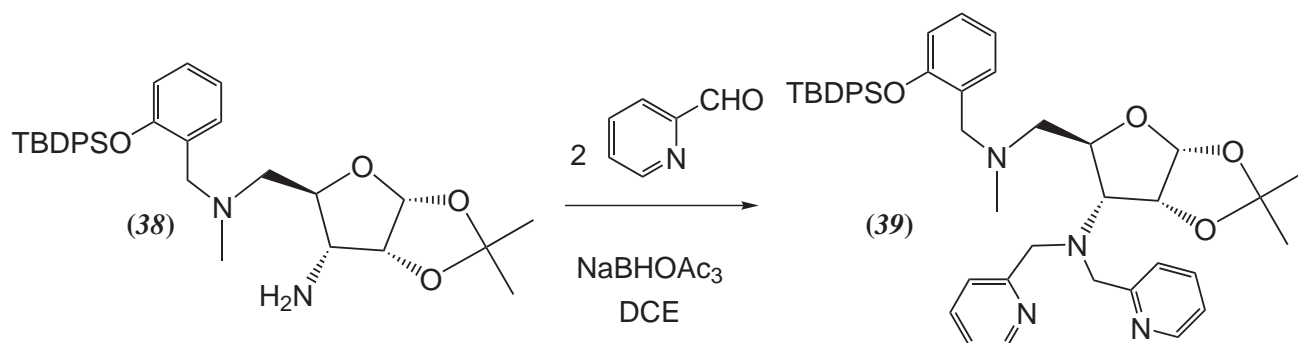
(37) est dissous dans le méthanol dans un bécber à hydrogénation. Le catalyseur est ajouté. Le réacteur est placé dans une bombe à hydrogéner sous 5 bars de dihydrogène. Le mélange est vigoureusement agité pendant 3 heures. Il est ensuite filtré sur célite. La célite est rincée avec du méthanol et la solution résultante est évaporée. Le produit est obtenu sous forme d'une huile avec un rendement quantitatif.

RMN-¹H (300 MHz, CD₃OD) : 7,73 (m, 4H, H_{Ph}); 7,39 (m, 7H, H_{Ph}, H_{3PhOR}); 7,13 (dd~t, 1H, ³J_{4PhOR,5PhOR} = ³J_{3PhOR,4PhOR} = 7,9 Hz, H_{4PhOR}); 6,67 (dd~t, 1H, ³J_{4PhOR,5PhOR} = 7,9 Hz, ³J_{5PhOR,6PhOR} = 7,2 Hz, H_{5PhOR}); 6,46 (d, 1H, ³J_{5PhOR,6PhOR} = 7,2 Hz, H_{6PhOR}); 5,78 (d, 1H, ³J_{1,2} = 3,7 Hz, H₁); 4,52 (dd~t, 1H, ³J_{1,2} = 3,7 Hz, ³J_{2,3} = 4,7 Hz, H₂); 3,90 (m, 1H, H₄); 3,77 (s_{large}, 2H, CH₂-PhOR); 2,91 (dd, 1H, ²J_{5a,5b} = 13,7 Hz, ³J_{4,5a} = 2,2 Hz, H_{5a}); 2,81 (dd, 1H, ³J_{3,4} = 9,6 Hz, ³J_{2,3} = 4,7 Hz, H₃); 2,76 (dd, 1H, ²J_{5a,5b} = 13,7 Hz, ³J_{4,5b} = 8,2 Hz, H_{5b}); 2,33 (s, 3H, NCH₃); {1,53, 1,34} (2*s, 2*3H, Me_{iP}); 1,04 (s, 9H, ^tBu).

RMN-¹³C (75 MHz, CD₃OD) : 157,2 (C_{1PhOR}); 135,9 (C_{quatPh}); 135,2 (C_{5PhOR}); {134,6, 129,0, 127,2} (C_{Ph}); 130,8 (C_{2PhOR}); 127,6 (C_{3PhOR}); {119,0, 115,3} (C_{4PhOR}, C_{6PhOR}); 111,6 (C_{quatIP}); 104,2 (C₁); 80,2 (C₂); 79,0 (C₄); 60,4 (CH₂-PhOR); 58,1 (C₅); 57,1 (C₄); 41,0 (NMe); 25,8 (CMe₃); {25,5, 25,2} (Me_{iP}); 18,5 (CMe₃).

SM-ES haute résolution $\frac{m}{z}$ [C₃₂H₄₃O₄N₄Si]⁺ calculé : 573,2987, trouvé : 573,29951.

Double amination réductrice : introduction de deux groupements picolyle (39)



Réactif	M [g mol ⁻¹]	n [mmol]/éq	m [g]	solvant
(38)		3,55/1	1,94	1,2-dichloroéthane
2-pyCHO*	107,1	7,10/2	0,760	10 mL
NaBH(OAc) ₃	211,9	10,3/2,9	2,181	

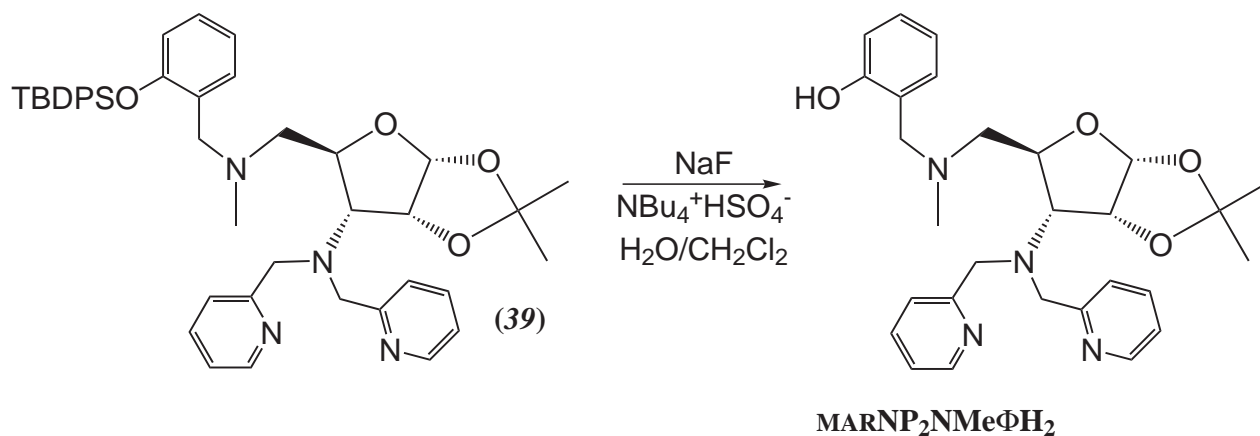
* 2-pyridinecarboxaldéhyde

Cette synthèse est conduite d'une façon analogue à ce qui a été décrit pour **MAXP**₃, **MARP**₃ et **proP**₃. Le produit final est purifié par chromatographie sur colonne de silice (éluant : AcOEt, $R_f = 0,4$). 1,98 g (rdt = 54%) de produit voulu sont obtenus sous forme d'une huile incolore très visqueuse. Un produit minoritaire (620 mg, rdt = 36%) très retenu lors de la purification chromatographique est également isolé. Il s'agit du composé déjà déprotégé sur la fonction phénol, identique pour ses caractérisations au produit de l'étape suivante.

RMN-¹H (360 MHz, CDCl₃) : 8,47 (d, 2H, ³ $J_{5py,6py} = 4,9$ Hz, H_{6py}); 7,75 (m, 4H, H_{Ph}); 7,59 (ddd~td, 1H, ³ $J_{4py,5py} = ^3J_{3py,4py} = 7,8$ Hz, ⁴ $J_{4py,6py} = 1,6$ Hz, H_{4py}); 7,39 (m, 6H, H_{Ph}); 7,24 (d, 1H, ³ $J_{3py,4py} = 7,8$ Hz, H_{3py}); 7,13 (m, 3H, H_{5py}, H_{5PhOR}); 6,98 (d, 1H, ³ $J_{3PhOR,4PhOR} = 7,2$ Hz, H_{3PhOR}); 6,79 (m, 2H, H_{6PhOR} et H_{4PhOR}); 5,67 (d, ³ $J_{1,2} = 3,7$ Hz, H₁); 4,80 (dd~t, ³ $J_{1,2} = 3,7$ Hz, ³ $J_{2,3} = 3,9$ Hz, H₂); 4,48 (m, 1H, H₄); {4,14, 4,05} (2*d, 2*1H, $J = 14,8$ Hz, CH₂-py); {3,86, 3,67} {2*d, 2*1H, ² $J = 13,9$, CH₂-PhOR}; 3,11 (d, 1H, ² $J_{5a,5b} = 13,7$ Hz, H_{5a}); 2,77 (dd, 1H, ³ $J_{3,4} = 10,1$ Hz, ³ $J_{2,3} = 3,9$ Hz, H₃); 2,41 (s, 3H, NCH₃); 2,36 (m, 1H, H_{5b}); {1,60, 1,33}, (2*s, 2*3H, Me_{iP}); 1,11 (s, 9H, ^tBu).

RMN-¹³C (90 MHz, CDCl₃) : 159,8 (C_{2py}); 158,0 (C_{1PhOR}); 148,8 (C_{6py}); 136,7 (C_{4py}); 135,9 (C_{quatPh}); {134,9, 129,5, 127,6}, (C_{Ph}); 131,9 (C_{2PhOR}); 128,7 (C_{5PhOR}); 128,5 (C_{3PhOR}); 122,8 (C_{3py}); 122,1 (C_{5py}); {118,9, 116,1} (C_{4PhOR}, C_{6PhOR}); 112,5 (C_{quatIP}); 104,3 (C₁); 77,7 (C₂); 74,1 (C₄); 65,3 (C₃); 61,7 (CH₂-PhOR); 58,4 (C₅); 58,1 (CH₂-Py); 42,7 (NCH₃); {26,9, 26,3} (Me_{iP}); 26,7 (CMe₃); 19,1 (CMe₃).

SM-ES haute résolution $\frac{m}{z}$: [C₄₄H₅₃O₄N₄Si]⁺ calculé : 729,3831, trouvé : 729,3828.

Déprotection du phénol en conditions douces pour obtenir $\text{MARNP}_2\text{NMe}\Phi$ 

Réactif	M [g mol ⁻¹]	n [mmol]/éq	m [g]	solvant
(39)	729,0	1,89/1	1,38	CH ₂ Cl ₂ 30 mL
NaF	41,99	13,8/10	0,793	eau 30 mL
NBu ₄ HSO ₄	323,5	0,6/0,5	0,305	

Les réactifs sont dissous dans le mélange biphasique des solvants et le mélange réactionnel est agité vigoureusement à reflux du CH₂Cl₂ pendant une nuit. Ensuite, la phase organique est décantée et la phase aqueuse est extraite encore une fois avec 20 mL de dichlorométhane. Après séchage et évaporation sous vide des phases organiques réunies, les produits de la réaction sont séparés par chromatographie sur colonne de silice (éluant acétone/CHCl₃ 3:17). Le produit final est très retenu ($R_f < 0,1$) mais peut être séparé efficacement du fluorure de *tert*-butyldiphénylsilyle ($R_f \approx 1$). Une masse faible de silice, environ 10 fois celle du produit brut, doit être utilisée. 715 mg d'une huile incolore sont obtenus (rdt = 75%).

RMN-¹H (360 MHz, CDCl₃) : 8,50 (d, 2H, ³ $J_{5py,6py} = 4,8$ Hz, H_{6py}) ; 7,59 (ddd~*td*, 1H, ³ $J_{4py,5py} =$ ³ $J_{3py,4py} = 7,8$ Hz, ⁴ $J_{4py,6py} = 1,8$ Hz, H_{4py}) ; 7,22 (d, 1H, ³ $J_{3py,4py} = 7,8$ Hz, H_{3py}) ; 7,13 (m, 3H, H_{5py}, H_{5PhOH}) ; 6,96 (dd, 1H, ³ $J_{3PhOH,4PhOH} = 8,0$ Hz, ⁴ $J_{3PhOH,5PhOH} = 1,4$ Hz, H_{3PhOH}) ; 6,74 (m, 2H, H_{4PhOH} et H_{6PhOH}) ; 5,68 (d, ³ $J_{1,2} = 3,8$ Hz, H₁) ; 4,79 (dd~*t*, ³ $J_{1,2} = 3,8$ Hz, ³ $J_{2,3} = 3,9$ Hz, H₂) ; 4,47 (dd~*t*, ³ $J_{3,4} = 10,2$ Hz, ³ $J_{4,5b} = 8,2$ Hz, H₄) ; {4,13, 4,03} (2*d, 2*1H, ² $J = 14,7$ Hz, CH₂-py) ; {3,84, 3,66} {2*d, 2*1H, ² $J = 13,9$, CH₂-PhOH} ; 3,09 (d, 1H, ² $J_{5a,5b} = 13,5$ Hz, H_{5a}) ; 2,76 (dd, 1H, ³ $J_{3,4} = 10,2$ Hz, ³ $J_{2,3} = 3,9$ Hz, H₃) ; 2,39 (s, 3H, NCH₃) ; 2,35 (dd, 1H, ² $J_{5a,5b} = 13,5$ Hz, ³ $J_{4,5b} = 8,2$ Hz, H_{5b}) ; {1,59, 1,32}, (2*s, 2*3H, Me_{iP}).

RMN-¹³C (90 MHz, CDCl₃) : 159,8 (C_{2py}) ; 157,0 (C_{1PhOH}) ; 148,9 (C_{6py}) ; 135,6 (C_{4py}) ; 128,7 (C_{5PhOH}) ; 128,4 (C_{3PhOH}) ; 127,7 (C_{2PhOH}) ; 122,6 (C_{3py}) ; 122,1 (C_{5py}) ; {118,9, 116,1} (C_{4PhOH},

C₆PhOH); 112,5 (C_{quatiP}); 104,3 (C1); 77,7 (C2); 74,1 (C4); 65,3 (C3); 61,7 (CH₂-PhOH); 58,4 (C5); 58,2 (CH₂-Py); 42,7 (NMe); {26,8, 26,2} (Me_{iP}).

SM-ES $\frac{m}{z}$ (intensité %) : 513,2 [M+Na]⁺ (100).

Microanalyse – calculé/trouvé pour C₂₉H₃₈N₄O₄· $\frac{1}{3}$ H₂O : C : 67,80/67,89; H 7,04/7,19; N 11,28/10,77

IR $\tilde{\nu}$ (cm⁻¹) : 1590 ($\nu_{C=N}$); 1257 ($\nu_{C_{arom}-O}$); [1167,1104,1075,1010] ($\delta_{noyauPy}$, $\delta_{noyauPhOH}$); 758 $\delta_{C_{Ar}-H}$.

A.5 Synthèse des glycocomplexes

A.5.1 Protocoles généraux

Glycocomplexes : protocole typique de synthèse (A) – Contre-ion PF₆⁻

0,2 mmol de ligand sont dissous dans 2 mL d'éthanol absolu. Une quantité équimolaire du nitrate hydraté du cation métallique voulu est dissous séparément dans 1 mL d'éthanol absolu. Les deux solutions sont mélangées, ce qui résulte en des changements de couleur immédiats pour Co, Ni et Cu. 0,5 mmol (81,5 mg, 2,5 équivalents) de NH₄PF₆ sont dissous dans 1 mL d'éthanol absolu. Cette solution est ajoutée à la solution contenant le complexe ce qui cause une précipitation immédiate. Le précipité est redissous en ajoutant une quantité minimale d'acétone (de quelques gouttes à environ 10 mL suivant le complexe). Le contenant est partiellement bouché pour assurer une évaporation lente. Les cristaux sont apparents en quelques heures à quelques jours. Une fois la majeure partie du mélange de solvants évaporée, les cristaux sont séparés par filtration et lavés au méthanol froid (afin de dissoudre d'éventuelles traces de NH₄PF₆).

Glycocomplexes : protocole typique de synthèse (B) – Contre-ion ClO₄⁻

Les solutions du perchlorate hydraté du cation métallique voulu et du ligand sont préparées comme ci-dessus. Le mélange des deux solutions résulte en l'obtention d'un précipité qui est redissous en ajoutant une quantité minimale d'acétone. Les cristaux sont isolés par filtration après évaporation de la majorité du mélange de solvants.

A.5.2 Caractérisations

Gal^{it}P₃

Le complexe de Co(II) du ligand Gal^{it}P₃ a été obtenu selon le protocole (B). Des essais de cristallisation avec d'autres cations métalliques avec les protocoles (A) et (B) n'ont pas abouti à l'isolation de solides cristallins.

Co : [Co(Gal^{it}P₃)](ClO₄)₂·(H₂O)

Masse isolée : 90 mg (rdt = 69%, cristaux roses).

SM-ES (ACN) : 444,1 $[\text{Gal}^{\text{it}}\text{P}_3+\text{Na}]^+$ (100)¹⁹.

Microanalyse – calculé/trouvé pour $[\text{Co}(\text{C}_{24}\text{H}_{27}\text{N}_3\text{O}_4)](\text{ClO}_4)_2$: C (42,43/42,44) ; H (4,01/4,08) ; N (6,19/6,18).

IR $\tilde{\nu}$ (cm^{-1}) : 1612 ($\nu_{\text{C}=\text{N}}$) ; [1125,1112,1075,1053,1023] (δ_{noyauPy} , ClO_4^-) ; 758 ($\delta_{\text{C}_{\text{py}}-\text{H}}$).

MAGP₃

Tous les complexes du ligand MAG ont été obtenus selon le protocole (A). La solubilité dans l'éthanol des complexes de perchlorate préparés selon le protocole (B) paraît trop élevée pour isoler les complexes selon ce dernier protocole.

Co : $[\text{Co}(\text{MAGP}_3)](\text{PF}_6)_2 \cdot (\text{H}_2\text{O})$

Masse isolée : 163 mg (rdt = 84%, cristaux roses).

SM-ES (ACN) : 276,3 $[\text{MAGP}_3+\text{Co}]^{2+}$ (29) ; 494,4 $[\text{MAGP}_3+\text{H}]^+$ (22) ; 516,4 $[\text{MAGP}_3+\text{Na}]^+$ (6) ; 571,3 $[\text{MAGP}_3+\text{Co}+\text{F}]^+$ (6).

Microanalyse – calculé/trouvé pour $[\text{Co}(\text{C}_{27}\text{H}_{31}\text{N}_3\text{O}_6)](\text{PF}_6)_2 \cdot (\text{H}_2\text{O})$: C (37,69/38,12) ; H (3,87/3,63) ; N (4,88/4,96) ; Co (6,85/6,91) ; P (7,20/7,50).

IR $\tilde{\nu}$ (cm^{-1}) : 1613 ($\nu_{\text{C}=\text{N}}$) ; [1122,1092,1070,1020] (δ_{noyauPy}) ; 840 (large, PF_6^-) ; 765 ($\delta_{\text{C}_{\text{py}}-\text{H}}$) ; 558 (PF_6^-).

Ni : $[\text{Ni}(\text{MAGP}_3)](\text{PF}_6)_2 \cdot (\text{H}_2\text{O})$

Masse isolée : 180 mg (rdt = 91%, cristaux bleus).

SM-ES (ACN) : 275,5 $[\text{MAGP}_3+\text{Ni}]^{2+}$ (100) ; 494,2 $[\text{MAGP}_3+\text{H}]^+$ (4) ; 516,2 $[\text{MAGP}_3+\text{Na}]^+$ (93).

Microanalyse – calculé/trouvé pour $[\text{Ni}(\text{C}_{27}\text{H}_{31}\text{N}_3\text{O}_6)](\text{PF}_6)_2 \cdot (\text{H}_2\text{O})$: C 37,70/37,75 ; H 3,87/3,68 ; N 4,89/4,77, Ni 6,82/6,97 ; P 7,20/7,34.

IR $\tilde{\nu}$ (cm^{-1}) : 1614 ($\nu_{\text{C}=\text{N}}$) ; [1113,1084-1010(large)] (δ_{noyauPy}) ; 841 (large, PF_6^-) ; 762 ($\delta_{\text{C}_{\text{py}}-\text{H}}$) ; 558 (PF_6^-).

Zn : $[\text{Zn}(\text{MAGP}_3)](\text{PF}_6)_2 \cdot (\text{H}_2\text{O})$

Masse isolée : 159 mg (rdt = 82%, cristaux incolores).

$[\text{Zn}(\text{MAGP}_3)](\text{PF}_6)_2 \cdot (\text{H}_2\text{O})$: SM-ES (ACN) : 278,5 $[\text{MAGP}_3+\text{Zn}]^{2+}$ (35) ; 494,3 $[\text{MAGP}_3+\text{H}]^+$ (19) ; 516,2 $[\text{MAGP}_3+\text{Na}]^+$ (100).

¹⁹Aucun pic en SM-ES n'a été détecté mis à part le signal du ligand

Microanalyse – calculé/trouvé pour $[\text{Zn}(\text{C}_{27}\text{H}_{31}\text{N}_3\text{O}_6)](\text{PF}_6)_2 \cdot (\text{H}_2\text{O})$: C 37,41/37,47; H 3,84/3,72; N 4,85/4,63, Zn 7,54/7,61; P 7,15/7,26.

IR $\tilde{\nu}$ (cm^{-1}) : 1615 ($\nu_{\text{C}=\text{N}}$); [1127,1074,1028] (δ_{noyauPy}); 840 (large, PF_6^-); 762 ($\delta_{\text{C}_{\text{py}}-\text{H}}$); 557 (PF_6^-).

Cu : $[\text{Cu}(\text{MAGP}_3)](\text{PF}_6)_2 \cdot (\text{H}_2\text{O})$

Masse isolée : 125 mg (rdt = 72%, cristaux verts).

Microanalyse – calculé/trouvé pour $[\text{Cu}(\text{C}_{27}\text{H}_{31}\text{N}_3\text{O}_6)](\text{PF}_6)_2 \cdot (\text{H}_2\text{O})^{20}$: C 37,49/37,59; H 3,77/3,85; N 4,86/4,81.

SM-ES (ACN) : 278,0 $[\text{MAGP}_3 + \text{Cu}]^{2+}$ (25); 494,3 $[\text{MAGP}_3 + \text{H}]^+$ (8); 516,2 $[\text{MAGP}_3 + \text{Na}]^+$ (100); 556,1 $[\text{MAGP}_3 + \text{Cu}(\text{I})]^+$ (28).

IR $\tilde{\nu}$ (cm^{-1}) : 1615 ($\nu_{\text{C}=\text{N}}$); [1109,1076,1026] (δ_{noyauPy}); 839 (large, PF_6^-); 762 ($\delta_{\text{C}_{\text{py}}-\text{H}}$); 558 (PF_6^-).

LyxP₃

Les complexes de Ni, Cu et Zn de ce ligand ont été préparés selon le protocole (A). Les complexes de Fe et Co selon le protocole (B).

Mn : $[\text{MnLyxP}_3(\text{H}_2\text{O})](\text{PF}_6)_2 \cdot 2^t\text{BuOMe}$

Le complexe de manganèse a été synthétisé selon un protocole (A) modifié. Après l'ajout de la solution de NH_4PF_6 , aucun précipité n'a été observé. Les cristaux ont été obtenus par diffusion de vapeurs de $^t\text{BuOMe}$ à 6°C. Les cristaux ont été isolés par filtration. La structure cristalline a révélé la présence de deux unités de $^t\text{BuOMe}$ dans la maille. Lors du stockage, une certaine fraction du $^t\text{BuOMe}$ s'évapore et les cristaux perdent leur transparence.

Masse isolée : 116 mg (rdt = 61%, cristaux incolores s'opacifiant lors du stockage).

SM-ES (ACN) : 47,6 $[\text{LyxP}_3 + \text{Mn}]^{2+}$ (21); 460,1 $[\text{LyxP}_3 + \text{Na}]^+$ (100).

Microanalyse – calculé/trouvé pour $[\text{Mn}(\text{C}_{24}\text{H}_{27}\text{N}_3\text{O}_5)(\text{H}_2\text{O})](\text{PF}_6)_2 \cdot 0,8^t\text{BuOMe}$: C 38,62/38,92; H 4,47/4,02; N 4,82/5,17; Mn 6,31/6,54; P 7,11/7,02.

IR $\tilde{\nu}$ (cm^{-1}) : 1608 ($\nu_{\text{C}=\text{N}}$); [1156,1130,1074,1046,1026] (δ_{noyauPy}); 839 (large, PF_6^-); 762 ($\delta_{\text{C}_{\text{py}}-\text{H}}$); 555 (PF_6^-).

Fe : $[\text{Fe}(\text{LyxP}_3)](\text{ClO}_4)_2$

Masse isolée : 67 mg (rdt = 49%, cristaux jaune pâle).

SM-ES (ACN) : 246,6 $[\text{LyxP}_3 + \text{Fe}]^{2+}$ (50); 438,2 $[\text{LyxP}_3 + \text{H}]^+$ (4); 460,1 $[\text{LyxP}_3 + \text{Na}]^+$ (100); 592,1 $[\text{LyxP}_3 + \text{Fe} + \text{ClO}_4]^+$ (21).

²⁰La microanalyse est en accord avec la présence d'une molécule d'eau de cristallisation comme pour les autres complexes de MAGP_3 .

Microanalyse – calculé/trouvé pour $[\text{Fe}(\text{C}_{24}\text{H}_{27}\text{N}_3\text{O}_5)](\text{ClO}_4)_2 \cdot \text{H}_2\text{O}^{21}$: C 40,59/40,56 ; H 4,12/3,89 ; N 5,92/5,78.

IR $\tilde{\nu}$ (cm^{-1}) : 1612 ($\nu_{\text{C}=\text{N}}$) ; [1138,1119,1089,1051,1022] (δ_{noyauPy} , ClO_4^-) ; 765 ($\delta_{\text{C}_{\text{py}}-\text{H}}$).

Co : $[\text{Co}(\text{LyxP}_3)](\text{ClO}_4)_2$

Masse isolée : 130 mg (rdt = 82%, cristaux roses).

SM-ES (ACN) : 248,1 $[\text{LyxP}_3+\text{Co}]^{2+}$ (36) ; 460,1 $[\text{LyxP}_3+\text{Na}]^+$ (100) ; 595,0 $[\text{LyxP}_3+\text{Co}+\text{ClO}_4]^+$ (12).

Microanalyse – calculé/trouvé pour $[\text{Co}(\text{C}_{24}\text{H}_{27}\text{N}_3\text{O}_5)](\text{ClO}_4)_2$: C (41,46/41,61) ; H (3,91/3,74) ; N (6,04/6,03) ; Co (8,48/8,35) ; Cl (10,20/9,98).

IR $\tilde{\nu}$ (cm^{-1}) : 1607 ($\nu_{\text{C}=\text{N}}$) ; [1145,1112,1087,1045,1017] (δ_{noyauPy} , ClO_4^-) ; 783 ($\delta_{\text{C}_{\text{py}}-\text{H}}$).

Ni : $[\text{Ni}(\text{LyxP}_3)](\text{PF}_6)_2$

Masse isolée : 142 mg (rdt = 90%, cristaux bleus).

SM-ES (ACN) : 247,6 $[\text{LyxP}_3+\text{Ni}]^{2+}$ (69) ; 438,2 $[\text{LyxP}_3+\text{H}]^+$ (2) ; 460,1 $[\text{LyxP}_3+\text{Na}]^+$ (100).

Microanalyse – calculé/trouvé pour $[\text{Ni}(\text{C}_{24}\text{H}_{27}\text{N}_3\text{O}_5)](\text{PF}_6)_2$: C 36,67/36,63 ; H 3,39/3,37 ; N 5,31/5,31 ; Ni 7,47/7,07 ; P 8,26/8,26.

IR $\tilde{\nu}$ (cm^{-1}) : 1617 ($\nu_{\text{C}=\text{N}}$) ; [1134,1096,1070,1056,1040,1024] (δ_{noyauPy}) ; 838 (large, PF_6^-) ; 765 ($\delta_{\text{C}_{\text{py}}-\text{H}}$) ; 556 (PF_6^-).

Zn : $[\text{Zn}(\text{LyxP}_3)](\text{PF}_6)_2$

Masse isolée : 125 mg (rdt = 81%, cristaux incolores).

SM-ES (ACN) : 247,6 $[\text{LyxP}_3+\text{Zn}]^{2+}$ (8) ; 460,1 $[\text{LyxP}_3+\text{Na}]^+$ (100), 595,0 $[\text{LyxP}_3+\text{Zn}+\text{F}]^+$ (3).

Microanalyse – calculé/trouvé pour $[\text{Zn}(\text{C}_{24}\text{H}_{27}\text{N}_3\text{O}_5)](\text{PF}_6)_2$: C 36,36/36,25 ; H 3,43/3,45 ; N 5,30/5,07 ; Zn 8,25/8,09 ; P 7,81/7,81.

IR $\tilde{\nu}$ (cm^{-1}) : 1615 ($\nu_{\text{C}=\text{N}}$) ; [1163,1141,1105,1053,1045,1026] (δ_{noyauPy}) ; 850 (large, PF_6^-) ; 762 ($\delta_{\text{C}_{\text{py}}-\text{H}}$) ; 555 (PF_6^-).

Cu : $[\text{Cu}(\text{LyxP}_3)](\text{PF}_6)_2$

Masse isolée : 126 mg (rdt = 88%, cristaux verts).

²¹Bien que la structure cristalline ne comporte pas de molécule d'eau, la microanalyse indique sa présence, ce qui peut être expliqué par une hydratation non-spécifique de l'échantillon.

SM-ES (ACN) : 438,2 [**LyxP**₃+H]⁺ (3) ; 460,2 [**LyxP**₃+Na]⁺ (100) ; 500,0 [**LyxP**₃+Cu(I)]⁺ (26).

Microanalyse – calculé/trouvé pour [Cu(C₂₄H₂₇N₃O₅)](PF₆)₂.H₂O²² : C 36,67/36,33 ; H 3,61/3,49 ; N 5,19/5,28.

IR $\tilde{\nu}$ (cm⁻¹) : 1616 ($\nu_{C=N}$) ; [1129,1075,1062,1031] (δ_{noyauPy}) ; 838 (large, PF₆⁻) ; 775 ($\delta_{C_{py}-H}$) ; 557 (PF₆⁻).

RibP₃

Le complexe de Ni de ce ligand a été préparé selon le protocole (A). Les complexes de Mn, Fe, Co, Zn ont été préparés selon le protocole (B).

Mn : [Mn(**RibP**₃)](ClO₄)₂

Masse isolée : 123 mg (rdt = 83%, cristaux incolores s'opacifiant lors du stockage).

SM-ES (ACN) : 246,1 [**RibP**₃+Mn]²⁺ (10) ; 438,2 [**RibP**₃+H]⁺ (3) ; 460,2 [**RibP**₃+Na]⁺ (100) ; 591,0 [**RibP**₃+ Mn+ClO₄]⁺ (6).

Microanalyse – calculé/trouvé pour [Mn(C₂₄H₂₇N₃O₅)](ClO₄)₂. $\frac{3}{2}$ (H₂O)²³ : C 40,13/40,16 ; H 4,04/3,94 ; N 5,85/5,44 ; Cl 9,87/9,98 ; Mn 7,65/7,83.

IR $\tilde{\nu}$ (cm⁻¹) : 1611 ($\nu_{C=N}$) ; [1159-1015(non résolu)] (δ_{noyauPy} , ClO₄⁻) ; 770 ($\delta_{C_{py}-H}$).

Fe : [Fe(**RibP**₃)](ClO₄)₂

Masse isolée : 83 mg (rdt = 56%, cristaux peu colorés).

[Fe(**RibP**₃)](ClO₄)₂ : SM-ES (ACN) : 246,5 [**RibP**₃+Fe]²⁺ (16) ; 438,2 [**RibP**₃+H]⁺ (5) ; 460,1 [**RibP**₃+Na]⁺ (100) ; 592,0 [**RibP**₃+ Fe+ClO₄]⁺ (8).

Microanalyse – calculé/trouvé pour [Fe(C₂₄H₂₇N₃O₅)](ClO₄)₂. $\frac{1}{2}$ (H₂O)²⁴ : C 41,11/40,94 ; H 4,02/3,81 ; N 5,99/5,83.

IR $\tilde{\nu}$ (cm⁻¹) : 1608 ($\nu_{C=N}$) ; [1144,1114,1088,1057,1020] (δ_{noyauPy} , ClO₄⁻) ; 769 ($\delta_{C_{py}-H}$).

Co : [Co(**RibP**₃)](PF₆)₂

Masse isolée : 123 mg (rdt = 83%, cristaux roses).

²²La microanalyse est interprétable en faisant apparaître une molécule d'eau qui n'est pas présente dans la structure cristalline, ce qui peut être cohérent avec le fait que les cristaux bleu-vert de ce complexe perdent leur lustre cristallin lors du stockage

²³Les cristaux initiaux sont incolores et transparents et ne possèdent pas de molécule d'un solvant dans leur maille. Lors du stockage, les cristaux s'opacifient ce qui peut être expliqué par une rupture de l'arrangement monocristallin causé par une hydratation.

²⁴Même remarque que pour le complexe de manganèse(II).

SM-ES (ACN) : 248,1 [**RibP**₃+Co]²⁺ (100) ; 460,2 [**RibP**₃+Na]⁺ (72).

Microanalyse – calculé/trouvé pour [Co(C₂₄H₂₇N₃O₅)](PF₆)₂ : C 36,66/36,17 ; H 3,46/3,54 ; N 5,34/5,36 ; Co 7,49/7,31 ; P 7,88/8,11.

Ni : [Ni(**RibP**₃)](PF₆)₂

Masse isolée : 130 mg (rdt = 86%, cristaux verts).

SM-ES (ACN) : 247,6 [**RibP**₃+Ni]²⁺ (42) ; 438,2 [**RibP**₃+H]⁺ (3) ; 460,1 [**RibP**₃+Na]⁺ (100) ; 514,1 [**LyxP**₃+Ni+F]⁺ (12).

Microanalyse – calculé/trouvé pour [Ni(C₂₄H₂₇N₃O₅)](PF₆)₂ : C 36,67/36,15 ; H 3,46/3,46 ; N 5,35/5,08 ; Ni 7,47/7,40 ; P 7,88/7,89.

IR $\tilde{\nu}$ (cm⁻¹) : 1615 ($\nu_{C=N}$) ; [1129,1075,1062,1031] (δ_{noyauPy}) ; 838 (large, PF₆⁻) ; 760 ($\delta_{C_{py}-H}$) ; 556 (PF₆⁻).

Zn : [Zn(**RibP**₃)](ClO₄)₂

Masse isolée : 128 mg (rdt = 84%, cristaux incolores).

RMN-¹H (400 MHz, CD₃CN) : {8,47 (d, 1H, ³J_{5py,6py} = 5,3 Hz), 8,44 (d, 1H, ³J_{5py,6py} = 5,3 Hz), 8,31 (d, 1H, ³J_{5py,6py} = 5,3 Hz)}, (H_{6py}) ; 8,21-8,12 (m, 3H, H_{4py}) ; {7,67 (m, 2H), 7,59 (m, 4H)} (H_{3py}, H_{5py}) ; {5,32 (d, 1H, ²J = 14,7 Hz), 5,29 (d, 1H, ²J = 15,6 Hz), 5,23 (m, 2H), 4,93 (d, 1H, ²J = 15,6 Hz), 4,82 (d, 1H, ²J = 14,7 Hz)} (O-CH₂-py) ; [signaux des protons du cycle pyranosique : voir les tableaux 2.17 et 2.17] ; 3,45 (s, 3H, Me).

RMN-¹³C (100 MHz, CD₃CN) : {156,1, 156,0, 155,8} (C_{2py}) ; {148,8, 148,0, 148,4} (C_{6py}) ; {142,8, 142,7, 142,5} (C_{4py}) ; {126,5, 126,4, 126,3, 124,7, 124,6, 124,5} (C_{5py}, C_{3py}) ; [signaux des carbones du cycle pyranosique : voir le tableau 2.17] ; 55,9 (Me).

SM-ES (ACN) : 250,6 [**RibP**₃+Zn]²⁺ (42) ; 460,2 [**RibP**₃+Na]⁺ (100) ; 600,1 [**RibP**₃+Zn+ClO₄]⁺ (15).

Microanalyse – calculé/trouvé pour [Zn(C₂₄H₂₇N₃O₅)](ClO₄)₂ : C 41,08/41,22 ; H 3,88/3,67 ; N 5,99/5,81 ; Zn 9,22/9,08 ; Cl 10,10/9,48.

IR $\tilde{\nu}$ (cm⁻¹) : 1612 ($\nu_{C=N}$) ; [1170-1020(non-résolu)] (δ_{noyauPy} , ClO₄⁻) ; 769 ($\delta_{C_{py}-H}$).

ManP₃Bn

[Co(**ManP**₃**Bn**)(OH₂)₂](ClO₄)₂.H₂O

Le ligand **ManP**₃**Bn** a permis d'isoler un complexe de Co(II) de formule selon une synthèse en utilisant un protocole de type (B). Après avoir mélangé les solutions du ligand et du perchlorate

de cobalt hexahydraté, aucune précipitation n'a été observée. La solution résultante a été laissée évaporer lentement. Au bout de quelques jours, des cristaux sont apparus. Une fois la majorité du solvant évaporée, ceux-ci ont été recueillis par filtration. En spectrométrie de masse en mode électrospray, seul le signal du ligand est détecté.

Masse isolée : 86 mg (rdt = 55%).

Microanalyse – calculé/trouvé pour $[\text{Co}(\text{C}_{32}\text{H}_{35}\text{N}_3\text{O}_6)(\text{OH}_2)_2](\text{ClO}_4)_2(\text{H}_2\text{O})_2$: C 44,20/43,85; H 4,75/4,52; N 4,83/4,85; Co 6,78/6,67; Cl 8,15/8,35.

IR $\tilde{\nu}$ (cm^{-1}) : 1610 et 1598 ($\nu_{\text{C}=\text{N}}$); [1162-1022(non-résolu)] (δ_{noyauPy} , ClO_4^-); 759 ($\delta_{\text{C}_{\text{py}}-\text{H}}$).

Spectres RPE de glycocomplexes triéther

Spectres RPE des complexes de Co(II)

Les spectres de RPE en bande X de solutions 10^{-3} mol L $^{-1}$ de cristaux redissous des complexes de Co(II) des ligands **LyxP₃**, **MAGP₃** et **RibP₃** sont présentés dans la figure ci-dessous.

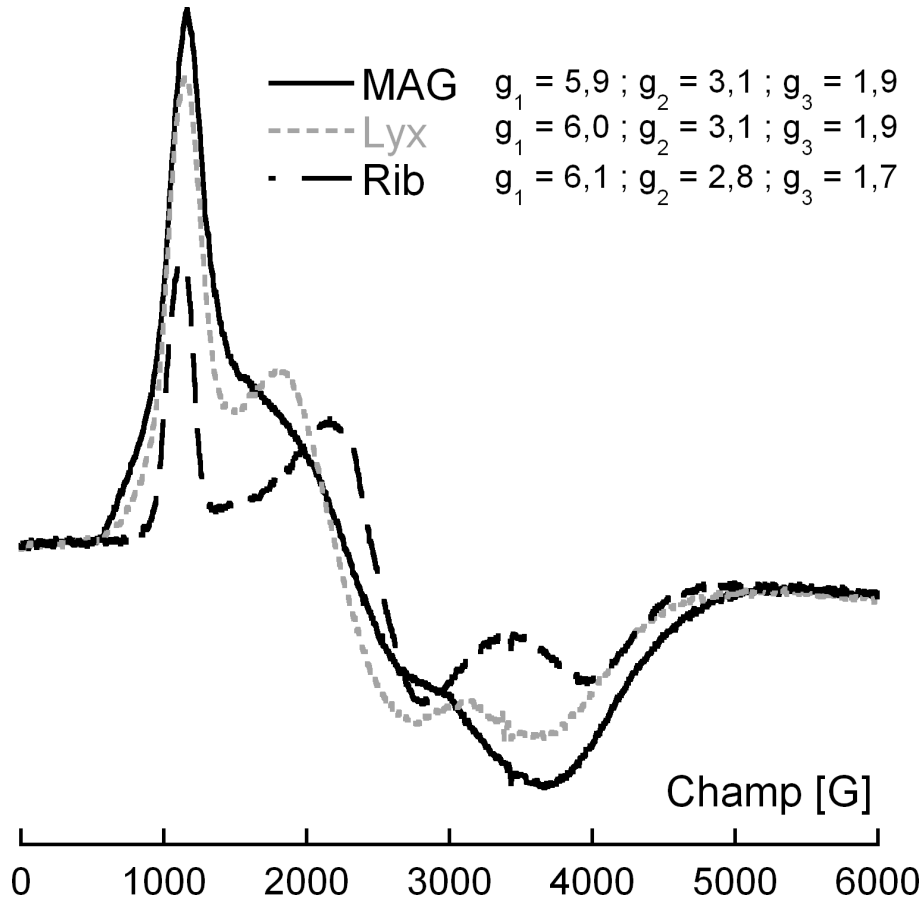


FIG. A.1 – Spectres RPE des glycocomplexes de Co(II) (solutions gelées, $T = 10\text{K}$), fréquence de modulation 100 kHz, amplitude de modulation 5 G, temps de conversion 163,84 ms, constante de temps 40,96 ms, puissance microondes : 2,007 mW, gain 60 dB, fréquence microondes **MAGP₃** : 9,632303 GHz, **RibP₃** : 9,631800 GHz, **LyxP₃** : 9,632318 GHz.

Comme les spectres des précédents glycocomplexes de Co(II) de **Gal^{al}P₃** et **Gal^{Et}P₃**^[151], le spectre RPE est compatible avec une structure un spin $S = \frac{3}{2}$ pour le Co(II) (d^7 spin fort). La comparaison de ces spectres, réalisés dans les mêmes conditions, montre que les signaux associés aux deux complexes à site de coordination de type 1,2,4-butanetriol fonctionnalisé (**LyxP₃** et **MAGP₃** ainsi que **Gal^{al}P₃**^[151] et **Gal^{Et}P₃**^[151]) sont différents de celui du complexe du ligand **RibP₃** qui possède un site de coordination de type glycérol fonctionnalisé (rhombicité accrue pour ce dernier complexe). Le couplage hyperfin ($I_{59Co} = \frac{7}{2}$) n'est pas résolu.

Spectres RPE des complexes de Mn(II)

Les spectres RPE en solution des complexes de Mn des ligands **LyxP₃** et **Rib^{all}P₃**²⁵ sont présenté dans la figure A.2

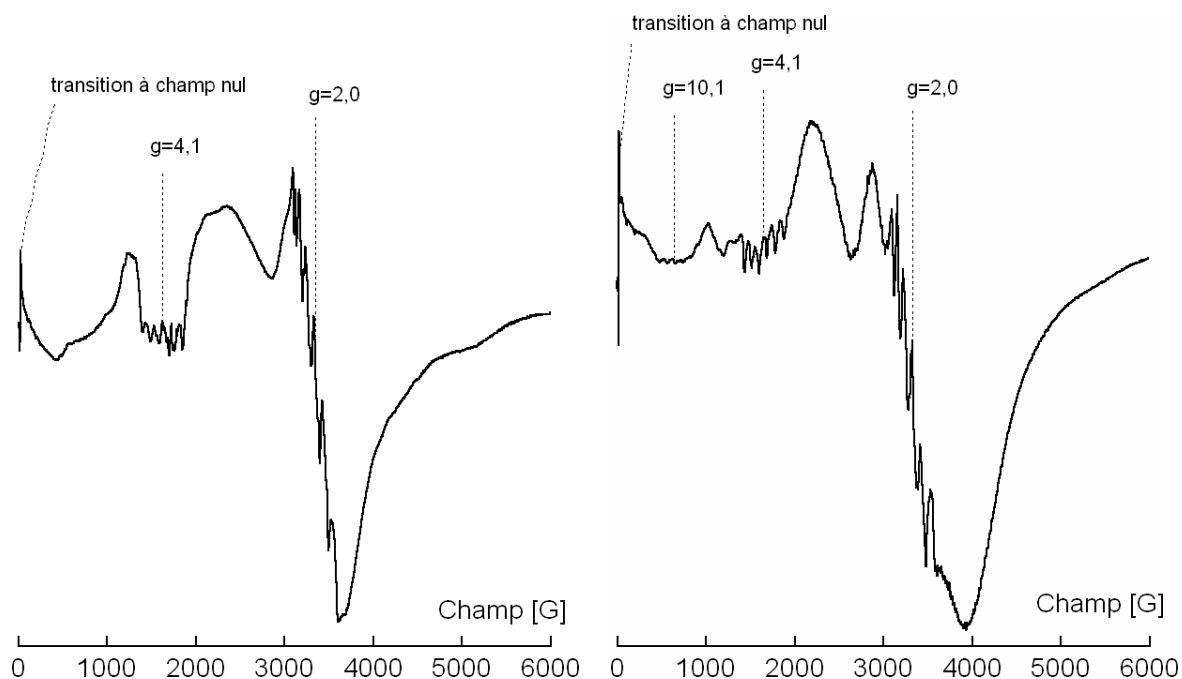


FIG. A.2 – Spectres RPE (bande X, solutions gelées) des complexes de Mn(II) des ligands **LyxP₃** (gauche) et **Rib^{all}P₃** (droite) : Concentration 5×10^{-4} mol L⁻¹ dans un mélange acétone/toluène 1:1, fréquence microondes 9,383541 GHz pour **LyxP₃**, 9,381002 GHz pour **Rib^{all}P₃**, $T=10$ K pour **LyxP₃** et $T = 5$ K pour **Rib^{all}P₃**, temps de conversion 163,84 ms, amplitude de modulation 5 G, fréquence de modulation 100 kHz, constante de temps 40,96 ms.

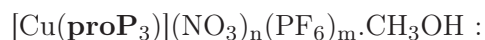
Ces spectres indiquent la présence de complexes mononucléaires de Mn(II) en solution, les caractéristiques de ces spectres autres que la transition à $g=2$ (transitions à $g>2$ et à champ nul) sont typiques des complexes de Mn(II) en une géométrie s'écartant sensiblement d'un octaèdre idéal^[354, 355, 356], en accord avec la coordinence 7 en phase solide pour le complexe de **LyxP₃** et la distorsion marquée vers le prisme trigonal pour les complexe de la famille des ligands centrés sur le ribose.

²⁵Analogue du ligand, **RibP₃** comportant un allyle en lieu et place d'un méthyle comme substituant en 1. Les complexes de ce ligand, synthétisé par Nada Ibrahim lors de son stage de M2 sont semblables en tout point à ceux de **RibP₃** (la nature de l'aglycone n'influence pas le motif de coordination).

A.5.3 Glycocomplexes aminoéther et diamino.

Complexes de Cu(II)

Synthèse : les complexes de cuivre des ligands **MAXP₃**, **MARP₃** et **proP₃** ont été synthétisés selon le protocole (A), à la précision près que la synthèse a été réalisée dans le méthanol pour le complexe du ligand **proP₃**.



Masse isolée : 91 mg (rdt = 66%, en supposant les valeurs de m et n comme étant celles permettant le meilleur accord avec la microanalyse).

SM-ES : 205,6 [**proP₃**+Cu]²⁺ (4) ; 318,1 [**proP₃**-pic²⁶+Cu]⁺ (100) ; 371,2 [**proP₃**+Na]⁺ (30) ; 411,1 [**proP₃**+Cu]⁺ (25) ; 432,1 [**proP₃**+Cu+F]⁺ (5).

Microanalyse – calculé pour $n=\frac{2}{7}$ et $m=\frac{5}{7}$ /trouvé : C 38,49/38,61 ; H 4,11/3,91 ; N 9,33/8,97.

IR $\tilde{\nu}$ (cm⁻¹) : 1613, ($\nu_{\text{C=N}}$) ; 1384 (NO₃⁻) ; [1163,1129,1110,1057,1030] (δ_{noyauPy}) ; 842 (large, PF₆⁻) ; 764 ($\delta_{\text{C}_{\text{py}}-\text{H}}$) ; 558 (PF₆⁻).

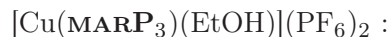


Masse isolée : 128 mg (rdt = 79%, cristaux bleus foncé).

Microanalyse – calculé/trouvé pour [Cu(C₂₆H₃₀N₄O₄)](PF₆)₂ : C 38,27/38,04 ; H 3,65/3,71 ; N 6,87/6,65.

IR $\tilde{\nu}$ (cm⁻¹) : 1613, ($\nu_{\text{C=N}}$) ; [1164,1127,1085,1019] (δ_{noyauPy}) ; 840 (large, PF₆⁻) ; 766 ($\delta_{\text{C}_{\text{py}}-\text{H}}$) ; 557 (PF₆⁻).

SM-ES : 262,2 [**MAXP₃**+Cu]²⁺ (2,0) ; 432,1 [**MAXP₃**-pic+Cu]⁺ (100) ; 485,2 [**MAXP₃**+Na]⁺ (17) ; 525,2 [**MAXP₃**+Cu]⁺ (43) ; 544,1 [**MAXP₃**+Cu+F]⁺ (37).



Masse isolée : 60 mg (synthèse réalisée à l'échelle de 0,1 mole, rdt = 70%, cristaux bleu foncé).

SM-ES : 262,2 [**MARP₃**+Cu]²⁺ (11) ; 432,1 [**MARP₃**-pic+Cu]⁺ (100) ; 485,2 [**MARP₃**+Na]⁺ (93) ; 525,1 [**MARP₃**+Cu]⁺ (94) ; 544,1 [**MARP₃**+Cu+F]⁺ (13).

Microanalyse – calculé/trouvé pour [Cu(C₂₆H₃₀N₄O₄)(EtOH)](PF₆)₂ : C 39,01/38,49 ; H 4,21/4,25 ; N 6,50/6,31.

IR $\tilde{\nu}$ (cm⁻¹) : 1615, ($\nu_{\text{C=N}}$) ; [1167,1107,1055,1031] (δ_{noyauPy}) ; 840 (large, PF₆⁻) ; 766 ($\delta_{\text{C}_{\text{py}}-\text{H}}$) ; 558 (PF₆⁻).

²⁶-pic signifie la perte d'un groupement picolyle par fragmentation.

Essais de synthèse des complexes des ligands MAXP₂Φ et MAXPΦ₂.

Des essais de cristallisation des complexes de Cu(II) des ligands MAXP₂Φ et MAXPΦ₂ ont été réalisés par évaporation ou diffusion de mauvais solvants dans les solution de complexe. Celles-ci ont été obtenues en additionnant une solution éthanolique de Cu(NO₃).3H₂O à une solution alcoolique (EtOH ou MeOH) contenant le ligand protonné MAXP₂ΦH ou MAXPΦ₂H₂ ainsi que 0,9 équivalents de NEt₃. Aucun de ces essais n'a abouti à l'isolation d'un solide. Les complexes en solution ont été caractérisés par SM-ES dans l'ACN :

[CuMAXP₂Φ]⁺ : 539,1 [MAXP₂Φ+ Cu]⁺ (100) ; 476,2 [MAXP₂Φ+H]⁺ (10) ; 500,2 [MAXP₂Φ+Na]⁺ (6)

[CuMAXPΦ₂] : 539,1 [MAXPΦ₂+Cu+H]⁺ (100) ; 539,1 [MAXPΦ₂+Cu+Na]⁺ (38) 493,2 [MAXPΦ₂+H]⁺ (71) ; 515,2 [MAXPΦ₂+Na]⁺ (3).

Complexe dinucléaire de Fe(III)

Essai de synthèse d'un complexe de Fe(II)

MAXP₃ (100 mg, 0,216 mmol, 1 équivalent) est dissous dans 2 mL de MeOH en conditions anaérobies. 1 équivalent de FeCl₂ (27,4 mg, 0,216 mmol) est ajouté sous argon. Une solution jaune (A) pâle est obtenue. 2 équivalents de NaBPh₄ (0,432 mmol) sont ajoutés ce qui résulte en la précipitation d'un solide collant et peu coloré. Ce solide est redissous par l'ajout de quelques gouttes d'acétone. Des essais de cristallisation de ce complexe, vraisemblablement de Fe(II) ont été réalisés par évaporation sous flux d'argon mais n'ont résulté qu'en la formation dépôts ayant un aspect de laque.

Cette expérience a été répétée dans les mêmes conditions mais en exposant la solution (A) à l'oxygène atmosphérique, qui a résulté en l'obtention en quelques heures d'une solution orange-brune. L'évaporation de celle ci a résulté en le dépôt d'un solide mal défini ainsi que d'une faible quantité de cristaux de [(MAXP₃)(Cl)FeOFe(Cl)(MAXP₃)](BPh₄)₂.2H₂O (masse isolée : 35 mg, rdt = 17%). En spectrométrie de masse électrospray, seul le signal du ligand est observé.

IR $\tilde{\nu}$ (cm⁻¹) : 1606,1593 ($\nu_{C=N}$) ; [1160,1130,1096,1079,1052,1027] (δ_{noyauPy}) ; 766 ($\delta_{C_{py}-H}$) ; [733,706] (BPh₄).

Complexe de Mn(II) du ligand MARNP₂NMeΦ.

MARNP₂NMeΦH (100 mg, 0,204 mmol, 1 éq.) est dissous dans 5 mL de méthanol désoxygéné (bullage d'argon). 0,9 équivalents de triéthylamine (0,184 mmol, 18,5 mg, 26 μ L), puis 40,3 mg de MnCl₂.4H₂O sont ajoutés à cette solution ainsi que 66,5 mg (0,408 mmol, 2 éq.) de NH₄PF₆. Une solution incolore est obtenue. 25 mL d'eau sont ajoutés à cette solution, ce qui provoque la précipitation d'un solide blanc. Celui-ci est filtré pour obtenir, après séchage dans un dessiccateur sous vide en présence de P₂O₅, 134 mg d'une poudre blanche.

Un échantillon monocristallin de qualité suffisante pour l'étude par diffraction des rayons X a pu être obtenu en dissolvant 20 mg de la poudre dans 2 mL de méthanol et en faisant diffuser de l'éther diéthylique dans cette solution.

[Mn(MARNP₂NMeΦ)(H₂O)](PF₆) :

Microanalyse (sur la poudre) – calculé/trouvé pour [Mn(C₂₈H₃₃N₄O₄)(H₂O)](PF₆) : C 47,53/47,84 ; H 4,99/5,22 ; N 7,91/7,92 ; Mn 7,77/6,57. Cette microanalyse met en évidence un défaut de manganèse (confirmé par une mesure de moment magnétique) dans la poudre par rapport à ce qui est attendu pour la composition prévue.

IR $\tilde{\nu}$ (cm⁻¹) : 1604 ($\nu_{C=N}$) ; 1281 ($\nu_{C_{arom}-O}$) ; [1167,1160,1131,1109,1081,1053,1023] ($\delta_{noyauPy}$, $\delta_{noyauPhOH}$) ; 839 (large, PF₆⁻) ; 766 $\delta_{C_{Ar}-H}$; 568 (large, PF₆⁻).

SM-ES : 385,2 [MARNP₂NMeΦ-CH₂PhOH+H]⁺ (89,2) ; 407,2 [MARNP₂NMeΦ-CH₂PhOH+H]⁺ (100) ; 491,2 [MARNP₂NMeΦ+H]⁺ (49,8) ; 513,2 [MARNP₂NMeΦ+Na]⁺ (64,0) ; 544,1 [MARNP₂NMeΦ-H+Mn(II)]⁺ (71,7)²⁷.

A.6 Données structurales

A.6.1 Cristallographie aux rayons X

Pour toutes les structures, les facteurs d'accord *R1* et *wR2* sont définis par les équations suivantes :

$$R1 = \frac{\sum ||F_o| - |F_c||}{\sum |F_o|} \quad (5.3)$$

$$wR2 = \frac{\sum [w(F_o^2 - F_c^2)^2]}{2 \cdot \sum [w(F_o^2)^2]} \quad (5.4)$$

où *w* est la pondération (voir les fichiers .cif des structures). Seules les réflexions telles que $I > 2\sigma(I)$ sont utilisées pour l'affinement.

Les glycocomplexes cristallisant dans des groupes d'espace chiraux, nous avons vérifié à chaque fois que le paramètre de Flack valait 0, indiquant une structure affinée de même configuration que la structure réelle (une valeur de 1 indique une structure affinée énantiomère de la structure réelle)^[357].

²⁷Après oxydation à l'air, les signaux laissent toujours apparaître des pics associés au Mn(II), mais comme pour les complexes de Cu(II) des ligands **MAXP**₃, **MARP**₃ et **proP**₃, une réduction dans le spectromètre de masse est possible.

Système cristallin	orthorhombique
Groupe d'espace	$P 2_1 2_1 2_1$
a [Å]	10,7451(4)
b [Å]	11,0327(4)
c [Å]	23,815(3)
V [Å ³]	3701,8(2)
D _{calc} [Mg m ⁻³]	1,560
μ (MoK α) [mm ⁻¹]	0,688
Dimensions [mm]	0,28 × 0,17 × 0,11
Couleur	rose
Reflex. mes.	18042
Reflex. uniques (R _{int})	9372 (0,0230)
Reflex. avec I > 2 σ (I)	8339
Interv. θ [°]	1,96 < θ < 34,82
R1	0,0317
wR2	0,0686
Diff. Fourier max. ; min. [e Å ⁻³]	0,466 ; -0,337

TAB. A.1 – Données cristallographiques pour le complexe [Co(**ManP₃Bn**)(H₂O)₂](ClO₄)₂.H₂O

Complexe	[Co(Gal^{it}P₃)](ClO ₄) ₂	[Ni(Gal^{dOMe}P₃)](PF ₆) ₂
Système cristalline	monoclinique	tétragonal
Groupe d'espace	$P 2_1$	$P 4_3 4_1 2$
a [Å]	8,8901(7)	10,3498(2)
b [Å]	10,1373(7)	10,3498(2)
c [Å]	14,9943(11)	56,593(2)
α [°]	90	90
β [°]	90,714(1)	90
γ [°]	90	90
V [Å ³]	1351,21(17)	6062,2(3)
Z	2	8
F(000)	698	3248
D _{calc} [Mg m ⁻³]	1,67	1,753
μ (MoK α) [mm ⁻¹]	0,904	0,862
Dimensions [mm]	0,22 × 0,16 × 0,08	0,11 × 0,11 × 0,11
Reflex. mes.	17589 (0,0158)	42932 (0,0679)
Reflex. uniques (R _{int})	11309	9229
Reflex. avec I > 2 σ (I)	10422	6696
Interv. θ [°]	2,29 < θ < 38,93	1,44 < θ < 30,53
R1	0,0362	0,0550
wR2	0,0959	0,0935
Diff. Fourier max. ; min. [e Å ⁻³]	1,457 ; -0,595	0,507 ; -0,469

TAB. A.2 – Données cristallographiques pour les complexes des ligands **Gal^{dOMe}P₃** et **Gal^{it}P₃**.

	[Mn(LyxP ₃)(H ₂ O)] (PF ₆) ₂ .2 ^t BuOMe	[Fe(LyxP ₃)] (ClO ₄) ₂	[Co(LyxP ₃)] (ClO ₄) ₂	[Ni(LyxP ₃)] (PF ₆) ₂	[Cu(LyxP ₃)] (PF ₆) ₂	[Zn(LyxP ₃)] (PF ₆) ₂
a [Å]	10,084(5)	10,0195(7)	10,004(5)	10,505(5)	10,248(5)	10,419(5)
b [Å]	15,273(5)	14,1583(11)	15,277(5)	13,755(5)	15,490(5)	13,924(5)
c [Å]	28,382(5)	19,8960(16)	18,573(5)	20,623(5)	18,898(5)	20,660(5)
V [Å ³]	4371(3)	2822,4(4)	2838,5(19)	2979,9(19)	2999,9(19)	2997,2(19)
D _{calc} [Mg m ⁻³]	1,484	1,629	1,627	1,759	1,751	1,757
μ (MoK _α) [mm ⁻¹]	0,476	0,796	0,865	0,876	0,951	1,043
Dimensions [mm]	0,22 × 0,20 × 0,16	0,11 × 0,09 × 0,06	0,23 × 0,12 × 0,08	0,11 × 0,08 × 0,05	0,10 × 0,08 × 0,06	0,18 × 0,07 × 0,06
Couleur	incolore	incolore	rose-violet	bleu	vert	incolore
Reflex. mes.	50982	43858	19202	20430	46021	31570
Reflex. uniques (R _{int})	11044 (0,0280)	9876 (0,0302)	7299 (0,0223)	8138 (0,0307)	13039 (0,318)	10543 (0,0306)
Reflex. avec I > 2σ(I)	10086	8823	6865	7082	9507	9182
Interv. θ [°]	1,43 < θ < 30,67	17,77 < θ < 34,40	2,43 < θ < 30,73	2,77 < θ < 30,79	2,63 < θ < 36,07	2,44 < θ < 34,22
R1	0,0377	0,0406	0,0335	0,0360	0,0476	0,0363
wR2	0,1038	0,1080	0,0841	0,0853	0,1114	0,0904
Diff. Fourier max. ; min. [e Å ⁻³]	1,323 ; -0,568	2,014 ; -0,814	0,664 ; -0,658	0,776 ; -0,449	1,764 ; -1,528	0,830 ; -0,745

Tous les complexes du ligand **LyxP₃** cristallisent dans le système orthorhombique ($\alpha = \beta = \gamma = 90^\circ$) dans le groupe d'espace $P 2_1 2_1 2_1$, avec 4 molécules par maille ($Z = 4$).

TAB. A.3 – Données cristallographiques pour les complexes du ligand **LyxP₃**.

	[Co(MAGP ₃)] (PF ₆) ₂ .H ₂ O	[Co(L-MAGP ₃)] (PF ₆) ₂ .H ₂ O	[Ni(MAGP ₃)] (PF ₆) ₂ .H ₂ O	[Zn(MAGP ₃)] (PF ₆) ₂ .H ₂ O
a [Å]	9,132(5)	9,1512(7)	9,3481(5)	9,207(5)
b [Å]	19,071(5)	19,1282(15)	19,4917(12)	19,149(5)
c [Å]	9,973(5)	10,0022(8)	9,6604(6)	9,981(5)
β [°]	104,076(5)	104,1590(10)	104,739(2)	104,412(5)
V [Å ³]	1684,7(13)	1697,7(2)	1702,30(17)	1704,3(13)
D _{calc} [Mg m ⁻³]	1,692	1,679	1,674	1,685
μ (MoK α) [mm ⁻¹]	0,720	0,714	0,778	0,929
Dimensions [mm]	0,22 × 0,13 × 0,09	0,12 × 0,12 × 0,07	0,13 × 0,10 × 0,07	0,20 × 0,18 × 0,15
Couleur	rose-violet	rose-violet	bleu	incolore
Reflex. mes.	19463	14987	7851	7449
Reflex. uniques (R _{int})	7818 (0,0222)	9158 (0,0230)	5561 (0,0192)	6729 (0,0194)
Reflex. avec I > 2 σ (I)	6875	7537	4952	6344
Interv. θ [°]	2,54 < θ < 29,85	2,10 < θ < 36,43	2,48 < θ < 30,02	2,52 < θ < 30,31
R1	0,0348	0,0491	0,0332	0,0339
wR2	0,0805	0,1158	0,0820	0,0817
Diff. Fourier max. ; min. [e Å ⁻³]	0,477 ; -0,426	0,766 ; -0,605	0,654 ; -0,488	0,415 ; -0,415

Tous les complexes du ligand MAGP₃ cristallisent dans le système monoclinique ($\alpha = \gamma = 90^\circ$) dans le groupe d'espace $P 2_1$, avec 2 molécules par maille ($Z = 2$).

TAB. A.4 – Données cristallographiques pour les complexes du ligand MAGP₃

	RibP₃	[Mn(RibP₃)] (ClO ₄) ₂	[Fe(RibP₃)] (ClO ₄) ₂	[Co(RibP₃)] (PF ₆) ₂	[Ni(RibP₃)] (PF ₆) ₂	[Zn(RibP₃)] (ClO ₄) ₂
Système cristallin	monoclinique	triclinique	monoclinique	orthorhombique	monoclinique	monoclinique
Groupe d'espace	<i>P</i> 2 ₁	<i>P</i> 1	<i>C</i> 2	<i>P</i> 2 ₁ 2 ₁ 2 ₁	<i>P</i> 2 ₁	<i>C</i> 2
a [Å]	10,9372(12)	9,6523(14)	19,103(3)	10,067(5)	20,9043(9)	19,2067(11)
b [Å]	8,8919(9)	10,5041(14)	14,6464(19)	14,078(5)	10,0729(5)	14,5343(8)
c [Å]	11,8069(13)	14,581(2)	10,9417(14)	21,026(5)	29,6593(13)	11,0350(7)
α [°]	90	82,128(3)	90	90	90	90
β [°]	105,992(2)	85,188(3)	110,957(2)	90	110,488	111,7910(10)
γ [°]	90	71,797(2)	90	90	90	90
Z	2	2	4	4	8	4
V [Å ³]	1103,8(2)	1389,8(3)	2858,8(6)	2980(2)	5850,2(5)	2860,4(3)
D _{calc} [Mg m ⁻³]	1,316	1,652	1,608	1,753	1,785	1,630
μ (MoK _α) [mm ⁻¹]	0,093	0,742	0,786	0,800	0,892	1,117
Dimensions [mm]	0,28 × 0,26 × 0,18	0,18 × 0,12 × 0,07	0,25 × 0,22 × 0,18	0,07 × 0,06 × 0,05	0,32 × 0,14 × 0,06	0,3 × 0,3 × 0,3
Couleur	incolore	rose pâle	jaune pâle	rose-violet	vert	incolore
Reflex. mes.	15521	26168	16008	12357	73787	24600
Reflex. uniques (R _{int})	9626 (0,0209)	16761 (0,0212)	7917 (0,0186)	4917 (0,0417)	23251 (0,0475)	15011 (0,0159)
Reflex. avec I > 2σ(I)	8078	15318	7543	3907	21030	13193
Interv. θ [°]	1,79 < θ < 38,09	2,35 < θ < 33,05	2,28 < θ < 33,15	2,89 < θ < 26,86	0,73 < θ < 26,41	1,81 < θ < 43,23
R1	0,0407	0,0450	0,0379	0,0370	0,0960	0,0297
wR2	0,1004	0,1183	0,0993	0,0564	0,2617	0,0705
Diff. Fourier max. ; min. [e Å ⁻³]	0,455 ; -0,233	1,105 ; -1,056	0,785 ; -0,779	0,380 ; -0,315	1,175 ; -0,635	1,531 ; -1,162

TABLE A.5 – Données cristallographiques pour les complexes contenant le ligand **RibP₃**, ainsi que pour les cristaux du ligand **RibP₃**.

	$[(\text{MAXP}_3)(\text{Cl})\text{FeOFe}(\text{Cl})(\text{MAXP}_3)]$ (BPh ₄) ₂ ·2H ₂ O·2(CH ₃ OH)	$[\text{Cu}(\text{MAXP}_3)]$ (PF ₆) ₂	$[\text{Cu}(\text{MARP}_3)(\text{EtOH})]$ (PF ₆) ₂	$[(\text{proP}_3)\text{Cu}(\text{PF}_6^-)\text{Cu}(\text{proP}_3)]$ (PF ₆) ₃ ·3(CH ₃ OH)
Système cristallin	monoclinique	orthorhombique	orthorhombique	monoclinique
Groupe d'espace	<i>P</i> 2 ₁	<i>P</i> 2 ₁ 2 ₁ 2 ₁	<i>P</i> 2 ₁ 2 ₁ 2 ₁	<i>C</i> 2/ <i>c</i>
a [Å]	26,056(3)	9,6592(3)	8,6233(2)	33,246(5)
b [Å]	14,214(2)	16,7160(5)	9,9347(2)	11,059(5)
c [Å]	28,580(3)	19,5817(6)	39,4543(9)	16,437(5)
α [°]	90	90	90	90
β [°]	109,154(4)	90	90	117,716(5)
γ [°]	90	90	90	90
V [Å ³]	9999(2)	3161,72(17)	3380,05(13)	5350(3)
Z	2	4	4	4
D _{calc} [Mg m ⁻³]	1,261	1,714	1,692	1,822
μ (MoK _α) [mm ⁻¹]	0,410	0,904	0,852	1,051
Dimensions [mm]	0,24 × 0,11 × 0,06	0,18 × 0,36 × 0,40	0,35 × 0,11 × 0,10	0,32 × 0,11 × 0,16
Couleur	orange	bleu	bleu	bleu
Reflex. mes.	79722	121323	33708	46749
Reflex. uniques (R _{int})	32085 (0,1267)	24253 (0,0977)	12559 (0,0515)	7563 (0,0453)
Reflex. avec I > 2σ(I)	14202	17436	7111	5293
Interv. θ [°]	1,51 < θ < 26,46	1,60 < θ < 45,32	2,06 < θ < 36,03	1,97 < θ < 34,98
R1	0,1070	0,0427	0,0837	0,0746
wR2	0,2788	0,0979	0,1999	0,2068
Diff. Fourier max. ; min. [e Å ⁻³]	1,087 ; -1,049	1,184 ; -0,820	0,926 ; -0,896	0,507 ; -0,469

TAB. A.6 – Données cristallographiques pour les complexes contenant les ligands pentadentes **MAXP₃**, **MARP₃** et **proP₃**.

A.6.2 Conformations de cycle et paramètres de *puckering*

Dans cette annexe (inspirée par les livres de David^[47] et de Lindhorst^[14]), nous mentionnerons les différentes conformations des formes cycliques des monosaccharides à 6 et à 5 chaînons, ainsi que les conventions servant à leur attribuer des descripteurs symboliques. La compréhension du texte par le lecteur sera facilitée en considérant les exemples représentés dans la figure A.3.

Convention de représentation

Afin de définir une directionnalité haut/bas pour décrire les conformations des formes cycliques des sucres de façon non-ambiguë, on représente conventionnellement les pyranoses (formes cycliques à 6 chaînons) en plaçant les atomes de carbone 1 et 4 dans le plan de la feuille et l'oxygène cyclique derrière ce plan. De façon similaire, les furannoses (formes cycliques à 5 chaînons) sont représentés conventionnellement en plaçant les atomes 2 et 3 dans le plan de la feuille et l'atome d'oxygène derrière ce plan.

Pyranoses

Les conformations majeures des pyranoses dérivent bien évidemment des conformations du cyclohexane. En l'absence de substituants, les conformations les plus stables sont de type chaise. Dans le cadre de la convention de représentation mentionnée ci-dessus, les deux conformations chaise possibles sont décrites par des symboles traduisant la position des atomes par rapport au plan défini par les atomes C2, C3, C4 et C5 et sont donc 1C_4 et 4C_1 . Pour les hexopyranoses, la conformation 1C_4 est très défavorisée en raison d'interactions stériques très défavorables induites par la position axiale du substituant CH_2OR en C5. Il est à noter que, dans le cas du D-idose, les groupements hydroxyle en 2, 3 et 4 étant en position axiale dans la chaise 4C_1 , les deux chaises 1C_4 et 4C_1 sont de stabilité comparable. En revanche, les pentopyranoses présentent des stabilités proches pour les deux formes chaises possibles en raison de l'absence de substituant en C5.

Les conformations chaise (*C*) sont plus stables d'au moins 20 kJ mol^{-1} par rapport à tout autre type de conformation (en absence de substituants). D'autres conformations principales des pyranoses incluent les conformations bateau (*B*), *skew* (*S*, oblique) et demi-chaise (*half-chair*, *H*). En conformation bateau, 2 atomes séparés par 3 liaisons simples sont du même côté du plan moyen défini par les autres atomes du cycle. Dans les cycles en conformation *skew*, un plan peut être défini par 3 atomes contigus ainsi qu'un quatrième atome séparé de ces trois atomes par deux liaisons simples. Les deux autres atomes sont de part et d'autre de ce plan. Pour les cycles en conformation demi-chaise, un plan peut être défini par 4 atomes contigus, les 2 autres atomes étant encore une fois de part et d'autre du plan. Finalement, d'autres conformations rares peuvent être observées dans le cas de systèmes contraints : la conformation enveloppe (*E*) dans laquelle 5 atomes sont coplanaires et la conformation bateau croisé *T* qui dérive de la conformation bateau par rotation dans des sens opposés des deux liaisons entre les deux paires d'atomes qui définissaient le plan de la conformation bateau.

Furannoses

Dans le cas des furannoses, les conformations principales sont les enveloppes (E) dans lesquelles un atome est en dehors du plan défini par les 4 autres atomes et les conformations ($twist$) dans lesquelles deux atomes contigus sont de part et d'autre du plan défini par les trois autres atomes. La convention de représentation ci-dessus permet de déterminer des descripteurs symboliques de conformation comme pour les pyranoses. Pour un furannose donné, de nombreuses conformations de basse énergie sont accessibles, contrairement au cas des pyranoses (en particulier des hexopyranoses), où il existe souvent une conformation (typiquement une conformation chaise) qui est favorisée.

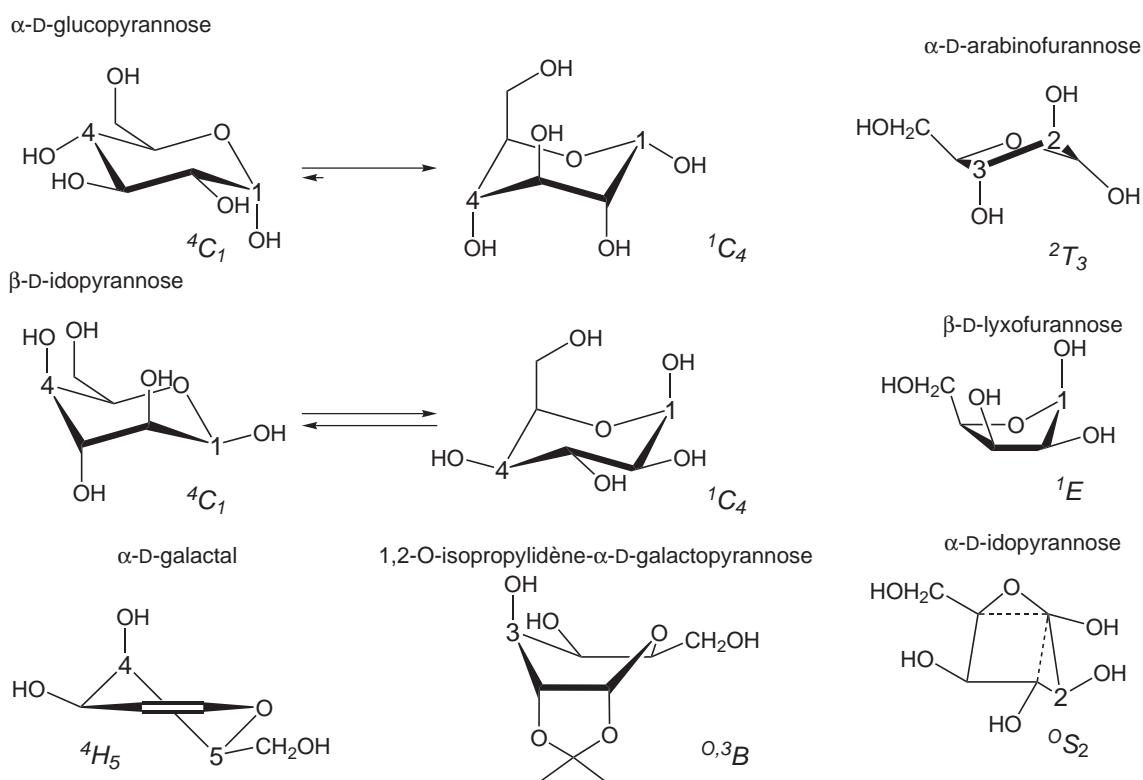


FIG. A.3 – Exemples de conformations de monosaccharides.

Paramètres de puckering

Les paramètres de *puckering* (mot anglais signifiant « plissement ») servent à caractériser quantitativement la conformation réelle d'un cycle à 5 ou 6 chaînons. Il s'agit de jeux de coordonnées polaires : $\{QT, \theta, \phi\}$ (QT a les dimensions d'une longueur, θ et ϕ sont des angles) pour les cycles à six chaînons et $\{QT, \phi\}$ pour les cycles à 5 chaînons. Les angles θ et ϕ sont obtenus à partir des angles de torsion du cycle et QT quantifie l'écart moyen des atomes au plan moyen du cycle^[166, 167].

La correspondance entre les valeurs des paramètres de *puckering* pour les cycles à 5 chaînons^[166] et les conformations idéales du cyclopentane permet d'attribuer des descripteurs symboliques de conformation aux cycles à 5 chaînons rencontrés lors d'études structurales :

Symbole	Conformation	Paramètres
E	enveloppe	$\phi = k \times 36$
T	croisée*	$\phi = k \times 36 + 18$

* en anglais, *twist*

Il en est de même pour les cycles à 6 chaînons en correspondance aux conformations idéales du cyclohexane :

Symbole	Conformation	Paramètres
C	chaise	$\theta = 0$
H	demi-chaise	$\theta = 50,8; \phi = k \times 60 + 30$
E	enveloppe	$\theta = 54,7; \phi = k \times 60$
S	oblique*	$\theta = 67,5; \phi = k \times 60 + 30$
B	bateau	$\theta = 90,0; \phi = k \times 60$
T	bateau croisé	$\theta = 90,0; \phi = k \times 60 + 30$

* en anglais, *skew*

En pratique, dans le cadre de cette thèse, les paramètres de *puckering* ont été calculés à l'aide du logiciel Platon^[351].

A.7 Test de McCord-Fridovich

Toutes les solutions ont été préparées à partir d'eau Millipore. La solution de xanthine $200 \mu\text{mol L}^{-1}$ a été préparée en dissolvant 7 mg de xanthine dans 200 mL de tampon phosphate ($\text{KH}_2\text{PO}_4/\text{K}_2\text{HPO}_4$) 50 mmol L^{-1} (la solution est portée au reflux pendant 3 heures). La solution de cyt C $22 \mu\text{mol L}^{-1}$ a été préparée en dissolvant 13,5 mg de cyt C dans 50 mL de la solution de xanthine. La solution de NBT $100 \mu\text{mol L}^{-1}$ a été préparée en dissolvant 8,17 mg de NBT dans 100 mL de la solution de xanthine. La xanthine oxydase commerciale est diluée 30 fois dans le tampon puis aliquotée dans de petits eppendorfs qui sont stockés à $-20 \text{ }^\circ\text{C}$. Les aliquots sont décongelés immédiatement avant usage.

Les cinétiques sont réalisées à $25 \text{ }^\circ\text{C}$ dans des cuves de 3 mL, avec agitation magnétique. Pour chaque mesure, à 2,97 mL de la solution de xanthine et de marqueur sont ajoutés 20 à $30 \mu\text{L}$ de solution de xanthine oxydase. Le volume final est d'environ 3 mL. La pente dans le graphique de l'absorbance au λ_{max} de la forme réduite du marqueur en fonction du temps doit être de l'ordre de $0,025 \text{ min}^{-1}$. Dans le cas du NBT, la réaction résulte en la formation d'un formazan bleu (figure A.4). La pente p_1 est mesurée avant l'ajout. Le mime de SOD est ajouté après 90 secondes. La mesure dure au moins 4 minutes après l'addition de complexe et la pente p_2 après ajout est mesurée entre $t=2,5$ minutes et $t=5,5$ min. La valeur de l' IC_{50} du composé est déterminée à partir de ces pentes (voir la section 4.2.4).

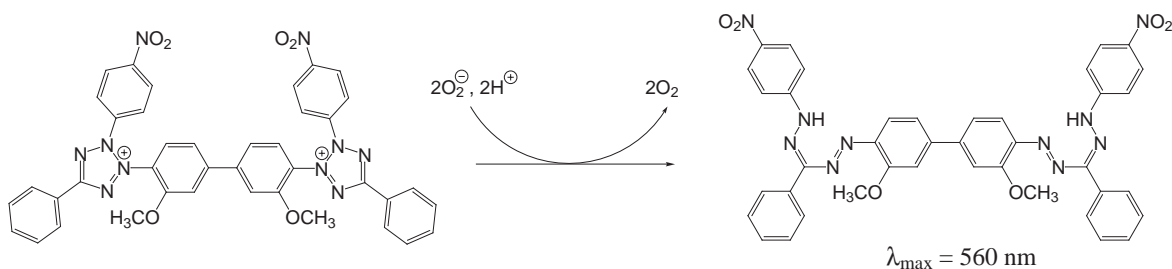


FIG. A.4 – Formation du formazan dérivé du NBT.

Il faut vérifier que le complexe testé n'inhibe pas l'enzyme xanthine oxydase (pour d'autres vérifications voir, par exemple^[311, 312]). Pour cela, il est possible de suivre la production d'urate par l'enzyme à 290 nm où l'urate présente un maximum d'absorption. Le test a lieu dans une cuve de 3 mL sur une solution préparée à partir de 2,9 mL de solution de xanthine et de cytochrome et de 100 mL de solution de xanthine oxydase. Après deux minutes le mime de SOD est ajouté à une concentration supérieure à toutes celles utilisées lors des tests de Fridovich. La production d'urate n'est pas ralentie.

Les complexes de Mn(III) pourraient oxyder le cyt C-Fe(II) ce qui se traduirait par une diminution de l'absorbance après l'ajout du complexe, ce qui n'est pas observé sur 10 minutes, comme attendu pour $[\text{Mn}^{\text{III}}(\text{MARNP}_2\text{NMe}\Phi)(\text{X})]^{n+}$ (la valeur du potentiel redox du couple Mn(II)/Mn(III) n'est pas compatible avec cette réaction).

Bibliographie

- [1] A. J. IHDE, *The Development of Modern Chemistry*. Dover Publications Inc., New York, 1984. 2, 3
- [2] C. D. MICKY, « Some aspects of coordination chemistry », *J. Chem. Ed.*, vol. 58, p. 257–262, 1981. 2
- [3] H. KUNZ, « Emil Fischer, unequalled classicist, master of organic chemistry research and inspired trailblazer of biological chemistry », *Angew. Chem. Int. Ed.*, vol. 41, p. 4439–4451, 2002. 2
- [4] L. H. GADE, « Alfred Werners Koordinationstheorie », *Chemie unserer Zeit*, p. 168–175, 2002. 2
- [5] *Nobel Lectures, Chemistry 1901-1921*. Elsevier, Amsterdam, 1966. 2
- [6] A. WERNER, « Zur Kenntnis des asymmetrischen Kobaltatoms X. I », *Chem. Ber.*, vol. 44, p. 1887–1898, 1911. 2
- [7] A. von ZELEWSKY et O. MAMULA, « The bright future of stereoselective synthesis of co-ordination compounds », *J. Chem. Soc., Dalton Trans.*, p. 219–231, 2000. 2, 29
- [8] A. WERNER, H. KUH et P. WUST, « Zur Kenntnis des asymmetrischen Kobaltatoms X. X », *Chem. Ber.*, vol. 47, p. 1961–1979, 1914. 2, 26
- [9] A. P. SMIRNOFF, « Zur Stereochemie des Platinatoms ; über relativ asymmetrische Synthese bei anorganischen Komplexen », *Helv. Chim. Acta*, vol. 3, p. 177–195, 1920. 2
- [10] R. J. FERRIER, *Organic chemistry of sugars*, chap. Organic chemistry of sugars : historical overview, p. 3–25. CRC Press LLC, Boca Raton, USA, 2006. 3
- [11] S. J. ANGYAL, « The composition and conformations of sugars in solution », *Angew. Chem. Int. Ed.*, vol. 8, p. 157–166, 1969. 3
- [12] R. U. LEMIEUX, R. K. KULLNIG, H. J. BERNSTEIN et W. G. SCHNEIDER, « Configurational effects in the proton magnetic resonance spectra of acetylated carbohydrates », *J. Am. Chem. Soc.*, vol. 79, p. 1005–1006, 1957. 3
- [13] J. A. MCCLEVERTY, « Highlights in inorganic chemistry over the last 100 years », *Ann. Rep. Prog. Chem., Sect. A.*, vol. 100, p. 3–13, 2004. 3
- [14] T. K. LINDHORST, *Essentials of Carbohydrate Chemistry and Biochemistry*. Wiley-VCH, 2003. 3, 47, 230
- [15] T. S. KUHN, *La Structure des Révolutions Scientifiques*. Champs Flammarion, 1999. 3
- [16] J. A. RENDELMAN, « Complexes of alkali metals and alkaline-earth metals with carbohydrates », *Adv. Carbohydr. Chem.*, vol. 21, p. 209–271, 1966. 5, 6
- [17] S. J. ANGYAL, « Complexing of polyols with cations », *Tetrahedron*, vol. 30, p. 1695–1702, 1974. 5, 6
- [18] S. J. ANGYAL, « Haworth memorial lecture : sugar-cation complexes – structure and application », *Chem. Soc. Rev.*, vol. 9, p. 415–428, 1980. 5, 6, 8
- [19] S. ANGYAL, « Complexes of metal cations with carbohydrates in solution », *Adv. Carbohydr. Chem. Biochem.*, vol. 47, p. 1–43, 1989. 5, 6, 8, 63, 94
- [20] S. J. ANGYAL, « Complexes of carbohydrates with metal cations XIX. the effect of the size of the cation and of inter-oxygen distances. », *Aust. J. Chem.*, vol. 53, p. 567–570, 2000. 5, 9
- [21] S. YANO et Y. MIKATA, « Recent progress of functional glycoconjugated metal complexes », *Bull. Chem. Soc. Jpn.*, vol. 75, p. 2097–2113, 2002. 5, 16, 31

- [22] B. GYURCSICK et L. NAGY, « Carbohydrates as ligands : coordination equilibria and structure of the metal complexes. », *Coord. Chem. Rev.*, vol. 203, p. 81–149, 2000. 5, 6
- [23] S. YANO, S. INOUE, Y. YASUDA, T. TANASE, Y. MIKATA, T. KAKUCHI, T. TSUBOMURA, I. KINOSHITA et M. DOE, « First synthesis and characterization of zinc(II) complexes containing *N*-glycosides derived from ethylenediamine and D-glucosamine », *J. Chem. Soc., Dalton Trans.*, p. 1851–1855, 1999. 5, 16
- [24] J.-F. VERCHÈRE et S. CHAPELLE, « Metal-carbohydrate complexes in solution », *Progr. Inorg. Chem.*, vol. 47, p. 837–945, 1998. 5, 9, 63
- [25] N. NAGY et A. SZORCSIK, « Equilibrium and structural studies on metal complexes of carbohydrates and their derivatives », *J. Inorg. Biochem.*, vol. 89, p. 1–12, 2002. 5, 11
- [26] D. M. WHITFIELD, S. STOJKOVSKI et B. SARKAR, « Metal coordination to carbohydrates. Structures and function », *Coord. Chem. Rev.*, vol. 122, p. 171–225, 1993. 5
- [27] T. TANASE, Y. YASUDA, T. ONAKA et S. YANO, « Stereochemistry of nickel(II) complexes with *N*-glycosylamine ligands from 1,3-diaminopropane and aldopentoses. correlation between configurational structures and circular dichroism spectra. », *J. Chem. Soc., Dalton Trans.*, p. 345–352, 1998. 5, 16, 120
- [28] D. STEINBORN et H. JUNICKE, « Carbohydrate complexes of platinum-group metals », *Chem. Rev.*, vol. 100, p. 4283–4317, 2000. 5, 10
- [29] J. A. MILLS, « Association of polyhydroxy compounds with cations in solution », *Biochem. Biophys. Res. Commun.*, vol. 6, p. 418–421, 1961-1962. 6
- [30] S. J. ANGYAL, D. GREEVES et V. A. PICKLES, « Stereospecific interactions in the nuclear magnetic resonance spectra of polyol-lanthanide complexes », *J. Chem. Soc., Chem. Commun.*, p. 589–590, 1974. 7, 94
- [31] S. J. ANGYAL et D. GREEVES, « Complexes of carbohydrates with metal cations 7. Lanthanide-induced shifts in the P.M.R. spectra of cyclitols », *Aust. J. Chem.*, vol. 29, p. 1223–1230, 1976. 7
- [32] S. J. ANGYAL, L. LITTLEMORE et P. J. GORIN, « Lanthanide-induced shifts in the ¹³C N.M.R. spectra of *epi*-inositol and some anhydroxyranoses. The anomalous behaviour of heavy lanthanides », *Aust. J. Chem.*, vol. 38, p. 411–418, 1985. 7
- [33] A. L. PETROU, « Interactions of aluminum(III) with the biologically relevant ligand D-ribose », *Coord. Chem. Rev.*, vol. 228, p. 153–162, 2002. 7
- [34] U. PIARULLI et C. FLORIANI, « Assembling sugars and metals : novel architectures and reactivities in transition metal chemistry », *Progr. Inorg. Chem.*, vol. 45, p. 393–429, 1997. 7, 9, 45, 63
- [35] J. OLLIS, V. J. JAMES, S. J. ANGYAL et P. M. POYER, « An X-ray crystallographic study of α -D-allopyranosyl- α -D-allopyranoside. CaCl₂.5H₂O (a pentadentate complex) », *Carb. Res.*, vol. 60, p. 219–228, 1978. 7, 8
- [36] S. J. ANGYAL, C. L. BODKIN et F. W. PARRISH, « Complexes of carbohydrates with metal cations V. Synthesis of methyl glycosides in the presence of metal ions », *Aust. J. Chem.*, vol. 28, p. 1541–1549, 1975. 8
- [37] S. J. ANGYAL, « A short note on the epimerization of aldoses », *Carb. Res.*, vol. 300, p. 279–281, 1997. 9
- [38] S. J. ANGYAL, « L-ribose : an easily prepared rare sugar », *Aust. J. Chem.*, vol. 58, p. 58–59, 2005. 9
- [39] A. GEISSELMANN, P. KLÜFERS, C. KROPGANS, P. MAYER, et H. PIOTROWSKI, « Carbohydrate-metal interactions shaped by supramolecular assembling », *Angew. Chem. Int. Ed.*, vol. 44, p. 924–927, 2005. 9
- [40] K. BENNER, J. IHRINGER, P. KLÜFER et D. MARINOV, « Cyclodextrin bucket wheels : an oligosaccharide assembly accommodates metal(IV) centers », *Angew. Chem. Int. Ed.*, vol. 45, p. 5818–5822, 2006. 9
- [41] C. P. RAO, K. GEETHA, M. RAGHAVAN, A. SREEDHARA, K. TOKUNAGA, T. YAMAGUCHI, V. JADHAV, K. GANESH, T. KRISHNAMOORTHY, K. V. RAMAIAH et R. BHATTACHARY, « Transition metal saccharide chemistry and biology : syntheses, characterization, solution stability and putative bio-relevant studies of iron-saccharide complexes », *Inorg. Chim. Acta*, vol. 97, p. 373–382, 2000. 9

- [42] M. HINRICHS, F. R. HOFBAUER et P. KLÜFERS, « Towards carbohydrate derivatives of the Re(I)(CO)₃ fragment », *Chem. Eur. J.*, vol. 12, p. 4675–4683, 2006. 10
- [43] S. STRIEGLER et M. DITTEL, « A sugar discriminating binuclear copper(II) complex », *J. Am. Chem. Soc.*, vol. 125, p. 11518–11524, 2003. 10, 11
- [44] R. W. JEANLOZ et E. A. BALAZS, éd., *The amino sugars*. Academic Press, 1969. 11, 16
- [45] H. YUASA, N. MIYAGAWA, M. NAKATANI, M. IZUMI et H. HASHIMOTO, « A tong-like fluorescence sensor for metal ions : perfect conformational switch of hinge sugar by pyrene stacking », *Org. Biomol. Chem.*, vol. 2, p. 3548–3556, 2004. 11, 12
- [46] H. YUASA, T. IZUMI, N. MITSUHASHI, Y. KAJIHARA et H. HASHIMOTO, « An improvement in the bending ability of a hinged trisaccharide with the assistance of a sugar-sugar interaction », *Chem. Eur. J.*, vol. 11, p. 6478–6490, 2005. 11, 12
- [47] S. DAVID, *Chimie Moléculaire et Supramoléculaire des Sucres – Introduction Chimique aux Glycosciences*. CNRS Éditions/InterÉditions, 1995. 11, 36, 44, 45, 55, 60, 123, 147, 230
- [48] J. AUGÉ et S. DAVID, « Hexopyranose sugars conformations revised », *Tetrahedron*, vol. 40, p. 2101–2106, 1984. 11, 36, 55, 60, 123
- [49] H. YUASA et H. HASHIMOTO, « Bending trisaccharides by a chelation-induced ring flip of a hinge-like monosaccharide unit », *J. Am. Chem. Soc.*, vol. 121, p. 5089–5090, 1999. 11
- [50] Y. E. ALEXEEV, I. S. VASILCHENKO, B. I. KHARISOV, L. M. BLANCO, A. D. GARVOVSKII et Y. A. ZHDANOV, « Review : synthetically modified carbohydrates as ligands », *J. Coord. Chem.*, vol. 57, p. 1447–1517, 2004. 13, 15
- [51] R. CORRADINI, C. PAGANUZZI, R. MARCHELLI, S. PAGLIARI, A. DOSSENA et A. DUCHATEAU, « Fluorescent cyclodextrins bearing metal binding sites and their use for chemo- and enantioselective sensing of amino acid derivatives », *J. Inclusion Phenom. Macrocycl. Chem.*, vol. 57, p. 625–630, 2007. 13
- [52] Y. CHEN, K.-Y. HAN et Y. LIU, « Effective switch-on fluorescence sensing of zinc(II) ion by 8-aminoquinolino- β -cyclodextrin/adamantaneacetic acid system in water », *Bioorg. Med. Chem.*, vol. 15, p. 4357–4542, 2007. 13
- [53] T. STORR, K. H. THOMPSON et C. ORVIG, « Design of targeting ligands in inorganic chemistry », *Chem. Soc. Rev.*, vol. 35, p. 534–544, 2006. 13
- [54] Y. MIKATA, Y. SHINOHARA, K. OKEDA, Y. NAKAMURA, I. BRUDZIŃSKA, T. TANASE, T. KITAYAMA, R. TAKAGI, T. OKAMOTO, I. KINOSHITA, M. DOE, C. ORVIG et S. YANO, « Unprecedented sugar-dependent in vivo antitumor activity of carbohydrate-pendant *cis*-diamminedichloroplatinum(II) complexes », *Bioorg. Med. Chem. Lett.*, vol. 11, p. 3045–3047, 2001. 13, 14
- [55] T. STORR, C. L. FISCHER, Y. MIKATA, S. YANO, M. J. ADAM et C. ORVIG, « A glucosamine-dipicolylamine conjugate of ^{99m}Tc(I) and ¹⁸⁶Re(I) for use in imaging and therapy », *Dalton Trans.*, p. 654–655, 2005. 13, 14
- [56] S. ASAYAMA, K. MIZUSHIMA, S. NAGAOKA et H. KAWAKAMI, « Design of metalloporphyrin-carbohydrate conjugates for a new superoxide dismutase mimic with cellular recognition », *Bioconjugate Chem.*, vol. 15, p. 1360–1363, 2004. 13
- [57] M. GOTTSCHALDT, A. PFEIFER, D. KOTH, H. GÖRLS, H. M. DAHSE, U. MÖLLMANN, M. OBATA et S. YANO, « Silver(I) complexes based on novel tripodal thioglycosides : synthesis, structure and antimicrobial activity », *Tetrahedron*, vol. 62, p. 11073–11080, 2006. 13, 14
- [58] R. A. MOATS, S. E. FRASER et T. J. MEADE, « A "smart" magnetic resonance imaging agent that reports on specific enzymic activity. », *Angew. Chem. Int. Ed. Engl.*, vol. 36, p. 726–728, 1997. 13
- [59] T. STORR, M. OBATA, C. L. FISHER, S. R. BAYLY, D. E. GREEN, I. BRUDZIŃSKA, Y. MIKATA, B. O. PATRICK, M. J. ADAM, S. YANO et C. ORVIG, « Novel carbohydrate-appended metal complexes for potential use in molecular imaging », *Chem. Eur. J.*, vol. 11, p. 195–203, 2005. 14
- [60] J. PETRIG, R. SCHIBLI, C. DUMAS, R. ALBERTO et P. A. SCHUBIGER, « Derivatization of glucose and 2-deoxyglucose for transition metal complexation : substitution reactions with organometallic ^{99m}Tc and Re precursors and fundamental NMR investigations », *Chem. Eur. J.*, vol. 7, p. 1868–1873, 2001. 14

- [61] C. DUMAS, J. PETRIG, L. FREI, B. SPINGLER et R. SCHIBLI, « Functionalization of glucose at position C-3 for transition metal coordination : organo-rhenium complexes with carbohydrate skeletons. », *Bioconjugate Chem.*, vol. 16, p. 421–428, 2005. 14
- [62] S. SAKAI et T. SASAKI, « Multivalent carbohydrate ligands assembled on a metal template », *J. Am. Chem. Soc.*, vol. 116, p. 1587–1588, 1994. 14
- [63] I. BATINIĆ-HABERLE, I. SPASOJEVIC, R. D. STEVENS, P. HAMBRIGH, P. NETA, A. OKADOMATSUMOTO et I. FRIDOVICH, « New class of potent catalysts of superoxide dismutation. Mn(III) *ortho*-methoxyethylpyridyl- and di-*ortho*-methoxyethylimidazolylporphyrins », *Dalton Trans.*, p. 1696–1702, 2004. 14, 141
- [64] I. BATINIĆ-HABERLE, I. SPASOJEVIC, R. D. STEVENS, B. BONDURANT, O.-M. AYAKO, I. FRIDOVICH, Z. VUJASKOVIC et M. W. DEWHIRST, « New PEG-ylated Mn(III) porphyrins approaching catalytic activity of SOD enzyme. », *Dalton Trans.*, p. 617–624, 2006. 14, 141, 156
- [65] M. P. LOWE, « MRI contrast agents : the next generation », *Aust. J. Chem.*, vol. 55, p. 551–556, 2002. 14, 15
- [66] R. ROAT-MALONE, *Bioinorganic Chemistry - a Short Course*. Wiley-interscience, 2002. 15, 140
- [67] M. I. M. PRATA, A. C. SANTOS, S. TORRES, J. P. ANDRÉ, J. A. MARTINS, M. NEVES, M. L. GARCIA-MARTIN, T. B. RODRIGUES, P. LOPEZ-LARRUBIA, S. CERDAN et C. F. G. C. GERALDES, « Targeting of lanthanide(III) chelates of DOTA-type glycoconjugates to the hepatic asialoglycoprotein receptor : cell internalization and animal imaging studies », *Contrast Med. Mol. Imaging*, vol. 1, p. 246–256, 2006. 15
- [68] N. J. WARDLE, A. H. HERLIHY, P.-W. SO, J. D. BELL et S. W. A. BLIGH, « Synthesis of a novel "smart" bifunctional chelating agent 1-(2-[β -D-galactopyranosyloxy]ethyl)-7-(1-carboxy-3-[4-aminophenyl]propyl)-4,10-bis(carboxymethyl)-1,4,7,10-tetraazacyclododecane (Gal-PA-DO3A-NH₂) and its Gd(III) complex », *Bioorg. Med. Chem.*, vol. 15, p. 4714–4721, 2007. 15
- [69] Y. A. ZHDANOV et Y. E. ALEKSEEV, « Basic achievements in the coordination chemistry of modified monosaccharides », *Russ. Chem. Rev.*, vol. 71, p. 969–980, 2002. 15
- [70] M. DIÉGUEZ, O. PÀMIES, A. RUIZ, Y. DIAZ, S. CASTILLÓN et C. CLAVER, « Carbohydrate derivative ligands in asymmetric catalysis », *Coord. Chem. Rev.*, vol. 248, p. 2165–2192, 2004. 15, 30, 109
- [71] A. K. SAH, C. P. RAO, P. K. SAARENKETO, K. RISSANEN, G. A. van ALBADA et J. REEDIJK, « Dinuclear copper complexes of *N*-(2-hydroxybenzylidene or 5-bromo-2-hydroxybenzylidene)-4,6-*O*-ethylidene- α -D-glucopyranosylamine : coordination variation and structural diversity », *Chem. Lett.*, p. 348–349, 2002. 16
- [72] G. RAJSEKHAR, A. K. SAH, C. P. RAO, P. GUIONNEAU, M. BHARATHY et T. N. GURURUROW, « Bis-(μ -saccharide-*C*-2-oxo) dinuclear Cu(II) complexes [...] : structural aspects and data correlations », *Dalton Trans.*, p. 3126–3135, 2003. 16
- [73] A. K. SAH, C. P. RAO, E. K. WEGELIUS, E. KOLEHMAINEN et K. RISSANEN, « Synthesis, characterization and the first crystal structure of the Zn(II) complex of 4,6-*O*-ethylidene-*N*-(2-hydroxybenzylidene)- α -D-glucopyranosylamine », *Carb. Res.*, vol. 336, p. 249–255, 2001. 16
- [74] G. RAJSEKHAR, C. P. RAO, K. NÄTTINEN et K. RISSANEN, « Unusual interaction extended between the pyranose ring oxygen and Zn(II) center [...] : evidence for a pseudo-bicapped tetrahedral complex of Zn(II) based on the crystal structure », *Inorg. Chem. Commun.*, vol. 6, p. 1156–1160, 2003. 16
- [75] A. BURKHARDT, A. BUCHHOLZ, H. GÖRLS et W. PLASS, « Synthesis, structure and magnetic properties of a tetranuclear copper(II) complex on the basis of a 2-substituted glucopyranoside schiff base ligand », *Eur. J. Inorg. Chem.*, p. 3400–3406, 2006. 16
- [76] R. WEGNER, M. GOTTSCHALDT, H. GÖRLS, E.-G. JÄGER et D. KLEMM, « New building blocks for the design of oligonuclear copper complexes based on amino carbohydrates », *Angew. Chem. Int. Ed.*, vol. 39, p. 595–599, 2000. 16, 17
- [77] R. WEGNER, M. GOTTSCHALDT, H. GÖRLS, E.-G. JÄGER et D. KLEMM, « Copper(II) complexes of aminocarbohydrate β -ketoenaminic ligands : efficient catalysts in catechol oxidation », *Chem. Eur. J.*, vol. 7, p. 2143–2157, 2007. 16

- [78] R. WEGNER, M. GOTTSCHALDT, W. POPPITZ, E.-G. JÄGER et D. KLEMM, « Catechol oxidase model compounds based on aminocarbohydrates : new structure types and investigations on the catalytic reaction », *J. Mol. Cat. A : Chem.*, vol. 201, p. 93–118, 2003. 16
- [79] S. P. GAUCHER et J. A. LEARY, « Stereochemical differentiation of mannose, glucose, galactose, and talose using zinc(II) diethylenetriamine and ESI-ion trap mass spectrometry », *Anal. Chem.*, vol. 70, p. 3009–3014, 1998. 17
- [80] S. KONIG et J. A. LEARY, « Evidence for linkage position determination in cobalt coordinated pentasaccharides using ion trap mass spectrometry », *J. Am. Soc. Mass Spec.*, vol. 9, p. 1125–1134, 1998. 17
- [81] H. B. KAGAN et DANG-TUAN-PHAT, « Asymmetric catalytic reduction with transition metal complexes. I. catalytic system of rhodium(I) with (-)-2,3-*O*-isopropylidene-2,3-dihydroxy-1,4-bis(diphenylphosphino)butane, a new chiral diphosphine », *J. Am. Chem. Soc.*, vol. 94, p. 6429–6433, 1972. 17
- [82] A. PFALTZ et W. J. DRURY, « Design of chiral ligands for asymmetric catalysis : from C_2 -symmetric P,P- and N,N-ligands to sterically and electronically nonsymmetrical P,N-ligands », *Proc. Nat. Acad. Sci.*, vol. 101, p. 5723–5726, 2004. 17
- [83] C. BORRIELLO, A. DE RENZI, M. FUSTO, A. MOLINARO et F. RUFFO, « Transition metals and carbohydrates : the methyl-4,6-*O*-benzylidene-2,3-diazo-2,3-dideoxy- α -D-mannopyranoside skeleton as building block for new chiral nitrogen chelates. », *Carb. Res.*, vol. 331, p. 209–212, 2001. 17, 18
- [84] C. BORRIELLO, M. E. CUCCIOLITO, A. PANUNZI et F. RUFFO, « Novel chiral diimines and diamines derived from sugars in copper-catalysed asymmetric cyclopropanation », *Tetrahedron : Asymmetry*, vol. 12, p. 2467–2471, 2001. 17
- [85] C. BORRIELLO, R. DEL LITTO, A. PANUNZI et F. RUFFO, « Mn(III) complexes of chiral salen type ligands derived from carbohydrates in the asymmetric epoxidation of styrenes. », *Tetrahedron : Asymmetry*, vol. 15, p. 681–686, 2004. 17, 18
- [86] F. RUFFO, R. DEL LITTO, A. DE ROMA, A. D'ERRICO et S. MAGNOLIA, « Bis(phosphinoamides) based on sugars for highly enantioselective allylic substitution : inversion of stereocontrol by switching from glucose to mannose », *Tetrahedron : Asymmetry*, vol. 17, p. 2265–2269, 2006. 17, 18
- [87] R. DEL LITTO, A. DE ROMA et F. RUFFO, « A convenient route from simple sugars to new chiral bis(phosphinoesters) for asymmetric catalysis », *Inorg. Chem. Commun.*, vol. 10, p. 618–622, 2007. 17, 18
- [88] M. E. CUCCIOLITO, R. DEL LITTO, G. ROVIELLO et F. RUFFO, « O,N,O'-tridentate ligands derived from carbohydrates in the V(IV)-promoted asymmetric oxidation of thioanisole », *J. Mol. Cat. A : Chem.*, vol. 236, p. 176–181, 2005. 18
- [89] E. N. JACOBSEN et M. H. WU, *Comprehensive Asymmetric Catalysis*, chap. Epoxidation of alkenes other than allylic alcohols, p. 649–677. Springer, Berlin, 1999. 18
- [90] S. YAN et D. KLEMM, « Mild and efficient synthesis of 5,6-diamino-5,6-dideoxy-1,2-*O*-isopropylidene-3-*O*-methyl- β -L-idofuranose : precursor of the first carbohydrate-derived chiral Mn(III)-salen complex », *Tetrahedron*, vol. 58, p. 10065–10071, 2002. 18
- [91] Z. D. LIU et R. C. HIDER, « Design of iron chelators with therapeutic application », *Coord. Chem. Rev.*, vol. 232, p. 151–171, 2002. 19
- [92] S. DHUNGANA, S. HEGGEMANN, L. HEINISCH, U. MOLLMAN, H. BOUKHALFA et A. L. CRUMBLISS, « Fe(III) coordination properties of two new enterobactin analogues », *Inorg. Chem.*, vol. 40, p. 7079–7086, 2001. 19
- [93] S. DHUNGANA, S. HEGGEMANN, P. GEBHARDT, U. MOLLMAN et A. L. CRUMBLISS, « Fe(III) coordination properties of a new saccharide-based exocyclic trihydroxamate analogue of ferrichrome », *Inorg. Chem.*, vol. 42, p. 42–50, 2003. 19
- [94] S. GRUNER, E. LOCARDI, E. LOHOF et H. KESSLER, « Carbohydrate-based mimetics in drug design : sugar amino acids and carbohydrate scaffolds », *Chem. Rev.*, vol. 102, p. 491–514, 2002. 20

- [95] F. PERI, L. CIPOLLA, E. FORNI et F. NICOTRA, « Carbohydrate-based scaffolds for the generation of sortiments of bioactive compounds », *Monatshefte fuer Chemie*, vol. 133, p. 369–382, 2002. [20](#)
- [96] G. T. LE, G. ABBENANTE, B. BECKER, M. GRATHWOHL, J. HALLIDAY, G. TOMETZKI, J. ZUEGG et W. MEUTERMANS, « Molecular diversity through sugar scaffolds », *Drug Discovery Today*, vol. 8, p. 701–709, 2003. [20](#)
- [97] V. PRASAD, E. T. BIRZIN, C. T. MCVAUGH, R. D. van RIJN, S. P. ROHRER, G. CHICCHI, D. J. UNDERWOOD, E. R. THORNTON, A. B. SMITH et R. HIRSCHMANN, « Effects of heterocyclic aromatic substituents on binding affinities at two distinct sites of somatostatin receptors. Correlation with the electrostatic potential of the substituents. », *J. Med. Chem.*, vol. 46, p. 1858–1869, 2004. [21](#)
- [98] P. COMBA, « Metal ion selectivity and molecular modeling », *Coord. Chem. Rev.*, vol. 185–186, p. 81–98, 1999. [22](#), [23](#), [25](#), [34](#), [123](#)
- [99] R. D. HANCOCK et A. E. MARTELL, « Ligand design for selective complexation of metal ions in aqueous solution », *Chem. Rev.*, vol. 89, p. 1875–1914, 1989. [22](#), [23](#), [24](#)
- [100] H. M. IRVING et R. J. P. WILLIAMS, « Stability of transition metal complexes. », *J. Chem. Soc.*, p. 3192–3210, 1953. [22](#), [51](#), [101](#)
- [101] C. BLEIHOLDER, H. BÖRZEL, P. COMBA, R. FERRARI, M. HEYDT, M. KERSCHER, S. KUWATA, G. LAURENCZY, G. A. LAWRENCE, A. LIENKE, B. MARTIN, M. MERZ, B. NUBER et H. PRITZKOW, « Coordination chemistry of a new rigid, hexadentate bispidine-based bis(amine)tetrakis(pyridine) ligand », *Inorg. Chem.*, vol. 44, p. 8145–8155, 2005. [22](#), [53](#), [101](#)
- [102] K. BORN, P. COMBA, R. FERRARI, G. A. LAWRENCE, et H. WADEPOHL, « Stability constants : a new twist in transition metal bispidine chemistry », *Inorg. Chem.*, vol. 46, p. 458–464, 2007. [22](#), [101](#)
- [103] H. BÖRZEL, P. COMBA, K. S. HAGEN, C. KATSICHTIS et H. PRITZKOW, « A copper(I) oxygenation precursor in the entatic state : two isomers of a copper(I) compound of a rigid tetradentate ligand », *Chem. Eur. J.*, vol. 6, p. 914–919, 2000. [23](#)
- [104] J.-M. LEHN, *La chimie supramoléculaire – Concepts et Perspectives*. De Boeck Université, 1997. [23](#), [28](#)
- [105] R. D. HANCOCK et K. HEGETSCHWEILER, « A molecular mechanics study of the complexation of metal ions by inositols », *J. Chem. Soc., Dalton. Trans.*, p. 2173–2140, 1993. [23](#), [63](#)
- [106] J. W. PAULY, J. SANDER, D. KUPPETT, M. WINTER, G. J. REISS, F. ZÜRCHER, R. HOFFMANN, T. F. FÄSSLER et K. HEGETSCHWEILER, « Facially coordinating triamines, part 1 - the coordination chemistry of *cis*-3,5-diaminopiperidine and substituted derivatives », *Chem. Eur. J.*, vol. 6, p. 2830–2846, 2000. [23](#), [63](#), [69](#)
- [107] B. P. HAY et R. D. HANCOCK, « The role of donor group orientation as a factor in metal ion recognition by ligands », *Coord. Chem. Rev.*, vol. 212, p. 61–78, 2001. [23](#), [24](#)
- [108] R. D. SHANNON, « Revised effective ionic radii and systematic studies of interatomic distances in halides and chalcogenides », *Acta Cryst.*, vol. A32, p. 751–767, 1976. [23](#), [24](#), [51](#), [141](#), [152](#)
- [109] P. COMBA et W. SCHIEK, « Fit and misfit between ligands and metal ions », *Coord. Chem. Rev.*, vol. 238–239, p. 21–29, 2003. [24](#), [91](#)
- [110] W. G. JACKSON, J. A. MCKEON, M. ZEHNDER, M. NEUBERGER et S. FALLAB, « The rediscovery of Alfred Werner's second hexol », *Chem. Commun.*, p. 2322 – 2323, 2004. [26](#)
- [111] A. von ZELEWSKY, *Stereochemistry of Coordination Compounds*. Wiley, 1996. [26](#)
- [112] E. N. JACOBSEN, A. PFALTZ et H. YAMAMOTO, éd., *Comprehensive Asymmetric Catalysis*. Springer, Berlin, 1999. [26](#), [110](#)
- [113] L. PEREZ-GARCIA et D. B. AMABILINO, « Spontaneous resolution under supramolecular control », *Chem. Soc. Rev.*, vol. 31, p. 342–356, 2002. [26](#), [27](#)
- [114] O. R. EVANS et W. LIN, « Crystal engineering of NLO materials based on metal-organic coordination networks », *Acc. Chem. Res.*, vol. 35, p. 511–522, 2002. [26](#)
- [115] K. INOUE, H. IMAI, P. S. GHALSASI, K. KIKUCHI, M. OHBA, H. OKAWA et J. V. YAKHMI, « A three-dimensional ferrimagnet with a high magnetic transition temperature based on a chiral molecule », *Angew. Chem. Int. Ed.*, vol. 40, p. 4242–4245, 2001. [26](#)

- [116] A. COLLET, « Le dédoublement par cristallisation, un siècle et demi après Pasteur », *Act. Chim.*, p. 15–18, 1995. 27
- [117] H. AMOURI et M. GRUSELLE, « La chiralité dans les complexes de métaux de transition – Des mono-nucléaires aux réseaux de coordination. », *Act. Chim.*, vol. 303, p. 26–33, 2006. 27
- [118] F. P. DWYER et A. M. SARGESON, « Resolution of tris-oxalato metal complexes. », *J. Phys. Chem.*, vol. 60, p. 1331–1332, 1956. 27
- [119] J. LACOUR, C. GINGLINGER, C. GRIVET et G. BERNARDINELLI, « Synthesis and resolution of the configurationnaly stable tris(tetrachlorobenzenediolato)phosphate(V) ion », *Angew. Chem. Int. Ed.*, vol. 36, p. 608–610, 1997. 27
- [120] M. CHAVAROT, S. MÉNAGE, O. HAMELIN, F. CHARNAY, J. PÉCAUT et M. FONTECAVE, « "Chiral-at-metal" octahedral ruthenium(II) complexes with achiral ligands : a new type of enantioselective catalyst », *Inorg. Chem.*, vol. 42, p. 4810–4816, 2003. 27
- [121] R. E. SHEPHERD, « Chromatographic and related electrophoretic methods in the separation of transition metal complexes or their ligands », *Coord. Chem. Rev.*, vol. 247, p. 147–184, 2003. 27
- [122] J. J. JODRY, R. FRANTZ et J. LACOUR, « Supramolecular stereocontrol of octahedral metal-centered chirality. Ligand modulation », *Inorg. Chem.*, vol. 43, p. 3329–3331, 2004. 28
- [123] P. PFEIFFER et K. QUEHL, « Aktivierung von Komplexsalzen in wäßriger Lösung (II. Mitteil.) », *Chem. Ber.*, vol. 65, p. 560–565, 1932. 28
- [124] S. KIRSCHNER et I. BAKKAR, « Utilization of the Pfeiffer effect and outer-sphere complexation for the prediction of absolute configurations of optically active metal complexes. », *Coord. Chem. Rev.*, vol. 43, p. 325–335, 1982. 28
- [125] R. CASPAR, H. AMOURI, M. GRUSELLE, C. CORDIER, B. MALÉZIEUX, R. DUVAL et H. LEVEQUE, « Efficient asymmetric synthesis of Δ - and Λ -enantiomers of (bipyridyl)ruthenium complexes [...] diastereoselective homo- and heterochiral ion pairing revisited », *Eur. J. Inorg. Chem.*, p. 499–505, 2003. 28
- [126] C. HE, Y. ZHAO, D. GUO, Z. LIN et C. DUAN, « Chirality transfer through helical motifs in coordination compounds », *Eur. J. Inorg. Chem.*, p. 3451–3463, 2007. 28
- [127] S. DECURTINS, H. W. SCHMALLE, P. SCHNEUWLY et H. R. OSWALD, « Photochemical synthesis and structure of a 3-dimensional anionic polymeric network of an iron(II) oxalato complex with tris(2,2'-bipyridine)iron(II) cations », *Inorg. Chem.*, vol. 32, p. 1888–1892, 1993. 28
- [128] S. DECURTINS, H. W. SCHMALLE, P. SCHNEUWLY, J. ENSLING et P. GÜTLICH, « A concept for the synthesis of 3-dimensional homo- and bimetallic oxalate networks [...] », *J. Am. Chem. Soc.*, vol. 116, p. 9521–9528, 1994. 28
- [129] P.-Z. LI, X.-M. LU, B. LIU, S. WANG et X.-J. WANG, « Self-assembly of two chiral supramolecules with three-dimensional porous host frameworks : $(\Delta)[\text{Fe}^{\text{II}}(\text{phen})_3][\text{Fe}^{\text{III}}\text{Na}(\text{C}_2\text{O}_4)_3]_n$ and its enantiomer », *Inorg. Chem.*, vol. 46, p. 5823–5825, 2007. 28, 84
- [130] M. W. HOSSEINI, « Molecular tectonics : from simple tectons to complex molecular networks », *Acc. Chem. Res.*, vol. 38, p. 313–323, 2005. 28
- [131] R. ANDRÉS, M. GRUSELLE, B. MALÉZIEUX, M. VERDAGUER et J. VAISSERMANN, « Enantioselective synthesis of optically active polymeric homo- and bimetallic oxalate-bridged networks $[\text{M}_2(\text{ox})_3]_n$ », *Inorg. Chem.*, vol. 38, p. 4637–4646, 1999. 28, 84
- [132] P. HAYOZ, A. von ZELEWSKI et H. STOECKLI-EVANS, « Stereoselective synthesis of octahedral complexes with predetermined helical chirality », *J. Am. Chem. Soc.*, vol. 115, p. 5111–5114, 1993. 29, 30
- [133] A. von ZELEWSKY, « Stereoselective synthesis of coordination compounds », *Coord. Chem. Rev.*, vol. 190–192, p. 811–825, 1999. 29
- [134] U. KNOF et A. von ZELEWSKY, « Predetermined chirality at metal centers », *Angew. Chem. Int. Ed.*, vol. 38, p. 302–322, 1999. 29
- [135] E. J. COREY et J. C. BAILAR, « The stereochemistry of complex inorganic compounds. XXII. stereospecific effects in complex ions », *J. Am. Chem. Soc.*, p. 2620–2629, 1959. 30, 63

- [136] P. D. KNIGHT et P. SCOTT, « Predetermination of chirality at octahedral centres with tetradentate ligands : prospects for enantioselective catalysis », *Coord. Chem. Rev.*, vol. 242, p. 125–143, 2003. 30
- [137] O. MAMULA et A. von ZELEWSKY, « Supramolecular coordination compounds with chiral pyridine and polypyridine ligands derived from terpenes », *Coord. Chem. Rev.*, vol. 242, p. 87–95, 2003. 30
- [138] O. MAMULA, A. von ZELEWSKY, T. BARK et G. BERNARDINELLI, « Stereoselective synthesis of coordination compounds : Self-assembly of a polymeric double helix with controlled chirality », *Angew. Chem. Int. Ed.*, vol. 38, p. 2945–2948, 1999. 30
- [139] O. MAMULA, F. J. MONLIEN, A. PORQUET, G. HOPFGARTNER, A. E. MERBACH et A. von ZELEWSKY, « Self-assembly of multinuclear coordination species with chiral bipyridine ligands : Silver complexes of 5,6-CHIRAGEN(*o,m,p*-xylydene) ligands and equilibrium behaviour in solution », *Chem. Eur. J.*, vol. 7, p. 533–539, 2001. 30
- [140] O. MAMULA, A. von ZELEWSKY, P. BRODARD, C.-W. SCHLÄPFER, G. BERNARDINELLI et H. STOECKLI-EVANS, « Helicates of chiragen-type ligands and their aptitude for chiral self-recognition », *Chem. Eur. J.*, vol. 11, p. 3049–3057, 2005. 30
- [141] T. BARK, A. von ZELEWSKY, D. RAPPOPORT, M. NEUBURGER, S. SCHAFFNER, J. LACOUR et J. JORDRY, « Synthesis and stereochemical properties of chiral square complexes of iron(II) », *Chem. Eur. J.*, vol. 10, p. 4839–4845, 2004. 30
- [142] M. SEITZ, A. KAISER, S. STEMPFHUBER, M. ZABEL et O. REISER, « Enantiomerically pure pentagonal-bipyramidal metal complexes with predetermined helicity in the solid and solution states », *Inorg. Chem.*, vol. 44, p. 4630–4636, 2005. 30
- [143] M. SEITZ, S. STEMPFHUBER, M. ZABEL, M. SCHÜTZ et O. REISER, « Helical chirality in pentacoordinate zinc complexes - selective access to both pseudoenantiomers with one ligand configuration », *Angew. Chem. Int. Ed.*, vol. 44, p. 242–245, 2007. 30, 91
- [144] S. G. TELFER, G. BERNARDINELLI et A. F. WILLIAMS, « Diastereospecific synthesis of amino-acid substituted 2,2'-bipyridyl complexes », *Chem. Commun.*, p. 1498–1499, 2001. 30
- [145] S. G. TELFER, G. BERNARDINELLI et A. F. WILLIAMS, « Iron and cobalt complexes of 5,5'-di(methylene-*N*-aminoacyl)-2,2'-bipyridyl ligands : ligand design for diastereoselectivity and anion binding », *Dalton Trans.*, p. 435–440, 2003. 30
- [146] J. C. PESSOA, I. CORREIA, A. GALVAO, A. GAMEIRO, V. FELIX et E. FIUZA, « Enantioselectivity in Ni(II) schiff-base complexes derived from amino-acids and (*S*)-*o*-*N*-(*N*-benzylpropyl)aminobenzophenone. molecular structure of several chiral Ni(II) schiff-base complexes, circular dichroism and molecular mechanics studies », *Dalton Trans.*, p. 2312–2321, 2005. 30
- [147] E. C. CONSTABLE, R. FRANTZ, C. E. HOUSECROFT, J. LACOUR et A. MAHMOOD, « Chiral induction in a ribose-decorated metallostar through intrinsic and interionic diastereomeric interactions », *Inorg. Chem.*, vol. 43, p. 4817–4919, 2004. 30
- [148] S. YANO, M. NAKAGOSHI, A. TERATANI, M. KATO, T. ONAKA, M. IIDA, T. TANSE, Y. YAMAMOTO, H. UEKUSA et Y. OHASHI, « Chiral inversion around a seven-coordinated cobalt center induced by an interaction between sugars and sulfate anions », *Inorg. Chem.*, vol. 36, p. 4187–4194, 1997. 31
- [149] Y. MIKATA, Y. SUGAI et S. YANO, « Control of oxygen atom chirality and chelate ring conformation by protected/free sugar hydroxyl groups in glucose-pendant dipicolylamine-copper(II) complexes », *Inorg. Chem.*, vol. 43, p. 4778–4780, 2004. 31, 32, 132
- [150] Y. MIKATA, Y. SUGAI, M. OBATA, M. HARADA et S. YANO, « Novel oxygen chirality induced by asymmetric coordination of an ether oxygen atom to a metal center in a series of sugar-pendant dipicolylamine copper(II) complexes », *Inorg. Chem.*, vol. 45, p. 1543–1551, 2006. 31, 132
- [151] F. BELLOT, « Synthèse de Glycoligands et de Nouveaux Complexes de Métaux de Transition. Utilisation des Glycocomplexes en Chimie Bioinorganique ». Thèse de Doctorat de l'Université Paris 11, 2005. 32, 36, 54, 65, 91, 220
- [152] F. BELLOT, R. HARDRÉ, G. PELOSI, M. THÉRISOD et C. POLICAR, « Superoxide dismutase-like activity of cobalt(II) complexes based on a sugar platform », *Chem. Commun.*, p. 5414–5416, 2005. 32, 34, 54, 56, 65, 105

- [153] G. CHARRON, F. BELLOT, F. CISNETTI, G. PELOSI, J.-N. REBILLY, E. RIVIÈRE, A.-L. BARRA, T. MALLAH et C. POLICAR, « Glycoligands tuning the magnetic anisotropy of Ni(II) complexes », *Chem. Eur. J.*, vol. 13, p. 2774–2782, 2007. [32](#), [34](#), [54](#), [56](#), [65](#)
- [154] F. CISNETTI, R. GUILLOT, M. D. G. PELOSI et C. POLICAR, « Glycoligands and Co(II) glyco-complexes. investigation of the variation of the sugar-scaffold on the structure and chirality measured by circular dichroism. », *Dalton Trans.*, p. 1473–1476, 2007. [34](#), [83](#)
- [155] V. J. JAMES, J. D. STEVENS et F. H. MOORE, « Precision X-ray and neutron diffraction studies of methyl β -D-ribofuranoside », *Acta Cryst.*, vol. B34, p. 188–193, 1978. [36](#)
- [156] W. SZEJA, I. FOKT et G. GRYNCKIEWICZ, « Benzoylation of the sugar polyols by the means of the PTC method », *Recl. Trav. Chim. Pays-Bas*, vol. 108, p. 224–226, 1989. [42](#), [49](#), [114](#), [175](#), [178](#), [192](#)
- [157] A. P. KOZIŁOWSKI et J. LEE, « A synthetic approach to the cis-fused marine pyranopyrans [...] », *J. Org. Chem.*, vol. 55, p. 863–870, 1990. [43](#)
- [158] W. G. OVEREND, F. SHAFIZADEH et M. STACEY, « Desoxy sugars. IX. some properties and reactions of 2-deoxy-D-galactose », *J. Chem. Soc.*, p. 671–677, 1950. [43](#), [44](#), [166](#)
- [159] G. H. VEENEMAN, L. J. F. GOMES et J. H. van BOOM, « Synthesis of fragments of a *Streptococcus pneumoniae* type capsular polysaccharide », *Tetrahedron*, vol. 45, p. 7433–7488, 1989. [45](#), [167](#)
- [160] R. E. GRAMERA, A. PARK et R. L. WHISTLER, « A convenient preparation of 1,2-mono-*o*-isopropylidene- α -D-glucofuranose », *J. Org. Chem.*, vol. 28, p. 3230–3231, 1963. [46](#), [169](#)
- [161] O. SVANBERG et K. SJÖBERG, « Die Aceton- Verbindungen der Xylose », *Chem. Ber.*, vol. 56, p. 863–869, 1923. [46](#)
- [162] K. P. R. KARTHA, « Iodine, a novel catalyst in carbohydrate reactions. I. *O*-isopropylideneation of carbohydrates », *Tet. Lett.*, vol. 27, p. 3415–3416, 1986. [46](#), [168](#)
- [163] J. MINSAAAS, « Über krystallisiertes Methyl-D-ribosid », *Justus Liebigs Ann. Chem.*, vol. 512, p. 286–290, 1934. [47](#)
- [164] R. JEANLOZ, H. G. FLETCHER et C. S. HUDSON, « 1,5-anhydroribitol », *J. Am. Chem. Soc.*, vol. 70, p. 4052–4054, 1948. [47](#), [170](#)
- [165] R. JEANLOZ, H. G. FLETCHER et C. S. HUDSON, « Some reactions of 2,3,4-tribenzoyl- β -D-ribofuranosyl bromide », *J. Am. Chem. Soc.*, vol. 70, p. 4055–4057, 1948. [47](#), [170](#)
- [166] D. CREMER et J. A. POPLE, « General definition of ring puckering coordinates », *J. Am. Chem. Soc.*, vol. 97, p. 1354–1358, 1975. [47](#), [232](#)
- [167] J. C. A. BOEYENS, « The conformation of six-membered rings. », *J. Cryst. Mol. Struct.*, vol. 8, p. 317–320, 1978. [47](#), [232](#)
- [168] A. S. RAO et N. ROY, « Synthesis of 2,3,6-tri-*O*-methyl-D-mannopyranose », *Ind. J. Chem.*, vol. 19b, p. 161–162, 1980. [49](#), [173](#)
- [169] M. E. EVANS et F. W. PARRISH, « Monomolar acetalations of methyl α -D-mannosides—synthesis of methyl α -D-talopyranoside », *Carb. Res.*, vol. 54, p. 105–114, 1977. [49](#), [173](#)
- [170] R. G. PEARSON, « Hard and soft acids and bases », *J. Am. Chem. Soc.*, vol. 85, p. 3533–3539, 1963. [51](#)
- [171] F. A. COTTON et G. WILKINSON, *Advanced Inorganic Chemistry, fifth edition*. John Wiley & Sons, 1988. [51](#), [52](#), [80](#), [83](#), [129](#), [132](#)
- [172] W. C. WOLSEY, « Perchlorate salts, their uses and alternatives », *J. Chem. Ed.*, vol. 50, p. A335–A337, 1973. [53](#)
- [173] C. A. BLINDAUER, M. T. RAZI, S. PARSONS et P. J. SADLER, « Metal complexes of TPEN : variable coordination numbers and geometries », *Polyhedron*, vol. 25, p. 513–520, 2006. [54](#), [121](#)
- [174] E. L. ELIEL, K. D. HARGRAVE, K. M. PIETRUSIEWICZ et M. MANORAH, « Conformational energy 42. monosubstituted tetrahydropyrans », *J. Am. Chem. Soc.*, vol. 104, p. 3635–3643, 1982. [55](#)
- [175] M. F. DACRUZ et M. ZIMMER, « Conformational analysis of cobalt(III), copper(II), and nickel(II) six-membered-ring systems », *Inorg. Chem.*, vol. 37, p. 366–368, 1998. [57](#), [86](#)

- [176] M. ZIMMER, « Molecular mechanics, data and conformational analysis of first-row transition metal complexes in the cambridge structural database », *Coord. Chem. Rev.*, vol. 212, p. 133–163, 2001. 57, 86
- [177] P. COMBA, « Strains and stresses in coordination compounds », *Coord. Chem. Rev.*, vol. 182, p. 343–371, 1999. 59
- [178] J. R. GOLLOGLY et C. J. HAWKINS, « Conformational analysis of coordination compounds. 5. Six-membered diamine chelate rings », *Inorg. Chem.*, vol. 11, p. 156–161, 1972. 59
- [179] S. ALVAREZ, P. ALEMANY, D. CASANOVA, J. CIRERA, M. LLUNELL et D. AVNIR, « Shape maps and polyhedral interconversion in transition metal chemistry », *Coord. Chem. Rev.*, vol. 249, p. 1693–1708, 2005. 60
- [180] S. EL-GHACHTOULI, A. MOHAMADOU et J.-P. BARBIER, « Crystal structure of six and seven coordinate manganese(II) complexes with penta and hexadentate pyridylmethyl ligands », *Inorg. Chim. Acta*, vol. 358, p. 3873–3880, 2005. 60
- [181] Y. LU et J. GUO, « Metal-ion interactions with carbohydrates. crystal structure and FT-IR study of the SmCl_3 -ribose complex », *Carb. Res.*, vol. 341, p. 610–615, 2006. 64
- [182] J. SANDER, K. HEGETSCHWEILER, B. MORGENSTERN, A. KELLER, W. AMREIN, T. WEYHERMULLER et I. MULLER, « T-symmetrical icosahedra : A new type of chirality in metal complexes », *Angew. Chem. Int. Ed.*, vol. 40, p. 4179–4182, 2001. 64
- [183] K. HEGETSCHWEILER, R. HANCOCK, M. GHISLETTA, T. KRADOLFER, V. GRAMLICH et H. W. SCHMALLE, « 1,3,5-triamino-1,3,5-trideoxy-cis-inositol, a ligand with a remarkable versatility for metal ions. 5. Complex formation with magnesium(II), calcium(II), strontium(II), barium(II), and cadmium(II) », *Inorg. Chem.*, vol. 32, p. 5273–5284, 1993. 64
- [184] K. HEGETSCHWEILER, M. GHISLETTA, L. HAUSCHERR-PRIMO, T. KRADOLFER, H. W. SCHMALLE et V. GRAMLICH, « Has the affinity of high spin iron(III) for sp^3 nitrogen donors been underestimated ? », *Inorg. Chem.*, vol. 34, p. 1950–1953, 1995. 64
- [185] L. HAUSCHERR-PRIMO, K. HEGETSCHWEILER, H. RUEGGER, L. ODIER, R. D. HANCOCK, H. W. SCHMALLE et V. GRAMLICH, « Metal binding of polyalcohols. part 2. (all-*cis*-1,3,5-triaminocyclohexane)cobalt(III), a facially co-ordinating, diamagnetic probe exemplified by its complex formation with *cis*-inositol », *J. Chem. Soc., Dalton Trans.*, p. 1689–1701, 1994. 64
- [186] J. BEBENDORF, H. B. BURGI, E. GAMP, M. A. HITCHMAN, A. MURPHY, D. REINEN, M. J. RILEY et H. STRATEMEIER, « Temperature dependence of the crystal structure and epr spectrum of bis(1,3,5-trihydroxycyclohexane)copper(II) tosylate. a unified interpretation using a model of dynamic vibronic coupling. », *Inorg. Chem.*, vol. 35, p. 7419–7429, 1996. 64
- [187] C. BOEVER, J. GISLASON, W. P. JENSEN et R. A. JACOBSON, « Ab initio calculations and X-ray structure determinations of dichloro(O-O'-O''-1,3,5-cyclohexanetriol)copper(II) and bis(O-O'-O''-1,3,5-hexanetriol)nickel(II) », *Inorg. Chim. Acta*, vol. 284, p. 284–287, 1999. 64
- [188] I. J. BRUNO, J. C. COLE, P. R. EDGINGTON, M. KESSLER, C. F. MACRAE, P. MCCABE, J. PEARSON et R. TAYLOR, « New software for searching the cambridge structural database and visualizing crystal structures », *Acta Cryst.*, vol. B58, p. 389–397, Jun 2002. 67
- [189] E. B. FLEISCHER, A. E. GEBALA et P. A. TASKER, « Trigonal-prismatic coordination. Complexes of intermediate geometry », *J. Am. Chem. Soc.*, vol. 92, p. 6365–6366, 1970. 69
- [190] T. B. KARPISHIN, T. D. P. STACK et K. N. RAYMOND, « Octahedral *vs* trigonal prismatic geometry in a series of catechol macrobicyclic ligand-metal complexes », *J. Am. Chem. Soc.*, vol. 115, p. 182–192, 1993. 69
- [191] M. G. B. DREW, C. J. HARDING, V. M. KEE, G. G. MORGAN et J. NELSON, « Geometric control of manganese redox states », *J. Chem. Soc., Chem. Commun*, p. 1035–1038, 1995. 69
- [192] H. AL-SAGHER, I. FALLIS, L. J. FARUGGIA et R. D. PEACOCK, « Trigonal prismatic geometry with non-rigid ligands : cobalt(II) complexes of triaza macrocycles with pendant alcohol arms », *J. Chem. Soc., Chem. Commun*, p. 1499–1500, 1993. 69

- [193] W. O. GILLUM, R. A. D. WENTWORTH et R. F. CHILDERS, « Hindered ligand systems. IV. Complexes of *cis,cis*-1,3,5-tris (pyridine-2-carboxaldimino)cyclohexane. trigonal-prismatic *vs.* octahedral coordination », *Inorg. Chem.*, vol. 9, p. 1825–1832, 1970. 69, 103
- [194] F. CISNETTI, R. GUILLOT, M. THÉRISOD et C. POLICAR, « Diaqua[methyl 4-O-benzyl-2,3,6-tri-O-(2-picolyl)-D-mannopyranoside]cobalt(II)bis(perchlorate) monohydrate : partial coordination of a ligand derived from D-mannose », *Acta Cryst.*, vol. C63, p. m201–m203, 2007. 76, 77
- [195] S. PAPPALARDO, F. BOTTINO, P. FINOCCHIARO, A. MAMO et F. R. FRONCZEK, « Synthesis of symmetrical N-tosyl diazamacrocycles and complexation properties of their derivatives », *J. Inclusion Phenom. Macrocycl. Chem.*, p. 153–156, 1987. 77
- [196] P. COMBA, M. KERSCHER, M. MERZ, V. MÜLLER, H. PRITZKOW, R. REMENYI, W. SCHIEK et Y. XIONG, « Structural variation in transition-metal bispidine compounds », *Chem. Eur. J.*, vol. 8, p. 5750–5760, 2002. 77
- [197] W. HILLER, J. STRAHLE, A. CASTINEIRAS, R. CARBALLO et M. R. BERMEJO, « Structure of diaqua-1,6-bis(benzimidazol-2-yl)-2,5-dithiahexanecobalt(II) iodide monohydrate at 233 K », *An. Quim.*, vol. 86, p. 506–511, 1990. 77
- [198] A. CASTINEIRAS, R. CARBALLO, W. HILLER et J. STRÄHLE, « Structure of diaqua-1,6-bis(benzimidazol-2-yl)-2,5-dithiahexanecobalt(II) iodide monohydrate at 233 K », *Acta Cryst.*, vol. C47, p. 1725–1727, 1991. 77
- [199] G. A. JEFFREY, R. K. MCMULLAN et S. TAKAGI, « A neutron diffraction study of the hydrogen bonding in the crystal structures of methyl α -D-mannopyranoside and methyl α -D-glucopyranoside », *Acta Cryst.*, vol. B33, p. 728–737, 1977. 77
- [200] B. M. GATEHOUSE et . POPPLETON, B. J. (1970). *Acta Cryst.* B26, « Crystal structure of methyl α -D-mannopyranoside », *Acta Cryst.*, vol. B26, p. 1761–1765, 1970. 77
- [201] M. HENRY et M. W. HOSSEINI, « Molecular tectonics : geometry and energy based analysis of coordination networks », *New J. Chem.*, vol. 28, p. 897–906, 2004. 77
- [202] A. RODGER et B. NORDÉN, *Circular Dichroism and Linear Dichroism*. Oxford Chemistry Masters, 1997. 82
- [203] F. E. JORGE, J. AUTSCHBACH et T. ZIEGLER, « On the origin of optical activity in tris-diamine complexes of Co(III) and Rh(III): a simple model based on time-dependent density function theory », *J. Am. Chem. Soc.*, vol. 127, p. 975–985, 2005. 82
- [204] F. E. JORGE, J. AUTSCHBACH et T. ZIEGLER, « On the origin of the optical activity in the d-d transition region of tris-bidentate Co(III) and Rh(III) complexes », *Inorg. Chem.*, vol. 42, p. 8902–8910, 2003. 82
- [205] R. S. DOWNING et F. L. URBACH, « The circular dichroism of square-planar, tetradentate schiff base chelates of copper (II) », *J. Am. Chem. Soc.*, vol. 91, p. 5977–5983, 1969. 82
- [206] R. S. DOWNING et F. L. URBACH, « The circular dichroism of square-planar, tetradentate schiff base chelates of nickel (II) », *J. Am. Chem. Soc.*, vol. 92, p. 5861–5865, 1970. 82
- [207] A. RODGER et B. F. G. JOHNSON, « Which is more likely : the Bailar twist or the Rây-Dutt twist ? », *Inorg. Chem.*, vol. 27, p. 3061–3062, 1988. 90
- [208] H. S. RZEPA et M. E. CASS, « In search of the Bailar and Rây-Dutt twist mechanisms that racemize chiral trischelates », *Inorg. Chem.*, vol. 46, p. 8024–8031, 2007. 90
- [209] P. KLÜFERS et T. KUNTE, « A transition metal complex of D-glucose », *Angew. Chem. Int. Ed.*, vol. 40, p. 4210–4212, 2001. 92
- [210] C. A. G. HAASNOOT, F. A. A. M. de LEEUW et C. ALTONA, « The relationship between proton-proton NMR coupling constants and substituent electronegativities - an empirical generalization of the Karplus equation », *Tetrahedron*, vol. 36, p. 2783–1792, 1980. 93, 94
- [211] M. KARPLUS, « Contact electron-spin coupling of nuclear magnetic moments », *J. Chem. Phys.*, vol. 30, p. 11–15, 1959. 93
- [212] M. L. HUGGINS, « Bond energies and polarities », *J. Am. Chem. Soc.*, vol. 75, p. 4123–4126, 1953. 94

- [213] C. ALTONA, R. FRANCKE, R. de HAAN, J. H. IPPEL, G. J. DAALMANS, A. J. A. WESTRA HOEKZEMA et J. van WIJK, « Empirical group electronegativities for vicinal NMR proton-proton couplings along a C-C bond : solvent effects and reparametrization of the Haasnoot equation », *Magn. Res. Chem.*, vol. 32, p. 670–678, 1994. 94
- [214] A. D. BUCKINGHAM, « Chemical shifts in the nuclear magnetic resonance spectra of molecules containing polar groups », *Can. J. Chem.*, vol. 38, p. 300–307, 1960. 94
- [215] C. A. PODLASEK, J. WU, W. A. STRIPE, P. B. BONDO et A. S. SERIANNI, « ^{13}C -enriched methyl aldopyranosides : Structural interpretations of ^{13}C - ^1H spin-coupling constants and ^1H chemical shifts », *J. Am. Chem. Soc.*, vol. 117, p. 8635–8644, 1995. 95
- [216] M. WEBER, D. KUPPERT, K. HEGETSCHWEILER et V. GRAMLICH, « *O*-alkylated derivatives of 1,3,5-triamino-1,3,5-trideoxy-*cis*-inositol : triamine ligands with unexpected high affinity toward transition and d^{10} metal ions », *Inorg. Chem.*, vol. 38, p. 859–868, 1999. 95
- [217] T. DARBRE, C. DUBS, E. RUSANOV et H. STOECKLI-EVANS, « Syntheses of zinc complexes with multidentate nitrogen ligands : new catalysts for aldol reactions », *Eur. J. Inorg. Chem.*, p. 3284–3291, 2002. 95
- [218] G. K. INGLE, M. M. MAKOWSKA-GRZYSKA, E. SZAJNA-FULLER, I. SEN, J. C. PRICE, A. M. ARIF et L. M. BERREAU, « Influence of the chelate ligand structure on the amide methanolysis reactivity of mononuclear zinc complexes », *Inorg. Chem.*, vol. 46, p. 1471–1480, 2007. 95
- [219] J. C. MAREQUE RIVAS, R. TORRES, M. de ROSALES et S. PARSONS, « Internal hydrogen bonding and amide co-ordination in zinc(II) complexes of a tripodal N_4 ligand : structural, spectroscopic and reactivity studies », *Dalton Trans.*, vol. 2156–2163, 2003. 95
- [220] H. AMOURI, L. MIMASSI, M. N. RAGER, B. E. MANN, C. GUYARD-DUHAYON et L. RAEHM, « Host-guest interactions : design strategy and structure of an unusual cobalt cage that encapsulates a tetrafluoroborate anion », *Angew. Chem. Int. Ed.*, p. 4543–4546, 2005. 95
- [221] A. ABABOU et J. E. LADBURY, « Survey of the year 2005 : literature on applications of isothermal titration calorimetry », *J. Mol. Recognition*, vol. 20, p. 4–14, 2006. 97, 98
- [222] M. MIGUIRDITCHIAN, D. GUILLANEUX, D. GUILLAUMONT, P. MOISY, C. MADIC, M. JENSEN et K. NASH, « Thermodynamic study of the complexation of trivalent actinide and lanthanide cations by ADPTZ, a tridentate *N*-donor ligand », *Inorg. Chem.*, vol. 44, p. 1404–1412, 2005. 97, 98
- [223] T. CHRISTENSEN, D. M. GOODEN, J. E. KUNG et E. J. TOONE, « Additivity and the physical basis of multivalency effects : a thermodynamic investigation of the calcium-EDTA interaction », *J. Am. Chem. Soc.*, vol. 125, p. 7357–7366, 2003. 98
- [224] A. F. Danil de NAMOR et I. ABBAS, « Sulfur-containing hetero-calix[4]pyrroles as Hg(II) cation-selective receptors : thermodynamic aspects », *J. Phys. Chem. B.*, vol. 111, p. 5803–5810, 2007. 98
- [225] J.-P. MOREL et N. MOREL-DESROSIERS, « Binding of monovalent metal cations by the p-sulfonatocalix[4]arene : experimental evidence for cation- π interactions in water », *Org. Biomol. Chem.*, vol. 4, p. 462–465, 2006. 98
- [226] A. F. Danil de NAMOR et D. A. PACHECO TANAKA, « Thermodynamics of protonation and complexation of EDTA derivatives and metal cations in water », *J. Chem. Soc., Faraday Trans.*, vol. 94, p. 3105–3110, 1998. 98, 102
- [227] N. LAH, G. GIESTER, J. LAH, P. SEGEDIN et I. LEBAN, « Copper(II) carboxylates with 2-aminopyridine. synthesis, characterization and a study of the dimer-monomer equilibrium in acetonitrile solutions by vis-spectroscopic and microcalorimetric titrations. », *New J. Chem.*, vol. 25, p. 753–759, 2001. 98
- [228] M. TEGONI, L. FERRETTI, F. SANSONE, M. REMELLI, V. BERTOLASI et F. DALLAVALLE, « Synthesis, solution thermodynamics, and X-ray study of Cu(II) [12]metallacrown-4 with GABA hydroxamic acid », *Chem. Eur. J.*, vol. 13, p. 1300–1308, 2007. 98
- [229] W. W. GERHARDT et M. WECK, « Investigations of metal-coordinated peptides as supramolecular synthons », *J. Org. Chem.*, vol. 71, p. 6333–6341, 2006. 98
- [230] R. G. HARRISON, J. L. BURROWS et L. D. HANSEN, « Selective guest encapsulation by a cobalt-assembled cage molecule », *Chem. Eur. J.*, vol. 11, p. 5881–5888, 2005. 98

- [231] P. PLITT, D. E. GROSS, V. M. LYNCH et J. L. SESSLER, « Dipyrryl-functionalized bipyridine-based anion receptors for emission-based selective detection of dihydrogen phosphate », *Chem. Eur. J.*, vol. 13, p. 1374–1381, 2007. 98
- [232] D. TARESTE, F. PINCET, M. BRELLIER, C. MIOSKOWSKI et E. PEREZ, « The binding energy of two nitrilotriacetate groups sharing a nickel ion », *J. Am. Chem. Soc.*, vol. 127, p. 3879–3884, 2005. 98
- [233] P. BALLESTER, A. I. OLIVA, A. COSTA, P. M. DEYÀ, A. FRONTERA, R. M. GOMILA et C. A. HUNTER, « DABCO-induced self-assembly of a trisporphyrin double-decker cage : Thermodynamic characterization and guest recognition », *J. Am. Chem. Soc.*, vol. 128, p. 5560–5569, 2006. 98
- [234] C. R. SOUTH, M. N. HIGLEY, K. C.-F. LEUNG, D. LANARI, A. NELSON, R. H. GRUBBS, J. F. STODDART et M. WECK, « Self-assembly with block copolymers through metal coordination of SCS-Pd(II) pincercomplexes and pseudorotaxane formation », *Chem. Eur. J.*, vol. 12, p. 3789–3797, 2006. 98
- [235] C. CONATO, H. KOZLOWSKI, J. SWIATEK-KOZLOWSKA, P. MLYNARZ, M. REMELLI et S. SILVESTRI, « Formation equilibria of nickel complexes with glycyl-histidyl-lysine and two synthetic analogues », *J. Inorg. Biochem.*, vol. 98, p. 153–160, 2004. 98
- [236] A. OJIDA, K. HONDA, D. SHINMI, S. KIYONAKA, Y. MORI et I. HAMACHI, « Oligo-Asp tag/Zn(II) complex probe as a new pair for labeling and fluorescence imaging of proteins », *J. Am. Chem. Soc.*, vol. 128, p. 10452–10459, 2006. 98
- [237] A. M. SPUCHES, H. G. KRUSZYNA, A. M. RICH et D. E. WILCOX, « Thermodynamics of the As(III)-thiol interaction : arsenite and monomethylarsenite complexes with glutathione, dihydrolipoic acid, and other thiol ligands », *Inorg. Chem.*, vol. 44, p. 2964–2972, 2005. 98
- [238] Y. JIANG, M. HU, S. LI, J. WANG, et K. ZHUO, « Thermodynamics of the interaction of RbCl with some monosaccharides (D-glucose, D-galactose, D-xylose, and D-arabinose) in aqueous solutions », *Carb. Res.*, vol. 341, p. 242–249, 2006. 98
- [239] P. G. DEVI, S. PAL, R. BANERJEE et D. DASGUPTA, « Association of antitumor antibiotics, mithramycin and chromomycin, with Zn(II) », *J. Inorg. Biochem.*, vol. 101, p. 127–137, 2007. 98
- [240] A. E. MARTELL et R. M. SMITH, *Critical stability constants*,. Plenum Press, New York, 1989. 101
- [241] E. GRUNWALD et C. STEEL, « Solvent reorganization and thermodynamic enthalpy-entropy compensation », *J. Am. Chem. Soc.*, vol. 117, p. 5687–5692, 1995. 102
- [242] J. W. PRATT et N. K. RICHTMYER, « Transformation of D-allose to 1,6-anhydro- β -D-allopyranose in acid solution. », *J. Am. Chem. Soc.*, vol. 77, p. 1906–1908, 1955. 104
- [243] M. LAMCHEN et R. . L. WHISTLER, « Synthesis of 5-acetamido-5-deoxy-D-xylopyranose via an oxime », *Carb. Res.*, vol. 16, p. 309–316, 1971. 107
- [244] W. Meyer zu RECKENDORF, « Synthese der 3-Amino-3-deoxy und 3,6- Diamino-3,6-dideoxy-D-glucose », *Chem. Ber.*, vol. 101, p. 3802–3807, 1968. 107, 108, 115, 185
- [245] W. Meyer zu RECKENDORF et U. SPOHR, « Synthesen von Derivaten der 3,6- Diamino-3,6-dideoxy-D-galactose, 3,4,6-Triamino-3,4,6-trideoxy-D-galactose und 3,4,6- Triamino-3,4,6-trideoxy-D-glucose », *Liebigs Ann. Chem.*, p. 1982–1993, 1981. 107, 108
- [246] Y. KONDO, M. HIRAI et S. HIRANO, « The synthesis of derivatives of 3,6-diamino-3,6-dideoxy-D-galactose », *Carb. Res.*, vol. 70, p. 155–160, 1979. 107
- [247] W. Meyer zu RECKENDORF, « Synthese der 2,3,4,6-Tetraamino-,2,3,4,6-tetradideoxy-D-galaktose », *Chem. Ber.*, vol. 104, p. 1976–1980, 1971. 107
- [248] S. BRÄSE, C. GIL, K. KNEPPER et V. ZIMMERMAN, « Organic azides : an exploding diversity of a unique class of compounds », *Angew. Chem. Int. Ed. Engl.*, vol. 44, p. 5188–5240, 2005. 107
- [249] H. PAULSEN et D. STOYE, « Nachbargruppenreaktion der Hydrazinogruppe. Darstellung und Reaktionen von N-Amino-aziridino-zuckern », *Chem. Ber.*, vol. 102, p. 820–833, 1969. 107, 182
- [250] G. W. J. FLEET, N. G. RAMSDEN et D. R. WITTY, « A practical synthesis of deoxymannojirimycin and of (2R,3R,4R,5R)-3,4,5-trihydroxypipicolinic acid from D-glucose », *Tetrahedron*, vol. 45, p. 327–336, 1989. 108

- [251] G. PARK, F. H. LU, N. YE, M. W. BRECHBIEL, S. V. TORTI, F. M. TORTI et R. P. PLANALP, « Novel iron complexes and chelators based on *cis,cis*-1,3,5-triaminocyclohexane : iron-mediated ligand oxidation and biochemical properties. », *J. Biol. Inorg. Chem.*, vol. 3, p. 449–457, 1998. 108
- [252] J.-F. BARTOLI, F. LAMBERT, I. MORGENSTERN-BADARAU, P. BATTIONI et D. MANSUY, « Unusual efficiency of a non-heme iron complex as catalyst for the hydroxylation of aromatic compounds by hydrogen peroxide : comparison with iron porphyrins », *C. R. Chimie*, vol. 5, p. 263–266, 2002. 108
- [253] S. DEL PIERO, A. MELCHIOR, P. POLESE, R. PORTANOVA et M. TOLAZZI, « N-methylation effects on the coordination chemistry of cyclic triamines with divalent transition metals and their Co(II) dioxygen carriers », *Eur. J. Inorg. Chem.*, p. 304–313, 2006. 108
- [254] G. PARK, A. M. PRZYBOROWSKA, N. YE, N. M. TSOPAS, C. B. BAUER, G. A. BROKER, R. D. ROGERS, M. W. BRECHBIEL et R. P. PLANALP, « Steric effects caused by *N*-alkylation of the tripodal chelator *N,N',N''*-tris(2-pyridylmethyl)-*cis,cis*-1,3,5-triaminocyclohexane (tachpyr) », *Dalton Trans.*, p. 318–324, 2003. 108
- [255] D. MEYERSTEIN, « Are M-N bonds indeed inherently weaker when N is a tertiary amine rather than a primary or secondary nitrogen atom? », *Coord. Chem. Rev.*, vol. 185-186, p. 141–147, 1999. 108
- [256] L. QUE, « The road to non-heme oxoferryls and beyond », *Acc. Chem. Res.*, vol. 40, p. 493–500, 2007. 110
- [257] W. NAM, « High-valent iron(IV)oxo complexes of heme and non-heme ligands in oxygenation reactions », *Acc. Chem. Res.*, vol. 40, p. 522–531, 2007. 110
- [258] M. COSTAS, K. CHEN et L. QUE, « Biomimetic nonheme iron catalysts for alkane hydroxylation », *Coord. Chem. Rev.*, vol. 200-202, p. 517–544, 2000. 110
- [259] H. SHITAMA et T. KATSUKI, « Synthesis of metal-(pentadentate-salen)complexes : asymmetric epoxidation with aqueous hydrogen peroxide and asymmetric cyclopropanation », *Chem. Eur. J.*, vol. 13, p. 4849–4858, 2007. 110
- [260] A. BERKESSEL, M. FRAUENKRON, T. SCHWENKREIS, A. STEINMETZ, G. BAUM et D. FENSKE, « Penta-coordinated manganese(III) dihydrosalen complexes as biomimetic oxidation catalysts », *J. Mol. Cat A : Chem.*, vol. 113, p. 321–342, 1996. 110
- [261] F. LI, M. WANG, CHENGBING, A. GAO, H. CHEN et L. SUN, « Mono- and binuclear complexes of iron(II) and iron(III) with an N4O ligand : synthesis, structures and catalytic properties in alkane oxidation », *Dalton. Trans.*, p. 2427–2434, 2006. 110, 123
- [262] M. XIE, D. A. BERGES et M. J. ROBINS, « Efficient "dehomologation" of di-O-isopropylidenehexofuranose derivatives to give O-isopropylidenepentofuranoses by sequential treatment with periodic acid in ethyl acetate and sodium borohydride », *J. Org. Chem.*, vol. 61, p. 5178–5179, 1996. 111, 113, 147, 186, 206
- [263] D. F. EWING, G. GOETHALS, G. MACKENZIE, P. MARTIN, G. RONCO, L. VANBAELINGHEM et P. VILLA, « Novel reversed cyclonucleoside analogues with a D-ribofuranose glycone », *Carb. Res.*, vol. 321, p. 190–196, 1999. 112, 115, 190
- [264] A. F. ABDEL-MAGID, K. G. CARSON, B. D. HARRIS, C. A. MARYANOFF et R. D. SHAH, « Reductive amination of aldehydes and ketones with sodium triacetoxyborohydride. Studies on direct and indirect reductive amination procedures », *J. Org. Chem.*, vol. 61, p. 3849–3862, 1996. 113, 117
- [265] A. F. ABDEL-MAGID et S. J. MEHRMAN, « A review on the use of sodium triacetoxyborohydride in the reductive amination of ketones and aldehydes », *Org. Proc. R & D*, vol. 10, p. 971–1031, 2006. 113
- [266] L. WEI, J. BABICH, W. C. ECKELMAN et J. ZUBIETA, « Rhenium tricarbonyl core complexes of thymidine and uridine derivatives », *Inorg. Chem.*, vol. 44, p. 2198–2209, 2005. 113
- [267] L. CHEN et D. F. WIEMER, « Tandem reduction-reductive alkylation of azido sugars », *Tet. Lett.*, vol. 4, p. 2705–2708, 2002. 113, 114
- [268] H. ARJAN, E. BOYD, G. S. COUMBARIDES, J. EAMES, R. V. H. JONES, R. A. STENSONC, et M. J. SUGGATE, « An efficient synthesis of tetrasubstituted cyclohexyl-1,2-diamines », *Tet. Lett.*, vol. 46, p. 1921–1925, 2005. 113

- [269] M. YAMASHITA, C. TAKAHASHI et K. SEO, « Preparation of novel cyclophosphamide derivatives of sugars », *Heterocycles*, vol. 36, p. 651–654, 1993. 113
- [270] S. M. CHRISTENSEN, H. F. HANSEN et T. KOCH, « Molar-scale synthesis of 1,2:5,6-di-O-isopropylidene- α -D-allofuranose : DMSO oxidation of 1,2:5,6-di-O-isopropylidene- α -D-glucofuranose and subsequent sodium borohydride reduction », *Organic Process Research & Development*, vol. 8, p. 777–780, 2004. 115, 185
- [271] J. C. ESTEVEZ, A. J. FAIRBANKS et G. W. FLEET, « Synthesis of tetrahydropyrans from sugar lactones », *Tetrahedron*, vol. 54, p. 13591–13620, 1998. 115
- [272] F. GALLIER, S. PEYROTTE et C. PÉRIGAUD, « Ex-chiral-pool synthesis of β -hydroxyphosphonate nucleoside analogues », *Eur. J. Org. Chem.*, p. 925–933, 2007. 115
- [273] B. HATHAWAY, *Comprehensive Coordination Chemistry*, chap. Copper, p. 533–750. Pergamon Press, New York, 1987. 120, 129, 132
- [274] A. W. ADDISON, T. N. RAO, J. REEDIJK, J. V. RIJN et G. V. VERSCHOOR, « Synthesis, structure and spectroscopic properties of copper(II) compounds containing nitrogen-sulfur donor ligands », *J. Chem. Soc., Dalton Trans.*, p. 1349–1356, 1984. 122
- [275] B.-K. KOO, L. BEWLEY, V. GOLUB, R. S. RARIG, E. BURKHOLDE, C. J. O'CONNOR et J. ZUBIETA, « Anion influences on the construction of one-dimensional structures of the Cu(II)-bisterpy family », *Inorg. Chim. Acta*, vol. 351, p. 161–176, 2003. 125
- [276] K.-H. KIM, J. S. PARK, T. Y. KANG, K. OH, M.-S. SEO, Y. S. SOHN, M.-J. JUN, W. NAM et K. M. KIM, « Flexibility of inorganic tennis ball structures inducing anion selectivity », *Chem. Eur. J.*, vol. 12, p. 7078–7083, 2006. 125
- [277] A. BENCINI et D. GATTESCHI, *Inorganic Electronic structure and spectroscopy*, chap. Electron paramagnetic resonance spectroscopy, p. 93–161. John Wiley & Sons, New York, 1999. 129
- [278] S. ITOH, M. TAKI et S. FUKUZUMI, « Active site models for galactose oxidase and related enzymes », *Coord. Chem. Rev.*, vol. 198, p. 3–20, 2000. 133
- [279] S. M. COHEN, « New approaches for medicinal applications of bioinorganic chemistry », *Curr. Opin. Chem. Biol.*, vol. 11, p. 115–120, 2007. 136
- [280] L. RONCONI et P. J. SADLER, « Using coordination chemistry to design new medicines », *Coord. Chem. Rev.*, vol. 251, p. 1633–1648, 2007. 136
- [281] C. X. ZHANG et S. J. LIPPARD, « New metal complexes as potential therapeutics », *Curr. Opin. Chem. Biol.*, vol. 7, p. 481–9, 2003. 136, 141
- [282] N. FARRELL, « Biomedical uses and applications of inorganic chemistry. An overview », *Coord. Chem. Rev.*, vol. 232, p. 1–4, 2002. 136
- [283] D. P. RILEY, « Functional mimics of superoxide dismutase enzymes as therapeutic agents », *Chem. Rev.*, vol. 99, p. 2573–2588, 1999. 136, 137, 138, 140, 141
- [284] « <http://www.activbiotics.com/> ». 136
- [285] B. HALLIWELL et J. M. C. GUTTERIDGE, *Free Radicals in Biology and Medicine*, chap. 3 (et références incluses). 3rd ed., O.U.P, Oxford, 1999. 136, 137, 138
- [286] B. H. J. BIELSKI, D. E. CAMPBELL, R. L. ARUDI et A. B. ROSS, « Reactivity of perhydroxyl/superoxide radicals in aqueous solution », *J. Phys. Chem. Ref. Data*, vol. 14, p. 1041–1100, 1985. 137
- [287] J. S. VALENTINE, D. L. WERTZ, T. J. LYONS, L.-L. LIOU, J. J. GOTO et E. B. GRALLA, « The dark side of dioxygen biochemistry », *Curr. Opin. Chem. Biol.*, vol. 2, p. 253–262, 1998. 137
- [288] A. E. G. CASS, *Metalloproteins : Part 1 : metal proteins with redox roles*, chap. Superoxide dismutases, p. 121–156. Verlag Chemie GmbH, Sheffield, 1985. 138
- [289] H.-D. YOUN, E.-J. KIM, J.-H. ROE, Y. C. HAH et S.-O. KANG, « A novel nickel-containing superoxide dismutase from streptomyces spp. », *Biochem. J.*, vol. 318, p. 889–896, 1996. 138
- [290] D. P. BARONDEAU, C. J. KASSMANN, C. K. BRUNS, J. A. TAINER et E. D. GETZOFF, « Nickel superoxide dismutase structure and mechanism », *Biochemistry*, vol. 43, p. 8038–8047, 2004. 138

- [291] P. R. GARDNER, I. RAINERI, L. B. EPSTEIN et C. W. WHITE, « Superoxide radical and iron modulate aconitase activity in mammalian cells », *J. Biol. Chem.*, vol. 270, p. 13399–13405, 1995. 138
- [292] J. MCCORD et I. FRIDOVICH, « Superoxyde dismutase - an enzymic function for erythrocyte (hemocuprein) », *J. Biol. Chem.*, vol. 244, p. 6049–6053, 1969. 138, 143
- [293] R. A. WEISIGER et I. FRIDOVICH, « Mitochondrial superoxide dismutase », *J. Biol. Chem.*, vol. 248, p. 4973–4976, 1973. 138
- [294] D. CABELLI, D. P. RILEY, J. A. RODRIGUEZ, J. S. VALENTINE et H. ZHU, *Biomimetic Oxydations Catalysed by Transition Metal Complexes*, chap. Models of superoxide dismutases, p. 461–508. Imperial College Press, Londres, 2001. 138, 139
- [295] C. K. VANCE et A.-F. MILLER, « Novel insights into the basis for *Escherichia coli* superoxide dismutase's metal ion specificity from Mn-substituted FeSOD and its very high E_m », *Biochemistry*, vol. 40, p. 13079–13087, 2001. 138
- [296] G. E. BORGSTAHL, H. E. PARGE, M. J. HICKEY, W. F. BEYER, R. A. HALLEWELL et J. A. TAINER, « The structure of human mitochondrial manganese superoxide dismutase reveals a novel tetrameric interface of two 4-helix bundles », *Cell*, vol. 171, p. 107–118, 1992. 139, 140
- [297] R. H. HOLM, P. KENNEPOHL et E. I. SOLOMON, « Structural and functional aspects of metal sites in biology », *Chem. Rev.*, vol. 96, p. 2239–2314, 1996. 139
- [298] S. BORMAN, « Superoxide dismutase mimetic developed », *Chem. & Eng. News*, p. 18, 1999. 140
- [299] R. KRÄMER, « The pharmaceutical potential of manganese-based superoxide dismutase mimics », *Angew. Chem. Int. Ed.*, vol. 39, p. 4469–4470, 2000. 140
- [300] D. SALVEMINI, C. M. and DENNIS P. RILEY et S. CUZZOCREA, « Superoxide dismutase mimetics », *Pulmonary Pharmacology & Therapeutics*, vol. 15, p. 439–447, 2002. 140
- [301] G. B. GERBER, A. LÉONARD et P. HANTSON, « Carcinogenicity, mutagenicity and teratogenicity of manganese compounds », *Crit. Rev. in Oncology/Hematology*, vol. 42, p. 25–34, 2002. 141
- [302] M. J. HORSBURG, S. J. WHARTON, M. KARAVAILOS et S. J. FOSTER, « Manganese : elemental defence for a life with oxygen? », *Trends in Microbiol.*, vol. 10, p. 496–501, 2002. 141
- [303] F. S. ARCHIBALD et I. FRIDOVICH, « Manganese and defenses against oxygen toxicity in *Lactobacillus plantarum* », *J. Bacteriol.*, vol. 145, p. 442–451, 1981. 141
- [304] K. MIZUNO, M. M. WHITTAKER, H. P. BÄCHINGER et J. W. WHITTAKER, « Calorimetric studies on the tight binding metal interactions of *Escherichia coli* manganese superoxide dismutase », *J. Biol. Chem.*, vol. 279, p. 27339–27344, 2005. 141
- [305] D. P. RILEY, P. J. LENNON, W. L. NEUMANN et R. H. WEISS, « Toward the rational design of superoxide dismutase mimics : mechanistic studies for the elucidation of substituent effects on the catalytic activity of macrocyclic manganese(II) complexes », *J. Am. Chem. Soc.*, vol. 119, p. 6522–6528, 1997. 141
- [306] K. ASTON, N. RATH, A. NAIK, U. SLOMCZYNSKA, O. F. SCHALL et D. P. RILEY, « Computer-aided design (CAD) of Mn(II) complexes : superoxide dismutase mimetics with catalytic activity exceeding the native enzyme », *Inorg. Chem.*, vol. 40, p. 1779–1789, 2001. 141
- [307] R. D'AGATA, G. GRASSO, G. IACONO, G. SPOTO et G. VECCHIO, « Lectin recognition of a new SOD mimic bioconjugate studied with surface plasmon resonance imaging », *Org. Biomol. Chem.*, vol. 4, p. 610–612, 2006. 141
- [308] M. BAUDRY, S. ETIENNE, A. BRUCE, M. PALUCKI, E. JACOBSEN et M. B., « Salen-manganese complexes are superoxide dismutase-mimics », *Biochem. Biophys. Res. Commun.*, vol. 192, p. 964–968, 1993. 141, 154
- [309] S. R. DOCTROW, K. HUFFMAN, C. B. MARCUS et B. MALFROY, « Salen-manganese complexes : combined superoxide dismutase/catalase mimics with broad pharmacological efficacy », *Adv. Pharmacol.*, vol. 38, p. 247–269, 1997. 141
- [310] A. PUGLISI, G. TABBÌ et G. VECCHIO, « Bioconjugates of cyclodextrins of manganese salen-type ligand with superoxide dismutase activity », *J. Inorg. Biochem.*, vol. 98, p. 969–976, 2004. 141

- [311] C. POLICAR, S. DUROT, F. LAMBERT, M. CESARIO, F. RAMIANDRASOA et I. MORGENSTERN-BADARAU, « New Mn(II) complexes with an N/O coordination sphere from tripodal N-centered ligands - characterization from solid state to solution and reaction with superoxide in non-aqueous and aqueous media », *Eur. J. Inorg. Chem.*, p. 1807–1818, 2001. [142](#), [145](#), [151](#), [154](#), [233](#)
- [312] S. DUROT, C. POLICAR, F. CISNETTI, F. LAMBERT, J.-P. RENAULT, G. PELOSI, G. BLAIN, H. KORRI-YOUSOUFI et J.-P. MAHY, « Series of Mn complexes based on N-centered ligands and superoxide - reactivity in an anhydrous medium and SOD-like activity in an aqueous medium correlated to Mn(II)/Mn(III) redox potentials », *Eur. J. Inorg. Chem.*, p. 3513–3523, 2005. [142](#), [144](#), [145](#), [155](#), [157](#), [233](#)
- [313] F. CISNETTI, G. PELOSI et C. POLICAR, « Synthesis and superoxide dismutase-like activity of new manganese(III) complexes based on tridentate N₂O ligands derived from histamine », *Inorg. Chim. Acta*, vol. 360, p. 557–562, 2007. [142](#)
- [314] F. CISNETTI, A.-S. LEFÈVRE, R. GUILLOT, F. LAMBERT, G. BLAIN, E. ANXOLABÉHÈRE-MALLART et C. POLICAR, « A new pentadentate ligand forms both a di- and a mononuclear Mn(II) complex : electrochemical, spectroscopic and superoxide dismutase activity studies », *Eur. J. Inorg. Chem.*, p. 4472–4480, 2007. [142](#), [151](#), [152](#), [154](#), [155](#), [157](#)
- [315] S. DUROT, F. LAMBERT, J.-P. RENAULT et C. POLICAR, « A pulse radiolysis study of catalytic superoxide radical dismutation by a manganese(II) complex with an N-tripodal ligand », *Eur. J. Inorg. Chem.*, p. 2789–2793, 2005. [142](#), [143](#)
- [316] R. H. WEISS, A. G. FLICKINGER, W. J. RIVERS, M. M. . HARDY, K. W. ASTON, U. S. RYAN et D. P. RILEY, « Evaluation of activity of putative superoxide dismutase mimics – direct analysis by stopped-flow kinetics », *J. Biol. Chem.*, vol. 268, p. 23049–23054, 1993. [143](#), [154](#)
- [317] D. ZHANG, D. H. BUSCH, P. L. LENNON, R. H. WEISS, W. L. NEUMANN et D. P. RILEY, « Iron(III) complexes as superoxide dismutase mimics : synthesis, characterization, crystal structure, and superoxide dismutase activity of iron(III) complexes containing pentaaza macrocyclic ligands », *Inorg. Chem.*, vol. 37, p. 956–963, 1998. [143](#)
- [318] W. B. GREENLEAF, J. P. PERRY, A. S. HEARN, D. E. CABELLI, J. R. LEPOCK, M. E. STROUPE, J. A. TAINER, H. S. NICK et D. N. SILVERMAN, « Role of hydrogen bonding in the active site of human manganese superoxide dismutase », *Biochemistry*, vol. 43, p. 7038–7045, 2004. [143](#)
- [319] M. TAMURA, Y. URANO, K. KIKUCHI, T. HIGUCHI, M. HIROBE et T. NAGANO, « Superoxide dismutase activity of iron(II) tpen complex and its derivatives », *Chem. Pharm. Bull.*, vol. 48, p. 1514–1518, 2000. [143](#), [157](#)
- [320] I. FRIDOVICH, « Quantitative aspects of the production of superoxide anion radical by milk xanthine oxidase. », *J. Biol. Chem.*, vol. 245, p. 4053–4057, 1970. [143](#)
- [321] J. BUTLER, W. H. KOPPENOL et E. MARGOLIASH, « Kinetics and mechanism of the reduction of ferricytochrome c by the superoxide anion », *J. Biol. Chem.*, vol. 257, p. 10747–10750, 1987. [145](#)
- [322] Z.-R. LIAO, X.-F. ZHENG, B.-S. LUO, L.-R. SHEN, D.-F. LI, H.-L. LIU et W. ZHAO, « Synthesis, characterization and SOD-like activities of manganese-containing complexes with N,N,N',N'-tetrakis(2'-benzimidazolylmethyl)-1,2-ethanediamine (EDTB) », *Polyhedron*, vol. 20, p. 2813–2821, 2001. [145](#)
- [323] R. R. FRANCE, I. CUMPSTEY, T. D. BUTTERS, A. J. FAIRBANKS et M. R. WORMALD, « Fluorescence labelling of carbohydrates with 2-aminobenzamide », *Tetrahedron : Asymmetry*, vol. 11, p. 4985–4994, 2000. [145](#)
- [324] I. CUMPSTEY, T. D. BUTTERS, R. J. TENNANT-EYLES, A. J. FAIRBANKS, R. R. FRANCE et M. R. WORMALD, « Synthesis of fluorescence-labelled disaccharide substrates of glucosidase II », *Carb. Res.*, vol. 338, p. 1937–1949, 2003. [145](#)
- [325] H. J. CHOI et M. P. SUH, « Nickel(II) macrocyclic complexes with long alkyl pendant chain : synthesis, X-ray structure, and anion exchange property in the solid state », *Inorg. Chem.*, vol. 42, p. 1151–1157, 2003. [145](#)
- [326] I. A. FALLIS, P. C. GRIFFITHS, P. M. GRIFFITHS, D. E. HIBBS, M. B. HURSTHOUSE et A. L. WINNINGTON, « Solid state and solution behaviour of novel transition metal containing surfactants », *Chem. Commun.*, p. 665–666, 1998. [145](#)

- [327] D. IMBERT, P. BARET, D. GAUDE, I. GAUTIER-LUNEAU, G. GELLON, F. THOMAS, G. SERRATRICE et J.-L. PIERRE, « Hydrophilic and lipophilic iron chelators with the same complexing abilities », *Chem. Eur. J.*, vol. 8, p. 1091–1100, 2002. 145
- [328] M. APOSTOL, P. BARET, G. SERRATRICE, J. DESBRIÈRES, J.-L. PUTAUX, M.-J. STÉBÉ, D. EXPERT et J.-L. PIERRE, « Self-assembly of an amphiphilic iron(III) chelator : mimicking iron acquisition in marine bacteria », *Angew. Chem. Int. Ed.*, vol. 44, p. 2580–2582, 2005. 145
- [329] J.-L. PIERRE, A. du MOULINET D’HARDEMARE, G. SERRATRICE et S. TORELLI, « Abiotic chelators and iron acquisition in living organisms : from molecular iron(III) chelators to self-assembled nanostructures », *C. R. Chimie*, vol. 10, p. 613–621, 2007. 145
- [330] C. HUREAU, E. ANXOLABÉHÈRE-MALLART, M. NIERLICH, F. GONNET, E. RIVIÈRE et G. BLONDIN, « Synthesis, structure and characterisation of new phenolato-bridged manganese complexes. [...] ligand oxidation in L_aH [...] », *Eur. J. Inorg. Chem.*, p. 2710–2719, 2002. 145
- [331] E. RALUY, M. DIÉGUEZ, et O. PÀMIES, « Sugar-based diphosphoramidite as a promising new class of ligands in Pd-catalyzed asymmetric allylic alkylation reactions », *J. Org. Chem.*, vol. 72, p. 2442–2450, 2007. 146
- [332] J.-M. VATÈLE et S. HANESSIAN, « Design and reactivity of organic functional groups - preparation and nucleophilic displacement reactions of imidazole-1-sulfonates (imidazylates) », *Tetrahedron*, vol. 52, p. 10557–10568, 1996. 147, 204, 205
- [333] N. A. AL-MASOUDI, « Synthesis of 3-azido-3-deoxy-5-thio- β -D-ribose », *Sulfur Letters*, vol. 19, p. 149–156, 1995. 147
- [334] R. D. DEMPCY, J. LUO et T. J. BRUCE, « Design and synthesis of ribonucleic guanidine : a polycationic analog of RNA », *Proc. Nat. Acad. Sci.*, vol. 93, p. 4326–4330, 1996. 147
- [335] L. SABATER, C. HUREAU, G. BLAIN, R. GUILLOT, P. THUÉRY, E. RIVIÈRE, et A. AUKAULOO, « Chemical and electrochemical behaviours of a new phenolato-bridged complex. pathways to mononuclear chlorido and dinuclear mono- μ -oxido species », *Eur. J. Inorg. Chem.*, p. 4324–4337, 2006. 150, 151
- [336] A. NEVES, S. M. D. ERTHAL, I. VENCATO, A. S. CECCATO, Y. P. MASCARENHAS, O. R. NASCIMENTO, M. HORNER et A. A. BATISTA, « Synthesis, crystal structure, and electrochemical and spectroelectrochemical properties of the new manganese(III) complex $[Mn(BBPEN)][PF_6]$. », *Inorg. Chem.*, vol. 31, p. 4749–4755, 1992. 151
- [337] A. dos ANJOS, A. J. BORTOLUZZI, M. S. B. CARO, R. A. PERALTA, G. R. FRIEDERMANN, A. S. MANGRICH et A. NEVES, « New phenoxyl radical complexes of manganese, gallium, indium and iron based on an H_2bbpen ligand derivative », *J. Braz. Chem. Soc.*, vol. 17, p. 1540–1550, 2006. 151
- [338] N. E. GOOD, G. D. WINGET, W. WINTER, T. N. CONNOLLY, S. IZAWA et R. M. M. SINGH, « Hydrogen ion buffers for biological research », *Biochemistry*, vol. 5, p. 467–477, 1966. 152, 154
- [339] G. DAVIES, « Some aspects of the chemistry of Mn(III) in aqueous solution », *Coord. Chem. Rev.*, vol. 4, p. 199–224, 1969. 152, 154
- [340] F. MIOMANDRE, S. SADKI, P. AUDEBERT et R. MEALLEAT-RENAULT, *Electrochimie : des Concepts aux Applications*. Dunod, 2005. 152
- [341] N. REDDIG, D. PURSCHE et A. ROMPEL, « Unique example of flexible phenol coordination in mononuclear manganese compounds », *Dalton Trans.*, p. 1474–1480, 2004. 154
- [342] F. S. ARCHIBALD et I. FRIDOVICH, « The scavenging of superoxyde radicals by manganese complexes : *in vitro* », *Arch. Biochem. Biophys.*, vol. 214, p. 452–463, 1982. 154
- [343] I. IVANOVIC-BURMAZOVIC, « Reactions of iron and manganese heme and non-heme complexes with superoxide and cytochrome c - actes du congrès ICBIC XIII », *J. Biol. Inorg. Chem.*, vol. 12, p. S193, 2007. 155
- [344] E. A. LEWIS, J. R. L. SMITH, P. H. WALTON, S. J. ARCHIBALD, S. P. FOXON et G. M. P. GIBLIN, « Tuning the metal-based redox potentials of manganese *cis,cis*-1,3,5-triaminocyclohexane complexes », *J. Chem. Soc., Dalton Trans.*, vol. 1159–1161, 2001. 157
- [345] E. A. LEWIS, H. H. KHODR, R. C. HIDER, J. R. L. SMITH et P. H. WALTON, « A manganese superoxide dismutase mimic based on *cis,cis*-1,3,5-triaminocyclohexane », *Dalton Trans.*, p. 187–188, 2004. 157

- [346] M. GRIFFIN, A. MUYS, C. NOBLE, D. WANG, C. ELDERSHAW, K. GATES, K. BURRAGE et G. HANSON, « XSophe, a computer simulation software suite for the analysis of electron paramagnetic resonance spectra », *Mol. Phys. Rep.*, vol. 26, p. 60–84, 1999. 164
- [347] G. SHELDRIK, « SHELXS-97 program for crystal structure refinement ». Universität Göttingen, 1997. 165
- [348] G. SHELDRIK, « SHELXL-97 program for crystal structure refinement ». Universität Göttingen, 1997. 165
- [349] L. J. FARRUGIA, « WINGX », *J. Appl. Cryst.*, vol. 32, p. 837–838, 1999. 165
- [350] C. F. MACRAE, P. R. EDGINGTON, P. MCCABE, E. PIDCOCK, G. P. SHIELDS, R. TAYLOR, M. TOWLER et J. van de STREEK, « MERCURY : visualization and analysis of crystal structures », *J. Appl. Cryst.*, vol. 39, p. 453–457, 2006. 165
- [351] A. SPECK, « PLATON, a multipurpose crystallographic tool ». Utrecht University, 2001. 165, 232
- [352] D. J. LEFEBER, J. P. KAMERLING et J. F. G. VLIAGENTHART, « Synthesis of streptococcus pneumoniae type 3 neoglycoproteins varying in oligosaccharide chain length, loading and carrier protein », *Chem. Eur. J.*, vol. 7, p. 4411–4421, 2001. 191
- [353] C.-F. LIN, W.-D. LU, I.-W. WANG et M.-J. WU, « Synthesis of benzofuranones promoted via palladium-catalyzed reactions of aryl iodides [...] », *Synlett*, p. 2057–2061, 2003. 198
- [354] R. D. DOWSING, J. F. GIBSON, D. M. L. GOODGAME, M. GOODGAME et P. J. HAYWARD, « Determination of the stereochemistry of manganese(II) complexes by electron spin resonance », *Nature*, vol. 219, p. 1037–1038, 1968. 221
- [355] R. D. DOWSING, J. F. GIBSON, M. GOODGAME et P. J. HAYWARD, « Electron spin resonance studies of some manganese(II) complexes with heterocyclic ligands », *J. Chem. Soc. A*, p. 187–193, 1969. 221
- [356] E. J. LASKOWSKI et D. N. HENDRICKSON, « Magnetic exchange interactions in transition-metal dimers. [...] Series of outer-sphere manganese dimers formed from trigonal-bipyramidal Mn(II) complexes », *Inorg. Chem.*, vol. 17, p. 457–470, 1978. 221
- [357] H. D. FLACK, « On enantiomorph-polarity estimation », *Acta Cryst.*, vol. A39, p. 876–881, 1983. 224